

高速増殖原型炉もんじゅ仮想的炉心崩壊事故解析(Ⅱ)

—SAS3D, VENUS-PM2計算コードによるHCDA解析—

1982年3月

動力炉・核燃料開発事業団

分 置

第 6 章 平衡末期炉心の解析

6.1 炉心流量減少事故 (LOF)



目 次

6. 平衡末期炉心の解析	6-1
6.1 炉心流量減少事故 (LOF)	6-1
6.1.1 概 要	6-1
6.1.2 起因事故フェーズの解析	6-5
6.1.3 炉心崩壊フェーズの解析	6-23
6.1.4 結 論	6-32
6.1.5 補 足	6-39
6.2 反応度挿入事故 (TOP)	6-303
6.2.1 概 要	6-303
6.2.2 起因事故フェーズの解析	6-305
6.2.3 結 論	6-311

Section 6.1

Table 6.1.1	SAS-fuel assembly channel average quantities	6-45
Table 6.1.2	Sodium void reactivity worths by channel for EOEC core	6-46
Table 6.1.3	Summary table of Monju LOF-HCDA SAS3D analysis for EOEC	6-47
Table 6.1.4	SAS3D analysis event sequence table (LF.REAC.BE.C2316)	6-48
Table 6.1.5a	SAS3D analysis event sequence table (LF.REAC.EXNRC.C2318)	6-49
Table 6.1.5b	Comparison of start conditions of FCI's in Channels-6 and -14 in Case LF.REAC.EXNRC. C2318	6-50
Table 6.1.6	SAS3D analysis event sequence table (LF.REAC.RP.C2319)	6-51
Table 6.1.7	SAS3D analysis event sequence table (LF.REAC.FPSLP.C2321)	6-52
Table 6.1.8	SAS3D analysis event sequence table (LF.REAC.NSS.FCI25.CNT.C2320)	6-53
Table 6.1.9	SAS3D analysis event sequence table (LF.REAC.LRIP.FCI.C2323)	6-54
Table 6.1.10	SAS3D analysis event sequence table (LF.REAC.BURST.FCI.C2319)	6-55
Table 6.1.11	Comparison of FCI initial conditions between Cases BURST.FCI and RP	6-56
Table 6.1.12	SAS3D analysis event sequence table (LF.REAC.BURST.FCI.PIN3G.C2324)	6-57
Table 6.1.13	Comparison of FCI-onset timings between Cases C2319 and C2324	6-58

Section 6.1 (Cont.)

Table 6.1.14	SAS3D analysis event sequence table (LF.REAC.GAPCON.C2322)	6-59
Table 6.1.15	SAS-Channel arrangement in VENUS-PM2 rings for EOEC-LOF	6-60
Table 6.1.16a	Summary table of Monju-HCDA SAS3D-to-VENUS- PM2 switch calculation (LF.REAC.EXNRC.C2318)	6-61
Table 6.1.16b	Summary table of Monju-HCDA SAS3D-to-VENUS- PM2 switch calculation (LF.REAC.EXNRC.C2318)	6-62
Table 6.1.17a	Summary table of Monju-HCDA SAS3D-to-VENUS- PM2 switch calculation (LF.REAC.RP.C2317)	6-63
Table 6.1.17b	Summary table of Monju-HCDA SAS3D-to-VENUS- PM2 switch calculation (LF.REAC.RP.C2317)	6-64
Table 6.1.18	Summary table of Monju-HCDA SAS3D-to-VENUS- PM2 switch calculation (LF.REAC.NSS.FCI25.CNT.C2320)	6-65
Table 6.1.19a	Summary table of Monju-HCDA SAS3D-to-VENUS- PM2 switch calculation (LF.REAC.LRIP.FCI.C2323)	6-66
Table 6.1.19b	Summary table of Monju-HCDA SAS3D-to-VENUS- PM2 switch calculation (LF.REAC.LRIP.FCI.C2323)	6-67
Table 6.1.20a	Summary table of Monju-HCDA SAS3D-to-VENUS- PM2 switch calculation (LF.REAC.BURST.FCI.C2319 and LF.REAC. BURST.FCI.PIN3G.C2324)	6-68
Table 6.1.20b	Summary table of Monju-HCDA SAS3D-to-VENUS- PM2 switch calculation (LF.REAC.BURST.FCI.C2319)	6-69

Section 6 .1 (Cont .)

Table 6 .1 .21	Summary table of Monju-HCDA SAS3D-to-VENUS-PM2 switch calculation (LF .REAC .GAPCON .C2322)	6—7 0
Table 6 .1 .22	Summary table of Monju-HCDA SAS3D-to-VENUS-PM2 switch calculation (Summary of all energetic CDA cases)	6—7 1
Table 6 .1 .23	Summary of EOEC LOF-HCDA energetics under the assumption of maximum conservative reactivity coefficients for coolant voiding and Doppler effect	6—7 2
Table 6 .1 .24	SAS3D input for EOEC LOF parameter analysis reference case (LF .REAC .RP .C2317)	6—7 3
Table 6 .1 .25	VENUS-PM2 input for EOEC LOF Case EXNRC .C2318 .STP530	6—9 6
Table 6 .1 .26	Dependence of fuel vapor work on SAS-channel arrangement in VENUS-rings in EOEC core	6—1 1 6
Table 6 .1 .27	Summary of VENUS-PM2 calculations for CR-ring models	6—1 1 7
Table 6 .1 .28	Control-rod material worths for CR-ring regions	6—1 1 8
Table 6 .1 .29	Fuel vapor work increase due to CR-ring motion reactivity in mechanical disassembly phase	6—1 1 9

Section 6 .2

Table 6 .2 .1	Summary table of Monju TOP-HCDA SAS3D analysis for EOEC	6—3 1 4
----------------------	--	----------------

Section 6.1

Fig.6.1.1	14-Channel arrangement for ECEC core	6-120
Fig.6.1.2	Power and reactivity traces for EOEC LOF (LF.REAC.BE.C2316)	6-121
Fig.6.1.3	Chronology and sequence of events in EOEC LOF (LF.REAC.BE.C2316)	6-122
Fig.6.1.4	Voiding profile and coolant flowrate in Channel-1 for EOEC LOF (LF.REAC.BE.C2316)	6-123
Fig.6.1.5	Reactivity component traces for EOEC LOF (LF.REAC.BE.C2316)	6-124
Fig.6.1.6	Coolant reactivity traces by channel for EOEC LOF (LF.REAC.BE.C2316)	6-125
Fig.6.1.7	Channel-1 clad reactivity trace for EOEC LOF (LF.REAC.BE.C2316)	6-127
Fig.6.1.8	Fuel motion reactivity traces by channel for EOEC LOF (LF.REAC.BE.C2316)	6-128
Fig.6.1.9	Fuel and cladding temperature traces at peak temperature segment in Channel-1 for EOEC LOF (LF.REAC.BE.C2316)	6-129
Fig.6.1.10a	Core state at the end of initiating phase (LF.REAC.BE.C2316)	6-130
Fig.6.1.10b	Coolant void and compressible fuel density of SAS- Channels (LF.REAC.BE.C2316)	6-131
Fig.6.1.10c	Fuel temperature distribution (LF.REAC.BE.C2316)	6-132
Fig.6.1.10d	Fuel vapor pressure and work energy vs. volume (LF.REAC.BE.C2316)	6-133
Fig.6.1.11	Power and reactivity traces for EOEC LOF (LF.REAC.EXNRC.C2318)	6-134

Section 6.1 (Cont.)

Fig.6.1.12	Chronology and sequence of events in EOEC LOF (LF.REAC.EXNRC.C2318)	6-135
Fig.6.1.13a	Reactivity component traces for EOEC LOF (LF.REAC.EXNRC.C2318)	6-136
Fig.6.1.13b	Coolant reactivity traces by channel for EOEC LOF (LF.REAC.EXNRC.C2318)	6-137
Fig.6.1.14	Power and reactivity traces during superprompt critical power burst in EOEC LOF (LF.REAC.EXNRC.C2318)	6-139
Fig.6.1.15a	Fuel motion reactivity traces by channel for EOEC LOF (LF.REAC.EXNRC.C2318)	6-140
Fig.6.1.15b	Channel-1 cladding reactivity trace for EOEC LOF (LF.REAC.EXNRC.C2318)	6-142
Fig.6.1.16	Core state at the end of initiating phase (LF.REAC.EXNRC.C2318)	6-143
Fig.6.1.17	Power and reactivity traces for EOEC LOF (LF.REAC.RP.C2317)	6-144
Fig.6.1.18a	Chronology and sequence of events in EOEC LCF (LF.REAC.RP.C2317)	6-145
Fig.6.1.18b	Comparison of Ch.5 boilings at the time of cladding failure between Cases REAC.RP and REAC.EXNRC	6-146
Fig.6.1.18b'	Comparison of Ch.5 boilings around the end of transient between Cases REAC.RP and REAC.EXNRC	6-147
Fig.6.1.18c	Comparison of Ch.6 boilings at the time of cladding failure between Cases REAC.RP and REAC.EXNRC	6-148
Fig.6.1.18c'	Comparison of Ch.6 boilings around the end of transient between Cases REAC.RP and REAC.EXNRC	6-149
Fig.6.1.19a	Reactivity component traces for EOEC LOF (LF.REAC.RP.C2317)	6-150
Fig.6.1.19b	Coolant reactivity traces by channel for EOEC LOF (LF.REAC.RP.C2317)	6-151

Section 6.1(Cont.)

Fig.6.1.20	Power and reactivity traces during superprompt critical power burst in EOEC LOF(LF.REAC.RP.C2317)	6-153
Fig.6.1.21a	Fuel motion reactivity traces by channel for EOEC LOF (LF.REAC.RP.C2317)	6-154
Fig.6.1.21b	Channel-1 cladding reactivity trace for ECEC LOF (LF.REAC.RP.C2317)	6-156
Fig.6.1.22	Core state at the end of initiating phase (LF.REAC.RP.C2317)	6-157
Fig.6.1.23	Power and reactivity traces for EOEC LOF (LF.REAC.FPSLP.C2321)	6-158
Fig.6.1.24	Reactivity component traces for EOEC LOF (LF.REAC.FPSLP.C2321)	6-159
Fig.6.1.25	Fuel motion reactivity traces by channel for EOEC LOF (LF.REAC.FPSLP.C2321)	6-160
Fig.6.1.26a	Coolant reactivity traces by channel for EOEC LOF (LF.REAC.FPSLP.C2321)	6-162
Fig.6.1.26b	Channel-1 cladding reactivity trace for EOEC LOF (LF.REAC.FPSLP.C2321)	6-164
Fig.6.1.27	Core state at the end of initiating phase (LF.REAC.FPSLP.C2321)	6-165
Fig.6.1.28a	Coolant void and compressible fuel density of SAS-Channels	6-166
Fig.6.1.28b	Fuel temperature distribution (LF.REAC.FPSLP.C2321) ..	6-167
Fig.6.1.29	Fuel vapor pressure and work energy vs. volume (LF.REAC.FPSLP.C2321)	6-168
Fig.6.1.30a	Power and reactivity traces for EOEC LOF (LF.REAC.NSS.FCI25.CNT.C2320)	6-169
Fig.6.1.30b	Reactivity component traces for EOEC LOF (LF.REAC.NSS.FCI25.CNT.C2320)	6-170
Fig.6.1.31a	Coolant reactivity traces by channel for EOEC LCF (LF.REAC.NSS.FCI25.CNT.C2320)	6-171

Section 6.1(Cont.)

Fig .6 .1 .31b	Fuel motion reactivity traces by channel for EOEC LOF (LF .REAC .NSS .FCI25 .CNT .C2320)	6—173
Fig .6 .1 .32	Power and reactivity traces during superprompt critical power burst in EOEC LOF (LF .REAC .NSS .FCI25 .CNT .C2320)	6—175
Fig .6 .1 .33a	Core state at the end of initiating phase (LF .REAC .NSS .FCI25 .CNT .C2320)	6—176
Fig .6 .1 .33b	Coolant void and compressible fuel density of SAS- Channels (LF .REAC .NSS .FCI25 .CNT .C2320)	6—177
Fig .6 .1 .34	Power and reactivity traces for EOEC LOF (LF .REAC .LRIP .FCI.C2323)	6—178
Fig .6 .1 .35	Reactivity component traces for EOEC LOF (LF .REAC .LRIP .FCI.C2323)	6—179
Fig .6 .1 .36	Fuel motion reactivity by channel for EOEC LOF (LF .REAC .LRIP .FCI.C2323)	6—180
Fig .6 .1 .37	Coolant reactivity traces by channel for EOEC LOF (LF .REAC .LRIP .FCI.C2323)	6—182
Fig .6 .1 .38	Comparison of FCI zone fuel mass in Channel-8 among Cases LRIP .FCI, RP, and EXNRC	6—184
Fig .6 .1 .39	Comparison of FCI zone growths in Channel-8 among Cases LRIP .FCI, RP, and EXNRC	6—184
Fig .6 .1 .40	FCI zone growth in Channel-11 for EOEC LOF (LF .REAC .RP .C2317)	6—185
Fig .6 .1 .41	Core state at the end of initiating phase	6—186
Fig .6 .1 .42	Power and reactivity traces for EOEC LOF (LF .REAC .BURST .FCI.C2319)	6—187
Fig .6 .1 .43	Reactivity component traces for EOEC LOF (LF .REAC .BURST .FCI.C2319)	6—188
Fig .6 .1 .44	Coolant reactivity traces for EOEC LOF (LF .REAC .BURST .FCI.C2319)	6—189

Section 6.1 (Cont.)

Fig .6 .1 .45	Fuel motion reactivity traces by channel for EOEC LOF (LF .REAC .BURST .FCI .C2319)	6—191
Fig .6 .1 .46a	Coolant voiding due to FCI's in partial boiling channels and pre-boiling channels(LF .REAC .BURST .FCI .C2319) ...	6—193
Fig .6 .1 .46b	Power and reactivity traces during superprompt critical power burst in EOEC LOF (LF .REAC .BURST .FCI .C2319)	6—194
Fig .6 .1 .47	Core state at the end of initiating phase (LF .REAC .BURST .FCI .C2319)	6—195
Fig .6 .1 .48a	Power and reactivity traces for ECEC LCF (LF .REAC .GAPCON .C2322)	6—196
Fig .6 .1 .48b	Reactivity component traces for EOEC LOF (LF .REAC .GAPCON .C2322)	6—197
Fig .6 .1 .49a	Coolant reactivity traces by channel for EOEC LOF (LF .REAC .GAPCON .C2322)	6—198
Fig .6 .1 .49b	Fuel motion reactivity traces by channel for EOEC LOF (LF .REAC .GAPCON .C2322)	6—200
Fig .6 .1 .50a	Channel-6 coolant voiding due to boiling and FCI (LF .REAC .GAPCON .C2322)	6—202
Fig .6 .1 .50b	Coolant void and compressible fuel density of SAS-Channels (LF .REAC .GAPCON .C2322)	6—203
Fig .6 .1 .51a	Reactivity as function of time (LF .REAC .GAPCON .C2322) ...	6—204
Fig .6 .1 .51b	Core state at the end of initiating phase (LF .REAC .GAPCON .C2322)	6—205
Fig .6 .1 .52	Core state at the end of initiating phase	6—206
Fig .6 .1 .53	Reactivity as function of time(LF .REAC .EXNRC .C2318) ...	6—207
Fig .6 .1 .54a	Fuel temperature distribution (Initial state:REAC .EXNRC .STP530)	6—208
Fig .6 .1 .54b	Fuel temperature distribution (Initial state:REAC .EXNRC .STP535)	6—209

Section 6.1(Cont.)

Fig .6 .1 .54c	Fuel temperature distribution (Initial state:REAC .EXNRC .STP540)	6-210
Fig .6 .1 .55a	Void fraction distribution (Initial state:REAC .EXNRC .STP530)	6-211
Fig .6 .1 .55b	Void fraction distribution (Initial state:REAC .EXNRC .STP535)	6-212
Fig .6 .1 .55c	Void fraction distribution (Initial state:REAC .EXNRC .STP540)	6-213
Fig .6 .1 .56a	Reactivity vs. time (REAC .EXNRC .C2318)	6-214
Fig .6 .1 .56b	Power and released energy vs. time (LF .REAC .EXNRC .C2318)	6-215
Fig .6 .1 .57a	Fuel temperature distribution (Final state:REAC .EXNRC .STP530)	6-216
Fig .6 .1 .57b	Fuel temperature distribution (Final state:REAC .EXNRC .STP535)	6-217
Fig .6 .1 .57c	Fuel temperature distribution (Final state:REAC .EXNRC .STP540)	6-218
Fig .6 .1 .58a	Fuel vapor pressure and work energy vs. volume (REAC .EXNRC .STP530)	6-219
Fig .6 .1 .58b	Fuel vapor pressure and work energy vs. volume (REAC .EXNRC .STP535)	6-220
Fig .6 .1 .58c	Fuel vapor pressure and work energy vs. volume (REAC .EXNRC .STP540)	6-221
Fig .6 .1 .59a	Isentropic fuel vapor work as function of Doppler coefficient in VENUS-phase (REAC .EXNRC .STP530)	6-222
Fig .6 .1 .59b	Reactivity vs. time (REAC .EXNRC .STP530)	6-223
Fig .6 .1 .59c	Power and released energy vs. time (REAC .EXNRC .STP530)	6-224
Fig .6 .1 .60	Isentropic fuel vapor work as function of insertion reactivity ramp rate (REAC .LXNRC .STP530)	6-225

Section 6 .1(Cont.)

Fig .6 .1 .61	Reactivity as function of time(LF .REAC .RP .C2317)	6—2 2 6
Fig .6 .1 .62a	Fuel temperature distribution (Initial state:REAC .RP .STP565)	6—2 2 7
Fig .6 .1 .62b	Fuel temperature distribution (Initial state:REAC .RP .STP570)	6—2 2 8
Fig .6 .1 .62c	Fuel temperature distribution (Initial state:REAC .RP .STP575)	6—2 2 9
Fig .6 .1 .63a	Void fraction distribution (Initial state:REAC .RP .STP565)	6—2 3 0
Fig .6 .1 .63b	Void fraction distribution (Initial state:REAC .RP .STP570)	6—2 3 1
Fig .6 .1 .63c	Void fraction distribution (Initial state:REAC .RP .STP575)	6—2 3 2
Fig .6 .1 .64a	Reactivity vs . time(REAC .RP .C2317)	6—2 3 3
Fig .6 .1 .64b	Power and released energy vs . time(LF .REAC .RP .C2317)	6—2 3 4
Fig .6 .1 .65a	Fuel temperature distribution (Final state:REAC .RP .STP565)	6—2 3 5
Fig .6 .1 .65b	Fuel temperature distribution (Final state:REAC .RP .STP570)	6—2 3 6
Fig .6 .1 .65c	Fuel temperature distribution (Final state:REAC .RP .STP575)	6—2 3 7
Fig .6 .1 .66a	Fuel vapor pressure and work energy vs . volume (REAC .RP .STP565)	6—2 3 8
Fig .6 .1 .66b	Fuel vapor pressure and work energy vs . volume (REAC .RP .STP570)	6—2 3 9
Fig .6 .1 .66c	Fuel vapor pressure and work energy vs . volume (REAC .RP .STP575)	6—2 4 0
Fig .6 .1 .67	Isentopic fuel vapor work as function of insertion reactivity ramp rate (REAC .RP .STP575)	6—2 4 1

Section 6.1(Cont.)

Fig .6 .1 .68	Reactivity as function of time (LF .REAC .NSS .FCI25 .CNT .C2320)	6—2 4 2
Fig .6 .1 .69a	Fuel temperature distribution (Initial state:REAC .FCI25 .STP560)	6—2 4 3
Fig .6 .1 .69b	Void fraction distribution(Initial state:REAC .FCI25 .STP560)	6—2 4 4
Fig .6 .1 .70a	Reactivity vs . time(REAC .FCI25 .STP560)	6—2 4 5
Fig .6 .1 .70b	Power and released energy vs . time(REAC .FCI25 .STP560)	6—2 4 6
Fig .6 .1 .71	Fuel temperature distribution (Final state:REAC .FCI25 .STP560)	6—2 4 7
Fig .6 .1 .72	Fuel vapor pressure and work energy vs . volume (REAC .FCI25 .STP560)	6—2 4 8
Fig .6 .1 .73	Isentropic fuel vapor work as function of insertion reactivity ramp rate(REAC .FCI25 .STP560)	6—2 4 9
Fig .6 .1 .74	Reactivity as function of time(LF .REAC .LRIP .FCI.C2323)	6—2 5 0
Fig .6 .1 .75a	Fuel temperature distribution (Initial state:REAC .LRIP .FCI .STP564)	6—2 5 1
Fig .6 .1 .75b	Fuel temperature distribution (Initial state:REAC .LRIP .FCI .STP568)	6—2 5 2
Fig .6 .1 .75c	Fuel temperature distribution (Initial state:REAC .LRIP .FCI .STP570)	6—2 5 3
Fig .6 .1 .76a	Void fraction distribution (Initial state:REAC .LRIP .FCI .STP564)	6—2 5 4
Fig .6 .1 .76b	Void fraction distribution (Initial state:REAC .LRIP .FCI .STP568)	6—2 5 5
Fig .6 .1 .76c	Void fraction distribution (Initial state:REAC .LRIP .FCI .STP570)	6—2 5 6
Fig .6 .1 .77a	Reactivity vs . time(REAC .LRIP .FCI)	6—2 5 7
Fig .6 .1 .77b	Power and released energy vs .time(REAC .LRIP .FCI)	6—2 5 8
Fig .6 .1 .78a	Fuel temperature distribution (Final state:REAC .LRIP .FCI .STP564)	6—2 5 9

Section 6 .1(Cont.)

Fig .6 .1 .78b	Fuel temperature distribution	
	(Final state:REAC .LRIP .FCI .STP568)	6 — 2 6 0
Fig .6 .1 .78c	Fuel temperature distribution	
	(Final state:REAC .LRIP .FCI .STP570)	6 — 2 6 1
Fig .6 .1 .79a	Fuel vapor pressure and work energy vs . volume	
	(REAC .LRIP .FCI .STP564)	6 — 2 6 2
Fig .6 .1 .79b	Fuel vapor pressure and work energy vs . volume	
	(REAC .LRIP .FCI .STP568)	6 — 2 6 3
Fig .6 .1 .79c	Fuel vapor pressure and work energy vs . volume	
	(REAC .LRIP .FCI .STP570)	6 — 2 6 4
Fig .6 .1 .80a	Isentropic fuel vapor work as function of Doppler coefficient in VENUS-phase(REAC .LRIP .FCI .STP564)
		6 — 2 6 5
Fig .6 .1 .80b	Reactivity vs . time(REAC .LRIP .FCI .STP564)
		6 — 2 6 6
Fig .6 .1 .80c	Power and released energy vs . time	
	(REAC .LRIP .FCI .STP564)	6 — 2 6 7
Fig .6 .1 .81	Isentropic fuel vapor work as function of insertion reactivity ramp rate(REAC .LRIP .FCI .STP564)
		6 — 2 6 8
Fig .6 .1 .82	Reactivity as function of time	
	(LF .REAC .BURST .FCI .C2319 and LF .REAC .BURST .FCI .PIN3G .C2324)	6 — 2 6 9
Fig .6 .1 .83a	Fuel temperature distribution	
	(Initial state:REAC .BURST .FCI .STP555)	6 — 2 7 0
Fig .6 .1 .83b	Void fraction distribution	
	(Initial state: REAC .BURST .FCI .STP555)	6 — 2 7 1
Fig .6 .1 .84	Reactivity vs . time(REAC .BURST .FCI .STP555)
		6 — 2 7 2
Fig .6 .1 .85	Power and released energy vs . time	
	(REAC .BURST .FCI .STP555)	6 — 2 7 3
Fig .6 .1 .86	Fuel temperature distribution(REAC .BURST .FCI .STP555)	..
		6 — 2 7 4
Fig .6 .1 .87	Fuel vapor pressure and work energy vs . volume	
	(REAC .BURST .FCI .STP555)	6 — 2 7 5

Section 6.1(Cont.)

Fig .6 .1 .88	Isentropic fuel vapor work as function of Doppler coefficient in VENUS-phase (REAC .BURST .FCI .STP555)	6—276
Fig .6 .1 .89	Isentropic fuel vapor work as function of insertion reactivity ramp rate (REAC .BURST .FCI .STP555)	6—277
Fig .6 .1 .90	Reactivity as function of time (LF .REAC .GAPCON .C2322)	6—278
Fig .6 .1 .91a	Fuel temperature distribution (Initial state:REAC .GAPCON .STP545)	6—279
Fig .6 .1 .91b	Fuel temperature distribution (Initial state:REAC .GAPCON .STP550)	6—280
Fig .6 .1 .92a	Void fraction distribution (Initial state:REAC .GAPCON .STP545)	6—281
Fig .6 .1 .92b	Void fraction distribution (Initial state:REAC .GAPCON .STP550)	6—282
Fig .6 .1 .93a	Reactivity vs . time (REAC .GAPCON)	6—283
Fig .6 .1 .93b	Power and released energy vs . time (REAC .GAPCON)	6—284
Fig .6 .1 .94a	Fuel temperature distribution (Final state:REAC .GAPCON .STP545)	6—285
Fig .6 .1 .94b	Fuel temperature distribution (Final state:REAC .GAPCON .STP550)	6—286
Fig .6 .1 .95a	Fuel vapor pressure and work energy vs . volume (REAC .GAPCON .STP545)	6—287
Fig .6 .1 .95b	Fuel vapor pressure and work energy vs . volume (REAC .GAPCON .STP550)	6—288
Fig .6 .1 .96	Isentropic fuel vapor work as function of insertion reactivity ramp rate (REAC .GAPCON .STP550)	6—289
Fig .6 .1 .97	Summary of EOEC LOF energetics by SAS3D/ VENUS-PM2 calculation	6—290
Fig .6 .1 .98	Summary of parameter cases for EOEC-LOF HCDA	6—291

Section 6 .1(Cont .)

Fig .6 .1 .99	Molten core states at the end of initiating or disassembly phase of parameter run cases for LOF and TOP-HCDA's (EOEC Core)	6-292
Fig .6 .1 .100	VENUS rings for SAS-channel fuel assemblies	6-293
Fig .6 .1 .101	VENUS-PM2 R-Z mesh cell structure with annular control rings	6-294
Fig .6 .1 .102	VENUS-PM2 R-Z core model with annular control rings	6-295
Fig .6 .1 .103	Fuel temperature distribution (Initial state:REAC .EXNRC .STP530)	6-296
Fig .6 .1 .104	Void fraction distribution (Initial state:REAC .EXNRC .STP530)	6-296
Fig .6 .1 .105	Comparison of power and reactivity traces among three models for the control assemblies	6-297
Fig .6 .1 .106	Fuel temperature distribution at the end of disassembly phase	6-298
Fig .6 .1 .107	Initial fuel temperature and void fraction distributions (REAC .LRIP .FCI .STP564)	6-299
Fig .6 .1 .108	Comparison of power and reactivity traces between CR-ring model and base case calculation	6-300
Fig .6 .1 .109	Fuel temperature distribution (Final state:REAC .LRIP .FCI .STP564)	6-301
Fig .6 .1 .110	VENUS R-Z core model with partially inserted control rods	6-302

Section 6 .2

Fig .6 .2 .1	Power and reactivity traces for EOEC TOP (TP .REAC .BE .C3314)	6—3 1 5
Fig .6 .2 .2	Reactivity component traces for EOEC TOP (TP .REAC .BE .C3314)	6—3 1 6
Fig .6 .2 .3	Reactivity component traces for EOEC TOP (TP .REAC .BE .C3314)	6—3 1 7
Fig .6 .2 .4	Channel-1 fuel and coolant reactivity traces in EOEC TOP (TP .REAC .BE .C3314)	6—3 1 8
Fig .6 .2 .5	Histories of Channel-1 clad and fuel temperatures at peak power segment for EOEC TOP (TP .REAC .BE .C3314)	6—3 1 9
Fig .6 .2 .6	Channel-1 FCI zone growth and coolant flowrate for EOEC TOP (TP .REAC .BE .C3314)	6—3 2 0
Fig .6 .2 .7	Fuel temperature distribution(TP .REAC .BE .C3314)	6—3 2 1
Fig .6 .2 .8	Void fraction distribution(TP .REAC .BE .C3314)	6—3 2 2
Fig .6 .2 .9	Core state at the end of initiating phase (TP .REAC .BE .C3314)	6—3 2 3
Fig .6 .2 .10	Power and reactivity traces for EOEC TOP (TP .REAC .EXNRC .C3316)	6—3 2 4
Fig .6 .2 .11a	Reactivity component traces for EOEC TOP (TP .REAC .EXNRC .C3316)	6—3 2 5
Fig .6 .2 .11b	Reactivity component traces for EOEC TOP (TP .REAC .EXNRC .C3316)	6—3 2 6
Fig .6 .2 .12	Channel-1 fuel and coolant reactivity traces for EOEC TOP (RP .REAC .EXNRC .C3316)	6—3 2 7
Fig .6 .2 .13a	Channel-1 FCI zone growth and coolant flowrate for EOEC TOP (TP .REAC .EXNRC .C3316)	6—3 2 8
Fig .6 .2 .13b	Histories of Channel-1 fuel pin temperature at peak power segment for EOEC TOP(TP .REAC .EXNRC .C3316)	6—3 2 9

Section 6 .2(Cont.)

Fig .6 .2 .14	Fuel temperature distribution(TP .REAC .EXNRC .C3316)	6—3 3 0
Fig .6 .2 .15	Void fraction distribution(TP .REAC .EXNRC .C3316)	6—3 3 1
Fig .6 .2 .16	Power and reactivity traces for EOEC TOP (TP .REAC .RP .C3315)	6—3 3 2
Fig .6 .2 .17a	Reactivity component traces for EOEC TOP (TP .REAC .RP .C3315)	6—3 3 3
Fig .6 .2 .17b	Reactivity component traces for EOEC TOP (TP .REAC .RP .C3315)	6—3 3 4
Fig .6 .2 .18	Channel-1 fuel and clad reactivity traces for EOEC TOP (TP .REAC .RP .C3315)	6—3 3 5
Fig .6 .2 .19	Channel-1 FCI zone growth and coolant flowrate for EOEC TOP(TP .REAC .RP .C3315)	6—3 3 6
Fig .6 .2 .20	Histories of Channel-1 clad and fuel temperatures at peak power segment for EOEC TOP(TP .REAC .RP .C3315)	6—3 3 7
Fig .6 .2 .21a	Fuel temperature distribution(TP .REAC .RP .C3315)	6—3 3 8
Fig .6 .2 .21b	Void fraction distribution(TP .REAC .RP .C3315)	6—3 3 9
Fig .6 .2 .22	Power and reactivity traces for EOEC TOP (TP .REAC .LRAD .FCI.C3319)	6—3 4 0
Fig .6 .2 .23	Channel-1 fuel and coolant reactivity traces for EOEC TOP(TP .REAC .LRAD .FCI.C3319)	6—3 4 1
Fig .6 .2 .24	Channel-1 FCI zone growth and coolant flowrate for EOEC TOP(TP .REAC .LRAD .FCI.C3319)	6—3 4 2
Fig .6 .2 .25	Fuel temperature distribution(TP .REAC .LRAD .FCI.C3319)	6—3 4 3
Fig .6 .2 .26	Power and reactivity traces for EOEC TOP (TP .REAC .BURST .FCI.C3317)	6—3 4 4
Fig .6 .2 .27	Channel-1 fuel and coolant reactivity traces for EOEC TOP (TP .REAC .BURST .FCI.C3317)	6—3 4 5
Fig .6 .2 .28	Histories of Channel-11 clad and fuel temperatures at peak power segment for EOEC TOP (TP .REAC .BURST .FCI.C3317)	6—3 4 6

Section 6 .2(Cont.)

Fig .6 .2 .29	Channel-11 FCI zone growth and coolant flowrate for EOEC TOP(TP .REAC .BURST .FCI.C3317)	6—3 4 7
Fig .6 .2 .30	Histories of Channel-1 clad and fuel temperatures at peak power segment for EOEC TOP (TP .REAC .BURST .FCI.C3317)	6—3 4 8
Fig .6 .2 .31	Channel-1 boiling profile and coolant flowrate for EOEC TOP (TP .REAC .BURST .FCI.C3317)	6—3 4 9
Fig .6 .2 .32	Fuel temperature distribution(TP .REAC .BURST .FCI.C3317)·	6—3 5 0
Fig .6 .2 .33	Void fraction distribution(TP .REAC .BURST .FCI.C3317).....	6—3 5 1
Fig .6 .2 .34	Core state at the end of initiating phase (TP .REAC .BURST .FCI.C3317)	6—3 5 2
Fig .6 .2 .35	Power and reactivity traces for EOEC TOP (TP .REAC .GAPCON .C3318)	6—3 5 3
Fig .6 .2 .36	Reactivity component traces for EOEC TOP (TP .REAC .GAPCON .C3318)	6—3 5 4
Fig .6 .2 .37	Channel-1 fuel and coolant reactivity traces for EOEC TOP (TP.REAC .GAPCON .C3318)	6—3 5 5
Fig .6 .2 .38	Histories of Channel-1 clad and fuel temperatures at peak power segment for EOEC TOP (TP .REAC .GAPCON .C3318)	6—3 5 6
Fig .6 .2 .39	Channel-1 FCI zone growth and coolant flowrate for EOEC TOP(TP .REAC .GAPCON .C3318)	6—3 5 7
Fig .6 .2 .40	Fuel temperature distribution(TP .REAC .GAPCON .C3318) ...	6—3 5 8

6. 平衡末期炉心の解析

6.1 炉心流量減少事故 LOF

6.1.1 概 要

(1) 起因事故フェーズの解析

平衡末期炉心（EOEC）の炉心流量減少事故解析は、報告書(I)の場合と同様に、以下のケースについて実施した。

① Case ID: LF.REAC.BE.C2316

最も確からしいパラメータを用いたケース

② Case ID: LF.REAC.EXNRC.C2318

CRBRPのHCDA解析においてNRCが用いたパラメータと同一のパラメータを用いたケース

③ Case ID: LF.REAC.RP.C2317

以下のパラメータ解析の基準ケースに相当し、用いた計算条件は上記②のケースのパラメータを一部変更したものである。

（詳細は報告書(I)のTable 3.3-1を参照）

上記の③のケースを基準に、報告書(I)と同様に以下のパラメータ解析ケースを設定した。

④ Case ID: LF.REAC.FPSLP.C2321

*fuel dispersal*に際してFPガス効果を考慮したケース

⑤ Case ID: LF.REAC.NSS.FCI25.CNT.C2320

FCI開始条件を、25%燃料溶融割合とし、炉心軸方向中央で被覆管破損が起るとした。また、スランピング・チャンネルの*fuel dispersal*に際して被覆管の蒸気圧を無視するものとしたケース

⑥ Case ID: LF.REAC.LRIP.FCI.C2323

FCI開始における燃料ピン被覆管破損口の大きさを基準ケースの6倍にしたケース

⑦ Case ID: LF.REAC.BURST.FCI.C2319

FCI開始条件の一つとなる燃料ピン破損基準に、燃料ピン内溶融キャビティ圧力による被覆管のバースト破損を用いたケース

⑧ Case ID: LF . REAC . BURST . FCI . PIN3G . C2324

前ケース⑦では、一つのチャーネルに所属する全ての燃料ピンは、条件が満たされると、同時に破損するものと仮定したが、このケースでは燃料ピンを3つの時間遅れをもつた破損ピングループに分けて、FCI開始の非同時性を近似的に模擬した。

⑧のケースのような取扱いは、SAS3DのFCIモデルに含まれている一つのオプションである。3つの破損ピングループ間の相対的破損時間遅れ、および燃料ピン数割合としては、CRBRPのEOEC炉心SAS3D解析LOF-Base Caseの場合と全く同一のデータを用いた。これらのデータは以下の通りである。

破損ピングループ番号	ピン数割合	時間遅れ (ms)
1 (最初の破損グループ)	0.4	0
2	0.3	2 (第1グループに対して)
3	0.3	4 ("")

⑨ Case ID: LF . REAC . GAPCON . C2322

ギャップ熱伝達率を一定値 $0.405 \text{ W/cm}^2 \cdot \text{°C}$ ($714 \text{ Btu/hr} \cdot \text{ft}^2 \cdot \text{°F}$)としたケース

第3章に記したように、下報告書(II)では、ボイド係数及びドップラー係数に核設計計算不確かさを見込んだ保守側反応度係数を用いた。この点を除くと、EOEC炉心のSASチャンネル構成は、報告書(I)のものと同じである。Table 6.1-1にて、EOEC炉心14チャンネルの特性を示した。表で、ボイドワースには、使用した保守側値が示されている。Table 6.1-2にて、各チャンネルのボイドワース(保守側値)の内訳を示した。本解析で使用するボイドワース・データによると、炉心の最大正ボイドワースは378\$となる。この値はノミナル値252\$の1.5倍に等しい。ちなみに、CRBRP-PSARのSAS3A解析で使用されたCRBRP EOEC炉心の最大正ボイドワースは、約3.5 \$である。便利のために、Fig 6.1-1にてEOEC炉心の14チャンネル構成を再録した。

上記の各ケースで用いたパラメータ値については、⑧のケースを除いて全て、報告書(I)の第3章に記述されている。

これらのケースの起因事故フェーズの計算結果によると、最も確からしいパラメータを用いたケース(Case BEと略記)及び、fuel dispersalに際してFPガス効果を考慮したケース(Case FPSLP)では、全反応度の最大値は、いずれにおいても約0.97\$となり、超即発臨界出力暴走には至らないことが判った。しかし、残りの全ケースでは、全反応度が1\$を起え、炉心崩壊フェーズに至る結果となった。

起因事故フェーズの解析結果のまとめを、Table 6.1-3に示した。この表に示された結果は、全てSAS3Dによる計算結果である。特に、超即発臨界出力暴走に至っているケースについて、全反応度及び出力の最大値が示されているが、これらの値は、本来、炉心崩壊フェーズの解析結果(FENUS-PM2計算)により評価すべきものであり、表の値は参考値として示したものである。

Table 6.1-3 の結果を報告書(I)のTable 6.2-1に示した結果(ノミナル反応度係数ベースの解析結果)と比較すると、本解析では冷却材ボイド係数を不確かさの範囲で保守側に増加し、ドップラー係数も保守側に減少させたため、種々の事象の開始時間が早くなっている。即ち、各ケースとも、最初の沸騰開始は、本解析の場合の方が、1.5秒から1.9秒早く、最初のFCI発生時間は、約4秒早く起きている。これらの結果は、おもに、ボイド係数を正值側へ増加させたため、そのフィードバック効果により出力トライジメントが速くなったことによるものである。

報告書(I)では、パラメータ解析ケースの結果から、一般にFCI開始基準(即ち、非沸騰または部分沸騰チャンネルの燃料ビン破損基準)を相対的にFCI開始時間が早まるように設定すると、全反応度および出力の最大値が増大することが判った。この理由は、事故後早期に沸騰した高出力チャンネルのfuel dispersal開始時間と事故後沸騰開始が遅れる低出力チャンネルのFCI開始時間の相対的なタイミングに関係しており、FCI開始が遅れるほど、その正反応度フィードバック効果はfuel dispersalによる負反応度効果に打ち消されるためであった。しかし、今回の、保守側反応度係数

ベースの解析では上述の議論は異なる。今回の場合も一般にFCI開始を早期化する条件設定は超即発臨界出力暴走の規模を大きくする。その理由は、出力トランジエントが速くなつたために、FCI発生チャンネルが低出力チャンネルを含み、さらにボイドワースの大きな中出力チャンネルまでにおよんでくるためである。即ち、燃料溶融が早くなり、沸騰開始前または、沸騰領域の十分を拡大前にFCI開始条件を満たすチャンネルの数が増大したことに起因している。

(2) 炉心崩壊フェーズの解析

超即発臨界出力暴走に至るケースで、VENUS-PM2による炉心崩壊フェーズの解析を実施したのは、以下のケースである。なお番号は上で定義したものに対応する。

- ② Case ID=LF.REAC.EXNRC.C2318
- ③ Case ID=LF.REAC.RP.C2317
- ⑤ Case ID=LF.REAC.NSS.FCI25.CNT.C2320
- ⑥ Case ID=LF.REAC.LRIP.FCI.C2323
- ⑦ Case ID=LF.REAC.BURST.FCI.C2319
- ⑧ Case ID=LF.REAC.BURST.FCI.PIN3G.C2324
- ⑨ Case ID=LF.REAC.GAPCON.C2322

SAS3DからVENUS-PM2への接続方法については第3章に記述した通りである。⁶³⁾ VENUS-PM2による有効仕事量のSAS3D-to-VENUS-PM2接続点依存性については、②LF.REAC.EXNRC.C2318及び2~3のケースについて検討した。この検討は前の2章(BOIC, BOEC)でも実施しており、本章の結果も加えると、一般に、VENUS-PM2への外部挿入反応度をSAS3Dにより計算された挿入反応度(=全反応度-ドップラー反応度)の時間テーブルの形で入力すると、有効仕事量計算値は接続点に強く依存しないことが結論できる。従って、各ケースの解析は、基本的には挿入反応度を時間テーブルで入力して実施した。更に、各ケースについて以下のパラメータ解析を実施した。

- a. 反応度挿入率依存性解析
- b. ドップラー係数依存性解析

aの反応度挿入率パラメータの範囲は、SAS3D計算から得られた反応度挿入カーブに基づいて、接続点以降における出力暴走期間中の時間平均挿入率を中心とし、反応度カーブ勾配の最大と最小の範囲をカバーするようにとした。ドップラー係数については、核計算の不確定範囲である、ノミナル値の±30%の範囲について変化させた。ただし、ドップラー係数はVENUS-PM2計算で使用する値のみを変化させたものであり、起因事故(SAS3D計算)フェーズから通して変化させたものではないことに注意する。

以下の2節に、起因事故フェーズ及び炉心崩壊フェーズの解析結果を記述する。

6.1.2 起因事故フェーズの解析

本項では、概要に記した解析ケース番号の順に、SAS3Dによる起因事故フェーズの解析結果を記述する。

- (1) Case ID: LF.REAC.BE.C2316 「最も確からしいパラメータを用いたケース」

過渡出力・反応度変化

Fig 6.1-2に炉出力(相対値、初期値=1.0)及び全反応度の過渡変化を示した(図には、全時間スケール及び過渡末期の短時間部分を拡大したものの両者を示した)。事象シーケンスをTable 6.1-4及びFig 6.1-3に示した。

事故後、最初の沸騰は約125秒にCh1の炉心・ブランケット境界で起こる。Fig 6.1-4に、その沸騰パターンと出入口流量の過渡変化を示した。ノミナル反応度係数を用いた場合(報告書(I))のCase BEの最初の沸騰(同じく、Ch1)時間よりも約1.5秒早くなっている。これは保守側のボイド係数及びドップラー係数の使用に起因している。Table 6.1-4で第14番目の沸騰(Ch13)開始時間は、同じく、報告書(I)の場合よりも約3.9秒早く、保守側反応度係数を用いた影響が出ている。

Fig 6.1-5に全反応度とその成分の時間変化を示した。Case BEでは炉心軸方向膨張反応度を考慮しており、図より(Density Feedback)、その大きさがほぼドップラー反応度(ノミナル値の70%)と同じ程度の寄与のあることがわかる。全反応度は最初の沸騰開始(125秒)から約28秒の間にほぼ0\$から0.968\$まで、また、炉出力はほぼ定格値の約90倍まで上昇している。その大半は、沸騰による

約 3.3 \$ のボイド反応度に起因している。Fig 6.1-5 で、約 14.9 秒以降のボイド反応度の急速な増加は、Table 6.1-4 のシーケンス表で、Ch. 10, Ch. 5, Ch. 7, 及び Ch. 6 の沸騰が相ついで起こり、これに伴う反応度挿入に起因している。Fig 6.1-6 に示した各チャンネルのボイド反応度変化から、その模様が判る。この急速な全反応度增加に伴う炉出力の増大により、最初の沸騰チャンネル Ch. 1 の溶融被覆管が移動を開始 (15.064 秒) し、これにしたがう反応度挿入もみられる (Fig 6.1-7)。

Ch. 1 燃料は約 15.245 秒にピーク出力ノードで 50 % 溶融割合に達し、スランピングを開始している。これに引続いて、Ch. 3, Ch. 2 がスランピングを開始している。Fig 6.1-8 に各チャンネルの燃料移動反応度を示した。このケースでは、燃料スランピングに際して、ペレット内残留 FP ガスによる fuel dispersal 効果を考慮しているため、スランピング開始と同時に Fuel dispersal による負反応度効果がみられ、全反応度は 1 \$ 以下に押さえられている。しかし、スランピング後の反応度変化は単調な負反応度投入とはならず、各チャンネルとも複雑な変化を示している。この挙動は燃料スタック内の残留 FP ガスの軸方向分布 (単位燃料質量当たりの FP ガス質量) が、燃料温度の高い炉心中央で低く、その上、下でピーク値をもつてることにも関係している。Fig 6.1-9 に、Ch. 1 の燃料ピン温度 (ピーク出力ノード) の過渡変化を示した。

起因事故フェーズ末期の炉心状態

Fig 6.1-10 a に、事故後 15.634 秒における炉心燃料集合体の状態を示した。全チャンネルが沸騰し、さらに、Ch. 1 から Ch. 10 までの燃料集合体 (全炉心の 56 %) でスランピングが起きている。Fig 6.1-10 b に、各チャンネルの冷却材ボイド状態及びスランピングチャンネル (Ch. 1~Ch. 10) の燃料密度分布を示した。燃料分散に際して FP ガスの効果を考慮した本ケースでは、燃料分散による密度分布の模様がかなり複雑なものとなっている。ほとんどの燃料は炉心部に残留している。また、Ch. 1 では炉心上下端に、被覆材ブロックージが形成されている。

Fig 6.1-10 c に、同じく終状態の燃料温度分布を示した。同図で、半径方向の各リングが対応する S A S チャンネル番号は付記した通りだが、Fig 6.1-10 b の場合と幾分異なっている。Fig 6.1-10 c は、後述する VENUS-PM2 計算で使用した R-Z 炉心モデルに対応している。最終炉心状態の冷却材ボイ

ド率(炉心平均)は9.3%, 炉心部の燃料溶融割合は3.8%となっている。

本ケースは、全反応度の挙動(Fig 6.1-2)及び最終炉心状態での燃料密度分布(Fig 6.1-10b)で特徴づけられるように、溶融炉心は Transition Phase へ推移してゆく。

なお、Fig 6.1-10c の温度分布によると、炉心燃料の一部は大気圧での沸点($\sim 3761\text{K}$)以上に達している。この温度分布を用いて燃料蒸気による等エントロピー膨張(1気圧まで)仕事量を算出すると、約3.3MJとなる。参考までに、Fig 6.1-10dにその場合のP-Vカーブを示した。

(2) Case ID: LF.REAC.EXNRC.C2318 「NRCタイプのパラメータ用いたケース」

本ケース LF.REAC.EXNRC.C2318(以下では、Case EXNRCと略記する)は、起因事故フェーズ解析の結果、全反応度が1\$を起え、炉心崩壊フェーズに至る出力暴走となることが判った。従って、炉心崩壊フェーズへ接続した解析が必要となる。以下では、炉心崩壊フェーズに接続するまでの起因事故フェーズの過渡挙動について記述する。

過渡出力・反応度変化

Fig 6.1-11に、炉出力及び全反応度の過渡変化を示した。事象シーケンスをTable 6.1-5a 及び Fig 6.1-12に示した。

最初の沸騰は、Ch. 1でCase BEよりも約1秒早く、11.481秒に発生している。その後、約1.9秒の間にCh. 2からCh. 10までが沸騰を開始している。これらのうち、一番遅い沸騰チャンネル Ch. 8の沸騰開始も、Case BEの場合よりも約1.6秒早く起きている。本ケースでは、炉心軸方向膨張反応度効果を無視しているため、これが主要因となって沸騰開始がCase BEよりも早くなっている。

Fig 6.1-13aに全反応度の成分の時間変化を示した。最初の燃料スランピングはCh. 1で13.551秒に起きている。その後の14msの間に、既に沸騰開始したチャンネルの燃料ピーグ出力ノード近傍が50%溶融割合に達し、冷却材流路の沸騰領域の状況に応じて、スランピングまたはFCIを開始している。最初のFCIは約13.565秒にCh. 6で発生している。Ch. 6はこれより約0.36秒前に沸騰開始しているが、その沸騰領域が軸方向炉心中央まで拡大する前に

FCI開始基準が満たされている。Fig 6.1-13bに、トランジェント後半の各チャンネルのボイド反応度変化を示した。FCIチャンネルとなった、Ch. 5, 6, 及び Ch. 8 のボイド反応度が各々の FCI 開始後、急速に上昇している模様がみられ、通常の沸騰現象によるゆっくりしたボイド反応度挿入挙動とは明確に区別できる。FCIチャンネル Ch. 12 と Ch. 14 は正ボイド反応度値値を有している（それぞれ、24%，18%）が、FCI 開始後 7ms の間（計算終了まで）には、まだ FCI ゾーンが広範囲には拡大していない。Ch. 11, Ch. 13 も含め、これらの低出力チャンネルでは FCI 開始時点までに未沸騰状態にあり、他の FCI チャンネルに比べて冷却材流量が大きく、また、冷却材温度も低い状態で FCI を開始している。Table 6.1-5b に、Ch. 6 及び Ch. 14 の FCI 開始時の諸条件を比較して示した。

ノミナル反応度係数を用いた報告書(I)での同ケースと比較すると、本ケースでは、FCI チャンネルの数が増えている。これらは、Ch. 5, 6 の 33 燃料集合体で、ボイドワースの高いチャンネルであり、これらの FCI は炉心崩壊フェーズへ移行する引金となっている。

Ch. 6 の FCI 発生時までに全反応度は 0.994 \$ に達しており (Table 6.1-3) FCI によるボイド反応度、及びキャビティー内の溶融燃料移動に伴う反応度により、その後、2 ms 弱で全反応度は即発臨界 (1 \$) 以上に達している。この模様を Fig 6.1-14 に示した。SAS3D 計算による超即発臨界持続時間は約 6.8 ms、全反応度の上昇率は、1 \$ 以降上昇期間中の時間平均値で約 35 \$/sec となっており、機械的炉心崩壊を伴う出力暴走となっている。従って、この時間領域の評価は VENUS-PM2 による解析を引継ぐことになる。なお、SAS3D による超即発臨界出力暴走の予測では、全反応度の最大値はドップラー効果と fuel dispersal による負反応度で抑えられ、最終時にはスランピング・チャンネルの fuel dispersal により出力暴走が終結している。fuel dispersal 反応度発生の模様を Fig 6.1-15a に示した（但し、同図で Ch. 5, Ch. 6, 及び Ch. 8 の反応度効果は FCI に起因する）。Fig 6.1-15b に Ch. 1 の被覆管移動反応度を示したが、トランジェット末期の急速な反応度上昇は Ch. 1 の fuel dispersal に呼応している。

起因事故フェーズ末期の炉心状態

Fig 6.1-16に起因事故フェーズ末期の各チャンネルの状態を示した。全反応度が1\$を越した時点で、炉心部の冷却材平均ボイド率は30%弱であり、同じく炉心部平均の燃料溶融割合は28%である。

VENUS-PM2への接続時点における炉心状態の詳細については、6.1.3項のVENUS-PM2による解析の項で記述する。

(3) Case ID: LF.REAC.RP(C2317)………「パラメータ解析基準ケース」

本ケースLF.REAC.RP(C2317)(以下では、Case RPと略記する)は、起因事故フェーズ解析の結果、炉心崩壊フェーズに至る出力暴走となることが判った。以下では、炉心崩壊フェーズに接続するまでの過渡挙動について記述する。

過渡出力・反応度変化

Fig 6.1-17に、炉出力及び全反応度の過渡変化を示した。事象シーケンスをTable 6.1-6及びFig 6.1-18aに示した。

最初の沸騰開始時間は、Case EXNRCと同じく、Ch.1で11.481秒である。第2沸騰以降の事象発生時間はCase EXNRCとは微妙に異なってきており、この理由は、報告書(I)の場合と同様に、Case RPとEXNRC間での沸騰後のナトリウム液膜の運動の取扱いが異なっていることに起因している(RPでは液膜の移動モデルを使用、EXNRCでは静止液膜モデルを使用)。事象発生の順位は、EXNRCの場合とほとんど同じであり、反応度変化の挙動もほぼ同じである。しかし、本ケースでは、上述したEXNRCとの、液膜モデルの違いにより、沸騰によるボイド反応度挿入が幾分遅れており、その分だけ、50%溶融燃料破損時間が遅れている(Table 6.1-6)。その結果、Case EXNRCではFCIを起こしたCh.5が、本ケースRPではスランピング・チャンネルとなっている(即ち、ボイド領域の拡大が燃料破損に先行した)。Fig 6.1-18b, 18b'に、Ch.5の沸騰領域と被覆管破損位置(最初に50%燃料溶融割合に達した位置)の関係を、Case RPとCase EXNRCについて比較して示した。Ch.6について、Fig 6.1-18c, 18c'に示した。SAS3Dでは部分ボイドチャンネルでのFCI現象を取扱えるが、Fig 6.1-18bのようにボイド領域境界

と被覆管破損位置が近接している場合は FCI 発生の有無が単純な判定基準で
^{16, 17)}
 決められており、モデルの限界の一つといえる。

Fig 6.1-19 a) 全反応度の成分の時間変化を示した。Fig 6.1-19 b) トランジエント後半の各チャネルのボイド反応度変化を示した。FCI チャンネル Ch. 6 及び Ch. 8 で急速なボイド反応度上昇がみられる。全反応度は、Ch. 6 及び Ch. 8 の FCI 発生の後、時間 13.771 秒に 1 \$ に達し、超即発臨界出力暴走挙動を示している。この模様を Fig 6.1-20 に示した。SASS3D 計算では、超即発臨界状態は、約 4.9 ms 持続し、fuel dispersal により全反応度が低下し始めるまでの全反応度時間変化率は、時間平均で約 40 \$ / sec となっている。従って、全反応度が 1 \$ を越して以降の出力暴走挙動は炉心崩壊フェーズへ計算を接続し、VENUS-PM2 で評価する必要がある。

なお、SASS3D によるトランジエント末期はスランピング・チャネルの fuel dispersal で終結している。燃料移動による反応度変化を Fig 6.1-21 a) に示した。Fig 6.1-21 b) Ch. 1 被覆管移動反応度を示した。

起因事故フェーズ末期の炉心状態

Fig 6.1-22 に起因事故フェーズ末期の各チャネルの状態を示した。全反応度が 1 \$ を越した時点で、炉心部の冷却材平均ボイド率は 29 %、燃料溶融割合は 40 % に達している。VENUS-PM2 の接続時点における炉心状態の詳細については後述する。

以下の各ケースは、Case RP を基準としたパラメータ解析ケースである。これらのケースについては、基準ケース (RP) と比較する形で記述する。

(4) Case ID: LF.REAC.FPSLP(C2321) 「FPガスによる fuel dispersal を考慮したケース」

過渡出力・反応度変化

Case RP に対して、本ケースでは、スランピング開始と同時に燃料ペレット内残留 FPガス（理想気体として扱う）による fuel dispersal の発生を考慮した。事象シーケンスを Table 6.1-7 に示したが、最初の燃料スランピング発生まで (13.7519 秒まで) は、Case RP と全く同じ事象展開となっている。Fig 6.1-23 に炉出力と全反応度の時間変化を示した。Fig 6.1-24 に、ト

ランジェント後半の全反応度及びその成分の時間変化を示した。最初のスランピング発生以降、燃料移動に起因する反応度は常に負側に増大している。燃料移動による反応度を各チャンネルごとに示すと、Fig 6.1-25のようになっている。Ch. 6, 8, 11, 14 以外は全てスランピング開始後の fuel dispersal に起因する反応度変化である。Ch. 6, 8, 11, 14 は、いずれも FCI 発生チャンネルであり、各々の燃料移動反応度は、最初、燃料ピンキャビティー内の移動（破損口への集中）は正反応度効果として現われ、次に、破損口から流出して FCI にともない fuel sweepout を起こし、負反応度効果を示している。最初のスランピング発生以降その負反応度により、全反応度が 1 \$ 以下に抑えられているため、出力上昇も抑えられ、各チャンネルの FCI 発生タイミングは互に間を置いた、非同時性が顕著なものとなっている。

本ケースを Case RP と比較すると、以下の顕著な違いが指摘できる。

- (i) 本ケースでは fuel dispersal による負反応度挿入が、FCI 発生以前に始まっている。Case RP では、FP ガスによる fuel dispersal 効果を無視したために、FCI が先行し、それに伴う出力上昇によって燃料蒸気による fuel dispersal が引き起こされている。
- (ii) ポイド反応度が大きい Ch. 6 及び Ch. 8 の FCI 発生の相互の時間遅れは、Case RP では 2.5 ms (Ch. 6 先行) なのにに対して、Case FP SLP では 13 ms (Ch. 6 先行) であり、本ケースの場合の方が非同時性が強い (Fig 6.1-26a)
- (iii) 本ケースでは、出力トランジェント終了時点までに Ch. 12 及び Ch. 13 に FCI 発生がみられない。

上記の (ii) 及び (iii) は、いずれも (i) に挙げた fuel dispersal 挙動の違いに起用しており、これらの差異の結果、Case RP では炉心崩壊に至る出力暴走となり、Case FP SLP では起因事故フェーズでシャット・ダウン状態となり、出力トランジェントは終了している。本ケースでは、全反応度の最大値は 0.969 \$、炉出力最大値は定格出力の 113 倍となっている。なお、Fig 6.1-26b に Ch. 1 被覆管移動反応度を示した。

起因事故フェーズ末期の炉心状態

Fig 6.1-27c、起因事故フェーズ末期の各チャンネルの状態を示す。出力上昇割合が小さかつたために、低出力チャンネル Ch. 12, 13 では、まだ冷却材

沸騰が起きていない。Case RPではCh. 12, 13ではFCI発生があった。

Fig 6.1-28aに各SASチャンネルの終状態の軸方向断面を示した。燃料温度分布をFig 6.1-28bに示した。炉心部平均の燃料溶融割合は40%, ボイド率は61%となっている。核的にはシャットダウン状態になった溶融炉心の、この後の挙動はTransition Phaseの解析により評価する必要がある。なお、Fig 6.1-28bの温度分布をもとに燃料蒸気による等エントロピー膨張仕事量(1 atm)を算出すると、高々2 MJとなる。Fig 6.1-29にこれに対応するP-Vカーブを示した。

(5) Case ID: LF.REAC.NSS.FCI25.CNT(C2320)

-----「FCI開始基準を、25%燃料溶
融割合・軸方向炉心中央とし、fuel
dispersalに際して被覆管の蒸気
圧を無視する。」

(注) * Ch. 7に對してのみ、被覆管破損位置を炉心中央（下部ブランケット底より約85 cmの位置）よりも約7 cm下部に想定した。これは、部分沸騰チャンネルであるCh. 7のBoiling BubbleとFCI Bubbleの合体によりSAS3D計算が続行不能になる事態を避けるためにとった処置である。

過渡出力・反応度変化

本ケースでは、非沸騰チャンネル（又は部分沸騰チャンネル）の燃料ピン破損基準を、25%燃料溶融割合とした。そのため、50%燃料溶融割合破損基準を用いたCase RPに比べて、最初のFCI発生時間が早くなってくる。

Fig 6.1-30aに炉出力と全反応度の過渡変化を示した。事象シーケンスをTable 6.1-8に示した。事象発生のタイミングは、最初のスランピング発生(Ch. 1)まではCase RPと同じである。スランピング開始後は、本ケースでは溶融被覆管の蒸気圧によるfuel dispersal効果を無視しているために、これを考慮したCase RPとは事象発生タイミングが異なってきている。

最初のFCIは、Ch. 7で137607秒に発生している。Case RPではCh. 7は沸騰によるボイドチャンネルとなっているため、FCI発生はなかった。

Case RPでの最初のFCIはCh. 6で137658秒に発生しており、本ケ-

スの場合よりも約5 ms 遅れている。これは、おもにFCI開始基準の違いに起因している。また、本ケースでのCh. 7 FCI発生原因には、FCI開始軸方向位置を炉心中央(～85 cm)近傍まで下げたため、沸騰領域の成長による炉心中央ボイド化までに幾分時間余裕があったこともある。但し、Ch. 7FCI対しては前述したように、FCI開始位置を約78 cmとしたが、FCI発生時間は85 cmとした場合と変わらない。なおCase RPのCh. 6FCIは軸方向927 cm位置で発生している。

Fig 6.1-30b/c全反応度の成分の過渡変化を示した。Ch. 7のFCI開始後Ch. 6, 5, 11, 8, 12, 14, 13の順にFCI発生があり、約65%の燃料集合体でFCI発生ある。Fig 6.1-31a, -31b/c, それぞれボイド反応度及び燃料移動反応度を各チャンネルについて示した。全反応度は約13.767秒に即発臨界反応度(1\$)に達し、炉心崩壊フェーズに移行するが、その際の引金となった反応度はおもにCh. 5, 6, 7のFCIによるボイド反応度である。Fig 6.1-32にトランジエント末期の出力・反応度の過渡変化を示した。同図には、Ch. 7のFCI発生を起こらないものとした場合の結果も比較して示した。Ch. 7FCIの影響が判る。全反応度は最大1.174\$に達し、炉出力は定格出力の11000倍に達しており、Case RPよりも激しい出力暴走となっている。Fig 6.1-32でトランジエント末期の全反応度の低下は主にドップラー反応度によるものである。(Fig 6.1-30b参照)。fuel dispersalは、この時点で開始したばかりの状況にある。

起因事故フェーズ末期の炉心状態

Fig 6.1-33a/c起因事故フェーズ末期の各チャンネルの状態を示した。

全反応度が1\$を越した時点で炉心部の平均ボイド率は28%，燃料溶融割合は30%に達している。VENUS-PM2への接続時点における炉心状態の詳細については後述する。

なお、Fig 6.1-33b/c, 13.772秒におけるSASチャンネルの軸方向断面を示した。全反応度が最大ピーク値を過ぎて降下しつつある時点の状態に対応している。前述した様に、Ch. 7のFCI開始位置は他のFCIチャンネルよりも約7 cm 下に位置している。Ch. 7に対するこの条件設定は、Ch. 7のFCIボイド反応度を過大評価するといえるだろう(炉心中央の場合に比べて)。

(6) Case ID: LF.REAC.LRIP.FCI(C2323)

.....「FCI発生時の燃料ピン破損口大きさを、Case RPの6倍に設定したケース」

本ケース LF.REAC.LRIP.FCI(C2323)（以下では Case LRIP.FCI と略記する）では、FCI時の燃料ピンからの溶融燃料流出破損口を、破損口長さ (Rip Length)を 30 cm とし、破損口面積 (Rip Area)を 0.6 cm²とした。Case RP では、これらをそれぞれ 5 cm 及び 0.1 cm²としているので、本ケースの破損口大きさは単純にその 6 倍の大きさに相当している。

過渡出力・反応度変化

本ケースの Case RP との違いは最初の FCI 発生以降となる。Fig6.1-34 に炉出力と全反応度の過渡変化を示した。事象シーケンスを、Table 6.1-9に示した。

Table 6.1-9の事象シーケンスを Case RP のシーケンス (Table 6.1-6) と比較すると、Case RP の最初の FCI は Ch. 6で、13766 秒に発生している。本ケースでも同時に、Ch. 6 燃料ピンは 50% 燃料溶融に達しているが、FCI 発生はない。その理由は、本ケースでは破損口長さを 30 cm にとったため、SAS/FCI モデルでは初期 FCI ゾーン長さとして、50% 溶融軸方向ノード中央の上・下各々 15 cm の領域を設定する。この軸方向区間に溶融燃料が放出されるが、もしこの区間が沸騰によるスラグ状気泡と部分的にでも重なっていると、SAS/FCI モデルでは FCI 計算を実行しない。Case RP では破損口長さが 5 cm であったため、この重なりは生じなかつたが (Fig 6.1-18c 参照)，本ケースでは破損口長さを 30 cm にとつたため、重なりが生じ、FCI に至るシナリオにはならなかつた訳である。このケースは、SAS/FCI では破損口長さを極端に大きく設定できない事を示す例となつた。本ケースの他の FCI 発生については、この様な問題は生じていない。

Fig 6.1-35に、全反応度の成分の時間変化を示した。本ケースでは FCI による正フィードバック反応度が、おもに燃料移動によるものであることが判る。Fig 6.1-36に燃料移動反応度の各チャンネル別内訳を示した。FCI チャンネルは、Ch. 8, 11, 12, 13 及び 14 である。同図で、FCI 反応度挿入とほぼ

同時に Ch. 1 の fuel dispersal 反応度(負)が現われている。Fig 6.1-37 にトランジエント後半のボイド反応度の各チャンネル別内訳を示した。全反応度は、13.771秒(1 \$)に達し、その後、FCIによる正フィードバック反応度が加わって炉心崩壊に至る超即発臨界出力暴走挙動を示している。SAS3D 計算による超即発臨界持続時間は約 5.3 ms、全反応度上昇中の時間平均反応度変化率は 51 \$/sec となっている。また、全反応度の最大値は 1.20 \$、炉出力最大値は定格値の 17200 倍に及んでいる。但し、本ケースの即発臨界以降の暴走挙動は VENUS-PM2 へ解析を接続して評価する必要がある。

Case RP の FCI 挙動との比較

本ケースの出力暴走の規模は、前述した Case RP 及び EXNRC に比べて、より激しいものとなっている (Table 6.1-3 参照)。この結果は、燃料ビン破損口を RP 及び EXNRC よりも大きな値に設定したことによる。

Fig 6.1-38, 39 に本ケース (LRIP, FCI) と Case RP 及び Case EXNRC の Ch. 8 における FCI 現象を比較した。Fig 6.1-38 は、Ch. 8 燃料ビン溶融キャビティから FCI ゾーンへの溶融燃料流出質量の累積値の時間変化を比較したものである (図で、Solid Fuel Mass は燃料ビン溶融キャビティーから放出される融点温度の固相燃料粒子の質量である)。Case RP との比較より、流出口面積が Case RP の 6 倍となっている本ケースでは、流出量は、FCI 開始後の同時刻で Case RP のほぼ 6 倍となっているのが判る。従って、溶融キャビティー内での燃料の軸方向移動 (流出口への移動) も、本ケースでは Case RP よりも急速に起こることになる。Fig 6.1-39 は、FCI ゾーンの上下境界位置の時間変化を比較したものである。本ケースでは、破損口長さ 30 cm に対応して初期 FCI ゾーン長さは 30 cm である。Case RP では 5 cm である。両ケースとも、破損口の軸方向中心は炉心中央よりも約 11.5 cm 上方に位置している。FCI 発生時の燃料移動反応度は、まず溶融キャビティー内の燃料が破損口長さ区間の冷却材チャンネルに移動 (流出) することにより生じ、次に、FCI ゾーンの拡大とともに流出した燃料が炉心部から運び去られることにより生じる。

前述したように、本ケース (LRIP, FCI) では、FCI による反応度フィードバックの主成分は燃料移動による。一方、Case RP では、FCI ゾーン

の拡大にともなうボイド反応度効果であった。両者のこの差異は、上述した溶融燃料流出挙動及び FCI ゾーンの拡大挙動の差異に起因している。なお、Fig 6.1-39で、FCI ゾーンが軸方向上方へ偏った拡大挙動を示しているのは、このFCI チャンネルでは冷却材沸騰がFCI 発生に先行しており、初期FCI ゾーンの上方には凝縮可能なNa蒸気泡が存在しているためである。Case LRIP.FCI の、FCI ゾーン上部境界移動速度が約5.2msで不連続に減少しているのは、沸騰気泡が圧縮により消滅したためである。この後、上、下境界条件がほぼ同等となるため、上、下境界の移動がほぼ対称に起っている様子がみられる。非沸騰チャンネルのFCI ゾーン拡大挙動の例をFig 6.1-40C示した(Case RP, Ch. 11)。なお、Fig 6.1-38,-39に示したCase EXNRCとCase RPの差異は、前述したペレット内残留FPガス量の違いに起因している。(また、EXNRCでは固相燃料の流出はないオプションがとられている)

上記のFCI挙動の比較より、本ケースの起因事故フェーズがCase RPよりも激しい出力暴走規模で炉心崩壊フェーズに移行している主要因は、FCI チャンネルの燃料ピンからの溶融燃料流出が破損口面積にほぼ比例して増大し、Case RPにおけるよりも大きな燃料移動反応度フィードバックが生じたことである。

起因事故フェーズ末期の炉心状態

Fig 6.1-41C起因事故フェーズ末期の各チャンネルの状態を示した。全反応度が1\$を越した時点で、炉心部の冷却材平均ボイド率は約30%，燃料溶融割合は35%に達している。VENUS-PM2への接続時点における炉心状態の詳細については後述する。

(7) Case ID: LF.REAC.BURST.FCI(C2319)

.....「FCI開始条件に被覆管バースト
破損モデルを使用」

本ケースLF.REAC.BURST.FCI(C2319)(以下ではCase BURST.FCIと略記する)では、FCI開始条件となる被覆管破損を、燃料ピン溶融キャビティ圧力によるバースト破損モデルで記述する。¹⁶⁾ SAS3Dのバースト破損モデルについては報告書(I)の第3章に記述した。また、本ケースで用いた照射被覆管の破損限界応力(周応力で与える)は炉外試験データに基づく温

度依存性データであるが、これについても、報告書(I)の第3章に記述した。

上記の条件による本ケースの計算実行時に、下記の2つの計算モデルないしは数値計算上の困難があった。

- (i) 最初のFCI開始チャンネルCh.6（部分沸騰チャンネル）で沸騰気泡とFCIゾーンの合体が生じ、SAS3Dモデルでは、それ以降の計算が不可能となった。

Ch.6の燃料ビン破損位置は、軸ブランケット底部から約100cmの位置となった(Case RPでは92cm)。この位置はCase RPの場合よりも高く、沸騰気泡下端より近い位置となった。上記の困難を避けるために、FCI開始位置(破損位置)を約10.4cm(1.5ノード分)下げて、89.6cmとした。類似の方法は前述したCase FCI 25(C2320)でも用いており、FCIによる反応度の評価上は保守側の取扱いとなる。

上述の方法により(i)の困難は避けたが、今度は、

- (ii) Ch.8の冷却材流動計算で数値計算上の困難が生じた。このチャンネルも沸騰の先行したFCIチャンネルである。この困難は冷却材液膜運動の計算に関連して生じている。

Ch.8で生じた第2の困難を避けるため、このチャンネルに対しては液膜を静止モデルで記述した(Case RPでは全チャンネルに液膜運動モデルを用いている)。

上述のように、本ケースでは本来RPを基にFCI開始基準のみを変更したパラメータ・ケースを目的としたが、更に上述した条件がRPと異なっている。

過渡出力・反応度変化

Fig 6.1-42に炉出力と全反応度の過渡変化を示した。事象シーケンスを、Table 6.1-10に示した。事象シーケンスは、Ch.8の沸騰開始以降, Case RPと異なってきている(液膜モデルの違いが第1に影響し、次いでFCI条件の違いに起因している)。

最初のFCIはCh.6で、Case RP(Ch.6)よりも幾分早く(~2ms)起きている。Ch.4及びCh.5でも、Ch.6に先行してバースト破損条件が満たされているが、破損口位置が既にボイド化しているため、FCI発生には至ら

ていない。

FCI発生チャンネル及びその発生順序はRPの場合と同じである。Table 6.1-11に、本ケースとRPの各FCI発生チャンネルの、FCI開始時における諸量を比較して示した。Case RPではFCI開始条件を、50%燃料溶融割合到達軸方向ノードとした。Table 6.1-11から、以下の特徴が判る。

- (i) Case BURST. FCIでは、FCI開始時の燃料溶融割合がCase RPに比べて低く、最大のもの(Ch. 6)でも約25%でFCI開始となっている。特に、Ch. 11~14では事故前の定常時の燃料ペレット内残留FPガス量が大きい(燃料温度が低いため)ため、小さな溶融割合で被覆管破損を起こし、FCIに至っている。
- (ii) 被覆管破損軸方向位置は、BURST. FCIの方がRPよりも幾分高い(特にCh. 8)。(但し、Ch. 6については、上述したように、本ケースでの破損予測位置100cmよりも低い位置に設定したもの)。BURST. FCIでは、破損は被覆管周応力が限界を越えた位置で起こり、そのため、溶融キャビティ半径が大きく、また、被覆管温度の高い位置ほど破損し易い。特に部分沸騰チャンネルでは沸騰気泡に近い軸方向位置の被覆管温度が高いため、最大キャビティ半径位置(最大溶融割合位置)よりも高い位置で破損し易い、という事情が上記の差異をもたらしている。

なお、Case BURST. FCIのCh. 13のFCI開始時キャビティ圧力が異常に高いのは、低出力ピンであるために燃料ペレットに中心空孔が生じておらず、従って燃料溶融に伴って高い溶融燃料膨張圧が発生している。

Fig 6.1-43に、全反応度の成分の時間変化を示した。全反応度は1376.9秒に1\$に達し、FCIによる反応度効果により超即発臨界出力暴走となっている。全反応度の時間平均上昇率は約30\$/secとなる。SAS3D計算による超即発臨界持続時間は約6.6msである。Fig 6.1-44, -45に、トライジェント末期のポイド反応度および燃料移動反応度をチャンネル別に示した。Ch. 8及びCh. 12, 14 FCIによるポイド反応度効果が、本ケースの超即発臨界出力暴走の主な駆動力となっている。Fig 6.1-46aに、Ch. 6, 8, 14及び11のFCIによるポイド・パターンを示した。Fig 6.1-46bにトライジェント末期の全反応度と出力の変化を示した。末期の全反応度の急速な低

下は、主に Ch. 1 燃料の Dispersal に起因する負反応度効果によるものである。本ケースは、VENUS-PM2へ接続した解析が必要となるが、SAS3D による炉出力最大値は定格出力の 4590 倍で、Case RP よりも幾分高くなっている。

起因事故フェーズ末期の炉心状態

Fig6.1-47に起因事故フェーズ末期の各チャネルの状態を示した。全反応度が 1 \$ を越した時点で、炉心部の冷却材平均ボイド率は約 29 %、炉心燃料溶融割合は 26 % となっている。

VENUS-PM2への接続点における炉心状態の詳細については後述する。

(8) Case ID: LF.REAC.BURST.FCI.PIN3G(C2324)

.....「Case BURST.FCI で FCI 発生チャネルの燃料ビン破損現象に、破損の時間遅れを考慮して、一燃料集合体内での燃料破損の非同時性を考慮した」

本ケースでは、FCI チャネルの破損燃料ビングループを 3 つに分け、一つの燃料集合体内における燃料破損の非同時性の効果を検討したものである。3 つの破損ビングループの構成は 6.1.1 項に記したように、最初の破損ビングループは全体の 40% の燃料ビン数を占めるものとし、残り 60% の半数は 2ms、半数は 4 ms、いずれも最初の破損発生時刻よりも遅れて破損するものとした。

本ケースでも、BURST.FCI の場合と同様に Ch. 6 で、前述した困難(i)が起っている。そのため、Ch. 6 燃料ビンの破損位置を前ケースと同じ位置に設定した。しかし、前ケースで起きた Ch. 8 での数値計算上の困難は生じなかつたため、前述の(ii)に対してとった液膜モデルの変更は加えてない。計算結果によると、Ch. 8 の FCI 開始時点で、前ケース (C2319) と本ケースの Ch. 8 冷却材ボイド反応度は、1 % 以内で一致しており、約 26 % となっている。

Table 6.1-12 に本ケースの事象シーケンスを示した。Ch. 8 の沸騰開始以後の事象発生時間は、C2319 の場合と差異を示している。Ch. 6 の FCI 発生時間は C2319 の場合よりも 1.8 ms 早い。Ch. 6 の FCI 発生時間を基準として、後続する Ch. 8, 14, 11, 12 及び 13 の FCI 発生時間遅れを、本ケ

-ス及びC2319についてTable6.1-13に示した。但し、同表で本ケース(C2324)の結果は、3つのピングループの内の最初の破損ピングループの値である。同表から、最初の破損ピン発生時間の非同時性の度合は、両ケースで大差はなく、高々0.4 ms程度、本ケースの方が時間遅れが拡がっている。但し、本ケースの第3破損ピングループのFCI開始は、同程度の時間遅れから更に4 ms遅れる。

本ケースもVENUS-PM2へ計算を接続するが、SAS3Dによる結果では、炉出力最大値は定格出力の約4100倍で、前ケース(C2319, 4590倍)よりも幾分低い。なお、本ケースの諸反応度カーブの掲載は省略する。

(9) Case ID: LF.REAC.GAPCON(C2322)

.....「燃料ピンギャップ熱伝達率を714
Btu/hr·ft²·°F一定値に設定した
ケース」

基準ケースRPに対して、ギャップ熱伝達率のみを一定値714 Btu/hr·ft²·°F(0.405 W/cm²·C)に変更した。沸騰開始の各チャンネル間順位はCase RPと同じだが、Ch.1はRPの場合よりも0.127秒早く沸騰し、またFCI発生前の最終沸騰チャンネルCh.8も0.13秒早く沸騰している。Case RPの定常状態のギャップ熱伝達率は、ピーク出力ノード近傍では714 Btu/hr·ft²·°F以上の値を示しているが、その軸方向上・下位置では714 Btu·hr·ft²·°F以下となっている。上記の沸騰開始時間の差異は、一つには、定常状態の燃料温度の差異に起因するが、また、過渡時のギャップ熱伝達率の差異にも起因している。LOF型事故では、過渡時の燃料ペレット・被覆管ギャップ幅は、最初、増加するため、ギャップ熱伝達率は低下する。そのため、ギャップ熱伝達率の過渡変化を考慮した場合、これを定常状態での値に固定した場合よりも過渡時の燃料ピン熱流束が低下するため、冷却材沸騰開始は遅れる。

本ケースでは、最初のFCI発生は13.6555秒に、Ch.6で起る。Ch.6は、FCI開始に0.46秒先行して、炉心・軸プランケット境界近傍で沸騰を開始しており、従って、Ch.6のFCIは部分沸騰チャンネルでのFCIとなる。FCI開始位置は、最初に50%燃料溶融割合に達した軸方向ノ-

ド中央 (~92.6 cm, 炉心中央よりも 7.5 cm 上部) となる。しかし、本ケースの計算をこのまま続行した結果、Ch.6 の FCI ゾーンと沸騰気泡の合体が起こり、SAS3D モデルでは、それ以上の計算続行が不可能となった。この時点で ρ_{net} は 1.067 \$ に達し、更に上昇途上にあった。従って、本ケースは明らかに VENUS フェーズへ移行する。

本ケースの VENUS フェーズでの Energetics 評価のために、Ch.6 の FCI 開始軸方向位置を適当量下げる、計算続行をはかった。(類似の処法は、Case C2320 でも Ch.7IC 対して行った)。

過渡出力・反応度変化

Fig 6.1-48 a) 出力と全反応度の過渡変化を示した。Ch.6 の FCI 開始軸方向位置を 89.2 cm に設定した(最大溶融割合位置より約 3.2 cm 下げた)。他のチャンネルについては、Case RP の場合と同じ取扱いである。事象シーケンスを Table 6.1-14 に示した。トランジエント後半について、反応度成分別の過渡変化を Fig 6.1-48 b) に示した。全反応度は、FCI 発生により、13.660 秒 IC 1 \$ に達し超即発臨界出力暴走に移行している。

Fig 6.1-49 a, 49 b) に、各チャンネルのボイド反応度及び燃料移動反応度の過渡変化(トランジエント後半のみ)を示した。各チャンネルでの発生事象は、被覆管の溶融移動を除くと、Case RP と同じであり、反応度挙動は Case RP に類似している。事象シーケンス表に示したように、Ch.1~Ch.3 では被覆管溶融が起こっているが、最初の沸騰チャンネルである Ch.1 でも被覆管の移動は起きていない、スランピングが先行している。ギャップ熱伝達率を一定としたことに起因している(Case RP では、被覆管内面溶融後は、ギャップ熱伝達率は h_{gap}^{max} の 2 倍に等置される。 h_{gap}^{max} はギャップ熱伝達率の上限設定値で、本解析では 2000 Btu/hr · ft² F とした)。

最初の FCI 発生のあった Ch.6 は沸騰が先行したチャンネルであった。Fig 6.1-50 a) に、Ch.6 の沸騰及び FCI によるボイドパターンを示した。(同図で、下部の図はトランジエント後半の時間軸を拡大したものである)。Case RP についても、Fig 6.1-18 c(前出)に Ch.6 のボイドパターンを示したが、両者を比較すると、Case GAPCON の方が沸騰気泡下端と FCI ゾーン上端の間の冷却材液柱(Liquid Slug)初期長さが約 3.4 cm 短かい。前述したよう

に、Case GAPCONでは、Ch. 6 の FCI 開始ノードを Case RP の場合よりも下げたことを考慮すると、前者の沸騰気泡の成長速度が Case RP よりも大きい事が判る。この差異もギャップ熱伝達率の取扱いの違いに起因している（Case RPの方が、低い過渡時ギャップ熱伝達率を与えていたため）。

Fig 6.1-50b に、Ch. 6 FCI 開始後、約 7.8 ms 時点の各チャンネルの状態を示した。全反応度が最大値 1.101 \$に達する途上の状態に対応している。SAS 3Dによる最大到達出力は定格出力の 4780 倍となつた。全反応度及び出力の最大値は、いずれも、Case RP の場合よりも高い値となっている。この結果は、本ケースの方が Case RP よりも Energeticsが高い事を示しているが、この様な結果となった原因の一つとは、計算上のトラブルを避けるために採った Ch. 6 の FCI 条件の取扱いもあることに注意したい。Fig 6.1-51a に、本ケースを含め、Ch. 6 の FCI 開始軸方向位置をパラメータとした 3つの場合について、 ρ_{net} が 1 \$に達して以降の反応度変化を比較して示した。この結果から、Ch. 6 の FCI 開始位置（被覆管破損位置）を下げた場合ほど出力暴走が激しくなることが判る。前述した様に、Ch. 6 の FCI 開始位置は本来、Case RP とほぼ同じで約 926 cm となる。従って、本ケースの Energetics が Case RP よりも高くなつた理由の一つは、Ch. 6 の FCI 条件の差異にあることに注意する。

起因事故フェーズ末期の炉心状態

Fig 6.1-51b に、起因事故フェーズ末期の各チャンネルの状態を示した。全反応度が 1 \$を起した時点で、炉心部の冷却材平均ボイド率は 29 %、炉心燃料溶融割合は約 40 %である。VENUS-PM 2 への接続時点における炉心状態の詳細については、6.2 節に記述する。

6.1.3 炉心崩壊フェーズの解析

VENUS-PM2による炉心崩壊フェーズの解析は、前述したようにSAS3Dによる起因事故フェーズの解析ケースの中で、VENUS-PM2への接続条件が満たされたケースについて実施した。第3章に記したように、SAS3DからVENUS-PM2へ計算を接続する際に、SAS3Dの（擬似）3次元炉心モデルからVENUS-PM2のR-Z 2次元炉心モデルへ移る必要がある。Fig. 6.1-52に、一例としてCase EXNRCの起因事故フェーズ解析で得られた各チャンネルの終状態を示した。接続時点で、図のように温度・ボイド状態の異なるSASチャンネルからなる炉心をR-Z炉心にモデル化する場合、そのモデル化の仕方によって炉心崩壊フェーズでの核的放出エネルギー計算値に差異を生じることが予想される。そのため、各ケースのVENUS-PM2計算に先立って、放出エネルギー計算値の炉心リング構成依存性を、Case EXNRCについて検討し、放出エネルギーが最大となるリング構成を採用した。ただし、第3章に記したように、リング構成に際して以下の原則を設けた。

- (i) 異なるSASチャンネルを混合せず、各々のチャンネルを異なるリングに配置する。
- (ii) 各集合体列ごとにリング境界をとり、さらに、その各リングごとにサブリングを設け、これらのサブリングにSASチャンネルを配置する。
- (iii) 制御棒集合体を、それと同一集合体列に属する最低出力のSASチャンネルで置換する。

放出エネルギー計算値のリング構成依存性については6.1.5項に記述した。EOEC炉心では、リング構成の変更に伴う燃料蒸気の1 atmまでの等エントロピー膨張仕事量（有効仕事量）の最大と最小は高々10%の違いに収まっている。Table 6.1-15に、以下のVENUS-PM2計算で用いたリング構成を示した（ただし、Case LRIP・FCIでは、第2集合体列のサブリング構成を変更した）。以下の各項では、各ケースのVENUS-PM2計算結果について記述する。

(1) Case ID: REAC. EXNRC (C2318)

SAS3Dによる起因事故フェーズの解析結果から、全反応度が即発臨界に近接して以降の反応度の時間変化をFig. 6.1-53に示した。図で、(Net-

Doppler) Reactivity として示した反応度は、SAS3Dで計算された全ての反応度効果からドップラー反応度成分を除いた量であり、これが炉心崩壊フェーズの出力暴走駆動反応度となる。以下では、これを外部挿入反応度と呼ぶ。

Fig. 6.1-53 で横軸の時間は、便宜的に、LOF起因事故発生後13.5631秒の時点を時間の原点にとって示した。このケースについては、VENUS-PM2への接続点を図中に矢印で示した3つの時間点にとった場合を検討した。これらの3つの場合を、各々の接続点のSAS3D Time Step の番号 (SAS3D Stp # と略記する) で区別する。なお、以下の各ケースの結果を示す図で、計算機プロッター出力によるものについては、Case IDは、図のグラフ枠の左上にプリントされている。

(i) 初期条件

SAS3D から VENUS-PM2 への接続時点における炉心燃料温度分布および冷却材ボイド分布を、3つの接続点の場合について Fig. 6.1-54a, 54b, 54c および Fig. 6.1-55a, 55b, 55c に示した。Stp 535, Stp 540 は、Fig. 6.1-53 に示したように、Stp 530 に対してそれぞれ 1.9 ms および 3.1 ms の時間遅れをもつた接続点である。Fig. 6.1-54a, 54b, 54c の比較から、これらの時間遅れに対応して燃料温度の上昇および溶融燃料質量の増加がみられる。これらは起因事故フェーズの計算結果から得られたものである。接続点での炉心燃料溶融割合は 27%~48%，ボイド率は約 30% である。

各接続点ケースの外部挿入反応度は、Fig. 6.1-53 に示した外部挿入反応度曲線 ($\rho_{in} = \rho_{net} - \rho_{Doppler}$) にそって、接続点における ρ_{in} からの増分が時間テーブルの形で入力される。また、接続点における全反応度 ρ_{net} も接続条件として入力される。Stp 530 のケースの入力データを Table 6.1-25 (後出) に示した。

(ii) 過渡計算結果

Fig. 6.1-56a, 56b/c, 接続後の反応度および出力の過渡変化を示した。炉出力は接続点に依存した変化を示している。その結果、VENUS-PM2 による放出エネルギー計算値は幾分、接続点依存性を示す。第3章に記した

ように、VENUS-PM2への接続は fuel dispersal 反応度が顕著になる時点より十分に早い時点にとっているため、放出エネルギーは、本来、接続点に依存しないことを予想した。しかし、S A S 3 D モデルと VENUS-PM2 モデルの違いに起因して、ある程度の接続点依存性は避けられない。

Fig. 6.1-57a～57c に各接続点ケースの VENUS フェーズ最終炉心燃料温度分布を示した。Table 6.1-16a に放出エネルギーの計算結果を示した。同表には、VENUS フェーズでのドップラー係数をパラメータとした場合の結果も示した。ドップラー係数のパラメータ範囲は、核計算不確かさ士 30 %に対応している。Fig. 6.1-58a～58c に、各接続点ケースの、燃料蒸気等エントロピー膨張 P-V カーブを示した。

Table 6.1-16a より、3つの接続点の場合の有効仕事量（ドップラー係数はノミナル値の 0.7 倍としたケースが起因事故フェーズからの直接の接続ケースとなる）は、最大と最小で約 20 % の差異を示している。これらの中で最大のもの（Stp 530）を探ると、Case EXNRC では以下のとおりとなる。

(a) 1 atm までの有効仕事量 356 MJ

(b) カバーガス体積 (Vg) までの等エントロピー膨脹仕事量

$V_g = 27.8 \text{ m}^3$ に対して 110 MJ

$V_g = 70 \text{ m}^3$ に対して 160 MJ

Table 6.1-16b および Fig. 6.1-60 に、Stp 530 の場合について、接続点以降の外部挿入反応度を直線的に挿入した場合の結果を示した。テーブル形式で入力した Fig. 6.1-53 の外部挿入反応度の挿入率は、Stp 530 の場合、接続後、23 \$/sec から 140 \$/sec まで単調に増加している。Fig. 6.1-60 から、テーブル形式で入力した場合と等価な有効仕事量を与える挿入率は、約 95 \$/sec となる。この挿入率は、Fig. 6.1-53 の外部挿入反応度の時間平均挿入率（接続時点からシャットダウンに至るまでの区間の平均で、約 90 \$/sec）にほぼ等しい。

有効仕事量はドップラー係数にも依存する。^{49,50)} Fig. 6.1-59a に示したように、ドップラー係数に核設計ノミナル値を用いると、有効仕事量は 253

MJ に減少する。Fig. 6.1-59b, 59c に、反応度・出力過渡変化のドップラーハイドロゲン依存性を示した。なお、ノミナル値の 0.7 倍のドップラーハイドロゲンを使用したケースでは、接続点 (Step 530) のボイド分布に対して、ドップラーハイドロゲン $T \cdot \frac{dk}{dT}$ は、炉心部のみの寄与では -3.857×10^{-3} となっている。軸方向プランケットも含めると、 -4.393×10^{-3} となる。

(2) Case ID : LF, REAC, RP (C2317)

Fig. 6.1-61 に、SAS3Dによる起因事故フェーズ解析により得られた反応度過渡変化を示した (ρ_{net} が 1 \$ に達して以降)。VENUS フェーズへの外部挿入反応度は、 ρ_{net} が 1 \$ に達して以降は約 80 \$/sec の一定挿入率となっている。VENUS-PMへの接続は、図に示したように、Step 565, 570, 575 の 3 点について実施した。

(i) 初期条件

3 つの接続点における燃料温度分布を Fig. 6.1-62a, 62b, 62c に示した。同じく、ボイド分布を Fig. 6.1-63a, 63b, 63c に示した。これらの接続点初期状態は Case EXNRC とほぼ同じである（互に初期状態のはば一致する接続点ケースがある）。しかし、外部反応度挿入率は、前述したように EXNRC の方が大きい。

(ii) 過渡計算結果

Fig. 6.1-64a, 64b に、反応度および出力の過渡変化を示した。Step 575 のケースは、他に比べてピーク出力が高くなっている。本ケースでも放出エネルギー計算値は接続点依存性を示している。Fig. 6.1-65a, 65b, 65c に VENUS フェーズ末期の炉心燃料温度分布を示した。Table 6.1-17a に放出エネルギーの計算結果を示した。有効仕事量は接続点依存性を示しており、最大と最小で約 20 % の差異がある。これらの中で最大のもの (Step 575) をとると、以下の通りである（P-V カーブは、Fig. 6.1-66a ~ 66c に示した。）

(a) 1 atm までの有効仕事量 232 MJ

(b) カバーガス (V_g) までの膨脹仕事量

$V_g = 27.8 \text{ m}^3$ に対して 61 MJ

$V_g = 70 \text{ m}^3$ に対して 102 MJ

Table 6.1-17 b に, Stp 575 の場合について, 有効仕事量の外部反応度挿入率依存性を示した。Fig. 6.1-67 に, その結果を図示した。前述したように, Case RP の外部挿入反応度 (Fig. 6.1-61) は, ほぼ直線的に変化しており, 従って, これと等価な有効仕事量を与える反応度挿入率は約 80 \$/sec となっている。Fig. 6.1-67 の結果は, Case EXNRC の対応する Fig. 6.1-60 とは異なる傾向を示している。これは, 両者の接続点における炉心状態(燃料温度)が大きく異なっていることに起因している。すなわち, Case RP (Stp 575) では接続時の炉心溶融割合は 50 % であるのに対し, Case EXNRC (Stp 530) では, 27 % である。両ケースの反応度挿入率依存性の差異は, この燃料溶融割合の差異に起因してドップラー反応度効果の過渡変化に違いが生じることに起因しており, 良く知られたパラメータ依存性の一つである。

(3) Case ID : LF. REAC. NSS. FCI 25. CNT (C2320)

Fig. 6.1-68 に起因事故フェーズ解析より得られた反応度過渡変化を示した。外部挿入反応度は, 接続点で約 60 \$/sec, その後 200 \$/sec まで単調に増加する挿入率を示している。

(i) 初期条件

接続点を 13768 秒 (Stp 560) にとった。この時点の炉出力は定格出力の 522 倍, ρ_{net} は 1.030 \$ である (後出の Table 6.1-18 参照)。これらの値は Case RP の Stp 570 の場合に近い。しかし, 炉心溶融割合は本ケースでは約 30 % であるのに対して, Case RP (Stp 570) では, 37.8 % に達していた。本ケースでは FCI 開始基準を 25 % 燃料溶融割合としたため, ρ_{net} は Case RP よりも約 4 ms 早く 1 \$ に達しており, この時間差分だけ炉心溶融割合が低くなっている。Fig. 6.1-69 a, 69 b に接続時の燃料温度分布およびボイド率分布を示した。平均ボイド率は 28.3 % で, Case RP と, ほぼ等しい。

(ii) 過渡計算結果

Fig. 6.1-70 a, 70 b に反応度および出力の過渡変化を示した。最終燃料温度分布を Fig. 6.1-71 に示す。有効仕事量の計算結果を Table 6.1-18 c, P-V カーブを Fig. 6.1-72 に示した。有効仕事量は以下の通りである。

(a) 1 atm までの有効仕事量 676 MJ

(b) カバーガス体積 (V_g) までの膨脹仕事量

$V_g = 27.8 \text{ m}^3$ に対して 205 MJ

$V_g = 70 \text{ m}^3$ に対して 295 MJ

Fig. 6.1-73 に、有効仕事量の外部反応度挿入率依存性を示した。上記の有効仕事量を与える等価反応度挿入率は約 160 \$/sec となる。また、同図で有効仕事量の増加率（反応度挿入率に対する）は、Case RP (Stp 575) の場合よりも大きく、Case EXNRC (Stp 530) の場合にほぼ等しい。これらの関係は前述したように接続時点の炉心温度分布に関係しており、接続時の炉心溶融割合が互いに近接している本ケースと EXNRC (Stp 530) で、ほぼ等しい増加率を示している。ただし、これらの両ケースでは初期出力に差異があるため同一挿入率に対する仕事量は異なっている（初期出力の低い EXNRC の方が大きい仕事量を示している）。

本ケースでは、一つの接続点ケースについてのみ検討したが、有効仕事量の接続点依存性は他の場合と同程度と考えられる。

(4) Case ID : LF, REAC, LRIP, FCI (C2323)

Fig. 6.1-74 に起因事故フェーズ解析より得られた反応度過渡変化を示す。本ケースでは 3 つの接続点ケースについて計算した。外部挿入反応度は最初の接続点で約 40 \$/sec、その後、400 \$/sec まで単調に増加する挿入率を示している。

(i) 初期条件

ρ_{net} が 1 \$に達した時点の炉心状態は、Case RP と、ほぼ同じである。

Fig. 6.1-75a, 75b, 75c に各接続点ケースの炉心燃料温度分布を、また、

Fig. 6.1-76a, 76b, 76c にボイド率分布を示した。ただし、本ケースでは炉心の VENUS リングに対する SAS チャンネル配列を他のケースとは異なり、Fig. 6.1-75a に示した配列にとった。他のケースの配列 (Fig. 6.1-54a 参照)との違いは、第 2 ~ 第 4 VENUS リングを構成する SAS チャンネルのみである。このケースでは、この配列の場合の方が、Fig. 6.1-54a の配列の場合よりも約 6 % 大きな有効仕事量を与える。

(ii) 過渡計算結果

Fig. 6.1-77a, 77b に反応度および出力の過渡変化を示した。最終燃料温度分布を Fig. 6.1-78a, 78b, 78c に示した。各接続点ケースの放出エネルギー計算結果を Table 6.1-19a に示した。Fig. 6.1-79a, 79b, 79c に P-V カーブを示した。有効仕事量の最大値は以下の通りである。

(a) 1 atm までの有効仕事量 992 MJ

(b) カバーガス体積 (Vg) までの膨脹仕事量

$V_g = 27.8 \text{ m}^3$ に対して 305 MJ

$V_g = 70 \text{ m}^3$ に対して 434 MJ

有効仕事量のドップラー係数依存性を Fig. 6.1-80a (および Table 6.1-19a) に示した。Fig. 6.1-80b, 80c に、反応度・出力過渡変化のドップラー係数依存性を示した。VENUSフェーズのドップラー係数にノミナル値を用いると、有効仕事量は約 17 % 低下し、約 830 MJ となる。

有効仕事量の外部反応度挿入率依存性を Fig. 6.1-81 (および Table 6.1-19b) に示した。上記の有効仕事量を与える等価な反応度挿入率は約 190 \$/sec となる。本ケースは、EOEC 炉心の解析ケースの中では最大の有効仕事量を与えたケースとなっている。

(5) Case ID : LF, REAC, BURST, FCI (C2319)

Fig. 6.1-82 に起因事故フェーズ解析より得られた反応度過渡変化を示す。接続点 (13769 秒, Stp 555) での外部反応度挿入率は約 30 \$/sec であり、その後、約 100 \$/sec まで、ほぼ単調に増加している (図には次項の Case C2324 を併記した)。

(i) 初期条件

接続点での炉心燃料温度分布およびボイド率分布を、Fig. 6.1-83a, 83b に示す。起因事故フェーズの項に記したように、本ケースでは FCI 開始基準の違いに起因して、Case RP に比べて最初の FCI 発生時間は 2 ms 早くなり、それに伴って出力暴走に入る時間 ($\rho_{net} \geq 1 \$$) も多少早くなり、Case RP に比べて炉心溶融割合がかなり低い状態 (25 %) で VENUS フェーズへ接続されている。

(ii) 過渡計算結果

Fig. 6.1-84, 85 に反応度および出力の過渡変化を示した。最終燃料温度分布を Fig. 6.1-86 に示した。等エントロピー膨脹 P-V カーブを Fig. 6.1-87 に示した。放出エネルギー計算結果を Table 6.1-20a に示した。同表には、放出エネルギーのドップラー係数依存性および後述する Case C2324 の結果も示した。本ケースの有効仕事量は以下のとおりである。

(a) 1 atm までの有効仕事量 275 MJ

(b) カバーガス体積 (Vg) までの膨脹仕事量

$V_g = 27.8 \text{ m}^3$ に対して 85 MJ

$V_g = 70 \text{ m}^3$ に対して 128 MJ

有効仕事量のドップラー係数依存性を Fig. 6.1-88 に示した。ドップラー係数にノミナル値を用いると、有効仕事量は約 37 % 減少して、172 MJ となる。Fig. 6.1-89 に有効仕事量の外部反応度挿入率依存性を示した。本ケースの等価外部反応度挿入率は約 85 \$/sec となる。

(6) Case ID : LF. REAC. BURST. FCI. PIN3G (C2324)

本ケースは、前項の Case C2319 をベースに、これに燃料集合体内の燃料ピン破損の非同時性を考慮したケースである。

起因事故解析で得られた反応度過渡変化については、Fig. 6.1-82 に Case C2319 と比較して示した。SAS3D による解析結果 (Table 6.1-3) では、炉出力最大値は本ケースの方が幾分低くなっていた。Fig. 6.1-82 に示した外部挿入反応度曲線を入力とした VENUS-PM2 による接続計算でも、本ケースの方が放出エネルギーは低く、Table 6.1-20a に Case C2319 と比較して示した。有効仕事量は 204 MJ となる。本ケースの等価外部反応度挿入率は、Fig. 6.1-89 から推定すると、約 72 \$/sec となる。

(7) Case ID : LF. REAC. GAPCON. C2322

Fig. 6.1-90 に起因事故フェーズ解析より得られた反応度過渡変化を示す。同図には、比較のために Case RP (C2317) の反応度変化も示した。本ケースでは、Case RP をベースに、そのギャップ熱伝達率を $0.405 \text{ W/cm}^2 \cdot \text{C}$ ($714 \text{ Btu/hr} \cdot \text{ft}^2 \cdot \text{F}$) に固定した他に、Ch. 6 の被覆管破損軸方向位置を、Case RP の場合よりも約 2.8 cm 下げて 8.9.2 cm とした。したがって、両者の

差異の一部は Ch. 6 での FCI 開始ノードの違いにも起因している（前出の Fig. 6.1-51a 参照）。本ケースでは、Stp 545 ($t = 13.661$ 秒) と、これの 1.2 ms 遅れの Stp 550 の 2 接続点ケースについて VENUS-PM2 計算を実施した。外部挿入反応度は接続以降 50 \$/sec から 110 \$/sec の挿入率まで単調に増加している。

(i) 初期条件

2 つの接続点ケースの、燃料温度分布を Fig. 6.1-91a, 91b に、また、ボイド率分布を Fig. 6.1-92a, 92b に示した。

(ii) 過渡計算結果

Fig. 6.1-93a, 93b に反応度および出力の過渡変化を示した。最終燃料温度分布を Fig. 6.1-94a, 94b に示した。放出エネルギーの計算結果を Table 6.1-21 に示した。Fig. 6.1-95a, 95b が、各接続点ケースの P-V カーブである。本ケースの有効仕事量は以下のとおりである。

(a) 1 atm までの有効仕事量 263 MJ

(b) カバーガス体積 (Vg) までの膨脹仕事量

$V_g = 27.8 \text{ m}^3$ に対して 74 MJ

$V_g = 70 \text{ m}^3$ に対して 111 MJ

Fig. 6.1-96 (および Table 6.1-21) に、有効仕事量の外部反応度挿入率依存性を示した。等価反応度挿入率は約 98 \$/sec となる。

以上に記述した、起因事故フェーズから超即発臨界出力暴走により炉心崩壊フェーズに移行した 7 つのケースの、出力暴走放出エネルギーの結果を Table 6.1-22 に要約した。各ケースとも、SAS3D からの直接の接続ケースに対応し、更に、幾つかの接続点の場合について検討したケースについては、それらのうち最大の有効仕事量を与えたケースを示した。各ケースとも、外部挿入反応度は、SAS3D による結果を時間テーブルの形で入力されており、同表に示した反応度挿入率は、時間テーブルで入力した場合と等しい有効仕事量を与える等価反応度挿入率である。

Fig. 6.1-97 に、各ケースの有効仕事量を、等価反応度挿入率を横軸にとって示した。各点が一本の滑らかな線上に乗らないのは、各ケースの SAS3D から

VENUS-PM2への接続点における炉心状態が幾分異なっているためである（Table 6.1.2.2 参照）。しかし、Fig. 6.1-97 の結果は、各ケースの Energetics が等価反応度挿入率で特徴づけられることを示している。前述したように、等価反応度挿入率は、外部挿入反応度の時間平均挿入率に近似的に等しいため、Fig. 6.1-97 は、EOEC 炉心の LOF 事故時の Energetics を、反応度挿入率をパラメータとして推定する際に利用できる。

6.1.4 結論

平衡末期炉心（EOEC）の、外部電源喪失に起因する炉心流量減少事故（LOF）を、スクラム系不作動の仮定のもとで解析した。解析では、冷却材ボイド反応度係数およびドップラー反応度係数に、核計算不確かさを最大保守側に見込んだ値を使用した。すなわち、ボイド係数については、±50%の不確かさに対応してノミナル値の正値を1.5倍、負値を0.5倍した値を用いた。また、ドップラー係数については、±30%の不確かさに対応してノミナル値の0.7倍の値を用いた。

起因事故フェーズの解析条件を基本的な3つの場合に分け、これらを Case REAC. BE, REAC. EXNRC, REAC. RPとした（以下では、単に BE, 等と記する）。これらの各ケースの主要な解析条件は Table 6.1-3 に示されている。更に、Case RP を基準として、燃料スランピングまたは FCI モデルに係る解析条件をパラメータとした場合およびギャップ熱伝達率モデルを変えた場合を設定し、基準ケースからの変化を調べた。解析した全ケースについて、起因事故フェーズまたは炉心崩壊フェーズで炉心が核的に終息した時点における溶融炉心状態および、大気圧での沸点（3761°K）を越える高温燃料の等エントロピー膨脹による仕事量の計算結果を Table 6.1-23 にまとめた。各ケースの Energetics を決定した主要なパラメータと、各ケース間の関係を Fig. 6.1-98 に示した。以下、これらの図・表にそって解析結果の要約と結論を記述する。

(1) 基本3ケースの要約

(i) Case REAC. BE. C2316

このケースの事故シナリオは、まず燃料の軸方向膨脹による、ドップラー反応度効果とほぼ同じ大きさの、負反応度効果によって大きな影響を受けている。高出力又は高い P/F（出力/流量）比をもつチャンネルから順次、冷却材沸騰が起こり正のボイド反応度挿入はあるが、ドップラー反応度およ

び燃料軸方向膨脹反応度により一部は相殺されつつ全反応度は即発臨界値 1 \$に近接する。

最初の燃料スランピング (Ch. 1) 発生時点で、全反応度は 0.952 \$に達しており、出力も急速に上昇しつつある。スランピング発生後、本ケースを特徴づけるもう一つの要因が全反応度の上昇を抑える。すなわち、スランピング開始後、間もなくスランピング領域の FP ガス圧により燃料分散が起こり、全反応度は急速に 0.4 \$以下まで低下する。上述した出力上昇途上、多くのチャンネルで燃料溶融割合は 50 %を超えるが、冷却材流路はすでにボイド状態になっているため、FCI の発生はなく、これらのチャンネルは全てスランピングを開始し、負反応度効果をもたらしている。

燃料分散が顕著になって以降の炉出力過渡変化は Transition Phase の様相を呈している。ほとんどの炉心燃料は炉心内に止まっており、炉出力も定格出力の数倍の値を上・下している。SAS3D 計算を打切った時点（事故発生後 15.7 秒）で溶融炉心は、まだ広範囲の炉心分散を起こすまでに十分なエネルギーを蓄えてない。

以上のように、本ケースでは、LOF 型事故時には期待し得る燃料軸方向膨脹による負反応度効果が出力トランジエントを緩まなものとし、また、スランピング・チャンネルの FP ガス圧効果が比較的低い燃料温度状態で燃料分散による負反応度挿入をもたらし、炉出力の上昇を低く抑えている。これらの 2 つの負反応度効果を否定すると、以下の Case EXNRC およびその他のケースに見られるように、事故シナリオは起因事故フェーズから直接、炉心崩壊フェーズに至る Energetic CDA のシナリオに変る。

(ii) Case REAC. EXNRC. C2318 および REAC. RP. C2317

これらの 2 つのケースは、Case BE に対して、Fig. 6.1-98 に示したように、上述した燃料軸方向膨脹反応度効果および、FP ガスによる燃料分散効果を否定した点が主要な特徴である。これらの 2 つの負反応度要因の否定により、いずれのケースも超即発臨界出力暴走による炉心崩壊フェーズに移行する。

出力暴走を駆動する反応度挿入は、中出力の部分沸騰チャンネル (Ch. 5, 6, 8) での FCI 発生に起因するボイド反応度および燃料移動反応度に

よるものである。初期の FCI 発生チャンネルとなつた、これらの部分沸騰チャンネルは、EOEC 壴心では大きな正ボイド反応度価値を持っており、これらのチャンネルでの FCI 発生は事故シナリオを決定する重要な事象となつてゐる。

EOEC 壴心での Case EXNRC と Case RP の Energetics の差異は、Fig. 6.1-98 に示したように、2つの要因によるものである。すなわち、沸騰チャンネルの残留液膜の運動モデルを採用した Case RP では、この液膜を静止モデルで扱つた Case EXNRC に比べて、沸騰気泡の下部にある冷却材液柱の上昇（壴心部への Penetration）が顕著で、これに伴ない沸騰による正ボイド反応度の投入が Case EXNRC に比べて幾分緩まんなものとなつてゐる。Fig. 6.1-98 に示したように、Case EXNRC の FCI 発生燃料集合体数が Case RP よりも 18 集合体多くなつてゐるのは、Ch. 5 (18 集合体) での FCI 発生の有無に起因しており、ボイド反応度投入が早かつた EXNRC では部分沸騰チャンネル Ch. 5 で FCI が起つてゐる。更に、EXNRC では燃料の組織変化領域に残留している FP ガス量（未組織変化領域での残留密度の 5 % を残留させている。ただし、事故発生前の定常状態の残留密度である）が、Case RP に比べて 10 倍弱の大きさとなつてゐる（RP では 100 % 放出とした）。その結果、FCI 発生に際して溶融燃料を冷却材流路へ放出させる駆動力となる溶融キャビティー圧力は、同一の FCI チャンネルでは、EXNRC の方が高くなり、したがつて、FCI ゾーンのボイド成長速度も大きくなる。これらの差異が、即発臨界以上での反応度挿入率の差異をもたらし、EXNRC の Energetics を RP のそれよりも高いものにしている。

以上の 3 つの基本ケースの結果は、出力および全反応度の到達最大値が、報告書(I)のノミナル反応度係数を使用した場合よりも高くなつておらず、また、Case EXNRC および RP では、保守側反応度係数を想定した結果、起因事故フェーズから直接、壴心崩壊フェーズへ移行する事故シナリオへと変化している。

(2) パラメータ解析ケースの要約(i) Case REAC.GAPCON. C2322

このケースを除く、他の全てのケースでは、燃料ペレットと被覆管の間のギャップ熱伝達率を過渡時のギャップ幅に依存したモデルで計算した。定常状態の燃料最高温度は、 $0.405 \text{ W/cm}^2 \cdot ^\circ\text{C}$ ($714 \text{ Btu/hr} \cdot \text{ft}^2 \cdot ^\circ\text{F}$) の一定ギャップ熱伝達率を用いた本ケースと基準ケース RPとの間で大きな差異は生じていない。

L OF型事故では、事故発生後、冷却材温度の上昇が急速に起こるため、燃料ペレット／被覆管ギャップ幅が増大し、Case RPではギャップ熱伝達率が、最初、単調に減少する。そのため、RPでは、一定ギャップ熱伝達率を想定した本ケースに比べて被覆管表面熱流束が減少し、沸騰開始時間が幾分遅れている。その結果、本ケースの方がボイド反応度投入が早く起り、燃料スランピングおよびFCI開始も早くなっている。ボイド反応度投入が顕著になると、出力の過渡挙動はTOP型となるが、このフェーズに入ると未沸騰または部分沸騰チャンネルの燃料ビンでは、ギャップ幅の減少（燃料ペレットの急速な熱膨脹による）に伴うギャップ熱伝達率の増大がみられる（Case RPの場合）。FCIチャンネルとなる、これらのチャンネルのギャップ熱伝達率の増大は、しかしながら、高々 10 ms の短い時間内の出力暴走挙動に大きな影響を与えてはいない（例えば、RPのFCIチャンネル燃料ペレットの温度上昇速度がGAPCONの場合に比べて遅い、という傾向はみられない）。FCI発生チャンネル数はRPと同じである。

上述したように、Case RPのギャップ熱伝達率は、過渡時の変化と、更に軸方向位置依存性をもって変化するため、Case GAPCONとの差異を定量的に分析するのは困難である。Fig.6.1-98に示したように、両者のEnergeticsの差異は小さい。なお、本ケースで低い一定ギャップ熱伝達率を想定したためにCase RPと明確な違いを生じた点は、最初の沸騰チャンネル（Ch. 1）の被覆管溶融が小規模に止まり、その移動までに至っていない、したがって、これに伴う正反応度挿入が起きていないことである。

(ii) Case REAC.FPSLP. C2321

F Pガスによる燃料分散効果が全反応度の上昇を抑え、出力トランジェン

トを穏やかなものにしている。しかし、Case BE と異なり、70の燃料集合体でFCI発生がある。この差異は、燃料軸方向膨脹反応度効果の有無に起因している。本ケースでは、事故は起因事故フェーズからTransition Phase に移行しているが、炉心部の冷却材ボイド率はCase BE に比べて低い状態で移行している。

(III) Case REAC. FCI 25. C2320

FCI開始の燃料溶融割合をRPの場合の1/2(25%)に設定し、更に炉心軸方向中央でのFCI開始を想定した。本ケースでは、FCI開始が早くなつたために、RPではスランピングチャンネルとなつたCh. 7およびCh. 5でもFCI発生がある。これらのチャンネルは部分沸騰チャンネルとなつてゐるが、ボイド反応度の大きなチャンネルである。また、FCI開始軸方向位置を、ボイドおよび燃料反応度価値がほぼ最大となる炉心中央に設定したため、FCIに伴う燃料移動およびボイド反応度挿入量が、RPよりも大きくなり、有効仕事量はRPの約3倍に及んでいる。

低い溶融割合でのFCI開始を想定した本ケースではCase RPに比べて、同一のFCIチャンネルでのFCIゾーン成長速度は遅いものとなり、ボイド反応度挿入率の個々のチャンネルの寄与は小さいが、FCI発生集合体数の増大に伴つて、全体としてはCase RPの2倍の外部反応度挿入率(等価挿入率比較で)をもたらしている。なお、SAS/FCIの簡単な燃料ピン溶融キャビティーモデルを念頭におくと、低い溶融割合でのFCI計算では溶融燃料がキャビティーから冷却材流路へ流出する挙動を評価する上で限界がある(流出レートを過大評価する)ことに注意したい。

(IV) Case REAC. BURST. FCI. C2319 及び REAC. BURST. FCI.

PIN3G. C2324

溶融キャビティー圧による被覆管のバースト破損をFCI開始条件にとつた、これらのケースでは、FCI開始時の燃料溶融割合は、チャンネルの燃焼度と出力に依存しており、最大のもので25%，最小のものでは数パーセントとなっている。後者は、所謂、Gassy Pin(燃料ペレット内に残留FPガス量の多い、低出力燃料ピン)である。FCI発生時間はCase RPよりも早くなつてはいるが、FCI発生チャンネルの内訳と、発生順序は

R Pと同じである。FCI発生の早期化は、相対的に沸騰気泡による冷却材のボイド化の初期段階で、炉心軸方向中央近傍からFCIによるボイド化に導くため、大きな正ボイド反応度挿入のポテンシャルを増す。Case FCI25 (C2320)がその例であった。しかし、本ケースで用いたバースト破損モデルによるとFCIチャンネルの燃料ピン破損位置は被覆管温度の軸方向分布に強く依存し、特に、ボイドワースの大きな部分沸騰チャンネルの破損はCase RPの場合($\sim 9.2\text{ cm}$)よりも $8\text{ cm} \sim 15\text{ cm}$ 上方で起こっている。そのため、これらのチャンネルでのFCIによる正反応度挿入はRPに比べて低く抑えられる傾向を示している。Case C2319では炉心崩壊フェーズでの等価外部反応度挿入率は、Case RPよりも幾分高く、 $85\$/\text{sec}$ (RPでは $80\$/\text{sec}$)、有効仕事量は、Case EXNRCとCase RPの間の値となっている。

Case C2324では、FCI発生チャンネルの燃料集合体内的燃料ピン破損の非同時性を考慮し、FCIによる反応度挿入率の低減効果を調べた(ただし、C2319を基準とした)。この非同時性の考慮は、等価外部反応度挿入率を、 $85\$/\text{sec}$ (非同時性を無視したC2319の結果)から $72\$/\text{sec}$ へと低下させている。その結果、有効仕事量は 275 MJ から 204 MJ へと低下し、Case RPよりもわずかに低い結果を与えている。類似の非同時性の効果は、EOEC炉心の解析で用いた14個のSASチャンネル数を更に増加させることによっても考慮でき、一般には炉心崩壊フェーズでのEnergytics評価値の低減が期待し得るだろう。

(V) Case REAC.LRIP.FCI.C2323

このケースでは、FCI発生チャンネルの燃料ピンの破損形状に対して非現実的に長いスリット状の形状を想定した。その結果、RPではFCIチャンネルとなったCh.6は、本ケースではスランピング・チャンネルとなっている(破損口が沸騰気泡領域にまで伸びているために、SAS3DではFCI発生は起きないとしている)。それにもかかわらず、本ケースのEnergyticsが最大となったのは、破損口面積をRPの6倍(0.6 cm^2)に設定したことによる。この様な大きな破損口面積を非現実的なものとして否定できる根拠はないが、全てのFCI発生燃料ピンが、この様に大きな破損

口面積を有するとした仮定は、明らかに余りにも保守的な条件設定となつてゐる。

本ケースの条件設定を、より現実的なものとするには、FCIチャンネルの破損ピンをグループ分けし、各グループに対して、経験的に知られている範囲の異なる破損口形状を想定する必要がある。

以上の結果を総合すると、EOEC炉心のLOF事故に対して以下の結論を得る。ただし、保守側反応度係数を想定した場合の結論である。

- (i) 燃料の軸方向膨脹に起因する負反応度効果、および、FPガスによる燃料分散効果は、LOF事故のEnergeticsに大きく影響し、起因事故フェーズでこれらの効果を考慮すると、炉心は高出力燃料集合体の燃料分散により、比較的低いエネルギー放出の後に核的に終息し、Transition Phaseに移行する。移行時の炉心燃料溶融割合は約40%で、ほとんどの燃料は炉心部に残留した状態にある。
- (ii) 上記(i)の2つの負反応度効果を否定すると、事故は、起因事故フェーズから直接、炉心崩壊フェーズへ移行する。炉心崩壊フェーズ移行時の外部反応度挿入率は、起因事故フェーズの種々の解析条件に依存するが、特に、FCI評価に係る条件に強く依存する。

FCI評価条件に、標準的な条件を設定した場合、炉心崩壊フェーズ終了時の高温溶融燃料による等エントロピー膨脹仕事量（1気圧までの膨脹）は約360 MJとなる（Case EXNRC.C2318）。なお、カバーガス体積27.8 m³までの膨脹時の仕事量は、110 MJとなる。

- (iii) FCI評価条件のうち、FCI開始条件を、上記の標準的な条件（50%燃料溶融割合）の場合よりも早期にFCI発生に導くものにとると、ボイド反応度値の高い比較的高出力の燃料集合体でのFCI発生を伴うために、外部反応度挿入率が標準条件の場合よりも大きくなり、等エントロピー膨脹仕事量は極端に高いものとなる。また、同様に、FCI発生燃料ピンからの溶融燃料流出レートを極端に高く評価した場合にも等エントロピー仕事量は非常に高いものとなり得る。
- (iv) FCI発生の非同時性・非一様性を考慮すると、等エントロピー膨脹仕事量

計算値の低減が期待できる。

- (V) 上述した炉心崩壊フェーズ移行ケースの、どの場合についても、放出エネルギー量の保守側評価を目指したため、解析条件の設定に以下の矛盾があることに注意する。

すなわち、FCI評価では、燃料ビンからの溶融燃料流出の駆動力となる燃料ペレット内残留FPガスの効果を考慮したが、他方、スランピング燃料の分散挙動の評価ではFPガス効果を否定した。後者のFPガスの効果については上記(i)に記述した。

6.1.5 準 足

(1) EOEC 炉心入力データ

LOF起因事故解析SAS3D入力データを、Table 6.1-24に示す。入力データは、パラメータ解析基準ケース、LF.REAC.RP.C2317のものである。他の全ケースのSAS3D入力データは、このデータを基に、これを報告書(I)のTable 3.3-1に示したパラメータ表にしたがって変更すれば作成できる。なお、Table 6.1-24で、Page 20以降のBlock 62のデータは、ドップラー係数およびボイド係数の保守側値であり、先行した同データのノミナル値を置換している。

Table 6.1-25に、VENUS-PM2による炉心崩壊フェーズ解析入力データを示す。入力データは、SAS3DのCase LF.REAC.EXNRC.C2318から、VENUS-PM2への接続ケースで、接続ステップ番号は530である。

(2) VENUS-PM2におけるリング配列の選択

炉心崩壊フェーズの解析の項(6.1.3項)に記した様に、VENUS-PM2計算による放出エネルギーは、VENUS R-Z炉心のリングに対するSASチャンネル配列依存性を示している。この配列依存性を、Case LF.REAC.EXNRC.Step 530について検討した。このケースの、SAS3DからVENUS-PM2への接続点におけるSASチャンネルの事象発生状況をFig. 6.1-100に示す。放出エネルギーの、チャンネル配列依存性は、集合体列1, 2のCh.1とCh.10の配列に比較的顕著に依存している。集合体列3及びこれより外側での配列依存性は弱い。そのため、集合体列3より外側のチャンネル配列では、高温(燃料温度)チャンネルを径方向内側へ配列するように固定して、集

合体列1, 2におけるCh. 1とCh. 10の全ての配列ケースについて、放出エネルギーを算出した。Table 6.1-26に、計算結果を示す。A 0～A 7の8通りの配列に対する放出エネルギー計算値は、VENUS-PM2への接続後の放出エネルギーおよび、炉心崩壊後の等エントロピー・膨脹仕事量の両者について示した。なお、これらのエネルギー値は、8通りの配列ケースの放出エネルギー平均値を1.0に規格化した相対値で示した。全放出エネルギーは8通りのチャンネル配列に対して、約±2%の変化を示している。有効仕事量は、同じく、約±6%の変化を示している。この結果を基に、6.1.3項のVENUS-PM2計算では、放出エネルギーが最大となったチャンネル配列A 2を基本配列として選択した。

(3) VENUS-PM2 計算における制御棒領域の取扱い

3章に記した様に、VENUS R-Z炉心モデル構成に際して、各炉心ケースとも、制御棒集合体を同一集合体列（Fig. 6.1-100 参照）の最低出力チャンネル燃料集合体で置換するモデルを採用した。上述した②のチャンネル配列（Table 6.1-26）でも、このモデルを用いており、炉心燃料集合体数は、198体よりも19体多い217体となっている。この仮想燃料集合体の導入に伴って、VENUS-PM2 計算では、以下の補正を行った。

- a. 仮想燃料集合体によるドッブラー係数への寄与を無視する。
- b. 有効仕事量の積分に際して、仮想燃料集合体の寄与を無視する。

しかしながら、上のモデルには放出エネルギーを過小評価する要因が残っている。それは、仮想燃料集合体の変位に伴う負反応度効果を無視していないためである。

仮想燃料集合体による放出エネルギー過小評価の程度の評価は、本報告書執筆時点において、EOEC 炉心ケースについてのみ実施しているため、各炉心のVENUS-PM2 計算では、この評価を含まない場合を基準解析として記述した。そのため、EOEC 炉心ケースでの、この評価は、補足として記述する。

(I) 制御棒リング（CR-Ring）炉心モデル

EOEC 炉心では、Fig. 6.1-1に示したように、微調整制御棒3体が1/6炉心高さ相当分（15.5cm）だけ挿入状態にあり、他の全制御棒は上部ブランケット 1/2 高さ位置まで引抜かれている。ここでは、全制御棒は引

抜状態にあるものとして、これらを各集合体列ごとにリング状にモデル化して、上記評価を行った。

CR-Ring 壴心モデルによるR-Zメッシュ構成をFig. 6.1-101に示した。CR-Ring領域を設けたVENUS壴心の領域構成はFig. 6.1-102となる。CR-Ring領域に対しては以下の仮定を設ける。

- CR-Ring領域は、熱的にも、核的にも無視し得る効果しか持たないものとし、この領域の出力密度および反応度係数（ドップラー係数、物質ワース）を零とする。
- CR-Ring領域の冷却材ボイド率は零とする。

(ii) CR-RingモデルによるVENUS-PM2計算

基本ケース及びパラメータ解析ケースの各々で最大の放出エネルギーを与えた以下の2ケースについて、評価した。

- Case LF. REAC. EXNRC. Stp 530
- Case LF. REAC. LRIP. FCI. Stp 564

Case LF. REAC. EXNRC. Stp 530

Fig. 6.1-103, 104に、接続点での燃料温度分布およびボイド率分布を示した。VENUS-PM2計算は、CR-Ringモデルの他に、CR-Ringに、基準計算の場合と同様に、仮想燃料集合体を配置した場合も検討した。後者のケースは、径方向メッシュ分割および領域構成が基準計算と幾分異なる。

Fig. 6.1-105に、壴出力・放出エネルギー・反応度の過渡変化を、上述した2つのケースおよび基準計算ケースの3つについて比較して示した。

Fig. 6.1-106に、最終壴心燃料温度分布を示した（基準計算ケースについては、前出のFig. 6.1-57a参照）。CR-Ringに仮想燃料集合体を配置したケースの燃料最高温度は基準計算ケースよりも約50°C高い。Fig. 6.1-106の2つのCR-Ringモデル間では、最高温度は約25°C異なり、仮想燃料リング(F/A in CR-Ring)の変位は早期の負反応度（壴心崩壊反応度）効果をもたらし（Fig. 6.1-105）、放出エネルギー過小評価の要因となっている。Table 6.1-27に放出エネルギー計算結果を示した。CR-Ringモデルの有効仕事量は、基準計算(w/o CR-Ringケース)の

値よりも 7.3 % 大きく、 382 MJ となる。なお、 Table 6.1-27 で全放出エネルギー（ VENUS 計算に入つて以降）は CR-Ring モデルの方が小さいが、これは、仮想燃料集合体での発熱の有無に起因しており、燃料集合体当たりのエネルギー密度は、 CR-Ring モデルの場合の方が高くなっている。Table 6.1-27 から、上述の 7.3 % の差異の半分は、メッシュおよび領域構成の変更に起因しており、残り半分（～ 3.2 % ）が仮想燃料集合体の変位反応度に起因したものであることがわかる。

Case LF. REAC. LRIP. FCI. Stp 564

Fig. 6.1-107~Fig. 6.1-109 に、 VENUS 計算結果を示した（ S A S チャンネル配列は Table 6.1-26 の A 0 の場合のものに対応する）。Table 6.1-27 に放出エネルギー計算値を示した。 S A S チャンネル配列を A 0, A 2 の 2 通りの場合を示した。このケースでは、基準計算の有効仕事量（ w/o CR-Ring と表示したケース）は A 0 配列の場合の方が大きい。しかし、 CR-Ring モデルによる有効仕事量は、 A 2 配列の方が大きくなっている。基準計算による有効仕事量 992 MJ は、 CR-Ring モデル（ A 2 配列）によると、 1105 MJ となり、約 11 % 増大する。

制御棒移動反応度効果の検討

EOEC 炉心では、微調整棒のみが 1/6 炉心高さ相当分だけ挿入状態にあり、これが炉心崩壊に際して周辺の燃料セルの移動に伴つて移動した場合は、何らかの反応度効果が予想される。しかし、 Fig. 6.1-106 および Fig. 6.1-109 の炉心変形挙動にみられる様に、微調整棒の位置する内側から 3 番目の CR-Ring の移動は小さく、以下に示す簡略モデルによる評価では、 EOEC 炉心の挿入制御棒の移動効果は、有効仕事量に 1 % 以下の変化（増加）しか与えない。

BOEC および BOIC 炉心では、全数の粗調整棒が 1/2 炉心深さまで降下しており、これらの制御棒の移動は Fig. 6.1-106 (又は Fig. 6.1-109) の CR-Ring 変位から判断して正反応度効果となることが予想される。これらの 2 炉心については、 CR-Ring モデルによる VENUS 計算は未実施のため、 EOEC 炉心で、この効果を評価し、有効仕事量の増加割合をそのまま BOEC および BOIC 炉心ケースの推定に充てる。

前述した EOEC 廉心 CR-Ring モデルでは、CR-Ring 領域は核・熱的に不活性とした。ここでは、熱的には不活性とし、核的には、挿入状態に依存した制御棒ワースに等価な物質ワースを持たせる。計算モデルは以下の通りである。

Fig. 6.1-110 に、制御棒挿入状態の廉心を示した。CR-Ring 領域は、Fig. 6.1-102 で定義した領域番号 16, 17, 18 および 19 である。これらの 4 領域には、図に示した本数の制御棒が挿入されている。各領域の物質ワースは、挿入状態にある制御棒本数、挿入深度（廉心長に対する割合）、および制御棒 1 本当りの最大ワースに比例するものと仮定する（比例定数は 1.0）。この仮定の基に各 CR-Ring 領域の物質ワースを算出すると、Table 6.1-28 を得る。更に、これらの物質ワースの径方向および軸方向分布形状は、前項で CR-Ring に燃料集合体を配置した場合と同一の形状で近似した。ただし、物質ワースは負値となる。この分布形状は、部分挿入状態の制御棒ワース分布と矛盾するが、1/2 廉心深さまでの制御棒に対しては等価モデルとなる。廉心変形が廉心中央面に対して上・下ほぼ対称に起こっているためである。1/6 挿入の微調整棒に対しては等価モデルではないが、変位とワースが小さいため、大きな影響はないと推定される。

VENUS 計算は、EOEC 廉心に Fig. 6.1-110 に示した制御棒挿入状態を仮定して、

Case LF. REAC. EXNRC. Stp 530

について行った。外部反応度挿入は、Table Lookup ケースの他に、このケースの等価反応度挿入率（ただし、基準計算モデルによる）95 \$/sec の場合および、BOEC 廉心の基本ケースで Energetics が最大となった、Case LF. REAC. RP(C2223). Stp 560 の等価反応度挿入率 80 \$/sec の場合をとりあげて計算した。放出エネルギー計算結果を Table 6.1-29 に示した。制御棒移動反応度効果による有効仕事量（1 気圧まで）の変化は以下のように増加している。

a. Table Lookup 反応度挿入ケース → 18 %増加

（ただし、この増加は EOEC 廉心では考慮不要）

b. 95 \$/sec 反応度挿入ケース → 6.6 %増加

c. 80 \$/sec 反応度挿入ケース → 7.3 %増加

なお、EOEC炉心のCase LF. REAC. LRIP. FCI・Stp 564のケースについても検討したが、Table Lookup 反応度挿入ケースでは、有効仕事量は上記のaとほぼ同じ17%の増加となる。

以上の結果を、BOEC炉心のCase LF. REAC. RP. Stp 560に適用し、仮想燃料集合体移動および制御棒移動効果による有効仕事量の増加を推定してみると、以下の様になる。

Case LF. REAC. RP (2223). Stp 560:

基準計算値 = 213 MJ

↓ (仮想燃料集合体補正 7.3 %)

229 MJ

↓ (制御棒移動効果 18 %)

270 MJ

同様に、BOEC炉心ケースのEnergetics 上限ケースについては以下のとおり。

Case LF. REAC. NSS. FCI 25. CNT (C2225). Stp 561:

基準計算値 = 690 MJ

↓ (仮想燃料集合体補正 18 %)

814 MJ

↓ (制御棒移動効果 18 %)

960 MJ

なお、仮想燃料集合体補正では、Table 6.1-27で、CR-Ring モデルと基準計算モデルの差異分を補正し、更に、放出エネルギーの低いケースと高いケースを、BOEC 炉心の対応するケースに適用した。

上述の結果から、LOF-HCDA Energetics の上限ケースは、BOIC (EOICは未評価のため除外する)、BOEC および、EOECの3炉心ケースのうち、EOEC炉心のケースとなり、有効仕事量(1気圧まで)は、

基本ケースでは 382 MJ (Case LF. REAC. EXNRC)

パラメータ解析ケースでは 1105 MJ (Case LF. REAC. LRIP. FCI)
となる。

Table 6.1-1
SAS-Fuel-Assembly-Channel Average Quantities
 End of Equilibrium Cycle (EOEC) Core

Channel #	Coolant Zone #	Subassemblies	Subassembly Power/Flow (Min. -- Max.)	Power* (Relative)	Flow* (g/cm ² .sec)	Power/Flow* (Relative)	Burnup (10 ⁴ MWD/MTM)	Void Worth** (10 ⁻³ Δk/k)
1	1	9	1.117 -- 1.144	1.349	574.0	1.132	2.69	1.320
2	3	9	1.085 -- 1.161	1.203	513.2	1.129	3.12	0.999
3	2	3	1.126	1.258	537.9	1.127	4.03	0.418
4	4	12	1.092 -- 1.124	1.094	477.4	1.104	3.57	1.053
5	5	18	1.051 -- 1.162	1.002	444.2	1.087	3.60	1.189
6	2	15	1.014 -- 1.076	1.106	537.9	1.038	6.90	1.883
7	2	9	0.991 -- 1.069	1.157	537.9	1.037	7.47	1.341
8	4	12	1.010 -- 1.050	1.024	477.4	1.033	6.80	1.162
9	6	15	0.977 -- 1.074	1.104	518.7	1.025	2.51	2.291
10	1	9	0.981 -- 1.044	1.218	574.0	1.022	7.59	1.487
11	7 & 8	15	0.960 -- 1.052	0.845	411.3	0.983	2.57	-0.387
12	5	12	0.968 -- 0.995	0.906	444.2	0.983	6.55	0.761
13	7 & 8	33	0.744 -- 0.950	0.740	409.8	0.870	4.86	-0.821
14	6	27	0.748 -- 0.953	0.937	518.7	0.870	6.65	0.367

Note : * Subassembly average

** See Table 6.1-2

Table 6.1-2. Sodium Void Reactivity Wroths by Channel for EOEC Core*

Channel #	(Void Worth in $\Delta k/k$)	
	Core + Axial Blankets	Positive Max.
1	1.3205E-03	1.4330E-03
2	9.9896E-04	1.0974E-03
3	4.1839E-04	4.5226E-04
4	1.0535E-03	1.1714E-03
5	1.1896E-03	1.3601E-03
6	1.8831E-03	2.0319E-03
7	1.3411E-03	1.4361E-03
8	1.1620E-03	1.2739E-03
9	2.2913E-04	3.9959E-04
10	1.4867E-03	1.5908E-03
11	-3.8735E-04	0.0
12	7.6132E-04	8.6349E-04
13	-8.2101E-04	0.0
14	3.6684E-04	6.4693E-04
Channel Sum	1.1003E-02	1.3757E-02 ^{**}

Note : * Values shown are not the nominal coefficients by neutronics calculation, but are conservatively evaluated by including $\pm 50\%$ of the neutronics calculation uncertainty.

** Conservatively evaluated maximum positive void worth is 3.78\$ for EOEC core.

Table 6.1-3 Summary Table of MONJU-HCDA SAS3D Analysis

		Accident Category : <u>LOF</u>		Reactor Core State : <u>EOEC</u>						
Case ID #		1 LF.REAC. BE. C2316	2 LF.REAC EXNRC. C2318	3 LF.REAC. RP. C2317	4 LF.REAC. FPSLP C2321	5 LF.REAC. NSS.FCI23 C2320	6 LF.REAC. LRIP.FCI. C2323	7 LF.REAC. BURST.FCI. C2319	8 LF.REAC. BURST.FCI. PIN3G.C2324	9 LF.REAC GAPCON. C2322
Input Condition & Result		50% F.M.F. or Surface Melt		50% F.M.F. or Surface Melt		Same to Case RP (Case #3)				
Fuel Slumping Model (Slumping Criteria)		50% F.M.F. or Surface Melt		50% F.M.F. or Surface Melt		Same to Case RP (Case #3)				
FCI Model	Clad Rupture Criteria		50% F.M.F. (50% Fuel Area Melt Fraction)				25% F.M.F.	50% F.M.F.	Low Stress Burst Failure	50% F.M.F.
	Rip Length (cm)		15.0	5.0	5.0	5.0	5.0	5.0	5.0	5.0
	Rip Area (cm.cm)		Cavity Area	0.1	0.1	0.1	0.1	0.6	0.1	0.1
	Particle Radius (μm)		117	100	100	100	100	100	100	100
Fuel Dispersal due to FP Gas		Yes	No	No	Yes	No	No	No	No	No
SS Vapor		Yes	Yes	Yes	Yes	No	Yes	Yes	Yes	Yes
Other Conditions		Cavity Area =0.138cm ²				Midplane FCI			3 Failure Pin Groups	714 Btu/hr. ft ² .F
Reactivity Coeffs.		Doppler NA Void	70% of Nom Value							
			150% of Positive and 50% of Negative Void Coefficients							
Axial Core Expansion		100% of Nominal	None	None	None	None	None	None	None	None
1st Boiling Time(sec)/(ch #) & Additional Ch #		12,501(1) Ch.2-Ch.10	11,481(1) Ch.2-Ch.10	11,481(1) Ch.2-Ch.10		Same to Case RP				11,353(1)
1st Clad Relocation (sec)/(Ch #) & Additional Ch #		15,064(1) None	13,484(1) None	13,694(1) None		Same to Case RP None				None None
1st Fuel Slumping (sec)/(Ch #) & Additional Ch #		15,245(1) 2 - 10	13,551(1) 2-4,7,9,10	13,752(1) 2-5,7,9,10		Same to Case RP 2-4,9,10		2-7,9,10	2-4,7,9,10	13,635(1) 2-5,7,9,10
1st FCI Time (sec)/(Ch #) & Additional Ch #		None ---	13,565(6) 3,8,11-14	13,766(6) 8,11-14	13,769(6) 8,11,14	13,761(7) 5-8, 11-14	13,768(8) 11 - 14	13,765(6) 8, 11-14	13,763(6) 8, 11-14	13,656(6) 8, 11-14
Up to 1st FCI : Coolant Reactivity (\$)			1.721	1.666	1.680	1.605	1.676	1.631	1.634	1.728
Net Reactivity			0.994	0.992	0.926	0.985	0.973	0.992	0.992	1.007
Relative Power (P/P ₀)			329.0	322.9	88.6	225.0	300.1	270.5	252.8	289.7
Max. Net Reactivity (\$) & Time (sec)		-0.968 15.269	1.101 13.572	-1.099 13.77	0.969 13.791	-1.174 13.771	1.200 13.776	1.092 13.773	1.102 13.773	1.101 13.663
Max. Relative Power (P/P ₀)		93.1	5620	4230	112.5	10990	17200	4590	4103	4780
Core average Void Fraction (%)*		85.9	29.0	29.0	61.0	28.3	30.0	28.8	29.5	29.8
Molten-Fuel-Mass (kg) & Core Melt Fraction (w/o)*		2550 38.1	1870 28	2650 40	2680 40	2016 30	2370 35.4	1700 25.4	2290 34.2	3100 46.3
Molten-Fuel-Average Temp. (K) & Energy Above Fuel Solidus (MJ)*		3230 1045	3030 577	3190 1030	3190 1040	3110 704	3140 863	3090 576	3160 860	3230 1270
Reactivity Component for Initiating Phase Shutdown		Fuel Dispersals	Switch to VENUS-PM2	Switch to VENUS-PM2	Fuel Sweepout (Ch.6) & Materials	Switch to VENUS-PM2				
Average Net Reactivity Ramp Rate during Superprompt Critical Excursion (\$/sec)		---	35	40	---	40	51	25	35	40
Duration of Super Prompt Critical State (ms)		---	6.8	4.9	---	5.2	5.3	6.6	4.1	5.4

Note : * Values are at initiating phase shutdown in non-energetic CDA case,
or at SAS3D-to-VENUS-PM2 switch in energetic CDA case

Table 6.1-4 SAS3D Analysis Event Sequence Table**Case ID : LF(EEC)-REAC.BE(C2316)**

Event Inception Time since Start of Accident (sec)											
Channel #	Coolant Boiling	#	Clad Melting	#	Clad Relocation	#	Fuel Failure	Fuel Slumping	#	FCI	#
1	12.5010	1	14.4090	1	15.0636	1		15.2447	1		
2	13.2740	3	15.0836	3				15.2660	3		
3	13.1095	2	14.9286	2				15.2610	2		
4	14.0912	4	15.2865	4				15.2815	6		
5	14.4777	6	15.3626	7				15.4280	9		
6	14.6456	9	15.3751	8				15.3601	8		
7	14.5690	8	15.3441	6				15.2960	7		
8	15.0336	10	15.5042	10				15.5388	10		
9	14.5545	17	15.3284	5				15.2769	4		
10	14.4573	5	15.3763	9				15.2802	5		
11	15.3286	12	15.5988	13							
12	15.3404	13	15.5938	12							
13	15.3663	14									
14	15.3129	11	15.5813	11							

Table 6.1-5a. SAS3D Analysis Event Sequence Table**Case ID : LF(EEC)-REAC.EXNRC(C2318)**

Event Inception Time since Start of Accident (sec)											
Channel #	Coolant Boiling	#	Clad Melting	#	Clad Relocation	#	Fuel Failure	Fuel Slumping	#	FCI	#
1	11.4807	1	12.9100	1	13.4838	1		13.5505	1		
2	12.0850	3	13.4438	3				13.5583	3		
3	11.9286	2	13.3840	2				13.5563	2		
4	12.7375	4						13.5631	6		
5	13.0625	6					13.566126			→ FCI	2
6	13.1898	9					13.564909			→ FCI	1
7	13.0700	7						13.5643	7		
8	13.3977	10					13.567389			→ FCI	3
9	13.0750	8						13.5619	4		
10	13.0305	5						13.5622	5		
11							13.570057			→ FCI	4
12							13.570257			→ FCI	6
13							13.572188			→ FCI	7
14							13.570057			→ FCI	4

Table 6.1-5b. Start of Fuel-Coolant Interaction in Channels 6 & 14
Case REAC . EXNRC . C2318

	<u>Ch. 6</u>	<u>Ch. 14</u>
RIP LENGTH	<u>5.000000+00</u>	<u>5.000000+00</u>
RIP AREA	<u>1.000000D-01</u>	<u>1.000000D-01</u>
LOWER FCI ZONE INTERFACE	<u>9.016050D+01</u>	<u>9.766760D+01</u>
UPPER FCI ZONE INTERFACE	<u>9.516050D+01</u>	<u>1.026680D+02</u>
LOWER INTERFACE SODIUM DENSITY	<u>7.115260D-01</u>	<u>7.351960D-01</u>
UPPER INTERFACE SODIUM DENSITY	<u>7.090670D-01</u>	<u>7.282490D-01</u>
LOWER INTERFACE VELOCITY	<u>-1.633220D+02</u>	<u>2.934550D+02</u>
UPPER INTERFACE VELOCITY	<u>-1.63F99D+02</u>	<u>2.962540D+02</u>
LOWER INTERFACE TEMPERATURE	<u>1.002920D+03</u>	<u>9.038630D+02</u>
UPPER INTERFACE TEMPERATURE	<u>1.013100D+03</u>	<u>9.329040D+02</u>
FCI ZONE VOLUME	<u>1.075750D+00</u>	<u>1.074950D+00</u>
FCI ZONE PRESSURE	<u>4.266690D+00</u>	<u>2.614190D+01</u>
FCI ZONE SODIUM DENSITY	<u>7.097690D-01</u>	<u>7.313030D-01</u>
FCI ZONE SODIUM MASS	<u>7.635310D-01</u>	<u>7.861160D-01</u>
FCI ZONE SODIUM TEMPERATURE	<u>1.006680D+03</u>	<u>9.209620D+02</u>
FCI ZONE FISSION GAS MASS	<u>8.297650D-05</u>	<u>1.914580D-04</u>
FCI ZONE SOLID FUEL MASS	<u>2.548650D-02</u>	<u>2.137400D-02</u>
RESERVOIR VOLUME	<u>3.757330D-02</u>	<u>1.561670D-02</u>
RESERVOIR FISSION GAS MASS	<u>8.297650D-05</u>	<u>1.914580D-04</u>
RESERVOIR FISSION GAS TEMPERATURE	<u>2.558570D+03</u>	<u>2.571610D+03</u>
RESERVOIR PRESSURE	<u>4.266690D+00</u>	<u>2.614130D+01</u>
RESERVOIR SOLID FUEL MASS	<u>2.549650D-02</u>	<u>2.137400D-02</u>
FAILURE GROUP NUMBER	<u>1</u>	<u>1</u>
FRACTION OF PINS IN GROUP	<u>1.000000</u>	<u>1.000000</u>
CAVITY VOLUME	<u>1.011520D+01</u>	<u>1.042690D+01</u>
CAVITY PRESSURE	<u>1.490480D+02</u>	<u>4.242410D+02</u>
CAVITY MOLTEN FUEL MASS	<u>4.187020D+01</u>	<u>4.087050D+01</u>
CAVITY MOLTEN FUEL VOLUME	<u>4.740050D+00</u>	<u>4.621470D+00</u>
CAVITY MOLTEN FUEL TEMPERATURE	<u>2.723720D+03</u>	<u>2.736000D+03</u>
FROTH FISSION GAS MASS	<u>6.156740D-02</u>	<u>1.386170D-01</u>
FROTH FISSION GAS VOLUME	<u>9.618140D-01</u>	<u>7.883700D-01</u>
FROTH FISSION GAS TEMPERATURE	<u>2.723720D+03</u>	<u>2.736000D+03</u>
CAVITY FISSION GAS MASS	<u>1.127100D-02</u>	<u>3.189750D-03</u>
CAVITY FISSION GAS VOLUME	<u>1.787670D-01</u>	<u>1.876930D-02</u>
CAVITY FISSION GAS TEMPERATURE	<u>2.769500D+03</u>	<u>2.841490D+03</u>
CAVITY SOLID FUEL MASS	<u>3.269880D+01</u>	<u>3.787750D+01</u>
CAVITY SOLID FUEL VOLUME	<u>4.234580D+00</u>	<u>4.998270D+00</u>
INERTIAL LENGTH FOR FUEL EJECTION	<u>5.000000D+01</u>	<u>5.000000D+01</u>
Time of FCI Onset(sec)	<u>13.565</u>	<u>13.570</u>

Table 6.1-6 SAS3D Analysis Event Sequence Table**Case ID : LF(EEC)-REAC.RP(C2317)**

Channel #	Event Inception Time since Start of Accident (sec)											
	Coolant Boiling	#	Clad Melting	#	Clad Relocation	#	Fuel Failure	Fuel Slumping	#	FCI	#	
1	11.4807	1	13.0900	1	13.6940	1		13.7519	1			
2	12.0597	3	13.6840	3				13.7584	3			
3	11.9263	2	13.6740	2				13.7566	2			
4	12.7847	4	13.7773	6				13.7636	6			
5	13.1400	6					13.766624	13.7673	8	→ VOID		
6	13.3257	9					13.765787			→ FCI	1	
7	13.1585	7	13.7768	4				13.7648	7			
8	13.5780	10					13.768225			→ FCI	2	
9	13.1773	8	13.7773	5				13.7620	4			
10	13.1100	5						13.7625	5			
11							13.772167			→ FCI	3	
12							13.772516			→ FCI	5	
13							13.774510			→ FCI	6	
14							13.772167			→ FCI	3	

Table 6.1-7 SAS3D Analysis Event Sequence Table**Case ID : LF(EEC)-REAC.FPSLP.(C2321)**

Channel #	Event Inception Time since Start of Accident (sec)										
	Coolant Boiling	#	Clad Melting	#	Clad Relocation	#	Fuel Failure	Fuel Slumping	#	FCI	#
1	11.4807	1	13.0900	1	13.6940	1		13.7519	1		
2	12.0597	3	13.6840	3				13.7585	3		
3	11.9263	2	13.6740	2				13.7567	2		
4	12.7847	4	13.7962	4				13.7646	6		
5	13.1400	6					13.772769	13.7763	8	→ VOID	
6	13.3257	9	13.7998	5			13.768955			→ FCI	1
7	13.1585	7	13.8004	6				13.7661	7		
8	13.5780	10	13.8126	7			13.782185			→ FCI	2
9	13.1773	8	13.8257	8				13.7625	4		
10	13.1100	5						13.7634	5		
11							13.801664			→ FCI	3
12											
13											
14							13.804377			→ FCI	4

Table 6.1-8**SAS3D Analysis Event Sequence Table**Case ID : LF(EEC)-REAC.NSS.FCI25. CNT(C2320)

Channel #	Event Inception Time since Start of Accident (sec)										
	Coolant Boiling	#	Clad Melting	#	Clad Relocation	#	Fuel Failure	Fuel Slumping	#	FCI	#
1	11.4807	1	13.0900	1	13.6940	1		13.7518	1		
2	12.0597	3	13.6840	3			13.7546	13.7583	3	→ VOID	
3	11.9263	2	13.5940	2			13.7528	13.7573	2	→ VOID	
4	12.7847	4					13.7590	13.7626	6	→ VOID	
5	13.1400	6					13.7624			→ FCI	3
6	13.3257	9					13.7623			→ FCI	2
7	13.1585	7					13.7607			→ FCI	1
8	13.5780	10					13.7681			→ FCI	5
9	13.1773	8					13.7573	13.7623	4	→ VOID	
10	13.1100	5					13.7590	13.7625	5	→ VOID	
11							13.7679			→ FCI	4
12							13.7685			→ FCI	6
13							13.7707			→ FCI	8
14							13.7687			→ FCI	7

Table 6.1-9 SAS3D Analysis Event Sequence Table**Case ID : LF(EEC)-REAC.LRIP.FCI(C2323)**

Event Inception Time since Start of Accident (sec)												
Channel #	Coolant Boiling	#	Clad Melting	#	Clad Relocation	#	Fuel Failure	Fuel Slumping	#	FCI	#	
1	11.4807	1	13.0900	1	13.6940	1		13.7519	1			
2	12.0597	3	13.6840	3				13.7584	3			
3	11.9263	2	13.6740	2				13.7566	2			
4	12.7847	4						13.7636	6			
5	13.1400	6					13.766624	13.7673	8	→ VOID		
6	13.3257	9					13.765787	13.7673	8	→ VOID		
7	13.1585	7						13.7648	7			
8	13.5780	10					13.768453			→ FCI	1	
9	13.1773	8						13.7620	4			
10	13.1100	5						13.7625	5			
11							13.772468			→ FCI	2	
12							13.773191			→ FCI	4	
13							13.774981			→ FCI	5	
14							13.772668			→ FCI	3	

Table 6.1-10 SAS3D Analysis Event Sequence TableCase ID : LF(EEC)-REAC.BURST.FCI(C2319)

Event Inception Time since Start of Accident (sec)											
Channel #	Coolant Boiling	#	Clad Melting	#	Clad Relocation	#	Fuel Failure	Fuel Slumping	#	FCI	#
1	11.4807	1	13.0900	1	13.6940	1		13.7525	1		
2	12.0597	3	13.6839	3				13.7606	3		
3	11.9263	2	13.5940	2				13.7587	2		
4	12.7847	4	13.7766	6			13.7622	13.7649	6	VOID	
5	13.1400	6	13.7768	7			13.7646	13.7687	8	VOID	
6	13.3257	9	13.7773	8			13.7646			FCI	1
7	13.1585	7	13.7760	4			13.7641	13.7665	7	VOID	
8	13.5780	10					13.7665			FCI	2
9	13.1773	8	13.7762	5			13.7624	13.7641	5	VOID	
10	13.1100	5					13.7626	13.7643	5	VOID	
11							13.7672			FCI	4
12							13.7687			FCI	5
13							13.7709			FCI	6
14							13.7670			FCI	3

Table 6.1-11
Comparison of FCI initial conditions between Cases BURST.FCI and RP

Channel #*	Burnup (10 ⁴ MWD/MTM)	Case LF.REAC.BURST.FCI(C2319)			Case LF.REAC.RP(C2317)		
		Failure Rip Center(cm)	Molten Fuel ^{@@} Mass (g)	Cavity ^{@@} Pressure(atm)	Failure Rip Center(cm)	Molten Fuel Mass (g)	Cavity Pressure(atm)
6	6.90	89.6 ^{@@@}	24	77	92	42	150
8	6.80	108	19	103	92.5	42	140
14	6.65	100	5.3	161	100	40	400
11	2.57	98.6	7.0	230	91.5	42	1000
12	6.55	100	9.9	163	92.5	42	370
13	4.86	91.7	0.6	5200	91.5	42	1000

Note : * In the order of FCI onsets
 ** Axial height above lower reflector
 @ Molten fuel in a pin cavity at the start of FCI
 @@ At the start of FCI
 @@@ Given as an input (to avoid the model difficulty)

Table 6.1-12 SAS3D Analysis Event Sequence Table**Case ID : LF(EEC)-REAC.BURST.FCI.PIN3G(C2324)**

Channel #	Event Inception Time since Start of Accident (sec)										
	Coolant Boiling	#	Clad Melting	#	Clad Relocation	#	Fuel Failure	Fuel Slumping	#	FCI	#
1	11.4807	1	13.0900	1	13.6940	1		13.7561	1		
2	12.0597	3	13.6839	3				13.7581	3		
3	11.9263	2	13.5940	2				13.7573	2		
4	12.7847	4	13.7769	6			13.7601	13.7630	6	VOID	
5	13.1400	6	13.7774	7			13.7626	13.7673	6	VOID	
6	13.3257	9	13.7776	8			13.7628			FCI	1
7	13.1585	7	13.7764	5			13.7621	13.7648	7	VOID	
8	13.5780	10					13.7648			FCI	2
9	13.1772	8	13.7757	4			13.7603	13.7603	4	VOID	
10	13.1100	5	13.7791	9			13.7605	13.7626	5	VOID	
11							13.7655			FCI	4
12							13.7673			FCI	5
13							13.7705			FCI	6
14							13.7653			FCI	3

Table 6.1-13 Comparison of FCI-Onset Timing between Cases C2319 and C2324*

<u>FCI-Onset Order</u>	<u>Channel #</u>	<u>Time Delay (ms)</u>	
		<u>C2319</u>	<u>C2324**</u>
1	6	0.0	0.0
2	8	1.87	1.98
3	14	2.37	2.49
4	11	2.57	2.69
5	12	4.07	4.43
6	13	6.27	7.64

Note : * Case ID - C2319 = LF.REAC.BURST.FCI, with single failure pin group
 C2324 = LF.REAC.BURST.FCI.PIN3G, with three failure pin groups (time delays 2ms & 4ms)

** Time delay of 1st failure pin group

Table 6.1-14 SAS3D Analysis Event Sequence TableCase ID : LF(EEC)-REAC.GAPCON(C2322)

Event Inception Time since Start of Accident (sec)											
Channel #	Coolant Boiling	#	Clad Melting	#	Clad Relocation	#	Fuel Failure	Fuel Slumping	#	FCI	#
1	11.3534	1	13.1401	1				13.6351	1		
2	11.9198	3	13.5851	3				13.6442	3		
3	11.7964	2	13.4501	2				13.6421	2		
4	11.5978	4						13.6520	5		
5	13.0166	6					13.6566	13.6574	.8	→ VOID	
6	13.1946	9					13.6555			→ FCI	1
7	13.0282	7						13.6545	7		
8	13.4451	10					13.6579			→ FCI	2
9	13.0367	8						13.6508	4		
10	12.9904	5						13.6520	6		
11							13.6614			→ FCI	3
12							13.6616			→ FCI	5
13							13.6637				
14							13.6609			→ FCI	3

Table 6.1-15
SAS-Channel Arrangement in VENUS-PM2 Rings for EOEC LOF

<u>Region</u>	<u>Fuel Assembly Ring #</u>	<u>VENUS-PM Ring #</u>	<u>SAS-Channel #</u>	<u>No. of Fuel Assemblies</u>	<u>Ring Radius (cm)</u>
Inner Core	0 (Center)	1	10	1.0	6.069
	1	2	1	3.0	12.139
	1	3	10	3.0	16.058
	2	4	10	3.0	19.193
	2	5	10	3.0	21.884
	2	6	1	6.0	26.456
	3	7	3	3.0	28.468
	3	8	7	15.0	36.919
	4	9	2	9.0	41.165
	4	10	6	15.0	47.404
	5	11	4	12.0	51.857
	5	12	8	18.0	57.899
	6	13	5	18.0	63.367
	6	14	12	18.0	68.399
Other Core	7	15	9	15.0	72.326
	7	16	14	13.5	75.686
	7	17	14	13.5	78.903
	8	18	11	15.0	82.330
	8	19	13	15.0	85.620
Radial Blanket	8	20	13	18.0	89.408
	9	21	Average Radial Blanket Assembly	54.0	99.916
	10	22		60.0	110.420
	11	23		60.0	120.020

Table 6.1-16a. Summary Table of MONJU-HCDA SAS3D-to-VENUS-PM Switch Calculation

Accident Category : LOF, Reactor State : EOEC
 SAS3D Case ID : REAC. EXNRC.C2318

Initial Conditions & Results		VENUS-PM Case ID	1 STP530 Nominal Doppler Coeff. 0.07	2 1.0	3 x 1.3	4 STP535	5 STP540	6	7
Initial Conditions to VENUS-PM	SAS3D-to-VENUS-PM Switch Time (sec)		13.5674	—	—	13.5693	13.5705		
	Power (P/P_0)		403	—	—	552	778		
	Net Reactivity (\$)		1.001	—	—	1.020	1.048		
	Total Molten Fuel Mass (kg)		1820	—	—	2270	2780		
	Molten Fuel Average Temperature (K)		3090	—	—	3170	3230		
	Insertion-Reactivity Ramp Rate (\$/sec)	Table Lookup	—	—	Table Lookup	Table Lookup	Table Lookup		
Calculation Results by VENUS-PM	Max. Power (P_{max}/P_0)		4420	3740	3430	3530	3610		
	Max. Net Reactivity (\$)		1.126	1.132	1.143	1.100	1.089		
	Duration of Superprompt * Critical Excursion (ms)		6.0	4.2	3.8	4.0	2.7		
	Total Energy Released (MJ)**		6660	5880	5300	5660	5290		
	Total Molten Fuel Mass (kg)		5950	5620	5340	5670	5670		
	Molten Fuel Average Temperature (K)		4320	4160	4050	4230	4260		
	Active Core Fuel Average Temp. (K)		4160	3960	3820	4030	4060		
	Fuel Vapor # Work (MJ)	to 1 atm.	356	253	192	291	309		
		$\int (P-1.0)dV$ Work	263	182	135	213	226		
		at Na Slug Impact:A/B##	110/160	80/119	60/93	90/133	92/137		

Note : * Duration since switch to VENUS-PM
 ** Energy calculated since switch to VENUS-PM
 # Work by isentropic expansion
 ## A : For cover gas volume of 27.8m^3
 B : For 70 m^3

Table 6.1-16b Summary Table of MONJU-HCDA SAS3D-to-VENUS-PM Switch Calculation

Accident Category : LOF, Reactor State : EOEC
 SAS3D Case ID : REAC.EXRNC.C2318

Initial Conditions & Results		VENUS-PM Case ID	1 STP530 50 \$/sec	2 90 \$/sec	3 130\$/sec	4 200\$/sec	5	6	7
Initial Conditions to VENUS-PM	SAS3D-to-VENUS-PM Switch Time (sec)	13.5674	—	—					
	Power (P/P_o)	403	—	—					
	Net Reactivity (\$)	1.001	—	—					
	Total Molten Fuel Mass (kg)	1820	—	—					
	Molten Fuel Average Temperature (K)	3090	—	—					
	Insertion-Reactivity Ramp Rate (\$/sec)	50	90	130	200				
Calculation Results by VENUS-PM	Max. Power (P_{max}/P_o)	1690	4440	7520	13380				
	Max. Net Reactivity (\$)	1.053	1.116	1.168	1.247				
	Duration of Superprompt * Critical Excursion (ms)	4.7	3.6	3.1	2.5				
	Total Energy Released (MJ)**	4230	6390	7920	10000				
	Total Molten Fuel Mass (kg)	4740	5740	6190	6500				
	Molten Fuel Average Temperature (K)	3840	4290	4620	5140				
	Active Core Fuel Average Temp. (K)	3570	4090	4500	5080				
	Fuel Vapor [#] Work (MJ)	to 1 atm.	105	318	568	1052			
		$\int (P-1, 0)dV$ Work	69	233	438	854			
		at Na Slug Impact:A/B ^{##}	34/55	98/144	172/247	330/461			

Note : * Duration since switch to VENUS-PM
 ** Energy calculated since switch to VENUS-PM
 # Work by isentropic expansion
 ## A : For cover gas volume of 27.8m^3
 B : For 70 m^3

Table 6.1017a. Summary Table of MONJU-HCDA SAS3D-to-VENUS-PM Switch Calculation

Accident Category : LOF, Reactor State : EOEC
 SAS3D Case ID : REAC.RP.C2317

Initial Conditions & Results		VENUS-PM Case ID	1 STP565	2 STP570	3 STP575	4	5	6	7
Initial Conditions to VENUS-PM	SAS3D-to-VENUS-PM Switch Time (sec)		13.7715	13.7723	13.7734				
	Power (P/P_o)		380	518	1030-				
	Net Reactivity (\$)		1.015	1.047	1.090				
	Total Molten Fuel Mass (kg)		2430	2530	3380				
	Molten Fuel Average Temperature (K)		3180	3220	3260				
	Insertion-Reactivity Ramp Rate (\$ / sec)		Table Lookup	Table Lookup	Table Lookup				
Calculation Results by VENUS-PM	Max. Power (P_{max}/P_o)		2750	2790	3000				
	Max. Net Reactivity (\$)		1.086	1.084	1.096				
	Duration of Superprompt * Critical Excursion (ms)		3.8	2.9	1.8				
	Total Energy Released (MJ)**		4700	4550	4240				
	Total Molten Fuel Mass (kg)		5340	5370	5530				
	Molten Fuel Average Temperature (K)		4040	4050	4120				
	Active Core Fuel Average Temp. (K)		3820	3830	3910				
	Fuel Vapor [#] Work (MJ)	to 1 atm.	193	202	232				
		$\int (P-1, 0)dV$ Work	136	143	162				
		at Na Slug Impact:A/B ^{##}	60/91	60/94	61/102				

Note : * Duration since switch to VENUS-PM
 ** Energy calculated since switch to VENUS-PM
 # Work by isentropic expansion
 ## A : For cover gas volume of 27.8m³
 B : For 70 m³

Table 6.1-17b. Summary Table of MONJU-HCDA SAS3D-to-VENUS-PM Switch Calculation

Accident Category : LOF, Reactor State : EOEC
 SAS3D Case ID : REAC.RP.C2317

Initial Conditions & Results		VENUS-PM Case ID	1 STP575 50 \$/sec	2 70 \$/sec	3 120\$/sec	4	5	6	7
Initial Conditions to VENUS-PM	SAS3D-to-VENUS-PM Switch Time (sec)	13.7734							
	Power (P/P_o)	1030							
	Net Reactivity (\$)	1.090							
	Total Molten Fuel Mass (kg)	3380							
	Molten Fuel Average Temperature (K)	3260							
	Insertion-Reactivity Ramp Rate (\$/sec)	50	70	120					
Calculation Results by VENUS-PM	Max. Power (P_{max}/P_o)	2250	2720	4450					
	Max. Net Reactivity (\$)	1.094	1.094	1.114					
	Duration of Superprompt * Critical Excursion (ms)	1.6	1.7	1.8					
	Total Energy Released (MJ)**	3470	3980	5300					
	Total Molten Fuel Mass (kg)	5100	5310	5940					
	Molten Fuel Average Temperature (K)	3980	4090	4340					
	Active Core Fuel Average Temp. (K)	3730	3850	4180					
	Fuel Vapor [#] Work (MJ)	to 1 atm.	152	203	370				
		$\int (P-1, 0)dV$ Work	100	139	273				
		at Na Slug Impact:A/B ^{##}	45/72	60/91	108/157				

Note : * Duration since switch to VENUS-PM
 ** Energy calculated since switch to VENUS-PM
 # Work by isentropic expansion
 ## A : For cover gas volume of 27.8m^3
 B : For 70 m^3

Table 6.1-18. Summary Table of MONJU-HCDA SAS3D-to-VENUS-PM Switch Calculation

Accident Category : LOF, Reactor State : EOEC
 SAS3D Case ID : REAC.NSS.FCI25.CNT.C2320

Initial Conditions & Results		VENUS-PM Case ID	1 STP560	2	3 STP560 100\$/sec	4 170\$/sec	5 250\$/sec	6	7
Initial Conditions to VENUS-PM	SAS3D-to-VENUS-PM Switch Time (sec)		13.7685		13.7685	←	←		
	Power (P/P_o)		522		522	←	←		
	Net Reactivity (\$)		1.030		1.030	←	←		
	Total Molten Fuel Mass (kg)		1970		1970	←	←		
	Molten Fuel Average Temperature (K)		3120		3120	←	←		
Calculation Results by VENUS-PM	Insertion-Reactivity Ramp Rate (\$/sec)	Table Lookup			100	170	250		
	Max. Power (P_{max}/P_o)		8160		4550	9650	16100		
	Max. Net Reactivity (\$)		1.164		1.114	1.196	1.275		
	Duration of Superprompt * Critical Excursion (ms)		3.2		3.0	2.5	2.1		
	Total Energy Released (MJ)**		8250		6260	8560	10510		
	Total Molten Fuel Mass (kg)		6280		5890	6360	6550		
	Molten Fuel Average Temperature (K)		4750		4270	4820	5330		
	Active Core Fuel Average Temp. (K)		4640		4110	4730	5270		
	Fuel Vapor [#] Work (MJ)	to 1 atm.	676		326	746	1245		
		$\int (P-1, 0)dV$ Work	529		240	589	1024		
		at Na Slug Impact:A/B ^{##}	205/295		100/148	232/326	400/552		

Note : * Duration since switch to VENUS-PM
 ** Energy calculated since switch to VENUS-PM
 # Work by isentropic expansion
 ## A : For cover gas volume of 27.8m³
 B : For 70 m³

Table 6.1-19a. Summary Table of MONJU-HCDA SAS3D-to-VENUS-PM Switch Calculation

Accident Category : LOF, Reactor State : EOEC
 SAS3D Case ID : REAC.LRIP.FCI.C2323

Initial Conditions & Results		VENUS-PM Case ID	1 STP564 Nominal 0.7	2 Doppler 1.0	3 Coeff. x 1.3	4 STP568	5 STP570	6	7
Initial Conditions to VENUS-PM	SAS3D-to-VENUS-PM Switch Time (sec)	13.7714		—	—	13.7723	13.7727		
	Power (P/P_o)	299		←	—	406	496		
	Net Reactivity (\$)	1.011		—	—	1.041	1.051		
	Total Molten Fuel Mass (kg)	2340		—	—	2430	3210		
	Molten Fuel Average Temperature (K)	3160		—	—	3190	3210		
	Insertion-Reactivity Ramp Rate (\$/sec)	Table Lookup		—	—	Table Lookup	Table Lookup		
Calculation Results by VENUS-PM	Max. Power (P_{max}/P_o)	10650	9980	9340	9040	8200			
	Max. Net Reactivity (\$)	1.196	1.225	1.254	1.165	1.149			
	Duration of Superprompt * Critical Excursion (ms)	5.0	5.2	5.3	4.1	3.6			
	Total Energy Released (MJ)**	9260	8600	7910	8590	8270			
	Total Molten Fuel Mass (kg)	6380	6360	6280	6600	6600			
	Molten Fuel Average Temperature (K)	5110	4920	4750	4950	4890			
	Active Core Fuel Average Temp. (K)	5010	4820	4630	4860	4800			
	Fuel Vapor # Work (MJ)	to 1 atm.	992	826	671	859	808		
		$\int (P-1, 0)dV$ Work	802	657	525	686	642		
		at Na Slug Impact:A/B##	305/434	250/360	205/292	267/376	245/353		

Note : * Duration since switch to VENUS-PM
 ** Energy calculated since switch to VENUS-PM
 # Work by isentropic expansion
 ## A : For cover gas volume of 27.8m^3
 B : For 70 m^3

Table 6.1-19b. Summary Table of MONJU-HCDA SAS3D-to-VENUS-PM Switch Calculation

Accident Category : LOF, Reactor State : EOEC
 SAS3D Case ID : REAC.LRIP.FCI.C2323

Initial Conditions & Results		VENUS-PM Case ID	1 STP564 100\$/sec	2 170\$/sec	3 250\$/sec	4	5	6	7
Initial Conditions to VENUS-PM	SAS3D-to-VENUS-PM Switch Time (sec)		13.7714	—	—				
	Power (P/P_o)		299	—	—				
	Net Reactivity (\$)		1.011	—	—				
	Total Molten Fuel Mass (kg)		2340	—	—				
	Molten Fuel Average Temperature (K)		3160	—	—				
Calculation Results by VENUS-PM	Insertion-Reactivity Ramp Rate (\$/sec)		100	170	250				
	Max. Power (P_{max}/P_o)		5240	11210	18600				
	Max. Net Reactivity (\$)		1.143	1.231	1.315				
	Duration of Superprompt * Critical Excursion (ms)		3.4	2.7	2.3				
	Total Energy Released (MJ)**		6340	8780	10820				
	Total Molten Fuel Mass (kg)		5970	6360	6550				
	Molten Fuel Average Temperature (K)		4370	4980	5510				
	Active Core Fuel Average Temp. (K)		4210	4870	5450				
	Fuel Vapor # Work (MJ)	to 1 atm.	386	871	1431				
		$\int (P-1, 0)dV$ Work	288	696	1190				
		at Na Slug Impact:A/B##	120/172	273/380	470/640				

Note : * Duration since switch to VENUS-PM
 ** Energy calculated since switch to VENUS-PM
 # Work by isentropic expansion
 ## A : For cover gas volume of 27.8m^3
 B : For 70 m^3

Table 6.1-20a. Summary Table of MONJU-HCDA SAS3D-to-VENUS-PM Switch Calculation

Accident Category : LOF, Reactor State : EOEC
 SAS3D Case ID : REAC.BURST.FCI.C2319(Case #1 to #3) and
 REAC. BURST.FCI.PIN3G.C2324(Case #5)

Initial Conditions & Results		VENUS-PM Case ID	1 STP5555 Nominal 0.7	2 Doppler Coeff. x 1.0	3 1.3	4	5 STP565	6	7
Initial Conditions to VENUS-PM	SAS3D-to-VENUS-PM Switch Time (sec)	13.7963	—	—			13.7710		
	Power (P/P_o)	431	—	—			429		
	Net Reactivity (\$)	1.009	—	—			1.021		
	Total Molten Fuel Mass (kg)	1700	—	—			2290		
	Molten Fuel Average Temperature (K)	3090	—	—			3160		
	Insertion-Reactivity Ramp Rate (\$/sec)	Table Lookup	—	—			Table Lookup		
Calculation Results by VENUS-PM	Max. Power (P_{max}/P_o)	3740	2750	2300			2940		
	Max. Net Reactivity (\$)	1.102	1.0984	1.0980			1.083		
	Duration of Superprompt * Critical Excursion (ms)	5.1	4.9	3.8			3.5		
	Total Energy Released (MJ)**	6140	5170	4550			4900		
	Total Molten Fuel Mass (kg)	5670	5270	5000			5460		
	Molten Fuel Average Temperature (K)	4210	4000	3870			4050		
	Active Core Fuel Average Temp. (K)	4010	3770	3620			3840		
	Fuel Vapor [#] Work (MJ)	to 1 atm.	275	172	122		204		
		$\int (P-1, 0) dv$ Work	200	120	83		145		
		at Na Slug Impact: A/B ^{##}	85/128	55/36	42/64		63/96		

Note : * Duration since switch to VENUS-PM
 ** Energy calculated since switch to VENUS-PM

Work by isentropic expansion
 ## A : For cover gas volume of 27.8cm^3
 B : For 70m^3

Table 6.1-20b. Summary Table of MONJU-HCDA SAS3D-to-VENUS-PM Switch Calculation

Accident Category : LOF, Reactor State : EOEC.

SAS3D Case ID : REAC.BURST.FCI.C2319

Initial Conditions & Results		VENUS-PM Case ID	1 STP555 70 \$/sec	2 120\$/sec	3 180\$/sec	4	5	6	7
Initial Conditions to VENUS-PM	SAS3D-to-VENUS-PM Switch Time (sec)	13.7693		←	→				
	Power (P/P_o)	431		←	→				
	Net Reactivity (\$)	1.009		←	→				
	Total Molten Fuel Mass (kg)	1700		←	→				
	Molten Fuel Average Temperature (K)	3090		←	→				
Calculation Results by VENUS-PM	Insertion-Reactivity Ramp Rate (\$/sec)	70	120	180					
	Max. Power (P_{max}/P_o)	2970	6610	11430					
	Max. Net Reactivity (\$)	1.079	1.148	1.217					
	Duration of Superprompt * Critical Excursion (ms)	3.8	3.1	2.6					
	Total Energy Released (MJ)**	5400	7460	9260					
	Total Molten Fuel Mass (kg)	5460	6070	6360					
	Molten Fuel Average Temperature (K)	4030	4500	4940					
	Active Core Fuel Average Temp. (K)	3830	4350	4840					
	Fuel Vapor [#] Work (MJ)	to 1 atm.	194	471	842				
		$\int (P-1, 0)dV$ Work	137	358	671				
		at Na Slug Impact:A/B ^{##}	62/95	150/208	270/367				

Note : * Duration since switch to VENUS-PM
** Energy calculated since switch to VENUS-PM
Work by isentropic expansion
A : For cover gas volume of 27.8 m^3
B : For 70 m^3

Table 6.1-21. Summary Table of MONJU-HCDA SAS3D-to-VENUS-PM Switch Calculation

Accident Category : LOF, Reactor State : EOEC

SAS3D Case ID : LF.REAC.GAPCON.C2322

Initial Conditions & Results		VENUS-PM Case ID	1 STP545	2 STP550	3 STP550 70\$/sec	4 120\$/sec	5 180\$/sec	6	7
Initial Conditions to VENUS-PM	SAS3D-to-VENUS-PM Switch Time (sec)		13.6611	13.6629	—	—	—		
	Power (P/P_o)		503	802	—	—	—		
	Net Reactivity (\$)		1.0195	1.0599	—	—	—		
	Total Molten Fuel Mass (kg)		2610	3440	—	—	—		
	Molten Fuel Average Temperature (K)		3200	3240	—	—	—		
Calculation Results by VENUS-PM	Insertion-Reactivity Ramp Rate (\$/sec)	Table Lookup	Table Lookup	70	120	180			
	Max. Power (P_{max}/P_o)	2950	3010	2090	4140	7440			
	Max. Net Reactivity (\$)	1.082	1.080	1.064	1.104	1.159			
	Duration of Superprompt * Critical Excursion (ms)	3.6	2.3	2.1	2.2	2.0			
	Total Energy Released (MJ)**	4930	4550	3670	5300	7000			
	Total Molten Fuel Mass (kg)	5590	5650	5220	5880	6220			
	Molten Fuel Average Temperature (K)	4130	4190	4010	4350	4760			
	Active Core Fuel Average Temp. (K)	3930	3990	3770	4170	4630			
	Fuel Vapor Work (MJ) #	to 1 atm.	240	263	165	362	666		
		$\int (P-1, 0) dv$ Work	171	185	109	266	520		
		at Na Slug Impact: A/B##	70/108	74/111	50/75	105/152	200/283		

Note : * Duration since switch to VENUS-PM
 ** Energy calculated since switch to VENUS-PM

Work by isentropic expansion
 ## A : For cover gas volume of 27.8cm^3
 B : For 70 m^3

Table 6.1-22. Summary Table of MONJU-HCDA SAS3D-to-VENUS-PM Switch Calculation

Accident Category : LOF, Reactor State : EOEC
 SAS3D Case ID : Summary of All Energetic CDA Cases

Initial Conditions & Results	VENUS-PM Case ID	1 EXNRC. C2318	2 RP. C2317	3 FCI25 C2320	4 FRIP. FCI. C2323	5 BURST. FCI. C2319	6 BURST FCI.PING C2324	7 GAPCON C2322	
Initial Conditions to VENUS-PM	SAS3D-to-VENUS-PM Switch Time (sec)	13.5674	13.7734	13.7685	13.7714	13.7693	13.7710	13.6623	
	Power (P/P_o)	403	1030	522	299	431	429	802	
	Net Reactivity (\$)	1.001	1.090	1.030	1.011	1.009	1.021	1.0599	
	Total Molten Fuel Mass (kg)	1820	3380	1970	2340	1700	2290	3440	
	Molten Fuel Average Temperature (K)	3090	3260	3120	3160	3090	3160	3240	
Calculation Results by VENUS-PM	Insertion-Reactivity Ramp Rate (\$/sec)	95	80	160	190	85	72	98	
	Max. Power (P_{max}/P_o)	4420	3000	8160	10650	3740	2940	3010	
	Max. Net Reactivity (\$)	1.126	1.096	1.163	1.196	1.102	1.083	1.080	
	Duration of Superprompt * Critical Excursion (ms)	6.0	1.8	3.2	5.0	5.1	3.5	2.3	
	Total Energy Released (MJ)**	6660	4240	8250	9260	6140	4900	4550	
	Total Molten Fuel Mass (kg)	5950	5530	6280	6380	5670	5460	5650	
	Molten Fuel Average Temperature (K)	4320	4120	4750	5110	4210	4050	4190	
	Active Core Fuel Average Temp. (K)	4160	3910	4640	5010	4010	3840	3990	
	Fuel Vapor # Work (MJ)	to 1 atm.	356	232	676	992	275	204	263
		$\int (P - 1.0) dV$ Work	263	162	529	802	200	145	185
		at Na Slug Impact:A/B##	110/160	61/102	205/295	305/434	85/128	63/96	74/111

Note : * Duration since switch to VENUS-PM
 ** Energy calculated since switch to VENUS-PM
 # Work by isentropic expansion
 ## A : For cover gas volume of 27.8m^3
 B : For 70 m^3

6-72

Table 6.1-23

Summary of EOEC LOF HCDA Energetics under the Assumption of Maximum Conservative Reactivity Coefficients for Coolant Voiding and Doppler Effect

Case ID Final Core State & Fuel Vapor Work #	1 BE. C2316	2 EXNRC. C2318	3 RP. C2317	4 FPSLP. C2321	5 FCI25. C2320	6 LRIP. FCI. C2323	7 BURST. FCI. C2319	8 BURST. FCI.PIN3G C2324	9 GAPCON. C2322
Total Molten Fuel Mass * (kg)	2550	5950	5530	2680	6280	6380	5670	5460	5650
Molten Fuel Average Temp. (K)	3230	4320	4120	3190	4750	5110	4210	4050	4190
Core Average Fuel Temp. (K)	2770	4160	3910	2860	4640	5010	4010	3840	3990
Isentropic Fuel Vapor Expansion Work (MJ)									
To 1 atm.	3.3	356	232	2.0	676	992	275	145	263
$\int (P - 1.0) dV$ Work	--	263	162	--	529	802	200	145	185
At Na Slug Impact A/B##	0/0	110/160	61/102	0/0	205/295	305/434	85/128	63/96	74/111

Note : # Not including any work expected from FCI(Fuel-Coolant Interaction) during post-disassembly molten core expansion.

A : For cover gas volume of 27.8 m^3 , B : For 70 m^3

* Total active core fuel mass is about 6700 kg.

**Table 6.1-24. SAS3D Input for EOEC LOF Parameter Analysis Reference Case
 (Case LF.REAC.RP.C2317)**

PAGE 1

TIME<15:40:54> DATE<03/26/81>
J3765,1F,HFAC,PP,C2317,DATA

186	5 0.32917	0.33429	0.35943	0.34558	0.35367
191	5 0.36461	0.37946	0.39916	0.42465	0.45692
194	5 0.49693	0.54561	0.62571	0.50318	0.50318
201	5 0.27007	0.28366	0.30426	0.31512	0.32310
206	5 0.32917	0.33429	0.35943	0.34558	0.35362
211	5 0.36461	0.37946	0.39916	0.42465	0.45692
216	5 0.49693	0.54561	0.62571	0.50318	0.50318
221	5 0.27007	0.28366	0.30426	0.31512	0.32310
226	5 0.32917	0.33429	0.35943	0.34558	0.35362
231	5 0.36461	0.37946	0.39916	0.42465	0.45692
236	5 0.49693	0.54561	0.62571	0.50318	0.50318
241	5 0.27007	0.28366	0.30426	0.31512	0.32310
246	5 0.32917	0.33429	0.35943	0.34558	0.35362
251	5 0.36461	0.37946	0.39916	0.42465	0.45692
256	5 0.49693	0.54561	0.62571	0.50318	0.50318
341	5 100.0	700.0	400.0	550.0	700.0
346	5 850.0	1000.0	1150.0	1300.0	1450.0
351	5 1600.0	1750.0	1900.0	2050.0	2200.0
356	5 2350.0	2500.0	2699.9	2700.0	5000.0
361	5 10.9928	10.8815	10.7046	10.4899	10.2419
366	5 9.8490	8.8052	8.6131	8.0293	7.5196
381	5 10.9928	10.8815	10.7046	10.4899	10.2419
386	5 9.8490	8.8052	8.6131	8.0293	7.5196
401	5 10.9928	10.8815	10.7046	10.4899	10.2419
406	5 9.8490	8.8052	8.6131	8.0293	7.5196
421	5 10.9928	10.8815	10.7046	10.4899	10.2419
426	5 9.8490	8.8052	8.6131	8.0293	7.5196
521	5 100.0	500.0	1000.0	1500.0	2000.0
526	5 2700.0	2700.0	3000.0	4000.0	5000.0
541	5 100.0	500.0	1000.0	1500.0	2000.0
546	5 2700.0	2700.0	3000.0	4000.0	5000.0
561	5 100.0	500.0	1000.0	1500.0	2000.0
566	5 2700.0	2700.0	3000.0	4000.0	5000.0
581	5 100.0	500.0	1000.0	1500.0	2000.0
586	5 2700.0	2700.0	3000.0	4000.0	5000.0
681	5 2.01534E 12	1.93198E 12	1.85352E 12	1.77016E 12	1.68680E 12
686	5 1.44758E 12	1.60834E 12	1.06000E 12	9.50000E 11	8.50000E 11
691	5 7.50000E 11	6.50000E 11	0.0	0.0	0.0
741	5 0.0	100.0	200.0	300.0	400.0
746	5 450.0	500.0	1000.0	1100.0	1200.0
751	5 1300.0	1400.0	1500.0	2000.0	3000.0
761	5 6.28300E 09	5.85000E 09	5.26900E 09	4.46300E 09	3.81500E 09
766	5 3.04100E 09	2.32600E 09	1.80100E 09	1.39200E 09	1.16300E 09
771	5 9.74800E 08	7.37500E 08	6.76000E 08	5.71000E 08	2.42000E 08
821	5 5.00000E 01	2.00000E 02	4.00000E 02	6.00000E 02	6.50000E 02
826	5 7.00000E 02	7.50000E 02	8.00000E 02	8.50000E 02	8.75000E 02
851	5 8.99000E 02	9.27000E 02	9.50000E 02	1.00000E 03	1.40000E 03
841	5 3.968	4.110	4.420	4.564	4.701
846	5 4.831	4.955	5.386	5.295	5.077
851	5 4.338	0.0	0.0	0.0	0.0
901	5 27.0	200.0	600.0	800.0	1000.0
906	5 1200.0	1399.0	1400.0	1600.0	2000.0
911	5 3000.0	0.0	0.0	0.0	0.0
921	5 0.15563	0.31573	0.17890	0.23140	0.0
981	5 27.0	1399.0	1401.0	3000.0	0.0
1001	5 1.40000E 03	1.40000E 03	1.40000E 03	1.89160E-05	1.89160E-05
1006	5 1.89160E-05	0.32	0.32	0.32	2.61910E 02

PAGE 3

TIME<15:40:54> DATE<03/26/81>
J3765.LF.RFAC.PP.C7317.DAT

1011	5	2.61910E 02	2.61910E 02	0.5711	0.5711	0.5711
1065	5	1.26620E 12	1.26620E 12	1.26620E 12	1.26620E 12	0.0
1073	5	4.82000E 11	4.82000E 11	4.82000E 11	4.82000E 11	0.0
1081	5	2700.0	2700.0	2700.0	2700.0	0.0
1089	5	280.0	280.0	280.0	280.0	0.0
1097	5	270.0	270.0	270.0	270.0	0.0
1107	3	11.01618	3.10650E-05	3.73280E-09		
1112	7	8.8052	9.30000E-05			
1117	5	2.1	0.288	2.52000E-02	5.83000E-12	5.75000E 00
1127	5	5.03000E-02	2.91000E-13	0.0	0.0	0.0
1279	1	15.0				
1135	5	1.0	1.0	1.0	1.0	1.0
1140	5	1.0	1.0	1.0	1.0	1.0
1171	5	0.0	1.0	2.0	3.0	4.0
1176	5	5.0	6.0	7.0	8.0	1000.0
1207	5	1.0	1.0	1.0	1.0	1.0
1212	5	1.0	1.0	1.0	1.0	1.0
1243	5	0.0	1.0	2.0	3.0	4.0
1248	5	5.0	6.0	7.0	8.0	1000.0

-1						
PRIMIN	14	1	0			
1	4	3.58000E-01	-1.70000E-02	1.40000E-04	1.9717	FEC/LCF
45	5	1.87500E-01	-2.00000E-01	5.00000E-02	5.00000E-03	1.00000E-03
50	5	7.50000E-02	1.00000E-02	2.00000E-03	5.00000E-02	1.00000E 01
55	5	2.50000E 01	-2.45000E 02	3.75000E 02	7.07000E 02	9.05000E 02
60	5	7.00000E 07	4.72500E 05	1.00000E 01	3.12400E 01	6.13280E 03
65	5	3.07870E 01	1.04040E 04	1.23090E 04	2.23732E 01	1.00000L 00
70	3	1.00000E 04	0.0	9.12600E 08		
153	2	3.97000E 02	2.50000E-01			

-1						
INPCHN	51	1	0			
1	10	11	20	30	4	3
11	1	1				
17	10	169	9	1	1	3
27	2	1	1			
82	7	1	1	0	1	0
94	5	1	1	1	2	0
104	10	1	1	0	0	0
114	1	4				
120	10	1	-3	1	0	0
130	5	0	0	0	0	15
140	10	0	0	0	0	0
150	2	0	0	0	0	0
96	1	0				
105	1	1				
121	1	-1				
82	2	1	1			

-1						
INPCHN	51	2	1			
18	1	9	,			
-1						
INPCHN	51	3	2			
18	1	3				
-1						
INPCHN	51	4	3			
18	1	12				
-1						

TIME<15:40:54> DATF<05/2A/R1>
J3765.LF.HFAC.RP.C7317.DATA

INPCHN	51	5	4			
18	1	18				
-1						
INPCHN	51	6	5			
18	1	15				
-1						
INPCHN	51	7	6			
18	1	9				
-1						
INPCHN	51	8	7			
18	1	12				
-1						
INPCHN	51	9	8			
18	1	15				
-1						
INPCHN	51	10	9			
18	1	9				
-1						
INPCHN	51	11	10			
18	1	15				
-1						
INPCHN	51	12	11			
18	1	12				
-1						
INPCHN	51	13	12			
18	1	33				
-1						
INPCHN	51	14	13			
18	1	27				
-1						
GFORIN	61	1	0			
1	5	0.0	0.0			
6	5	0.0	0.0			
11	5	0.0	0.0			
16	5	0.0	0.0			
21	4	0.0	0.0			
25	5	0.27	0.27			
30	5	0.27	0.27			
35	5	0.27	0.27			
40	5	0.27	0.27			
49	5	0.27R	0.27R			
54	5	0.27R	0.27R			
59	5	0.27R	0.27R			
64	5	0.27R	0.27R			
75	5	0.325	0.325			
78	5	0.325	0.325			
83	5	0.325	0.325			
88	5	0.325	0.325			
97	5	3.2500E-01	1.88462E 01	9.00000E 00	7.15385E 00	7.15385E 00
102	5	7.15385E 00				
107	5	7.15385E 00				
112	5	7.15385E 00				
117	1	8.53846E 00				
122	5	1.16000E 02	0.0	3.10000E 01	0.0	6.45000E 01
127	5	0.0	3.93340E-01	0.0	0.0	6.66175E-01
132	5	8.66750E-01	3.08600E-01	2.70000E 01	1.05000E-01	0.0
-1						

TIME<15:40:56> DAIF<03/26/R1>
J3765.LF.RFAC.RP.C7317.DATA

GFOMIN	61	?	1
-1			
GFOMIN	61	3	2
-1			
GFOMIN	61	4	3
-1			
GFOMIN	61	5	4
-1			
GFOMIN	61	6	5
-1			
GFOMIN	61	7	6
-1			
GEOMIN	61	8	7
-1			
GFOMIN	61	9	8
-1			
GFOMIN	61	10	9
-1			
GEOMIN	61	11	10
-1			
GFOMIN	61	12	11
-1			
GEOMIN	61	13	12
-1			
GFOMIN	61	14	13
-1			
POWINC	62	1	0
1	4	0.0	0.009
147	1	0.8385	
173	2	2699.0	0.5
-1			
POWINC	62	2	1
-1			
POWINC	62	3	2
-1			
POWINC	62	4	3
-1			
POWINC	62	5	4
-1			
POWINC	62	6	5
-1			
POWINC	62	7	6
-1			
POWINC	62	8	7
-1			
POWINC	62	9	8
-1			
POWINC	62	10	9
-1			
POWINC	62	11	10
-1			
POWINC	62	12	11
-1			
POWINC	62	13	12
-1			
POWINC	62	14	13

TIME<15:40:54> DATE<03/26/R1>
J3765.LF,RFAC,PP,C2S17,DATA

POWTNC	62	1	1			
5	5	1.32593E+02	2.05748E+02	2.87963E+02	1.44988E+03	1.73400E+03
10	5	1.98747E+03	2.18141E+03	2.32198E+03	2.40947E+03	2.43767E+03
15	5	2.40937E+03	2.31658E+03	2.16634E+03	1.96018E+03	1.68887E+03
20	5	1.35804E+03	2.09401E+02	1.19080E+02	5.34099E+01	1.97212E+01
-1						
POWTNC	62	10	10			
5	5	1.84027E+02	2.98771E+02	3.93332E+02	1.31026E+03	1.55618E+03
10	5	1.75649E+03	1.90442E+03	2.01596E+03	2.08284E+03	2.11523E+03
15	5	2.09984E+03	2.04218E+03	1.93400E+03	1.76968E+03	1.54321E+03
20	5	1.23058E+03	2.67169E+02	1.60456E+02	7.42505E+01	2.61439E+01
-1						
POWTNC	62	3	3			
5	5	1.42532E+02	2.78153E+02	3.11671E+02	1.34322E+03	1.60456E+03
10	5	1.83439E+03	2.01013E+03	2.13844E+03	2.21795E+03	2.24560E+03
15	5	2.22139E+03	2.14003E+03	2.00574E+03	1.82579E+03	1.56769E+03
20	5	1.277014E+03	2.21672E+02	1.30795E+02	6.03667E+01	2.19144E+01
-1						
POWTNC	62	7	7			
5	5	1.73157E+02	2.81066E+02	3.70421E+02	1.24547E+03	1.47795E+03
10	5	1.66939E+03	1.81284E+03	1.91935E+03	1.98320E+03	2.01570E+03
15	5	1.99837E+03	1.94179E+03	1.83645E+03	1.67671E+03	1.45830E+03
20	5	1.16054E+03	2.50303E+02	1.50501E+02	6.96786E+01	2.45157E+01
-1						
POWTNC	62	6	6			
5	5	1.57448E+02	2.55781E+02	3.39493E+02	1.18715E+03	1.41228E+03
10	5	1.59984E+03	1.74118E+03	1.84618E+03	1.90957E+03	1.93778E+03
15	5	1.92139E+03	1.86353E+03	1.75835E+03	1.60181E+03	1.38996E+03
20	5	1.10591E+03	2.32495E+02	1.39939E+02	6.47567E+01	2.27387E+01
-1						
POWTNC	62	2	2			
5	5	1.21741E+02	1.91485E+02	2.66951E+02	1.29550E+03	1.55017E+03
10	5	1.77511E+03	1.94697E+03	2.07207E+03	2.14936E+03	2.17472E+03
15	5	2.14893E+03	2.06683E+03	1.93152E+03	1.73706E+03	1.48314E+03
20	5	1.16668E+03	1.89374E+02	1.08623E+02	4.91332E+01	1.81000E+01
-1						
POWTNC	62	4	4			
5	5	1.14801E+02	1.84509E+02	2.56243E+02	1.16964E+03	1.40257E+03
10	5	1.60581E+03	1.76122E+03	1.87569E+03	1.94644E+03	1.97034E+03
15	5	1.94779E+03	1.87448E+03	1.75700E+03	1.58463E+03	1.35795E+03
20	5	1.07074E+03	1.81297E+02	1.04926E+02	4.78950E+01	1.76045E+01
-1						
POWTNC	62	R	R			
5	5	1.42798E+02	2.34479E+02	3.13188E+02	1.09739E+03	1.30913E+03
10	5	1.48567E+03	1.61863E+03	1.71697E+03	1.77611E+03	1.80251E+03
15	5	1.78694E+03	1.73224E+03	1.63256E+03	1.48057E+03	1.27576E+03
20	5	1.00664E+03	2.09257E+02	1.24650E+02	5.77150E+01	2.06122E+01
-1						
POWTNC	62	12	12			
5	5	1.17737E+02	1.98168E+02	2.69083E+02	9.62381E+02	1.15638E+03
10	5	1.31871E+03	1.64099E+03	1.53022E+03	1.58379E+03	1.60698E+03
15	5	1.59211E+03	1.54027E+03	1.44731E+03	1.30733E+03	1.12051E+03
20	5	1.78027E+02	1.80467E+02	1.06472E+02	4.91558E+01	1.76983E+01
-1						
POWTNC	62	5	5			
5	5	1.00260E+02	1.64050E+02	2.30863E+02	1.06093E+03	1.27874E+03
10	5	1.46848E+03	1.61336E+03	1.71942E+03	1.78496E+03	1.80781E+03

TYPE<15:40:54> DATA<03/26/81>
 J3765.IF.HMAC.RP.C2317.DATA
 15 5 1.78792E+03 1.72314E+03 1.61396E+03 1.45525E+03 1.24 .5E+03
 20 5 9.8154E+02 1.46985E+02 9.61618E+01 4.34968E+01 1.58185E+01
 -1
 POWTNC 62 14 14
 5 5 7.94129E+01 1.41139E+02 2.05132E+02 9.99767E+02 1.20983E+03
 10 5 1.37924E+03 1.50362E+03 1.59615E+03 1.64714E+03 1.67153E+03
 15 5 1.65492E+03 1.60807E+03 1.51778E+03 1.38362E+03 1.19945E+03
 20 5 9.47960E+02 1.59530E+02 9.20713E+01 4.16647E+01 1.52621E+01
 -1
 POWTNC 62 9 9
 5 5 6.53087E+01 1.11589E+02 1.73887E+02 1.17124E+03 1.42353E+03
 10 5 1.64445E+03 1.81114E+03 1.92791E+03 1.99911E+03 2.02420E+03
 15 5 2.00504E+03 1.92747E+03 1.79984E+03 1.62132E+03 1.38654E+03
 20 5 1.08704E+03 1.40464E+02 7.57725E+01 3.18374E+01 1.17615E+01
 -1
 POWTNC 62 13 13
 5 5 5.27452E+01 9.34156E+01 1.39883E+02 7.80587E+02 9.50223E+02
 10 5 1.09144E+03 1.19440E+03 1.27179E+03 1.31679E+03 1.33583E+03
 15 5 1.32354E+03 1.28110E+03 1.20598E+03 1.09491E+03 9.44731E+02
 20 5 7.46536E+02 1.12554E+02 6.41866E+01 2.87784E+01 1.07502E+01
 -1
 POWTNC 62 11 11
 5 5 4.42081E+01 8.26729E+01 1.70634E+02 8.86762E+02 1.08280E+03
 10 5 1.29438E+03 1.38435E+03 1.47773E+03 1.55518E+03 1.55419E+03
 15 5 1.53402E+03 1.47774E+03 1.38154E+03 1.24514E+03 1.06548E+03
 20 5 8.38787E+02 1.07546E+02 5.87303E+01 2.50259E+01 9.35205E+00
 -1
 POWTNC 62 1 1
 29 1 1.26421D+00
 -1
 POWTNC 62 10 10
 29 1 1.14124D+00
 -1
 POWTNC 62 3 3
 29 1 1.17815D+00
 -1
 POWTNC 62 7 7
 29 1 1.08375D+00
 -1
 POWTNC 62 6 6
 29 1 1.03645D+00
 -1
 POWTNC 62 2 2
 29 1 1.12461D+00
 -1
 POWTNC 62 4 4
 29 1 1.02474D+00
 -1
 POWTNC 62 8 8
 29 1 9.59743D-01
 -1
 POWTNC 62 12 12
 29 1 8.49154D-01
 -1
 POWTNC 62 5 5
 29 1 9.38361D-01
 -1

TIME<15:40:54> DAIF<03/26/R1>
J3765.IF.RFAC.RP.C2317.UA1A

POWINC	62	14	14			
29	1	8.70188D-01				
-1						
POWINC	62	9	9			
29	1	1.03432E+00				
-1						
POWINC	62	13	13			
29	1	6.93287E-01				
-1						
POWINC	62	11	11			
29	1	7.91790E-01				
-1						
POWINC	62	1	1			
80	5	9.68534E-02	4.16264E-04-7.00413E-01	6.39984E+00	7.49710E+00	
85	5	9.26752E+00	1.06337E+01	1.20269E+01	1.28153E+01	1.30847E+01
90	5	1.28399E+01	1.20253E+01	1.07946E+01	9.22357E+00	7.43550E+00
95	5	6.22866E+00-2.53571E-01	3.10102E-01	1.95109E-01	1.62814E-01	
-1						
POWINC	62	10	10			
80	5	1.149976E-01	2.09464E-01-1.55965E-01	5.30027E+00	6.08967E+00	
85	5	7.21196E+00	8.12220E+00	8.85085E+00	9.27830E+00	9.57892E+00
90	5	9.49491E+00	9.18328E+00	8.54238E+00	7.54898E+00	6.32244E+00
95	5	5.41568E+00	2.90868E-02	4.04288E-01	2.34359E-01	1.68297E-01
-1						
POWINC	62	3	3			
80	5	9.71563E-02	7.45924E-02-4.53359E-01	5.54325E+00	6.47786E+00	
85	5	7.94457E+00	9.20592E+00	1.01885E+01	1.08286E+01	1.10763E+01
90	5	1.08887E+01	1.02527E+01	9.25573E+00	8.00576E+00	6.54843E+00
95	5	5.51322E+00-7.66879E-01	2.87764E-01	2.13354E-01	1.65278E-01	
-1						
POWINC	62	7	7			
80	5	1.10422E-01	1.92473E-01-1.43412E-01	4.79717E+00	5.51775E+00	
85	5	6.54631E+00	7.38381E+00	8.05181E+00	8.44542E+00	8.71604E+00
90	5	8.63583E+00	8.35986E+00	7.74556E+00	6.82914E+00	5.70015E+00
95	5	4.85943E+00	3.03349E-02	3.63332E-01	2.10846E-01	1.49744E-01
-1						
POWINC	62	6	6			
80	5	9.85080E-02	1.70681E-01-1.39959E-01	4.39163E+00	5.07914E+00	
85	5	6.06713E+00	6.88724E+00	7.53258E+00	7.92576E+00	8.16315E+00
90	5	8.07206E+00	7.75726E+00	7.16478E+00	6.29531E+00	5.23269E+00
95	5	4.42105E+00-1.16643E-02	3.14400E-01	1.93900E-01	1.36353E-01	
-1						
POWINC	62	2	2			
80	5	8.26175E-02	3.35260E-02-4.94685E-01	5.17551E+00	6.07986E+00	
85	5	7.51118E+00	8.74345E+00	9.69877E+00	1.03242E+01	1.05483E+01
90	5	1.03523E+01	9.72390E+00	8.75866E+00	7.47017E+00	5.99615E+00
95	5	4.95367E+00-1.50126E-01	7.51930E-01	1.56565E-01	1.29705E-01	
-1						
POWINC	62	4	4			
80	5	7.35233E-02	7.49359E-02-3.08667E-01	4.29167E+00	5.05736E+00	
85	5	6.22294E+00	7.22463E+00	8.01345E+00	8.52790E+00	8.72044E+00
90	5	8.56330E+00	8.07201E+00	7.79584E+00	6.24590E+00	5.02630E+00
95	5	4.14748E+00-9.44539E-02	2.39522E-01	1.44854E-01	1.12135E-01	
-1						
POWINC	62	R	R			
80	5	8.35858E-02	1.62942E-01-7.81301E-02	3.82135E+00	4.45047E+00	
85	5	5.33062E+00	8.05874E+00	6.63598E+00	6.98541E+00	7.19597E+00

TIME<15:40:54> DATE<05/26/81>
 J3765.LF.RFAC.RP.CPS17.DATA
 90 5 7.11515E+00 6.85413E+00 6.30820E+00 5.51644E+00 4.55034E+00
 95 5 3.79831E+00 5.41215E-02 2.81701E-01 1.55435E-01 1.09523E-01
 -1
 POWTIC 62 12 12
 80 5 7.06358E-02 1.72374E-01 2.80748E-02 3.05353E+00 3.58784E+00
 85 5 4.32097E+00 6.93596E+00 5.41815E+00 5.71247E+00 5.87857E+00
 90 5 5.80385E+00 5.54544E+00 5.08549E+00 4.41072E+00 3.59558E+00
 95 5 2.96025E+00 8.35501E-02 2.19284E-01 1.11691E-01 8.03558E-02
 -1
 POWTIC 62 5 5
 80 5 6.73043E-02 1.06985E-01-1.71613E-01 3.41838E+00 4.28564E+00
 85 5 5.78209E+00 6.14383E+00 6.82039E+00 7.26273E+00 7.43243E+00
 90 5 7.30266E+00 6.88446E+00 6.72200E+00 5.31641E+00 4.26778E+00
 95 5 3.51031E+00-4.15996E-02 2.13144E-01 1.24224E-01 9.18224E-02
 -1
 POWINC 62 14 14
 80 5 4.89753E-02 1.45664E-01 2.95437E-02 3.20809E+00 3.95150E+00
 85 5 4.87833E+00 5.66475E+00 6.27071E+00 6.44172E+00 6.82535E+00
 90 5 6.71517E+00 6.36911E+00 5.77233E+00 6.92771E+00 3.93883E+00
 95 5 3.11514E+00 7.41409E-02 1.92951E-01 8.97238E-02 6.34295E-02
 -1
 POWINC 62 9 9
 80 5 5.01684E-02 1.00188E-01-1.56118E-01 4.02215E+00 5.01138E+00
 85 5 6.37713E+00 7.57601E+00 8.47300E+00 9.05860E+00 9.27875E+00
 90 5 9.10550E+00 8.47057E+00 7.51440E+00 6.26575E+00 4.87389E+00
 95 5 3.82355E+00-1.01247E-02 1.85840E-01 8.41451E-02 6.50908E-02
 -1
 POWINC 62 13 13
 80 5 2.87249E-02 1.03909E-01 7.66555E-02 2.15847E+00 2.77111E+00
 85 5 3.51540E+00 4.16270E+00 4.65553E+00 4.97037E+00 5.09848E+00
 90 5 5.00471E+00 4.69793E+00 4.20418E+00 3.52049E+00 2.74139E+00
 95 5 2.08612E+00 8.59179E-02 1.27608E-01 5.49833E-02 3.77127E-02
 -1
 POWINC 62 11 11
 80 5 3.00404E-02 9.46847E-02 1.83323E-02 2.60182E+00 3.34726E+00
 85 5 4.30367E+00 5.14946E+00 5.79588E+00 6.72415E+00 6.36254E+00
 90 5 6.22816E+00 5.79097E+00 5.12837E+00 4.24948E+00 3.26789E+00
 95 5 2.47755E+00 5.23451E-02 1.30006E-01 5.57508E-02 4.11171E-02
 -1
 POWINC 62 1 1
 56 5 -4.54198E-01-6.06959E-01-1.20075E+00-1.40263E+00 7.09620E-01
 61 5 2.72940E+00 4.72312E+00 6.24114E+00 7.18387E+00 7.45712E+00
 66 5 7.04155E+00 5.95912E+00 4.28066E+00 2.24118E+00-2.26822E-02
 71 5 -2.34057E+00-2.04866E+00-1.10950E+00-7.17198E-01-4.93446E-01
 -1
 POWINC 62 10 10
 56 5 -4.60120E-01-6.57907E-01-1.07341E+00-1.07357E+00 1.08431E+00
 61 5 3.30090E+00 5.23070E+00 6.82175E+00 7.79457E+00 8.06117E+00
 66 5 7.61700L+00 6.4890RE+00 4.71260E+00 2.62497E+00 2.80911E-01
 71 5 -2.02065E+00-1.91919E+00-1.12741E+00-7.37375E-01-4.97852E-01
 -1
 POWINC 62 3 3
 56 5 -4.25009E-01-5.98354E-01-1.10217E+00-1.26207E+00 7.25998E-01
 61 5 2.70153E+00 4.46256E+00 5.88140E+00 6.76270E+00 7.01753E+00
 66 5 4.63020L+00 5.62204E+00 4.05373E+00 2.10474E+00 5.72800E-02
 71 5 -1.98967E+00-1.72279E+00-1.06021E+00-7.58048E-01-4.89463E-01

TIME<15:40:54> DATE<03/26/81>
J3765.LF.RFAC.RP.C7317.DATA

POWTHC	62	7	7
56	$5-4.29172E-01-6.73244E-01-9.95202E-01-9.73070E-01$	$9.79094E-01$	
61	$5.7.98688E+00 4.74552E+00 6.18188E+00 7.06444E+00$	$7.30354E+00$	
66	$5.6.94370E+00 5.85946E+00 4.23219E+00 2.32408E+00$	$2.02048E-01$	
71	$5-1.84840E+00-1.73263E+00-1.02378E+00-6.63429E-01-4.43878E-01$		
-1			
POWTHC	62	6	6
56	$5-3.84369E-01-5.92163E-01-9.79001E-01-1.01981E+00$	$6.99795E-01$	
61	$5.2.47120E+00 4.03035E+00 5.30309E+00 6.08772E+00$	$6.30424E+00$	
66	$5.5.94689E+00 5.03627E+00 3.60253E+00 1.91230E+00$	$1.01930E-02$	
71	$5-1.75684E+00-1.54240E+00-9.32649E-01-6.22788E-01-4.04862E-01$		
-1			
POWTHC	62	2	7
56	$5-3.74619E-01-5.46399E-01-1.05859E+00-1.31999E+00$	$3.98834E-01$	
61	$5.2.10178E+00 3.62443E+00 4.85221E+00 5.61336E+00$	$5.82944E+00$	
66	$5.5.48609E+00 4.59977E+00 3.21814E+00 1.54760E+00-3.20059E-01$		
71	$5-2.09297E+00-1.65149E+00-8.75664E-01-5.72835E-01-3.92219E-01$		
-1			
POWTHC	62	4	4
56	$5-3.15454E-01-5.24575E-01-1.01075E+00-1.26602E+00$	$1.58208E-01$	
61	$5.1.59769E+00 2.88198E+00 3.92011E+00 4.56453E+00$	$4.75035E+00$	
66	$5.5.46794E+00 3.73104E+00 2.57652E+00 1.18859E+00-3.27388E-01$		
71	$5-1.75474E+00-1.44709E+00-8.02401E-01-5.07734E-01-3.37841E-01$		
-1			
POWTHC	62	8	8
56	$5-3.23060E-01-5.45614E-01-9.43352E-01-1.07494E+00$	$3.51592E-01$	
61	$5.1.84145E+00 3.15442E+00 4.22815E+00 4.88884E+00$	$5.06946E+00$	
66	$5.5.476748E+00 3.99985E+00 2.78725E+00 1.36062E+00-2.30451E-01$		
71	$5-1.66951E+00-1.41848E+00-7.98369E-01-4.91577E-01-3.25224E-01$		
-1			
POWINC	62	12	12
56	$5-2.57634E-01-5.43019E-01-9.87805E-01-1.14573E+00-3.49002E-02$		
61	$5.1.11626E+00 2.12330E+00 2.93829E+00 3.43746E+00$	$3.57690E+00$	
66	$5.5.35458E+00 2.78305E+00 1.87529E+00 7.89669E-01-3.65382E-01$		
71	$5-1.46106E+00-1.19353E+00-6.14398E-01-3.57608E-01-2.39390E-01$		
-1			
POWTHC	62	5	5
56	$5-2.70632E-01-5.42153E-01-1.05626E+00-1.28652E+00-7.74444E-02$		
61	$5.1.13576E+00 2.21006E+00 3.07195E+00 3.60594E+00$	$3.76449E+00$	
66	$5.5.353903E+00 2.93962E+00 1.99111E+00 8.37549E-01-4.19300E-01$		
71	$5-1.63199E+00-1.33171E+00-7.21147E-01-4.32510E-01-2.77767E-01$		
-1			
POWTHC	62	14	14
56	$5-1.79926E-01-4.88047E-01-1.09667E+00-1.48586E+00-7.59483E-01$		
61	$5-2.58473E-02 5.83007E-01 1.08761E+00 1.39005E+00$	$1.47247E+00$	
66	$5.1.34119E+00 1.00279E+00 4.46668E-01-1.88679E-01-9.31807E-01$		
71	$5-1.652772E+00-1.19801E+00-5.55359E-01-3.01770E-01-1.91282E-01$		
-1			
POWINC	62	9	9
56	$5-2.06088E-01-5.22294E-01-1.21312E+00-1.65146E+00-8.11512E-01$		
61	$5-2.76403E-02 6.50637E-01 1.19845E+00 1.53142E+00$	$1.62610E+00$	
66	$5.1.48481E+00 1.11819E+00 5.33078E-01-1.76080E-01-9.82328E-01$		
71	$5-1.87526E+00-1.34754E+00-5.85330E-01-3.11769E-01-1.99946E-01$		
-1			
POWINC	62	13	13
56	$5-1.02965E-01-3.37533E-01-8.55375E-01-1.52806E+00-1.52145E+00$		
61	$5-1.50123E+00-1.50357E+00-1.48214E+00-1.47695E+00-1.48695E+00$		

TIME<15:40:54> DATE<03/26/81>
J3765.LF.KFAC.RP.C7317.DATA

	68	$5-1.49745E+00-1.5091AE+00-1.5439RE+00-1.53725E+00-1.55261E+00$
	71	$5-1.54830E+00-8.7252RE-01-3.74220E-01-1.89884E-01-1.14545E-01$
	-1	
POWINC	67	11 11
	58	$5-1.15119E-01-3.67830E-01-9.57885E-01-1.69581E+00-1.62327E+00$
	61	$5-1.55834E+00-1.5148RE+00-1.46414E+00-1.43887E+00-1.44059E+00$
	66	$5-1.45737E+00-1.49086E+00-1.55540E+00-1.59749E+00-1.6595RE+00$
	71	$5-1.7169RE+00-9.78390E-01-4.10542E-01-2.07985E-01-1.26945E-01$
	-1	
POWINC	67	1 1
	32	$5 6.52465E-06 1.40593E-05 2.25842E-05 2.4303RE-05 3.19148E-05$
	37	$5 3.96551E-05 4.72266E-05 5.30044E-05 5.66710E-05 5.79910E-05$
	42	$5 5.44766E-05 5.73801E-05 4.60931E-05 3.76522E-05 2.88375E-05$
	47	$5 1.93064E-05 1.53440E-05 6.48229E-06 2.22370E-06 4.91855E-07$
	-1	
POWINC	62	10 10
	32	$5 6.55542E-06 1.37041E-05 2.1282RE-05 2.15200E-05 2.82379E-05$
	37	$5 3.42669E-05 4.05758E-05 4.51415E-05 4.80725E-05 4.94278E-05$
	42	$5 4.84067E-05 4.53312E-05 4.06495E-05 3.34259E-05 2.62776E-05$
	47	$5 1.76286E-05 1.47809E-05 6.45250E-06 2.25645E-06 5.00121E-07$
	-1	
POWINC	62	3 3
	32	$5 1.99099E-06 4.25429E-06 4.76677E-06 7.18724E-06 9.45525E-06$
	37	$5 1.16932E-05 1.39174E-05 1.55961E-05 1.66666E-05 1.70812E-05$
	42	$5 1.66850E-05 1.55054E-05 1.37289E-05 1.12876E-05 8.81798E-06$
	47	$5 6.09531E-06 5.23030E-06 2.35758E-06 7.78058E-07 1.63440E-07$
	-1	
POWINC	62	7 7
	32	$5 5.90005E-06 1.23130E-05 1.90811E-05 1.95327E-05 2.55810E-05$
	37	$5 3.08199E-05 3.65003E-05 4.06139E-05 4.32498E-05 4.44566E-05$
	42	$5 4.35094E-05 4.06882E-05 3.63803E-05 2.97667E-05 2.32489E-05$
	47	$5 1.55504E-05 1.30387E-05 5.72834E-06 2.01088E-06 4.45939E-07$
	-1	
POWINC	62	6 6
	32	$5 8.58055E-06 1.8071AE-05 2.82606E-05 2.90789E-05 3.82915E-05$
	37	$5 4.67314E-05 5.54716E-05 6.18583E-05 6.59435E-05 6.77419E-05$
	42	$5 6.62123E-05 6.17563E-05 5.49332E-05 4.46535E-05 3.45676E-05$
	47	$5 2.33731E-05 2.01400E-05 9.01767E-06 3.11271E-06 6.75752E-07$
	-1	
POWINC	67	2 2
	32	$5 5.18343E-06 1.1177RE-05 1.79617E-05 1.94226E-05 2.55736E-05$
	37	$5 3.11735E-05 3.78721E-05 4.25083E-05 4.54383E-05 4.64780E-05$
	42	$5 4.51852E-05 4.17461E-05 3.64361E-05 2.91822E-05 2.17677E-05$
	47	$5 1.44867E-05 1.17873E-05 5.09304E-06 1.76623E-06 3.92453E-07$
	-1	
POWINC	67	4 4
	32	$5 5.54079E-06 1.21114E-05 1.96373E-05 2.13729E-05 2.82958E-05$
	37	$5 3.52221E-05 4.20810E-05 4.72890E-05 5.05940E-05 5.18096E-05$
	42	$5 5.04198E-05 6.66611E-05 4.08727E-05 3.28890E-05 2.47559E-05$
	47	$5 1.45412E-05 1.35025E-05 5.82943E-06 2.02701E-06 4.50468E-07$
	-1	
POWINC	67	8 8
	32	$5 5.61930E-06 1.20107E-05 1.89944E-05 1.97853E-05 2.61672E-05$
	37	$5 3.20638E-05 3.81521E-05 4.26073E-05 4.54487E-05 4.66717E-05$
	42	$5 4.55594E-05 4.23731E-05 3.74736E-05 3.01227E-05 2.28446E-05$
	47	$5 1.50903E-05 1.75059E-05 5.45048E-06 1.92778E-06 4.33807E-07$
	-1	

TIME<15:40:54> DATE<05/26/81>
J3765.LF.HFAC.RP.C7317,DATA

POWTRC	62	12	12				
32	5	3.8420E-06	8.5719E-06	1.40247E-05	1.50031E-05	2.00065E-05	
37	5	2.47187E-05	2.95520E-05	3.30968E-05	3.53438E-05	3.62734E-05	
42	5	3.55447E-05	3.277482E-05	2.87693E-05	2.79055E-05	1.71314E-05	
47	5	1.12446E-05	9.18576E-06	3.97201E-06	1.44129E-06	3.33828E-07	
-1							
POWTRC	62	5	5				
32	5	4.29031E-06	1.41897E-05	2.36064E-05	2.61767E-05	3.48492E-05	
37	5	4.36016E-05	5.27224E-05	5.88582E-05	6.30460E-05	6.46023E-05	
42	5	4.28887E-05	5.82032E-05	5.09859E-05	4.10714E-05	3.10074E-05	
47	5	2.08940E-05	1.71758E-05	7.45124E-06	2.57808E-06	5.70773E-07	
-1							
POWTRC	62	14	14				
32	5	5.26230E-06	1.26719E-05	2.19442E-05	2.19260E-05	2.89695E-05	
37	5	3.40722E-05	4.33487E-05	4.87183E-05	5.21398E-05	5.34913E-05	
42	5	5.21338E-05	4.84124E-05	4.26991E-05	3.46969E-05	2.68302E-05	
47	5	1.85842E-05	1.73713E-05	7.66117E-06	2.80888E-06	6.54017E-07	
-1							
POWTRC	62	9	9				
32	5	3.46461E-06	8.26909E-06	1.45092E-05	1.51342E-05	1.98901E-05	
37	5	2.51114E-05	3.02516E-05	3.41733E-05	3.66590E-05	3.75332E-05	
42	5	3.64891E-05	3.36683E-05	2.93388E-05	2.37183E-05	1.79464E-05	
47	5	1.2187AE-05	1.05653E-05	4.38149E-06	1.54179E-06	3.52506E-07	
-1							
POWTRC	62	13	13				
32	5	3.7977E-06	8.18007E-06	1.48243E-05	1.59187E-05	2.16574E-05	
37	5	2.7434PE-05	3.31897E-05	3.74829E-05	4.02214E-05	4.12844E-05	
42	5	4.02369E-05	3.73321E-05	3.28595E-05	2.67174E-05	2.05583E-05	
47	5	1.41217E-05	1.27710E-05	5.59529E-06	2.08228E-06	4.95833E-07	
-1							
POWTRC	62	11	11				
32	5	1.68655E-06	4.25679E-06	7.84999E-06	8.64199E-06	1.16896E-05	
37	5	1.49455E-05	1.81718E-05	2.05596E-05	2.21096E-05	2.26520E-05	
42	5	2.20257E-05	2.03455E-05	1.77626E-05	1.43914E-05	1.09517E-05	
47	5	7.53679E-06	6.66381E-06	2.87315E-06	1.05133E-06	2.48599E-07	
-1							
POWTRC	62	1	1				
30	1	6.19723D-04					
-1							
POWTRC	62	10	10				
30	1	5.44494D-04					
-1							
POWTRC	62	3	3				
30	1	1.85217D-04					
-1							
POWTRC	62	7	7				
30	1	4.8801AD-04					
-1							
POWTRC	62	6	6				
30	1	7.38472D-04					
-1							
POWTRC	62	2	2				
30	1	4.91252D-04					
-1							
POWTRC	62	4	4				
30	1	5.47903D-04					
-1							

PAGE 13

TIME<15:40:54> DATA<03/26/A1>
 J3765.IF.HFAC.PP.C7517.DATA
 POWTNC 62 R R
 30 1-5.01302D-04
 -1
 POWTNC 62 12 12
 30 1-3.83515D-04
 -1
 POWTNC 62 5 5
 30 1-6.80319D-04
 -1
 POWTNC 62 14 14
 30 1-5.76394D-04
 -1
 POWTNC 62 9 9
 30 1-3.95185D-04
 -1
 POWTNC 62 13 13
 30 1-4.36194D-04
 -1
 POWTNC 62 11 11
 30 1-2.36362D-04
 -1
 POWTNC 62 1 1
 31 1-4.60763D-04
 -1
 POWTNC 62 10 10
 31 1-4.11658D-04
 -1
 POWTNC 62 3 3
 31 1-1.37949D-04
 -1
 POWTNC 62 7 7
 31 1-3.67781D-04
 -1
 POWTNC 62 6 6
 31 1-5.52640D-04
 -1
 POWTNC 62 2 2
 31 1-3.65347D-04
 -1
 POWTNC 62 4 4
 31 1-4.03131D-04
 -1
 POWTNC 62 R R
 31 1-3.73093D-04
 -1
 POWTNC 62 12 12
 31 1-2.82232D-04
 -1
 POWTNC 62 5 5
 31 1-4.96726D-04
 -1
 POWTNC 62 14 14
 31 1-4.15264D-04
 -1
 POWTNC 62 9 9
 31 1-2.81862D-04
 -1

TIME<15:40:54> U41F<05/24/P1>
 J3765.LF,RFAC,RP,C7317,DATA
 POWTNC 62 13 13
 149 1-3.25605E-04
 -1
 POWTNC 62 11 11
 149 1-1.73877E-04
 -1
 POWTNC 62 1 1
 149 5 1.96178E-01 2.76417E-01 4.25716E-01 9.50772E-02-9.79840E-01
 154 5-2.01489E+00-2.92319E+00-3.63964E+00-4.06638E+00-4.22709E+00
 159 5-4.04324E+00-3.54542E+00-2.76004E+00-1.77683E+00-6.56009E-01
 164 5 5.17962E-01 8.40585E-01 5.05437E-01 3.22179E-01 1.98794E-01
 -1
 POWTNC 62 10 10
 149 5 1.99351E-01 7.83342E-01 3.71213E-01 5.32869E-03-1.03306E+00
 154 5-2.05442E+00-2.94013E+00-3.64563E+00-4.08234E+00-4.21984E+00
 159 5-6.03931E+00-3.55439E+00-2.77547E+00-1.81049E+00-7.02966E-01
 164 5 4.35694E-01 7.85443E-01 5.05116E-01 3.27930E-01 2.00418E-01
 -1
 POWTNC 62 3 3
 149 5 1.82777E-01 2.65555E-01 3.89251E-01 7.42376E-02-9.02222E-01
 154 5-1.85141E+00-2.68452E+00-3.34404E+00-3.75561E+00-3.88627E+00
 159 5-3.71868E+00-3.76392E+00-2.54407E+00-1.64868E+00-6.28281E-01
 164 5 4.01168E-01 6.80404E-01 4.69537E-01 3.34911E-01 1.96958E-01
 -1
 POWTNC 62 7 7
 149 5 1.83031E-01 2.66363E-01 3.46170E-01 1.12743E-02-9.23577E-01
 154 5-1.84380E+00-2.64279E+00-3.27970E+00-3.67361E+00-3.79652E+00
 159 5-3.63070E+00-3.18787E+00-2.47632E+00-1.59617E+00-5.96463E-01
 164 5 4.15377E-01 7.09904E-01 4.56849E-01 2.94129E-01 1.78587E-01
 -1
 POWTNC 62 6 6
 149 5 1.63851E-01 2.52342E-01 3.45540E-01 6.14587E-02-7.69745E-01
 154 5-1.59108E+00-2.30712E+00-2.87818E+00-3.25233E+00-3.34346E+00
 159 5-3.19591E+00-2.79991E+00-2.16341E+00-1.37307E+00-4.67888E-01
 164 5 4.05938E-01 6.22678E-01 4.11942E-01 2.74681E-01 1.62839E-01
 -1
 POWTNC 62 2 2
 149 5 1.60998E-01 2.42745E-01 3.76550E-01 1.33003E-01-7.20488E-01
 154 5-1.54977E+00-2.27871E+00-2.85578E+00-3.21486E+00-3.32597E+00
 159 5-3.1/330E+00-2.76447E+00-2.11438E+00-1.29782E+00-3.66793E-01
 164 5 5.725533E-01 6.77338E-01 3.96304E-01 2.56206E-01 1.57895E-01
 -1
 POWTNC 62 4 4
 149 5 1.35213E-01 2.27823E-01 3.60611E-01 1.70635E-01-5.44099E-01
 154 5-1.74824E+00-1.86715E+00-2.35823E+00-2.66434E+00-2.76054E+00
 159 5-2.63470E+00-2.79427E+00-1.75095E+00-1.07077E+00-3.07765E-01
 164 5 4.26740E-01 5.84612E-01 3.59462E-01 2.25671E-01 1.36000E-01
 -1
 POWTNC 62 8 8
 149 5 1.37545E-01 2.30192E-01 3.32287E-01 1.24276E-01-5.76060E-01
 154 5-1.27562E+00-1.88588E+00-2.37385E+00-2.67542E+00-2.76908E+00
 159 5-2.64208E+00-2.30269E+00-1.75519E+00-1.07486E+00-3.01410E-01
 164 5 4.222957E-01 5.81096E-01 3.54672E-01 2.17665E-01 1.30258E-01
 -1
 POWTNC 62 12 12
 149 5 1.09663E-01 2.27362E-01 3.57334E-01 2.05484E-01-3.51898E-01
 154 5-9.05492E-01-1.38596E+00-1.76483E+00-1.99818E+00-2.07150E+00

PAGE 15

TIME<15:40:54> DAIF<03/26/R1>
J3765.LF.RFAC.RP.C2517.DATA

150	5-1.9/457E+00-1.71364E+00-1.29167E+00-7.61084E-01-1.80436E-01
164	5 3.82336E-01 4.81210E-01 2.69972E-01 1.57757E-01 9.63194E-02
-1	
PWUTNC	62 5 5
149	5 1.1588AE-01 2.32380E-01 3.83332E-01 2.22142E-01-3.92508L-01
154	5-9.94817L-01-1.52118E+00-1.93558E+00-2.19352E+00-2.27466E+00
159	5-2.1/437E+00-1.89239E+00-1.43909E+00-8.66124E-01-2.25183E-01
164	5 4.04145E-01 5.30246E-01 3.16167E-01 1.90586E-01 1.11795E-01
-1	
PWUTINC	62 14 14
149	5 7.68947E-02 2.05297E-01 4.05891E-01 3.90434E-01 3.88545E-03
154	5-3.63253E-01-6.69170E-01-9.10842E-01-1.05757E+00-1.10457E+00
159	5-1.04656L+00-8.86615E-01-6.75644E-01-3.01380E-01 8.06307E-02
164	5 4.74551E-01 4.60114E-01 2.35267E-01 1.30544E-01 7.69187E-02
-1	
PWUTINC	62 9 9
149	5 8.84512E-02 2.23747E-01 4.45537E-01 4.07791E-01-4.61641E-02
154	5-4.66183E-01-8.25981E-01-1.10640E+00-1.77859E+00-1.33421E+00
159	5-1.26645E+00-1.07973E+00-7.76187E-01-3.98273E-01 4.13418E-02
164	5 5.29007E-01 5.25317E-01 2.55849E-01 1.36997E-01 8.04289E-02
-1	
PWUTINC	62 13 13
149	5 4.40583E-02 1.45335E-01 3.28345E-01 4.87206E-01 4.21968E-01
154	5 3.62622E-01 3.19710E-01 2.82529E-01 2.61870E-01 2.57299E-01
159	5 2.66802E-01 2.88918E-01 3.32735E-01 3.76845E-01 4.39396E-01
164	5 5.03574E-01 3.40678E-01 1.58173E-01 8.18580E-02 4.61201E-02
-1	
PWUTINC	62 11 11
149	5 4.94774E-02 1.57792E-01 3.66568E-01 5.27414E-01 4.23700E-01
154	5 3.29901E-01 2.55855E-01 1.95691E-01 1.80055E-01 1.50872E-01
159	5 1.66233E-01 2.05000E-01 2.73069E-01 3.49548E-01 4.46571E-01
164	5 5.48242E-01 3.81359E-01 1.74570E-01 9.01160E-02 5.11156E-02
-1	
PWATCH	63 1 0
1	5 0.18 0.61 1.32F -04 0.3705 1.14
6	5 3.80F -04 3.10F -10 5.48F 05 1.70F -12 0.85 FEC
11	1 1.0
16	5 0.0 0.0 0.01 0.0144 0.86
21	5 4.48 0.3 0.2 1.8916F -05 4.705
26	5 300.0 0.557 4.45 0.220 0.220
31	5 1.0 0.0 0.627 1.66 0.0
36	5 0.05 0.05 0.32 0.97 0.95
41	5 0.85 0.93 0.0 0.015 0.0188
46	2 0.015 0.0 0.0 0.0 0.0
19	3 0.025 0.8 7.0
-1	
PWATCH	63 2 1
6	1 3.45F -04 FEC
-1	
PWATCH	63 3 2
6	1 2.92F -04 FEC
-1	
PWATCH	63 4 3
6	1 3.11F -04 FEC
-1	
PWATCH	63 5 4
6	1 3.11F -04 FEC

TIME<15:40:54> DATE<03/26/81>
J3765.LF.HFAC.RP.C2317.DATA

-1							
PMATCH	63	6	5				
	6	1 2.70F	-04				FEC
-1							
PMATCH	63	7	6				
	6	1 2.73F	-04				FEC
-1							
PMATCH	63	8	7				
	6	1 2.70F	-04				FEC
-1							
PMATCH	63	9	8				
	6	1 4.00F	-04				FEC
-1							
PMATCH	63	10	9				
	6	1 2.21F	-04				FEC
-1							
PMATCH	63	11	10				
	6	1 4.00F	-04				FEC
-1							
PMATCH	63	12	11				
	6	1 2.35F	-04				FEC
-1							
PMATCH	63	13	12				
	6	1 2.45F	-04				FEC
-1							
PMATCH	63	14	13				
	6	1 2.37F	-04				FEC
-1							
COOLIN	64	1	0				
	1	510.0	6.3	0.015	1.00000E-04	0.0	
	6	5 0.0	10.0	1.0	0.38895	0.38895	
	12	5 0.0	0.40058	-0.25	0.0	0.0	
	17	5 0.0	0.0	50.0	10.0	15.0	
	22	5 4.54845	4.54845	1.00000E 06	1.00000E 06	2.0	
	27	5 5.0	1.0	2.00000E 03	0.0	0.0	
	32	5 0.0	5.73950E 02	0.0	0.5	1.0	FEC
	37	1 1.0					
	42	2 0.013	8.70000E-03				
-1							
COOLIN	64	2	1				
	33	1 512.90					FEC
-1							
COULIN	64	3	2				
	33	1 537.46					FEC
-1							
COULIN	64	4	3				
	33	1 477.26					FEC
-1							
COULIN	64	5	4				
	33	1 444.05					FEC
-1							
COULIN	64	6	5				
	33	1 512.90					FEC
-1							
COULIN	64	7	6				
	33	1 537.46					FEC
-1							

PAGE 17

TIME<15:40:54> DAIF<03/26/81>
J3765.LF.REAC.RP.C2517.DATA

COOLIN	64	8	7		FEC	
33	1	477.26				
-1						
COOLIN	64	9	8		FEC	
33	1	518.66				
-1						
COOLIN	64	10	9		FEC	
33	1	573.95				
-1						
COOLIN	64	11	10		FEC	
33	1	411.26				
-1						
COOLIN	64	12	11		FEC	
33	1	444.05				
-1						
COOLIN	64	13	12		FEC	
33	1	409.83				
-1						
COOLIN	64	14	13		FEC	
33	1	518.68				
-1						
GASVUD	65	1	0			
1	5	2.0	0.0	0.0	0.0	
-1						
GASVUD	65	2	1			
-1						
GASVUD	65	3	2			
-1						
GASVUD	65	4	3			
-1						
GASVUD	65	5	4			
-1						
GASVUD	65	6	5			
-1						
GASVUD	65	7	6			
-1						
GASVUD	65	8	7			
-1						
GASVUD	65	9	8			
-1						
GASVUD	65	10	9			
-1						
GASVUD	65	11	10			
-1						
GASVUD	65	12	11			
-1						
GASVUD	65	13	12			
-1						
GASVUD	65	14	13			
-1						
CLAZIN	66	1	0			
1	5	9.2090	0.06	10.0	10000.0	0.0
6	5	0.0	0.2	30.0	135.0	0.40566
11	5	0.69423	10.460	0.0	0.0	0.0
10	1	0.38138				
-1						
CLAZIN	66	2	1			

PAGE 18

TIME<15:40:54> DATE<03/26/81>
J3765.LF.RFAC.RP.C2317.DATA

CLAZIN	66	3	?				
-1							
CLAZIN	66	4	3				
-1							
CLAZIN	66	5	4				
-1							
CLAZIN	66	6	5				
-1							
CLAZIN	66	7	6				
-1							
CLAZIN	66	8	7				
-1							
CLAZIN	66	9	8				
-1							
CLAZIN	66	10	9				
-1							
CLAZIN	66	11	10				
-1							
CLAZIN	66	12	11				
-1							
CLAZIN	66	13	12				
-1							
CLAZIN	66	14	13				
-1							
SLUMIN	67	1	0				
1	5 -0.1		1.0	7.82	0.08	6.34F	+05
6	5 0.1		3.0	0.0	3.20E	+07	1.44
11	5 0.0		5.0	0.01	-1.0	-1.0	
16	5 0.0		1.0E	+08	0.0	0.0	1.0E
21	5 0.0		0.0		0.02	0.0013	0.5
26	5 0.0		1.0	0.029	3.0E	+06	0.5032
31	5 1.3E	+07	0.836	0.293	7.0		-100.0
36	5 0.0		0.0	0.02	1.00F	-10	0.0
14	2 0.0		0.0				
-1							
SLUMIN	67	2	1				
-1							
SLUMIN	67	3	2				
-1							
SLUMIN	67	4	3				
-1							
SLUMIN	67	5	4				
-1							
SLUMIN	67	6	5				
-1							
SLUMIN	67	7	6				
-1							
SLUMIN	67	8	7				
-1							
SLUMIN	67	9	8				
-1							
SLUMIN	67	10	9				
-1							
SLUMIN	67	11	10				
-1							
SLUMIN	67	12	11				
-1							

PAGE 19

TIME<15:40:54> DATE<03/26/81>
J3765.LF.RFAC.RP.C7317.DATA

	SLUMIN	67	13	12			
-1	SLUMIN	67	14	13			
-1	FCITN	68	1	0			
1		5	1.0	15.0	0.0	0.0	PM/REF
6		5	-1.0	-1.0	-1.0	1.0	0.0
11		5	6.3	50.0	-1.0	-1.0	0.025
16		5	0.025	0.03	0.01	0.03	0.01
27		5	50.0	10.0	0.0	0.0	0.0
32		5	0.0	0.0	0.0	0.05	0.05
57		5	0.0	0.0	0.0	0.0	0.0
42		5	0.0	1.0	0.0	0.0	0.0
47		1	0.0				
60		5	184.06	27.0	0.01	3.560E +14	0.0
65		5	1.0	0.0	0.0	1400.0	1800.0
70		5	0.5	0.1	0.5	1.0	0.0
1		2	0.5	5.0			
10		1	50.0				
15		3	0.01	0.01	0.05		
19		1	0.05				
55		3	0.45	0.45	0.1		
-1	FCITN	68	2	1			
60		4	239.68	27.0	0.01	3.600E +14	
-1	FCITN	68	3	2			
60		4	297.10	27.0	0.01	3.700E +14	
-1	FCITN	68	4	3			
60		4	301.93	27.0	0.01	3.690E +14	
-1	FCITN	68	5	4			
60		4	332.08	27.0	0.01	3.720E +14	
-1	FCITN	68	6	5			
60		4	584.91	27.0	0.01	3.990E +14	
-1	FCITN	68	7	6			
60		4	606.95	27.0	0.01	4.020E +14	
-1	FCITN	68	8	7			
60		4	622.11	27.0	0.01	3.980E +14	
-1	FCITN	68	9	8			
60		4	707.04	27.0	0.01	3.000E +14	
-1	FCITN	68	10	9			
60		4	586.19	27.0	0.01	4.040E +14	
-1	FCITN	68	11	10			
60		4	277.72	27.0	0.01	2.963E +14	
-1	FCITN	68	12	11			
60		4	675.67	27.0	0.01	4.030E +14	

PAGE 20

TIME<15:40:54> DATE<03/26/R1>
J3765.LF.RFAC.RP.C2317.DAT1

FC1IN	68	13	12				FEC
60	4	03.01	2r.0	0.01	3.190E	+14	
-1							
FC1IN	68	14	13				FEC
60	4	654.59	27.0	0.01	3.440E	+14	
-1							
POWTNC	62	1	1				
30		1-4.3345AD-04					
-1							
POWTNC	62	10	10				
30		1-3.81146D-04					
-1							
POWTNC	62	3	3				
30		1-1.29652D-04					
-1							
POWTNC	62	7	7				
30		1-3.41611D-04					
-1							
POWTNC	62	6	6				
30		1-5.16930D-04					
-1							
POWTNC	62	2	2				
30		1-3.43863D-04					
-1							
POWTNC	62	4	4				
30		1-3.83532D-04					
-1							
POWTNC	62	8	8				
30		1-3.50912D-04					
-1							
POWTNC	62	12	12				
30		1-7.68460D-04					
-1							
POWTNC	62	5	5				
30		1-4.76723D-04					
-1							
POWTNC	62	14	14				
30		1-4.03477D-04					
-1							
POWTNC	62	9	9				
30		1-2.76630D-04					
-1							
POWTNC	62	13	13				
30		1-3.05336D-04					
-1							
POWTNC	62	11	11				
30		1-1.65453D-04					
-1							
POWTNC	62	1	1				
31		1-3.22534D-04					
-1							
POWTNC	62	10	10				
31		1-2.86160D-04					
-1							
POWTNC	62	3	3				
31		1-9.65640D-05					
-1							

TIME<15:40:54> DATA<03/26/81>
J3765.LF.RFAC.RP.C231?_DATA

POWTNC	67	7	7
31	1-2.574470E-04		
-1			
POWTNC	62	6	6
31	1-3.869830E-04		
-1			
POWTNC	62	2	2
31	1-2.543400E-04		
-1			
POWTNC	67	4	4
31	1-2.821920E-04		
-1			
POWTNC	62	8	8
31	1-2.611650E-04		
-1			
POWTNC	62	12	12
31	1-1.975630E-04		
-1			
POWTNC	62	5	5
31	1-3.473580E-04		
-1			
POWTNC	62	14	14
31	1-2.906650E-04		
-1			
POWTNC	67	9	9
31	1-1.973170E-04		
-1			
POWTNC	62	13	13
31	1-2.279240E-04		
-1			
POWTNC	62	11	11
31	1-1.217140E-04		
-1			
POWTNC	62	1	1
56	5-2.27099E-01-3.03479E-01-6.00375E-01-7.31315E-01 1.06443E+00		
61	5.4.24410E+00 7.08468E+00 9.36171E+00 1.07758E+01 1.11857E+01		
66	5.1.05623E+01 8.93868E+00 6.42099E+00 3.36177E+00-1.13411E-02		
71	5-1.17029E+00-1.02433E+00-5.54750E-01-3.58599E-01-2.46723E-01		
-1			
POWTNC	62	2	2
56	5-1.87310E-01-2.73199E-01-5.29295E-01-6.59995E-01 5.98251E-01		
61	5.3.15267E+00 5.43664E+00 7.27831E+00 8.42004E+00 8.74416E+00		
66	5.8.22913E+00 6.89965E+00 4.82721E+00 2.32140E+00-1.60029E-01		
71	5-1.06648E+00-8.25745E-01-4.37832E-01-2.86417E-01-1.96109E-01		
-1			
POWTNC	62	3	3
56	5-2.12505E-01-2.99177E-01-5.51085E-01-6.31035E-01 1.08900E+00		
61	5.4.05730E+00 6.69384E+00 8.82210E+00 1.01440E+01 1.05263E+01		
66	5.9.94530E+00 8.43306E+00 6.08060E+00 3.24711E+00 8.59200E-02		
71	5-9.94855E-01-8.61395E-01-5.30105E-01-3.79024E-01-2.44731E-01		
-1			
POWTNC	62	4	4
56	5-1.57727E-01-2.62287E-01-5.05375E-01-6.33010E-01 2.37312E-01		
61	5.2.39653E+00 4.32297E+00 5.88016E+00 6.84680E+00 7.12552E+00		
66	5.8.70191E+00 5.59656E+00 3.86478E+00 1.78288E+00-1.63694E-01		
71	5-8.77370E-01-7.23545E-01-4.01200E-01-2.53867E-01-1.68920E-01		
-1			

TIME<15:40:54> DATAF<03/26/81>
J3765.LF,HEAC,RP,C2317,DATA

POWINC	62	5	5
56	$5-1.3531E-01-2.71077E-01-5.28130E-01-6.43260E-01-3.87222E-02$		
61	$5.1.70364E+00 3.31569E+00 4.60792E+00 5.40891E+00 5.64674E+00$		
66	$5.5.30P55E+00 4.40943E+00 2.98664E+00 1.25632E+00-2.09650E-01$		
71	$5-8.15995E-01-6.65855E-01-3.60573E-01-2.16255E-01-1.38883E-01$		
-1			
POWINC	62	6	6
56	$5-1.92185E-01-7.96081E-01-4.89500E-01-5.09905E-01 1.04969E+00$		
61	$5.3.70660E+00 6.04552E+00 7.95463E+00 9.13158E+00 9.45636E+00$		
66	$5.8.92033E+00 7.55441E+00 5.40379E+00 2.86845E+00 1.52895E-02$		
71	$5-8.78420E-01-7.71200E-01-4.46325E-01-3.11394E-01-2.02431E-01$		
-1			
POWINC	62	7	7
56	$5-2.14584E-01-3.11622E-01-4.97601E-01-4.86535E-01 1.46864E+00$		
61	$5.4.48029E+00 7.11828E+00 9.27282E+00 1.05967E+01 1.09550E+01$		
66	$5.1.03405E+01 8.78919E+00 6.34828E+00 3.46612E+00 3.03072E-01$		
71	$5-9.24700E-01-8.66315E-01-5.11890E-01-3.31715E-01-2.21939E-01$		
-1			
POWINC	62	8	8
56	$5-1.61530E-01-2.72808E-01-4.71676E-01-5.37470E-01 5.27388E-01$		
61	$5.2.76217E+00 4.73163E+00 6.34223E+00 7.33324E+00 7.60419E+00$		
66	$5.7.15122E+00 5.99977E+00 4.18087E+00 2.04093E+00-1.15225E-01$		
71	$5-8.34755E-01-7.09240E-01-3.99184E-01-2.45789E-01-1.62612E-01$		
-1			
POWINC	62	9	9
56	$5-1.03044E-01-2.61148E-01-6.06560E-01-8.25730E-01-4.05756E-01$		
61	$5.1.39202E-02 9.75955E-01 1.79768E+00 2.29713E+00 2.45915E+00$		
66	$5.2.22721E+00 1.67728E+00 7.99617E-01-8.80400E-02-4.91164E-01$		
71	$5-9.37630E-01-6.73770E-01-2.92665E-01-1.55885E-01-9.99730E-02$		
-1			
POWINC	62	10	10
56	$5-2.33060E-01-3.28954E-01-5.36705E-01-5.36785E-01 1.62646E+00$		
61	$5.4.95135E+00 7.85955E+00 1.02326E+01 1.16919E+01 1.70918E+01$		
66	$5.1.14255E+01 9.73362E+00 7.06890E+00 3.93746E+00 4.21367E-01$		
71	$5-1.01037E+00-9.59595E-01-5.63705E-01-3.66688E-01-2.48926E-01$		
-1			
POWINC	62	11	11
56	$5-5.75595E-02-1.83915E-01-4.78943E-01-8.47905E-01-8.11635E-01$		
61	$5.-7.79170E-01-7.57440E-01-7.32070E-01-7.19435E-01-7.20295E-01$		
66	$5-7.28660E-01-7.45430E-01-7.77700E-01-7.98745E-01-8.29790E-01$		
71	$5-8.5d490E-01-4.89195E-01-2.05271E-01-1.03992E-01-6.34725E-02$		
-1			
POWINC	62	12	12
56	$5-1.28817E-01-2.71509E-01-4.93903E-01-5.72865E-01-1.74501E-02$		
61	$5.1.67439E+00 3.18495E+00 4.40743E+00 5.15619E+00 5.36535E+00$		
66	$5.5.05167E+00 4.17457E+00 2.81293E+00 1.18450E+00-1.82691E-01$		
71	$5-7.30530E-01-5.96765E-01-3.07199E-01-1.78804E-01-1.19695E-01$		
-1			
POWINC	62	13	13
56	$5-5.14825E-02-1.68766E-01-4.27687E-01-7.64030E-01-7.60725E-01$		
61	$5.-7.50615E-01-7.51785E-01-7.41070E-01-7.38475E-01-7.43475E-01$		
66	$5-7.48725E-01-7.54580E-01-7.71990E-01-7.68625E-01-7.76305E-01$		
71	$5-7.74150E-01-4.36264E-01-1.87110E-01-9.49420E-02-5.72725E-02$		
-1			
POWINC	62	14	14
56	$5-8.99630E-02-7.44024E-01-5.48335E-01-7.42930E-01-3.79761E-01$		
61	$5-1.29336E-02 8.74510E-01 1.63142E+00 2.08507E+00 2.20870E+00$		

PAGE 23

TIME<15:40:54> DATE<03/26/81>
J3765.LF,RFAC,RP,C2317,DATA
66 5 2.01179E+00 1.50419E+00 6.70002E-01-9.44395E-02-4.65903E-01
71 5-8.26360E-01-5.99005E-01-2.77680E-01-1.50885E-01-9.56410E-02
-1
ENDJOB -1

Table 6.1-25 VENUS-PM Input for EOEC LOF Case LF.EXNRC.C2318.STP530

PAGE 1

TIME<15:38:53> DATA<03/26/P1>
J3765.EXNRC.STP530.DATA

HFAG,FXNRC,STP530,A2(C2318)												
23	23	0	1	1	200	0	0	2	2	2	1	2
1	1	1	0	1	200	0	0	2	2	2	0	13
2	0	0	1	1	0	2	2	2	2	2	0	13
1	0	0	0	0								
2.00000U+03	1.00000U-07	2.00000U-05	1.00000U-06	1.02000D+00	2.00000U-02							
0.0	6.0694D+00	1.2139D+01	1.6058D+01	1.9193D+01	2.1884D+01							
2.6456D+01	2.84668U+01	5.6919D+01	4.1165D+01	4.7404D+01	5.1857D+01							
5.7899D+01	6.3367U+01	6.8399D+01	7.2326D+01	7.5686D+01	7.8903D+01							
8.2350D+01	8.5620D+01	8.9408D+01	9.9916D+01	1.1042D+02	1.2002U+02							
0.0	1.1667D+01	2.3333D+01	3.5000D+01	4.0167D+01	4.5333D+01							
5.0500U+01	5.5667D+01	6.0833D+01	6.6000D+01	7.2200D+01	7.8400U+01							
8.4600D+01	9.0800U+01	9.7000D+01	1.0217D+02	1.0733D+02	1.1250D+02							
1.1767D+02	1.2263U+02	1.2800D+02	1.3800D+02	1.4800D+02	1.5800U+02							
6.591256D-02	4.665686D-02	6.591256D-02	6.591256D-02	6.591256D-02	6.591256D-02							
6.591256D-02	4.665686D-02	4.998960D-02	6.187082D-02									
4.251844D-02	5.588708D-02	5.983420D-02	4.992189D-02									
3.441205D-02	4.054407D-02	2.155275D-02	2.664994D-02									
2.664994D-02	1.483759D-02	1.734861D-02	1.734861D-02									
2.194599D-03	2.194599D-03	2.194599D-03	2.194599D-03									
1.069462D-01	7.180398D-02	1.069462D-01	1.069462D-01									
1.069462D-01	7.180398D-02	7.976376D-02	1.005639D-01									
6.646638D-02	9.074764D-02	6.386378D-02	8.245381D-02									
5.635832D-02	6.871431D-02	3.721160D-02	4.797061D-02									
4.797061D-02	2.713390D-02	3.133905D-02	3.133905D-02									
3.944390D-03	3.944390D-03	3.944390D-03	3.944390D-03									
1.545903D-01	1.087103D-01	1.565903D-01	1.565903D-01									
1.545903D-01	1.087103D-01	1.196607D-01	1.470652D-01									
1.007518D-01	1.337389D-01	9.717124D-02	1.226444D-01									
8.712399D-02	1.041907D-01	6.318581D-02	7.781897D-02									
7.781897D-02	4.723807D-02	5.209451D-02	5.209451D-02									
6.590209D-03	6.590209D-03	6.590209D-03	6.590209D-03									
5.048328D-01	5.285849D-01	5.048328D-01	5.048328D-01									
5.048328D-01	5.285849D-01	4.979750D-01	4.784676D-01									
4.723264D-01	4.524482D-01	4.289842D-01	4.163119D-01									
3.882582D-01	3.620058D-01	4.169947D-01	3.696130D-01									
3.696130D-01	5.148525D-01	2.839181D-01	2.839181D-01									
5.591564D-02	3.591564D-02	3.591564D-02	3.591564D-02									
6.199109D-01	6.627828D-01	6.199109D-01	6.199109D-01									
6.199109D-01	6.627828D-01	6.207021D-01	5.879414D-01									
5.917448D-01	5.578222D-01	5.370623D-01	5.142081D-01									
4.877622D-01	4.495574D-01	5.323093D-01	4.664052D-01									
4.664052D-01	4.033482D-01	3.610753D-01	3.610753D-01									
4.567603D-02	4.567603D-02	4.567603D-02	4.567603D-02									
6.894074D-01	7.431211D-01	6.894074D-01	6.894074D-01									
6.894074D-01	7.431211D-01	6.950366D-01	6.540814D-01									
6.633931D-01	6.217565D-01	6.025354D-01	5.740791D-01									
5.488784D-01	5.040767D-01	6.020044D-01	5.242920D-01									
5.242920D-01	4.574741D-01	4.078066D-01	4.078066D-01									
5.158753D-02	5.158753D-02	5.158753D-02	5.158753D-02									
7.505512D-01	8.175413D-01	7.505512D-01	7.505512D-01									
7.505512D-01	8.175413D-01	7.632984D-01	7.123733D-01									
7.293605D-01	6.785241D-01	6.623887D-01	6.272549D-01									
6.045804D-01	5.576152D-01	6.658780D-01	5.746191D-01									
5.46191D-01	5.069402D-01	4.492463D-01	4.492463D-01									
5.683177D-02	5.683177D-02	5.683177D-02	5.683177D-02									

TIME<15:38:33> DAIF<03/2A/R1>
J3765.EXNRC,STP530.DATA

1.947634D-01	8.750019D-01	7.947636D-01	7.947636D-01
7.947634D-01	8.750019D-01	8.159715D-01	7.564785D-01
1.602228D-01	7.217117D-01	7.085631D-01	6.677136D-01
6.475415D-01	5.695284D-01	7.144888D-01	6.119505D-01
6.119505D-01	5.447728D-01	4.803827D-01	4.803827D-01
6.076841D-02	6.076841D-02	6.076841D-02	
8.352397D-01	9.221244D-01	8.352397D-01	8.352397D-01
8.352397D-01	9.221244D-01	8.593504D-01	7.931577D-01
8.220372D-01	7.576395D-01	7.467849D-01	7.012675D-01
6.829766D-01	6.199186D-01	7.535816D-01	6.426355D-01
6.426355D-01	5.756391D-01	5.057704D-01	5.057704D-01
6.397994D-02	6.397994D-02	6.397994D-02	
8.679750D-01	9.671257D-01	8.679750D-01	8.679750D-01
8.679750D-01	9.671257D-01	8.962533D-01	8.243372D-01
8.575390D-01	7.682374D-01	7.794007D-01	7.297639D-01
7.131354D-01	6.455741D-01	7.861333D-01	6.683622D-01
6.683622D-01	6.016736D-01	5.270315D-01	5.270315D-01
6.666948D-02	6.666948D-02	6.666948D-02	
8.907496D-01	9.899738D-01	8.907496D-01	8.907496D-01
8.907496D-01	9.899738D-01	9.219811D-01	8.460018D-01
8.821509D-01	8.094963D-01	8.020561D-01	7.495278D-01
7.341200D-01	6.632869D-01	8.086751D-01	6.858691D-01
6.858691D-01	6.196728D-01	5.416217D-01	5.416212D-01
6.851508D-02	6.851508D-02	6.851508D-02	
9.027298D-01	1.000000D+00	9.027298D-01	9.027298D-01
9.027298D-01	1.000000D+00	9.319259D-01	8.572547D-01
8.911573D-01	8.198401D-01	8.105774D-01	7.591642D-01
7.422509D-01	6.716875D-01	8.181552D-01	6.946536D-01
6.946536D-01	6.263121D-01	5.483954D-01	5.483954D-01
6.937202D-02	6.937202D-02	6.937202D-02	
8.970376D-01	9.899434D-01	8.970376D-01	8.970376D-01
8.970376D-01	9.899434D-01	9.232185D-01	8.515989D-01
8.819084D-01	8.138305D-01	8.025376D-01	7.534811D-01
7.551755D-01	6.663010D-01	8.107645D-01	6.895917D-01
6.895917D-01	6.199463D-01	5.439589D-01	5.439589D-01
6.881080D-02	6.881080D-02	6.881080D-02	
8.781164D-01	9.605048D-01	8.781164D-01	8.781164D-01
8.781164D-01	9.605048D-01	8.971204D-01	8.330654D-01
8.559192D-01	7.949545D-01	7.797877D-01	7.357124D-01
7.145801D-01	6.495824D-01	7.866467D-01	6.736949D-01
6.736949D-01	6.017673D-01	5.305539D-01	5.305539D-01
6.711507D-02	6.711507D-02	6.711507D-02	
8.471940D-01	9.178722D-01	8.471940D-01	8.471940D-01
8.471940D-01	9.178722D-01	8.587174D-01	8.029777D-01
8.176951D-01	7.649411D-01	7.460290D-01	7.074120D-01
6.838291D-01	6.232976D-01	7.511054D-01	6.484780D-01
6.484780D-01	5.750444D-01	5.096518D-01	5.096518D-01
6.447095D-02	6.447095D-02	6.447095D-02	
8.078791D-01	8.077145D-01	8.078791D-01	8.078791D-01
8.078791D-01	8.077145D-01	8.137719D-01	7.648118D-01
7.716280D-01	7.275705D-01	7.051135D-01	6.715842D-01
6.463705D-01	5.903224D-01	7.087833D-01	6.168209D-01
6.168209D-01	5.429965D-01	4.836900D-01	4.836900D-01
6.118678D-02	6.118678D-02	6.118678D-02	
7.572664D-01	8.067945D-01	7.572684D-01	7.572684D-01
7.572684D-01	8.067945D-01	7.599213D-01	7.157247D-01
7.141687D-01	6.795380D-01	6.539509D-01	6.253518D-01

TIME<15:38:53> DATE<03/26/81>
J3765.FXNRC.STR530.DATA

5.993070U-01	5.480656U-01	6.567851U-01	5.765537D-01
5.745537U-01	5.032979D-01	4.507584D-01	4.507584D-01
5.702094D-02	5.702094D-02	5.702094D-02	
6.882666U-01	7.277009U-01	6.882664D-01	6.882664D-01
6.882664U-01	7.277009U-01	6.894892U-01	6.492790D-01
6.399P76U-01	6.154558D-01	5.872423D-01	5.636714D-01
5.378787U-01	4.922156D-01	5.890000D-01	5.218546D-01
5.218544D-01	4.51493PD-01	4.066779U-01	4.066779U-01
5.144475U-02	5.144475U-02	5.144475U-02	
6.031952U-01	6.345R43U-01	6.031952U-01	6.031952U-01
6.031952U-01	6.345R43D-01	6.047143D-01	5.680701D-01
5.545807U-01	5.379962D-01	5.095380D-01	4.900877D-01
4.663792D-01	4.261237D-01	5.096875D-01	4.549180D-01
4.549180D-01	3.912235D-01	3.539382U-01	3.539382D-01
4.477318U-02	4.477318U-02	4.477318D-02	
4.682689U-01	4.868375U-01	4.682689D-01	4.682689D-01
4.682689U-01	4.868375D-01	4.675679U-01	4.403168D-01
4.231379U-01	4.165737D-01	3.897953D-01	3.773290D-01
3.565577U-01	3.265081U-01	3.800581D-01	3.484437D-01
3.484432D-01	2.969190U-01	2.703298D-01	2.703298D-01
3.419672D-02	3.419672U-02	3.419672D-02	
1.049625U-01	7.853367D-02	1.049625D-01	1.049625D-01
1.049625U-01	7.853367U-02	8.449736D-02	9.810574D-02
7.102041U-02	9.057540U-02	8.833429U-02	8.104494D-02
6.277670U-02	6.927982U-02	5.152182U-02	6.072106D-02
6.072106U-02	3.942427D-02	4.225694D-02	4.225694D-02
5.345505U-03	5.345505D-03	5.345505U-03	
4.652377U-02	3.277409U-02	4.652377D-02	4.652377D-02
4.652377U-02	3.277409D-02	3.683R58U-02	4.353728D-02
2.996392D-02	4.022381U-02	2.916433D-02	3.567515D-02
2.657829U-02	3.020669U-02	2.000924D-02	2.575711D-02
2.575711U-02	1.556147D-02	1.767587D-02	1.767587D-02
2.235598U-03	2.235598D-03	2.235598D-03	
1.307006U-02	9.377734D-03	1.307006D-02	1.307006D-02
1.307006U-02	9.377734U-03	1.058106D-02	1.222873U-02
8.601A10U-03	1.127650D-02	8.403086D-03	1.013682D-02
7.553350U-03	8.622372U-03	5.504276U-03	7.363935D-03
7.363935U-03	4.357014U-03	5.102678U-03	5.102678U-03
6.654888D-04	6.454888U-04	6.454888D-04	
9	6	0	0
0	0	0	0.0
0.0	0.0	0.0	0.0
8.02000U-05	1.30000U-02	1.4660U+04	
7.7500U-04	3.1200U-02	6.7637U+04	
6.7200D-04	1.3400U-01	2.3095D+04	
1.3300U-03	3.4700D-01	3.1676U+04	
6.1100U-04	1.4200D+00	1.0559D+04	
1.6700U-04	5.7900U+00	2.4161U+03	
3.6513U-03	0.0	0.0	3.9600D-07
0.0	0.7	U-03	1.9 U-03
4.2	U-03	4.4	U-03
20.0	U-03	4.6	U-03
0.0	0.0	4.9	D-03
5.8163U-05	2.0721U-04	5.1626D-04	4.2895U-04
7.5249U-04	8.4357U-04	9.2698D-04	1.0853D-03
8.6518U-03			1.2033U-03
7.1400U+20	2.8815U+11	2.8815U+10	3.0000D+00
0.0	0.0	5.0000D-02	5.0000D-02
-2.000000U-03	-1.000000U-03.	0.0	5.0000D-01
0.0	0.0	0.0	1.0000D-02
0.0	0.0	0.0	0.0

TIME<15:38:33> DAIF<03/24/81>
J3765.FXNHC.RTP530.DATA

2	2	27	?	2	5	22	5	4
20	0	20	3					
5.50000U+01	0.0	0.0		8.9408D+01				
2.2352U+00	6.7056U+00	1.1176U+01	1.5646U+01	2.0117U+01	2.4587U+01			
2.9058U+01	5.5528U+01	3.7999U+01	4.2469U+01	4.6939U+01	5.1410U+01			
5.5880U+01	6.0351U+01	6.4821U+01	6.9791U+01	7.3762U+01	7.8232U+01			
8.2703U+01	8.7173U+01							
1.9444D+00	5.8333D+00	9.7222D+00	1.3611D+01	1.7500D+01	2.1389D+01			
2.5778U+01	2.9167U+01	3.3056U+01						
2.5987D-09	2.5100D-09	2.1397D-09	2.1397D-09	1.9750D-09	1.7103D-09			
1.7029D-09	2.7024U-09	2.4452D-09	2.2804D-09	2.0730D-09	1.7769U-09			
2.0879D-09	3.0874U-09	3.4574D-09	3.3539U-09	3.1910U-09	2.8653U-09			
2.4432U-09	2.0953U-09							
3.8363U-09	3.4100D-09	3.1586D-09	3.1586D-09	2.8417D-09	2.5747D-09			
2.5138U-09	5.9893U-09	5.6067U-09	5.3663U-09	5.0603U-09	2.6231U-09			
5.0821D-09	4.5574U-09	5.1041D-09	4.9511D-09	4.7106U-09	4.2297D-09			
3.6067U-09	5.0930U-09							
5.0738U-09	4.5100U-09	4.1776U-09	4.1776U-09	3.7584U-09	3.3392U-09			
3.3747D-09	5.2767U-09	4.7702U-09	4.4522D-09	4.0475U-09	3.4693U-09			
4.0764D-09	6.0277U-09	6.7504D-09	6.5482U-09	6.2302D-09	5.5942U-09			
4.7702U-09	4.0908U-09							
6.3113D-09	5.6101U-09	5.1965U-09	5.1965D-09	4.6751U-09	4.1536U-09			
4.1356D-09	6.5631U-09	5.9337U-09	5.5381D-09	5.0347U-09	4.3154D-09			
5.0706U-09	7.4981D-09	8.3971D-09	8.1454U-09	7.7498U-09	6.9586U-09			
5.9337U-09	5.0866U-09							
7.5489U-09	6.7101D-09	6.2154U-09	6.2154D-09	5.5918U-09	4.9681U-09			
4.9466D-09	7.6500U-09	7.0972D-09	6.6241D-09	6.0219U-09	5.1616U-09			
6.0649U-09	8.9683U-09	1.0046U-08	9.742AD-09	9.2694U-09	8.3231U-09			
7.0972U-09	6.0864U-09							
8.7864U-09	7.8101U-09	7.2344U-09	7.2344D-09	6.5084D-09	5.7825U-09			
5.7575D-09	9.1369U-09	8.2607U-09	7.7100U-09	7.0091D-09	6.0078U-09			
7.0592U-09	1.0439U-08	1.1690U-08	1.1340D-08	1.0789D-08	9.6876U-09			
8.2607U-09	7.0842U-09							
8.2619D-09	7.3440U-09	6.8026U-09	6.8026U-09	6.1200D-09	5.4374D-09			
5.4138U-09	8.5915D-09	7.7676U-09	7.2498U-09	6.5907U-09	5.6492D-09			
6.6378U-09	9.8155D-09	1.0992U-08	1.0663U-08	1.0145D-08	9.1093U-09			
7.7676D-09	6.6613D-09							
5.9520U-09	5.2907U-09	4.9007D-09	4.9007U-09	4.4089D-09	3.9171U-09			
5.9002U-09	6.1844U-09	5.5959U-09	5.2229U-09	4.7481U-09	4.0698U-09			
4.7820D-09	7.0712U-09	7.9191U-09	7.6817U-09	7.3086U-09	6.5625U-09			
5.5959U-09	4.7989U-09							
4.6117D-09	4.0993U-09	3.7971D-09	3.7971U-09	3.4161D-09	3.0351D-09			
3.0219U-09	4.7957U-09	4.3358U-09	4.0468U-09	3.6789D-09	3.1533U-09			
3.7052D-09	5.4789U-09	6.1135U-09	5.9519D-09	5.6628D-09	5.0847D-09			
4.4335U-09	5.7183U-09							
6.3A41D-01	-3.8449D-04	1.275FD-07	5.0320D-01	0.0	0.0			
0.0	0.0	0.0	2.9731U+03	2.8000U+02	5.0812U-03			
0.0	-3.8445U-04	0.0	0.0	9.1244D-01				
7.3553U+02	7.1393U+02	7.7152U+02	0.0	2.0112D-02				
2	5	16	5	2	11	16	11	3
16	9	14	6					
6.6000D+01	3.5000U+01	0.0		6.8399D+01				
2.1375D+00	6.4124U+00	1.0687D+01	1.4962D+01	1.9237U+01	2.3512D+01			
2.7787D+01	3.2062U+01	3.6337U+01	4.0612D+01	4.4887U+01	4.9162D+01			
5.3437D+01	5.7712U+01	6.1987D+01	6.6262D+01					
3.6722D+01	4.0167U+01	4.3611D+01	4.7056U+01	5.0500U+01	5.3944D+01			
5.7389D+01	6.0953U+01	6.4277U+01						

TIME<15:38:53> DATE<03/26/81>
 J3765.FXNHC.SIP53U.DAIA
 1.6801D-07 1.7054D-07 1.7192D-07 1.7114D-07 1.6879D-07 1.6411D-07
 1.6020D-07 1.5314D-07 1.5004D-07 1.4848D-07 1.4301D-07 1.3910D-07
 1.5128D-07 1.2191D-07 1.1331D-07 1.0784D-07
 1.7089D-07 1.7327D-07 1.7486D-07 1.7407D-07 1.7168D-07 1.6691D-07
 1.6294D-07 1.3578D-07 1.5261D-07 1.5102D-07 1.4545D-07 1.4148D-07
 1.3353D-07 1.2399D-07 1.1525D-07 1.0968D-07
 1.7374D-07 1.7618D-07 1.7780D-07 1.7699D-07 1.7457D-07 1.6972D-07
 1.6568D-07 1.5846D-07 1.5517D-07 1.5354D-07 1.4790D-07 1.4386D-07
 1.3577D-07 1.2608D-07 1.1719D-07 1.1153D-07
 1.7914D-07 1.8164D-07 1.8331D-07 1.8248D-07 1.7998D-07 1.7498D-07
 1.7088D-07 1.6331D-07 1.5998D-07 1.5851D-07 1.5248D-07 1.4852D-07
 1.3998D-07 1.2998D-07 1.2082D-07 1.1499D-07
 1.8855D-07 1.9118D-07 1.9293D-07 1.9204D-07 1.8943D-07 1.8416D-07
 1.7978D-07 1.7169D-07 1.6858D-07 1.6663D-07 1.6049D-07 1.5610D-07
 1.4733D-07 1.3881D-07 1.2716D-07 1.2102D-07
 1.9740D-07 2.0016D-07 2.0199D-07 2.0107D-07 1.9832D-07 1.9281D-07
 1.8822D-07 1.7994D-07 1.7628D-07 1.7445D-07 1.6802D-07 1.6343D-07
 1.5425D-07 1.4323D-07 1.3313D-07 1.2670D-07
 2.0501D-07 2.0767D-07 2.0977D-07 2.0882D-07 2.0596D-07 2.0024D-07
 1.9547D-07 1.8848D-07 1.8308D-07 1.8117D-07 1.7449D-07 1.6973D-07
 1.6019D-07 1.4875D-07 1.5824D-07 1.5159D-07
 2.1223D-07 2.1519D-07 2.1716D-07 2.1617D-07 2.1321D-07 2.0729D-07
 2.0235D-07 1.9347D-07 1.8952D-07 1.8755D-07 1.8064D-07 1.7570D-07
 1.6583D-07 1.5399D-07 1.4313D-07 1.3622D-07
 2.1816D-07 2.2120D-07 2.2323D-07 2.2222D-07 2.1917D-07 2.1308D-07
 2.0801D-07 1.9488D-07 1.9482D-07 1.9279D-07 1.8569D-07 1.8061D-07
 1.7047D-07 1.5829D-07 1.4713D-07 1.4003D-07
 6.3641D-01 -3.8449D-04 1.2758D-07 5.0320D-01 0.0 0.0
 0.0 0.0 0.0 2.9731D+03 2.8000D+02 7.1014D-02
 0.0 -1.0651D-03 0.0 0.0 8.5040D-01
 1.0327D+03 1.0036D+03 1.5846D+03 0.0 4.9355D-02
 16 5 22 5 16 11 22 11 3
 4 9 6 6
 6.6000D+01 3.5000D+01 6.8399D+01 8.9408D+01
 7.1025D+01 7.6277D+01 8.1530D+01 8.6782D+01
 3.6722D+01 4.0167D+01 4.3611D+01 4.7056D+01 5.0500D+01 5.3944D+01
 5.7389D+01 6.0833D+01 6.4278D+01
 1.0937D-07 1.0047D-07 9.2892D-08 8.0846D-08
 1.1922D-07 1.0951D-07 1.0125D-07 8.8120D-08
 1.2906D-07 1.1855D-07 1.0961D-07 9.5395D-08
 1.4032D-07 1.2890D-07 1.1917D-07 1.0372D-07
 1.5384D-07 1.4137D-07 1.3066D-07 1.1371D-07
 1.6485D-07 1.5327D-07 1.4170D-07 1.2333D-07
 1.7570D-07 1.6415D-07 1.5177D-07 1.3209D-07
 1.8987D-07 1.7442D-07 1.6126D-07 1.4035D-07
 1.9882D-07 1.8264D-07 1.6866D-07 1.4696D-07
 6.3641D-01 -3.8449D-04 1.2758D-07 5.0320D-01 0.0 0.0
 0.0 0.0 0.0 2.9731D+03 2.8000D+02 4.3746D-02
 0.0 -2.9207D-04 0.0 0.0 1.0000D+00
 8.5455D+02 8.5673D+02 1.3700D+03 0.0 2.0112D-02
 2 11 16 11 2 16 16 16 3
 16 9 14 5
 9.7000D+01 6.6000D+01 0.0 6.8399D+01
 2.1375D+00 6.4124D+00 1.0687D+01 1.4962D+01 1.9237D+01 2.3512D+01
 2.7787D+01 3.2062D+01 3.6337D+01 4.0612D+01 4.4867D+01 4.9162D+01
 5.3437D+01 5.7712D+01 6.1987D+01 6.6262D+01
 6.7722D+01 7.1167D+01 7.4611D+01 7.8056D+01 8.1500D+01 8.4944D+01

TIME<15:38:53> DAIF<03/26/81>
J3765.FXNHC.STP530.DATN

8.8389D+01	9.1833D+01	9.5278D+01				
2.2277D-07	2.2277D-07	2.2277D-07	2.2194D-07	2.2027D-07	2.1612D-07	
2.1113D-07	2.0115D-07	1.9617D-07	1.9534D-07	1.8957D-07	1.8453D-07	
1.8267D-07	1.6791D-07	1.5045D-07	1.4463D-07			
2.2451D-07	2.2451D-07	2.2451D-07	2.2567D-07	2.2398D-07	2.1975D-07	
2.1468D-07	2.0454D-07	1.9947D-07	1.9862D-07	1.9271D-07	1.8763D-07	
1.8594D-07	1.7073D-07	1.5798D-07	1.4706D-07			
2.3018D-07	2.3018D-07	2.3018D-07	2.2932D-07	2.2760D-07	2.2330D-07	
2.1815D-07	2.0784D-07	2.0769D-07	2.0183D-07	1.9562D-07	1.9067D-07	
1.8895D-07	1.7349D-07	1.5545D-07	1.4944D-07			
2.3283D-07	2.3283D-07	2.3283D-07	2.3196D-07	2.3022D-07	2.2588D-07	
2.2067D-07	2.1024D-07	2.0503D-07	2.0416D-07	1.9808D-07	1.9286D-07	
1.9113D-07	1.7549D-07	1.5725D-07	1.5116D-07			
2.3548D-07	2.3548D-07	2.3548D-07	2.3460D-07	2.3284D-07	2.2845D-07	
2.2318D-07	2.1264D-07	2.0756D-07	2.0648D-07	2.0033D-07	1.9506D-07	
1.9330D-07	1.7749D-07	1.5904D-07	1.5289D-07			
2.3515D-07	2.3515D-07	2.3515D-07	2.3427D-07	2.3251D-07	2.2813D-07	
2.2786D-07	2.1233D-07	2.0707D-07	2.0619D-07	2.0005D-07	1.9478D-07	
1.9303D-07	1.7724D-07	1.5881D-07	1.5267D-07			
2.3481D-07	2.3481D-07	2.3481D-07	2.3393D-07	2.3218D-07	2.2780D-07	
2.2754D-07	2.1203D-07	2.0677D-07	2.0590D-07	1.9976D-07	1.9451D-07	
1.9275D-07	1.7698D-07	1.5858D-07	1.5245D-07			
2.3262D-07	2.3262D-07	2.3262D-07	2.3175D-07	2.3001D-07	2.2547D-07	
2.2047D-07	2.1005D-07	2.0484D-07	2.0397D-07	1.9790D-07	1.9269D-07	
1.9095D-07	1.7533D-07	1.5710D-07	1.5103D-07			
2.3027D-07	2.3027D-07	2.3027D-07	2.2941D-07	2.2769D-07	2.2340D-07	
2.1824D-07	2.0793D-07	2.0277D-07	2.0192D-07	1.9590D-07	1.9075D-07	
1.8903D-07	1.7356D-07	1.5552D-07	1.4950D-07			
6.3441D-01	-3.8449D-04	1.2758D-07	5.0320D-01	0.0	0.0	
0.0	0.0	0.0	2.9731D+03	2.8000D+02	8.6629D-02	
0.0	-1.4605D-03	0.0	0.0	8.5040D-01		
1.2362D+03	1.1893D+03	1.8458D+03	0.0	1.8011D-01		
16	11	22	11	16	22	3
4	9	6	5			
9.7000D+01	6.6000D+01	6.8399D+01	8.9408D+01			
7.1025D+01	7.6777D+01	8.1530D+01	8.6782D+01			
6.7722D+01	7.1167D+01	7.4611D+01	7.8056D+01	8.1500D+01	8.4944D+01	
8.8389D+01	9.1833D+01	9.5278D+01				
2.0075D-07	1.8747D-07	1.7805D-07	1.5925D-07			
2.0434D-07	1.9769D-07	1.8301D-07	1.6368D-07			
2.1169D-07	1.9768D-07	1.8776D-07	1.6792D-07			
2.1408D-07	1.9992D-07	1.8988D-07	1.6982D-07			
2.1448D-07	2.0215D-07	1.9200D-07	1.7172D-07			
2.1491D-07	2.0069D-07	1.9061D-07	1.7047D-07			
2.1334D-07	1.9922D-07	1.8922D-07	1.6923D-07			
2.0814D-07	1.9457D-07	1.8461D-07	1.6511D-07			
2.0264D-07	1.6926D-07	1.7973D-07	1.6075D-07			
6.3441D-01	-3.8449D-04	1.2758D-07	5.0320D-01	0.0	0.0	
0.0	0.0	0.0	2.9731D+03	2.8000D+02	6.0835D-02	
0.0	-4.3907D-04	0.0	0.0	1.0000D+00		
1.0719D+03	1.0834D+03	1.6738D+03	0.0	5.5560D-02		
2	16	16	16	22	22	3
16	9	14	6			
1.2800D+02	9.7000D+01	0.0	6.8399D+01			
2.1375D+00	6.4124D+00	1.0687D+01	1.4962D+01	1.9237D+01	2.3512D+01	
2.7787D+01	3.2067D+01	3.6337D+01	4.0612D+01	4.4887D+01	4.9167D+01	
5.3437D+01	5.7712D+01	6.1987D+01	6.6262D+01			

TIME<15:38:33> DATA<03/26/81>
J3765.FXNHC.STP53U.DATA

9.8722D+01	1.0217D+02	1.0561D+02	1.0906D+02	1.1250D+02	1.1594D+02
1.1939D+02	1.2783D+02	1.2428D+02			
2.2411D+07	2.2974D+07	2.3425D+07	2.3312D+07	2.3087D+07	2.2298D+07
2.1A23D+07	2.0722D+07	2.0384D+07	2.0159D+07	1.9370D+07	1.8695D+07
1.7A81D+07	1.6447D+07	1.5316D+07	1.4415D+07		
2.1962D+07	2.2514D+07	2.2955D+07	2.2845D+07	2.2624D+07	2.1857D+07
2.1190D+07	2.0307D+07	1.9976D+07	1.9755D+07	1.8982D+07	1.8320D+07
1.7327D+07	1.6113D+07	1.5090D+07	1.4126D+07		
2.1771D+07	2.1405D+07	2.2233D+07	2.2126D+07	2.1912D+07	2.1164D+07
2.0522D+07	1.9667D+07	1.9347D+07	1.9133D+07	1.8385D+07	1.7743D+07
1.6781D+07	1.5604D+07	1.4557D+07	1.3682D+07		
2.0507D+07	2.1027D+07	2.1454D+07	2.1331D+07	2.1125D+07	2.0403D+07
1.9785D+07	1.8961D+07	1.8652D+07	1.8446D+07	1.7724D+07	1.7106D+07
1.6179D+07	1.5065D+07	1.4015D+07	1.3190D+07		
1.9604D+07	2.0047D+07	2.0491D+07	2.0392D+07	2.0195D+07	1.9506D+07
1.6915D+07	1.6126D+07	1.5811D+07	1.7634D+07	1.6944D+07	1.6353D+07
1.5467D+07	1.4383D+07	1.3398D+07	1.2610D+07		
1.8644D+07	1.9109D+07	1.9483D+07	1.9390D+07	1.9202D+07	1.8547D+07
1.7985D+07	1.7235D+07	1.6954D+07	1.6767D+07	1.6111D+07	1.5549D+07
1.6706D+07	1.5677D+07	1.2739D+07	1.1990D+07		
1.8602D+07	1.8454D+07	1.8816D+07	1.8725D+07	1.8544D+07	1.7911D+07
1.7336D+07	1.6645D+07	1.6373D+07	1.6192D+07	1.5539D+07	1.5016D+07
1.4702D+07	1.3207D+07	1.2303D+07	1.1579D+07		
1.7566D+07	1.8007D+07	1.8360D+07	1.8272D+07	1.8049D+07	1.7478D+07
1.6948D+07	1.6242D+07	1.5977D+07	1.5801D+07	1.5183D+07	1.4653D+07
1.3859D+07	1.2888D+07	1.2005D+07	1.1799D+07		
1.7336D+07	1.7801D+07	1.8150D+07	1.8063D+07	1.7889D+07	1.7278D+07
1.6754D+07	1.6056D+07	1.5794D+07	1.5620D+07	1.5009D+07	1.4485D+07
1.3700D+07	1.2740D+07	1.1868D+07	1.1169D+07		
6.3641D+01	-3.8449D+04	1.2758D+07	5.0320D+01	0.0	0.0
0.0	0.0	0.0	2.9731D+03	2.8000D+02	7.4481D+02
0.0	-8.3995D+04	0.0	0.0	8.5040D+01	
1.2703D+03	1.2888D+03	1.0826D+03	0.0	2.7585D+01	
16	14	22	16	22	22
4	9	6			3
1.2900D+02	9.7000D+01	6.8399D+01	8.9408D+01		
7.1025D+01	7.6277D+01	8.1530D+01	8.6782D+01		
9.8722D+01	1.0217D+02	1.0561D+02	1.0906D+02	1.1250D+02	1.1594D+02
1.1939D+02	1.2763D+02	1.2628D+02			
2.0270D+07	1.8498D+07	1.6979D+07	1.4714D+07		
1.9367D+07	1.7668D+07	1.6223D+07	1.4058D+07		
1.8188D+07	1.6550D+07	1.5235D+07	1.3202D+07		
1.6926D+07	1.5639D+07	1.4178D+07	1.2286D+07		
1.5557D+07	1.4188D+07	1.3027D+07	1.1289D+07		
1.4129D+07	1.2888D+07	1.1835D+07	1.0256D+07		
1.2914D+07	1.1780D+07	1.0818D+07	9.3742D+06		
1.1829D+07	1.0790D+07	9.9086D+06	8.5866D+06		
1.1328D+07	1.0333D+07	9.4891D+06	8.2231D+06		
6.3641D+01	-3.8449D+04	1.2758D+07	5.0320D+01	0.0	0.0
0.0	0.0	0.0	2.9731D+03	2.8000D+02	4.3424D+02
0.0	-2.6412D+04	0.0	0.0	1.0000D+00	
1.1942D+03	1.1949D+03	1.0843D+03	0.0	6.6582D+02	
2	22	22	2	25	22
20	9	20	3		4
1.5800D+02	1.2800D+02	0.0	8.9408D+01		
2.2352D+00	6.7056D+00	1.1176D+01	1.5646D+01	2.0117D+01	2.4587D+01
2.9058D+01	5.3528D+01	5.7999D+01	4.2469D+01	4.6939D+01	5.1410D+01

TIME<15:38:33> DATE<03/26/81>
J3765.EXNHC.STP530.DAT

5.59800D+01	6.03510D+01	6.48210D+01	6.92910D+01	7.37620D+01	7.82320D+01
8.27030D+01	8.71730D+01				
1.07670D+02	1.53000D+02	1.36330D+02	1.39670D+02	1.43000D+02	1.46330D+02
1.49670D+02	1.53000D+02	1.56330D+02			
1.84190D-08	1.73230D-08	1.60960D-08	1.66410D-08	1.77330D-08	1.91650D-08
2.23700D-08	2.09380D-08	1.84830D-08	1.52770D-08	1.41860D-08	1.37090D-08
1.52310D-08	1.13270D-08	1.08440D-08	9.82110D-09	9.07090D-09	8.04780D-09
6.87020D-09	5.59240D-09				
2.03280D-08	1.89130D-08	1.75730D-08	1.81680D-08	1.93600D-08	2.09230D-08
2.44230D-08	2.28590D-08	2.01790D-08	1.66790D-08	1.54880D-08	1.49670D-08
1.44450D-08	1.23600D-08	1.18390D-08	1.07270D-08	9.90520D-09	8.78630D-09
7.44600D-09	6.10570D-09				
2.20540D-08	2.05020D-08	1.90500D-08	1.96950D-08	2.09870D-08	2.26820D-08
2.66760D-08	2.47810D-08	2.18750D-08	1.80810D-08	1.67890D-08	1.62240D-08
1.56590D-08	1.53990D-08	1.28540D-08	1.16230D-08	1.07340D-08	9.52480D-09
8.07180D-09	6.61890D-09				
2.19710D-08	2.04420D-08	1.89930D-08	1.96370D-08	2.09250D-08	2.26150D-08
2.63970D-08	2.47070D-08	2.18100D-08	1.80270D-08	1.67400D-08	1.61760D-08
1.56130D-08	1.53600D-08	1.27940D-08	1.15890D-08	1.07040D-08	9.49650D-09
8.04790D-09	6.59930D-09				
1.73610D-08	1.61530D-08	1.50080D-08	1.55170D-08	1.65340D-08	1.78700D-08
2.08590D-08	1.95230D-08	1.72340D-08	1.42450D-08	1.32280D-08	1.27870D-08
1.23370D-08	1.05570D-08	1.01110D-08	9.15750D-09	8.45800D-09	7.50410D-09
6.55940D-09	5.21470D-09				
1.51170D-08	1.22040D-08	1.13590D-08	1.17230D-08	1.24920D-08	1.35010D-08
1.57590D-08	1.47500D-08	1.30210D-08	1.07620D-08	9.99370D-09	9.65730D-09
9.97100D-09	7.97570D-09	7.63940D-09	6.91870D-09	6.39020D-09	5.66950D-09
4.30460D-09	3.93980D-09				
1.12210D-08	1.04400D-08	9.70020D-09	1.00290D-08	1.06870D-08	1.15500D-08
1.34820D-08	1.26190D-08	1.11390D-08	9.20700D-09	8.54940D-09	8.26160D-09
7.97390D-09	6.82300D-09	6.53530D-09	5.91880D-09	5.46670D-09	4.85010D-09
4.11030D-09	3.57040D-09				
9.37540D-09	8.67640D-09	8.06150D-09	8.33480D-09	8.68130D-09	9.59870D-09
1.12040D-08	1.04870D-08	9.25710D-09	7.65160D-09	7.10510D-09	6.84590D-09
6.62680D-09	5.67040D-09	5.43130D-09	4.91890D-09	4.54310D-09	4.03080D-09
3.41590D-09	2.80100D-09				
8.90970D-09	8.28960D-09	7.70220D-09	7.96330D-09	8.48550D-09	9.17080D-09
1.07050D-08	1.00190D-08	8.84450D-09	7.31060D-09	6.78840D-09	6.55990D-09
6.33150D-09	5.41760D-09	5.18970D-09	4.69960D-09	4.34060D-09	3.85110D-09
3.28360D-09	2.67670D-09				
6.36410D-01	-3.84490D-04	1.27580D-07	5.03200D-01	0.0	0.0
0.0	0.0	0.0	2.97510D+03	2.80000D+02	7.65670D-03
0.0	-2.07320D-04	0.0	0.0	9.12440D-01	
1.19970D+03	1.222480D+03	1.25060D+03	0.0	2.31590D-01	
22	2	25	2	22	25
6	23	3	23	25	25
1.58000D+02	0.0	8.94080D+01	1.20020D+02		
92.03517	97.28877	102.54255	107.79665	112.8216	117.6174
1.94445	9.72223	17.5	25.27778	33.05554	40.16664
47.05552	53.94447	60.83331	67.72219	74.61109	81.5
87.95831	95.06248	102.81248	109.05554	115.94442	121.67497
129.66663	136.53329	144.24996	149.66663	156.33331	
6.1443	-10 3.3498	-10 1.5046	-10 6.6035	-11 1.4077	-11 -5.0451 -12
8.4951	-10 5.3975	-10 2.6215	-10 1.3647	-10 5.0875	-11 1.9854 -11
1.6978	-9 1.0982	-9 5.4222	-10 2.9547	-10 1.2291	-10 5.7361 -11
4.1787	-9 2.5424	-9 1.2178	-9 6.3805	-10 2.6691	-10 1.2510 -10
1.1229	-8 5.8725	-9 2.6107	-9 1.2763	-9 5.2221	-10 2.4006 -10

TIME<15:38:33> DATA F<05/26/R1>
J3765.FXNHC.STP53U.DATA

2.1543	- R	1.0800	- R	4.6523	- R	2.2596	- R	9.0998	-10	4.3161	-10
2.5380	- R	1.3639	- R	6.0591	- R	3.0032	- R	1.2119	-9	5.7792	-10
2.8883	- R	1.5945	- R	7.1922	- R	3.6588	- R	1.4725	-9	7.0864	-10
3.1804	- R	1.7836	- R	8.0723	- R	4.1415	- R	1.6761	-9	8.1272	-10
3.3941	- R	1.9191	- R	8.6913	- R	4.4969	- R	1.8170	-9	8.8527	-10
3.5126	- R	1.9942	- R	9.0284	- R	4.6919	- R	1.8926	-9	9.2439	-10
3.5250	- R	2.0032	- R	9.0665	- R	4.7176	- R	1.9017	-9	9.2950	-10
3.4353	- R	1.9490	- R	8.211	- R	4.5839	- R	1.8488	-9	9.0305	-10
3.2384	- R	1.8284	- R	8.2755	- R	4.2817	- R	1.7299	-9	8.4317	-10
2.9109	- R	1.6270	- R	7.3558	- R	3.7774	- R	1.5275	-9	7.4110	-10
2.5801	- R	1.4227	- R	6.4090	- R	3.2515	- R	1.3180	-9	6.3605	-10
2.1642	- R	1.1638	- R	5.1924	- R	2.5951	- R	1.0522	-9	5.0454	-10
1.7836	- R	9.2584	- R	4.0775	- R	2.0175	- R	8.1898	-10	3.9151	-10
9.1289	- R	4.8526	- R	2.1934	- R	1.0851	- R	4.4687	-10	2.0609	-10
4.3141	- R	2.5243	- R	1.1951	- R	6.1367	- R	2.5444	-10	1.1755	-10
1.9171	- R	1.1566	- R	5.5566	-10	2.8727	-10	1.1464	-10	5.0256	-11
1.2394	- R	7.2655	-10	3.4196	-10	1.6734	-10	5.8737	-11	2.0134	-11
8.4173	-10	4.6056	-10	2.0461	-10	8.5572	-11	1.5512	-11	9.4683	-12
6.36410-01	-3.84490-04	1.2758D-07	5.0320D-01	0.0		0.0		0.0		0.0	
0.0	0.0	0.0	2.97310+03	2.80000D+02	0.0						
0.0	-1.61000D-03	0.0	0.0	4.6600D-01							
9.5265D+02	9.5547D+02	1.24250D+03	0.0	2.0112D-02							
7.18620D+02	7.53010D+02	7.18620D+02	7.18620D+02	7.18620D+02	7.53010D+02						
7.33760D+02	7.12920D+02	7.20030D+02	7.08150D+02	7.02840D+02	7.03280D+02						
6.93860D+02	6.96070D+02	6.84150D+02	6.85460D+02	6.85460D+02	6.78510D+02						
6.80020D+02	6.80020D+02	7.10600D+02	7.10600D+02	7.10600D+02	7.10600D+02						
9.55080D+02	9.44660D+02	9.55080D+02	9.55080D+02	9.55080D+02	9.44660D+02						
9.33720U+02	9.33510U+02	8.87510D+02	9.08020D+02	8.54270D+02	8.87800D+02						
8.24240D+02	8.54050D+02	7.75310D+02	8.00190D+02	8.00190D+02	7.46860D+02						
7.56940D+02	7.56940D+02	7.52100D+02	7.52100D+02	7.52100D+02	7.52100D+02						
1.26200D+03	1.21300U+03	1.26200D+03	1.26200D+03	1.26200D+03	1.21300D+03						
1.20570D+03	1.22080D+03	1.12340D+03	1.17050D+03	1.06750D+03	1.13160D+03						
1.010600+03	1.066800+03	9.24350D+02	9.68510D+02	9.68530D+02	8.59400D+02						
8.74690U+02	8.74690U+02	8.22900D+02	8.22900D+02	8.22900D+02	8.22900D+02						
2.35170D+03	2.67600D+03	2.35170D+03	2.35170D+03	2.35170D+03	2.67600D+03						
2.51930D+03	2.28260D+03	2.45990D+03	2.72990D+03	2.27620D+03	2.13140D+03						
2.15030D+03	1.98730D+03	2.24770D+03	1.99930D+03	1.99930D+03	1.90500D+03						
1.75500D+03	1.75500D+03	9.13500D+02	9.13500D+02	9.13500D+02	9.13500D+02						
2.60830D+03	2.97310D+03	2.60830D+03	2.60830D+03	2.60830D+03	2.97310D+03						
2.90520D+03	2.53550D+03	2.84410D+03	2.49740D+03	2.61750D+03	2.39590D+03						
2.46200D+03	2.25070D+03	2.62400D+03	2.27140D+03	2.27140D+03	2.73370D+03						
2.03320D+03	2.03320D+03	9.64000D+02	9.64000D+02	9.64000D+02	9.64000D+02						
2.72840D+03	2.97410D+03	2.72840D+03	2.72840D+03	2.72840D+03	2.97410D+03						
2.97310D+03	2.65310D+03	2.97310D+03	2.62350D+03	2.80670D+03	2.52340D+03						
2.64230D+03	2.38890D+03	2.83460D+03	2.39160D+03	2.39160D+03	2.41830D+03						
2.19130D+03	2.19130D+03	1.00900U+03	1.00900D+03	1.00900D+03	1.00900D+03						
2.85420D+03	3.12350U+03	2.85620D+03	2.85620D+03	2.85620D+03	3.12350D+03						
2.97410D+03	2.77470D+03	2.97410D+03	2.74160D+03	2.97310D+03	2.63480D+03						
2.80000D+03	2.49710D+03	2.97310D+03	2.48520D+03	2.48520D+03	2.57450D+03						
2.32490D+03	2.32490U+03	1.05300U+03	1.05300D+03	1.05300U+03	1.05300U+03						
2.97310U+03	3.34530U+03	2.97310U+03	2.97310U+03	2.97310D+03	3.34530D+03						
2.97410D+03	2.90600U+03	2.97410D+03	2.86500U+03	2.97310D+03	2.74950U+03						
2.93740D+03	2.59940U+03	2.97310D+03	2.57460D+03	2.57460D+03	2.68740D+03						
2.41580D+03	2.41580U+03	1.09400U+03	1.09400D+03	1.09400U+03	1.09400U+03						
2.97310D+03	3.45920U+03	2.97310D+03	2.97310D+03	2.97310D+03	3.45920D+03						
3.09210D+03	2.97310U+03	3.05290D+03	2.97310D+03	2.97410D+03	2.86440D+03						
2.97310U+03	2.69940U+03	2.97410D+03	2.65860D+03	2.65860D+03	2.78890D+03						

TIME<15:38:33> DATE<03/26/81>

J3765.FXNRC.SIPS30.DATA

2.492100+03 2.492100+03 1.130000+03 1.130000+03 1.130000+03
 2.974100+03 3.633500+03 2.974100+03 2.974100+03 2.974100+03 3.633500+03
 3.179300+03 2.973100+03 3.131000+03 2.973100+03 2.974100+03 2.973100+03
 2.973100+03 2.803900+03 2.974100+03 2.747900+03 2.747900+03 2.884800+03
 2.562100+03 2.562100+03 1.164000+03 1.164000+03 1.164000+03
 2.974100+03 3.785400+03 2.974100+03 2.974100+03 2.974100+03 3.785400+03
 1.307400+03 2.974100+03 3.251200+03 2.974100+03 2.974100+03 2.973100+03
 2.974100+03 2.902700+03 3.010400+03 2.843200+03 2.843200+03 2.963900+03
 2.623400+03 2.623400+03 1.191000+03 1.191000+03 1.191000+03
 2.999800+03 3.816100+03 2.999800+03 2.999800+03 2.999800+03 3.816100+03
 3.429100+03 2.974100+03 3.324300+03 2.974100+03 2.977600+03 2.973100+03
 2.974100+03 2.969700+03 3.070200+03 2.927000+03 2.927000+03 2.973100+03
 2.667900+03 2.667900+03 1.213000+03 1.213000+03 1.213000+03
 3.019600+03 3.802400+03 3.019600+03 3.019600+03 3.019600+03 3.802400+03
 3.451300+03 2.974100+03 3.346200+03 2.974100+03 2.992100+03 2.973100+03
 2.974100+03 2.973100+03 3.080500+03 2.973100+03 2.973100+03 2.973100+03
 2.688300+03 2.688300+03 1.219000+03 1.219000+03 1.219000+03
 3.057400+03 3.752800+03 3.057400+03 3.057400+03 3.057400+03 3.752800+03
 3.452800+03 2.974100+03 3.339800+03 2.974100+03 2.991400+03 2.973100+03
 2.974100+03 2.973100+03 3.072200+03 2.973100+03 2.973100+03 2.973100+03
 2.683400+03 2.683400+03 1.219000+03 1.219000+03 1.219000+03
 3.052700+03 3.678500+03 3.052700+03 3.052700+03 3.052700+03 3.678500+03
 3.391800+03 2.974100+03 3.292300+03 2.974100+03 2.974100+03 2.973100+03
 2.974100+03 2.9533700+03 3.022800+03 2.973100+03 2.973100+03 2.947900+03
 2.656400+03 2.656400+03 1.206000+03 1.206000+03 1.206000+03
 2.979500+03 3.543800+03 2.979500+03 2.979500+03 2.979500+03 3.543800+03
 3.260200+03 2.974100+03 3.174200+03 2.974100+03 2.974100+03 2.973100+03
 2.973100+03 2.870100+03 2.974100+03 2.919900+03 2.919900+03 2.877100+03
 2.612200+03 2.612200+03 1.190000+03 1.190000+03 1.190000+03
 2.974100+03 3.385500+03 2.974100+03 2.974100+03 2.974100+03 3.385500+03
 3.176100+03 2.974100+03 3.053400+03 2.973100+03 2.974100+03 2.973100+03
 2.973100+03 2.783800+03 2.974100+03 2.837700+03 2.837700+03 2.781200+03
 2.549200+03 2.549200+03 1.169000+03 1.169000+03 1.169000+03
 2.974100+03 3.249700+03 2.974100+03 2.974100+03 2.974100+03 3.249700+03
 3.036900+03 2.973100+03 2.974100+03 2.973100+03 2.973100+03 2.850900+03
 2.888200+03 2.671900+03 2.974100+03 2.727100+03 2.727100+03 2.666300+03
 2.449800+03 2.449800+03 1.142000+03 1.142000+03 1.142000+03
 2.974100+03 2.974200+03 2.974100+03 2.974100+03 2.974100+03 2.974200+03
 2.974100+03 2.878600+03 2.973100+03 2.815200+03 2.850700+03 2.690200+03
 2.712400+03 2.522300+03 2.874900+03 2.578700+03 2.578700+03 2.514000+03
 2.313100+03 2.313100+03 1.109000+03 1.109000+03 1.109000+03
 2.613300+03 2.974100+03 2.613300+03 2.613300+03 2.613300+03 2.974100+03
 2.974100+03 2.556600+03 2.644000+03 2.506400+03 2.513100+03 2.402700+03
 2.410800+03 2.246000+03 2.513500+03 2.287000+03 2.287000+03 2.221100+03
 2.052700+03 2.052700+03 1.070000+03 1.070000+03 1.070000+03
 1.571000+03 1.518200+03 1.571000+03 1.571000+03 1.571000+03 1.518200+03
 1.530400+03 1.543700+03 1.480000+03 1.512900+03 1.455400+03 1.466500+03
 1.421400+03 1.392400+03 1.380400+03 1.332300+03 1.332300+03 1.285400+03
 1.236400+03 1.236400+03 1.002000+03 1.002000+03 1.002000+03
 1.346000+03 1.333800+03 1.346000+03 1.346000+03 1.346000+03 1.333800+03
 1.340500+03 1.331500+03 1.312100+03 1.314100+03 1.293600+03 1.283600+03
 1.268900+03 1.231200+03 1.244100+03 1.186600+03 1.186600+03 1.175400+03
 1.128100+03 1.128100+03 9.472000+02 9.472000+02 9.472000+02
 1.203300+03 1.229900+03 1.203300+03 1.203300+03 1.203300+03 1.229900+03
 1.225100+03 1.196100+03 1.214500+03 1.186500+03 1.196500+03 1.167200+03
 1.176800+03 1.129800+03 1.170500+03 1.099200+03 1.099200+03 1.112500+03
 1.062200+03 1.062200+03 9.078000+02 9.078000+02 9.078000+02

TIME<15:38:53> DAIF<03/26/81>
J3765.FXNRC.STP530.DAIA

6-106

PAGE 12

TIME<15:38:53> DATE<03/26/81>
J3765, FMRC, SIPS30, DATA

TIME<15:38:53> DATA<03/26/81>
J3765.FXNHC.STP530.DATA

601-6

TIME<15:38:53> DATE<03/26/81>
J3765.FXNKC.S1P530.DATA

TIME<15:38:33> DAIF<03/24/R1>
J3765.FXHRC.S1P53U.DAIA

TIME<15:38:33> DAIF<05/26/81>
J3765, EXHIBC, SIP530, DATA

6-112

TIME<15:38:33> DATE<05/26/81>
J3765.FXHHC.S1P530.DATA

PAGE 19

TIME<15:38:53> DATA<03/26/81>
J3765,FXMRC,SIP530,DATA

6-114

PAGE 20

TIME<15:38:33> DATE<05/26/91>
J3765, EXNHC, 81P530, DATA

(END)

6-115

Table 6.1-26. Dependence of Fuel Vapor Work on SAS-Channel Arrangement in VENUS-Rings in EOEC Core*

Region	Fuel Assembly Ring #	VENUS-PM2 Ring #	SAS-Channel Arrangement ID							
			A0	A5	SAS-Channel # (# of F/A's)					
			A6	A4	A1	A2	A3	A7		
	0(Center)	1	10(1)							
	1	2	10(3)				1 (3)			
	1	3	1 (3)				10(3)			
	2	4	1 (3)	10(6)	1 (3)	10(3)	1 (3)	10(3)	1 (3)	10(3)
	2	5	1 (3)	1 (3)	10(6)	1 (6)	1 (3)	10(3)	10(6)	1 (6)
	2	6	10(6)	1 (3)	1 (3)	10(3)	10(6)	1 (6)	1 (3)	10(3)
Inner Core	3	7	3(3)							
	3	8	7(15)							
	4	9	2(9)							
	4	10	6(15)							
	5	11	4(12)							
	5	12	8(18)							
	6	13	5 (18)							
	6	14	12(18)							
	7	15	9 (15)							
	7	16	14(13.5)							
Outer Core	7	17	14(13.5)							
	8	18	11(15)							
	8	19	13(15)							
	8	20	13(18)							
Radial Blanket	9	21								
	10	22	Average Radial Blanket Assemblies							
	11	23								
Total Energy Released**			1.012	0.980	0.980	1.012	1.006	1.020	0.976	1.015
Fuel Vapor Work(to 1 atm.)**			1.032	0.944	0.945	1.034	1.014	1.058	0.934	1.039
SAS-Channel Arrangement ID:			A0	A5	A6	A4	A1	A2	A3	A7

Note: * Parameter runs are for Case LF.EXNRC.C2318.STP530

** Average is normalized to 1.0

Table 6.1-27 Summary Table of MONJU-HCDA SAS3D-to-VENUS-PM Switch Calculation

Accident Category : LOF, Reactor State : EOEC
 SAS3D Case ID : LF.REAC.EXNRC.C2318(Case #1, 2, 3)
 LF.REAC.LRIP.FCI.C2323 (Case #4, 5, 6, 7, 8)

Initial Conditions & Results		VENUS-PM Case ID Ring Configuration	1 CR-Ring	2 F/A in CR-Ring	3 W/o CR-Ring	4 CR-Ring	5 F/A in CR-Ring	6 CR-Ring	7 W/o CR-Ring	8 W/o CR-Ring
			A2	A2	A2	A2	A2	A0	A0	A2
Initial Conditions to VENUS-PM	SAS3D-to-VENUS-PM Switch Time (sec)		13.5674	←	←	13.7714	←	←	←	←
	Power (P/P_o)		403	→	→	299	→	→	→	→
	Net Reactivity (\$)		1.001	→	→	1.011	→	→	→	→
	Total Molten Fuel Mass (kg)		1820	→	→	2340	→	→	→	→
	Molten Fuel Average Temperature (K)		3090	→	→	3160	→	→	→	→
	Insertion-Reactivity Ramp Rate (\$/sec)	Table Lookup	→	→	Table Lookup	→	→	→	→	→
Calculation Results by VENUS-PM	Max. Power (P_{max}/P_o)		4070	4550	4420	10070	10820	9750	10650	10050
	Max. Net Reactivity (\$)		1.119	1.121	1.126	1.194	1.196	1.189	1.196	1.185
	Duration of Superprompt * Critical Excursion (ms)		4.9	5.3	6.0	5.0	5.0	5.1	5.0	5.0
	Total Energy Released (MJ)**		6240	6750	6660	8800	9320	8740	9260	9050
	Total Molten Fuel Mass (kg)		5950	5930	5950	6510	6490	6490	6380	6380
	Molten Fuel Average Temperature (K)		4370	4350	4320	5190	5090	5170	5110	5050
	Active Core Fuel Average Temp. (K)		4200	4190	4160	5120	5030	5100	5010	4950
	Fuel Vapor# Work (MJ)	to 1 atm.	382	370	356	1105	1010	1080	992	937
		$\int (P-1.0) dv$ Work	286	276	263	902	818	880	802	754
		at Na Slug Impact: A/B##	120/171	115/166	110/160	360/490	320/444	345/477	305/434	295/409

Note : * Duration since switch to VENUS-PM

** Energy calculated since switch to VENUS-PM

Work by isentropic expansion

A : For cover gas volume of 27.8cm^3 B : For 70 m^3

Table 6.1-28. Control-Rod Material Worths for CR-Ring Regions

VENUS-Region #	No. of Control Rods Inserted	Insertion Depth	Region Material Worth ($\Delta k/k$)
16	1 (Coase Rod)	1/2 Core Length	- 0.0051
17	3 (Coase Rods)	"	- 0.0153
18	3 (Fine Rods)	1/6 Core Length	- 0.0042
19	6 (Coase Rods)	1/2 Core Length	- 0.0306

Note : * Region Material worth is assumed to be proportional to the number of rods inserted, insertion depth, and to the maximum worth per each control rod species.

The maximum worths per rod are :

-1.02 % $\Delta k/k$ for coase rod, and
-0.83 % $\Delta k/k$ for fine rod.

Table 6.1-29

Fuel Vapor Work Increase due to CR-Ring Motion Reactivity
in Mechanical Disassembly Phase

Accident Category : LOF, Reactor State : EOEC
 SAS3D Case ID : LF.REAC.EXNRC.C2318

External Reactivity Insertion

Initial Conditions & Results		Control Rod Insertion	Table Lookup		95 \$/sec		80 \$/sec		7
1	2		Without	Inserted	Without	Inserted	Without	Inserted	
Initial Conditions to VENUS-PM	SAS3D-to-VENUS-PM Switch Time (sec)	13.5674	←	←	←	←	←	←	
	Power (P/P_0)	403	→	→	→	→	→	→	
	Net Reactivity (\$)	1.001	→	→	→	→	→	→	
	Total Molten Fuel Mass (kg)	1820	→	→	→	→	→	→	
	Molten Fuel Average Temperature (K)	3090	→	→	→	→	→	→	
	Insertion-Reactivity Ramp Rate (\$/sec)	Table Lookup	→	95	→	80	→		
Calculation Results by VENUS-PM	Max. Power (P_{max}/P_0)	4070	4370	4020	4040	3070	3080		
	Max. Net Reactivity (\$)	1.119	1.121	1.109	1.109	1.0884	1.0883		
	Duration of Superprompt * Critical Excursion (ms)	4.90	4.92	3.53	3.54	3.81	3.82		
	Total Energy Released (MJ)**	6240	6630	5940	6080	5310	5450		
	Total Molten Fuel Mass (kg)	5950	6030	5930	5930	5590	5630		
	Molten Fuel Average Temperature (K)	4370	4470	4270	4320	4150	4190		
	Active Core Fuel Average Temp. (K)	4200	4320	4120	4160	3950	3980		
	Fuel Vapor # Work (MJ)	to 1 atm.	382	449	334	356	247	265	
		$\int (P-1.0) dv$ Work	286	340	247	264	178	198	
		at Na Slug Impact: A/B##	120/171	140/199	--/152	--/160	--/116	--/124	

Note : * Duration since switch to VENUS-PM
 ** Energy calculated since switch to VENUS-PM

Work by isentropic expansion
 ## A : For cover gas volume of 27.8cm^3
 B : For 70m^3

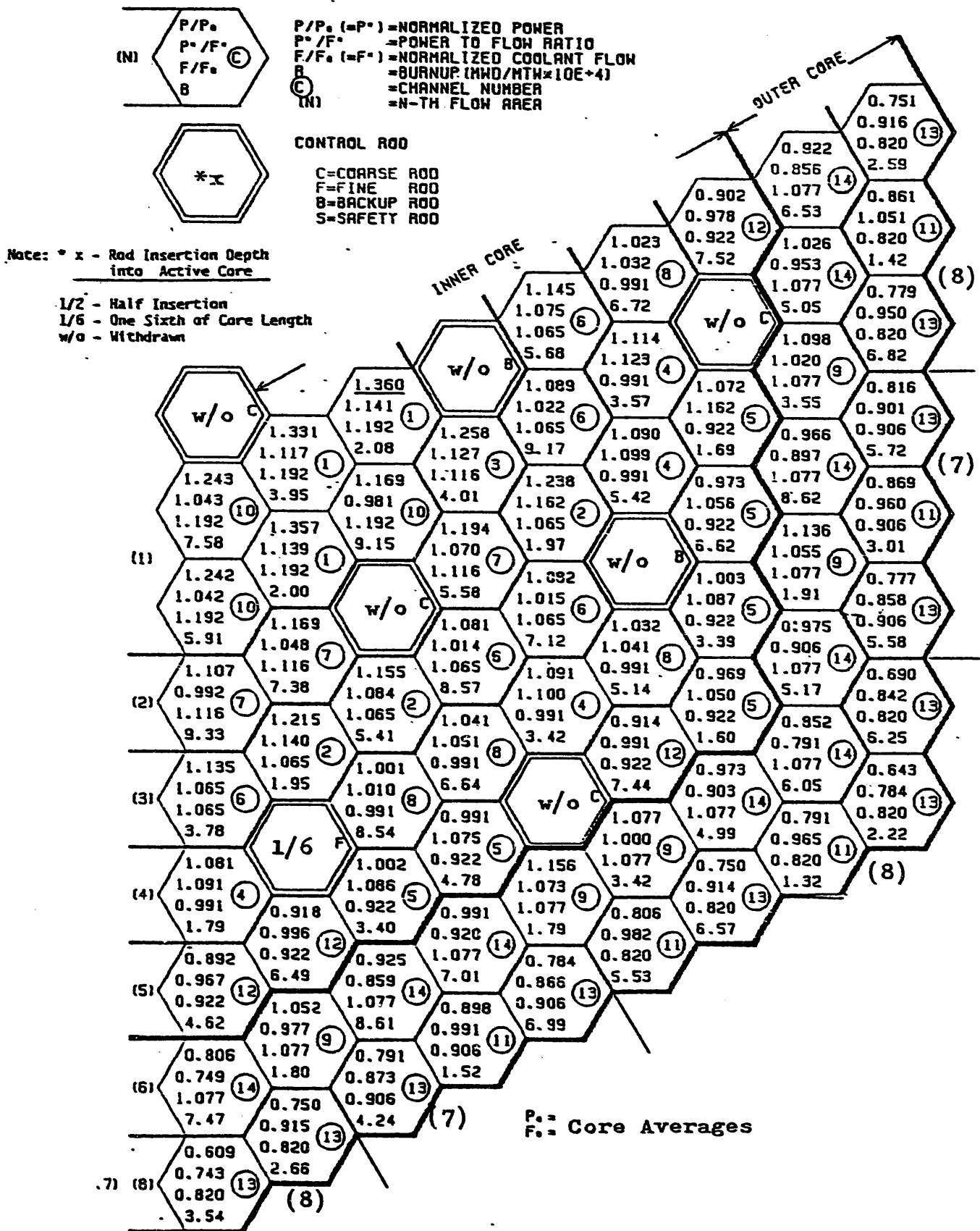
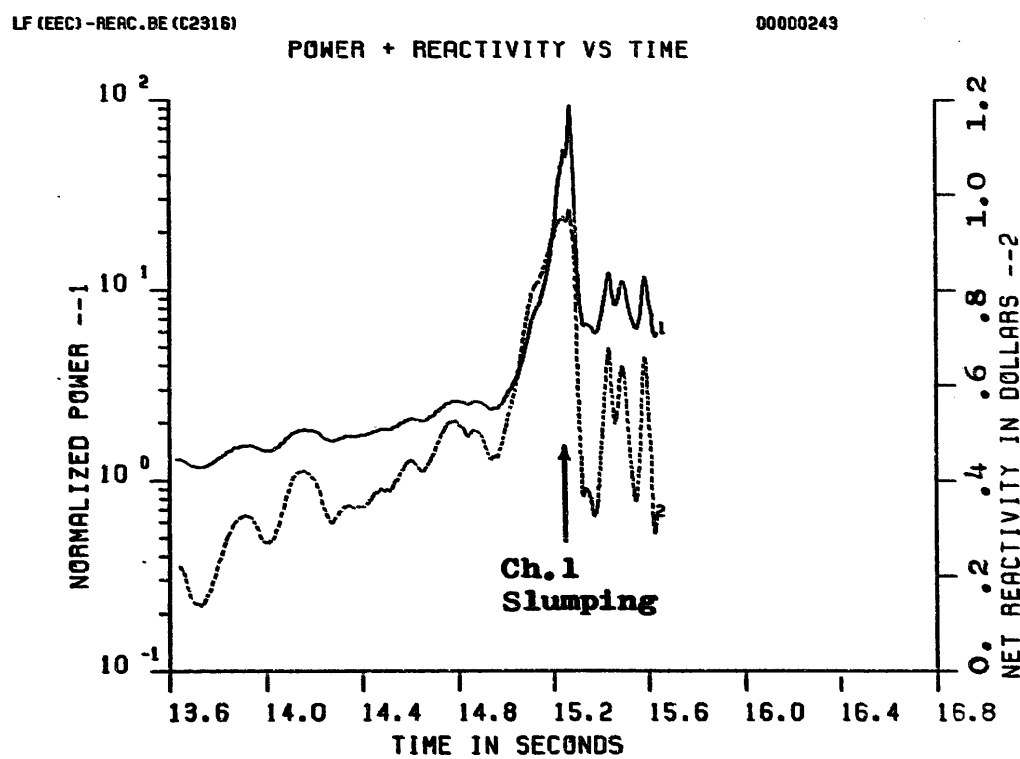
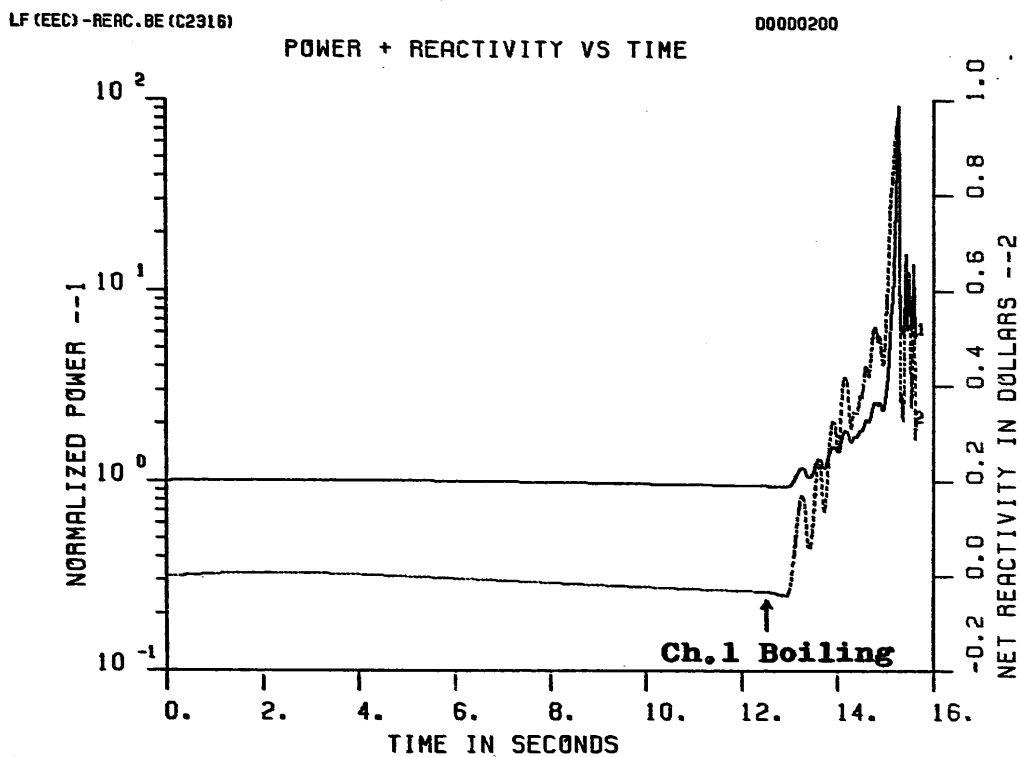


Figure 6.1-1. 14-channel Arrangement for EOEC Core



**Figure 6.1-2. Power and Reactivity Traces for EOEC LOF
(LF.REAC.BE.C2316)**

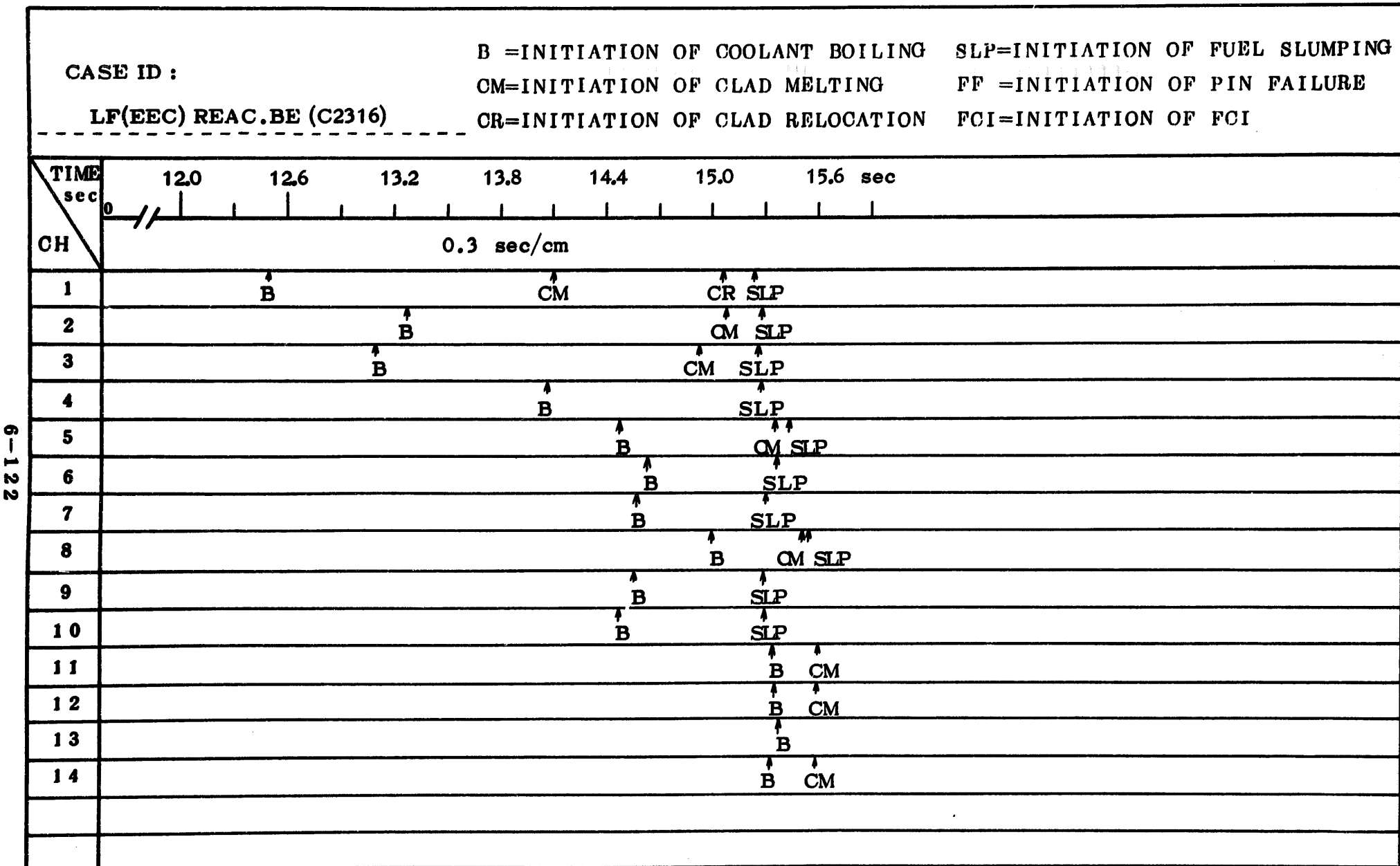


Figure 6.1-3 Chronology and sequence of events in EOEC LOF
 (LF.REAC.BE.C2316)

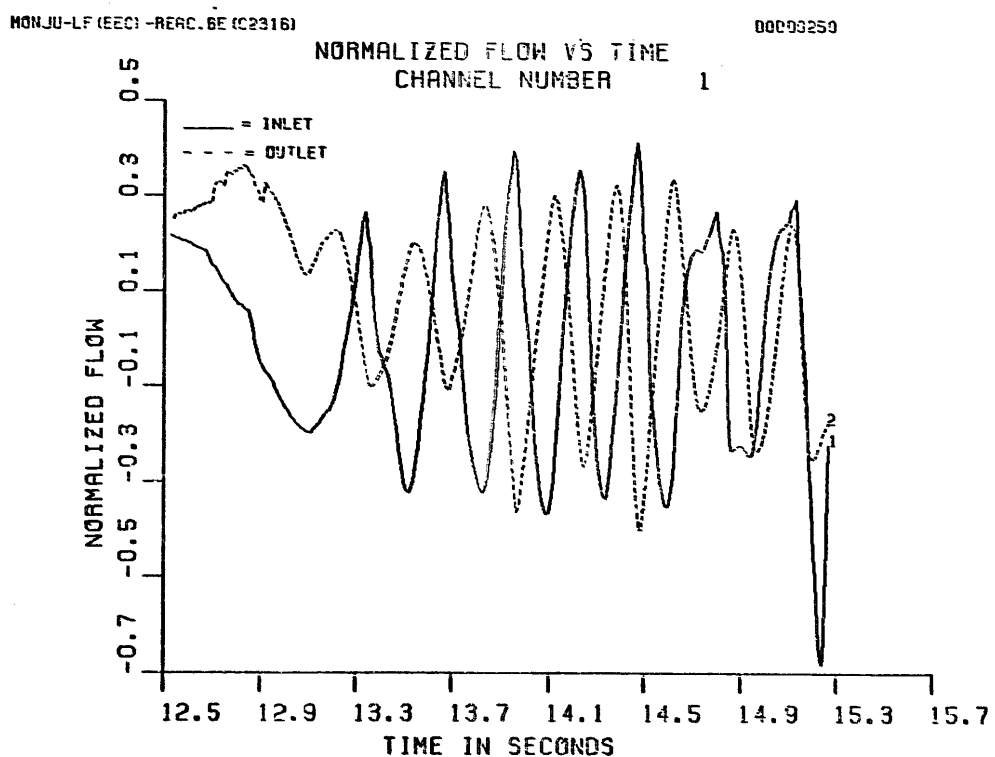
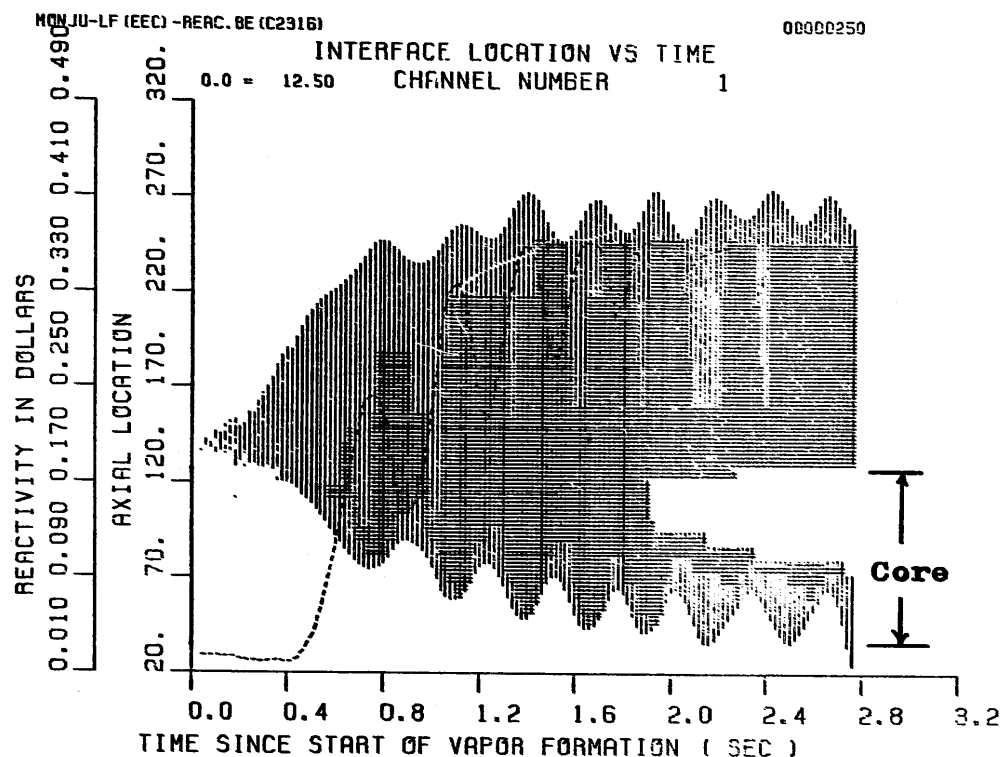


Figure 6.1-4. Voiding Profile and Coolant Flowrate in Channel-1 for EOECLOF (LF.REAC.BE.C2316)

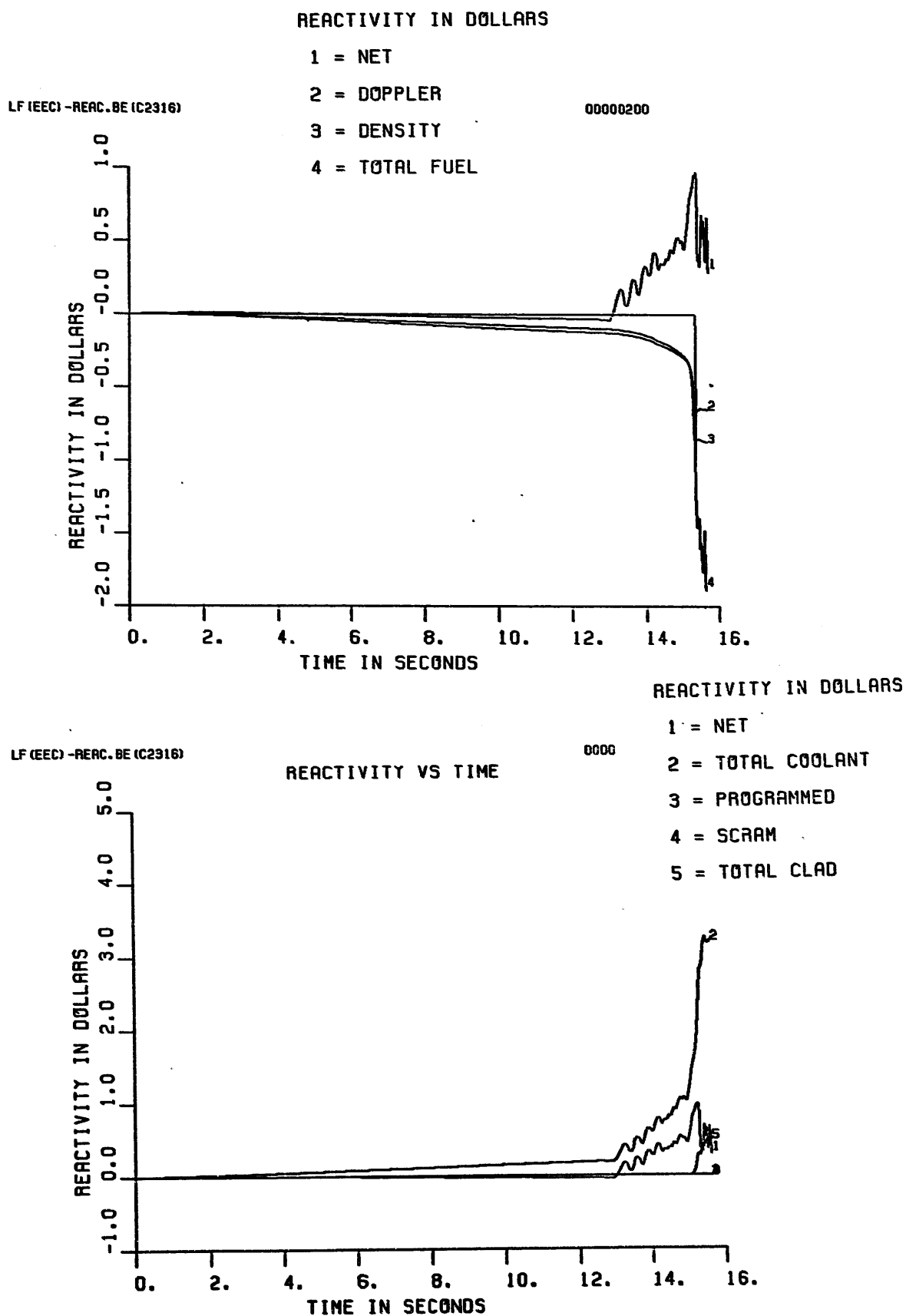
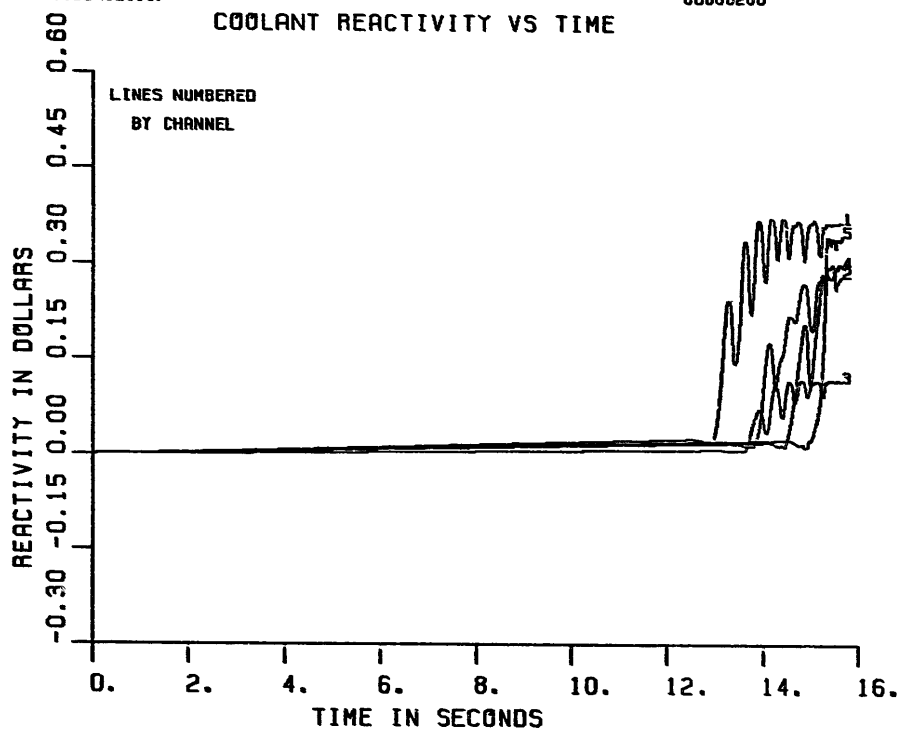


Figure 6.1-5. Reactivity Component Traces for EOEC LOF (LF.REAC.BE.C2316)

LF (EEC) - REAC.BE (C2316)

00000200

COOLANT REACTIVITY VS TIME



LF (EEC) - REAC.BE (C2316)

00000200

COOLANT REACTIVITY VS TIME

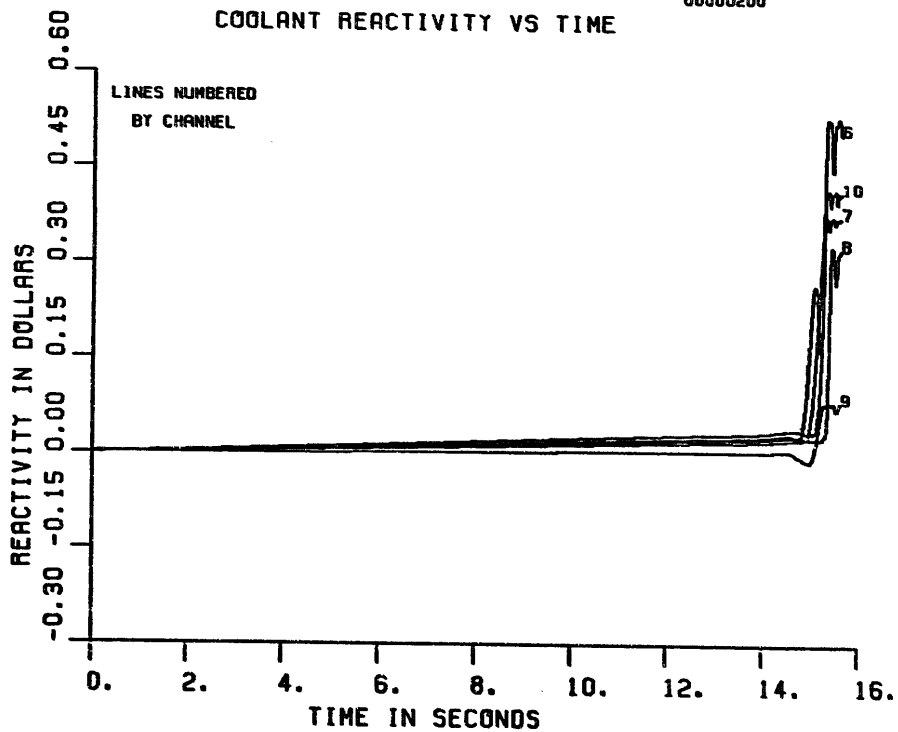


Figure 6.1-6. Coolant Reactivity Traces by Channel for EOEC LOF
(LF.REAC.BE.C2316)

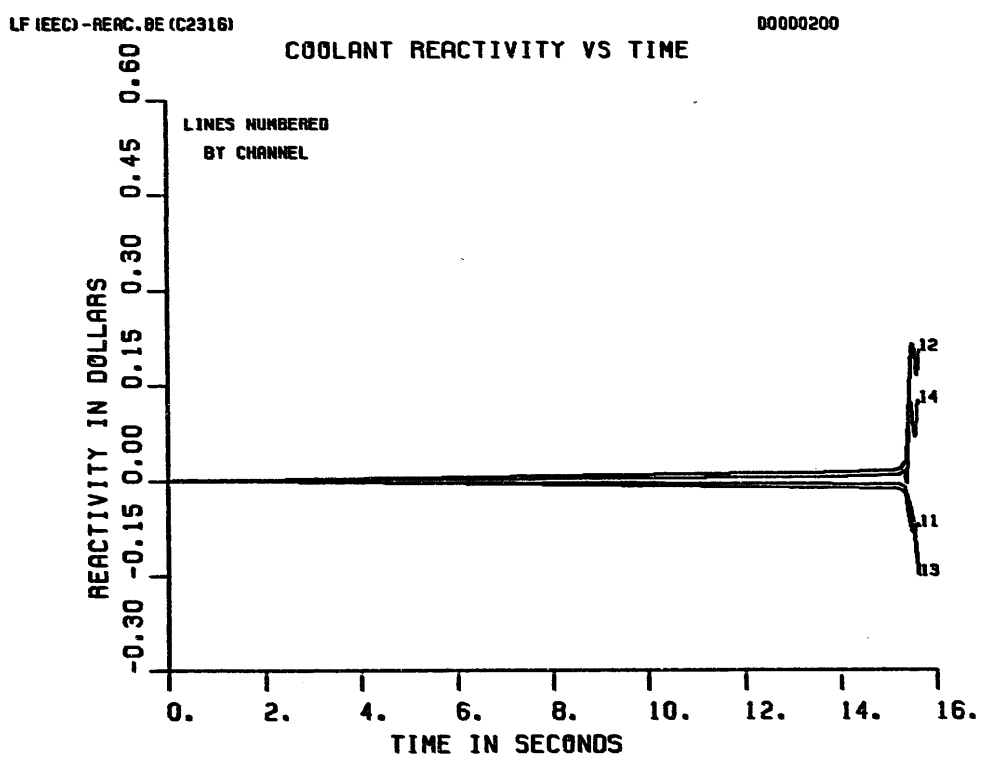


Figure 6.1-6. (Cont.)

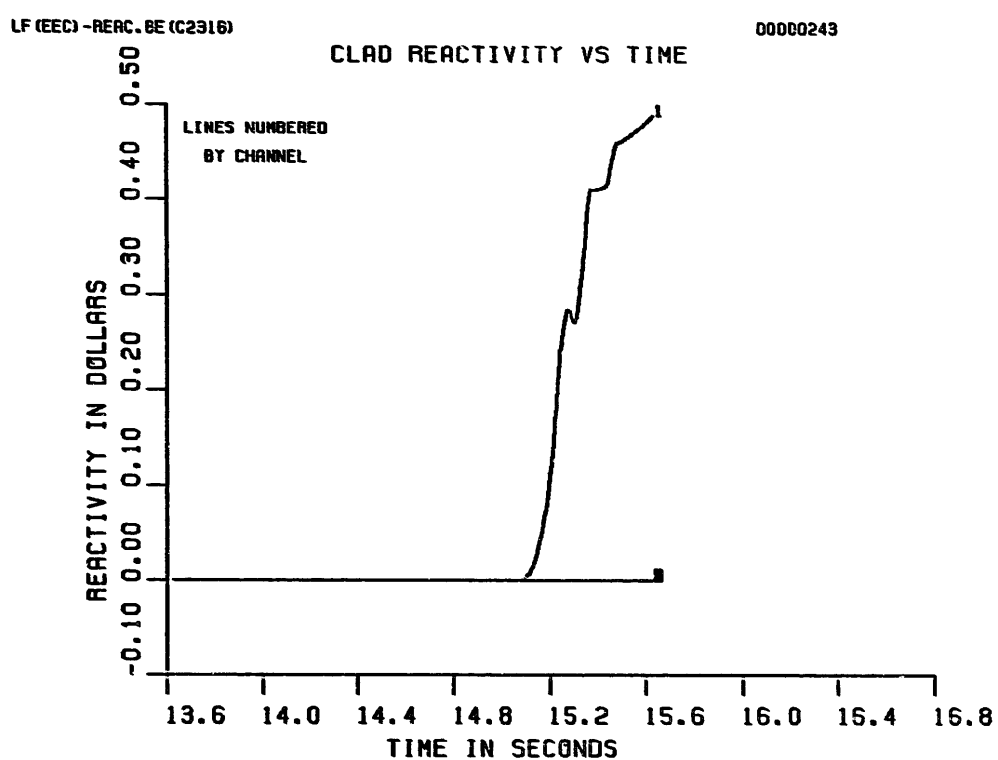


Figure 6.1-7. Channel-1 Clad Reactivity Trace for EOEC LOF (LF.REAC.BE.C2316)

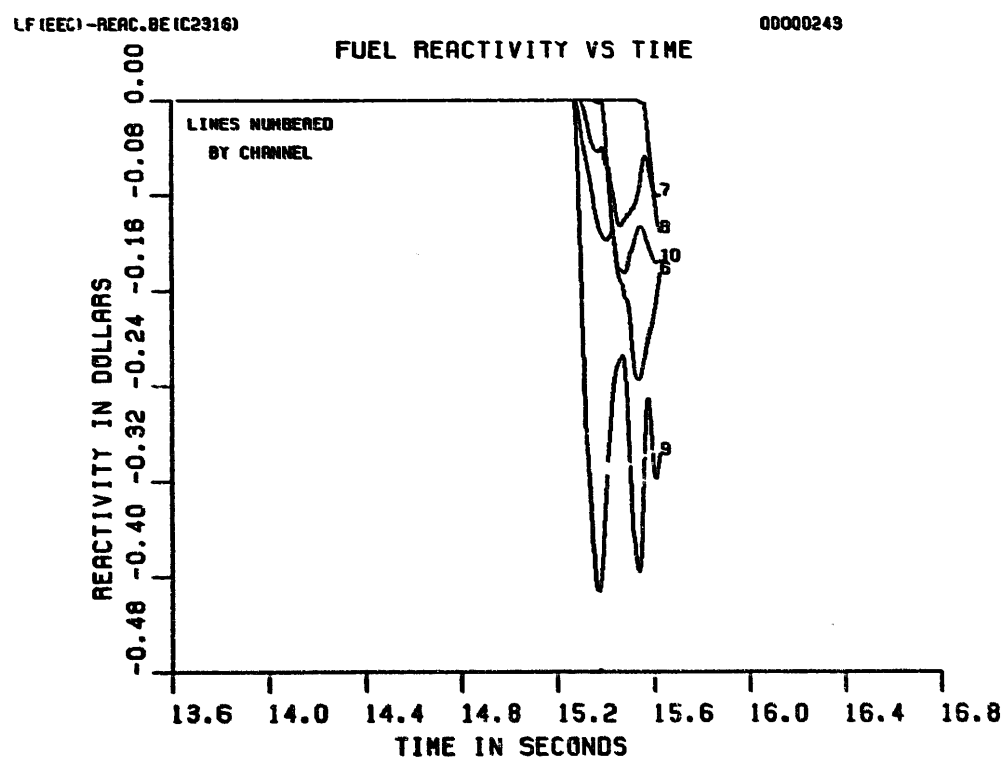
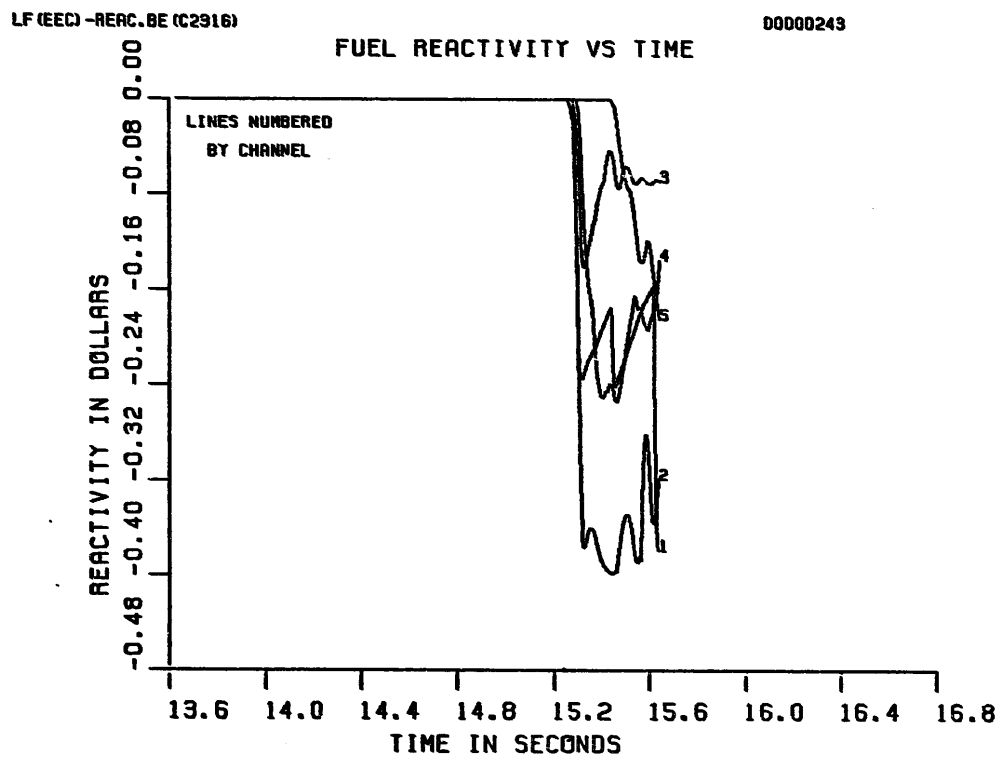


Figure 6.1-8. Fuel Motion Reactivity Traces by Channel for EOEC LOF (LF.REAC.BE.C2316)

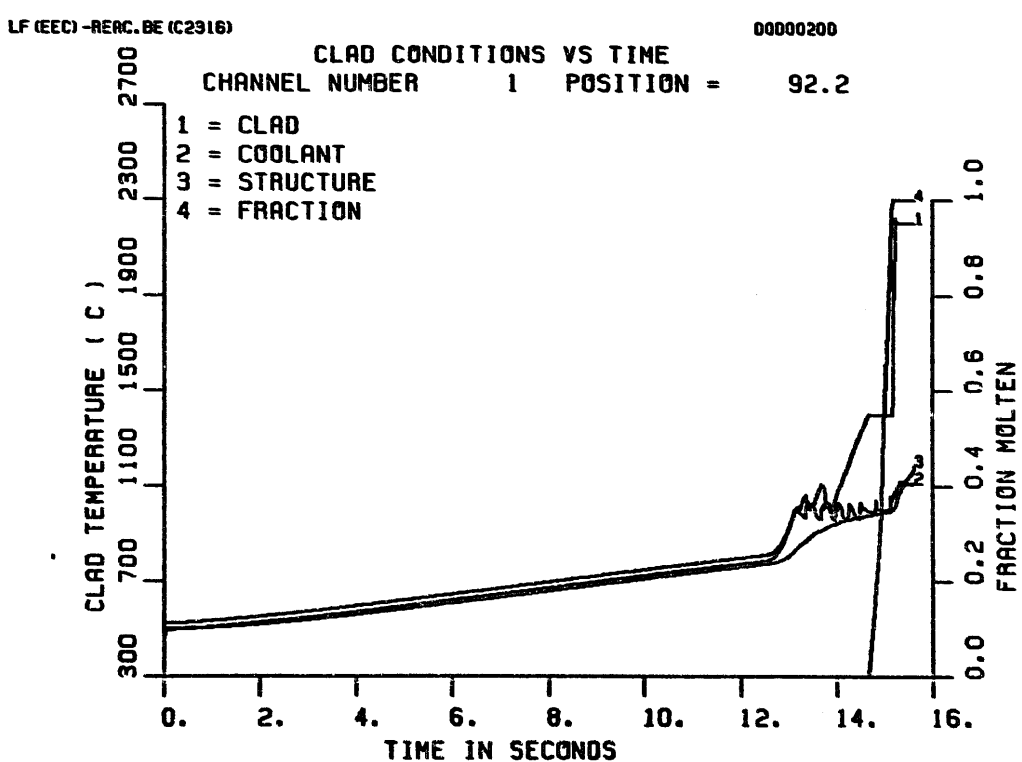
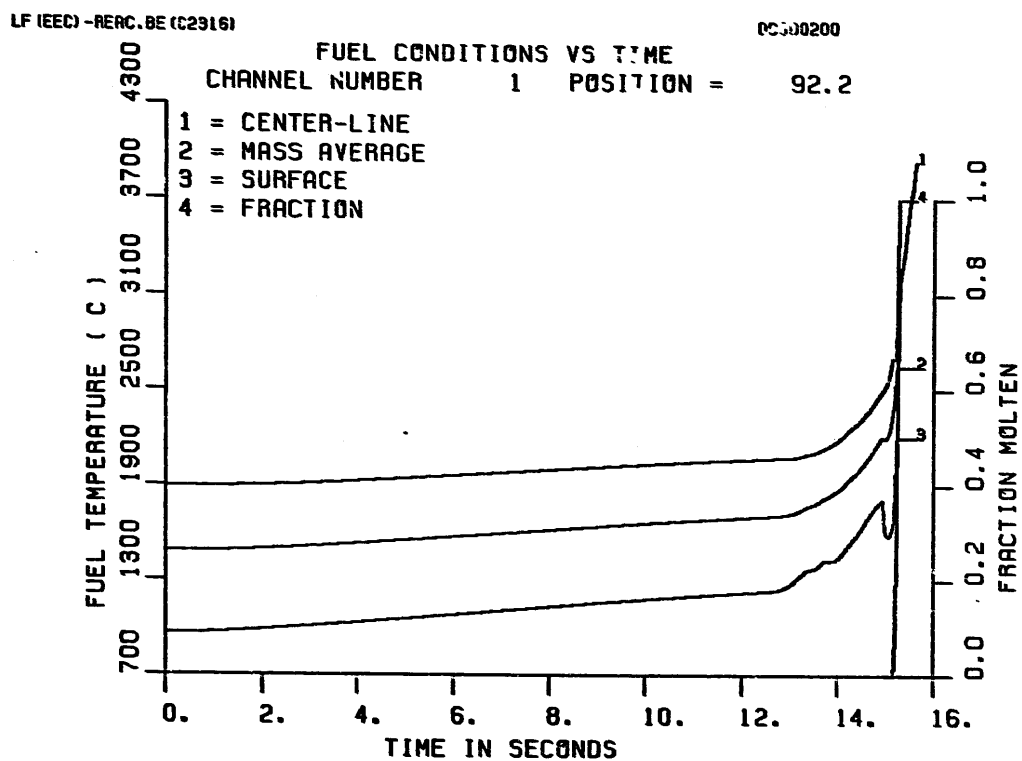


Figure 6.1-9 Fuel and Cladding Temperature Traces at Peak Power Segment in Channel-1 for EOEC LOF (LF.REAC.BE.C2316)

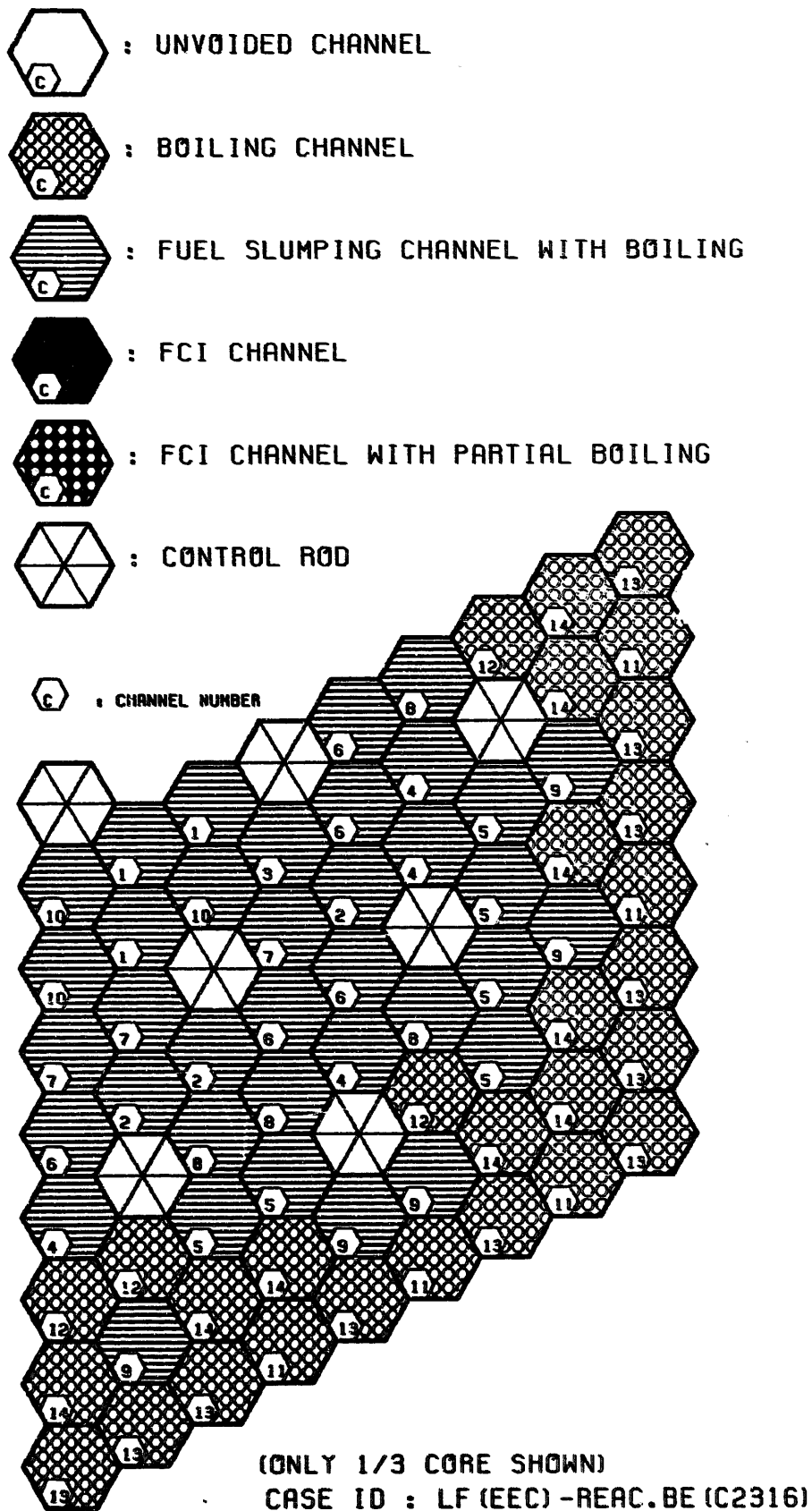
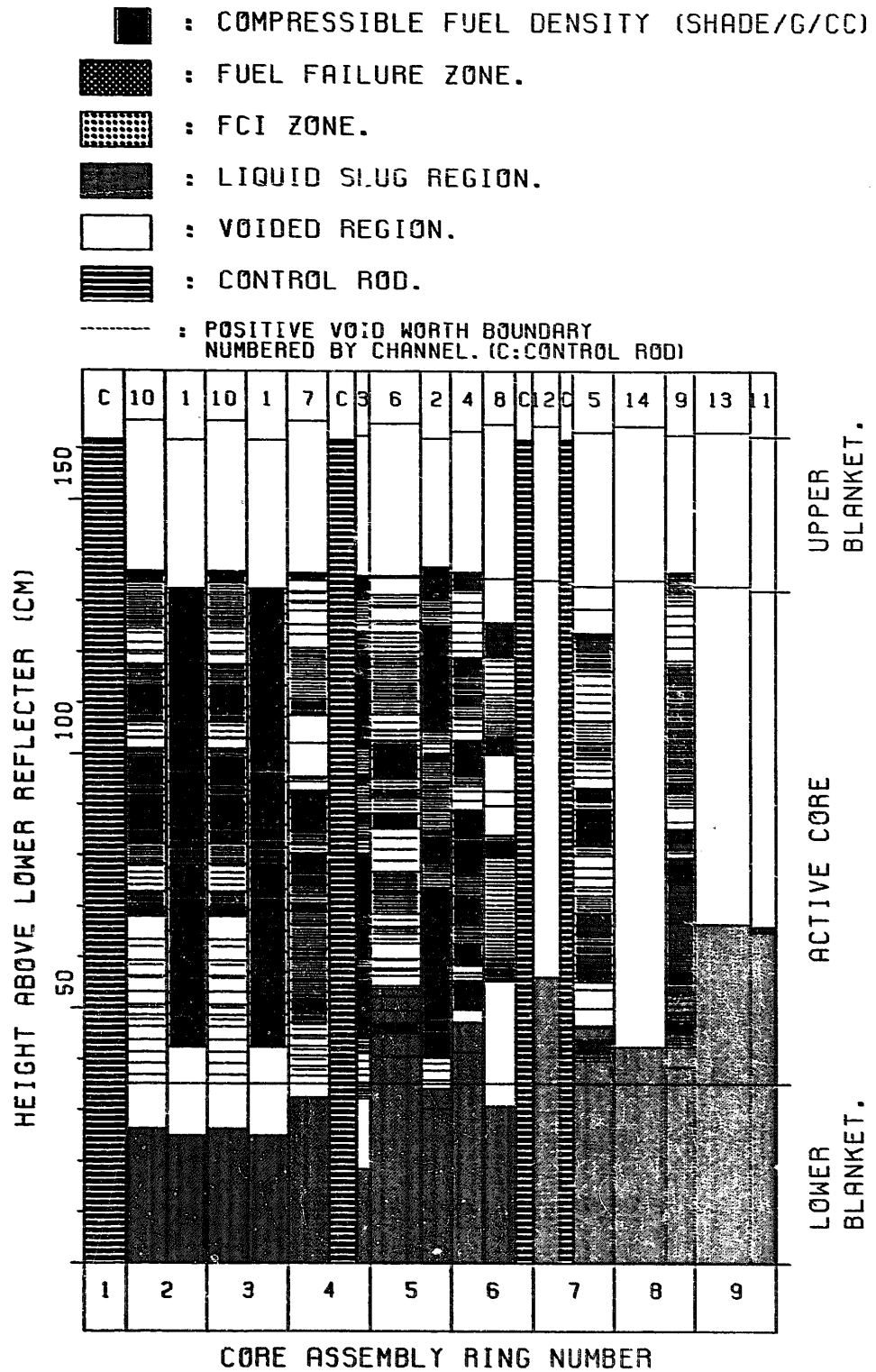


Figure 6.1-10a. Core State at the End of Initiating Phase



LF (EEC) - REAC.BE (C2316)
TIME = 15.63375 (SEC) , STEP = 933
NET REACTIVITY = 0.33378 (DOLLARS)

Figure 6.1-10b. Coolant Void and Compressible Fuel Density of SAS-Channels.

	4000 < T	K	ACTIVE CORE STATE :
	3500 < T < 4000	K	MAX FUEL TEMP. (K) = 4267.7
	TMELT+1 < T < 3500	K	MIN FUEL TEMP. (K) = 1764.1
	TMELT-1 < T < TMELT+1	K	AVERAGE FUEL TEMP. (K) = 2769.2
	2000 < T < TMELT-1	K	TEMP. PEAKING FACTOR = 1.5
	T < 2000	K	

MOLten CORE STATE: TOTAL MOLten FUEL MASS (KG) = 2550
 MOLten FUEL AVERAGE TEMP. (K) = 3230
 ENERGY ABOVE FUEL SOLIDUS (MJ) = 1045

LF.REAC.BE (C2316) STP933

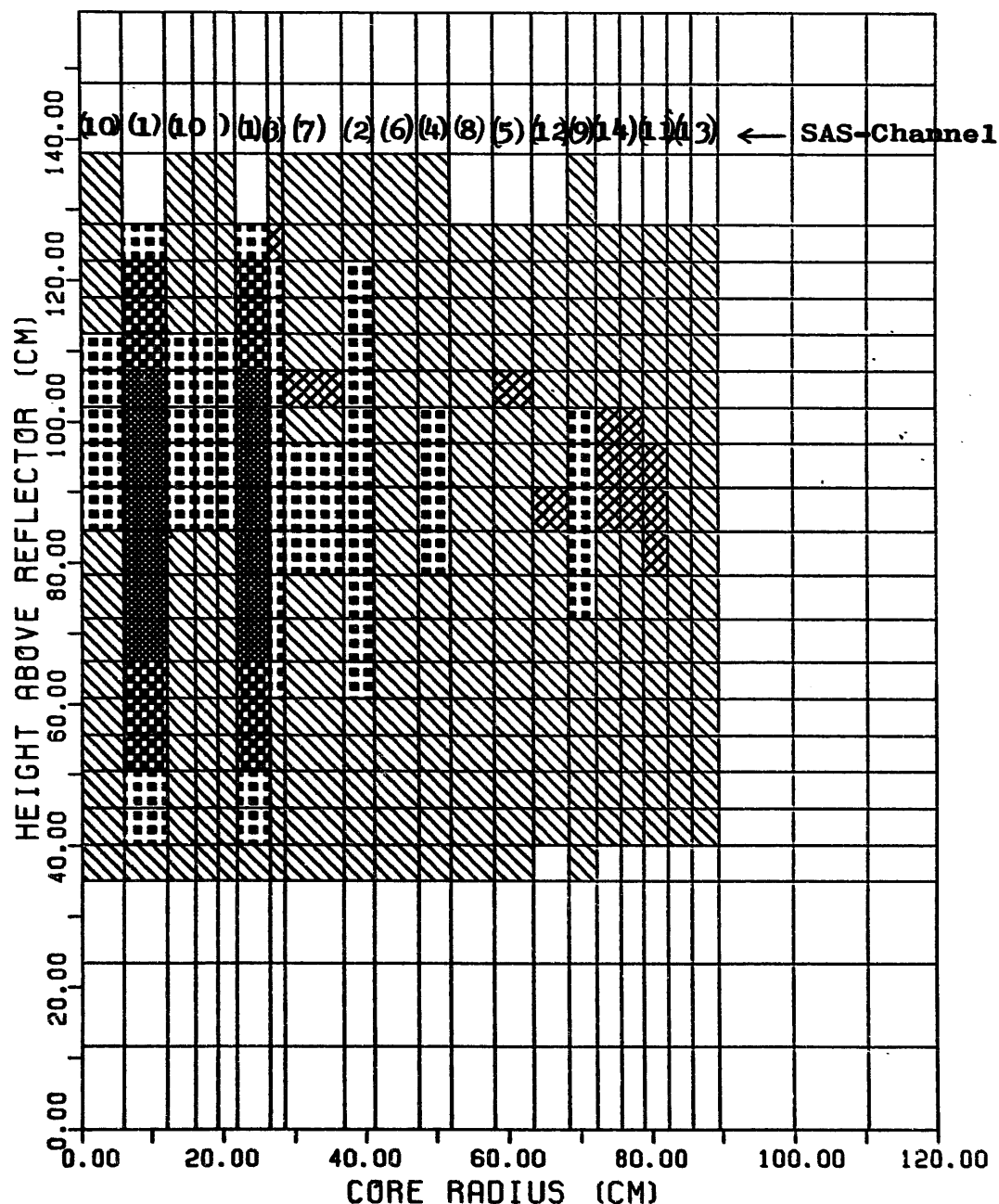


Figure 6.1-10c. Fuel Temperature Distribution (Final State)

FUEL VAPOR WORK (AT ONE ATM) = 3.3 (MJ)
FUEL VAPOR WORK (AT SLUG IMPACT) = 0.0 (MJ)

▲ : FUEL VAPOR WORK ENERGY
○ : FUEL VAPOR PRESSURE

LF.REAC.BE (C2316) STP933

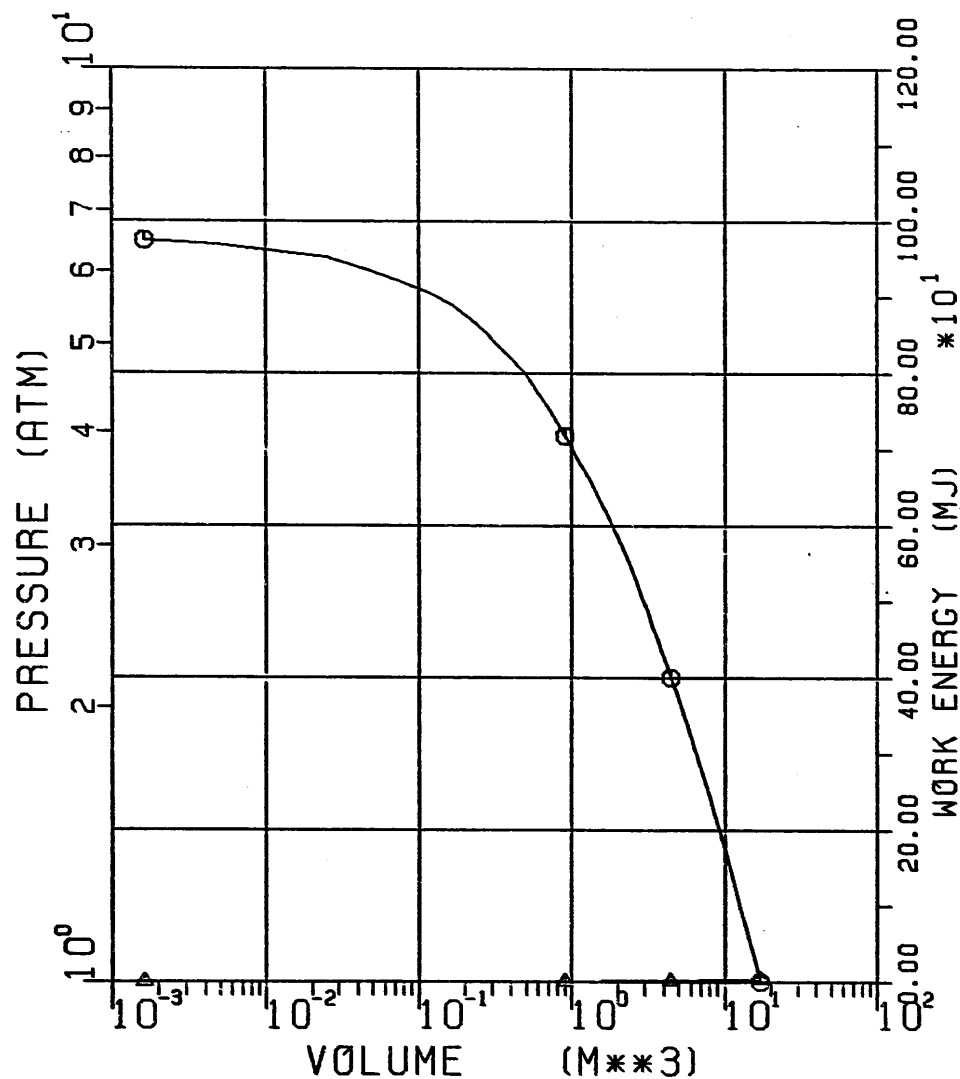
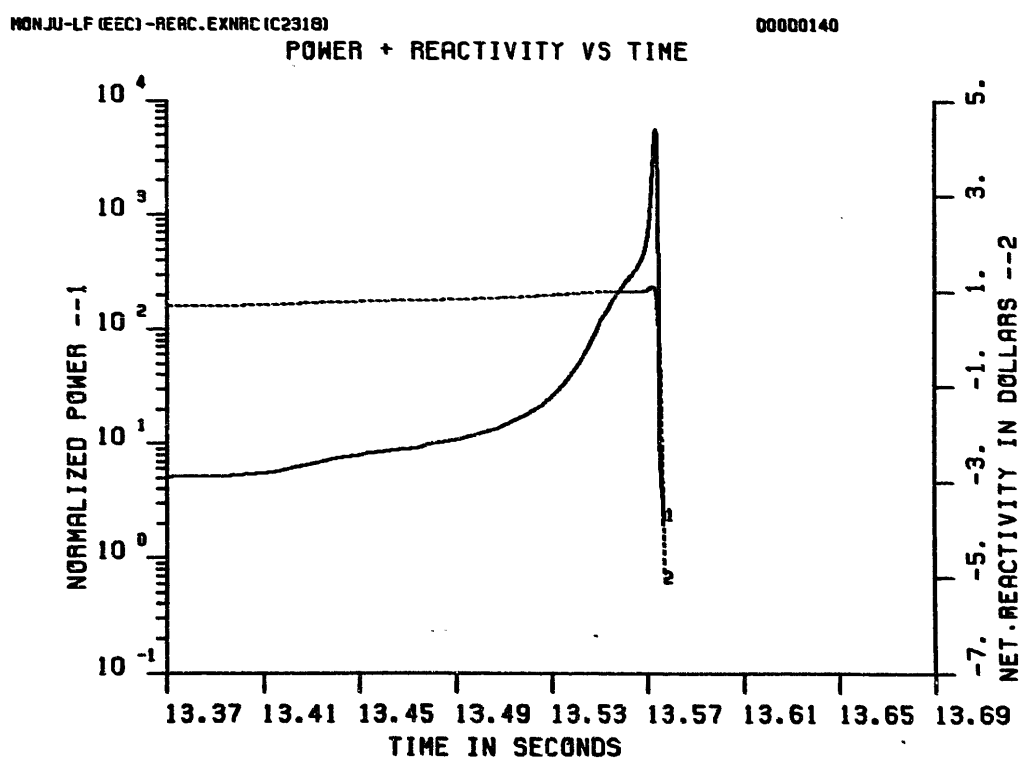
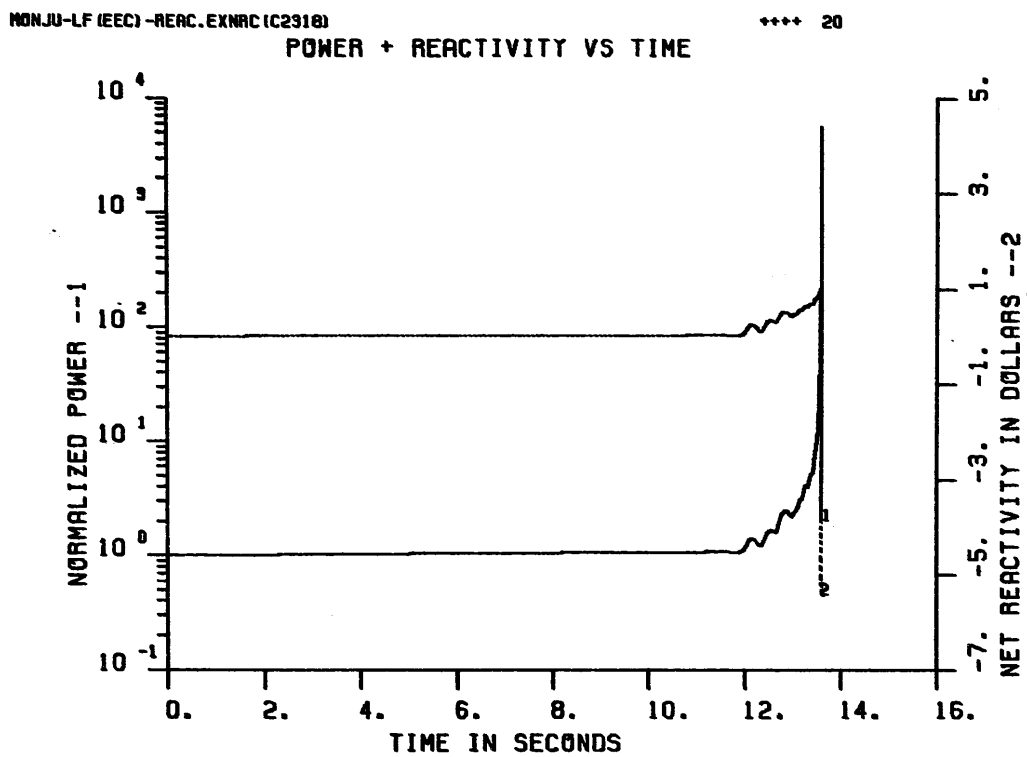


Figure 6.1-10d. Fuel Vapor Pressure and Work Energy vs. Volume



**Figure 6.1-11. Power and Reactivity Traces for EOEC LOF
(LF.REAC.EXNRC.C2318)**

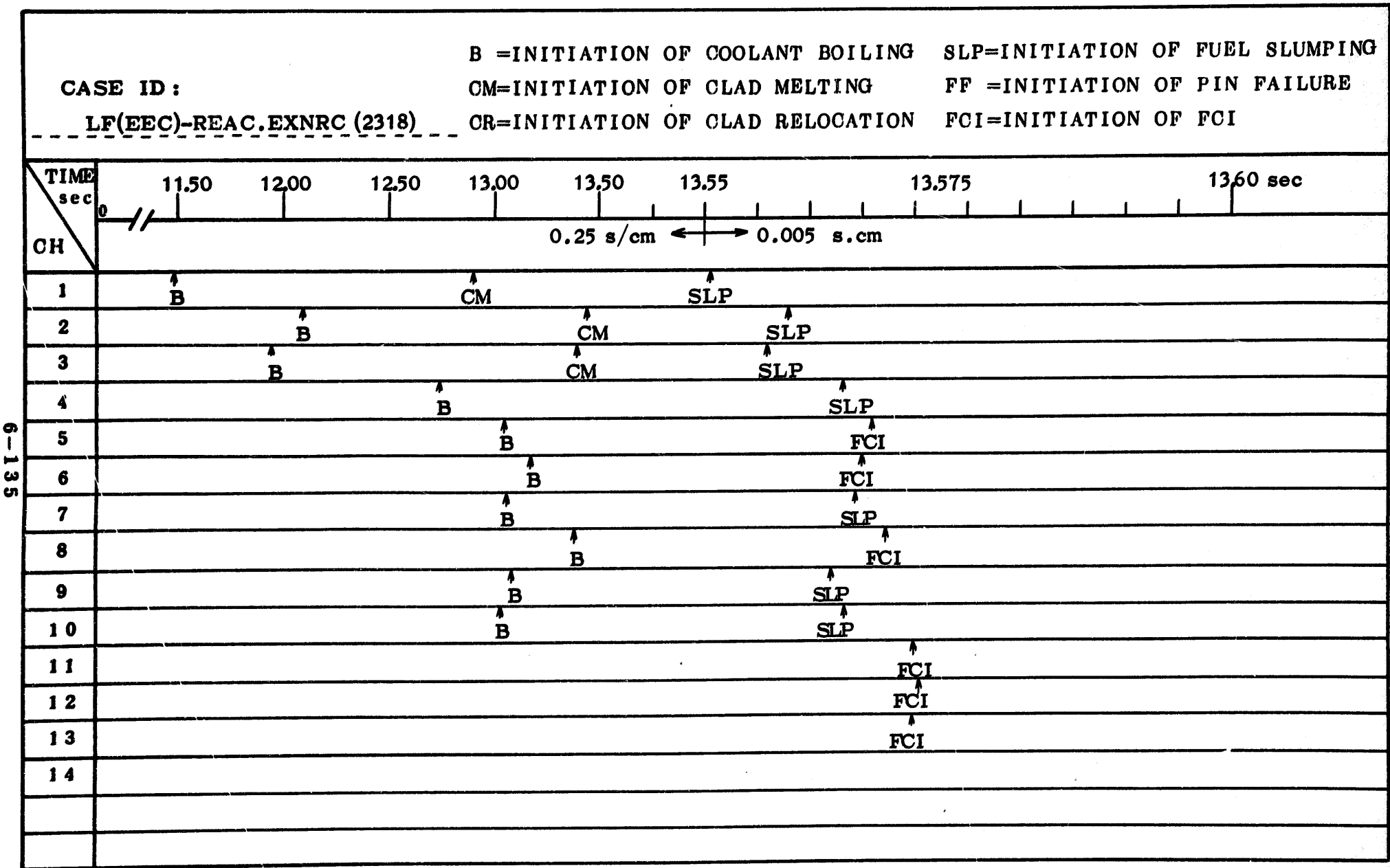


Figure 6.1-12. Chronology and sequence of events in EOEC LOF
(LF.REAC.EXNRC.C2318)

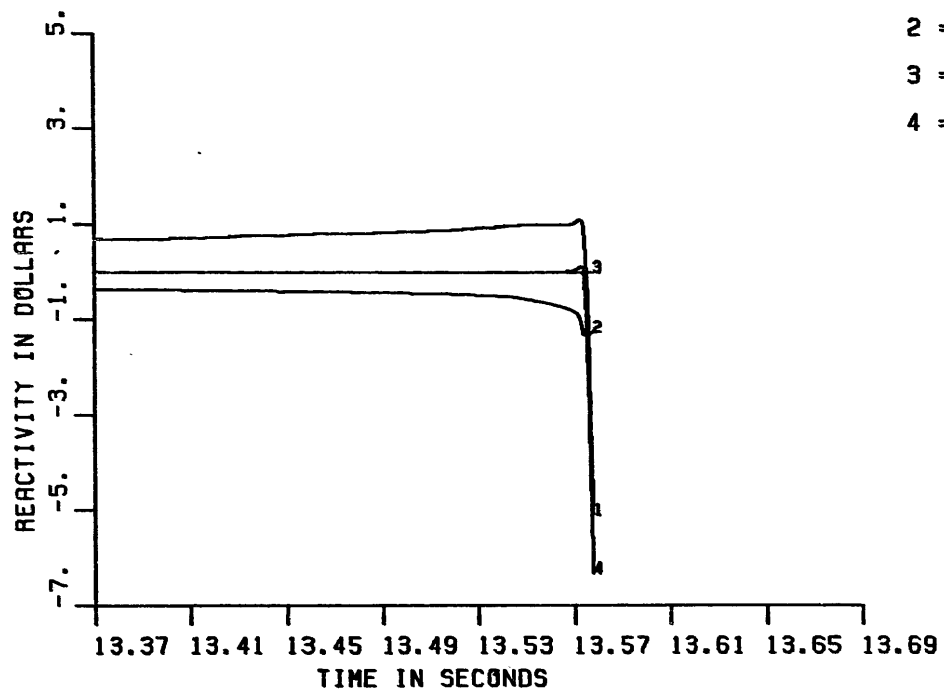
MONJU-LF (EEC) - REAC. EXNRC (C2318)

REACTIVITY VS TIME

00000140

REACTIVITY IN DOLLARS

- 1 = NET
- 2 = DOPPLER
- 3 = DENSITY
- 4 = TOTAL FUEL



MONJU-LF (EEC) - REAC. EXNRC (C2318)

REACTIVITY VS TIME

REACTIVITY IN DOLLARS

- 1 = NET
- 2 = TOTAL COOLANT
- 3 = PROGRAMMED
- 4 = SCRAM

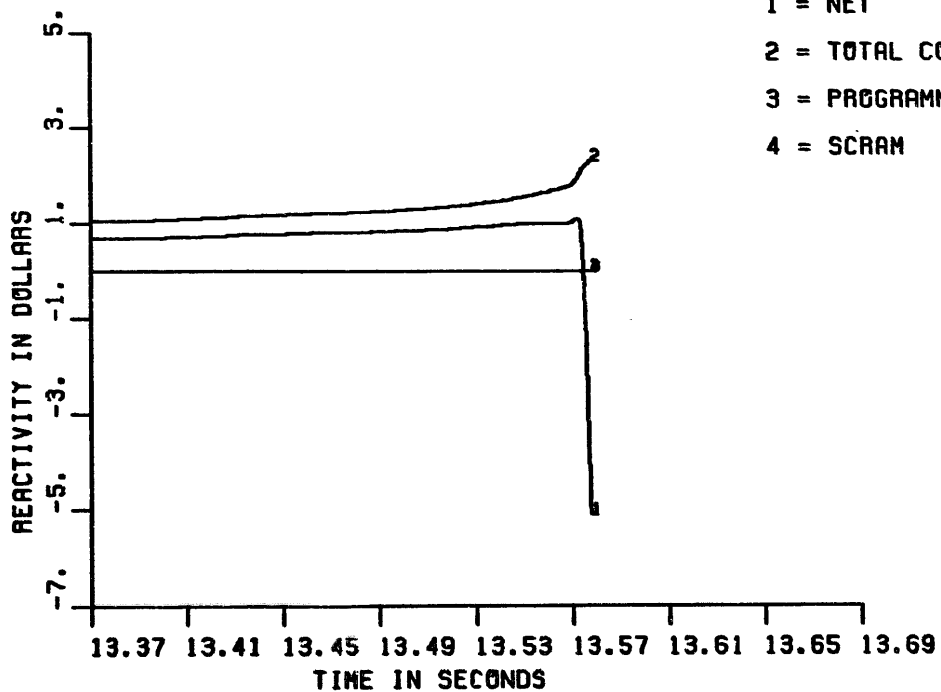


Figure 6.1-13a. Reactivity Component Traces for EOEC LOF (LF.REAC. EXNRC.C2318)

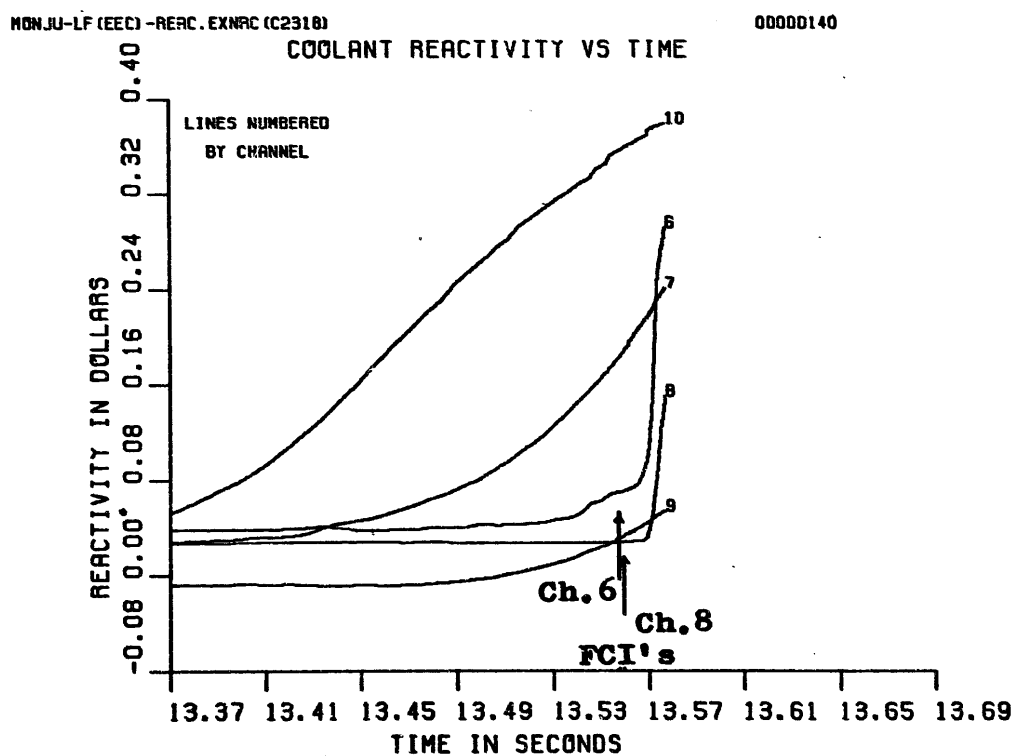
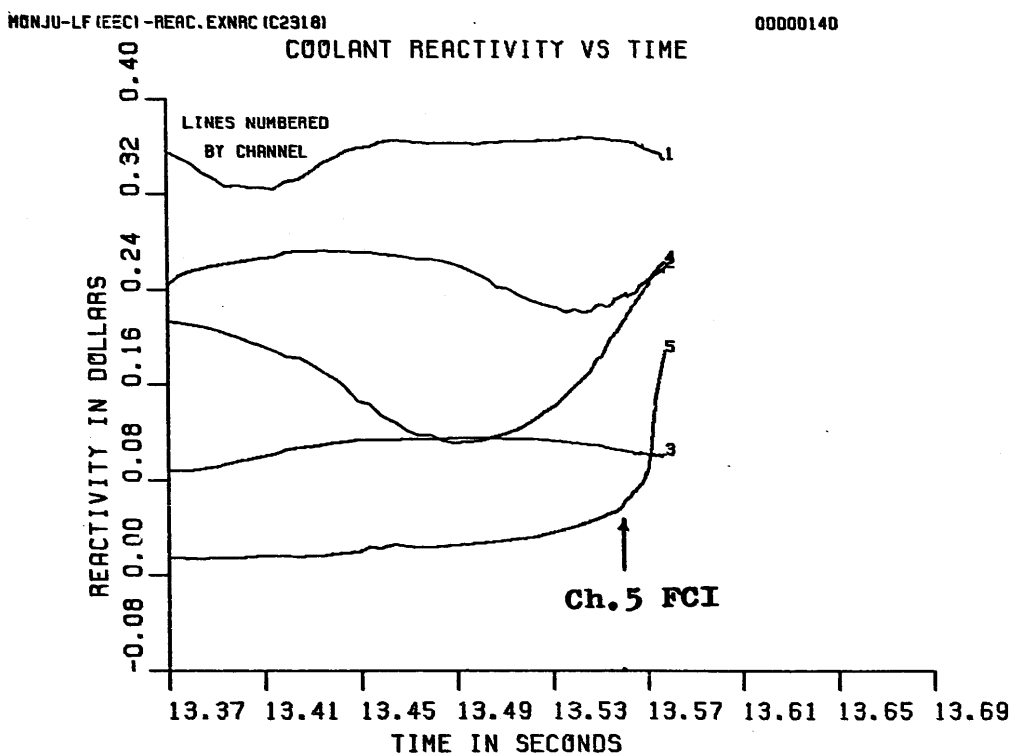


Figure 6.1-13b. Coolant Reactivity Traces by Channel for EOEC LOF (LF.REAC.EXNRC.C2318)

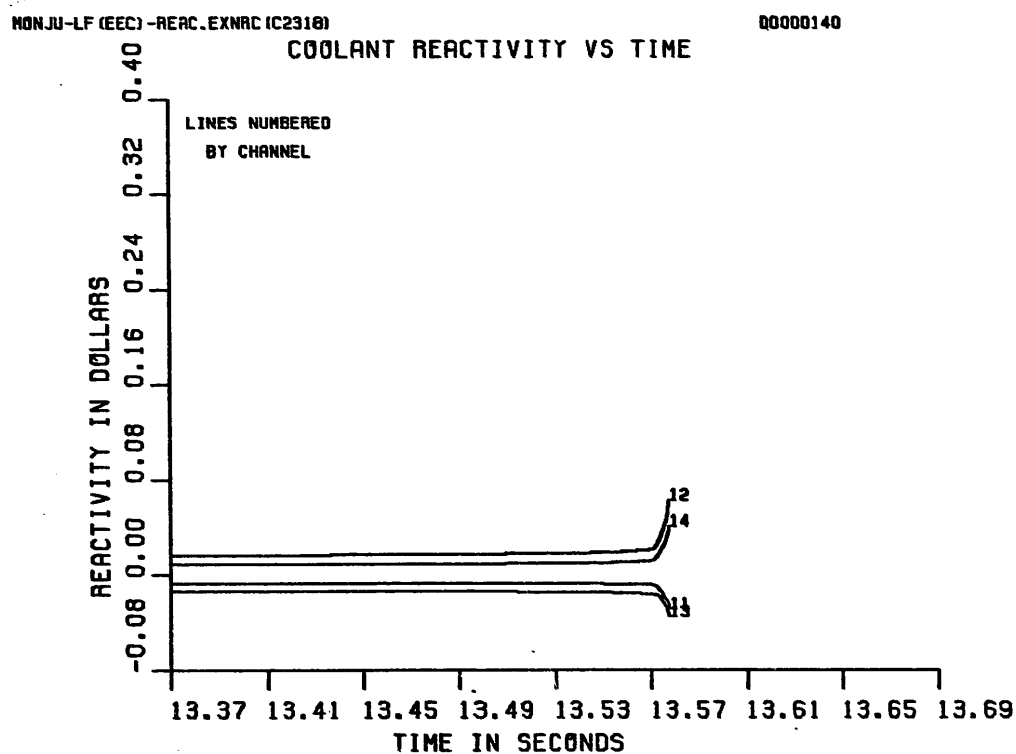


Figure 6.1-13b. (Cont.)

681-9

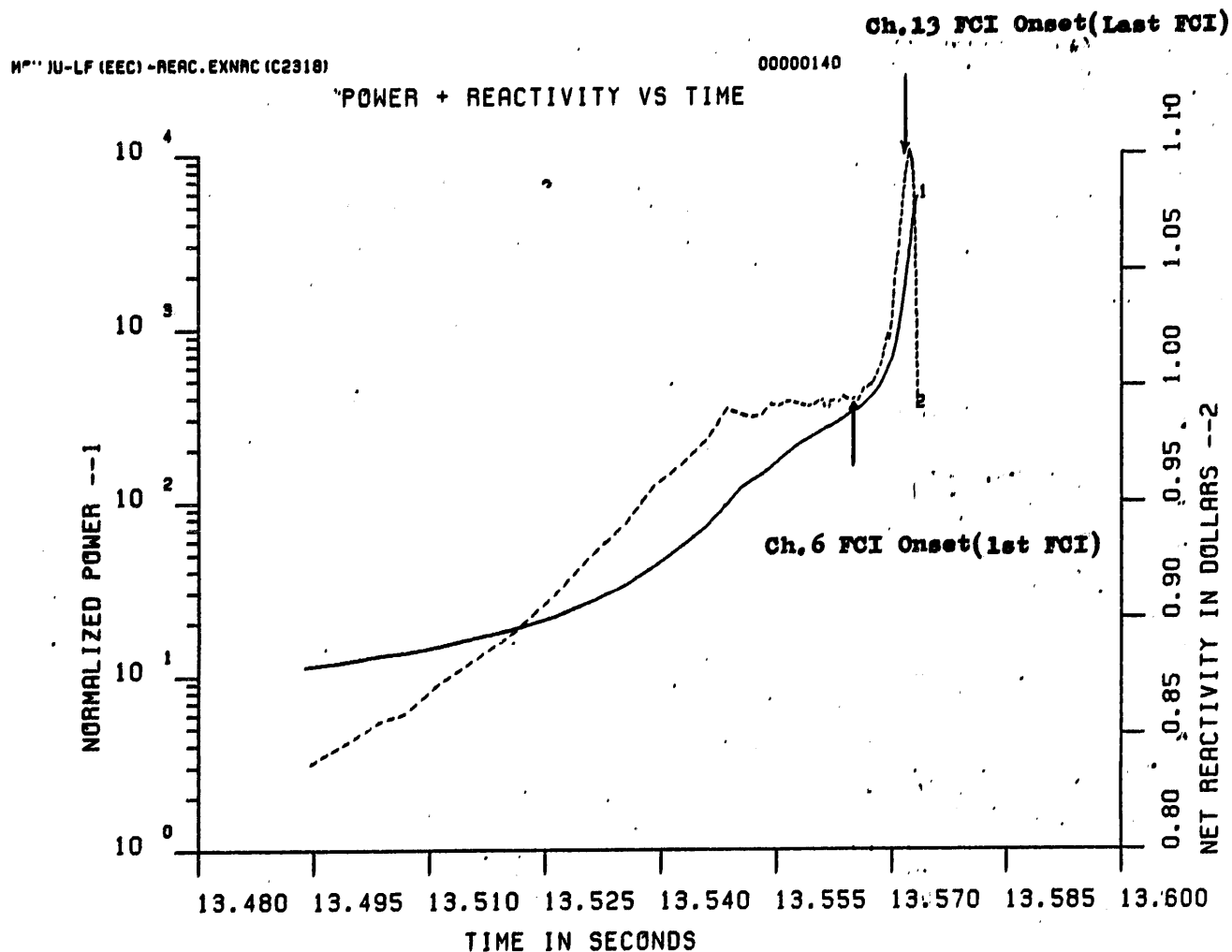


Figure 6.1-14. Power and Reactivity Traces during Superprompt Critical Power Burst in EEC LOF (LF.REAC.EXNRC.C2318)

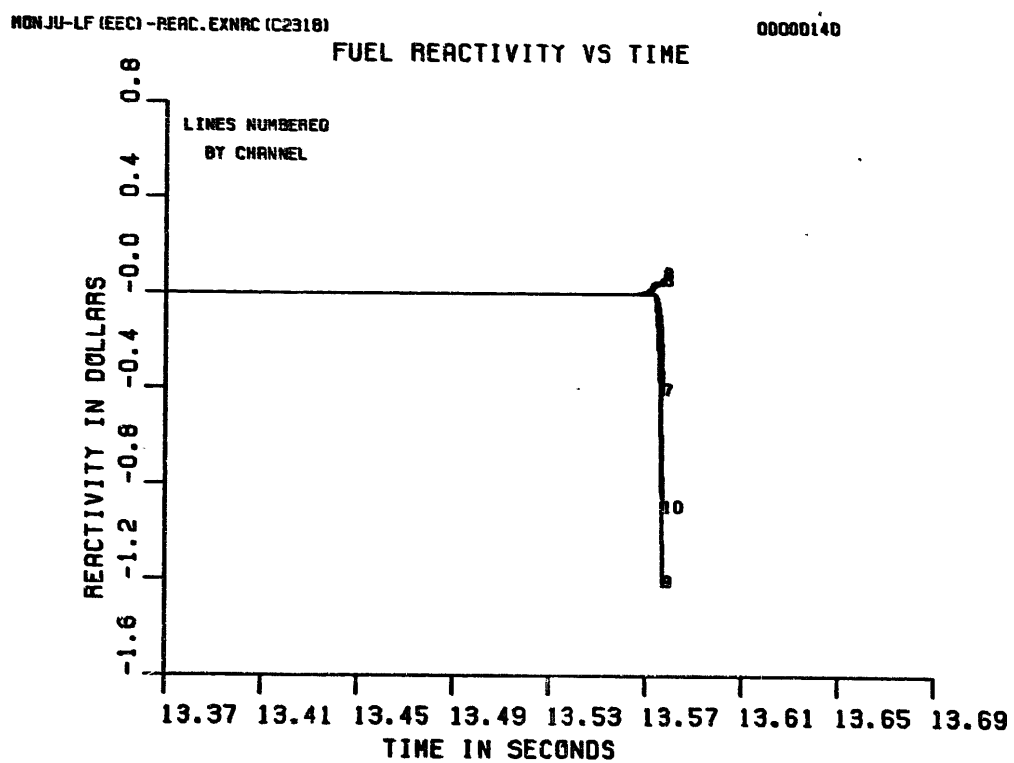
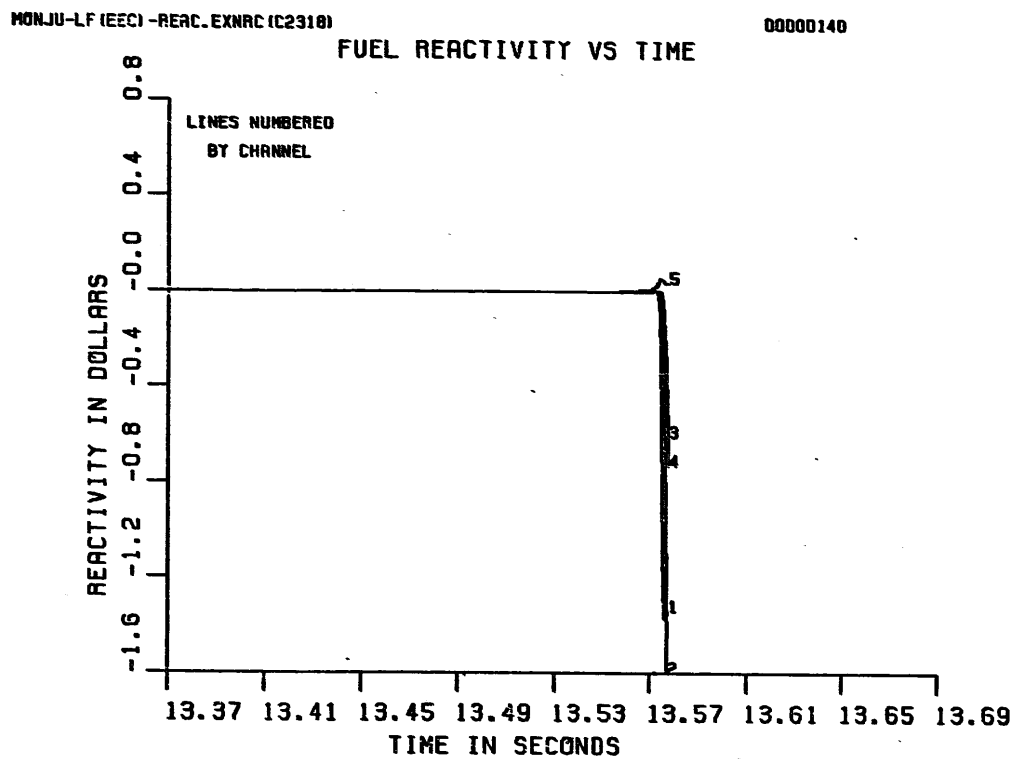


Figure 6.1-15a. Fuel Motion Reactivity Traces by Channel for EOEC LOF (LF.REAC.EXNRC.C2318)

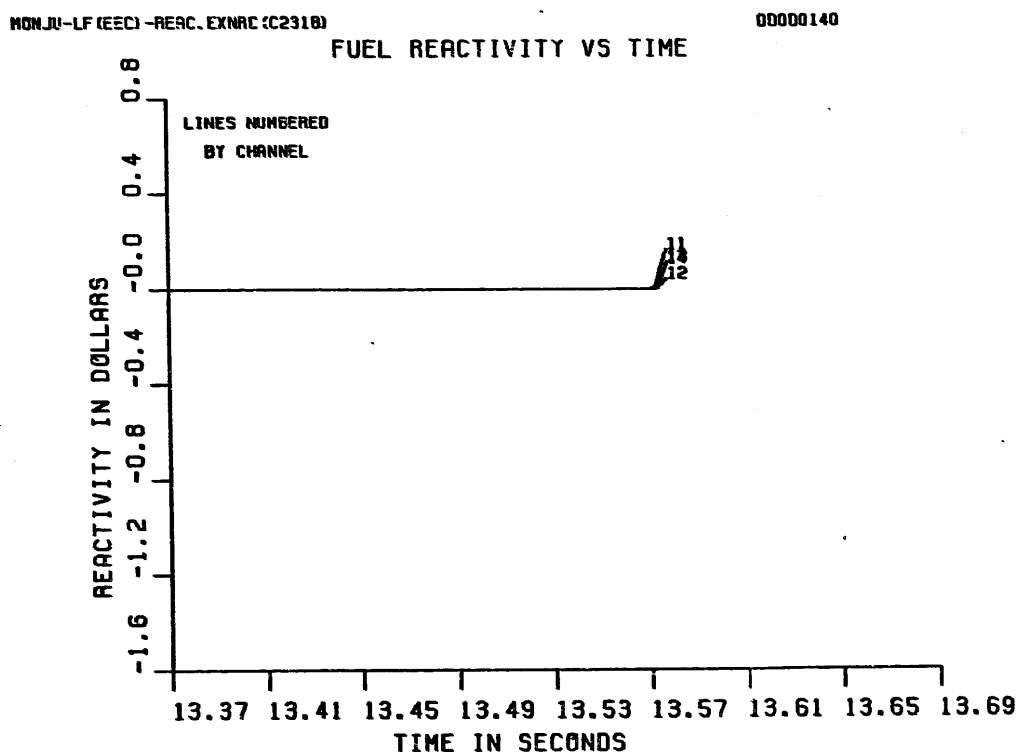
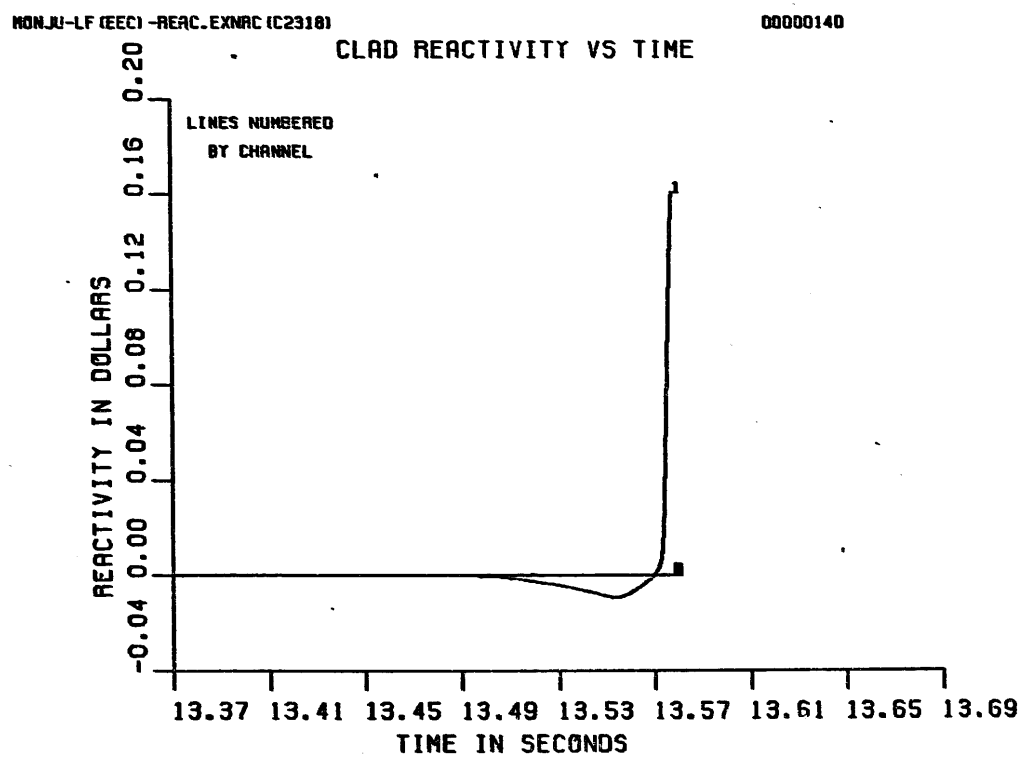


Figure 6.1-15a. (Cont.)



**Figure 6.1-15b. Channel-1 Cladding Reactivity Trace for EOEC LOF
(LF.REAC. EXNRC.C2318)**

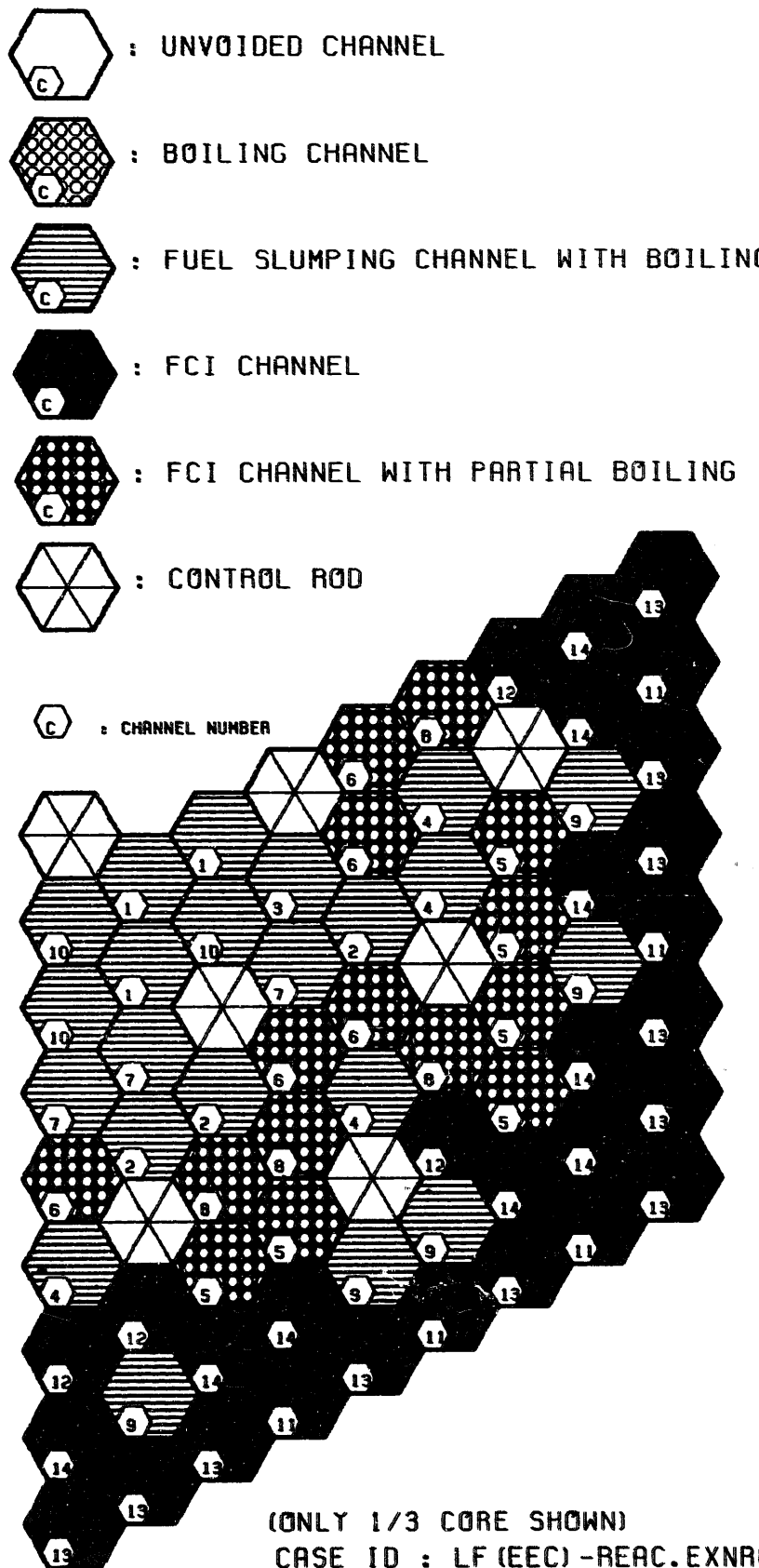


Figure 6.1-16. Core State at the End of Initiating Phase

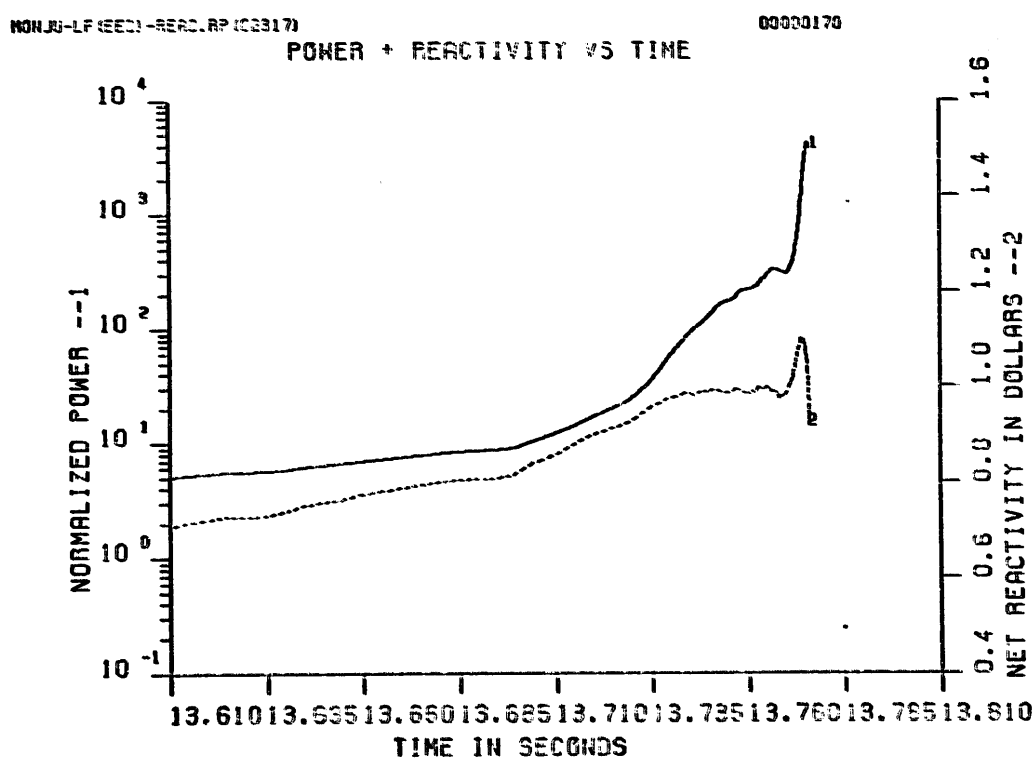
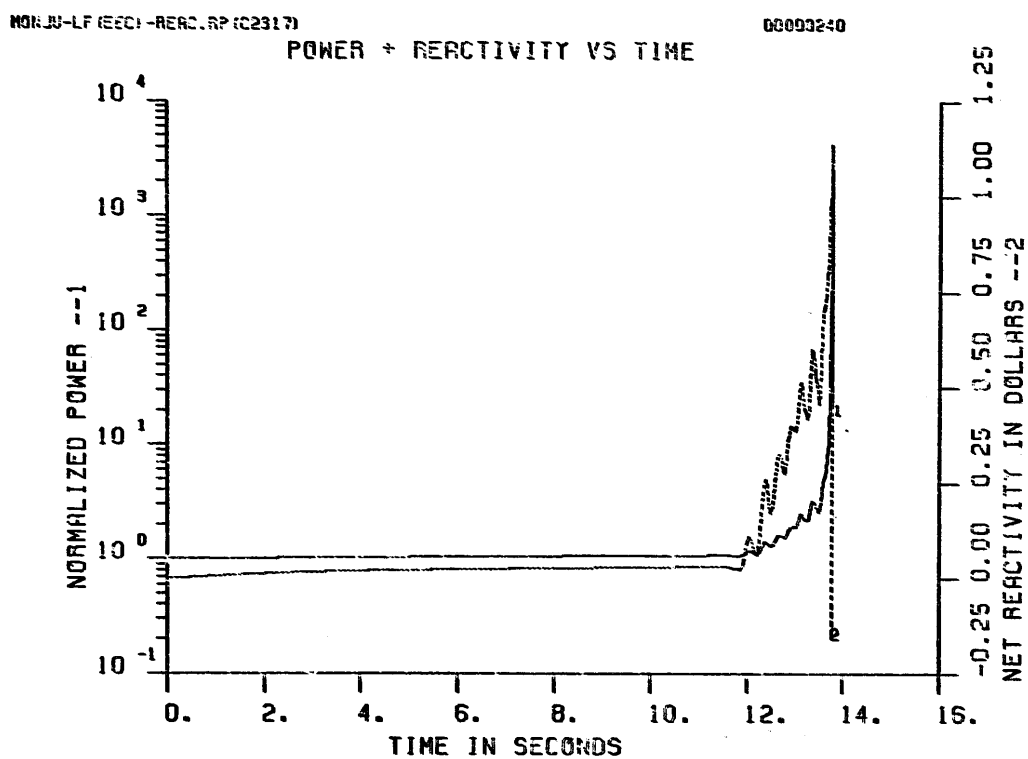


Figure 6.1-17. Power and Reactivity Traces for EOEC LOF (LF.REAC.RP.C2317)

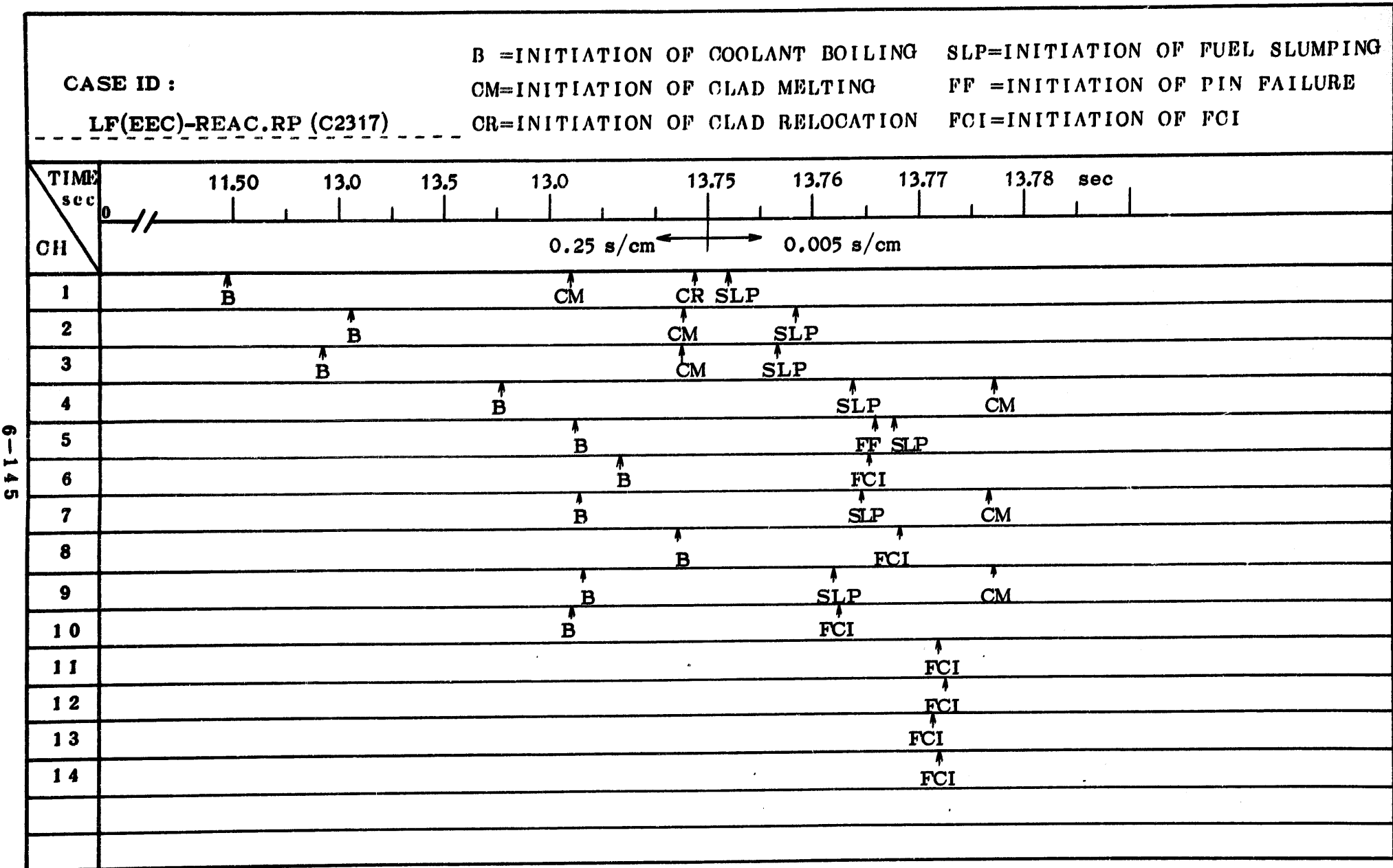


Figure 6.1-18a. Chronology and sequence of events in EOEC LOF (LF.REAC.RP.C2317)

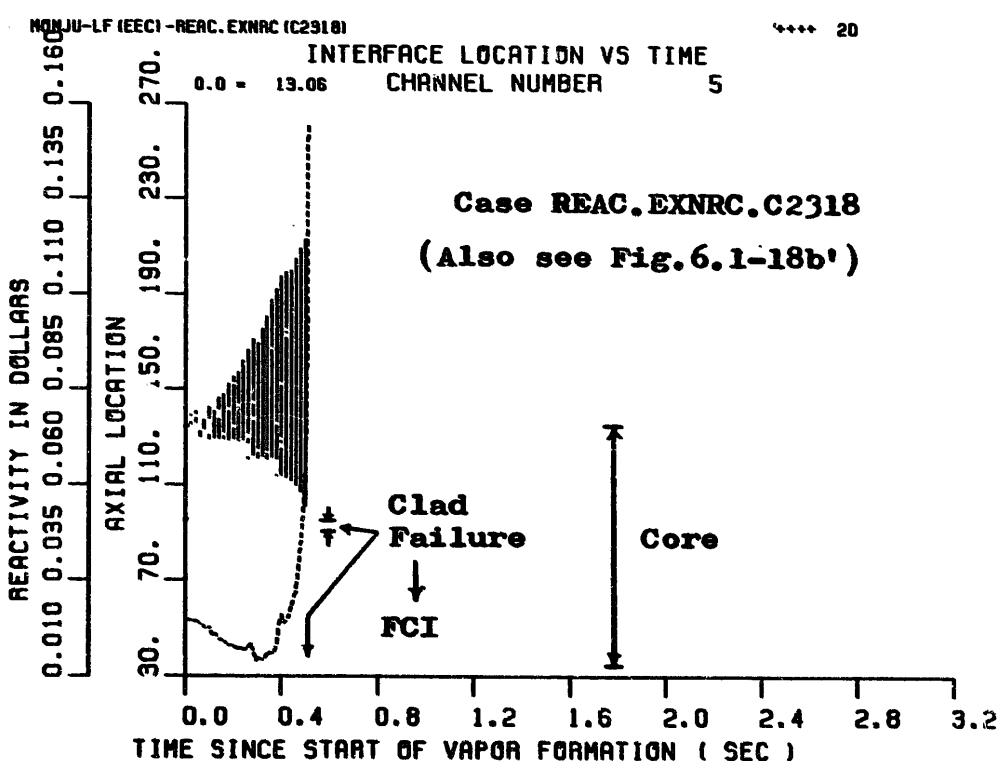
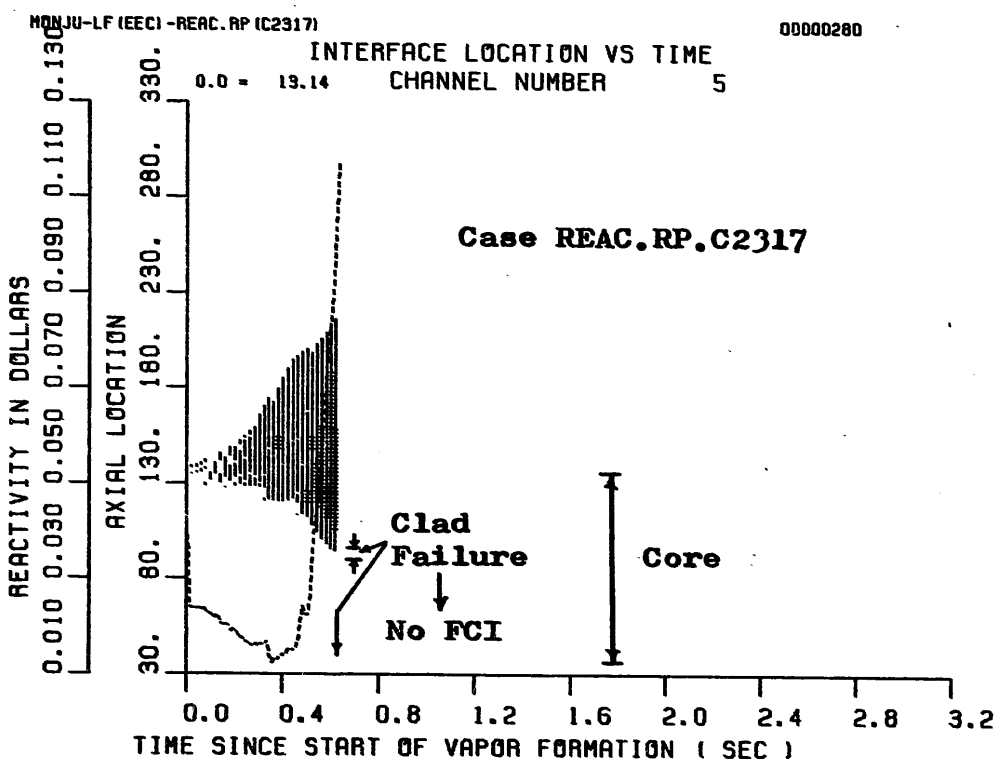


Figure 6.1-18b. Comparison of Ch.5 Boildings at the Time of Cladding Failure between Cases REAC.RP and REAC.EXNRC

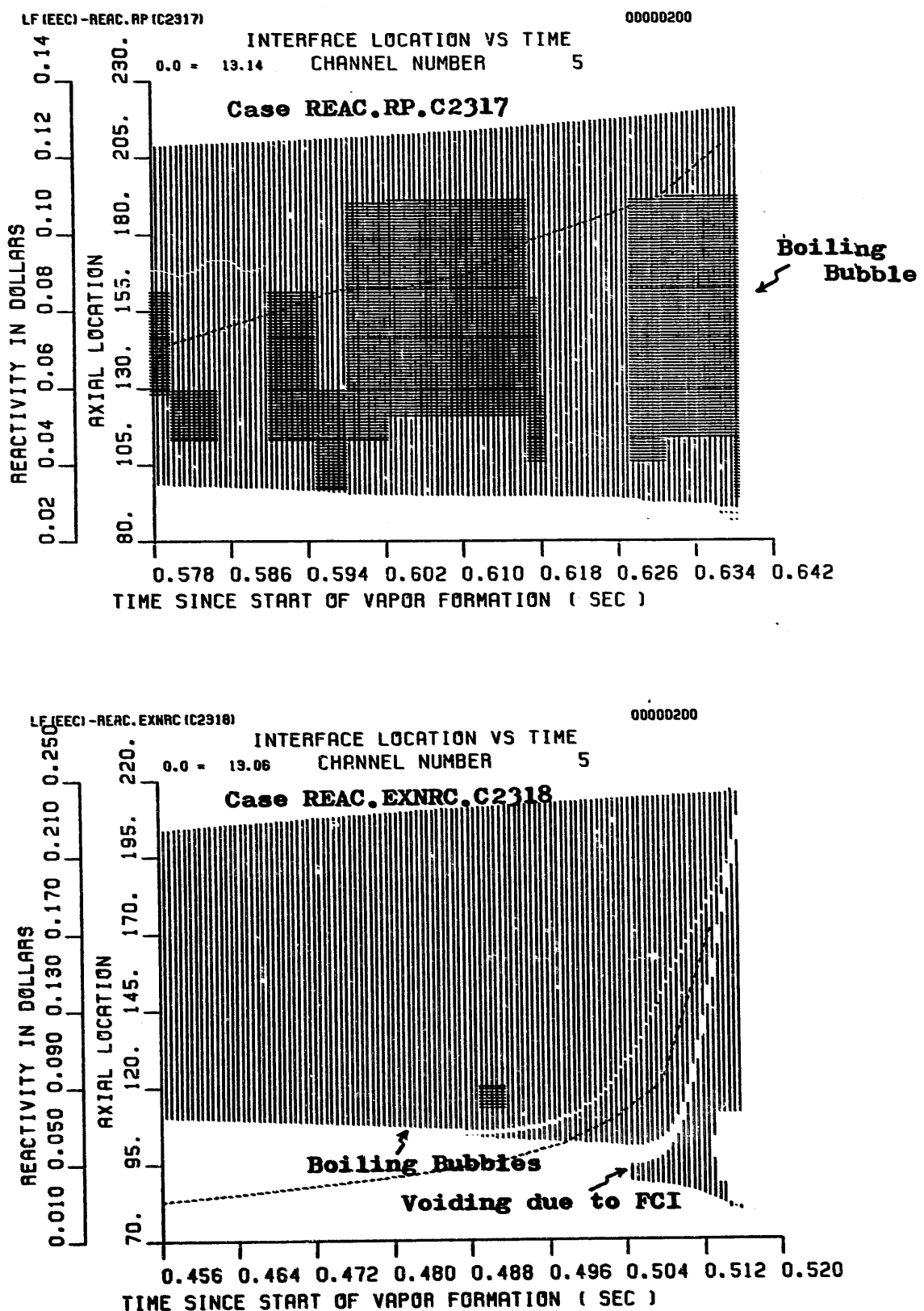


Figure 6.1-18b'. Comparison of Ch.5 Boilings around the End of Transient between Cases REAC.RP and REAC.EXNRC

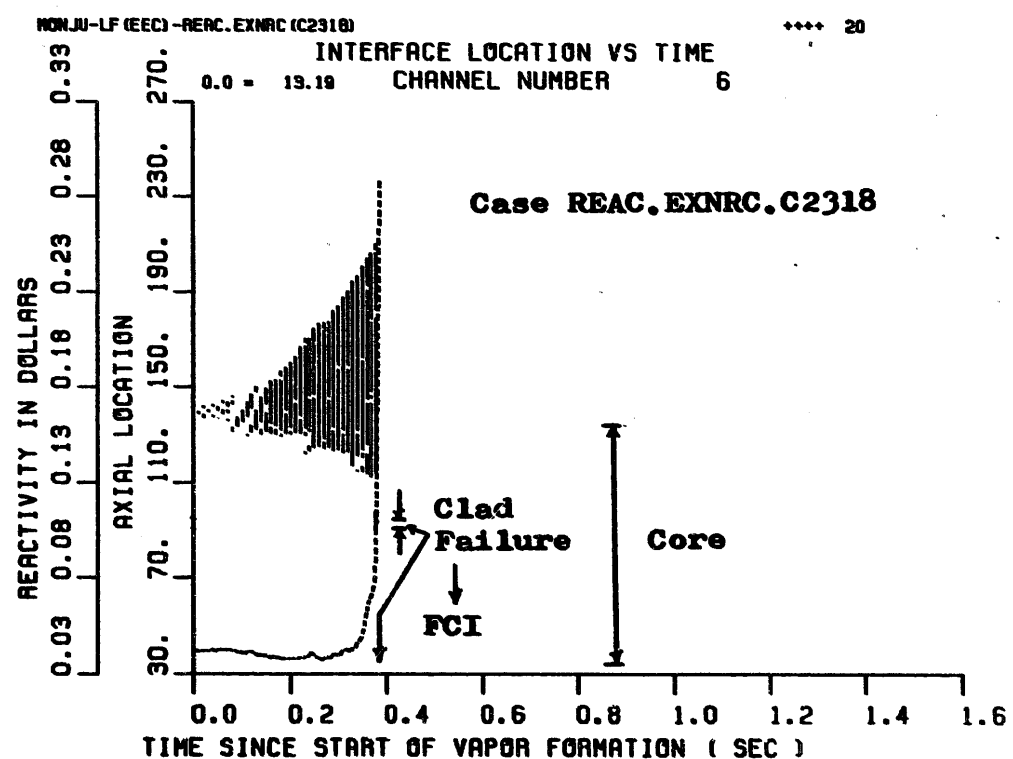
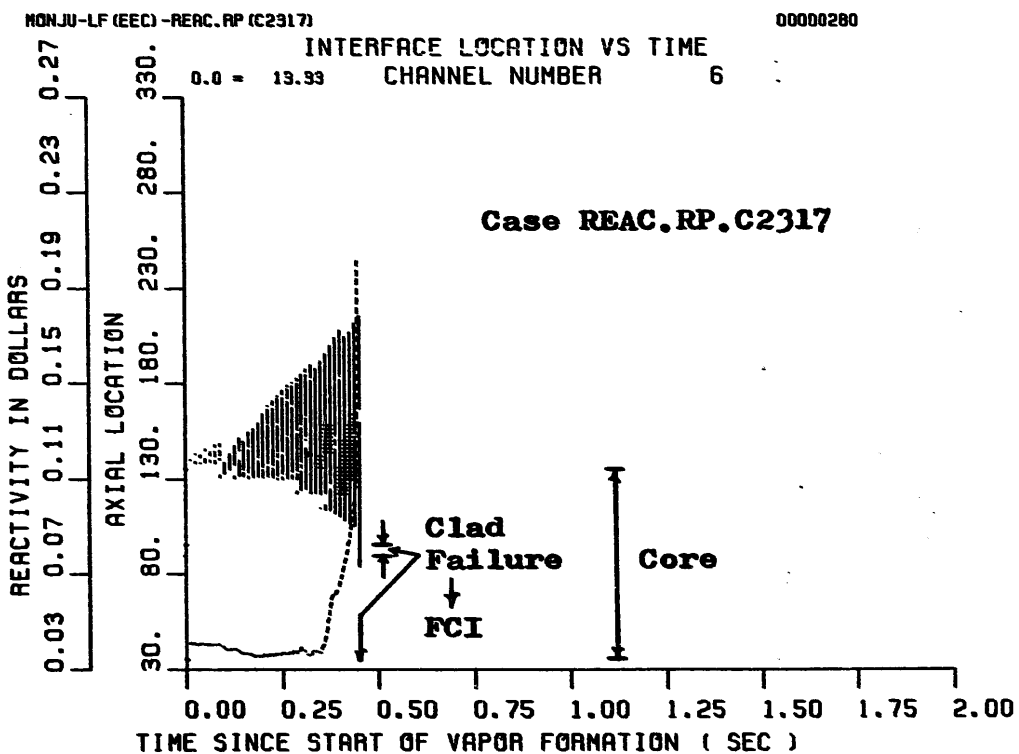


Figure 6.1-18c. Comparison of Ch.6 Boilings at the Time of Cladding Failure between Cases REAC.RP and REAC.EXNRC

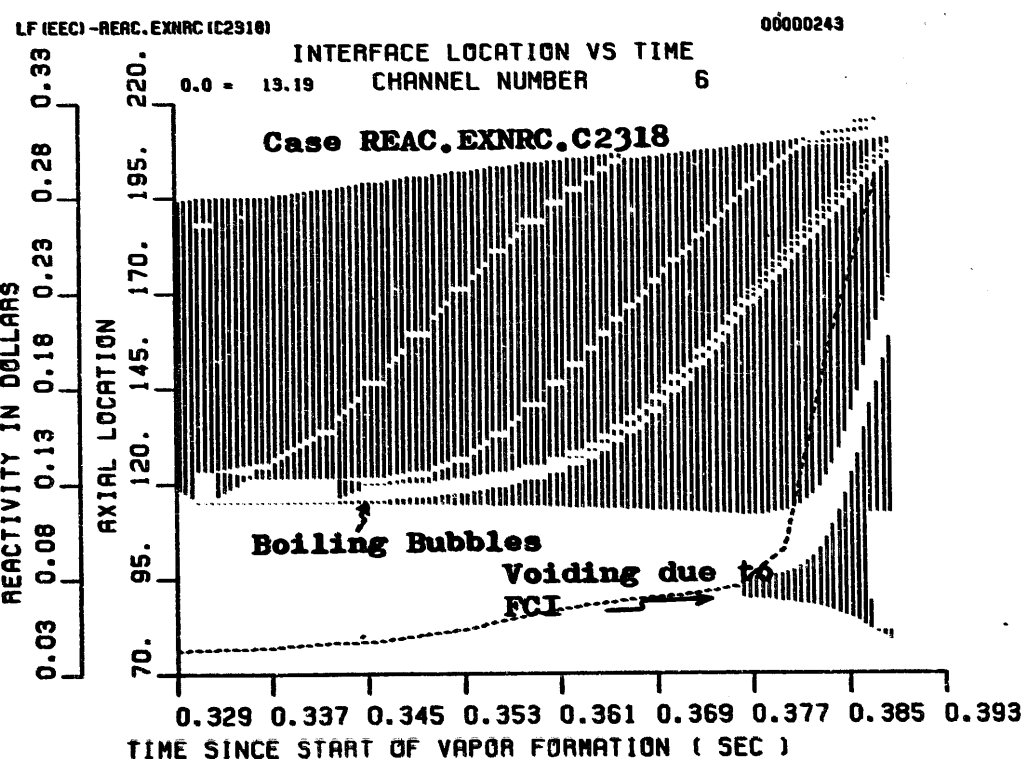
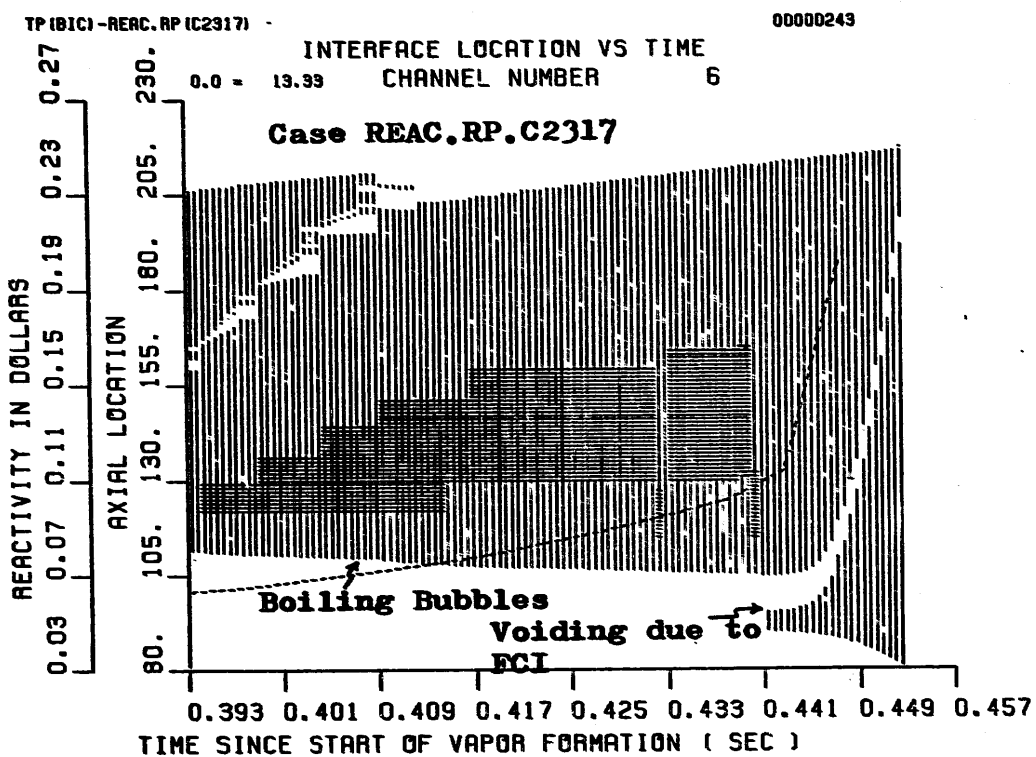


Figure 6.1-18'c. Comparison of Ch.6 Boilings around the end of Transient between Cases REAC.RP and REAC.EXNRC

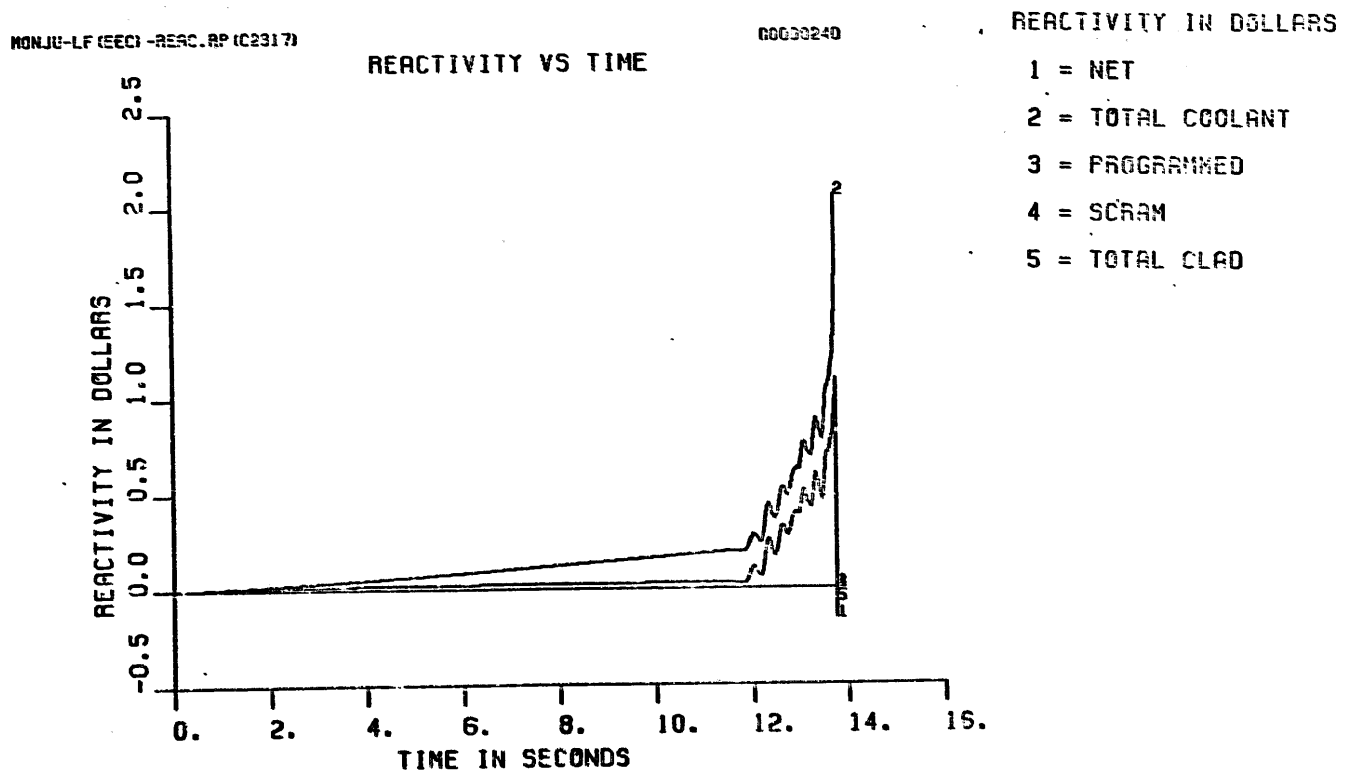
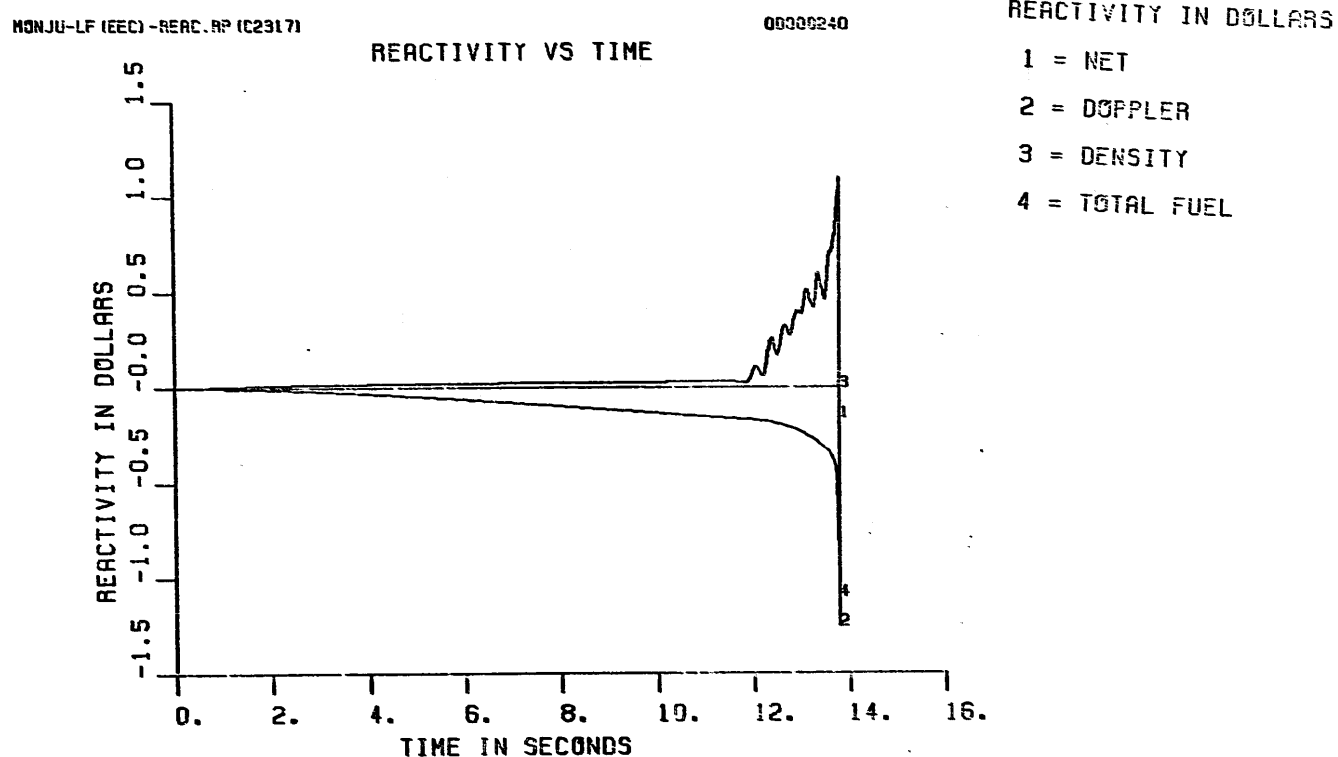


Figure 6.1-19a. Reactivity Component Traces for EOEC LOF (LF.REAC.RP.C2317)

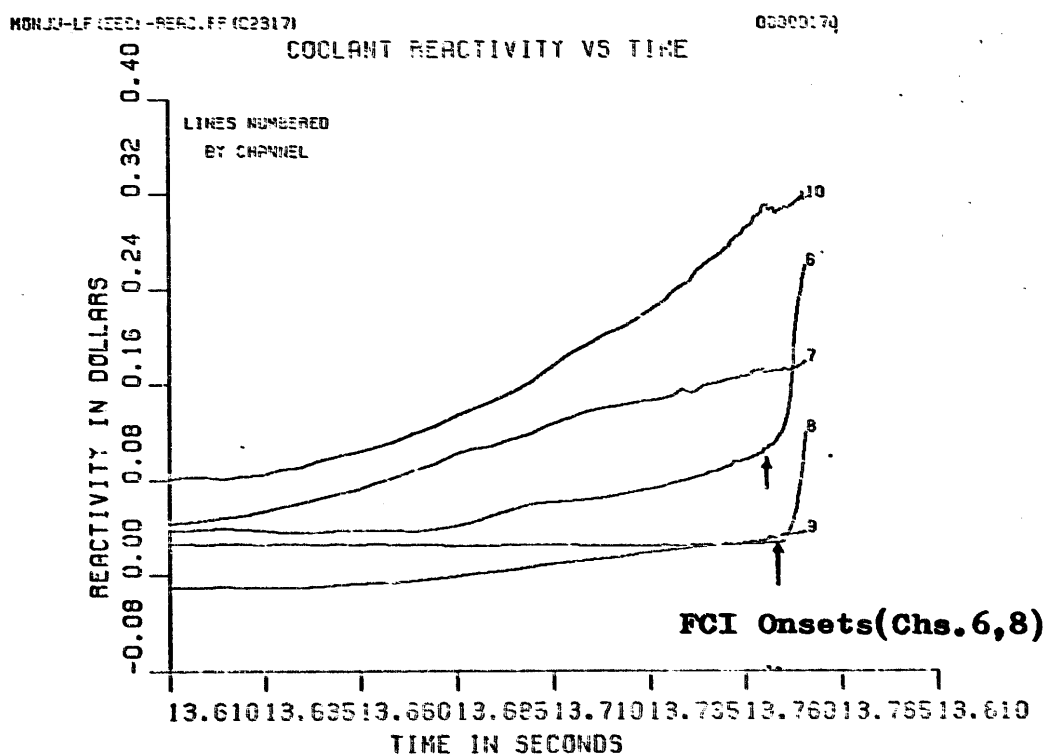
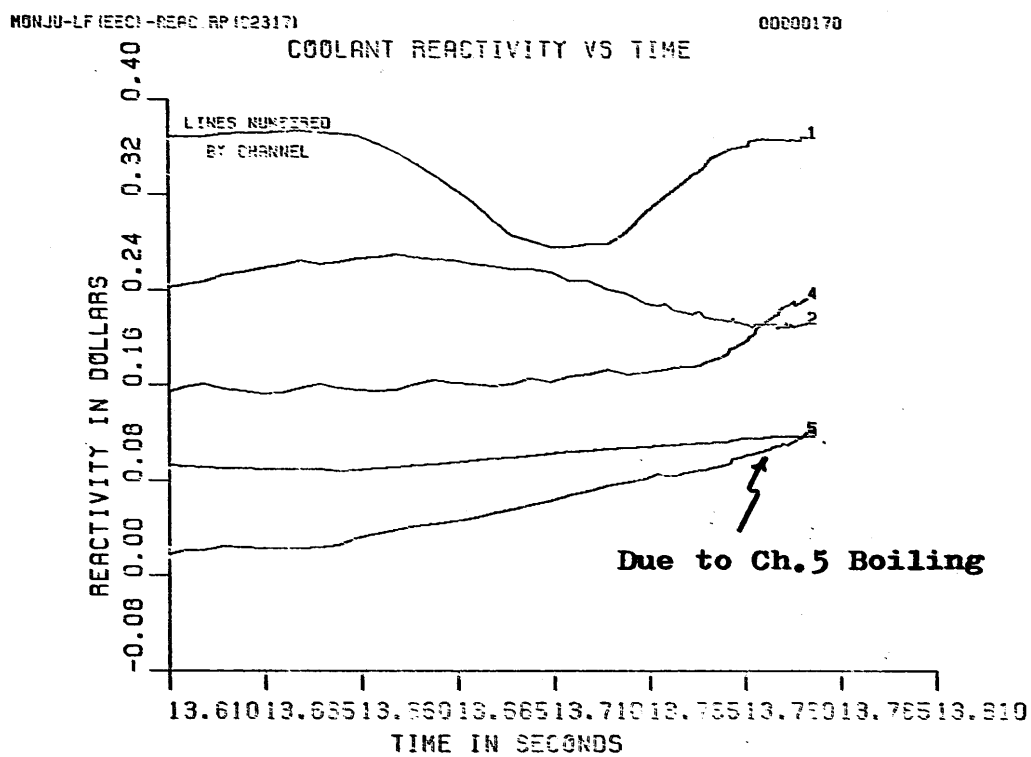


Figure 6.1-19b. Coolant Reactivity Traces by Channel for EOEC LOF (LF.REAC.RP.C2317)

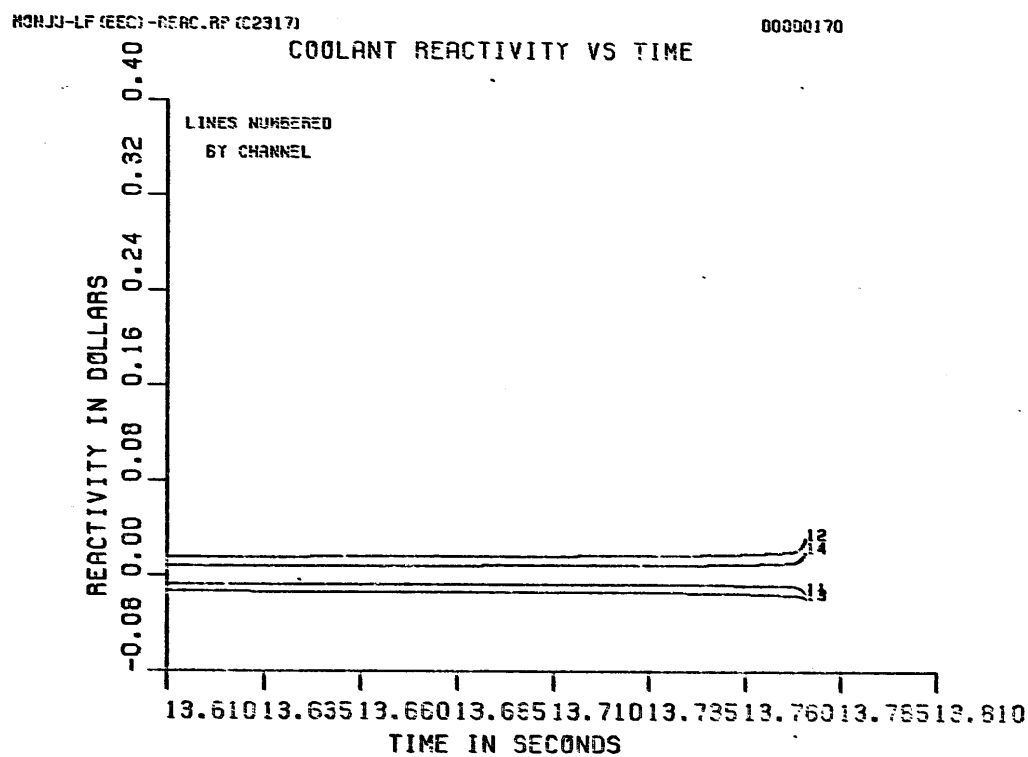


Figure 6.1-19b. (Cont.)

6-1-5

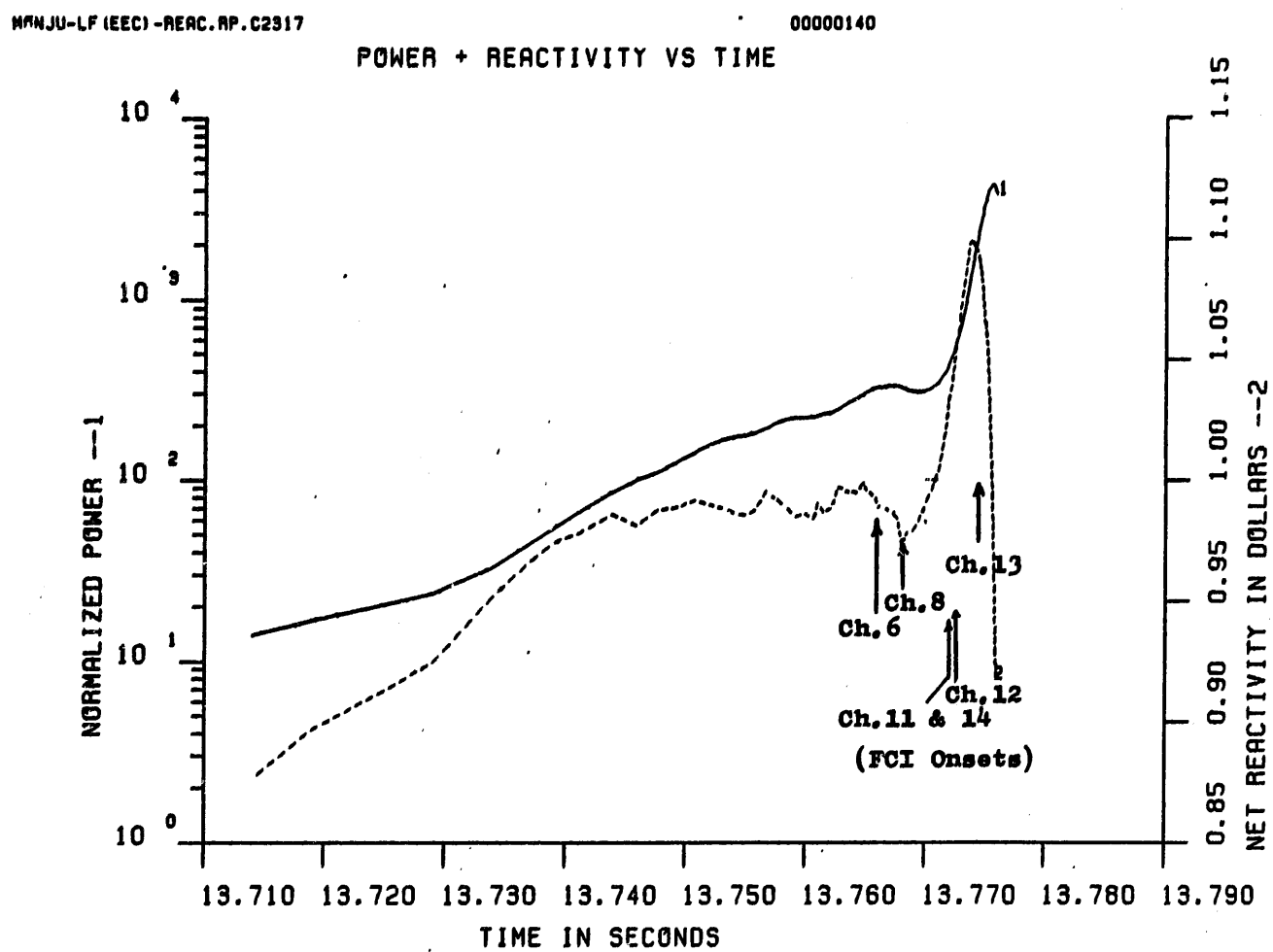
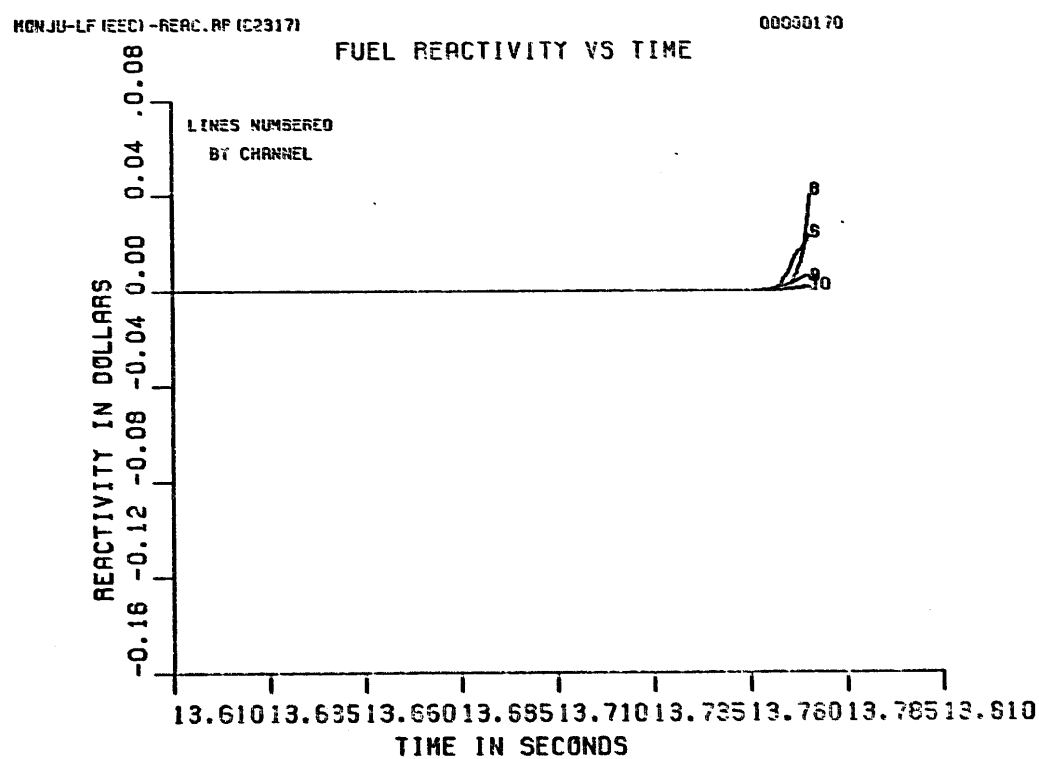
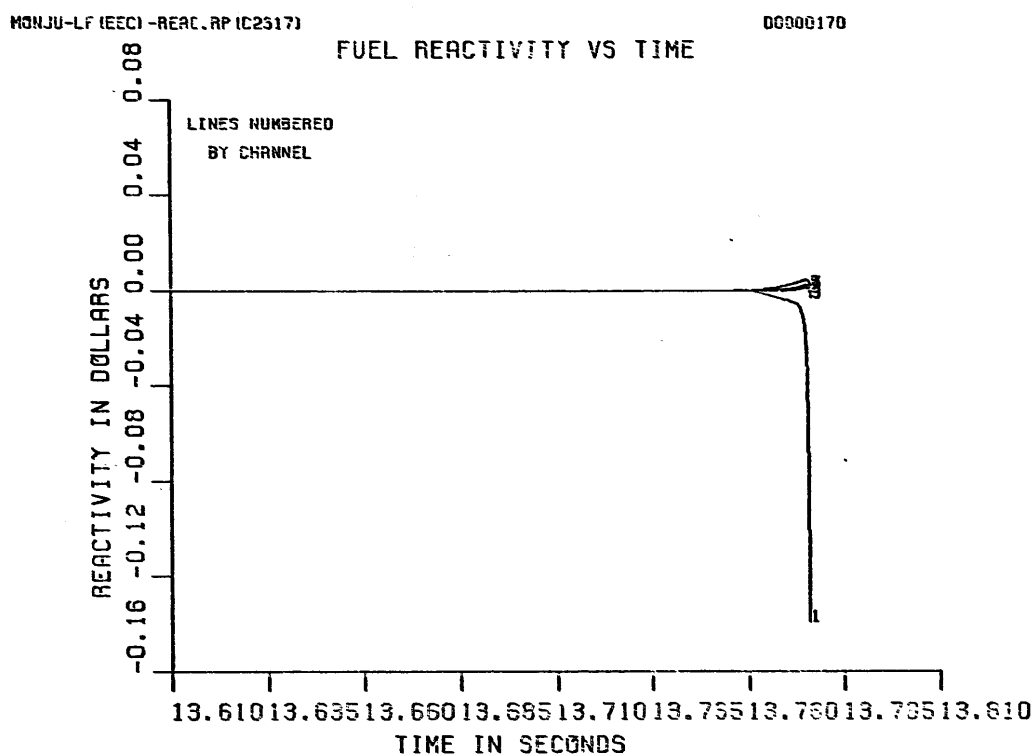


Figure 6-1-20. Power and Reactivity Traces during Superprompt Critical Power Burst in EOEC LOF (LF.REAC.RP.C2317)



**Figure 6.1-21a. Fuel Motion Reactivity Traces by Channel for EOEC
LOF (LF.REAC.RP.C2317)**

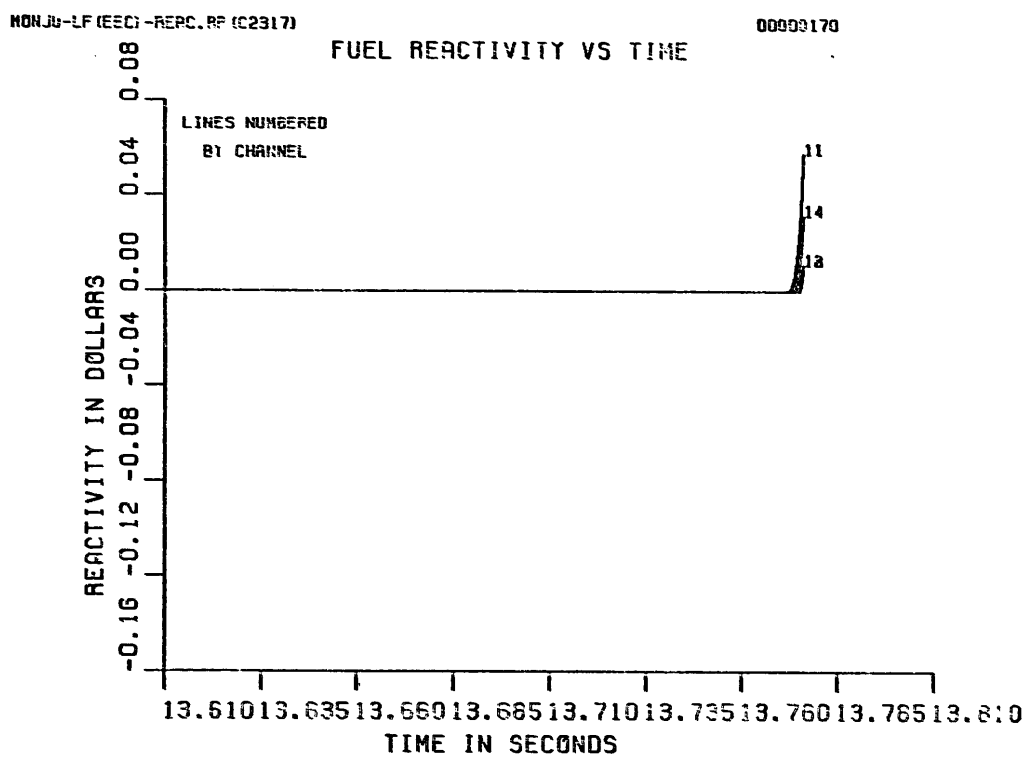
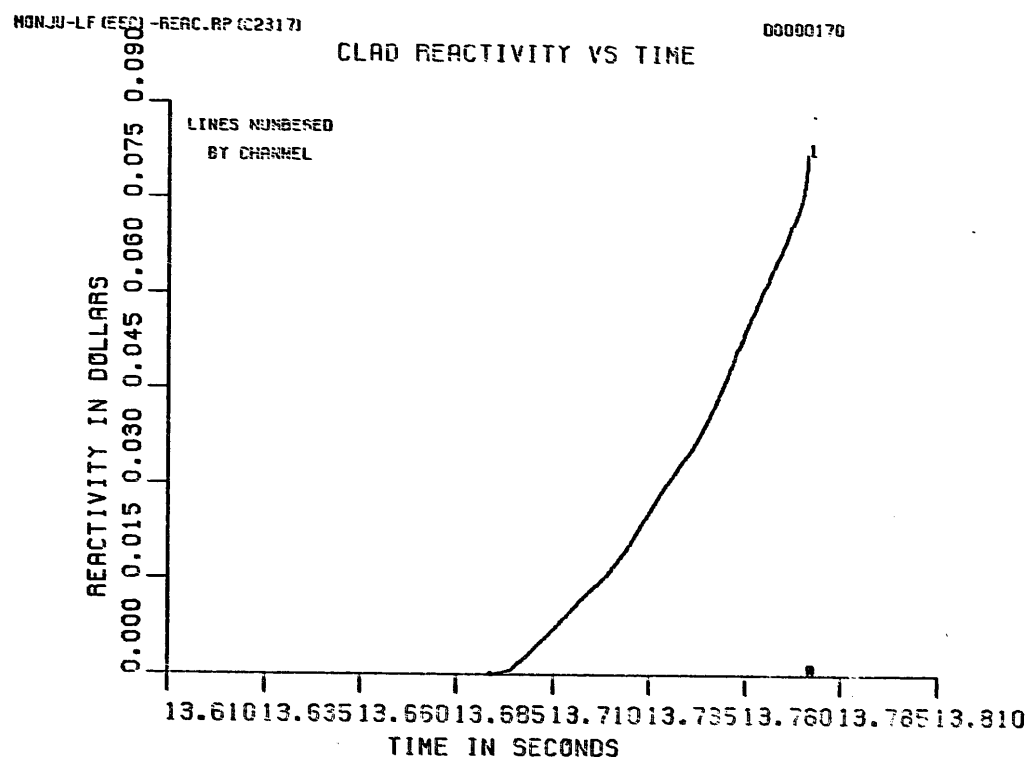
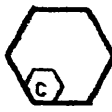
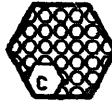


Figure 6.1-21a. (Cont.)



**Figure 6.1-21b. Channel-1 Cladding Reactivity Trace for EOEC LOF
(LF.REAC.RP.C2317)**

-  : UNVOIDED CHANNEL
-  : BOILING CHANNEL
-  : FUEL SLUMPING CHANNEL WITH BOILING
-  : FCI CHANNEL
-  : FCI CHANNEL WITH PARTIAL BOILING
-  : CONTROL ROD

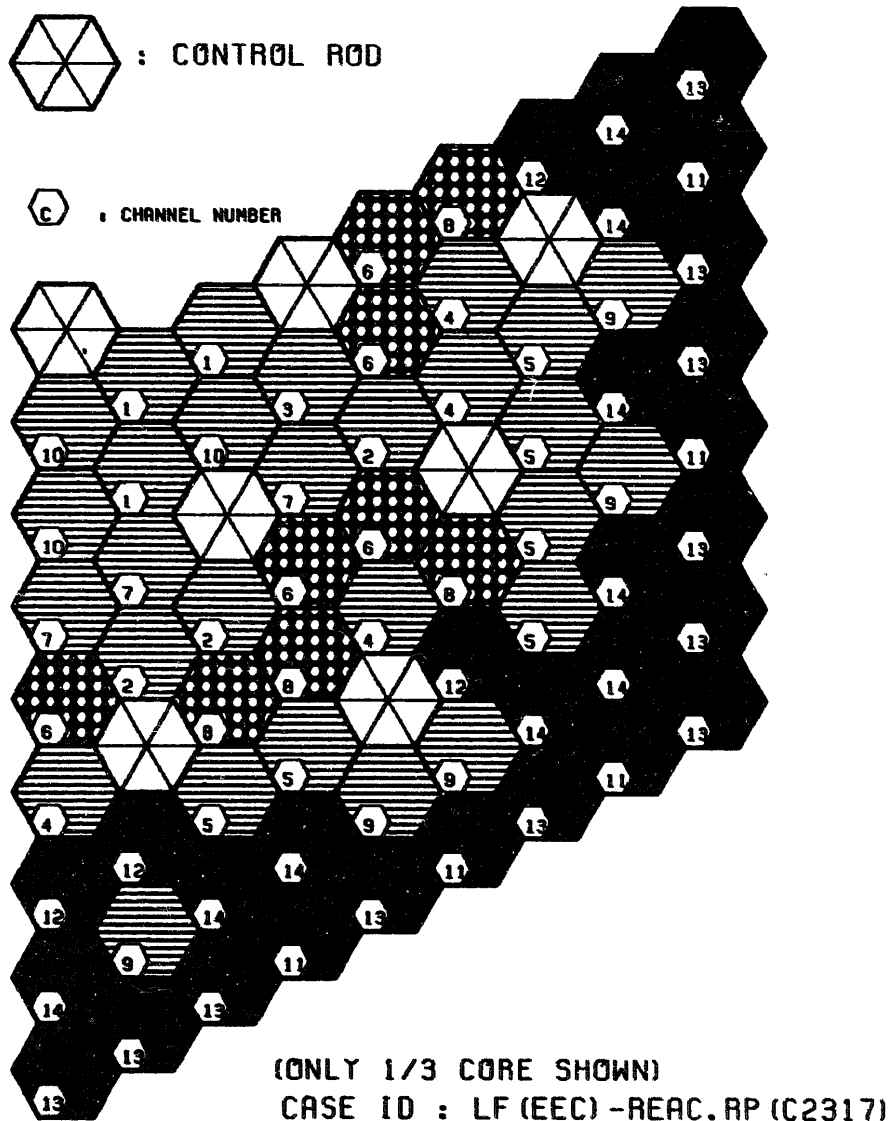


Figure 6.1-22. Core State at the End of Initiating Phase

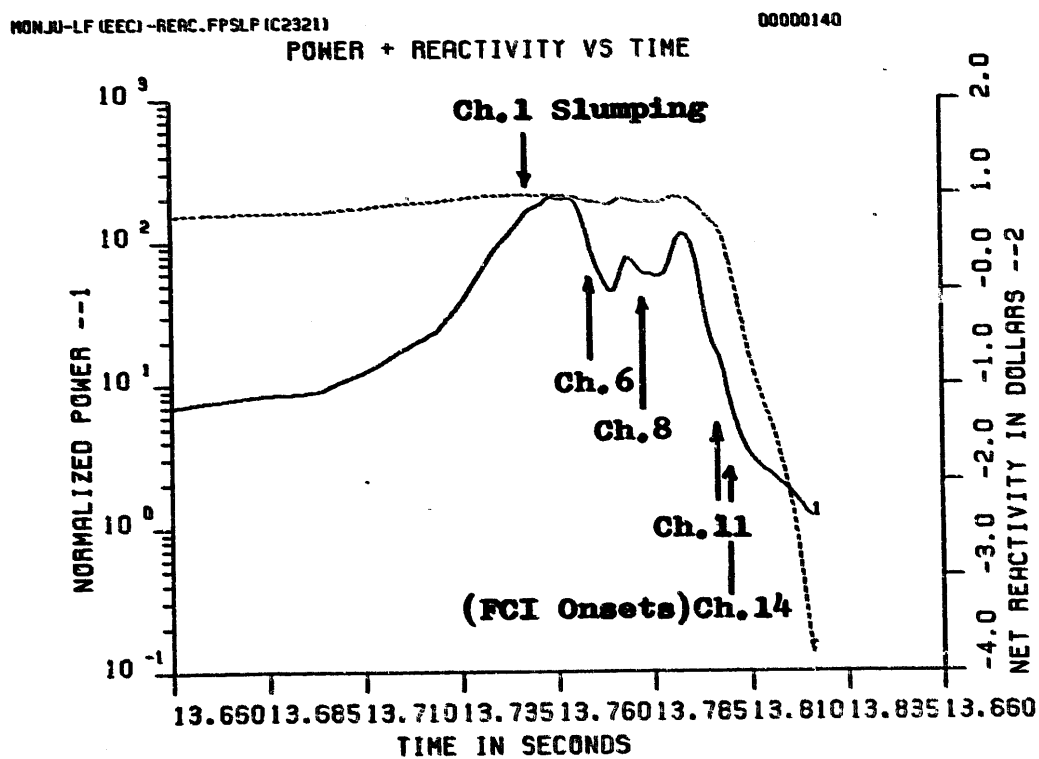
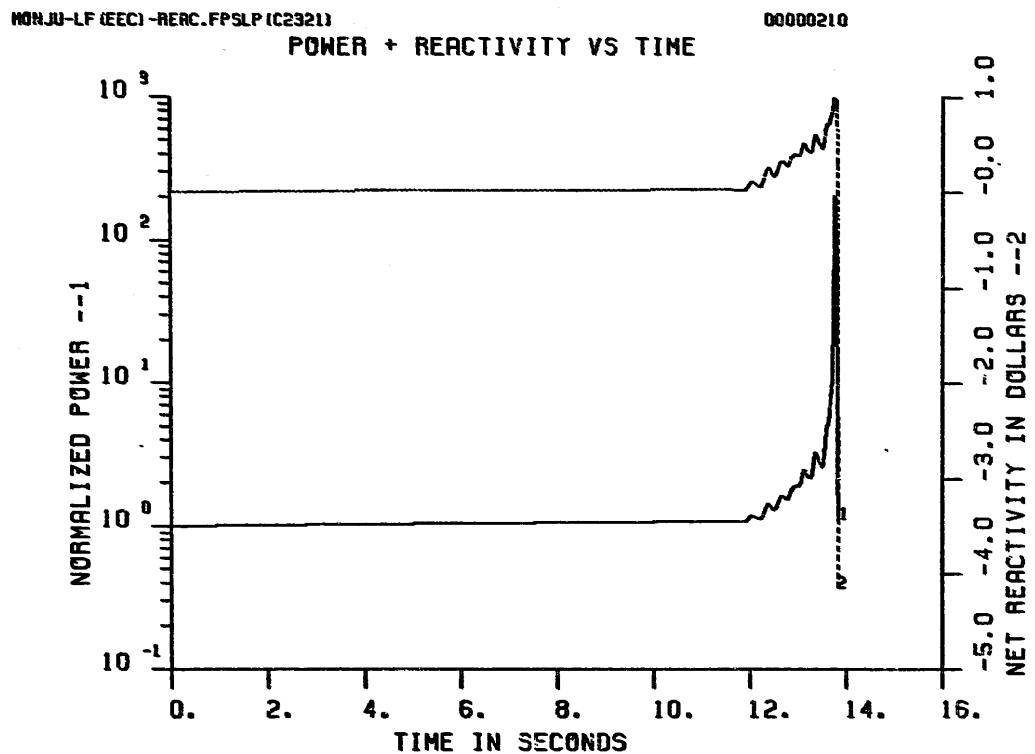


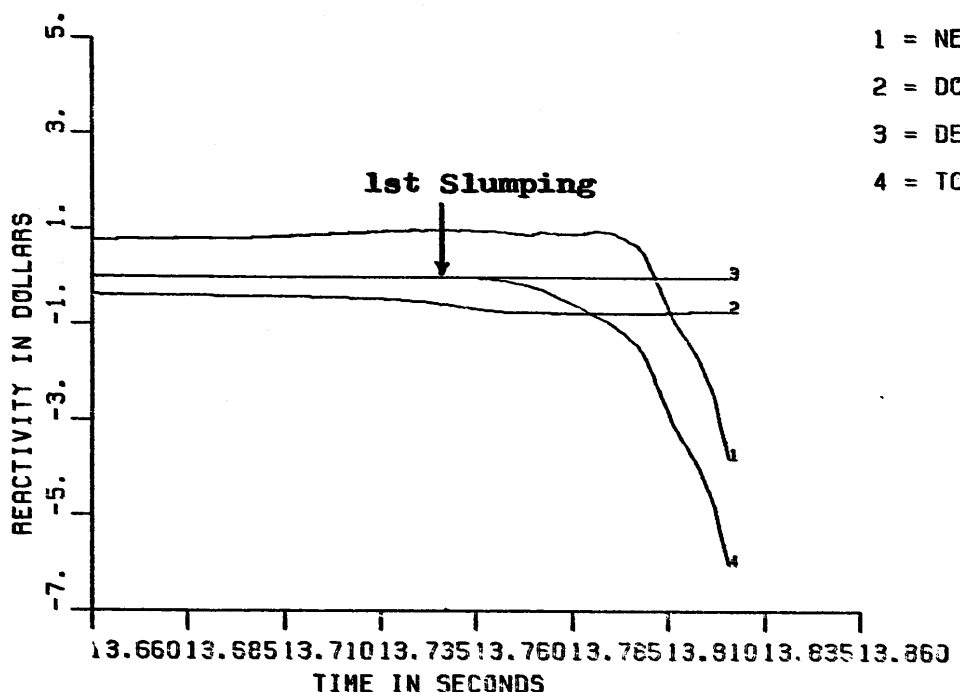
Figure 6.1-23. Power and Reactivity Traces for EOEC LOF (LF.REAC.FPSLP.C2321)

MONJU-LF (EEC) - REAC.FPSLP (C2321)

REACTIVITY VS TIME

00000140

REACTIVITY IN DOLLARS



1 = NET

2 = DOPPLER

3 = DENSITY

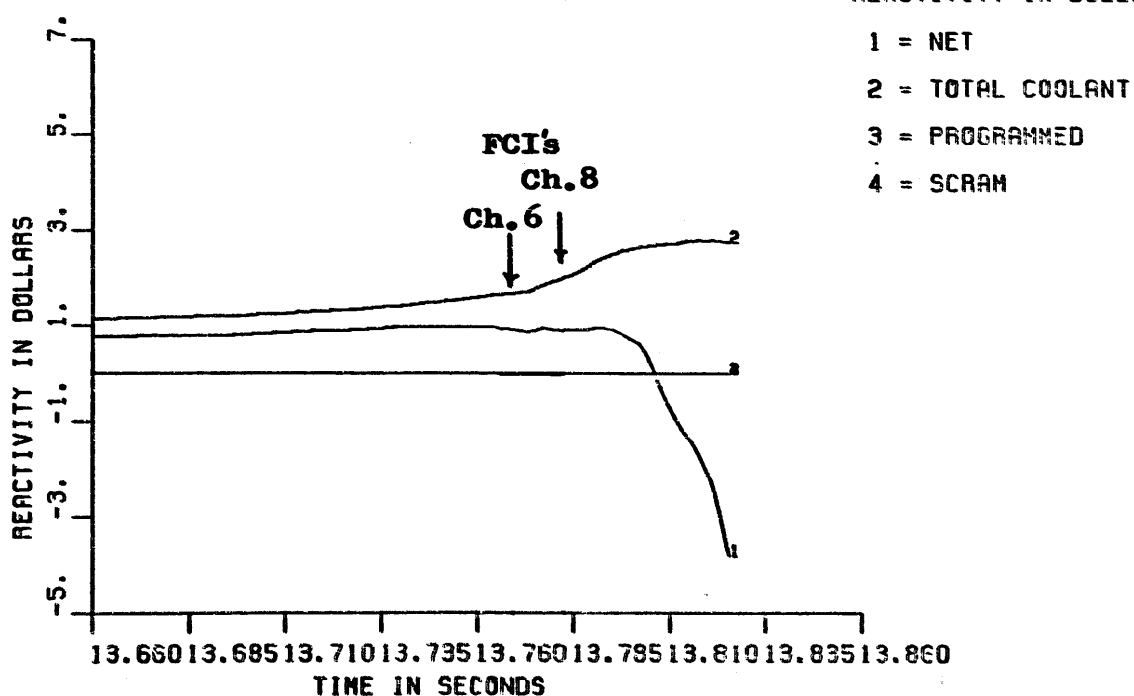
4 = TOTAL FUEL

MONJU-LF (EEC) - REAC.FPSLP (C2321)

REACTIVITY VS TIME

00000140

REACTIVITY IN DOLLARS



1 = NET

2 = TOTAL COOLANT

3 = PROGRAMMED

4 = SCRAM

Figure 6.1-24. Reactivity Component Traces for EOEC LOF (LF.REAC.FPSLP.C2321)

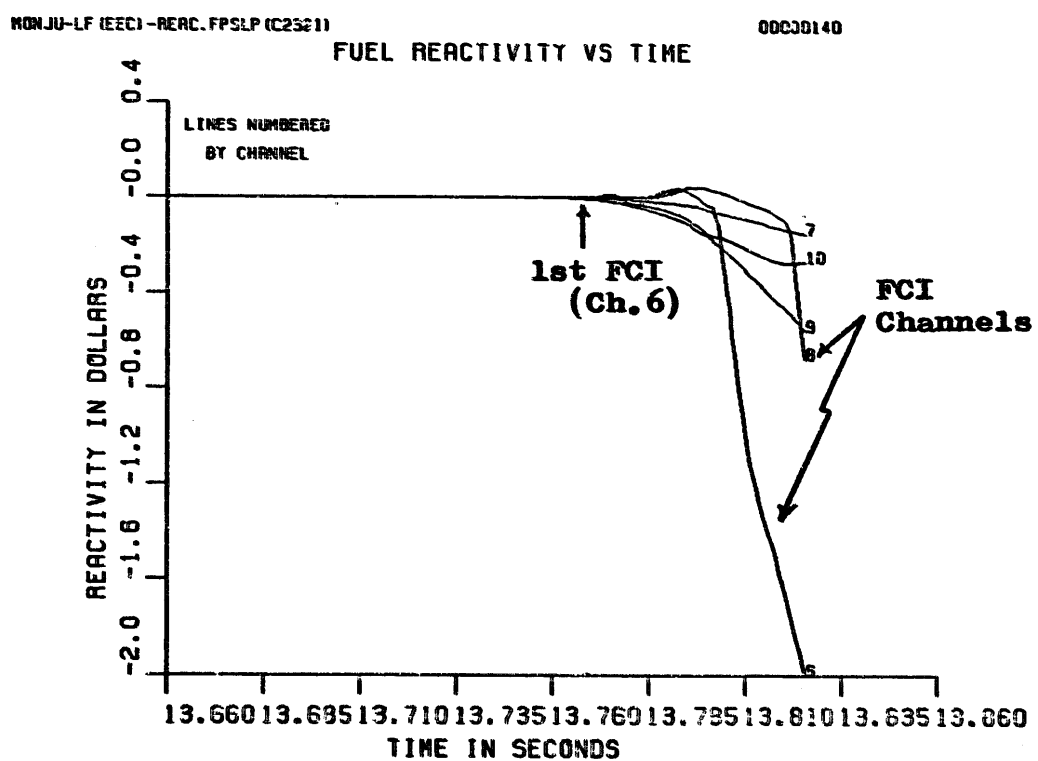
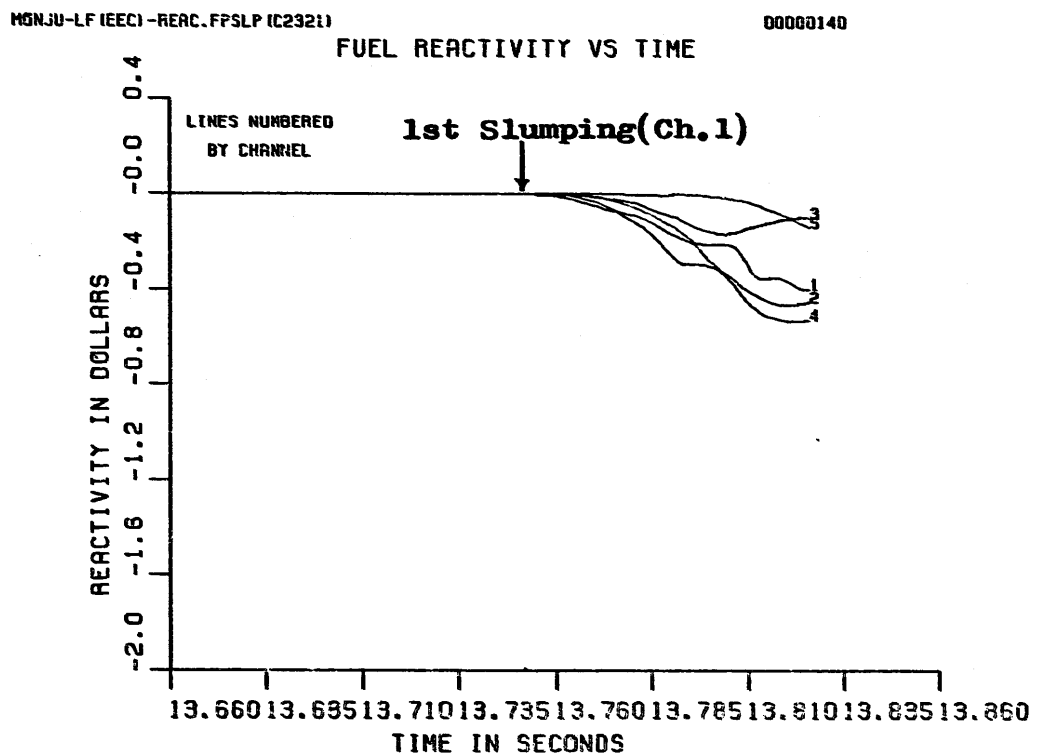


Figure 6.1-25. Fuel Motion Reactivity Traces by Channel for EOEC LOF (LF.REAC.FPSLP.C2321)

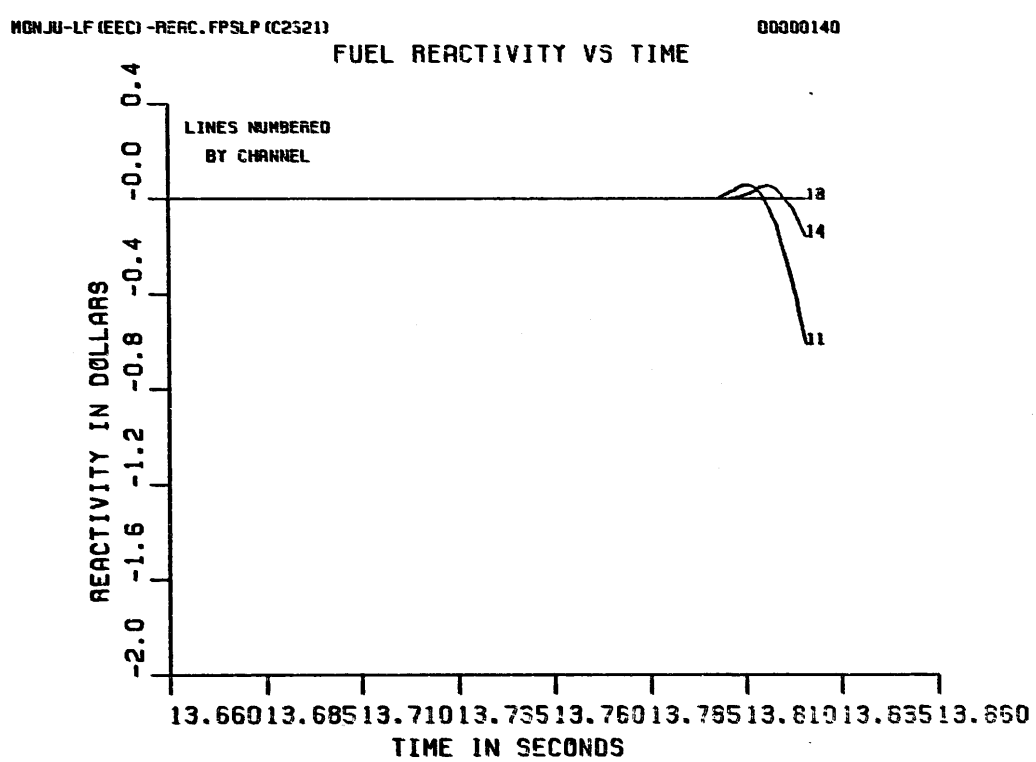


Figure 6.1-25. (Cont.)

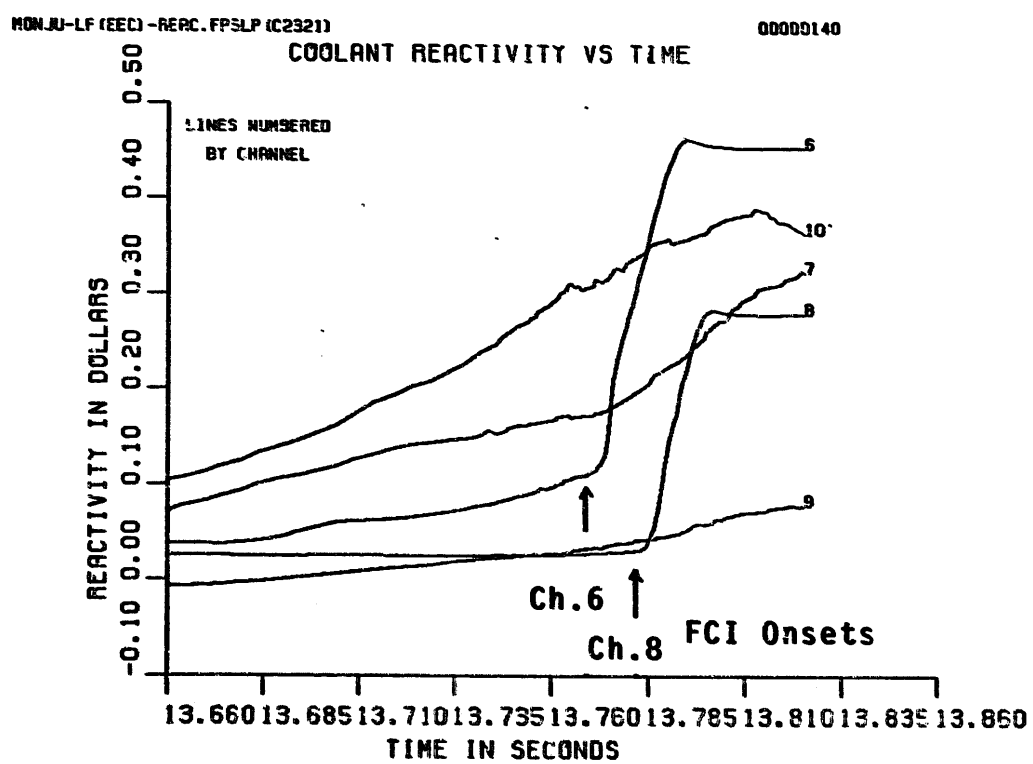
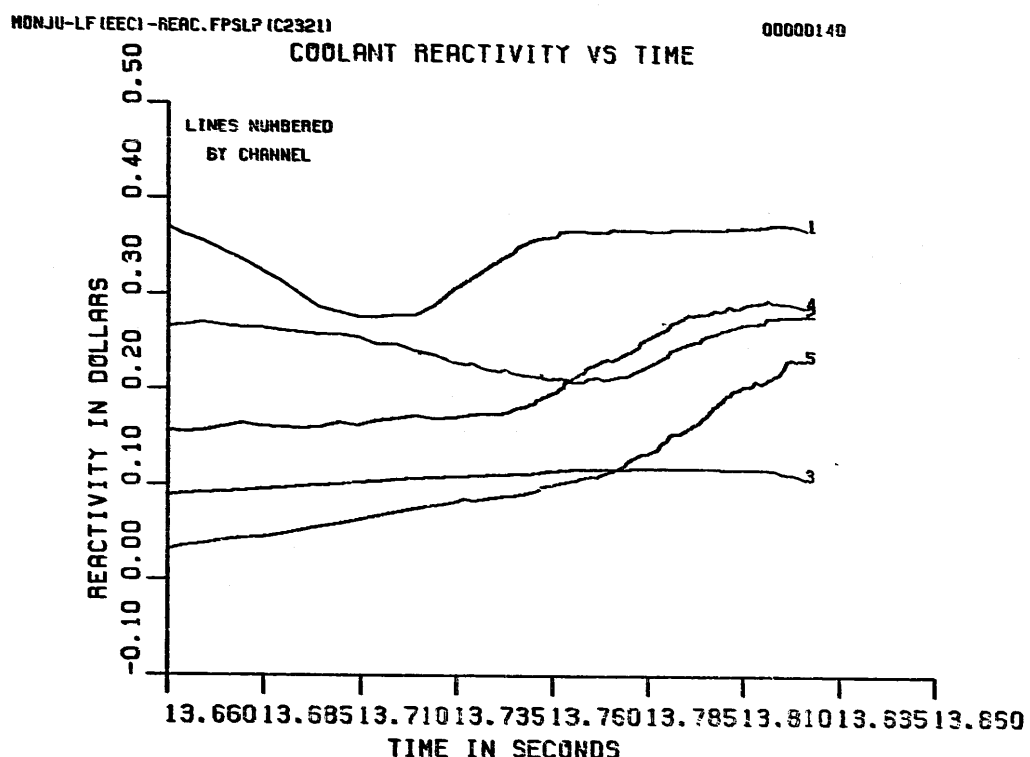


Figure 6.1-26a. Coolant Reactivity Traces by Channel for EOEC LOF (LF.REAC.FPSLP.C2321)

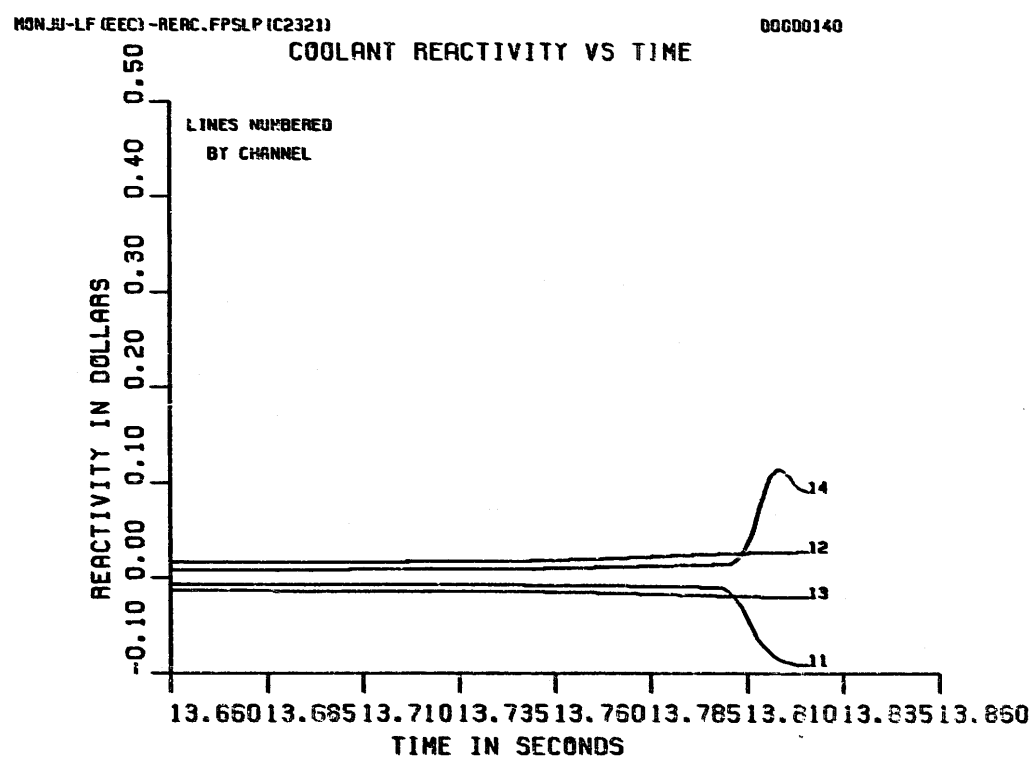


Figure 6.1-26a. (Cont.)

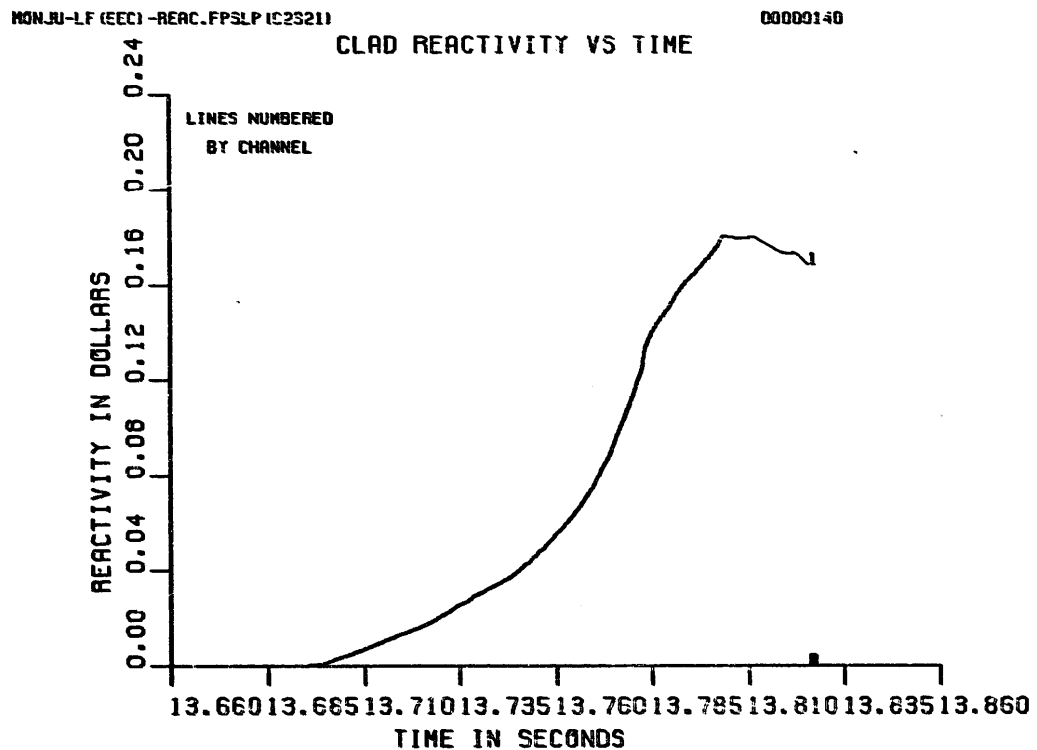


Figure 6.1-26b. Channel-1 Cladding Reactivity Trace for EOEC LOF (LF.REAC.FPSLP.C2321)

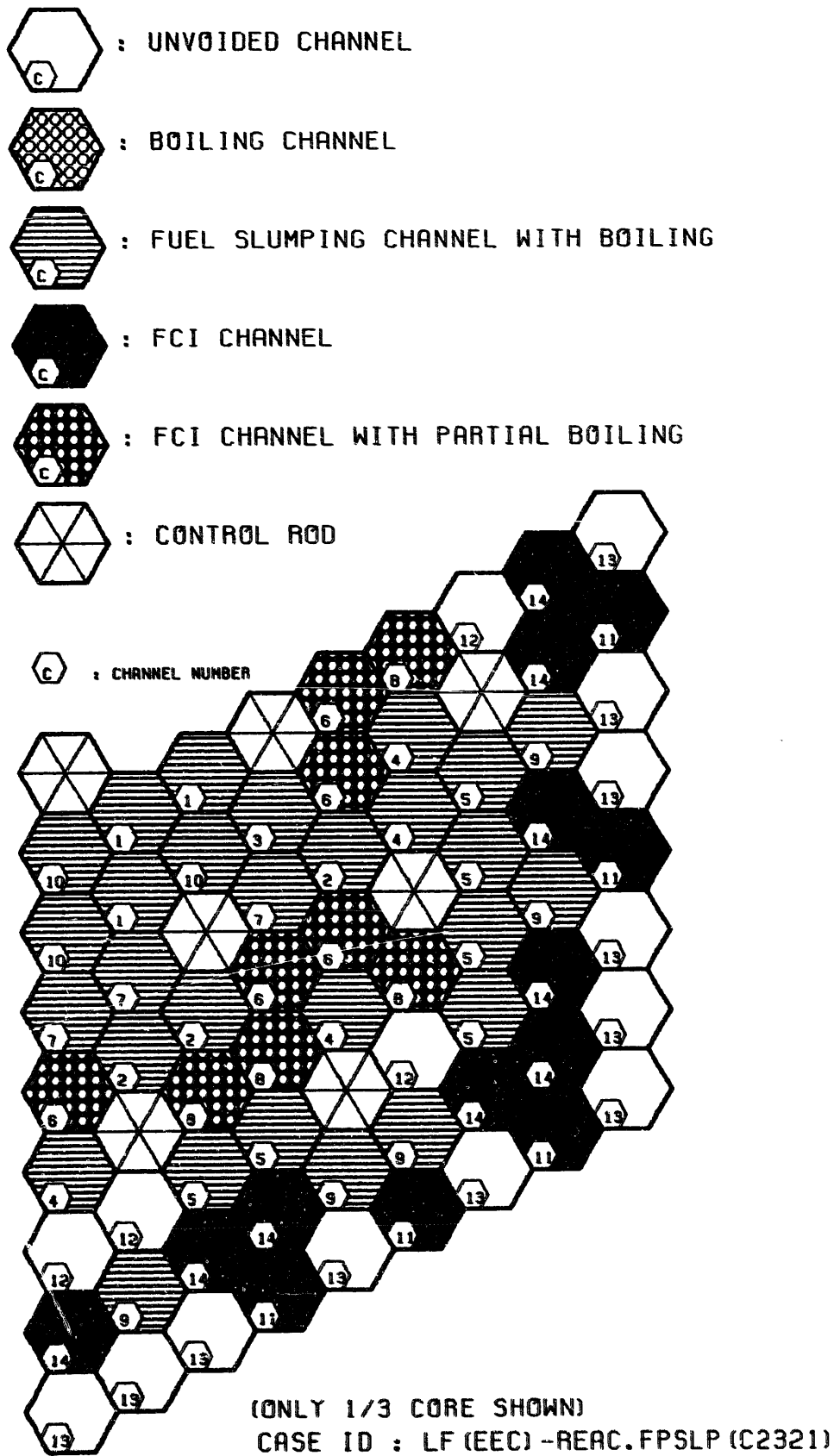
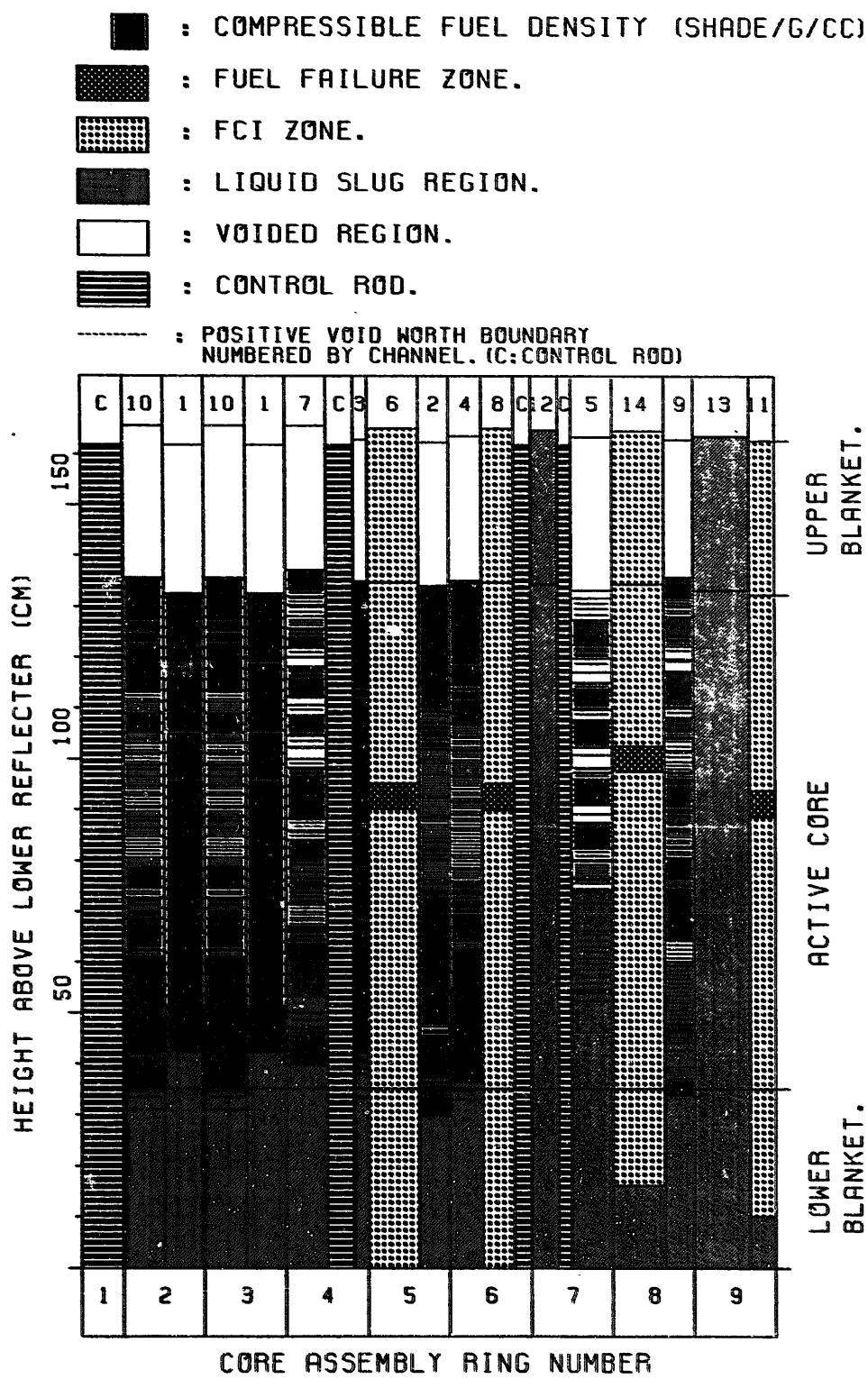


Figure 6.1-27. Core State at the End of Initiating Phase



LF (EEC) -REAC.FPSLP (C2321).
TIME =13.82668 (SEC) , STEP =618
NET REACTIVITY =-4.14144 (DOLLARS)

Figure 6.1-28a. Coolant Void and Compressible Fuel Density of SAS-Channels.



4000 < T	K
3500 < T < 4000	K
TMELT+1 < T < 3500	K
TMELT-1 < T < TMELT+1	K
2000 < T < TMELT-1	K
T < 2000	K

ACTIVE CORE STATE :
 MAX FUEL TEMP. (K) = 4238.0
 MIN FUEL TEMP. (K) = 1845.4
 AVERAGE FUEL TEMP. (K) = 2862.2
 TEMP. PEAKING FACTOR = 1.5

MOLTEN CORE STATE: TOTAL MOLTEN FUEL MASS (KG) = 2680
 MOLTEN FUEL AVERAGE TEMP. (K) = 3190
 ENERGY ABOVE FUEL SOLIDUS (MJ) = 1040

LF.REAC.FPSLP (C2321) STP617

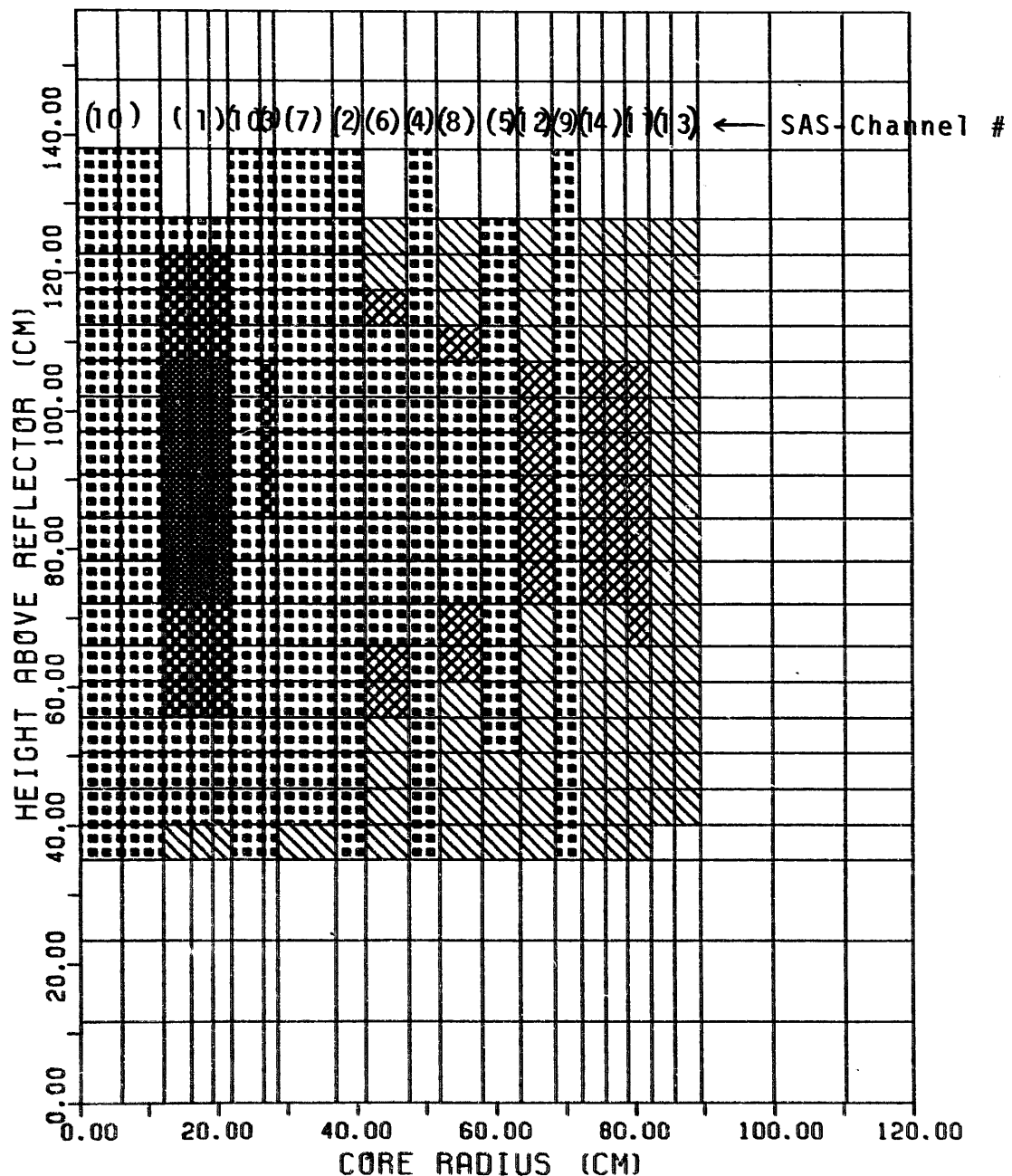


Figure 6.1-28b. Fuel Temperature Distribution (Final State)

FUEL VAPOR WORK (AT ONE ATM) = 2.0 (MJ)
 FUEL VAPOR WORK (AT SLUG IMPACT) = 0.0 (MJ)

▲ : FUEL VAPOR WORK ENERGY
 ○ : FUEL VAPOR PRESSURE

LF.REAC.FPSLP (C2321) STP617

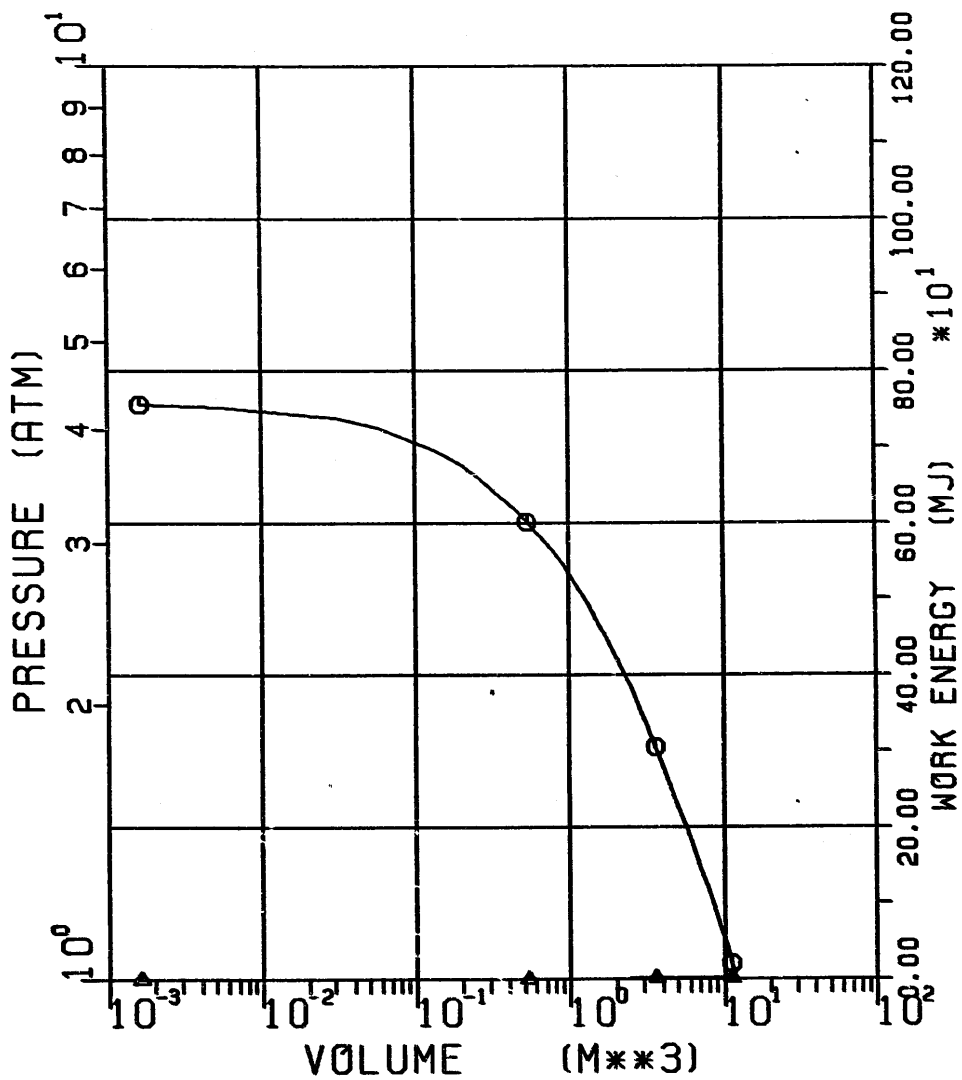


Figure 6.1-29. Fuel Vapor Pressure and Work Energy vs. Volume

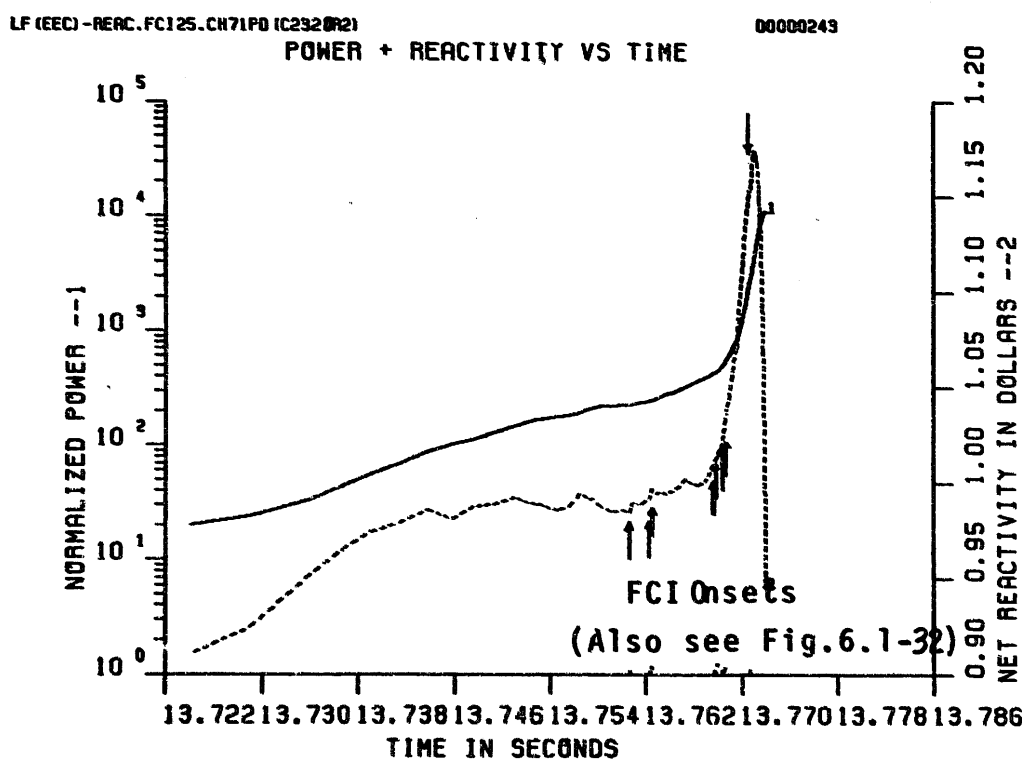
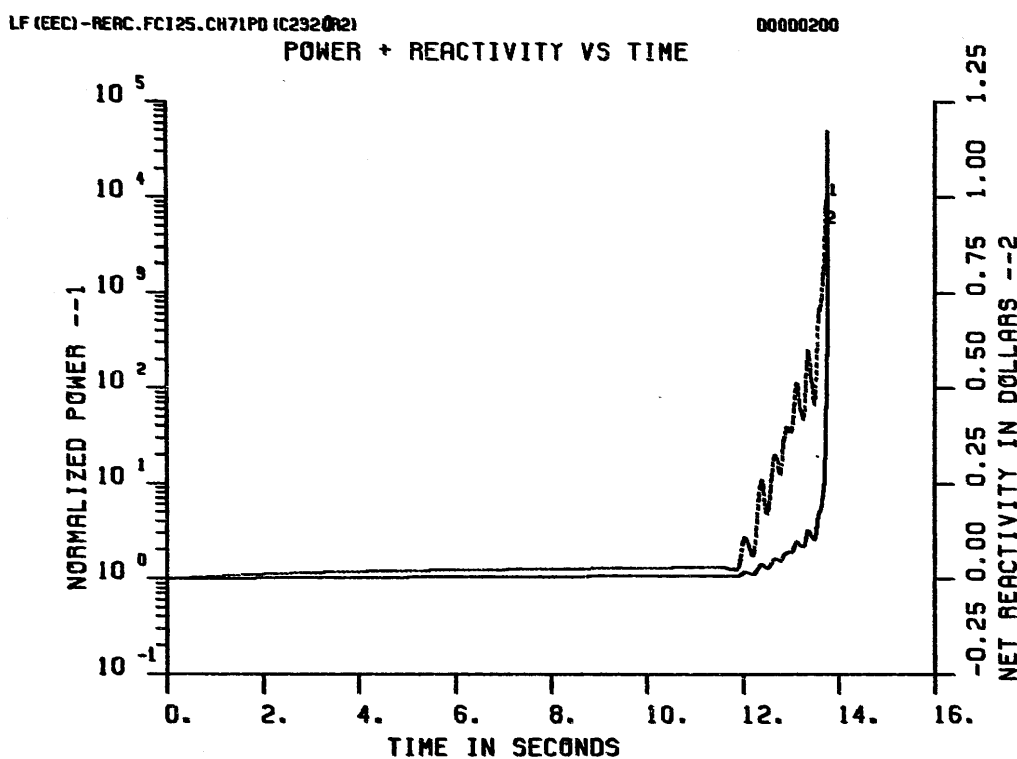


Figure 6.1-30a. Power and Reactivity Traces for EOEC LOF (LF. REAC. NSS. FCI25. CNT. C2320)

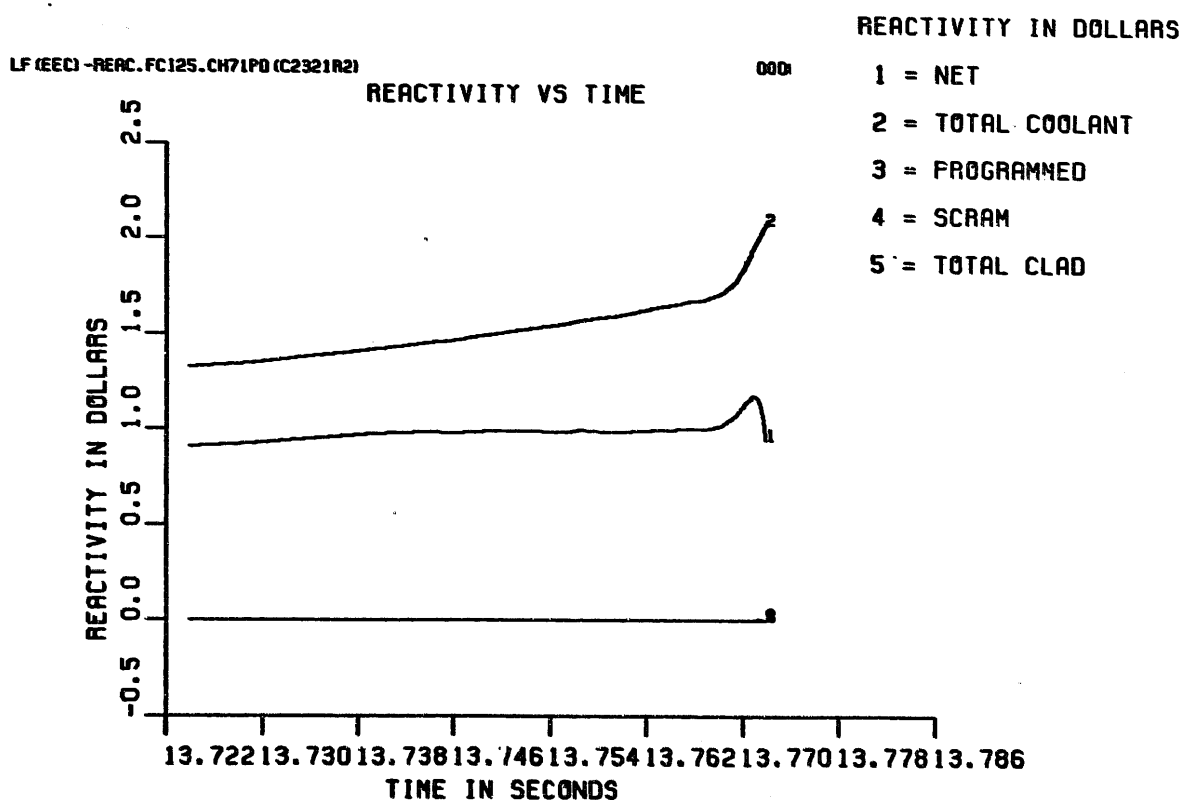
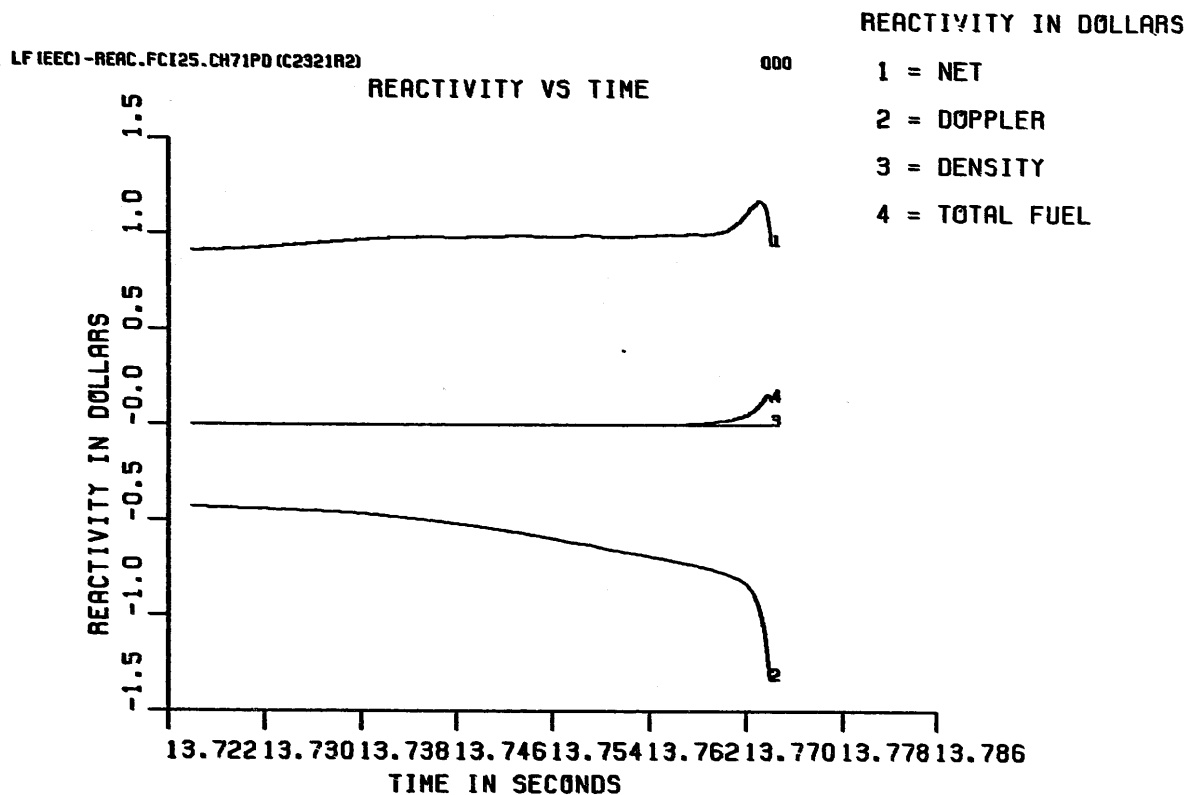


Figure 6.1-30b. Reactivity Component Traces for EOEC LOF (LF.REAC.NSS.FCI25.CNT.C2320)

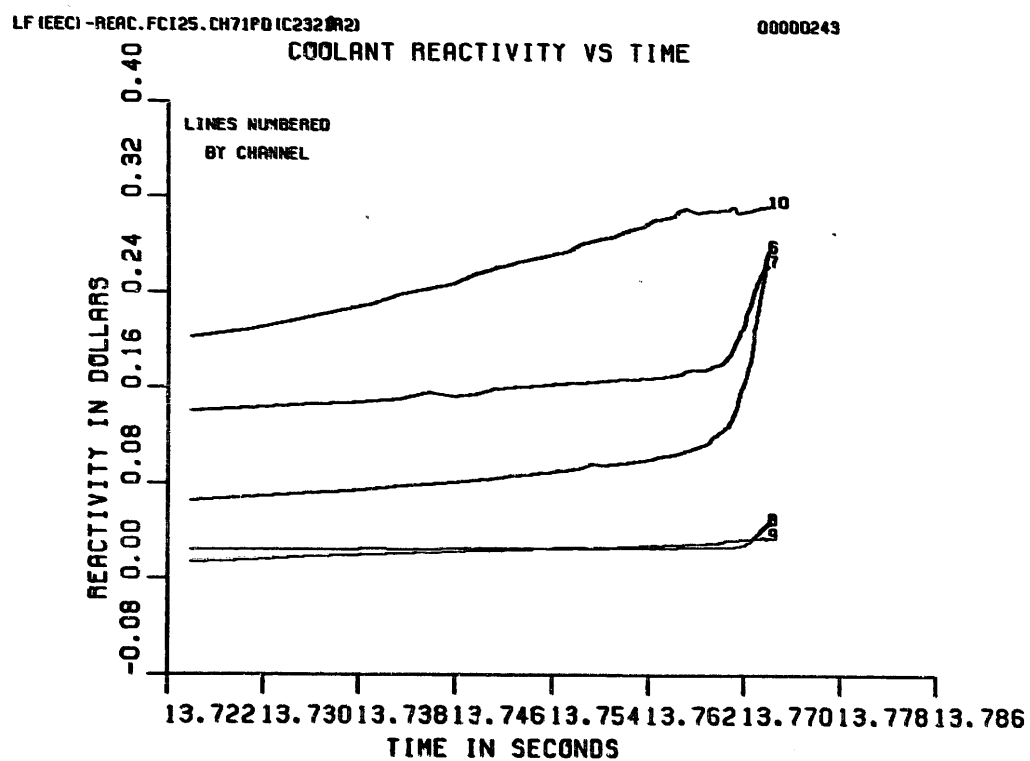
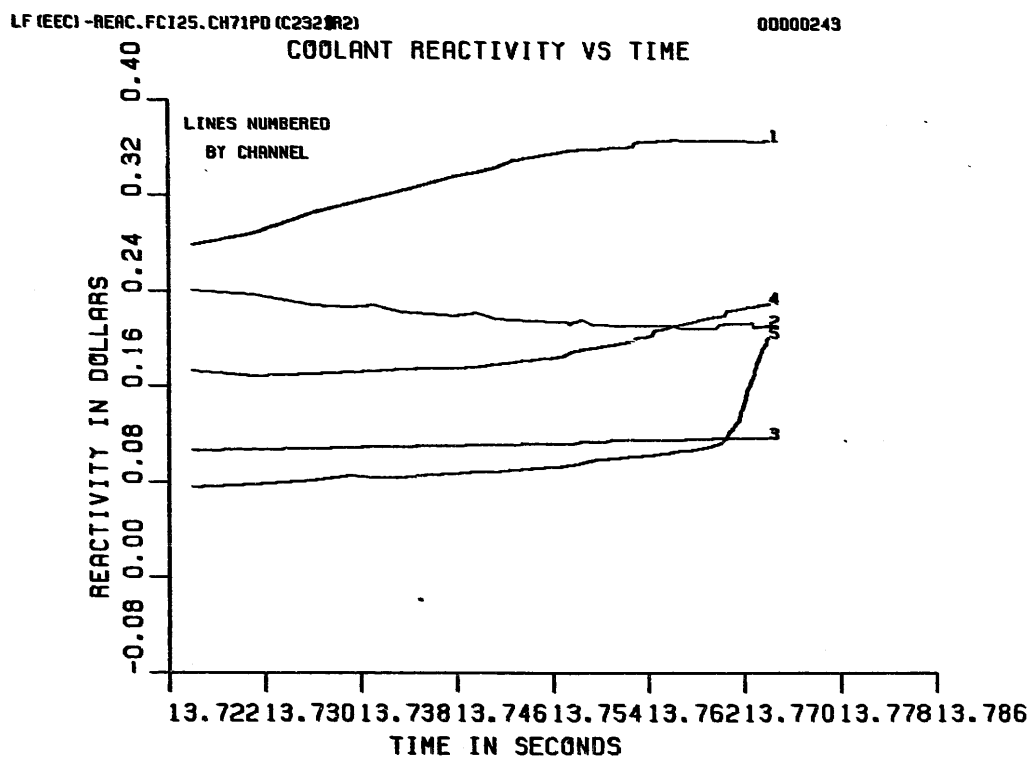


Figure 6.1-31a. Coolant Reactivity Traces by Channel for EOEC LOF (LF.REAC.NSS.FCI25.CNT.C2320)

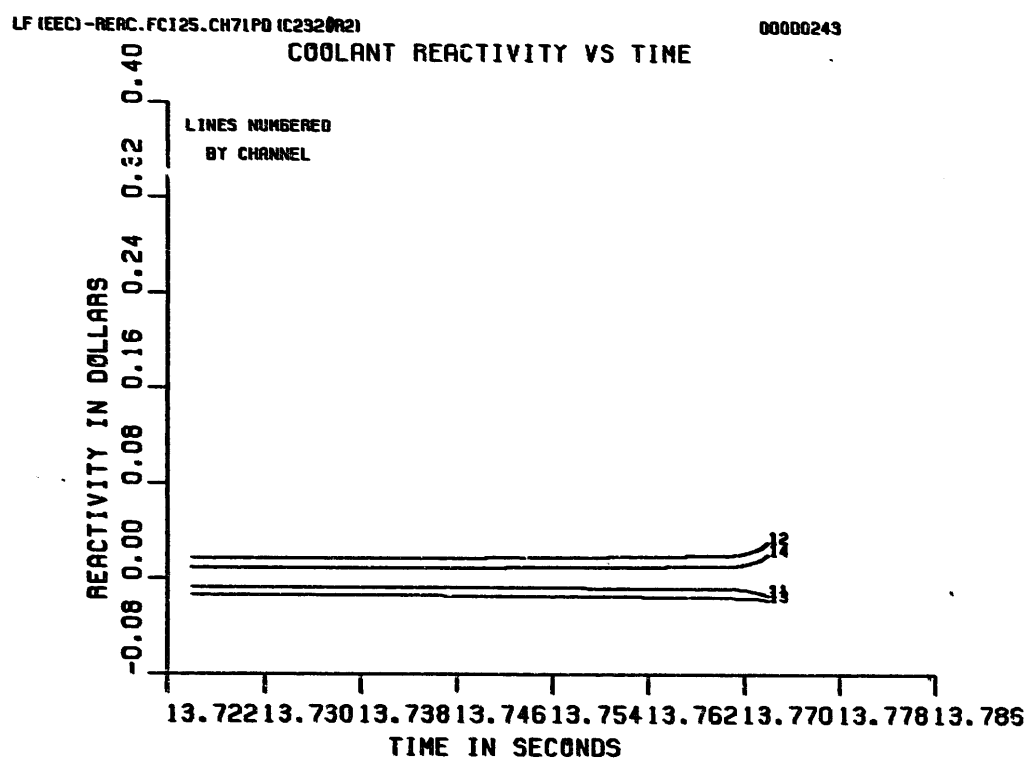


Figure 6.1-31a. (Cont.)

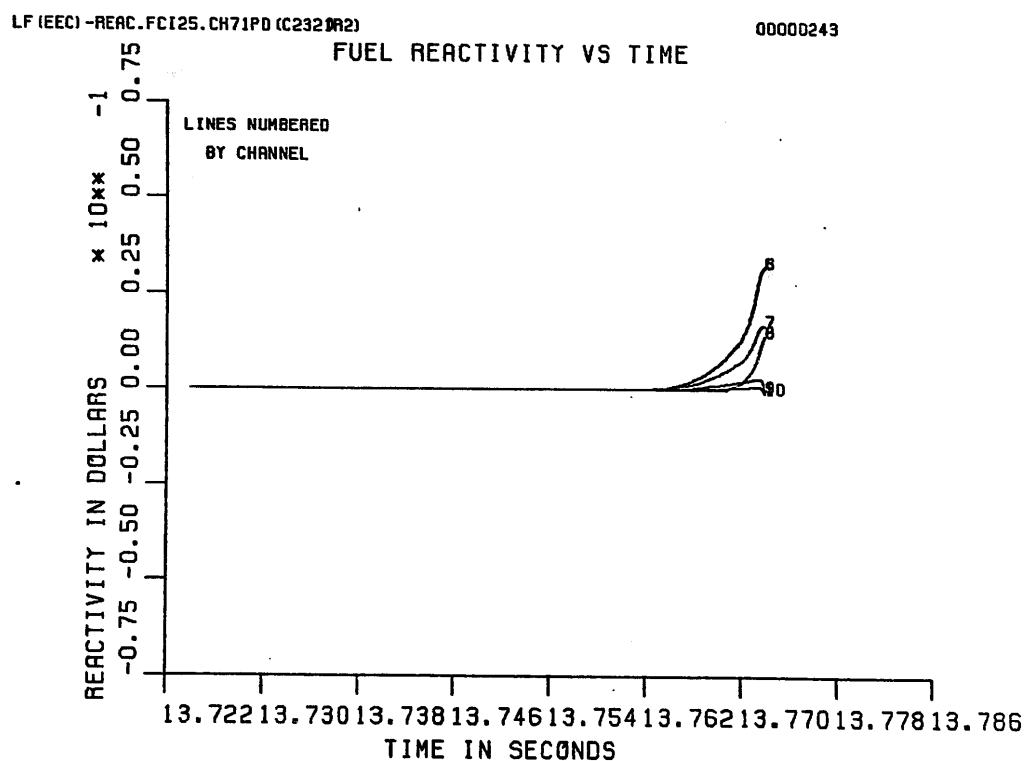
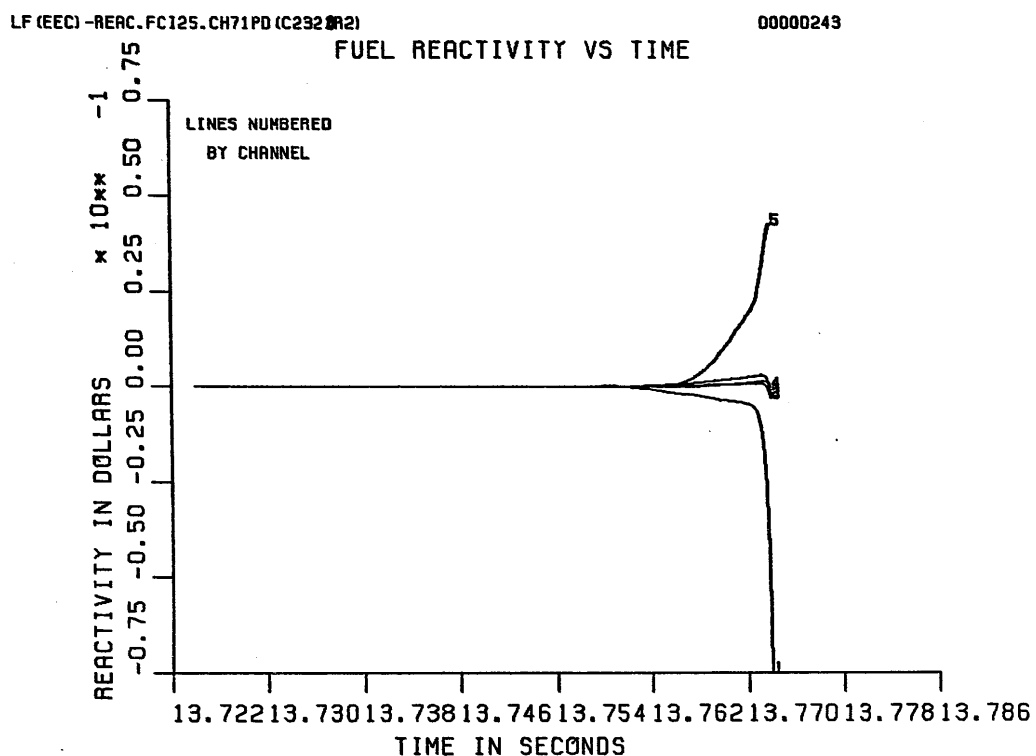


Figure 6.1-31b. Fuel Motion Reactivity Traces by Channel for EOEC LOF (LF.REAC.NSS.FCI25.CNT.C2320)

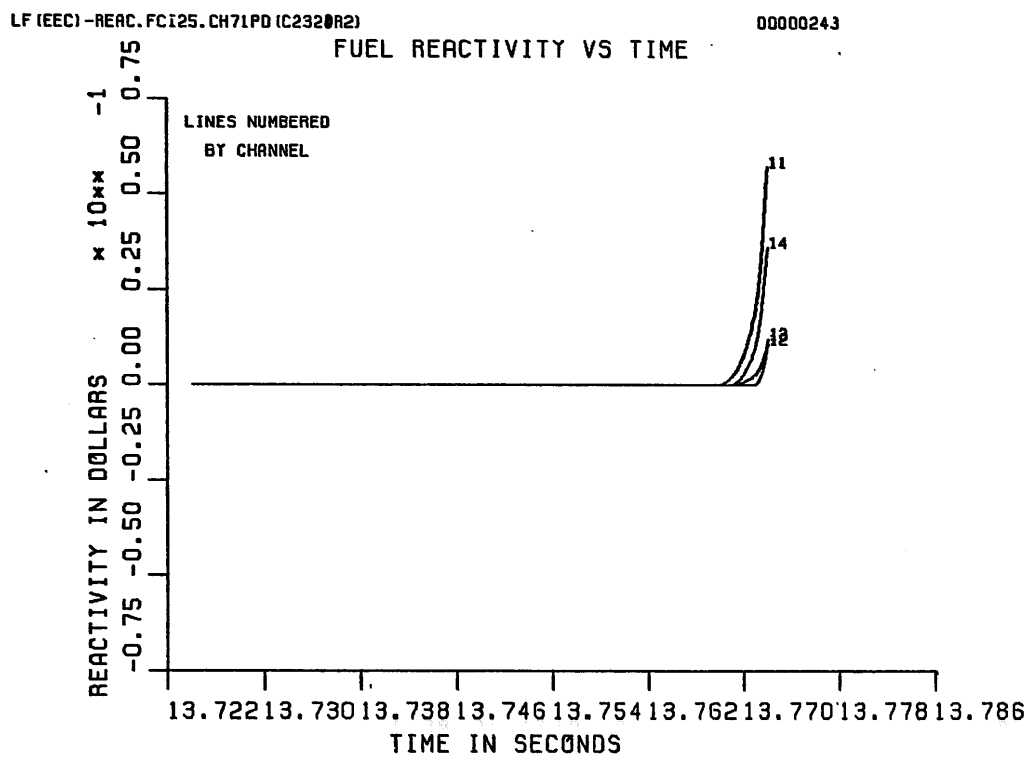


Figure 6.1-31b. (Cont.)

(EOEC)-REAC.NSS.FCI25.CH7N.C2320R1

00000243

POWER + REACTIVITY VS TIME

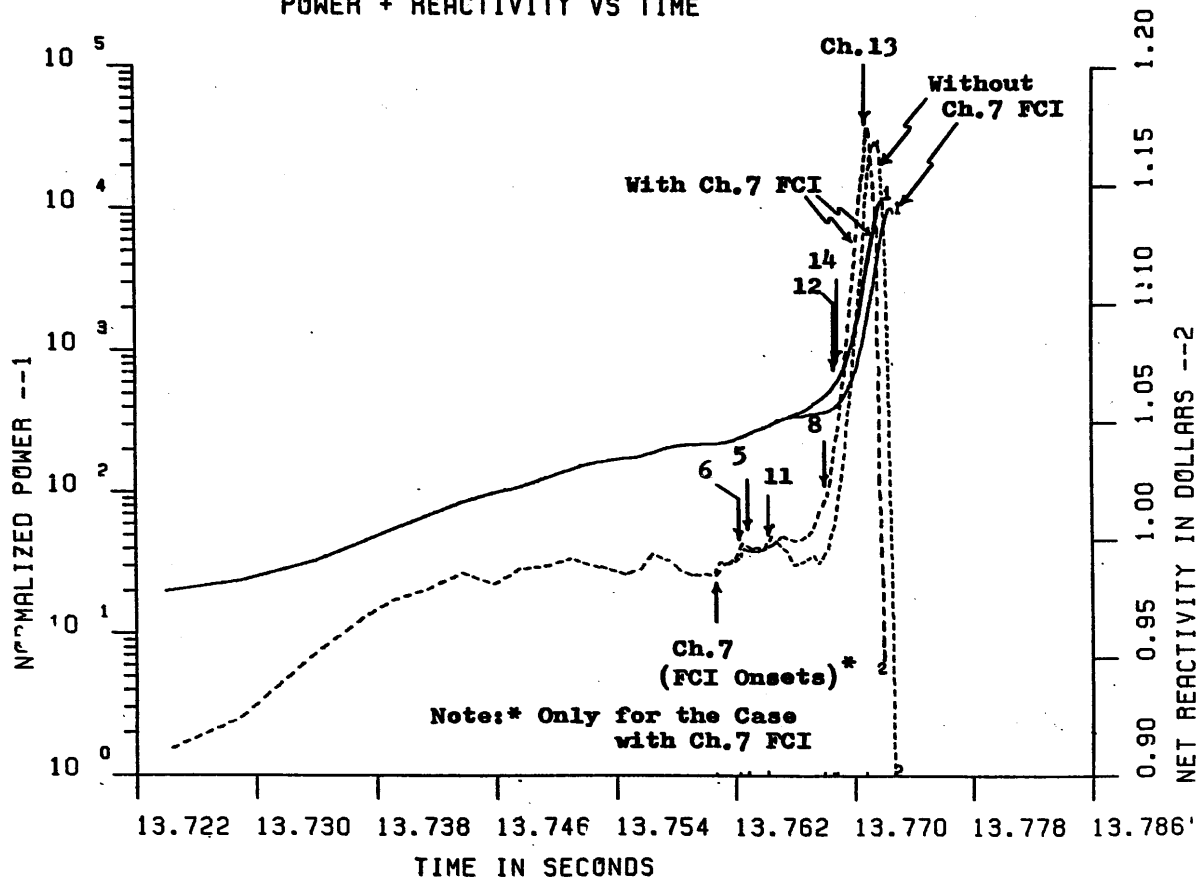
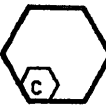
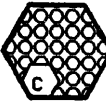
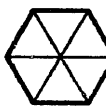


Figure 6.1-32. Power and Reactivity Traces during Superprompt Critical Power Burst in EOEC LOF
(LF.REAC.NSS.FCI25.CNT,C2320)

-  : UNVOIDED CHANNEL
-  : BOILING CHANNEL
-  : FUEL SLUMPING CHANNEL WITH BOILING
-  : FCI CHANNEL
-  : FCI CHANNEL WITH PARTIAL BOILING
-  : CONTROL ROD

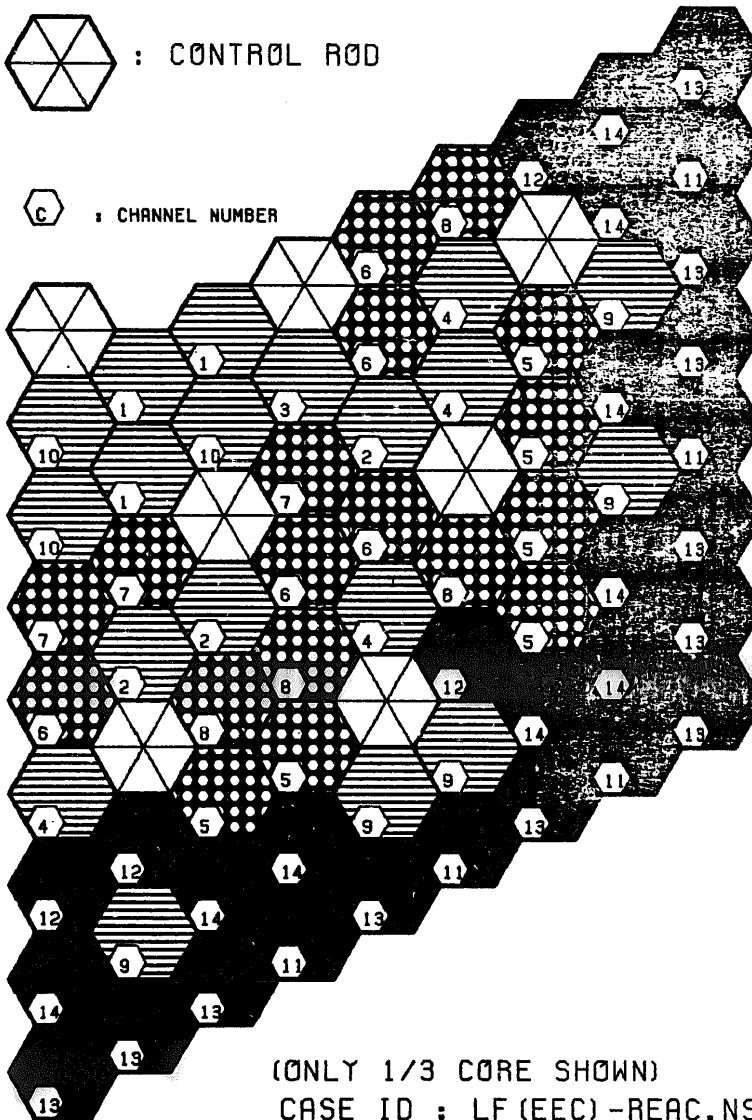
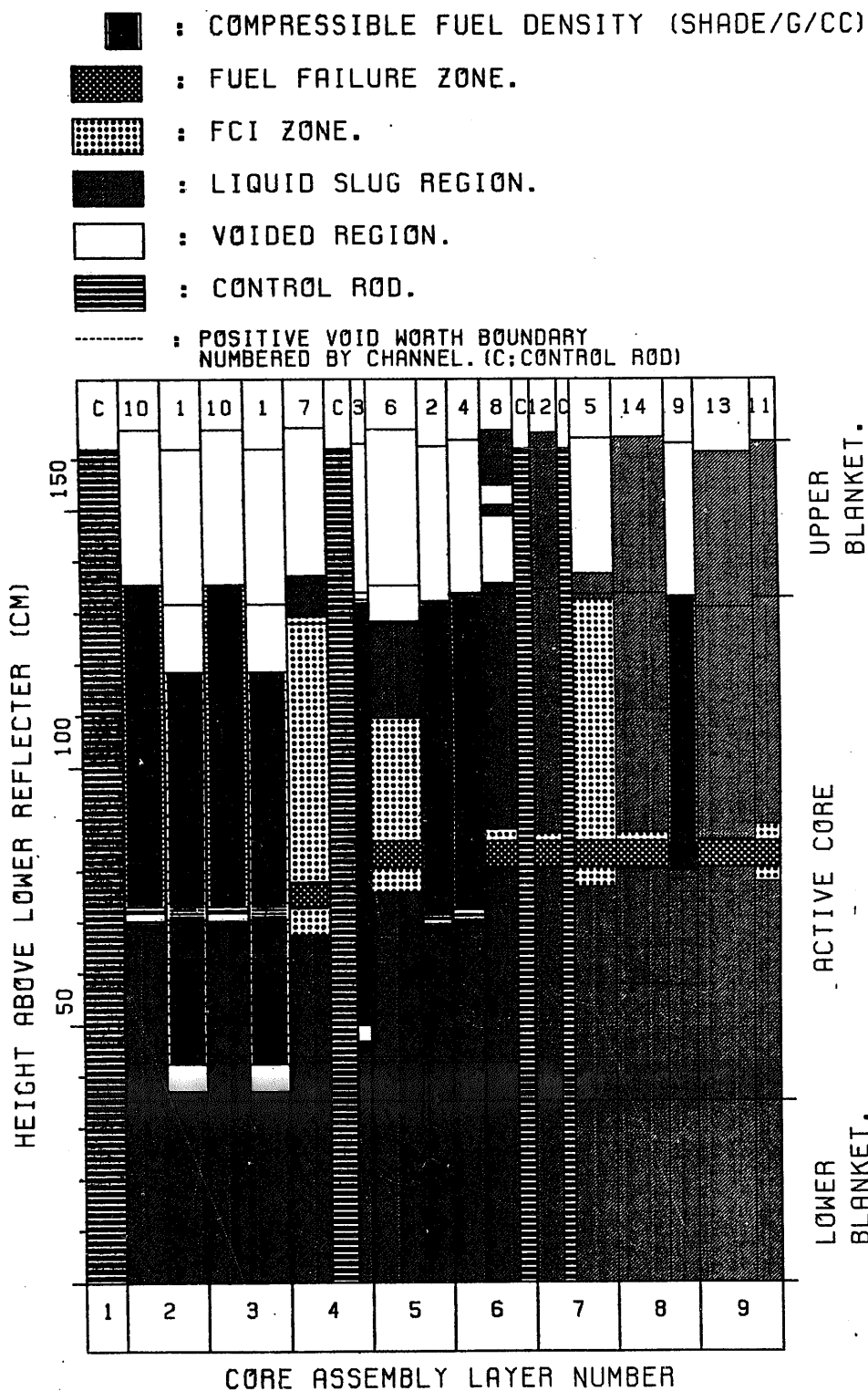


Figure 6.1-33a. Core State at the End of Initiating Phase



LF(EEC)-REAC.NSS.FCI25.CNT.**C2320**
 TIME =13.77183 (SEC) , STEP =620
 NET REACTIVITY =1.02576 (DOLLARS)

Figure 6.1-33b. Coolant Void and Compressible Fuel Density of SAS-Channels

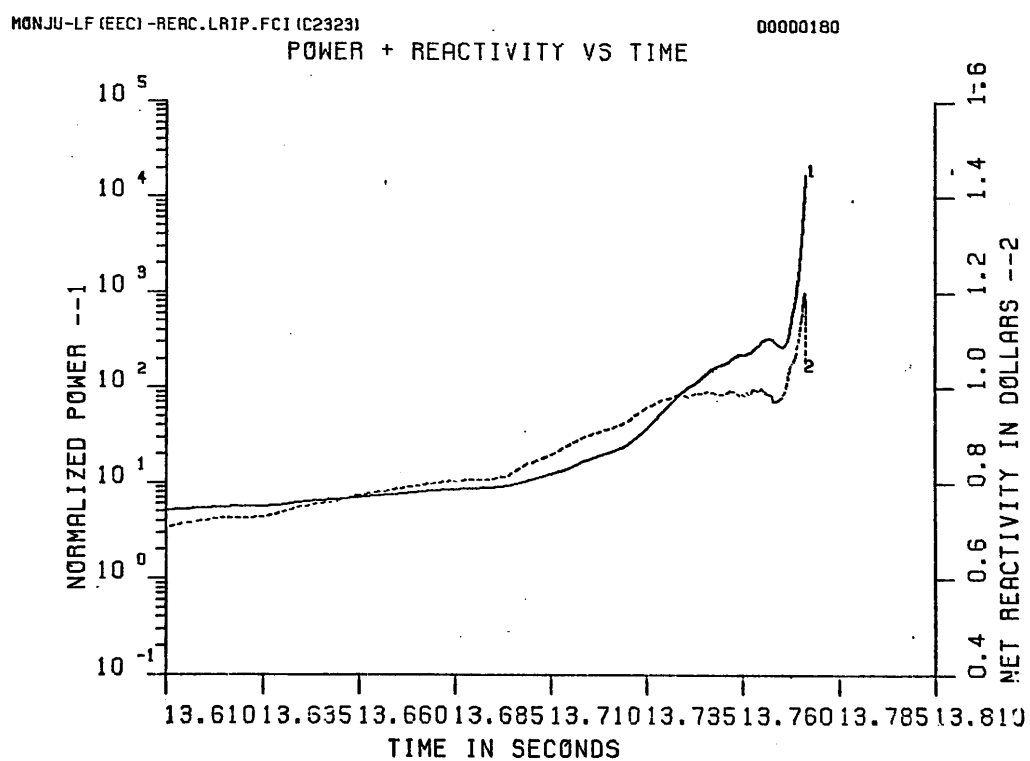
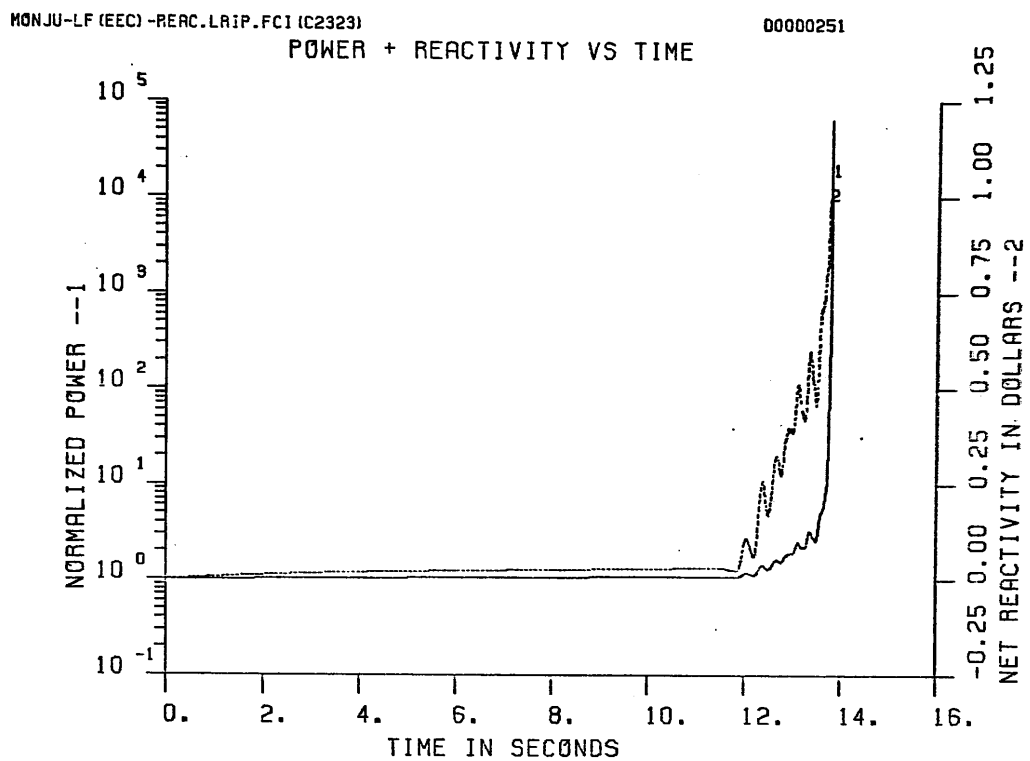
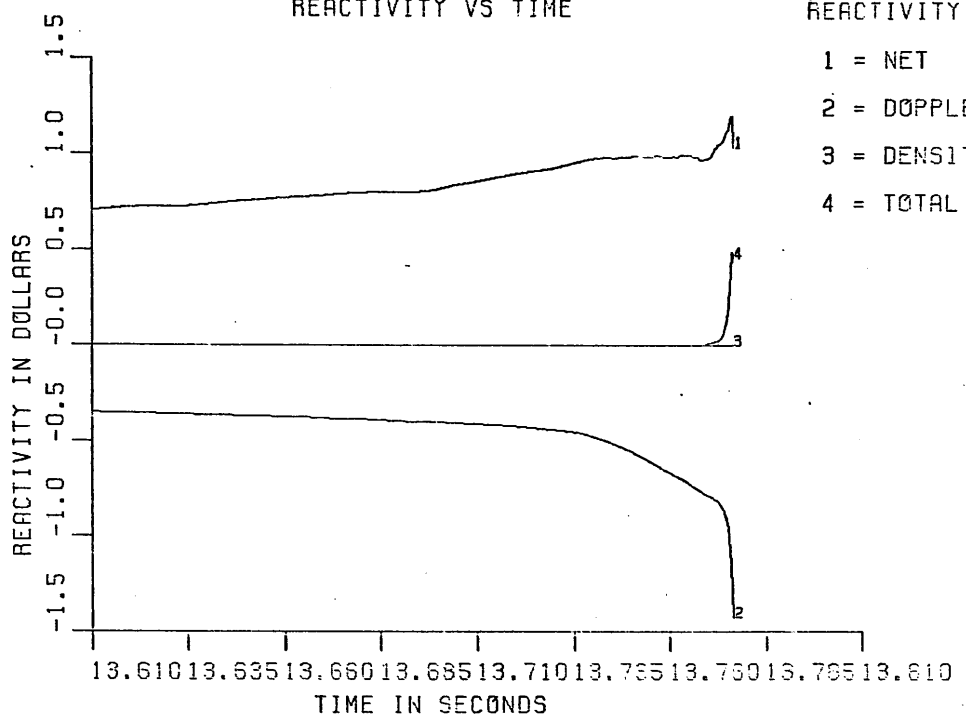


Figure 6.1-34. Power and Reactivity Traces for EOEC LOF (LF.REAC.LRIP.FCI.C2323)

MONJU-LF (EEC) - REAC.LRIP.FCI (C2323)

00000180

REACTIVITY VS TIME



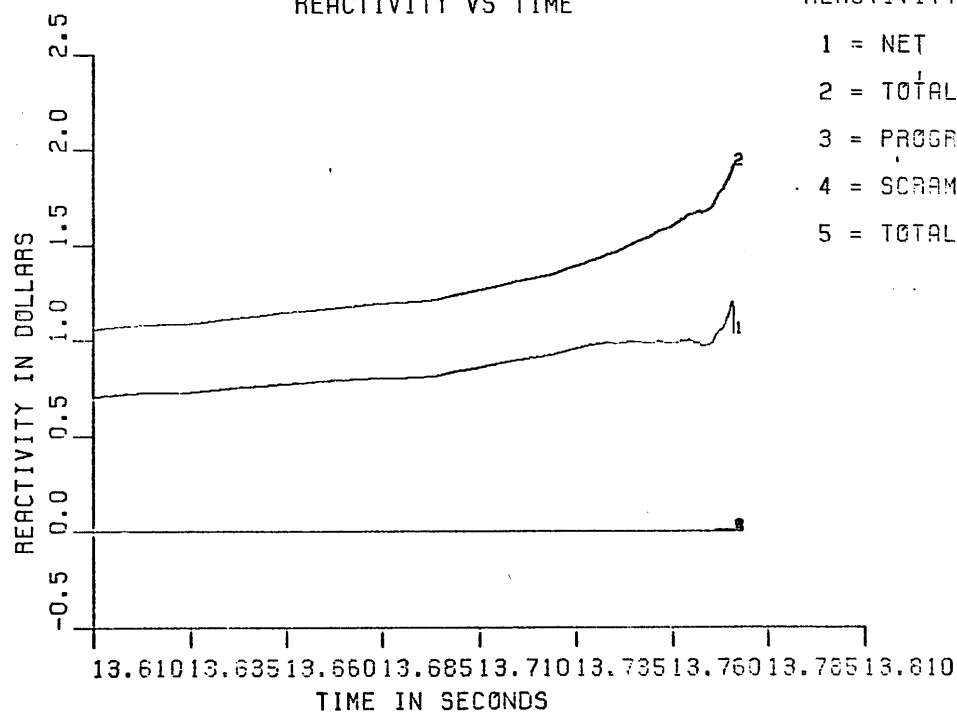
REACTIVITY IN DOLLARS

- 1 = NET
- 2 = DOPPLER
- 3 = DENSITY
- 4 = TOTAL FUEL

MONJU-LF (EEC) - REAC.LRIP.FCI (C2323)

00000180

REACTIVITY VS TIME



REACTIVITY IN DOLLARS

- 1 = NET
- 2 = TOTAL COOLANT
- 3 = PROGRAMMED
- 4 = SCRAM
- 5 = TOTAL CLAD

Figure 6.1.35. Reactivity Component Traces for EOEC LOF (LF.REAC.LRIP.FCI.C2323)

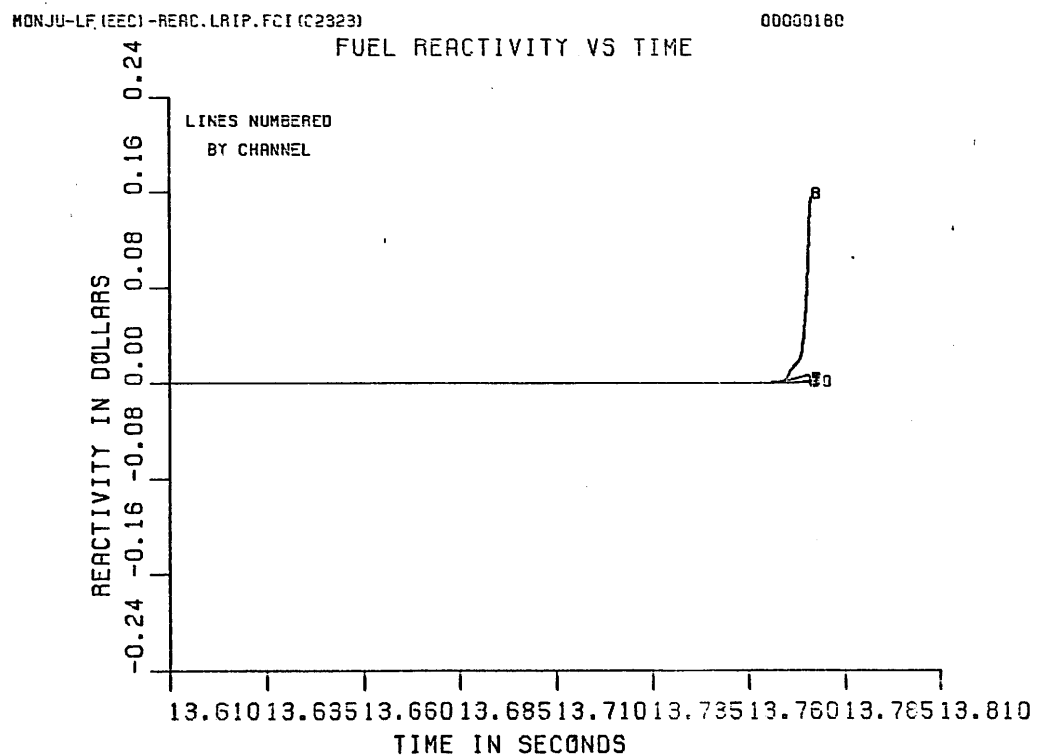
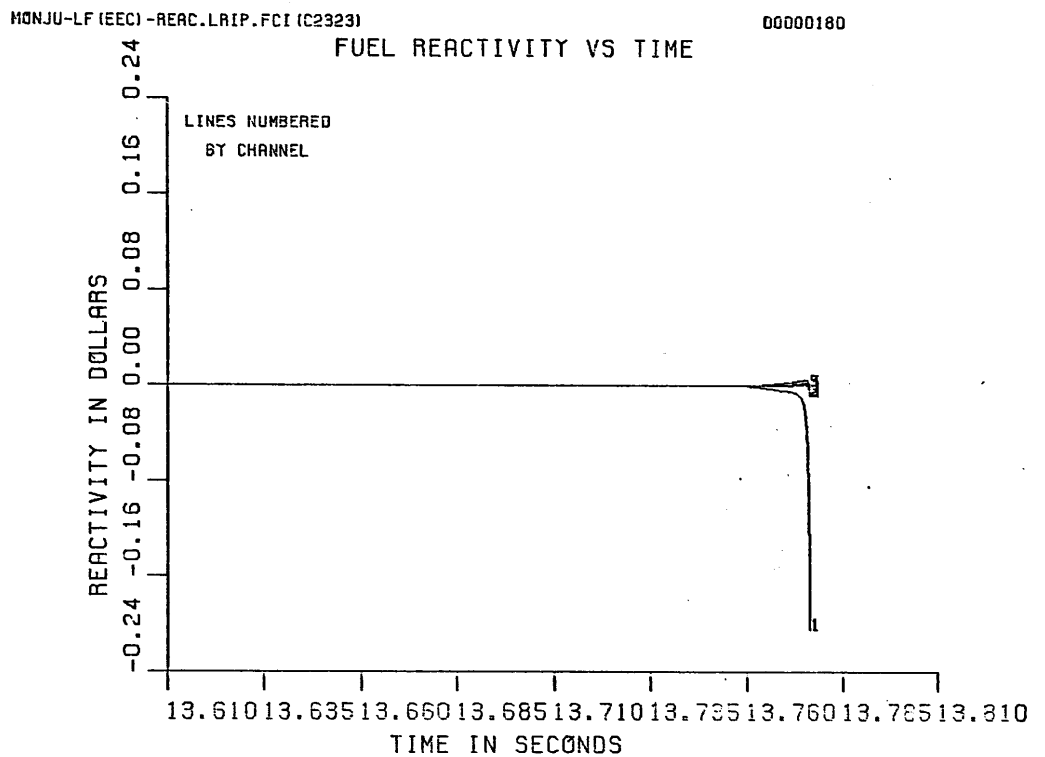


Figure 6.1-36. Fuel Motion Reactivity Traces by Channel for EOEC LOF (LF.REAC.LRIP.FCI.C2323)

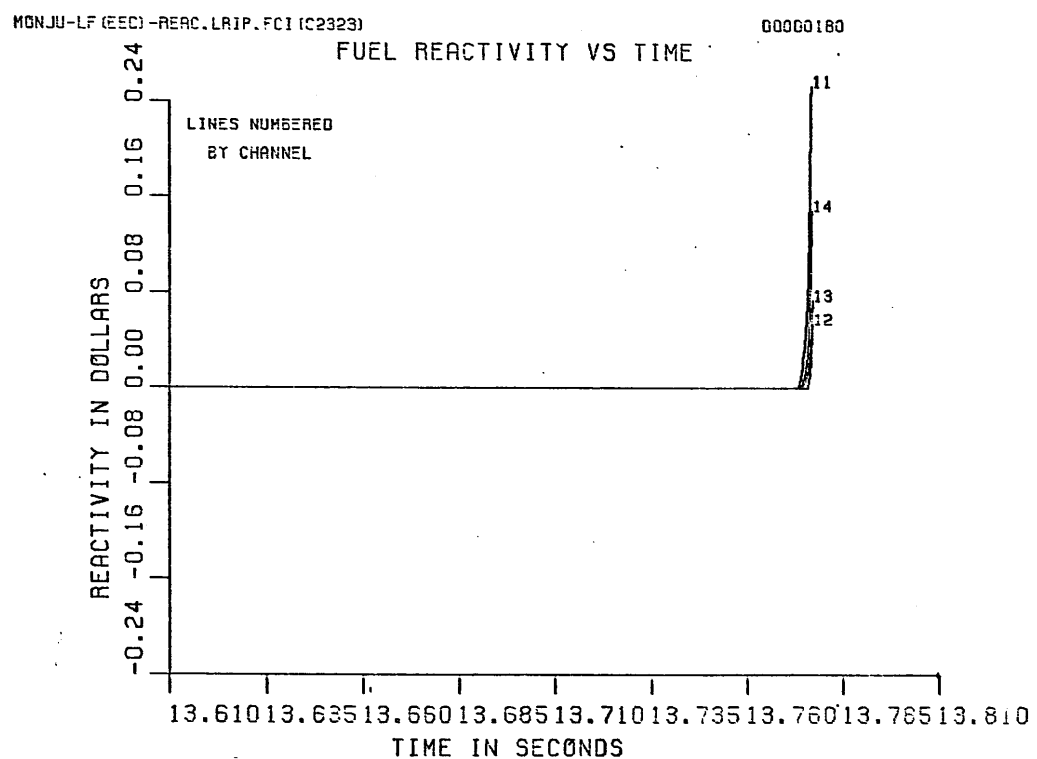


Figure 6.1-36. (Cont.)

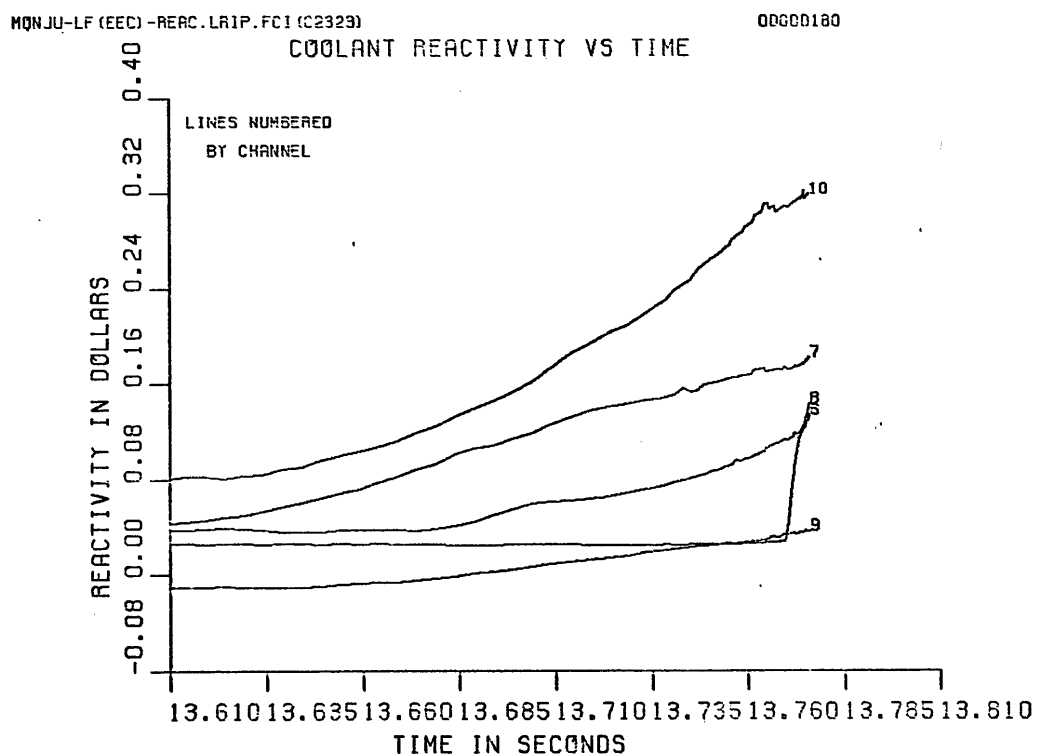
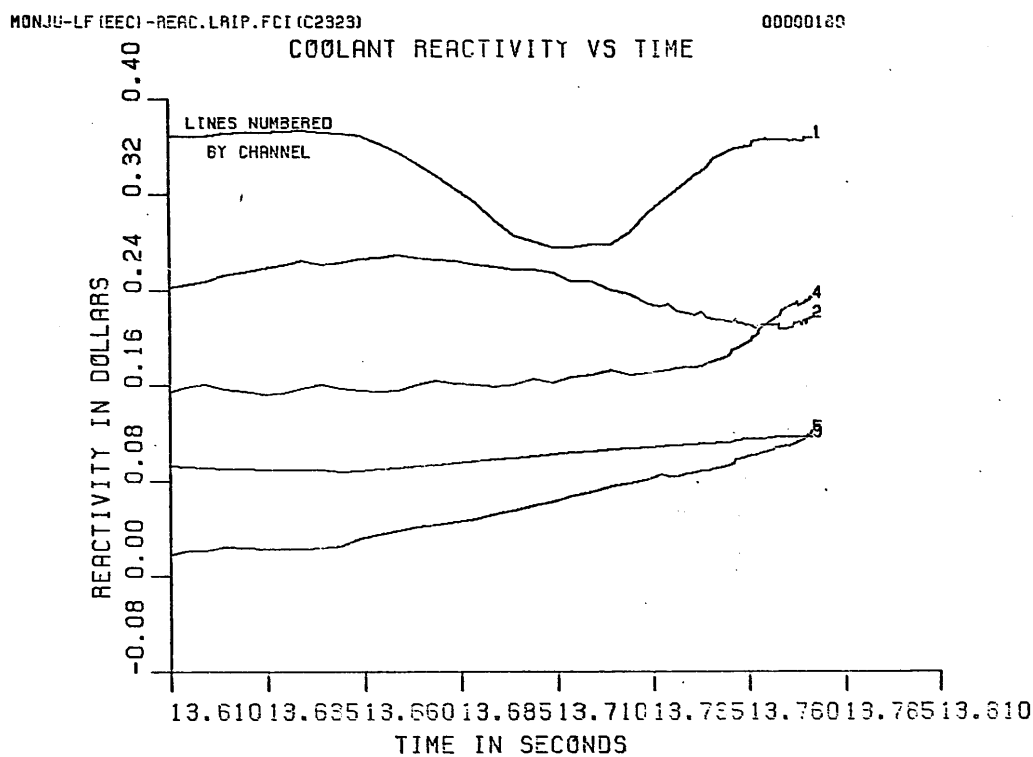


Figure 6.1-37. Coolant Reactivity Traces by Channel for EOEC LOF (LF.REAC.LRIP.FCI.C2323)

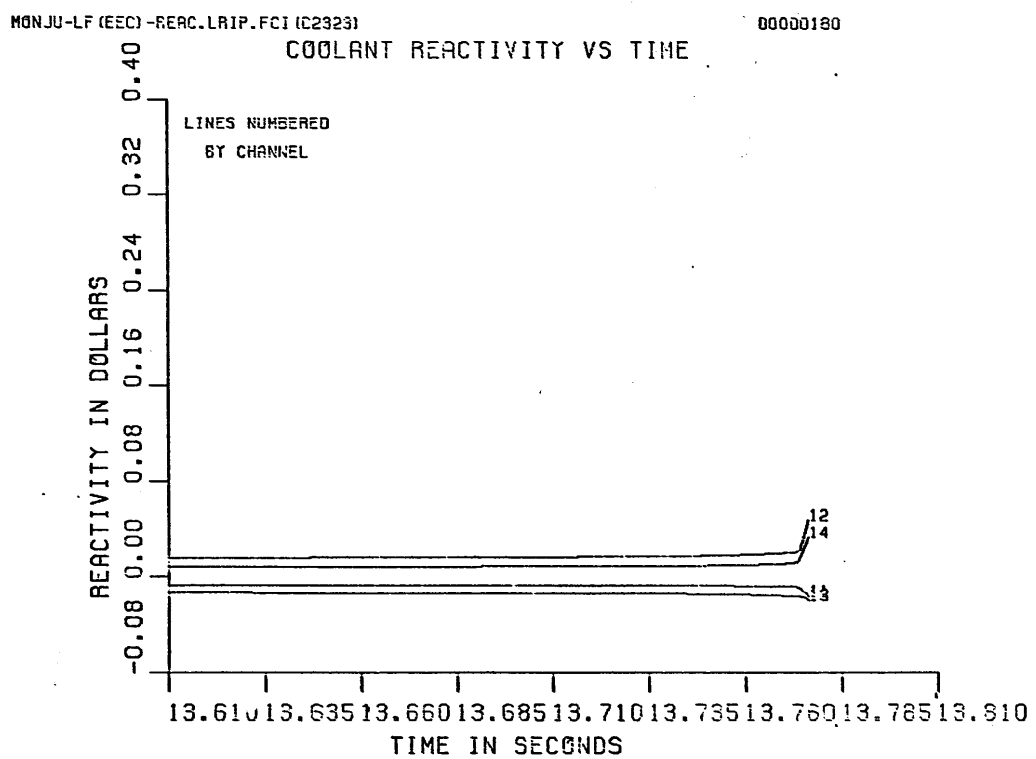


Figure 6.1-37. (Cont.)

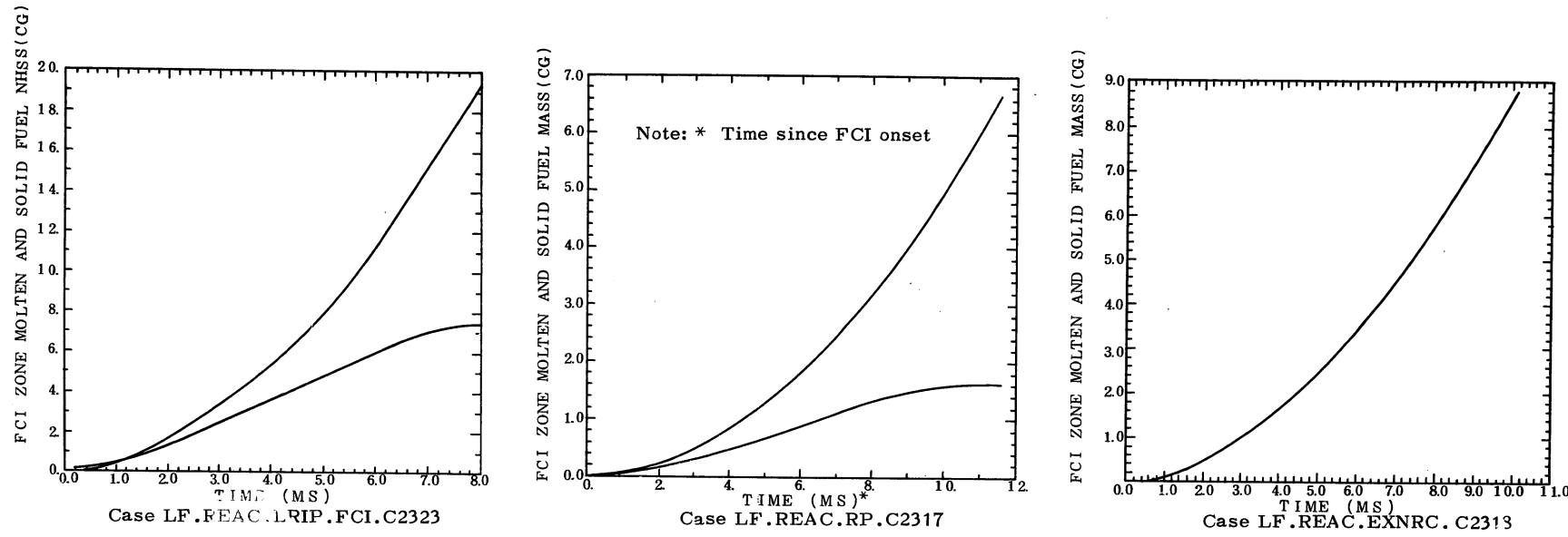


Figure 6.1-38. Comparison of FCI Zone Fuel Mass in Channel-8 among Cases LRIP.FCI, RP, and EXNRC

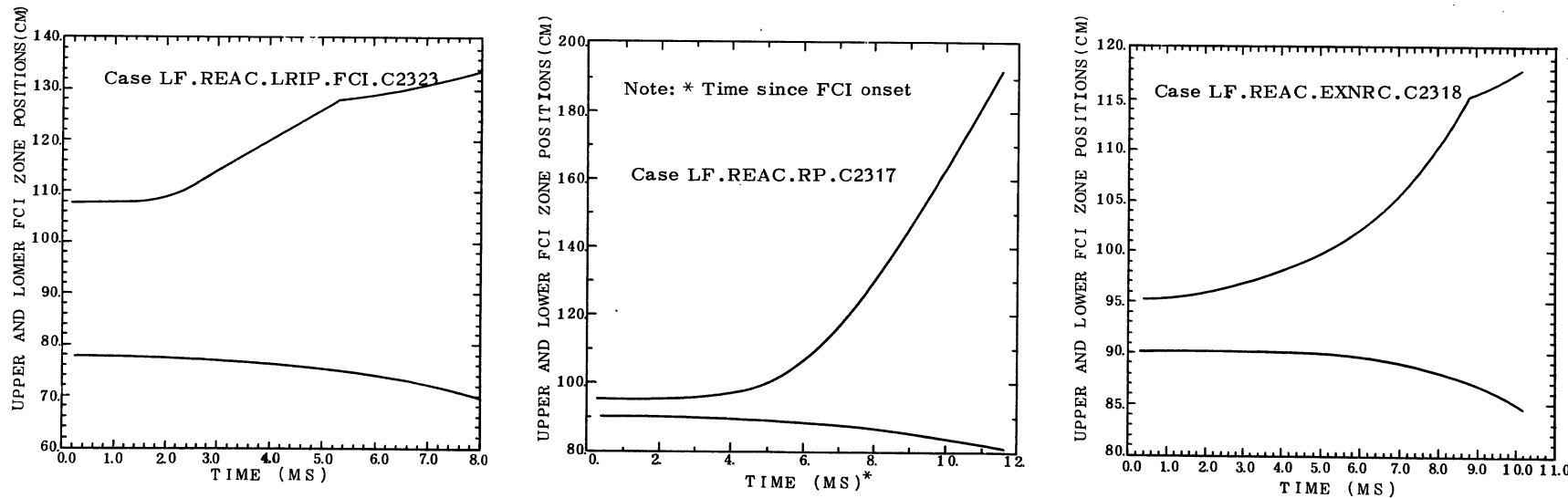


Figure 6.1-39. Comparison of FCI Zone Growth in Channel-8 among Cases LRIP.FCI, RP, and EXNRC

581-1-9

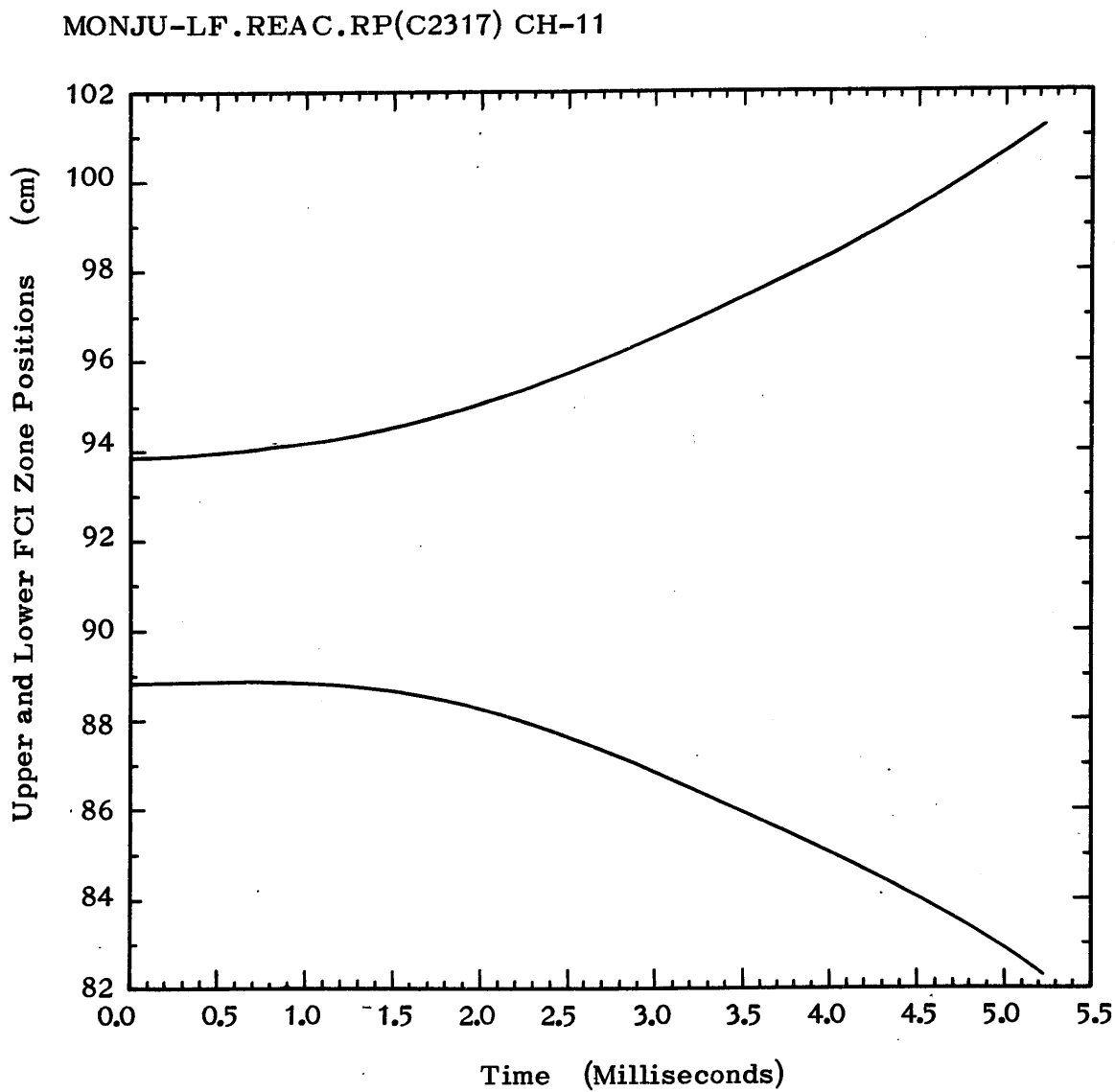
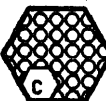


Figure 6.1-40 FCI Zone Growth in Channel-11 for EOEC LOF
Case LF.REAC.RP.C2317

-  : UNVOIDED CHANNEL
-  : BOILING CHANNEL
-  : FUEL SLUMPING CHANNEL WITH BOILING
-  : FCI CHANNEL
-  : FCI CHANNEL WITH PARTIAL BOILING
-  : CONTROL ROD

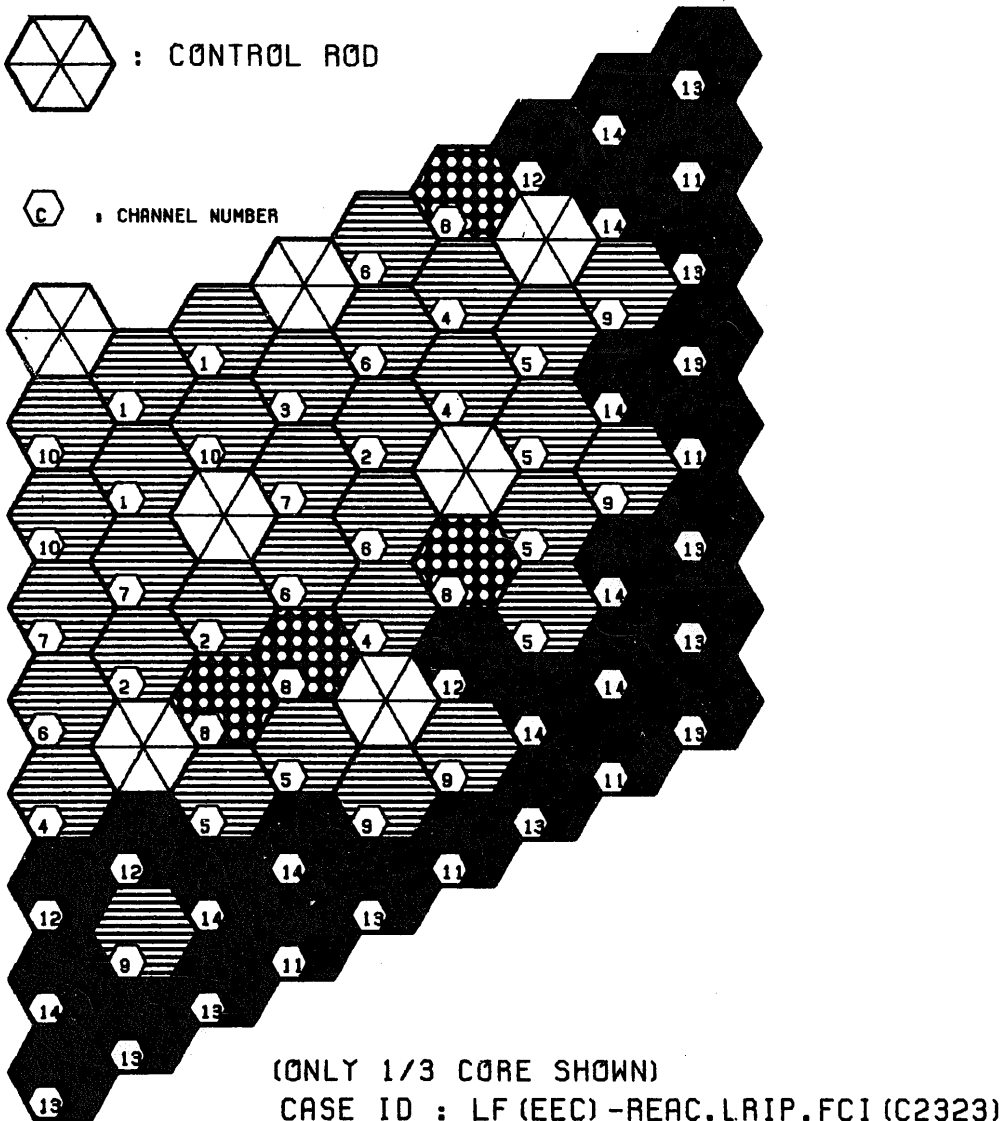


Figure 6.1-41. Core State at the End of Initiating Phase

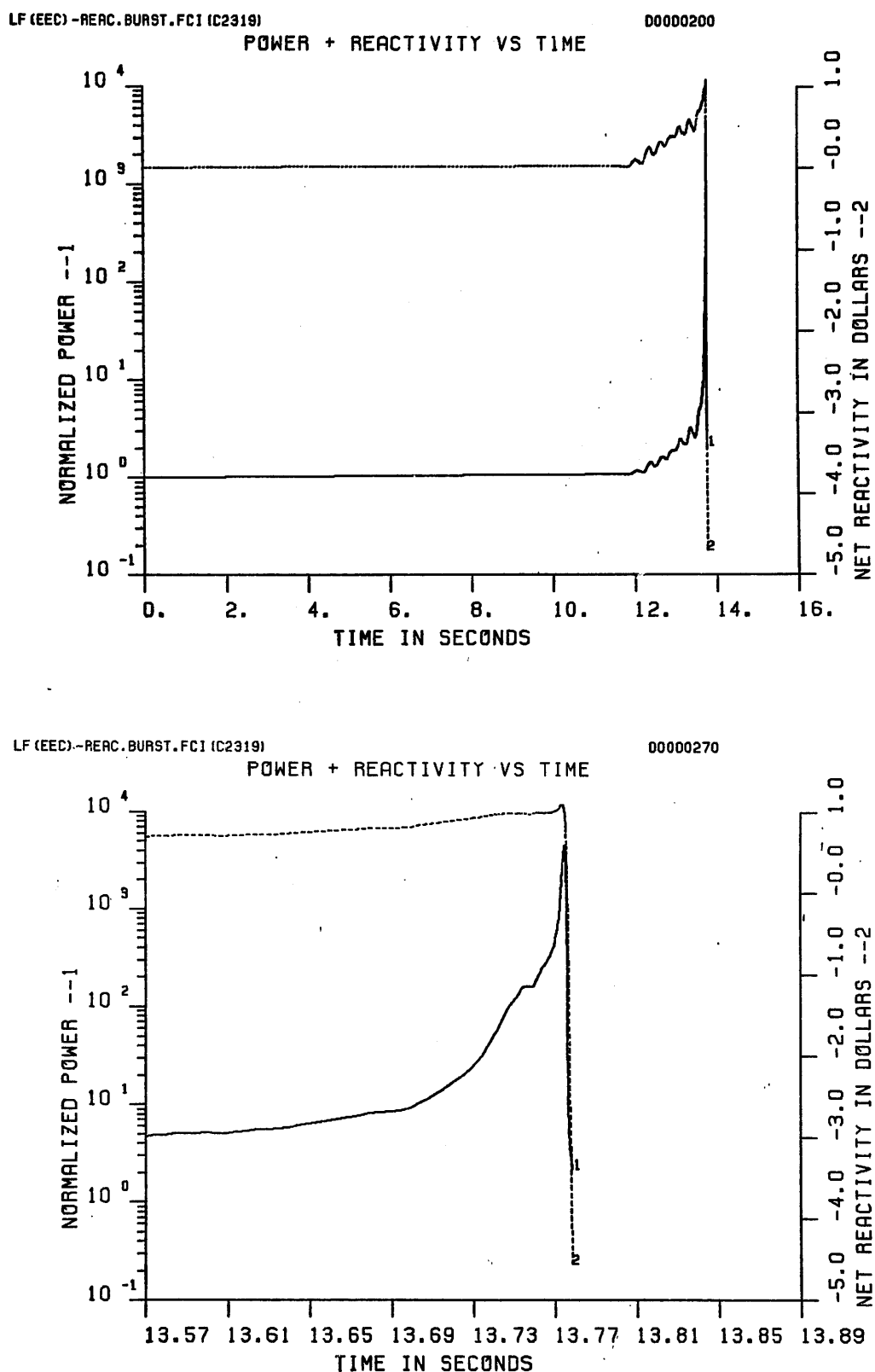


Figure 6.1-42. Power and Reactivity Traces for EOEC LOF (LF.REAC.BURST.FCI.C2319)

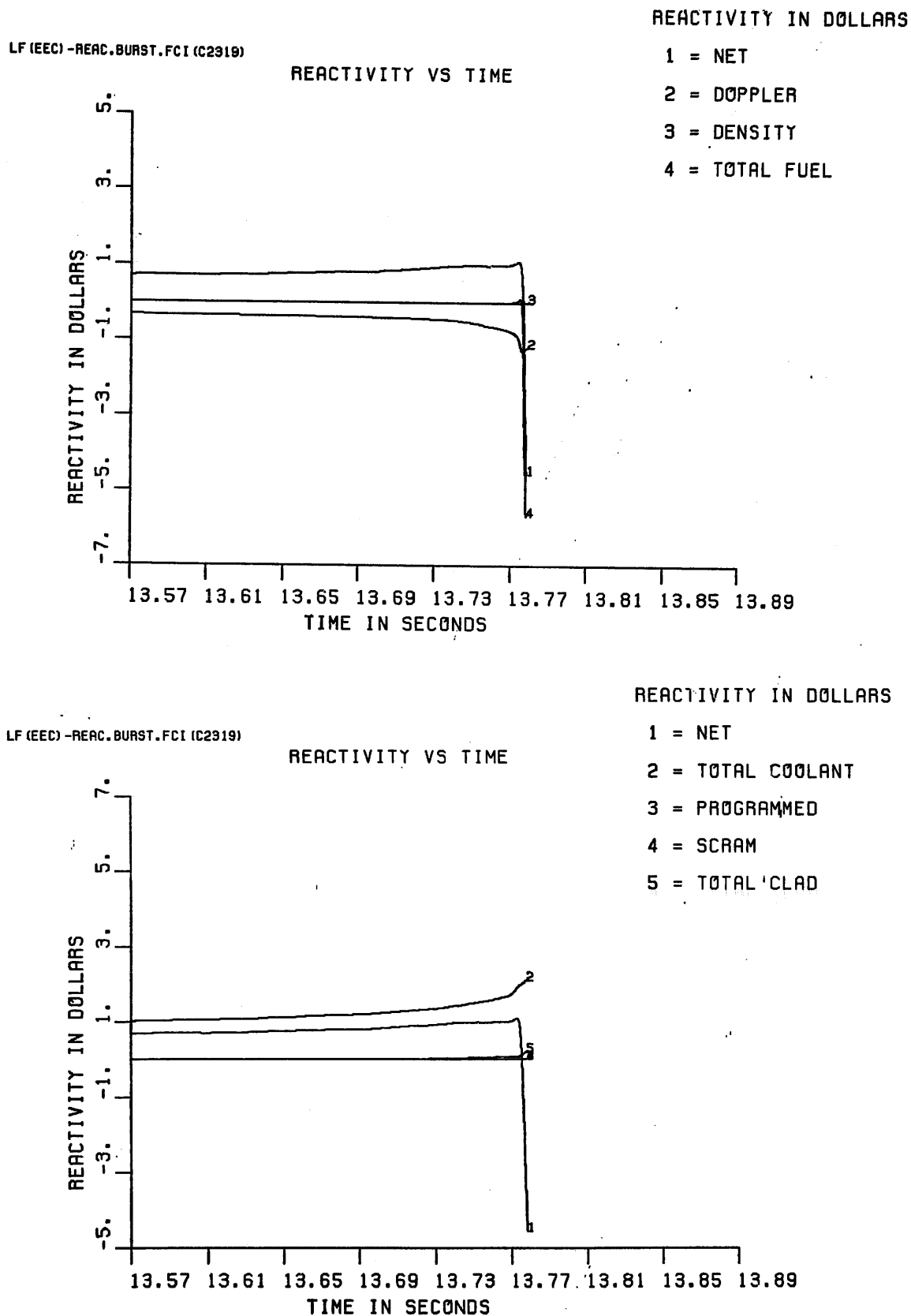


Figure 6.1-43. Reactivity Component Traces for EEC LOF
(LF.REAC.BURST.FCI.C2319)

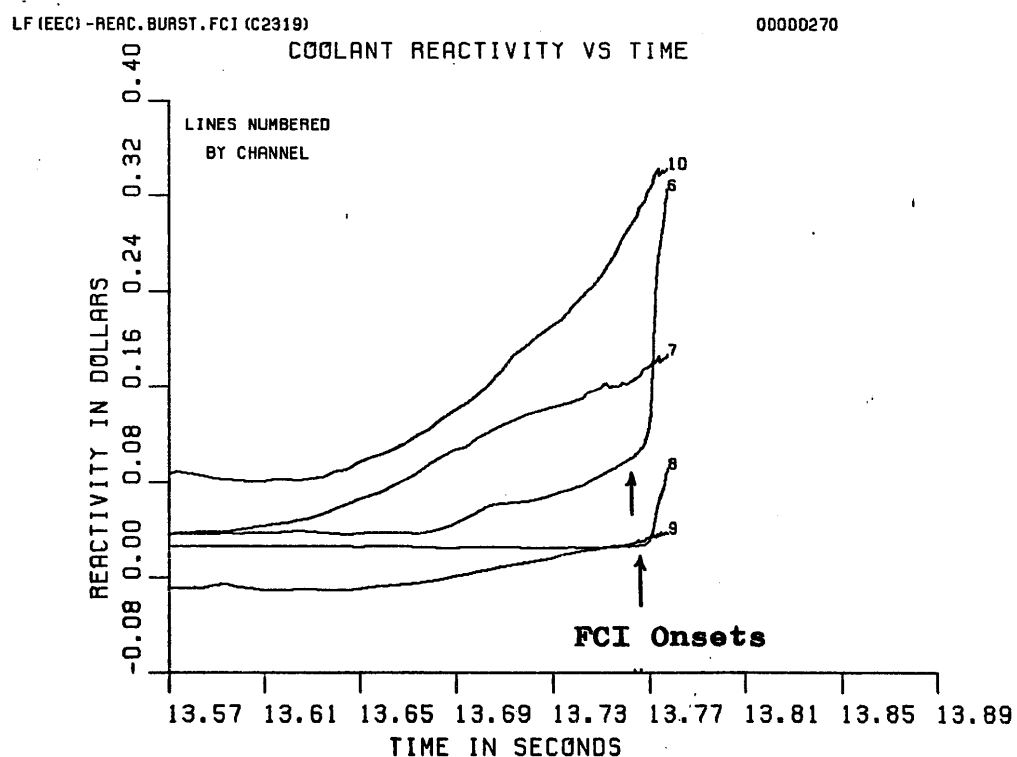
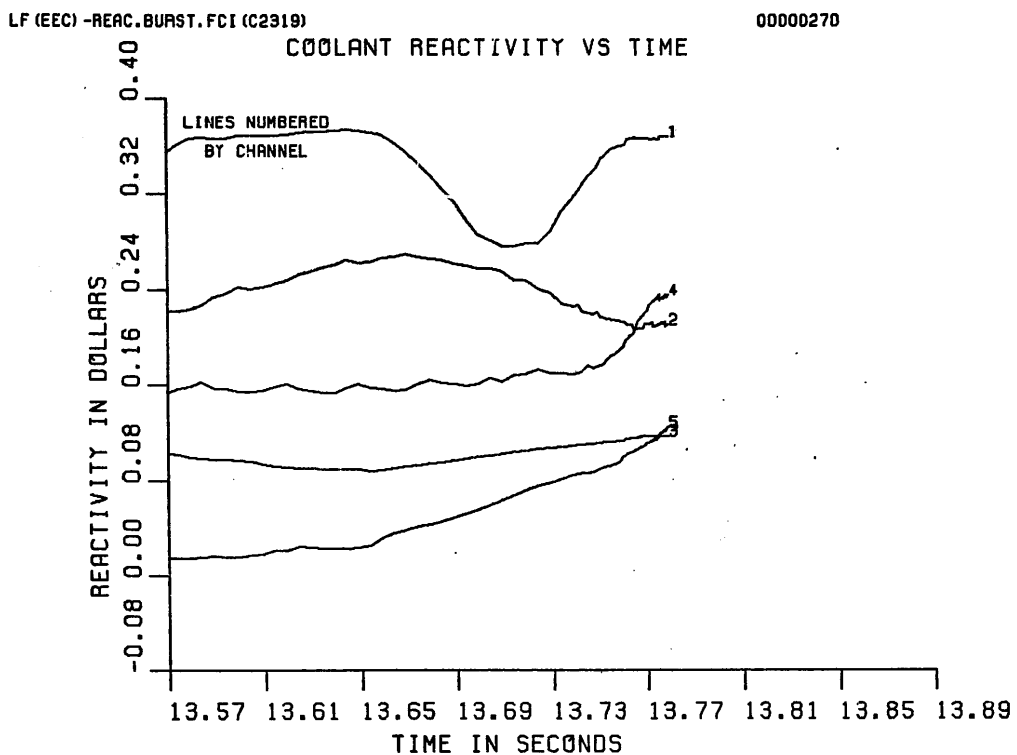


Figure 6.1-44. Coolant Reactivity Traces for EOEC LOF (LF.REAC.BURST.FCI.C2319)

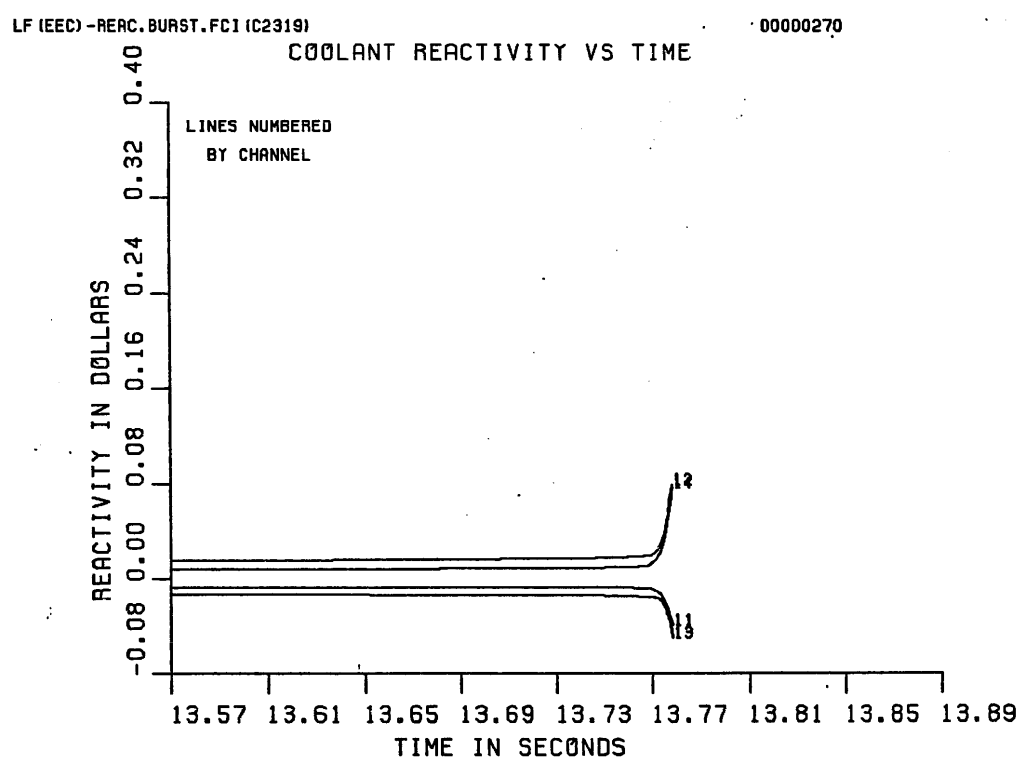


Figure 6.1-44. (Cont.)

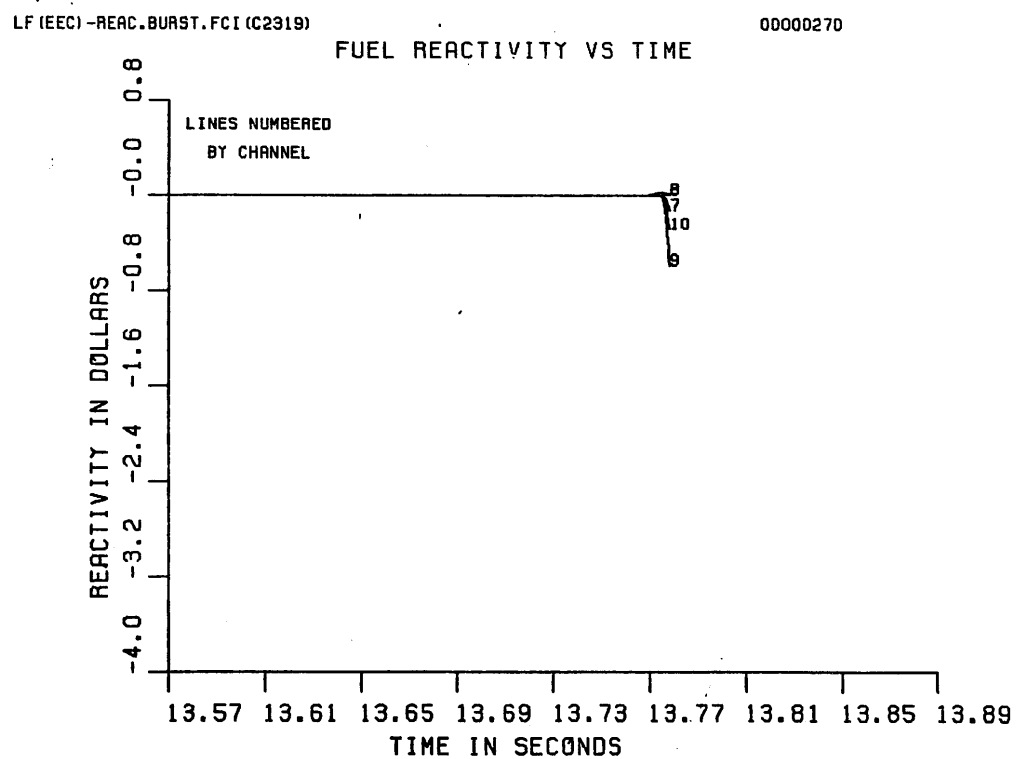
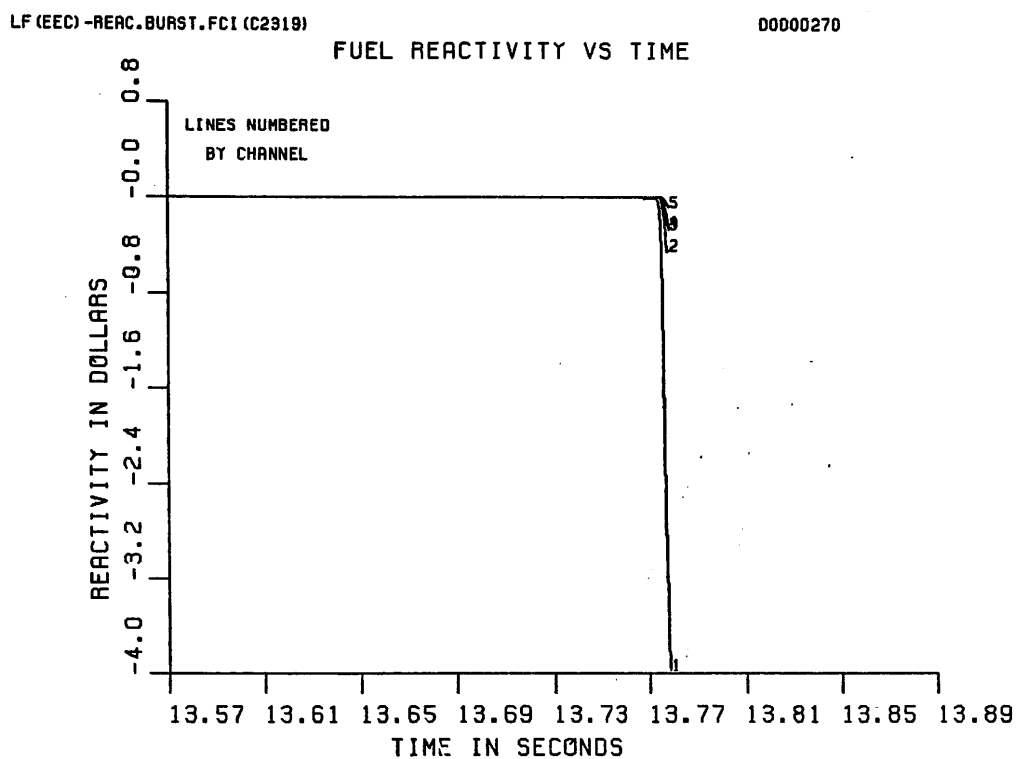


Figure 6.1-45. Fuel Motion Reactivity Traces by Channel for EOEC LOF (LF.REAC.BURST.FCI.C2319)

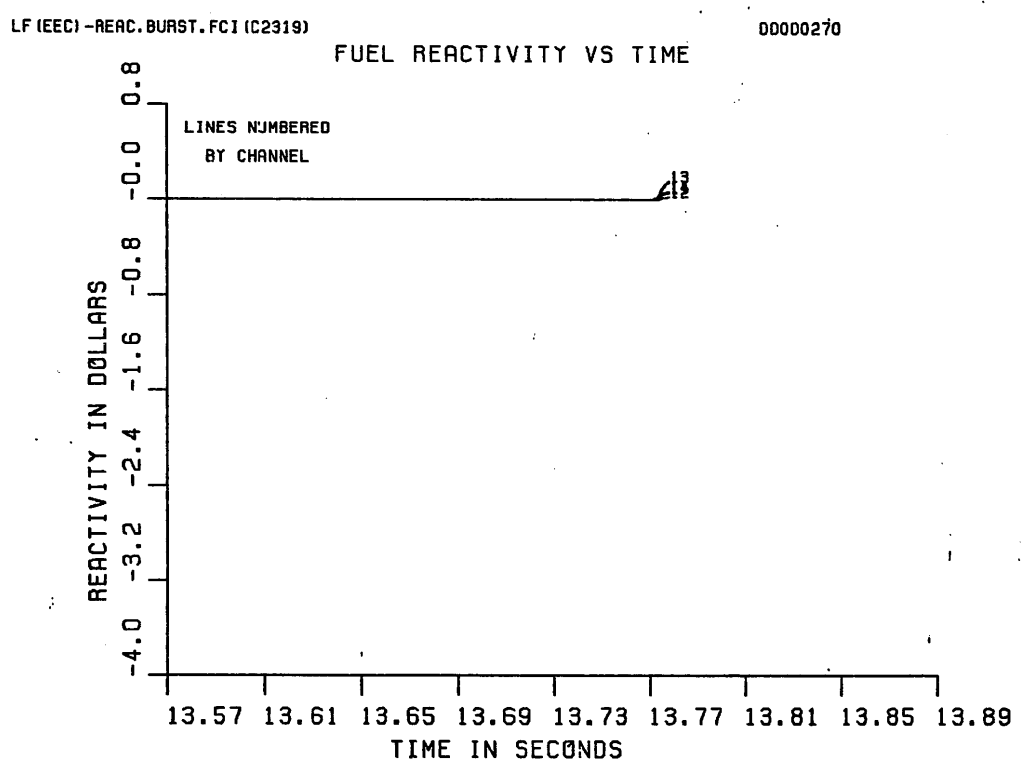


Figure 6.1-45. (Cont.)

61-9

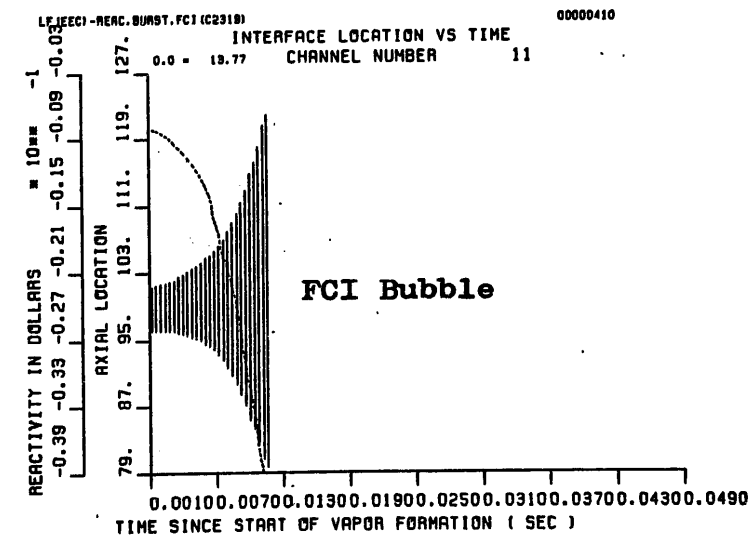
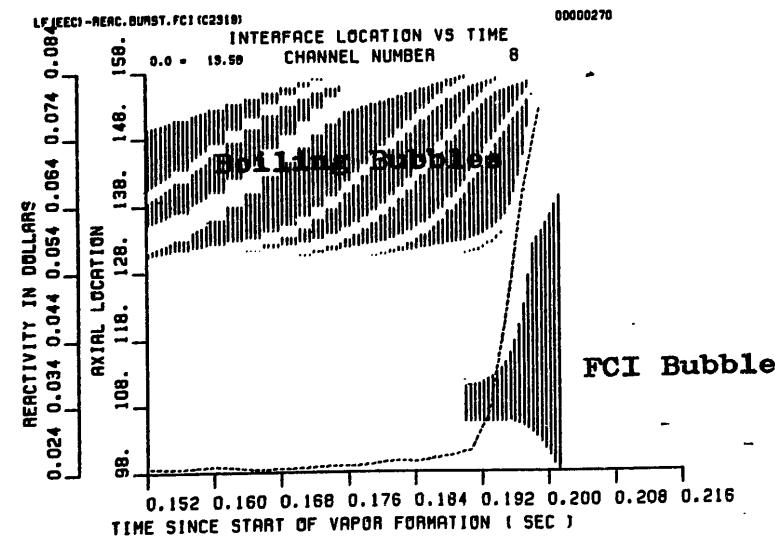
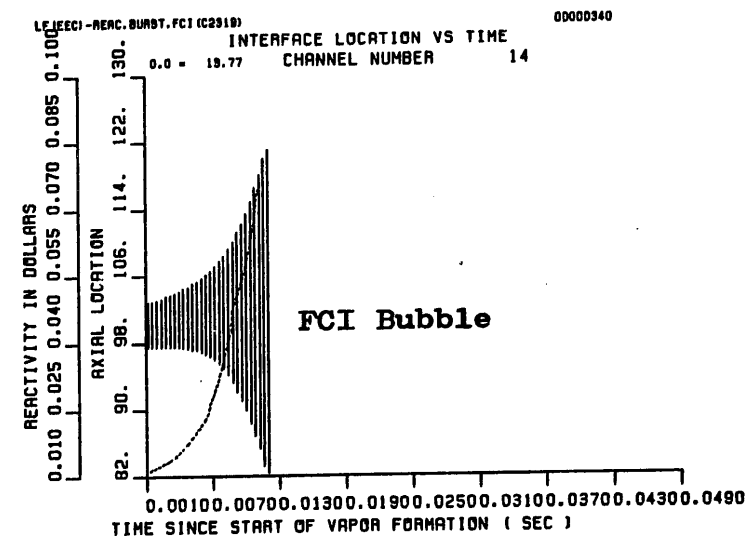
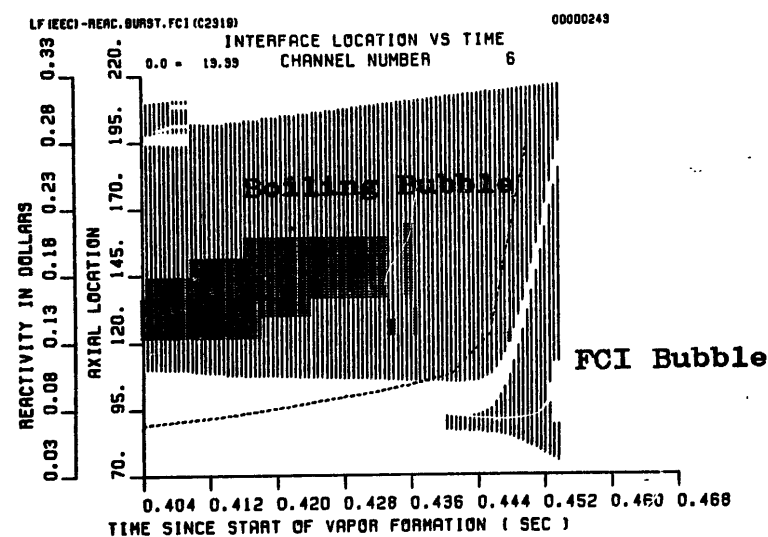


Figure 6.1-46a. Coolant Voidings due to FCI's in Partial Boiling Channels and in Preboiling Channels
(LF.REAC.BURST.FCI.C2319)

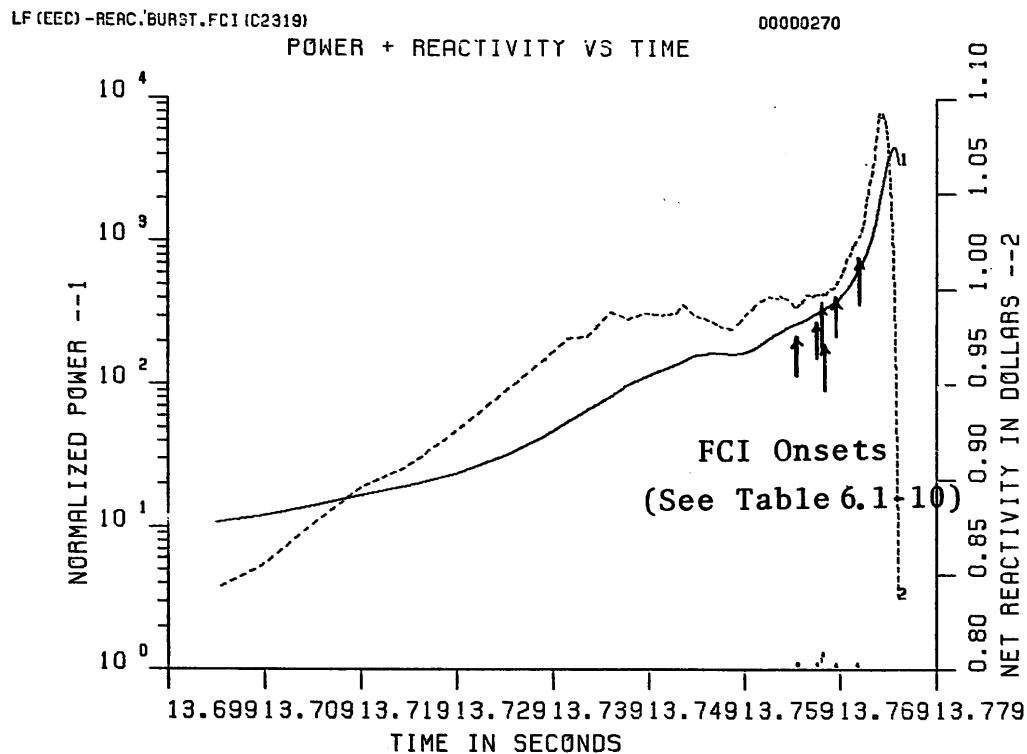


Figure 6.1-46b. Power and Reactivity Traces during Superprompt Power Burst in EOEC LOF
(LF.REAC.BURST.FCI.C2319)

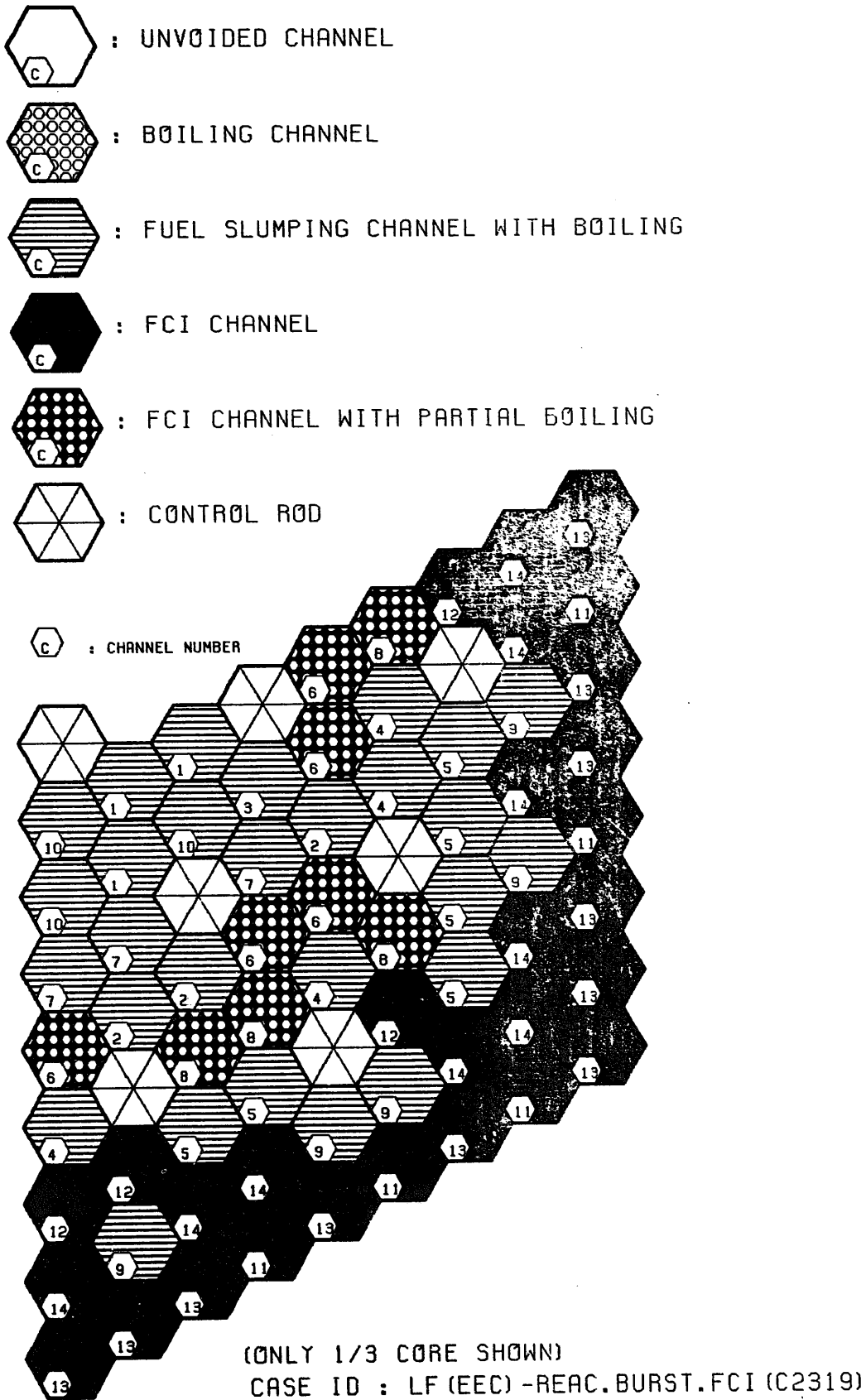


Figure 6.1-47. Core State at the End of Initiating Phase

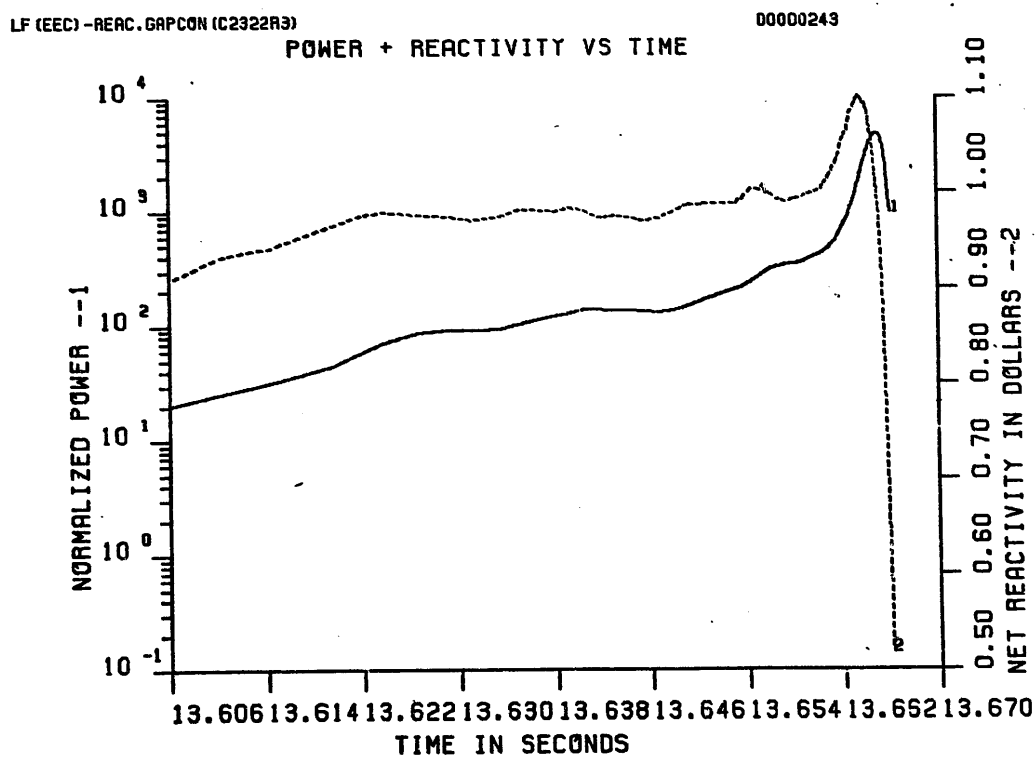
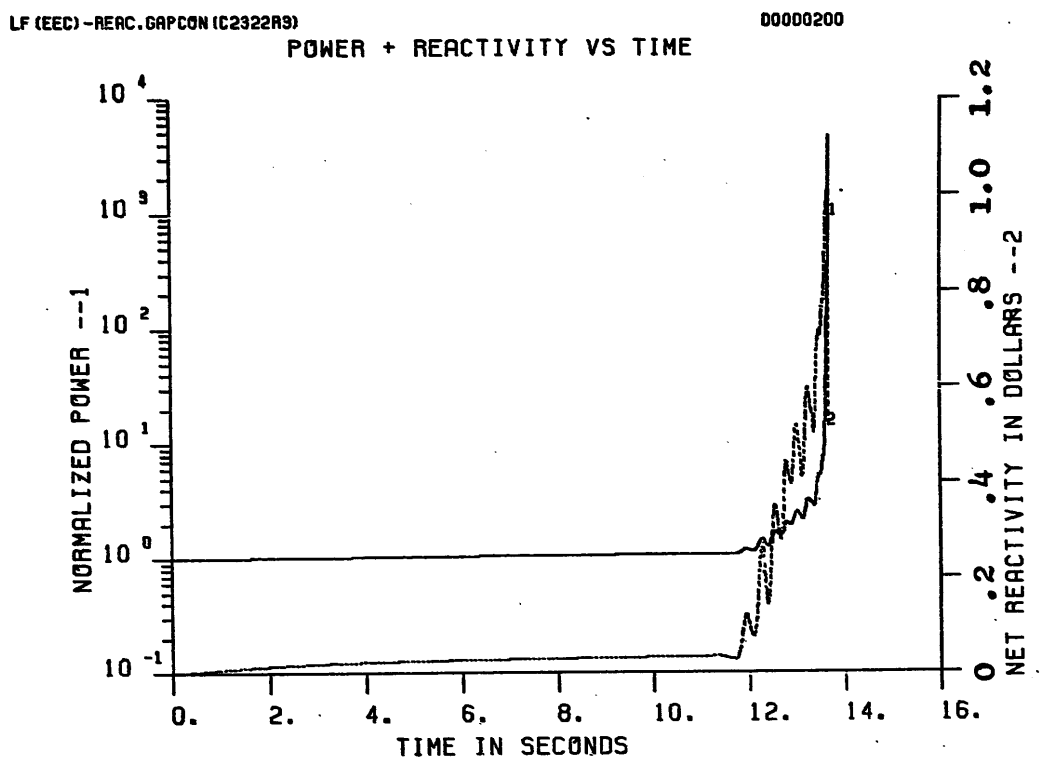


Figure 6.1-48a. Power and Reactivity Traces for EOEC LOF (LF.REAC.GAPCON.C2322)

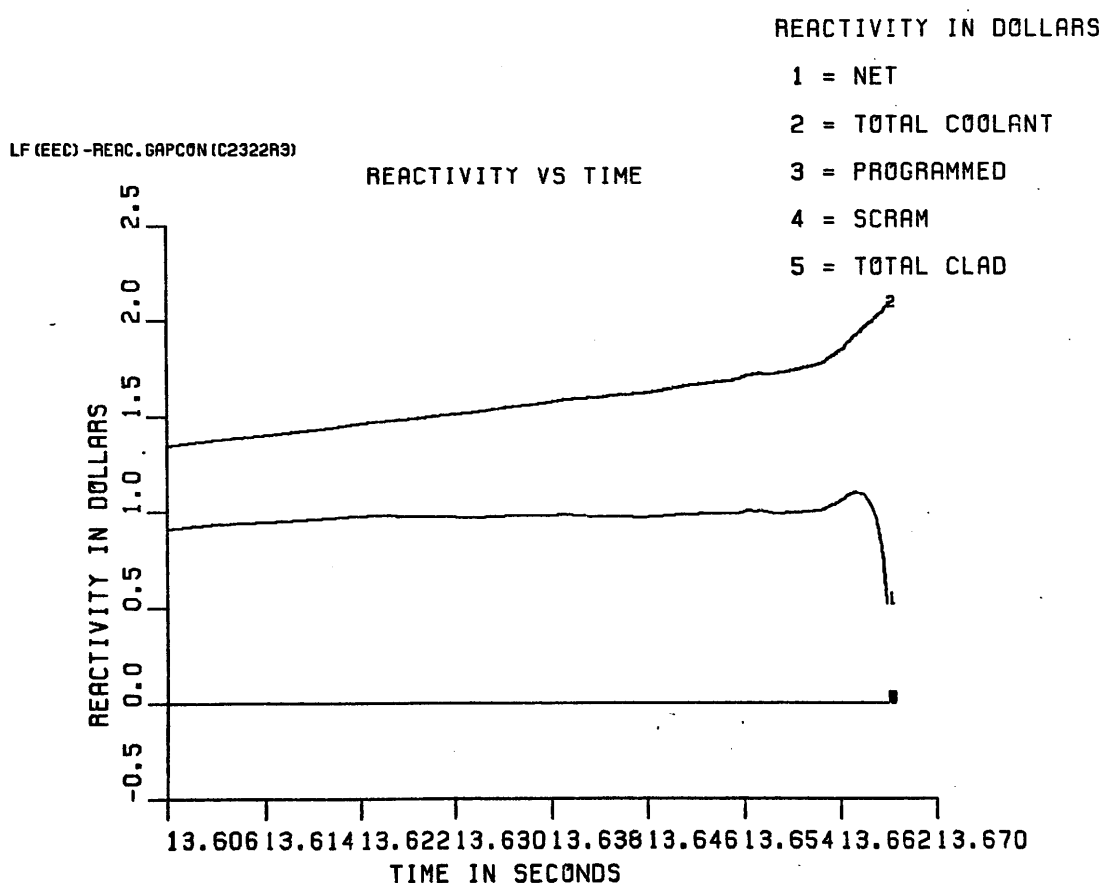
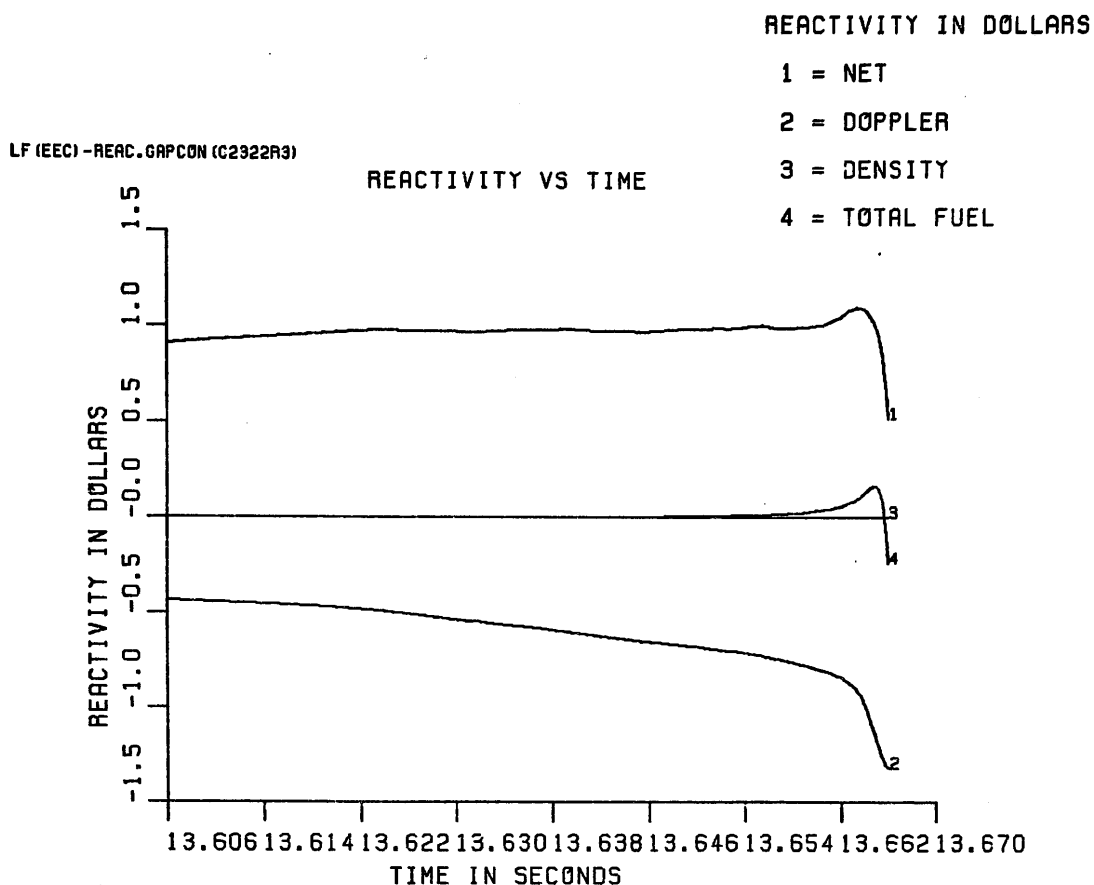


Figure 6.1-48b. Reactivity Component Traces for EOEC LOF (LF.REAC.GAPCON.C2322)

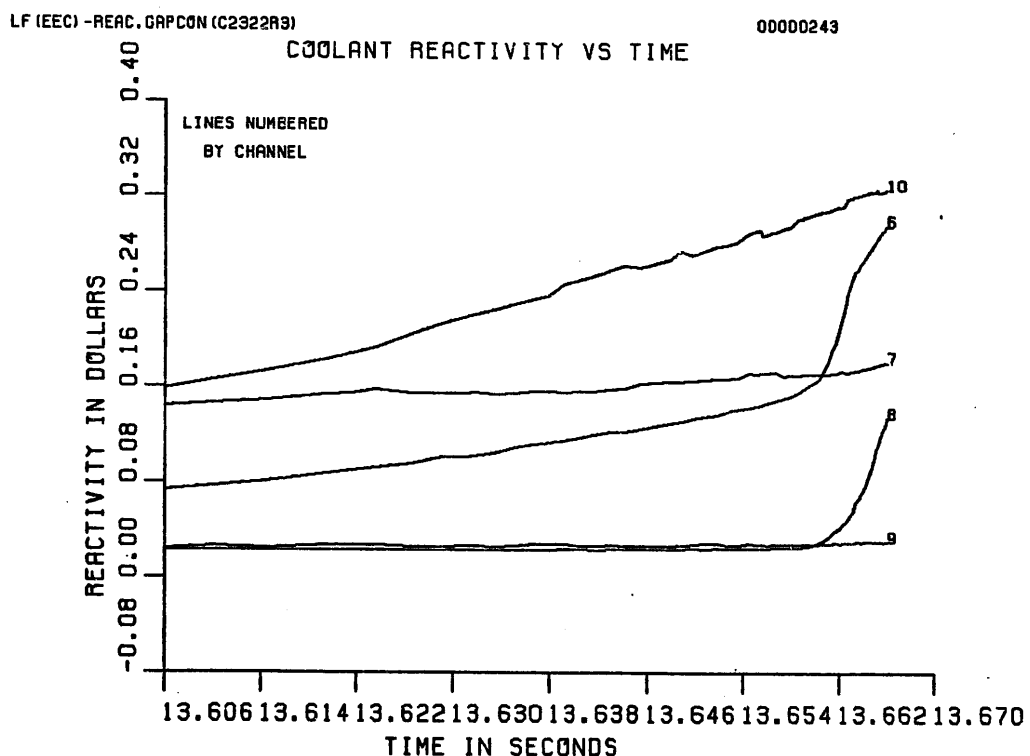
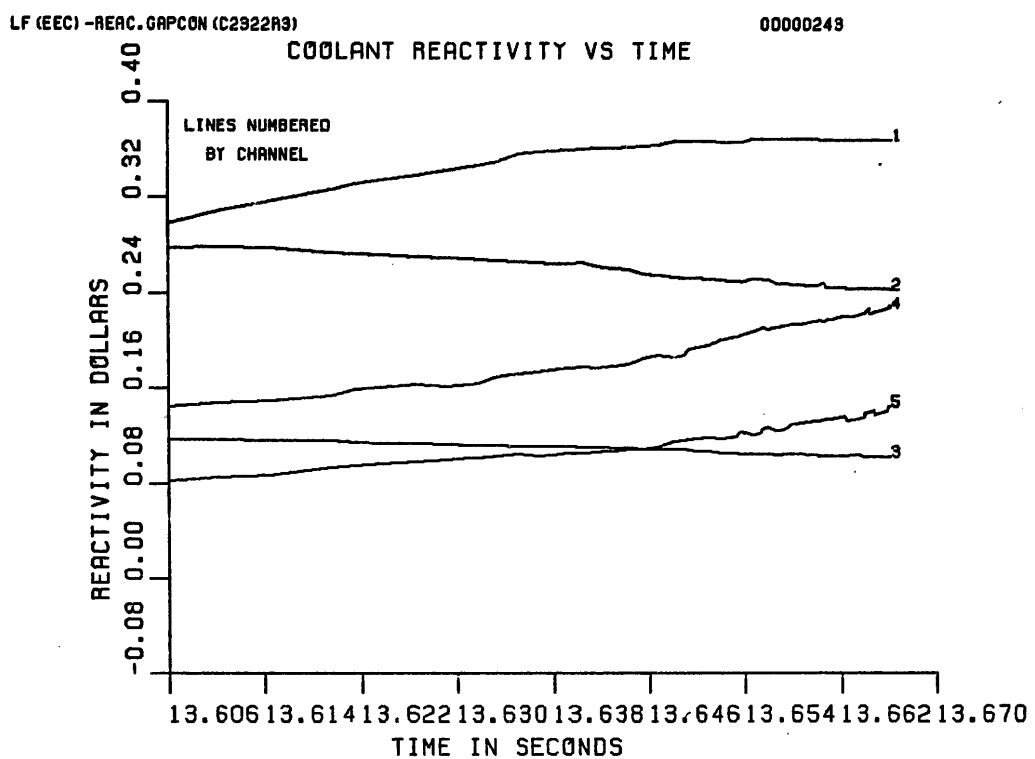


Figure 6.1-49a. Coolant Reactivity Traces by Channel for EOEC LOF (LF.REAC.GAPCON.C2322)

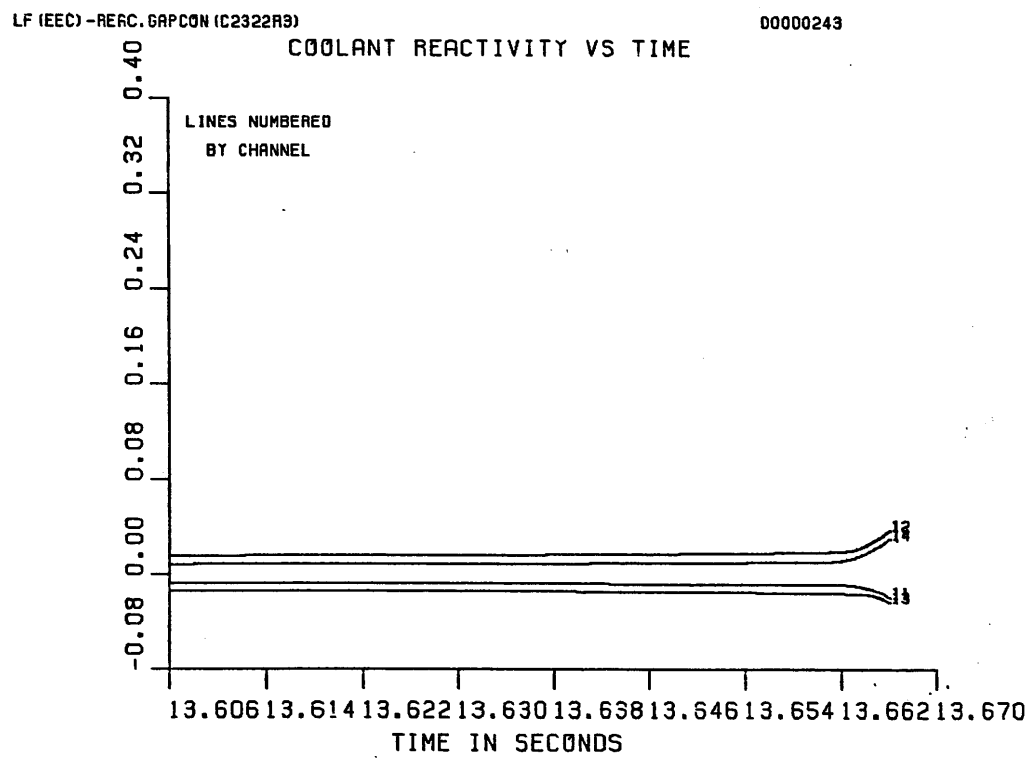


Figure 6.1-49a. (Cont.)

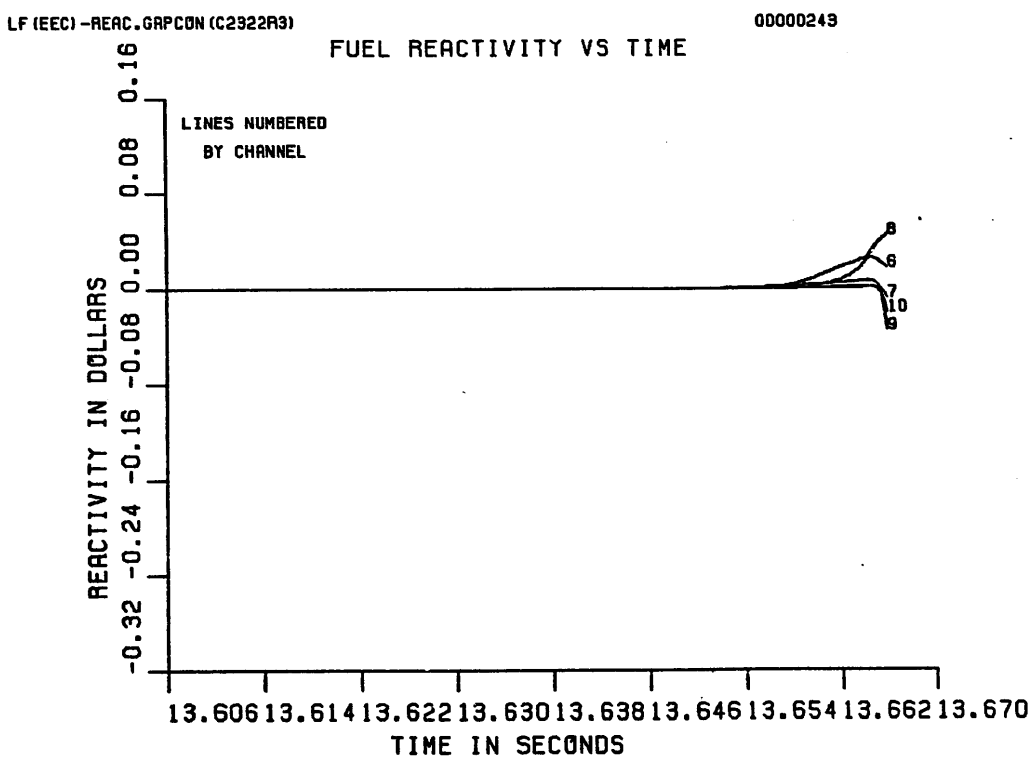
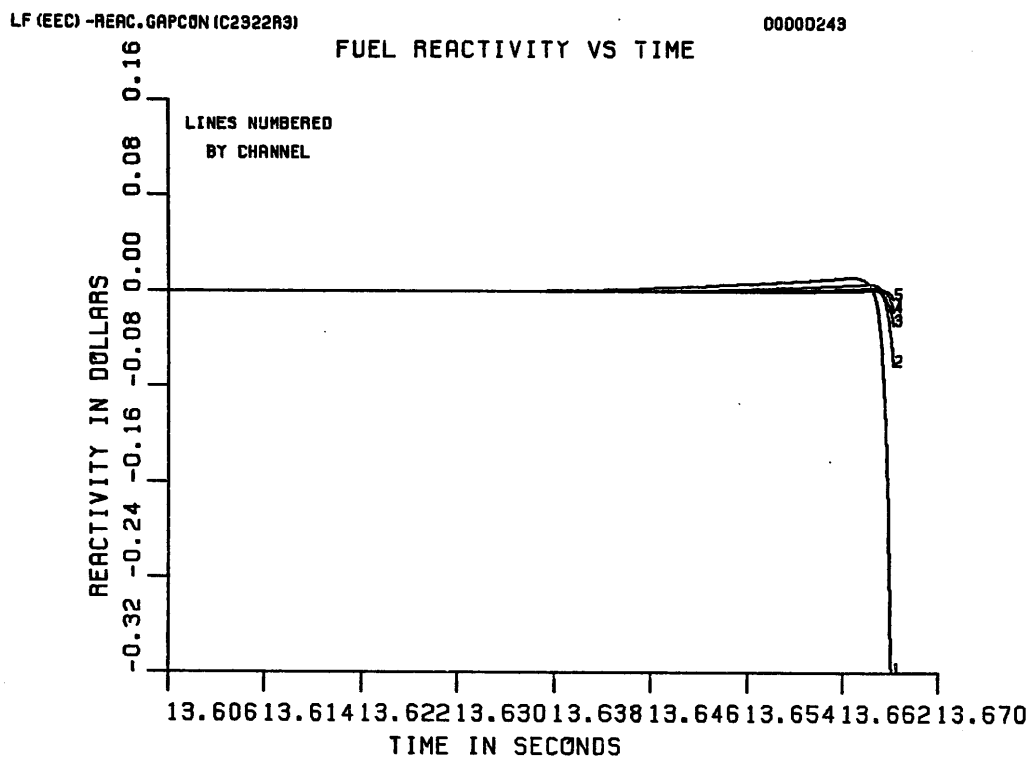


Figure 6.1-49b. Fuel motion Reactivity Traces by Channel for EOEC LOF (LF.REAC.GAPCON, C2322)

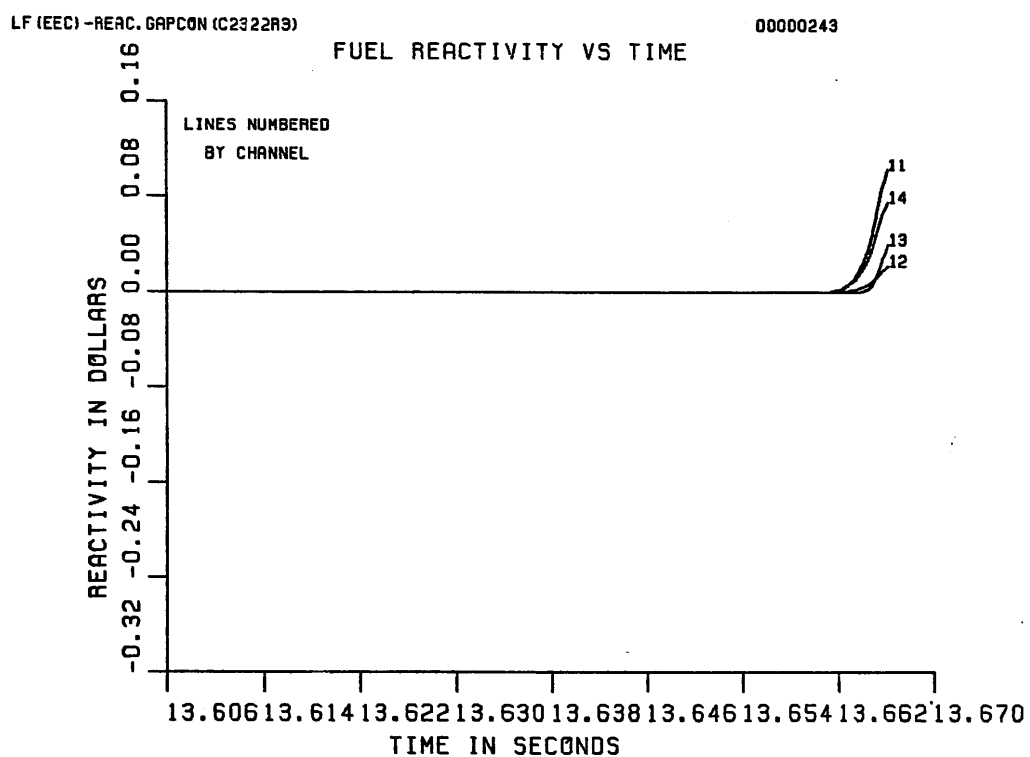


Figure 6.1-49b. (Cont.)

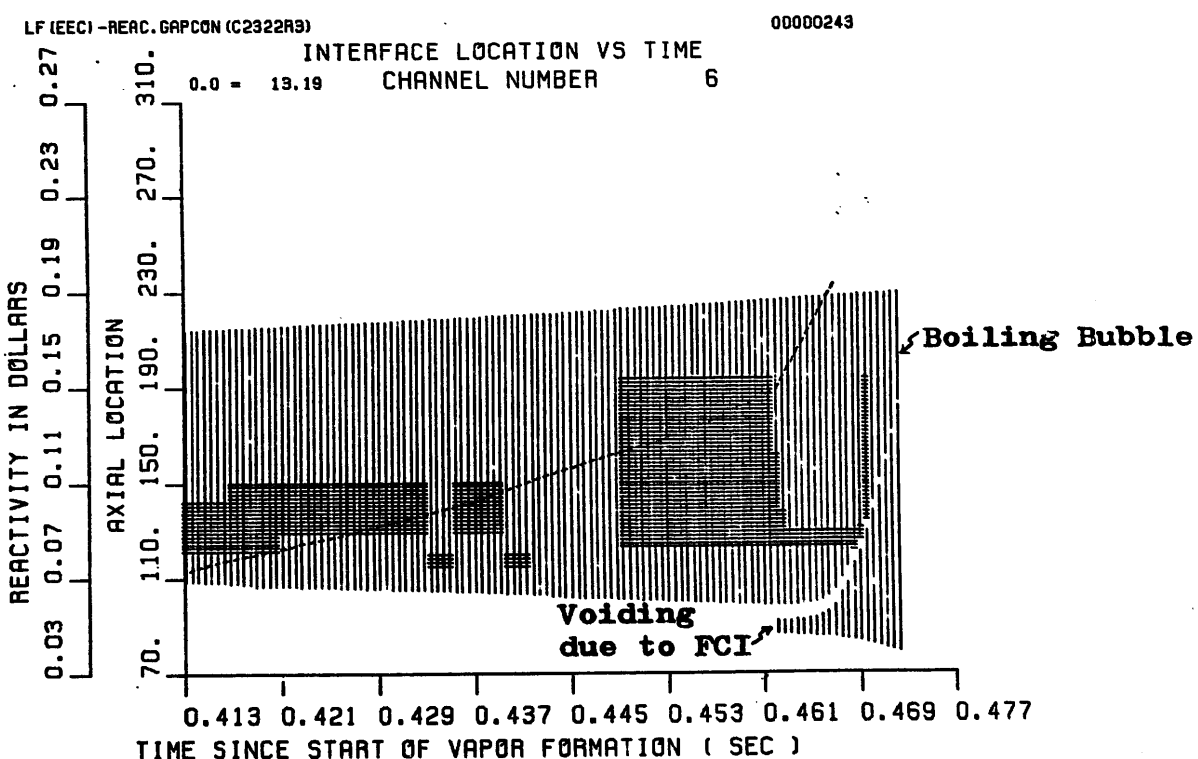
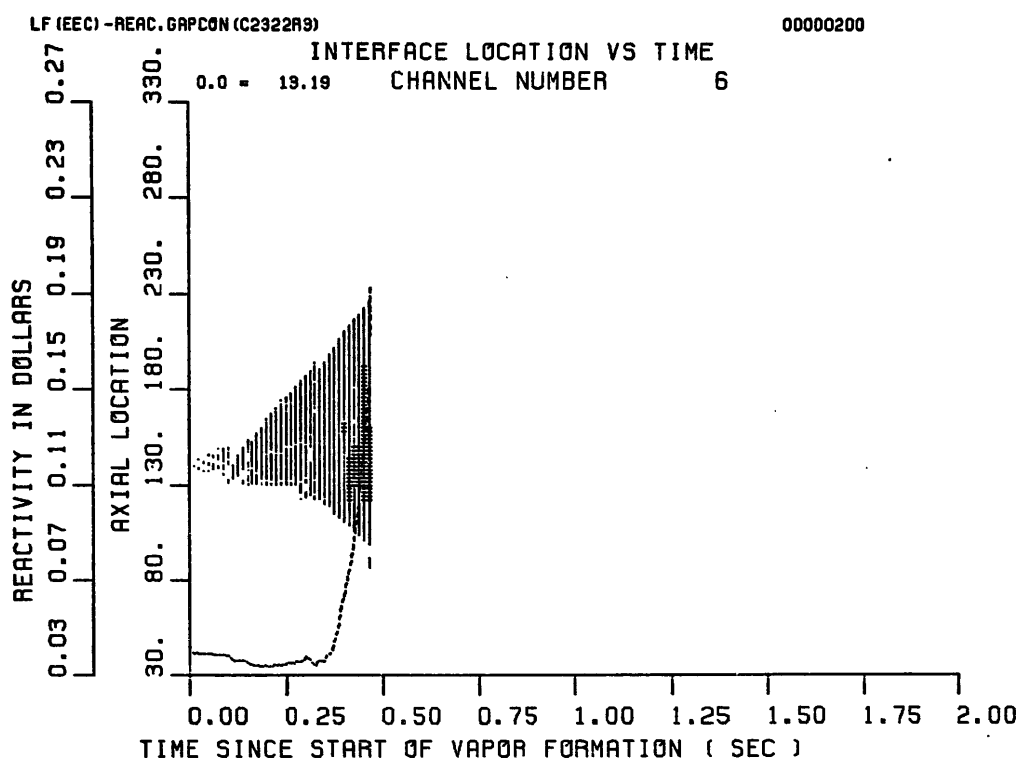
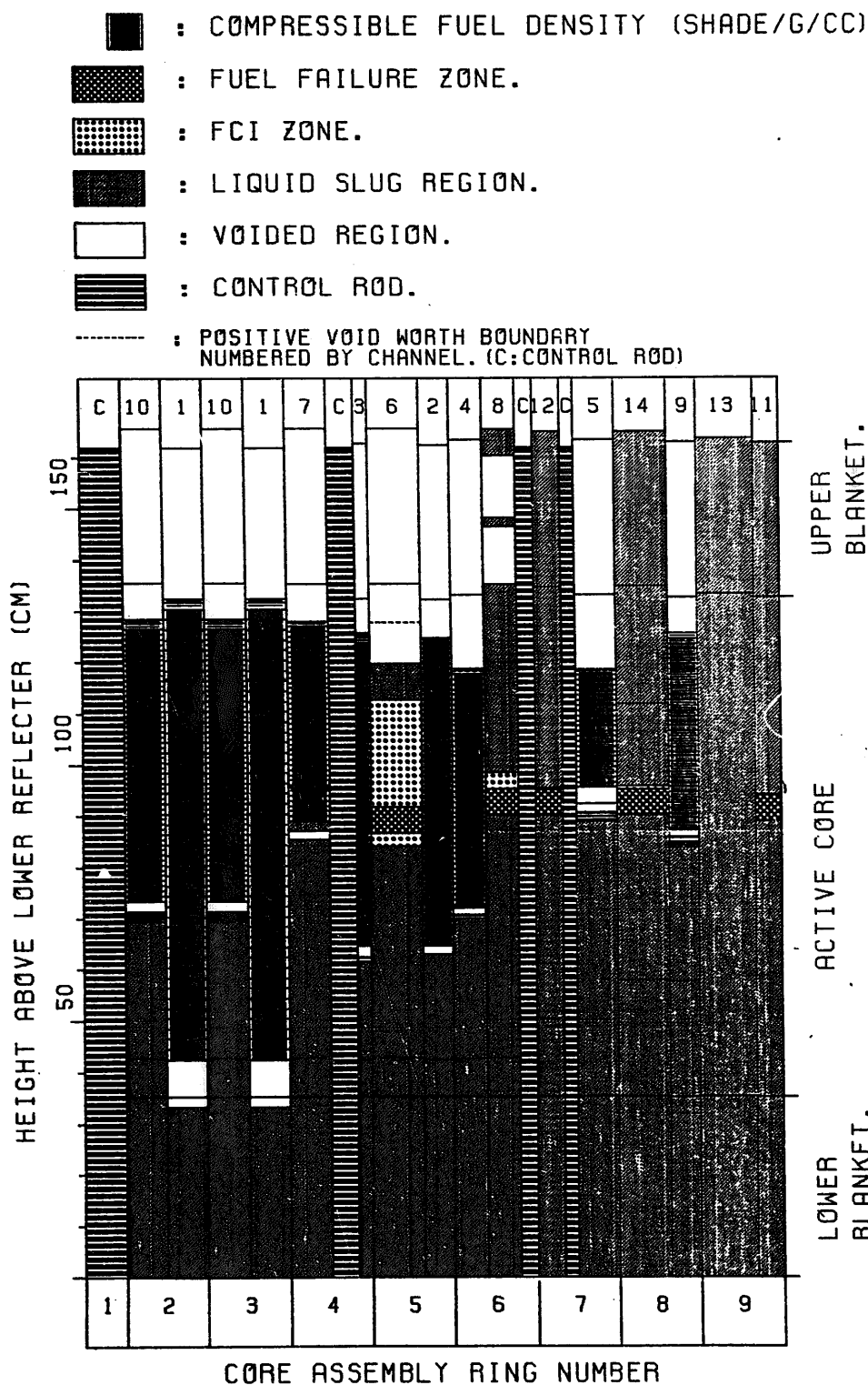


Figure 6.1-50a. Channel-6 Coolant Voiding due to Boiling and FCI (LF.REAC.GAPCON.C2322)



LF (EEC) - REAC. GAPCON (C2322R3)
 TIME = 13.66225 (SEC) , STEP = 550
 NET REACTIVITY = 1.05991 (DOLLARS)

Figure 6.1-50b. Coolant Void and Compressible Fuel Density of SAS-Channels.

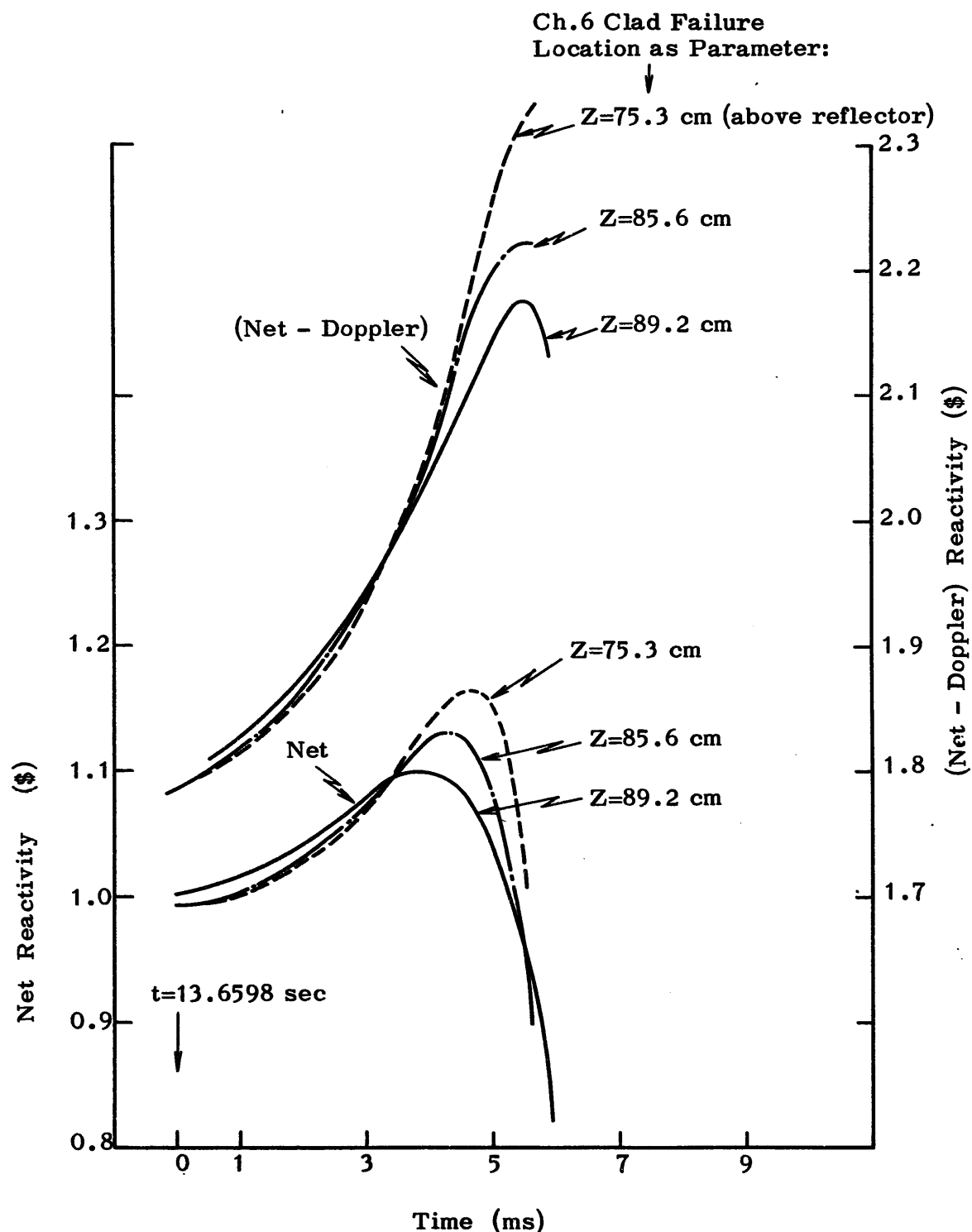


Figure 6.1-51a. Reactivity as Function of Time
Case ID : LF.REAC.GAPCON (C2322)

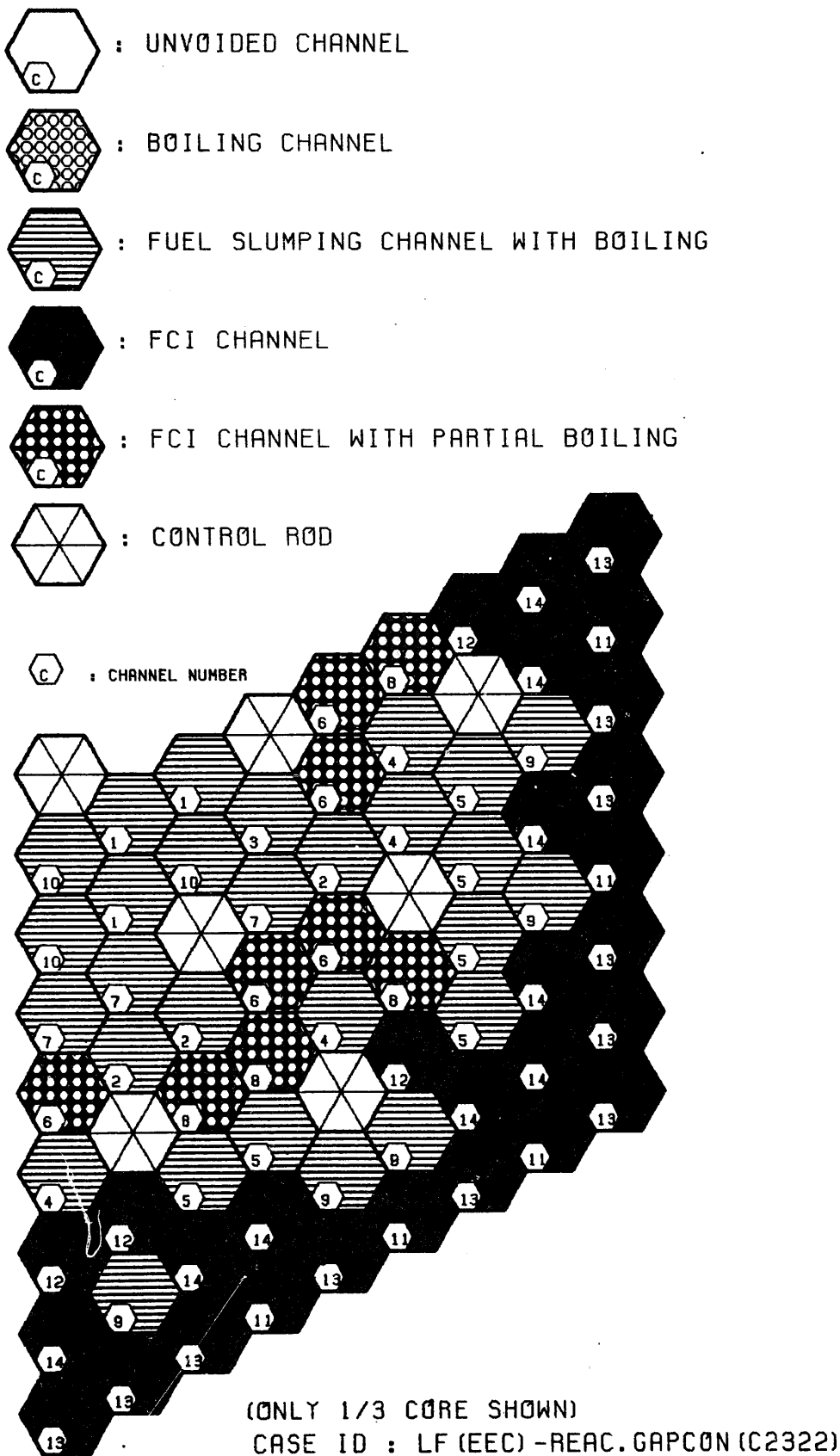


Figure 6.1-51b. Core State at the End of Initiating Phase

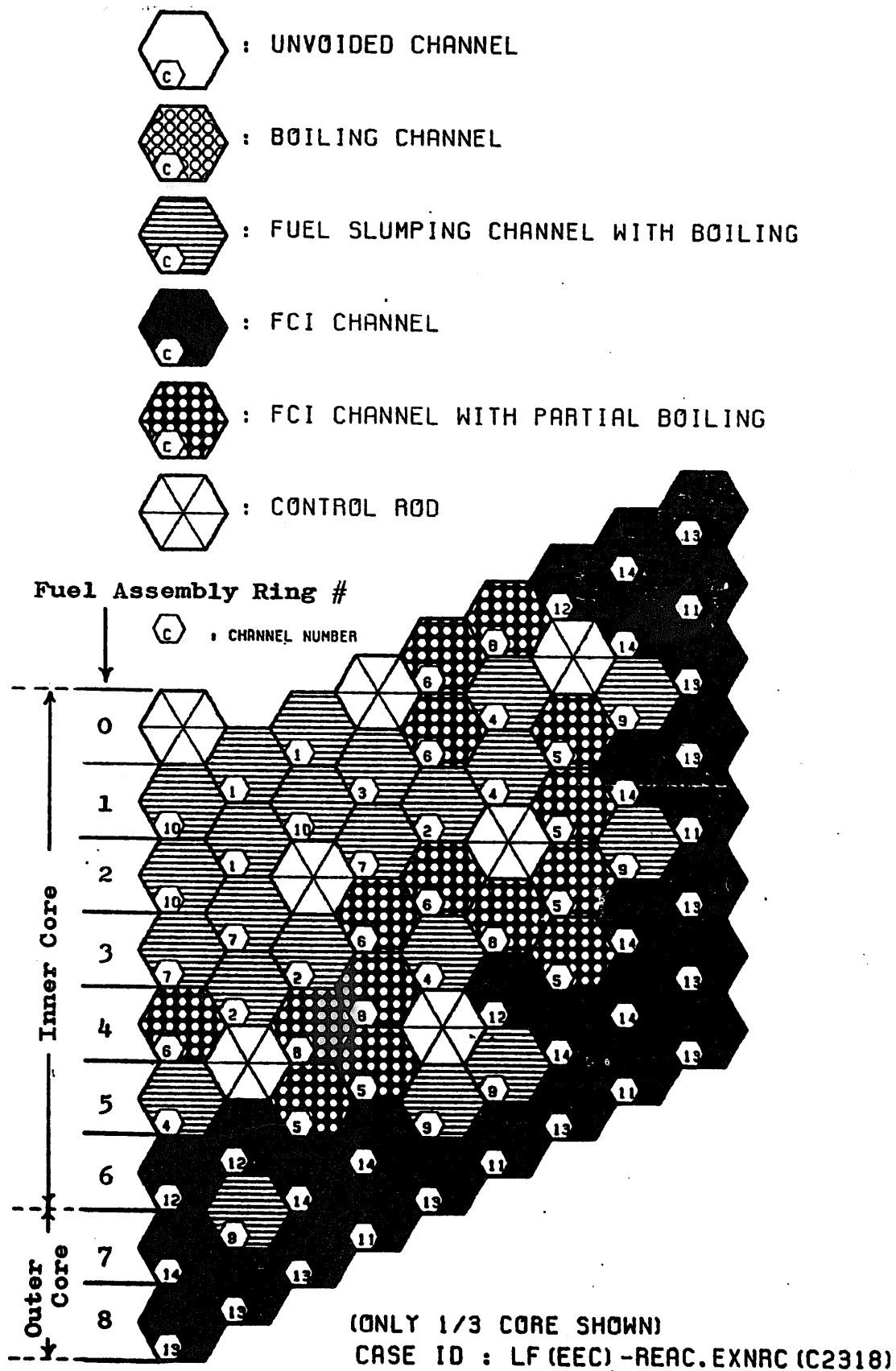


Figure 6.1-52. Core State at the End of Initiating Phase

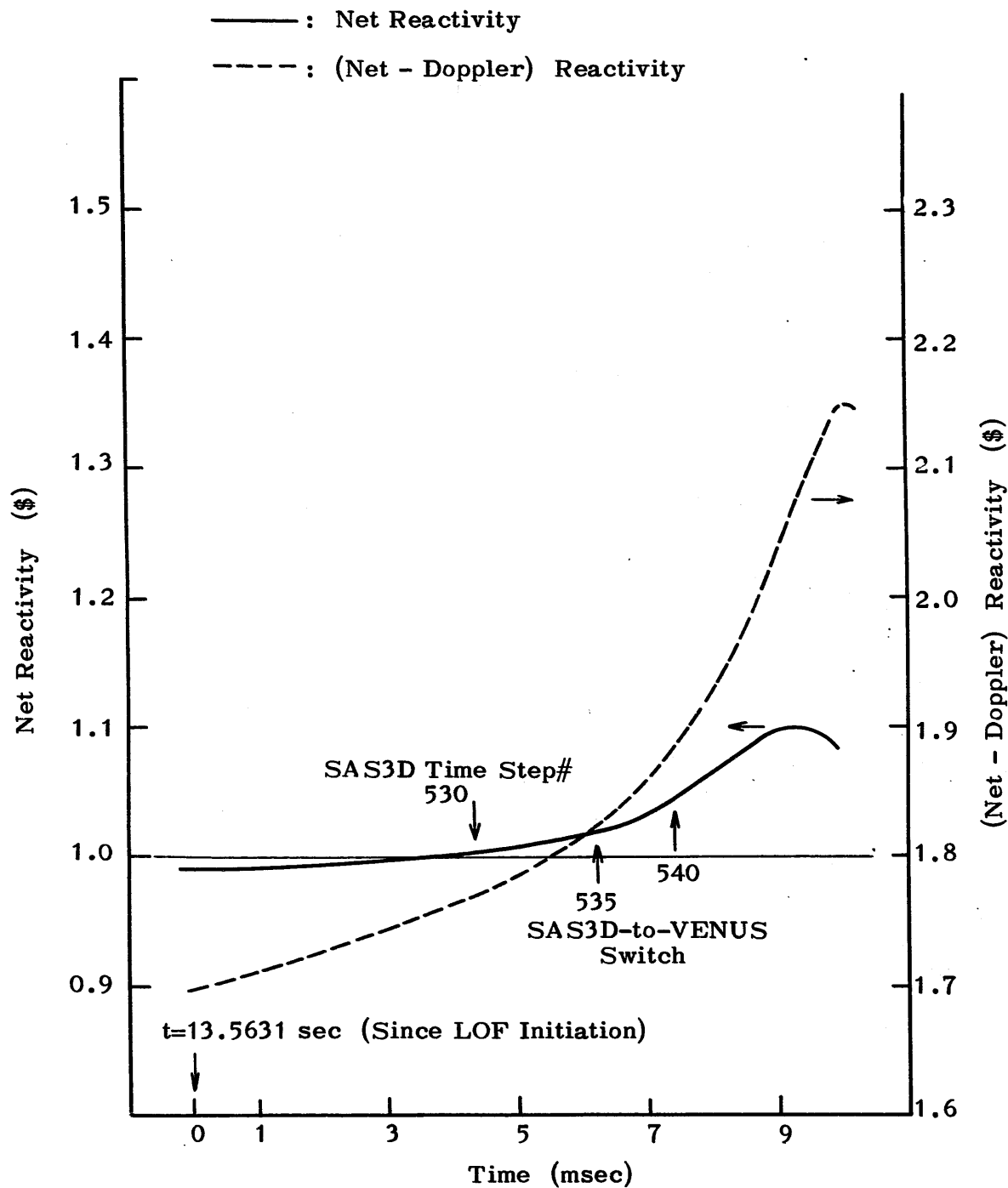


Figure 6.1-53. Reactivity as Function of Time
Case ID : LF.REAC.EXNRC (C2318)

4000 < T	K	ACTIVE CORE STATE:
3500 < T < 4000	K	MAX FUEL TEMP. (K) = 3816.1
TMELT+1 < T < 3500	K	MIN FUEL TEMP. (K) = 1755.0
TMELT-1 < T < TMELT+1	K	AVERAGE FUEL TEMP. (K) = 2763.0
2000 < T < TMELT-1	K	TEMP. PEAKING FACTOR = 1.4
T < 2000	K	

MOLTEN CORE STATE: TOTAL MOLTEN FUEL MASS (KG) = 1817.0
 MOLTEN FUEL AVERAGE TEMP. (K) = 3089.2
 ENERGY ABOVE FUEL SOLIDUS (MJ) = 615.0

REAC.EXNRC.STP530.A2 (C2318)

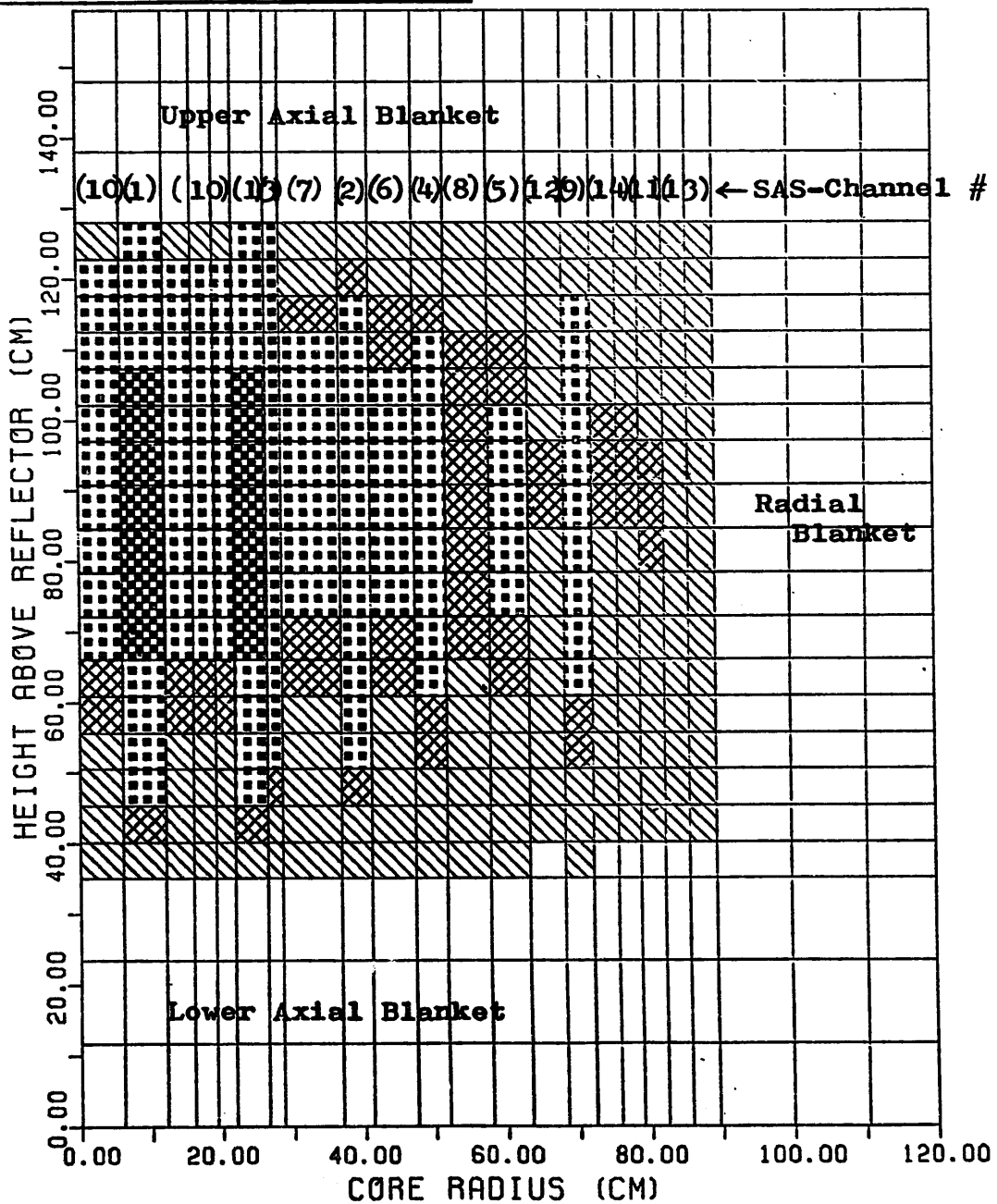


Figure 6.1-54a. Fuel Temperature Distribution
 (Initial State)



4000 < T	K	ACTIVE CORE STATE :
3500 < T < 4000	K	MAX FUEL TEMP. (K) = 4086.1
TMELT+1 < T < 3500	K	MIN FUEL TEMP. (K) = 1838.0
TMELT-1 < T < TMELT+1	K	AVERAGE FUEL TEMP. (K) = 2854.7
2000 < T < TMELT-1	K	TEMP. PEAKING FACTOR = 1.4
T < 2000	K	

MOLTEN CORE STATE: TOTAL MOLTEN FUEL MASS (KG) = 2268.2
 MOLTEN FUEL AVERAGE TEMP. (K) = 3168.3
 ENERGY ABOVE FUEL SOLIDUS (MJ) = 857.9

REAC.EXNRC.STP535.R2 (C2318)

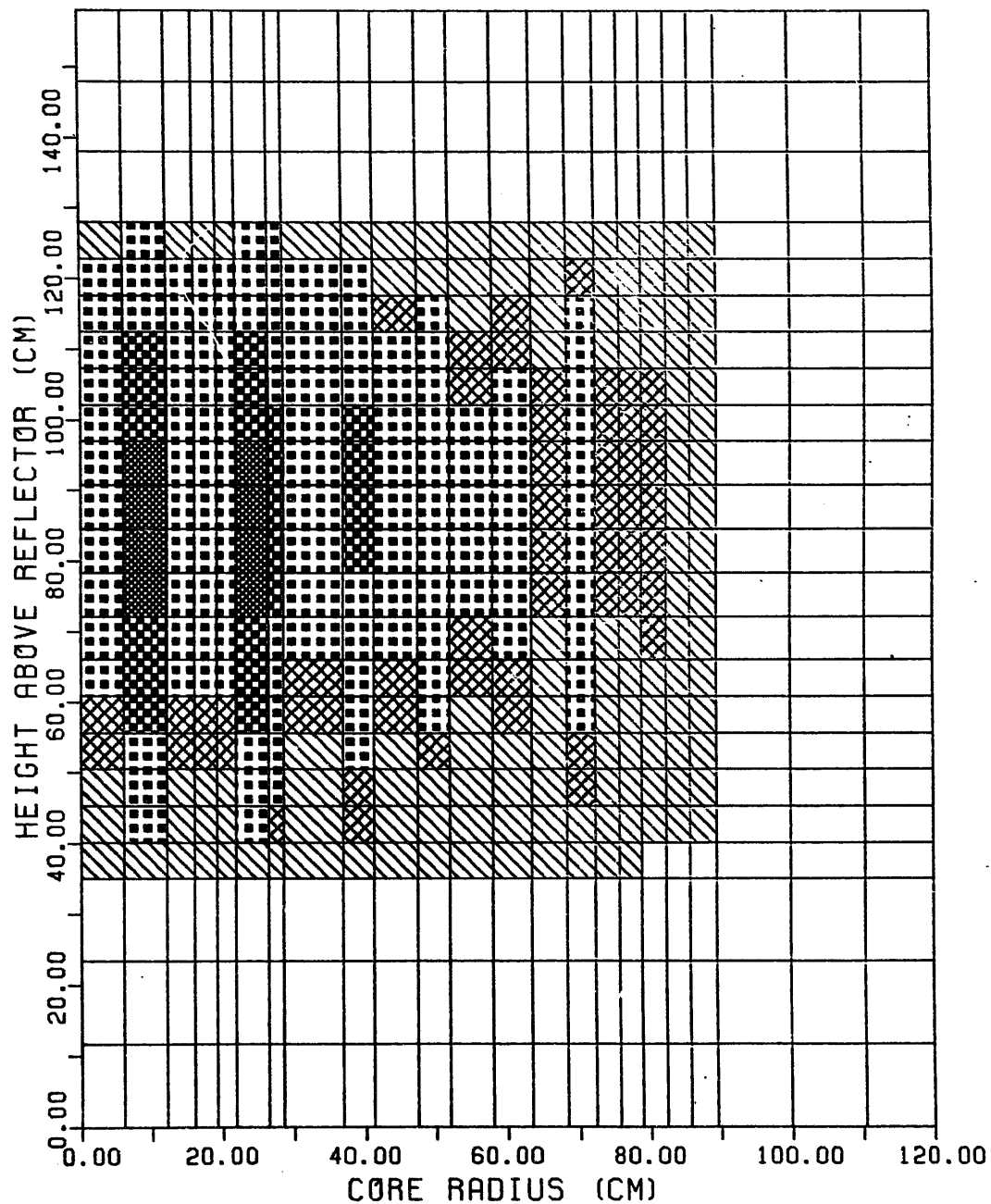


Figure 6.1-54b. Fuel Temperature Distirubtion (Initial State)

4000 < T	K	ACTIVE CORE STATE :
3500 < T < 4000	K	MAX FUEL TEMP. (K) = 4303.3
T _{MELT+1} < T < 3500	K	MIN FUEL TEMP. (K) = 1903.6
T _{MELT-1} < T < T _{MELT+1}	K	AVERAGE FUEL TEMP. (K) = 2933.4
2000 < T < T _{MELT-1}	K	TEMP. PEAKING FACTOR = 1.5
T < 2000	K	

MOLTEN CORE STATE: TOTAL MOLTEN FUEL MASS (KG) = 2782.5
 MOLTEN FUEL AVERAGE TEMP. (K) = 3234.7
 ENERGY ABOVE FUEL SOLIDUS (MJ) = 1145.4

REAC.EXNRC.STP540.A2 (C2318)

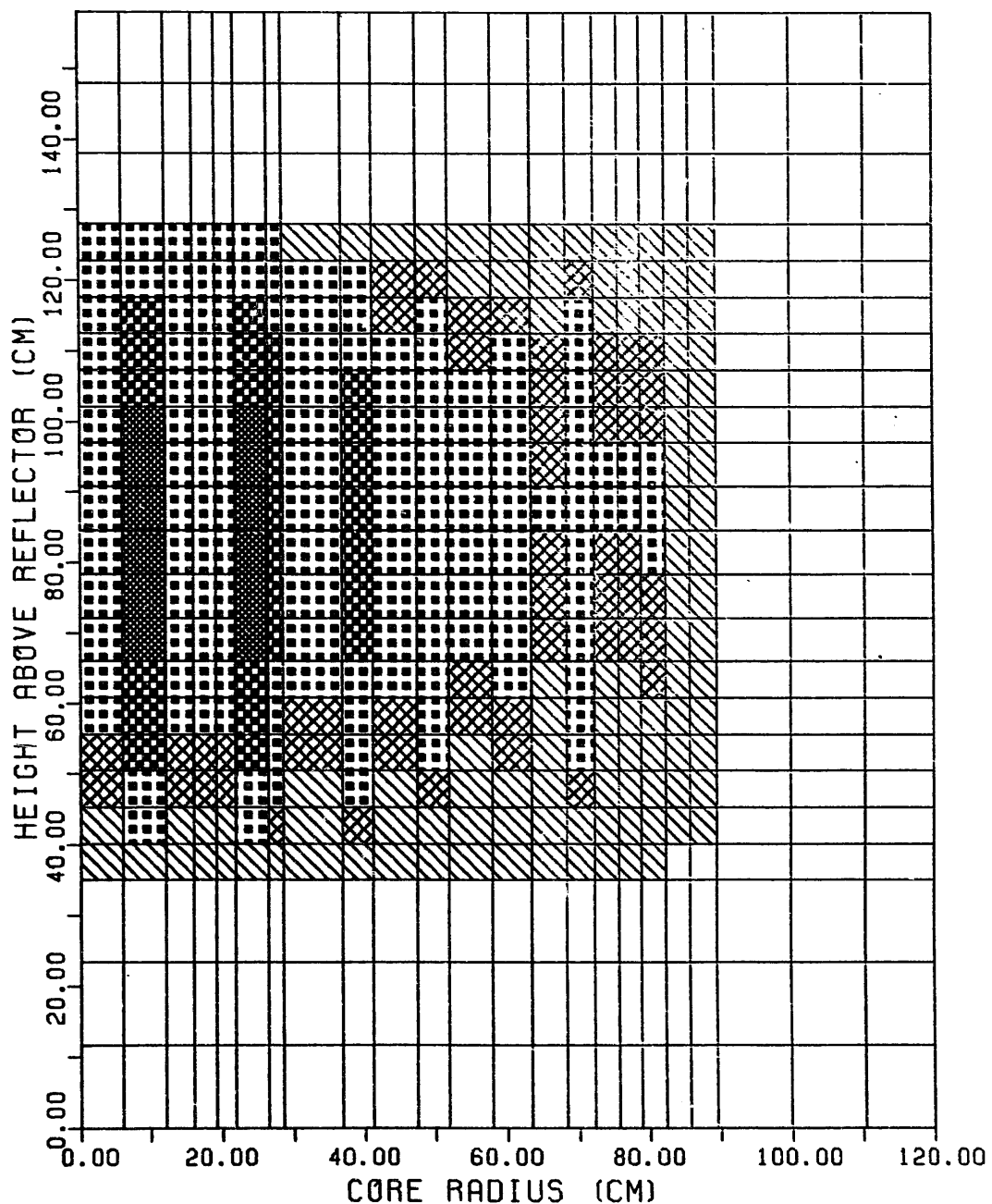


Figure 6.1-54c. Fuel Temperature Distribution (Initial State)

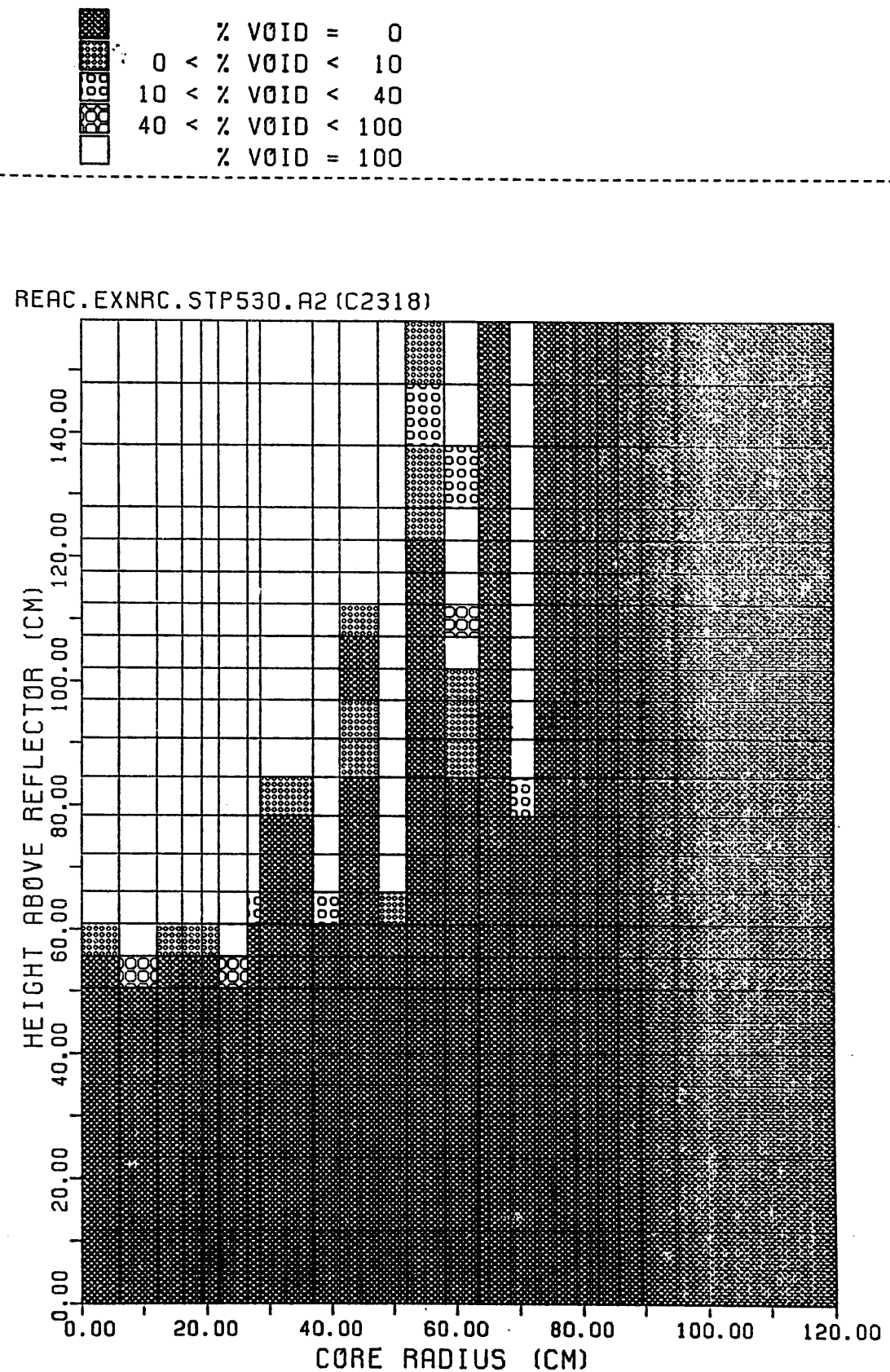


Figure 6.1-55a. Void Fraction Distribution

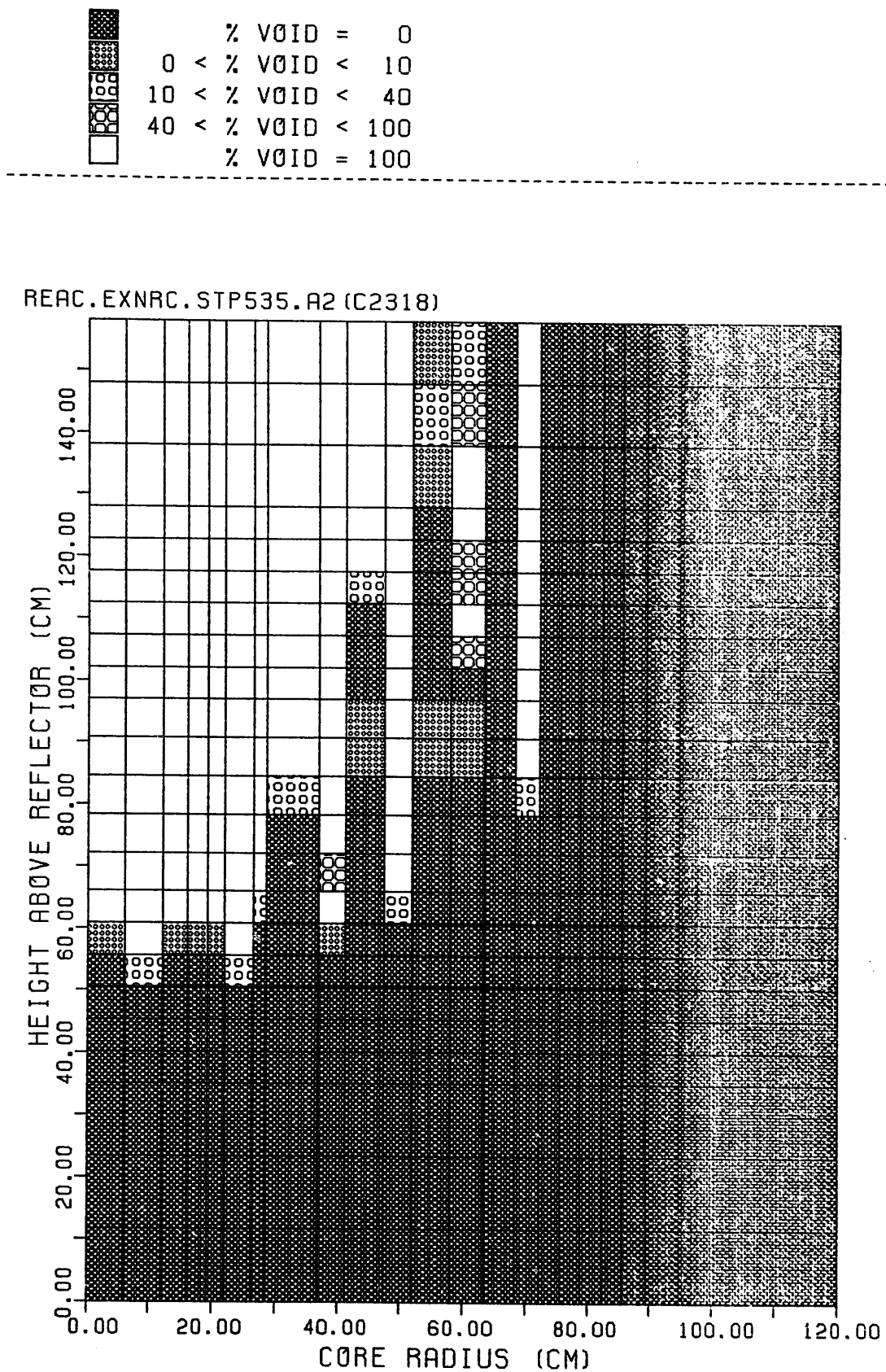


Figure 6.1-55b. Void Fraction Distribution

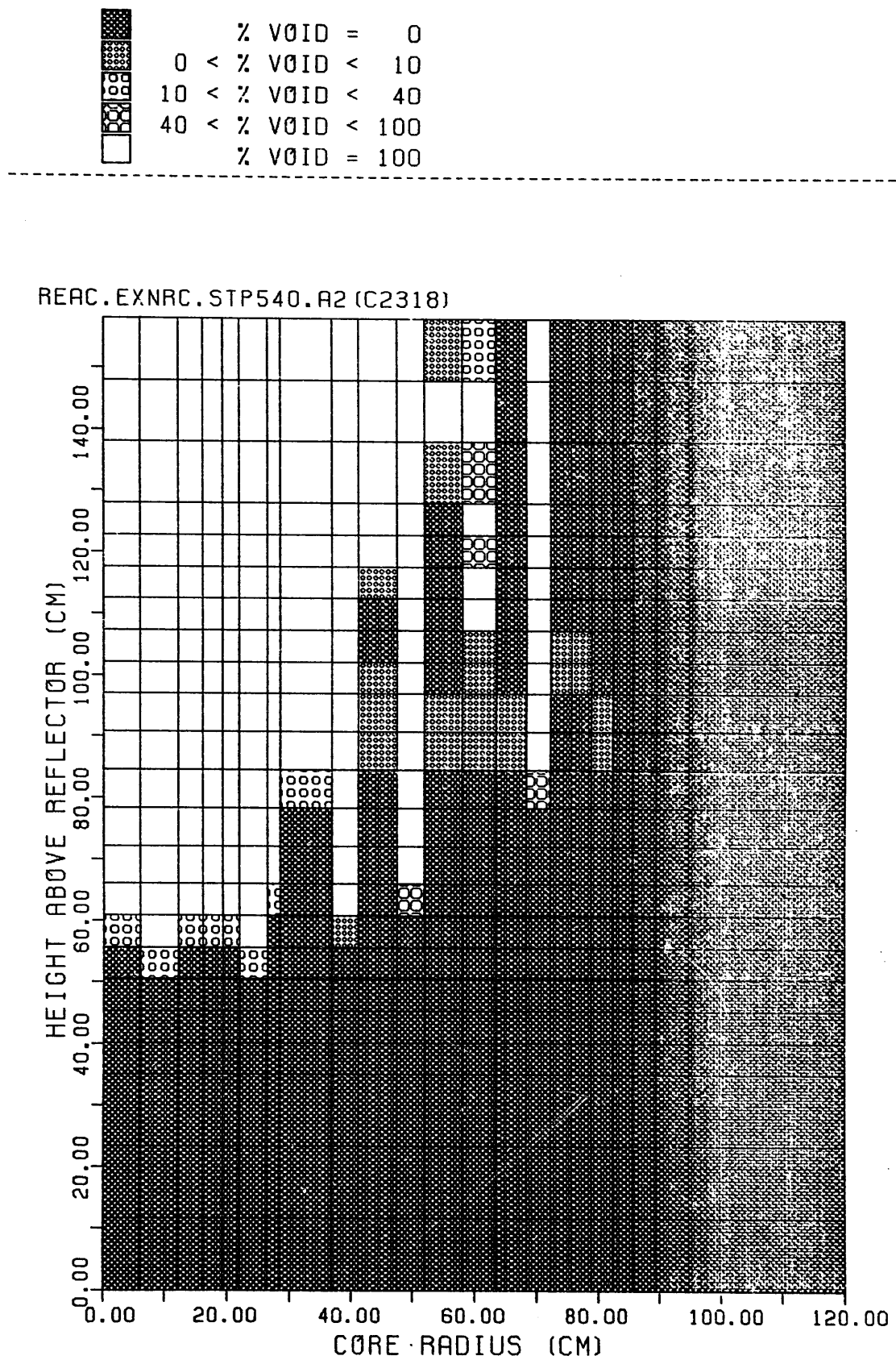


Figure 6.1-55c. Void Fraction Distribution

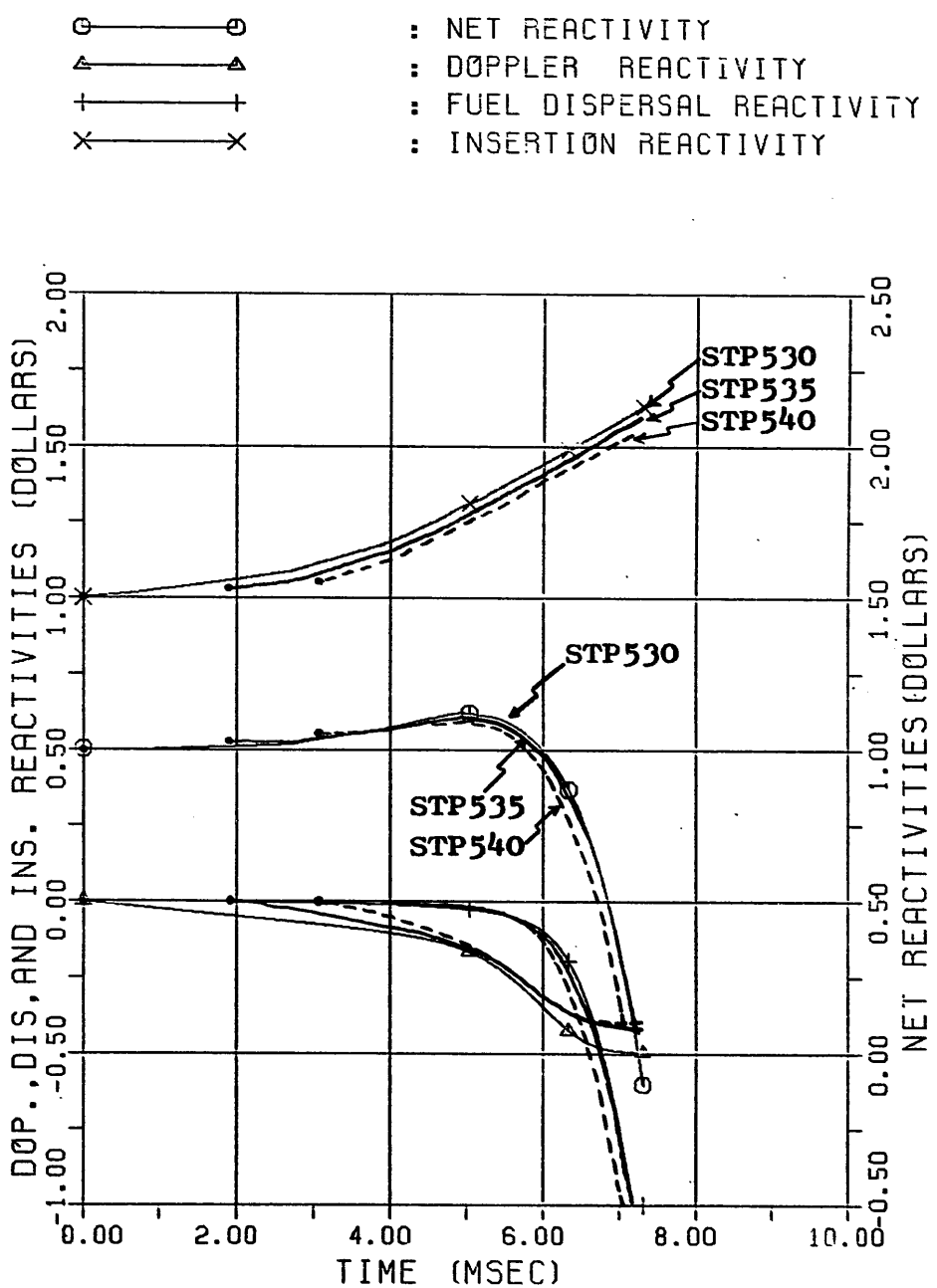
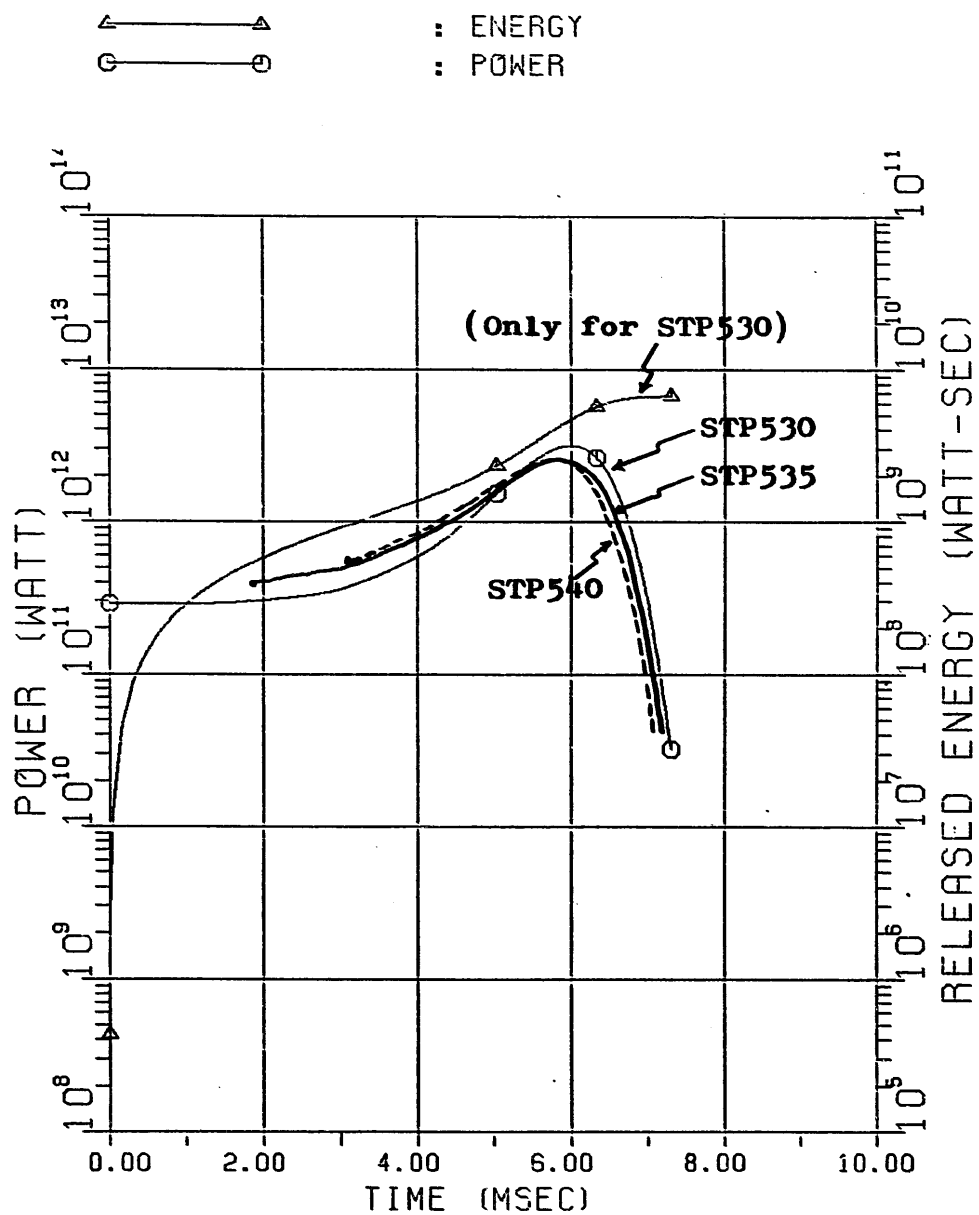


Figure 6.1-56a. Reactivities vs. Time (LF.REAC.EXNRC.C2318)



**Figure 6.1-56b. Power and Released Energy vs. Time
(LF.REAC.EXNRC.C2318)**

<input checked="" type="checkbox"/>	$4000 < T$	K	ACTIVE CORE STATE *
<input checked="" type="checkbox"/>	$3500 < T < 4000$	K	MAX FUEL TEMP. (K) = 6736.5
<input checked="" type="checkbox"/>	$T_{MELT}+1 < T < 3500$	K	MIN FUEL TEMP.. (K) = 2595.3
<input checked="" type="checkbox"/>	$T_{MELT}-1 < T < T_{MELT}+1$	K	AVERAGE FUEL TEMP. (K) = 4146.7
<input checked="" type="checkbox"/>	$2000 < T < T_{MELT}-1$	K	TEMP. PEAKING FACTOR = 1.6
<input type="checkbox"/>	$T < 2000$	K	
<hr/>			
MOLTEN CORE STATE: *			
TOTAL MOLTEN FUEL MASS (KG) = 5943.8			
MOLTEN FUEL AVERAGE TEMP. (K) = 4319.8			
ENERGY ABOVE FUEL SOLIDUS (MJ) = 5690.6			

REAC.EXNRC.STP530.R2 (C2318) Note: * Corrected for virtual fuel assemblies replacing the control rods

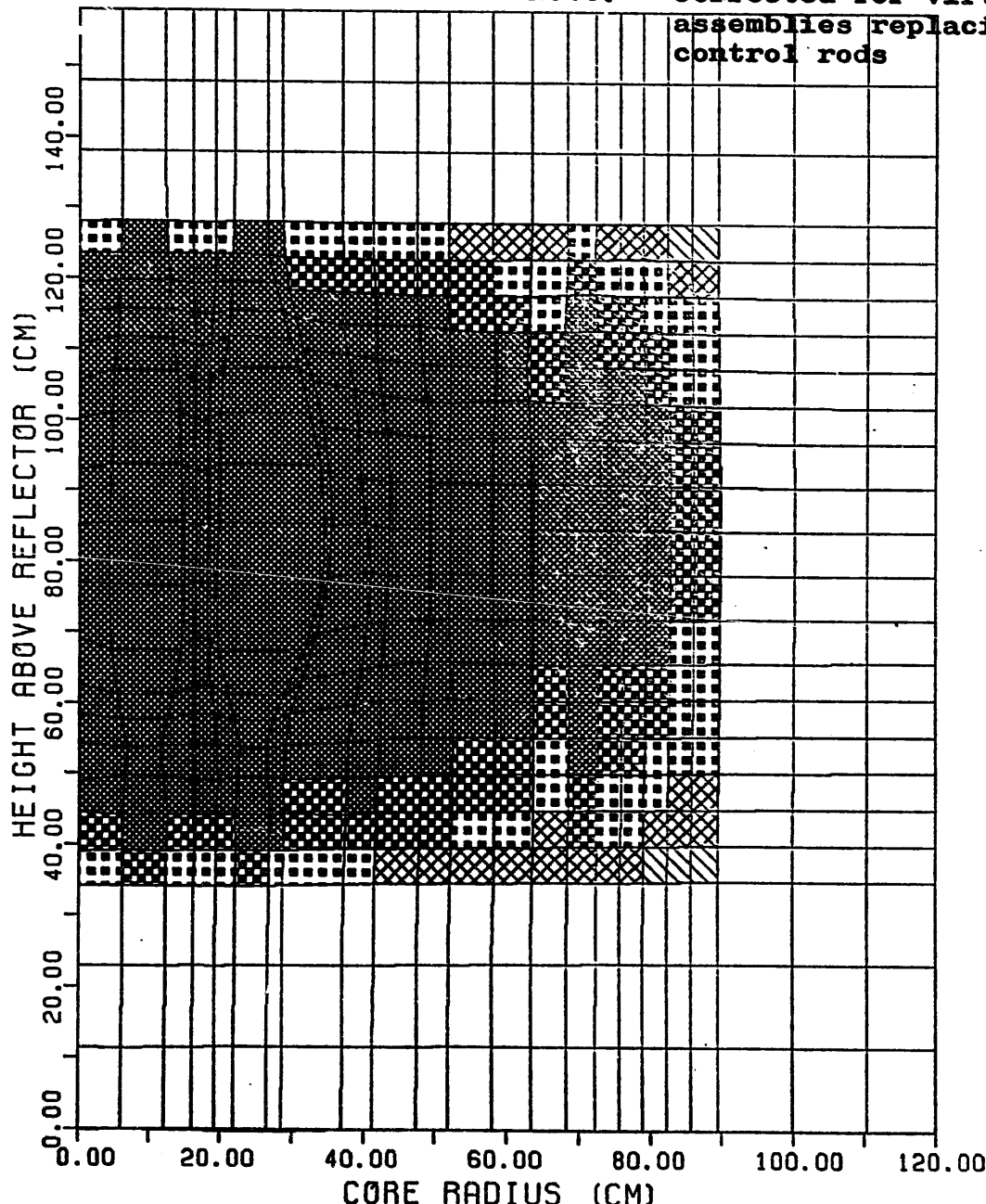


Figure 6.1-57a. Fuel Temperature Distribution
(Final State)



4000 < T	K	ACTIVE CORE STATE :
3500 < T < 4000	K	MAX FUEL TEMP. (K) = 6570.6
TMELT+1 < T < 3500	K	MIN FUEL TEMP. (K) = 2552.3
TMELT-1 < T < TMELT+1	K	AVERAGE FUEL TEMP. (K) = 4021.0
2000 < T < TMELT-1	K	TEMP. PEAKING FACTOR = 1.6
T < 2000	K	

MOLTEN CORE STATE: TOTAL MOLTEN FUEL MASS (KG) = 5673.0
 MOLTEN FUEL AVERAGE TEMP. (K) = 4233.4
 ENERGY ABOVE FUEL SOLIDUS (MJ) = 5185.1

REAC.EXNRC.STP535.R2 (C2318)

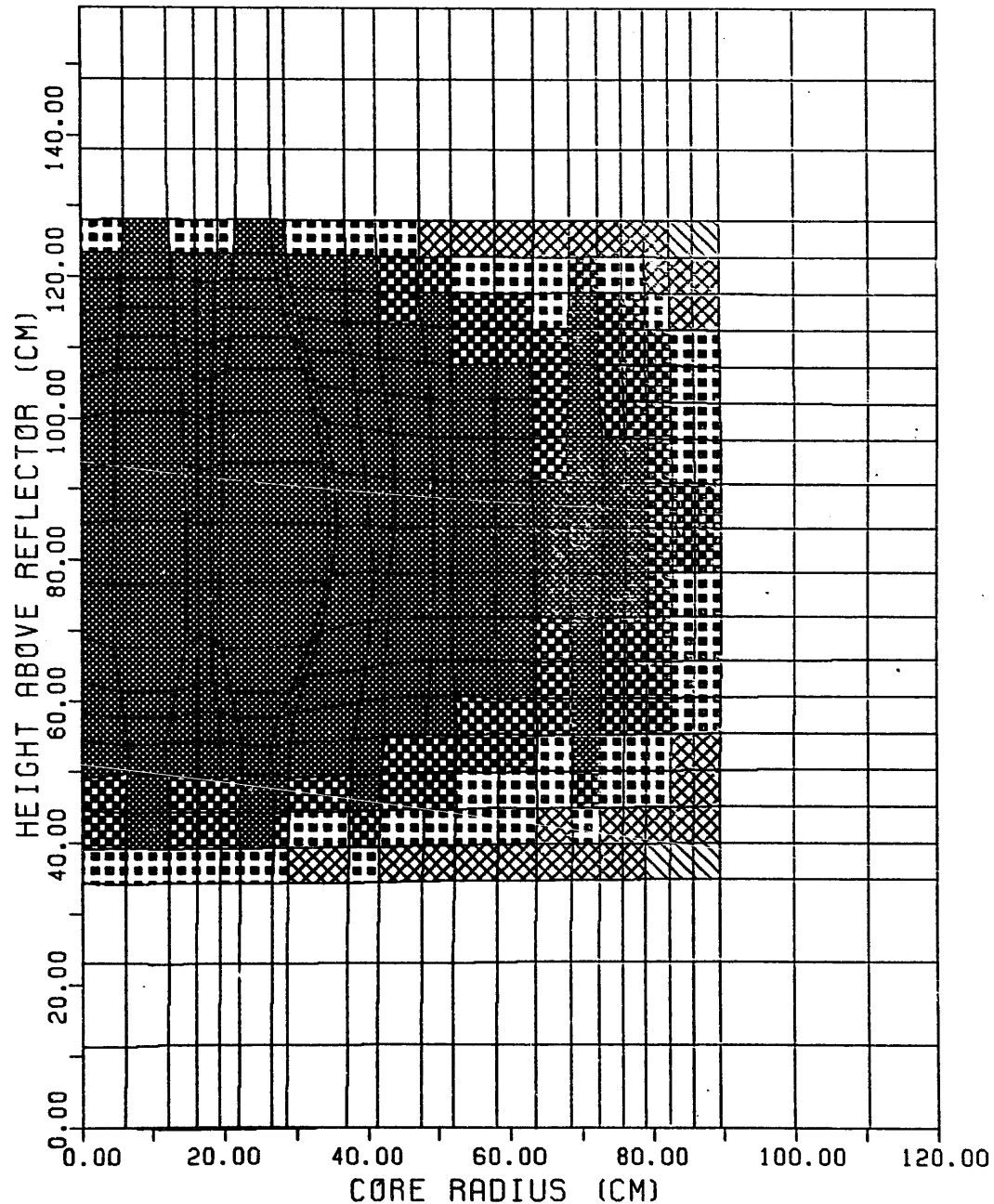


Figure 6.1-57b. Fuel Temperature Distribution (Final State)

	4000 < T K 3500 < T < 4000 K TMELT+1 < T < 3500 K TMELT-1 < T < TMELT+1 K 2000 < T < TMELT-1 K T < 2000 K	ACTIVE CORE STATE : MAX FUEL TEMP. (K) = 6620.1 MIN FUEL TEMP. (K) = 2570.6 AVERAGE FUEL TEMP. (K) = 4045.0 TEMP. PEAKING FACTOR = 1.6
---	--	---

MOLTEN CORE STATE: TOTAL MOLTEN FUEL MASS (KG) = 5673.0
 MOLTEN FUEL AVERAGE TEMP. (K) = 4263.1
 ENERGY ABOVE FUEL SOLIDUS (MJ) = 5269.8

REAC.EXNRC.STP540.R2(C2318)

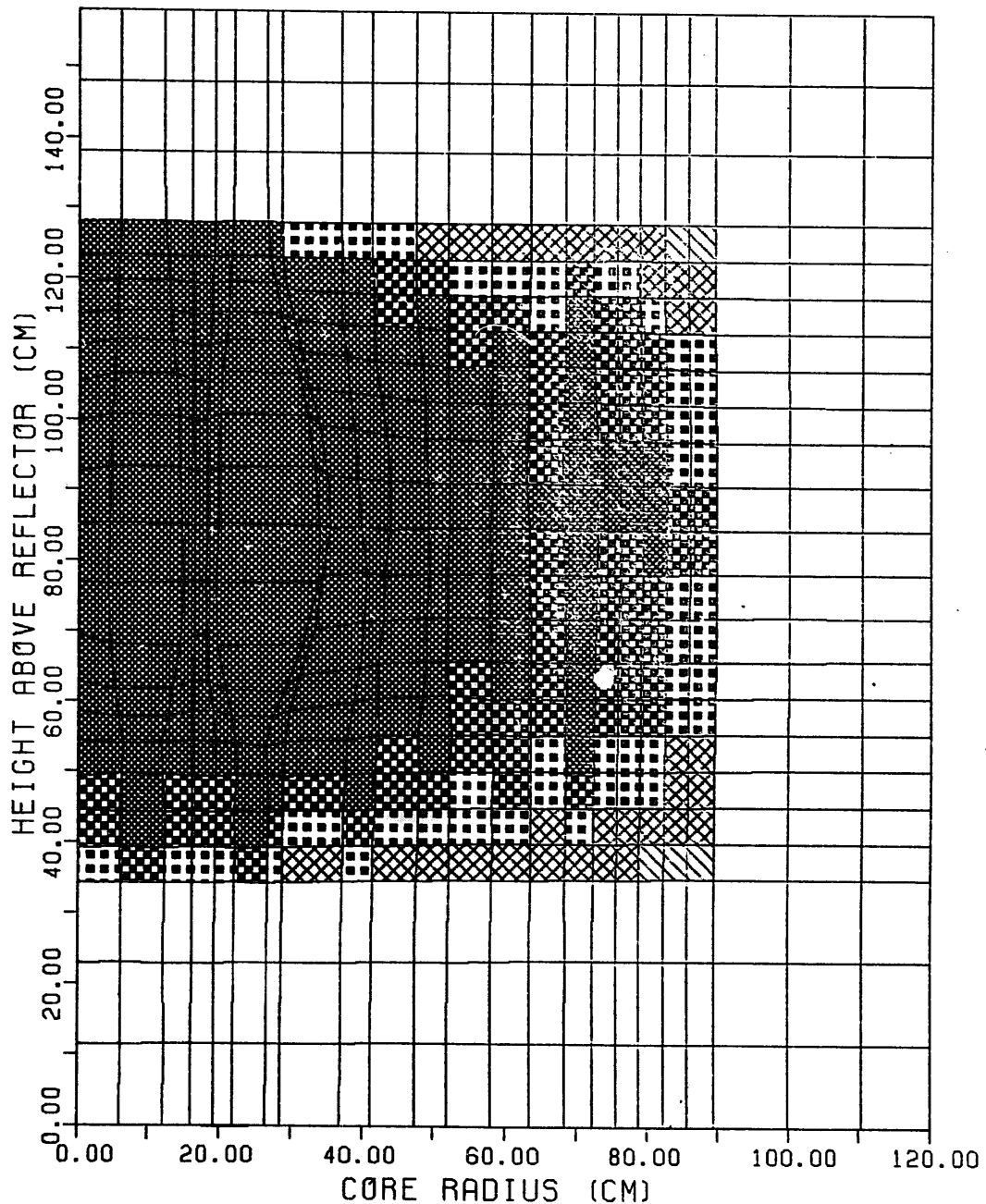


Figure 6.1-57c. Fuel Temperature Distribution (Final State)

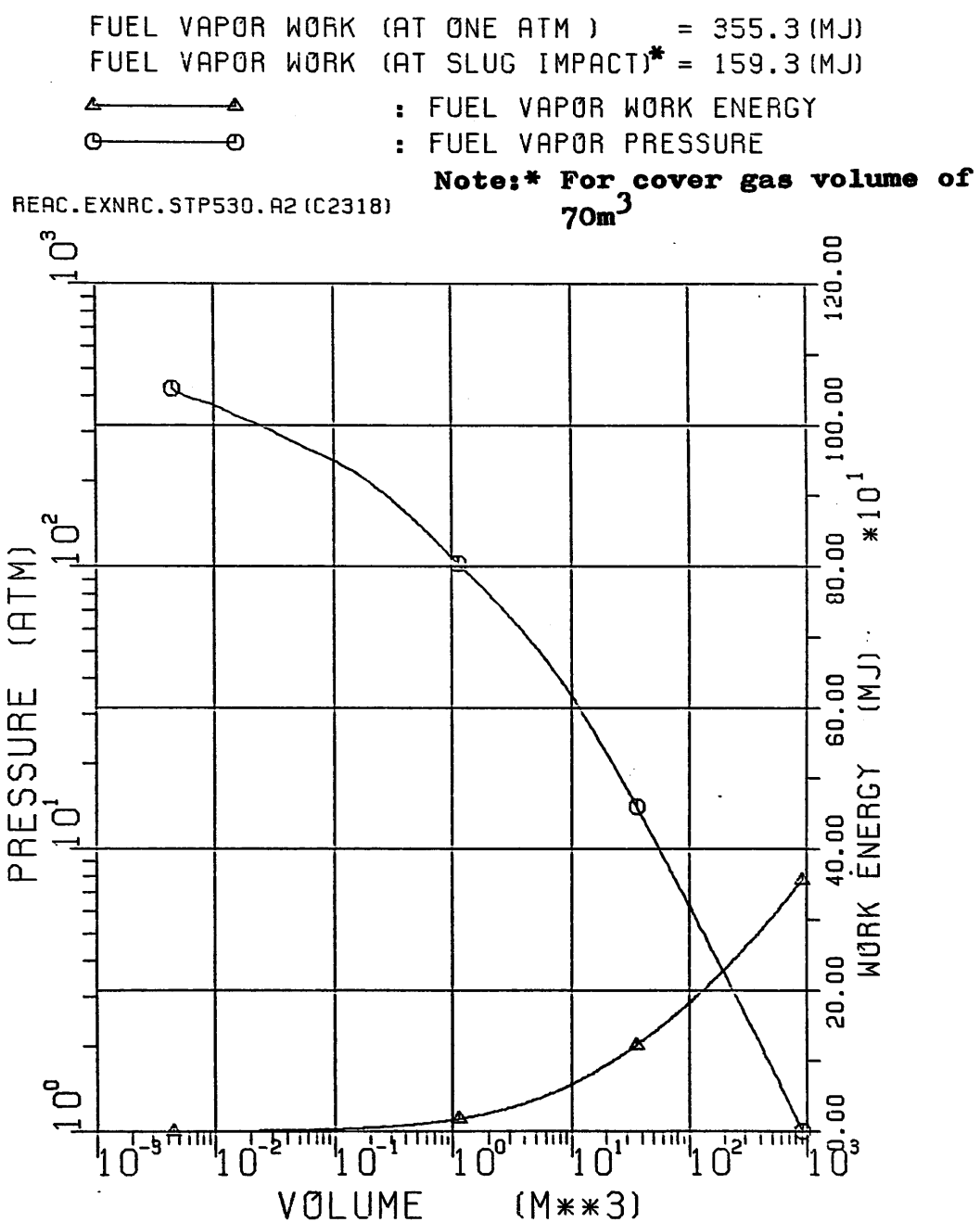


Figure 6.1-58a. Fuel Vapor Pressure and Work Energy vs. Volume

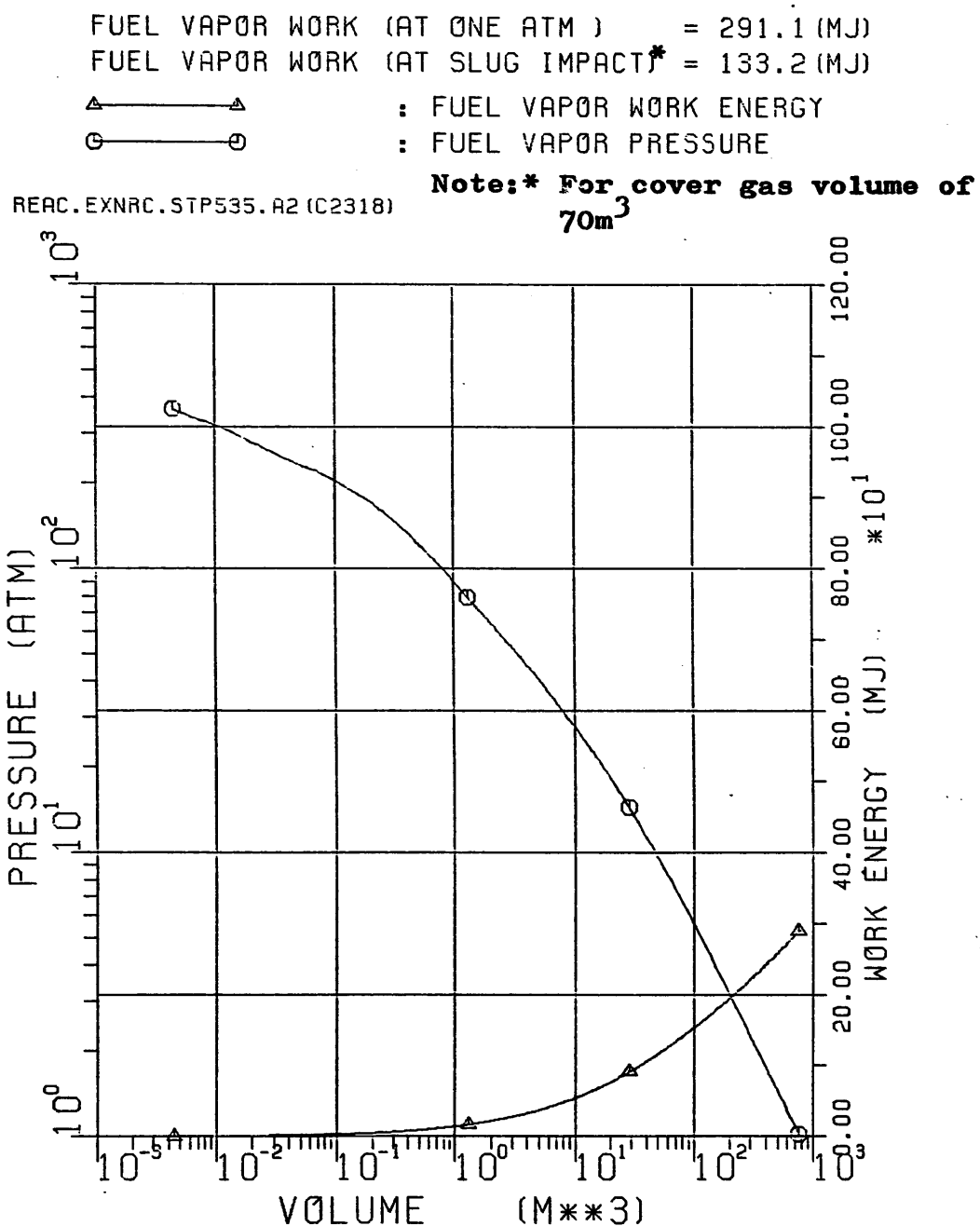


Figure 6.1-58b. Fuel Vapor Pressure and Work Energy vs. Volume

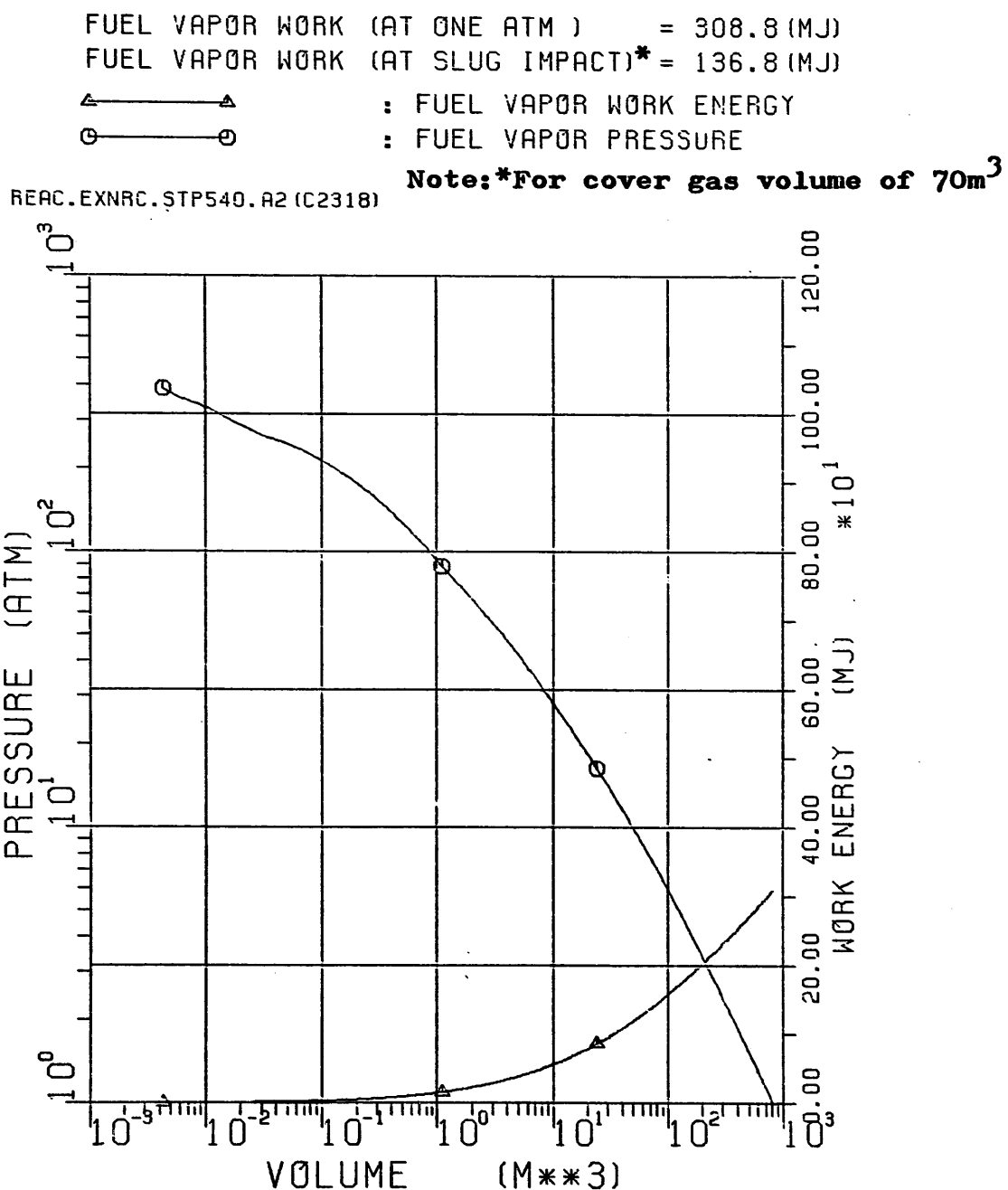


Figure 6.1-58c. Fuel Vapor Pressure and Work Energy vs. Volume

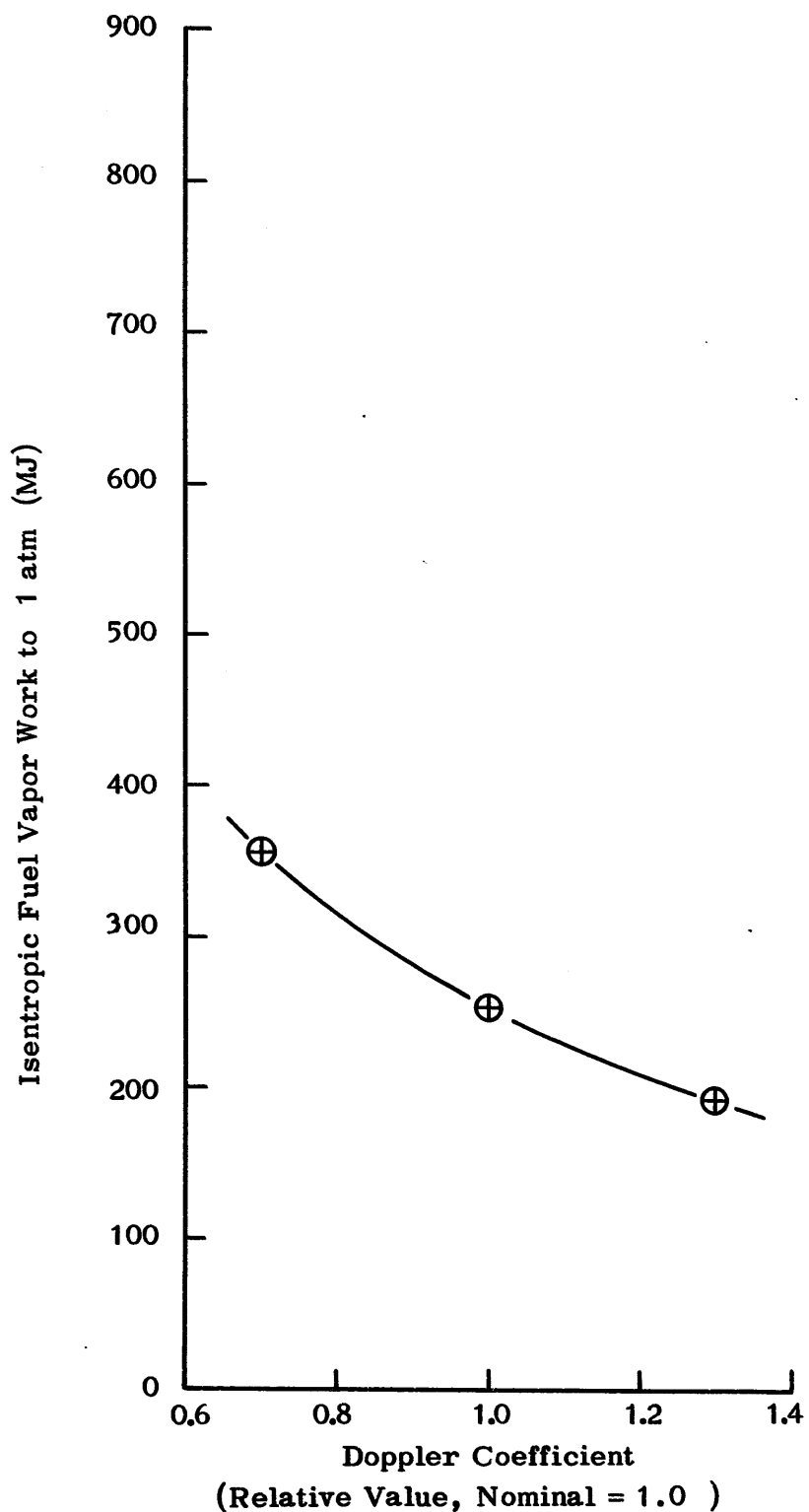


Figure 6.1-59a. Isentropic Fuel Vapor Work as Function
of Doppler Coefficient in VENUS Phase
Case ID: LF.REAC.EXNRC.C2318.STP530

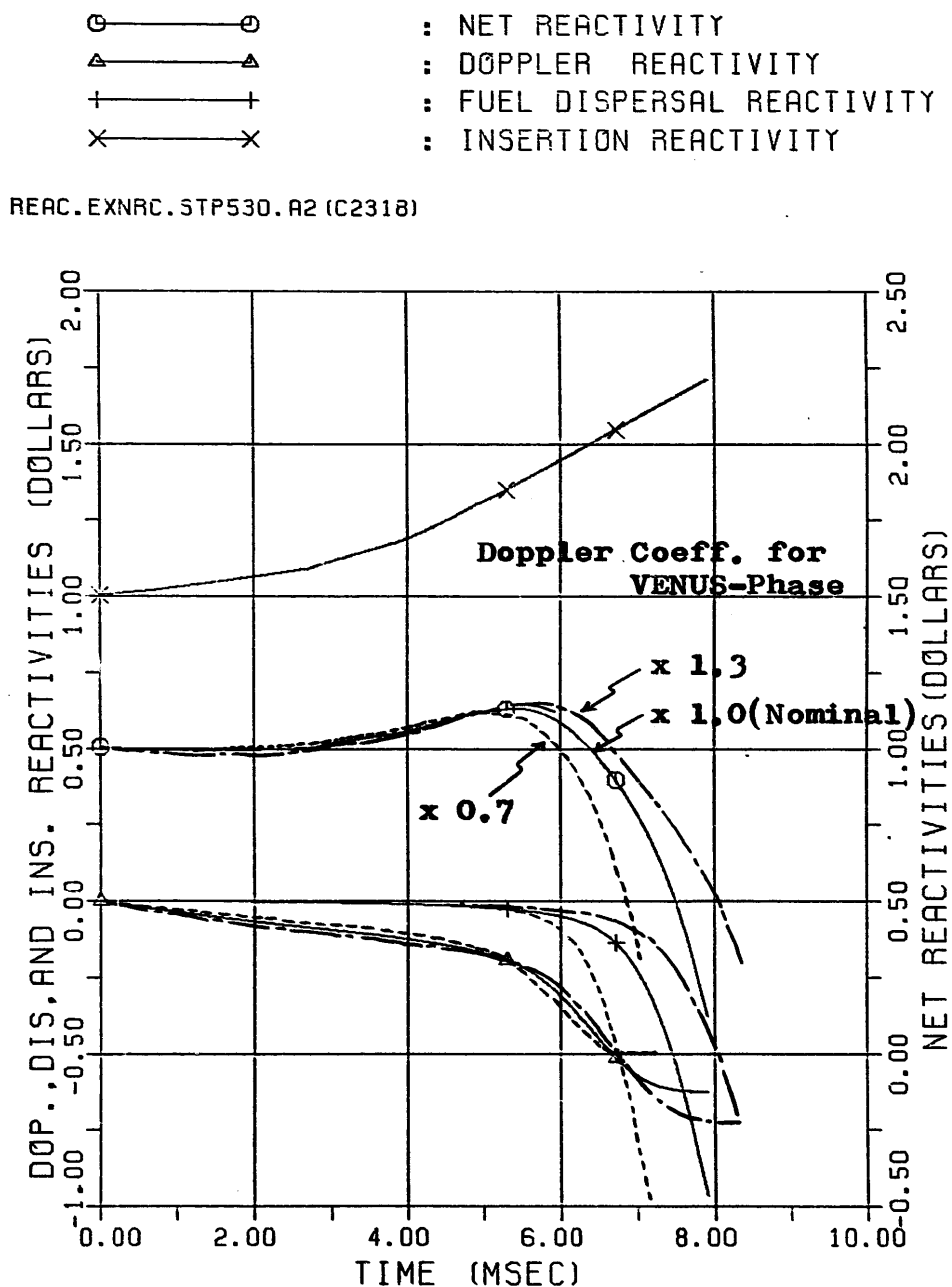


Figure 6.1-59b. Reactivities vs. Time

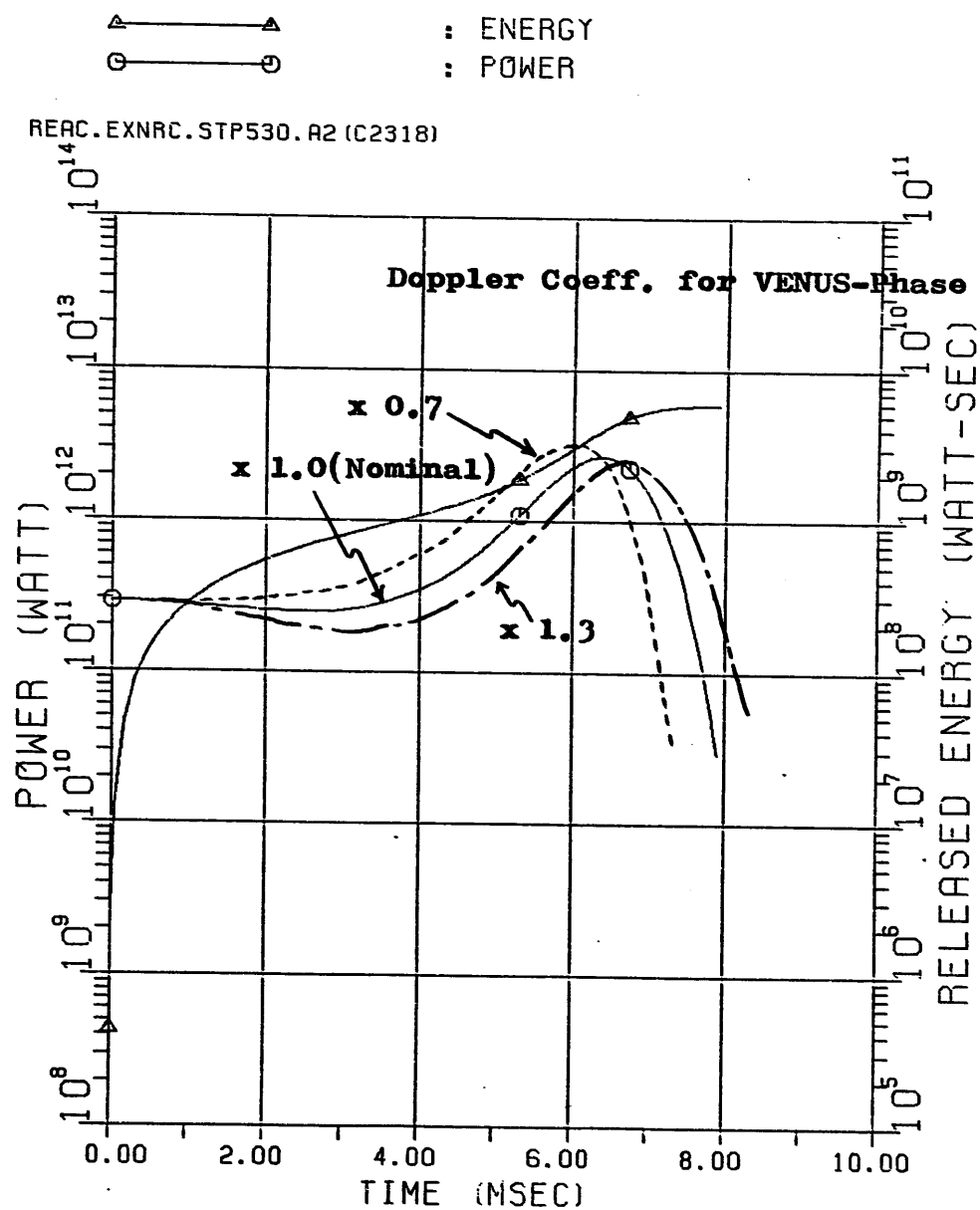
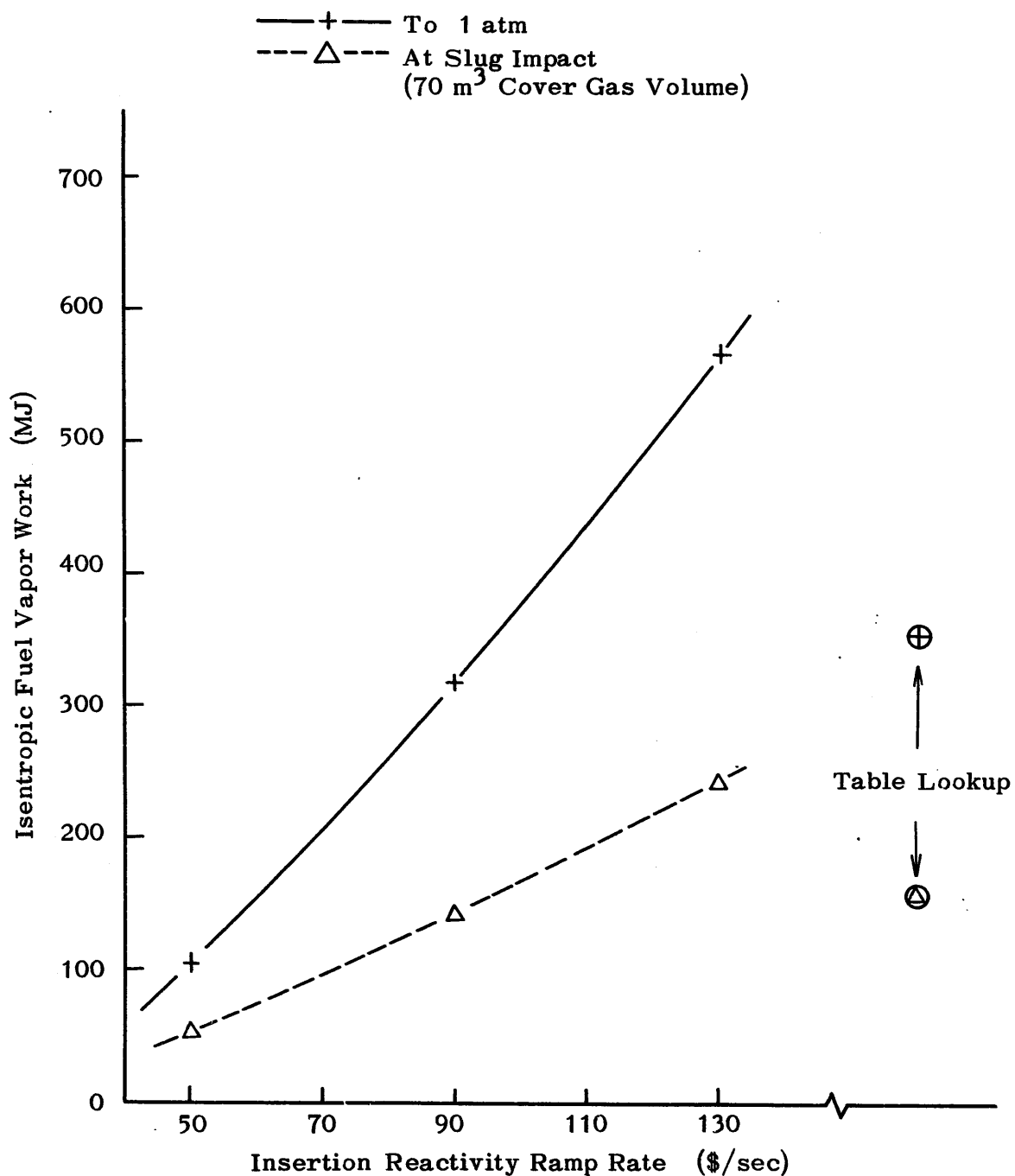


Figure 6.1-59c. Power and Released Energy vs. Time



**Figure 6.1-60 Isentropic Fuel Vapor Work as Function of
Insertion Reactivity Ramp Rate**
Case ID : LF.REAC.EXNRC.C2318.STP530

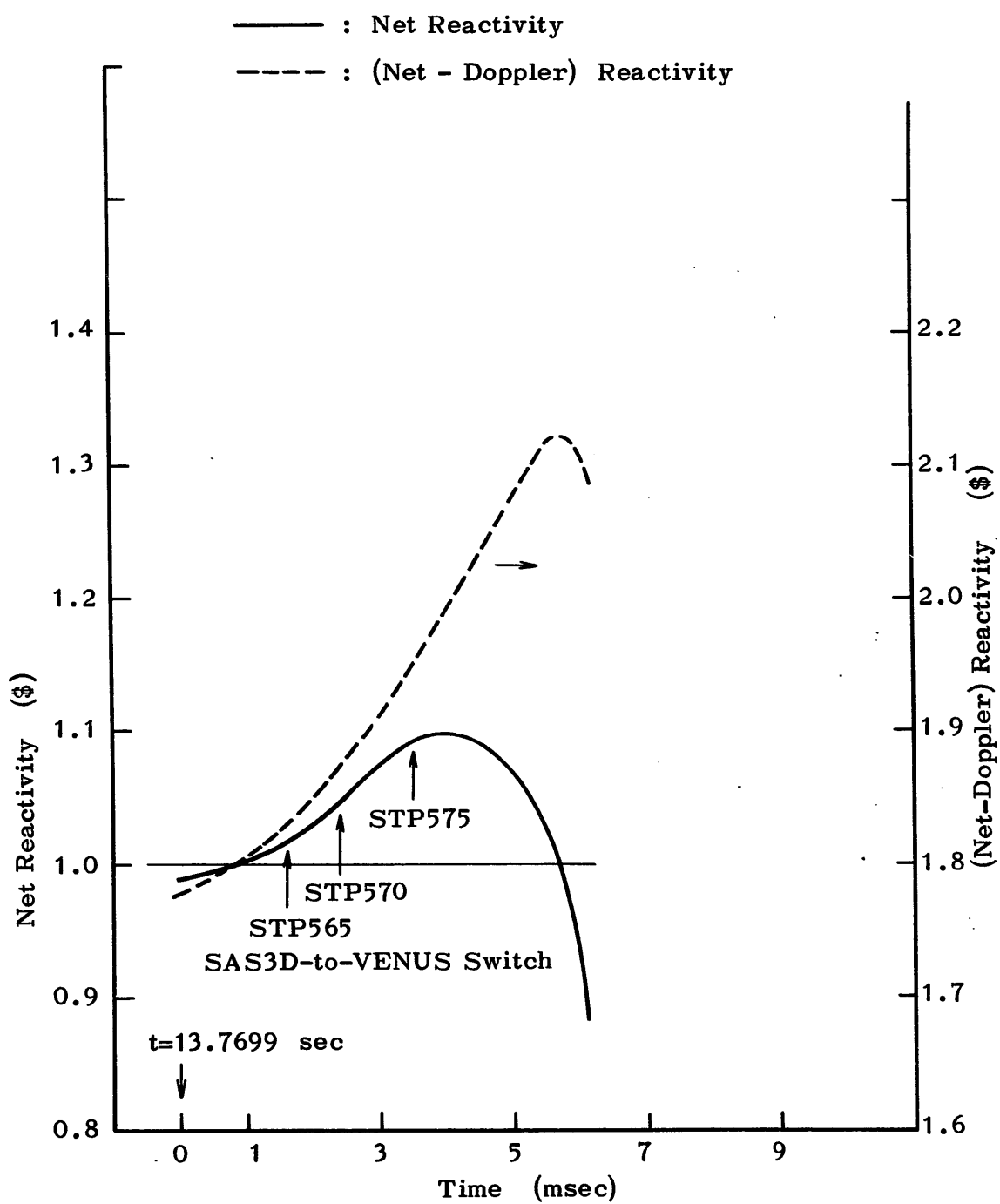


Figure 6.1-61. Reactivity as Function of Time
Case ID : LF.REAC.RP (C2317)

	$4000 < T \quad K$ $3500 < T < 4000 \quad K$ $T_{MELT+1} < T < 3500 \quad K$ $T_{MELT-1} < T < T_{MELT+1} \quad K$ $2000 < T < T_{MELT-1} \quad K$ $T < 2000 \quad K$	ACTIVE CORE STATE : MAX FUEL TEMP. (K) = 4153.0 MIN FUEL TEMP. (K) = 1848.9 AVERAGE FUEL TEMP. (K) = 2839.4 TEMP. PEAKING FACTOR = 1.4
---	--	---

MOLTED CORE STATE: TOTAL MOLTED FUEL MASS (KG) = 2341.5
MOLTED FUEL AVERAGE TEMP. (K) = 3180.1
ENERGY ABOVE FUEL SOLIDUS (MJ) = 899.5

REAC.RP.STP565.R2 (C2317)

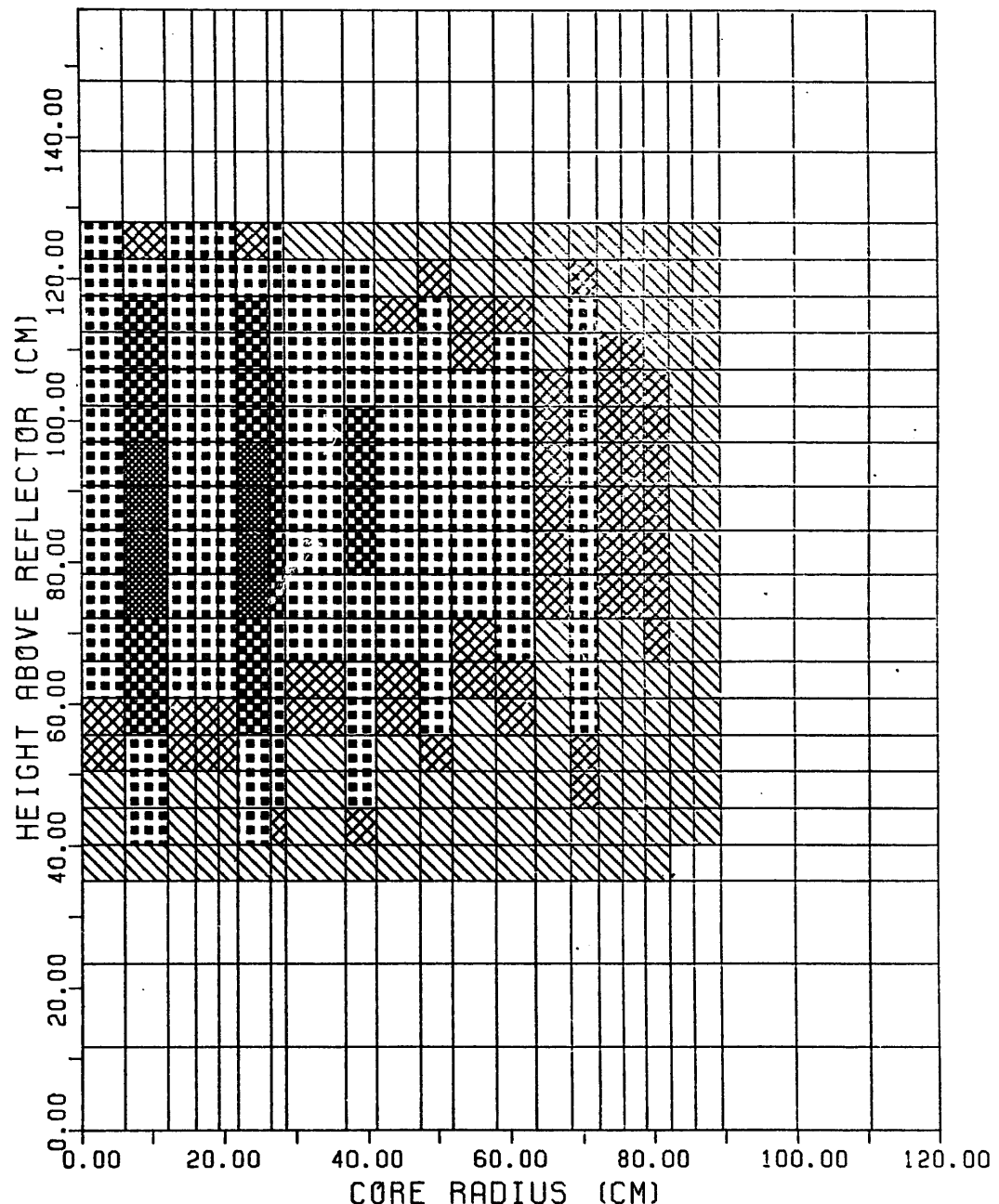


Figure 6.1-62a. Fuel Temperature Distribution (Initial State)

4000 < T	K	ACTIVE CORE STATE :
3500 < T < 4000	K	MAX FUEL TEMP. (K) = 4262.0
TMELT+1 < T < 3500	K	MIN FUEL TEMP. (K) = 1881.8
TMELT-1 < T < TMELT+1	K	AVERAGE FUEL TEMP. (K) = 2908.4
2000 < T < TMELT-1	K	TEMP. PEAKING FACTOR = 1.5
T < 2000	K	

MOLTED CORE STATE: TOTAL MOLTED FUEL MASS (KG) = 2533.2
 MOLTED FUEL AVERAGE TEMP. (K) = 3219.9
 ENERGY ABOVE FUEL SOLIDUS (MJ) = 1023.9

REAC.RP.STP570.A2 (C2317)

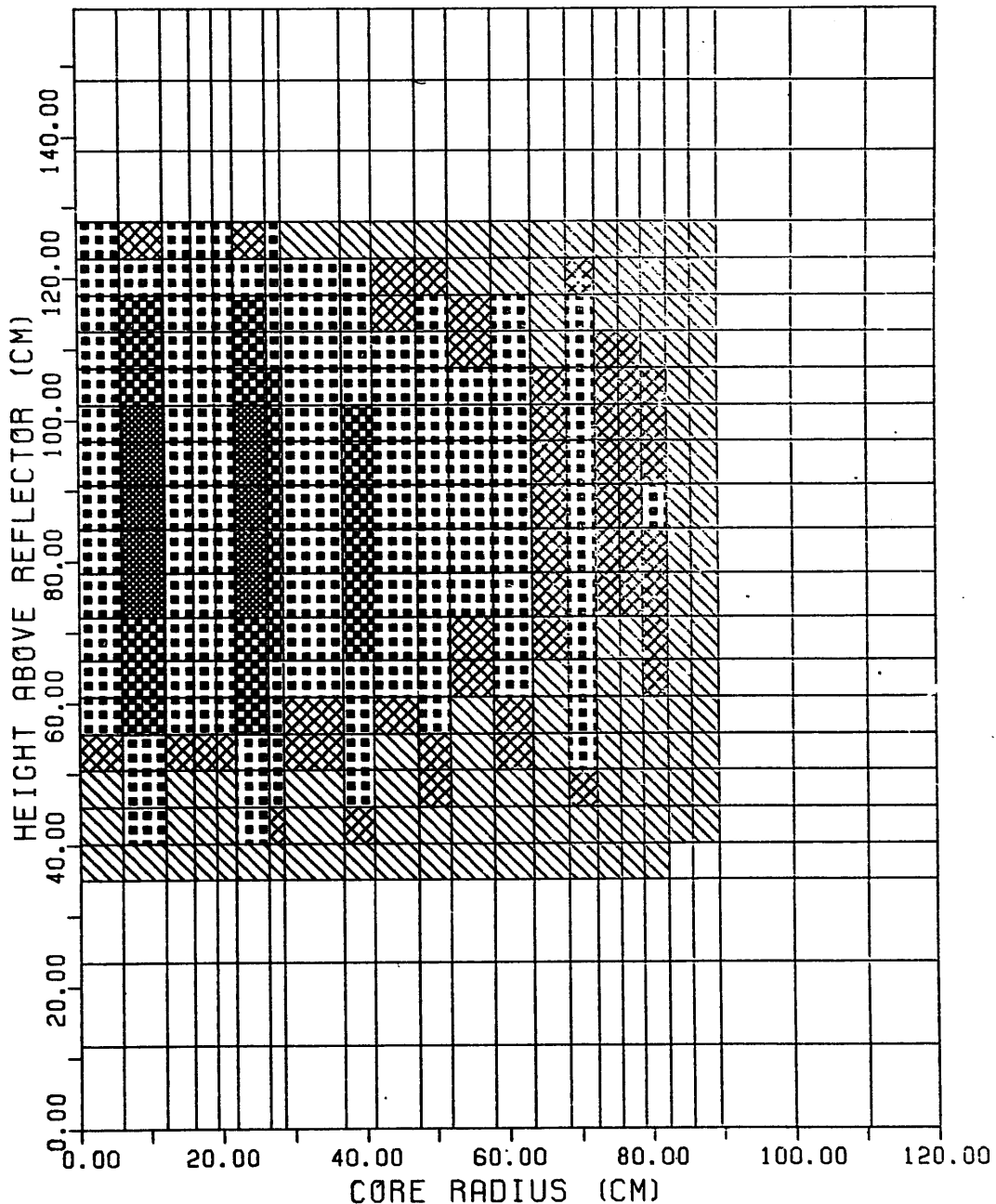


Figure 6.1-62b. Fuel Temperature Distribution (Initial State)

4000 < T	K	ACTIVE CORE STATE :	
3500 < T < 4000	K	MAX FUEL TEMP. (K)	= 4485.6
TMELT+1 < T < 3500	K	MIN FUEL TEMP. (K)	= 1949.5
TMELT-1 < T < TMELT+1	K	AVERAGE FUEL TEMP. (K)	= 2997.3
2000 < T < TMELT-1	K	TEMP. PEAKING FACTOR	= 1.5
T < 2000	K		

MOLTEN CORE STATE: TOTAL MOLTEN FUEL MASS (KG) = 3381.4

MOLTEN FUEL AVERAGE TEMP. (K) = 3263.2

ENERGY ABOVE FUEL SOLIDUS (MJ) = 1440.3

REAC.RP.STP575.A2 (C2317)

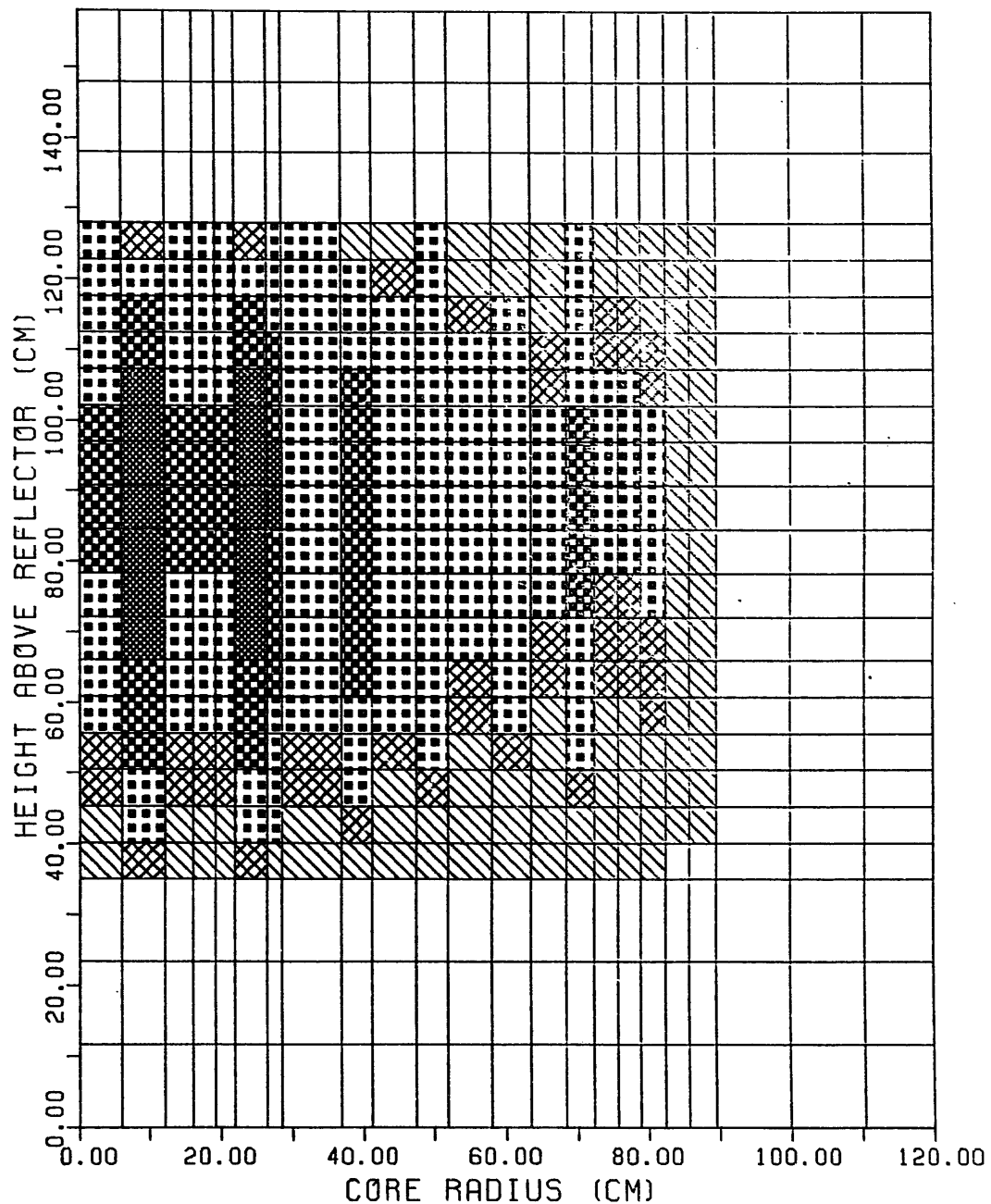


Figure 6.1-62c. Fuel Temperature Distribution (Initial State)

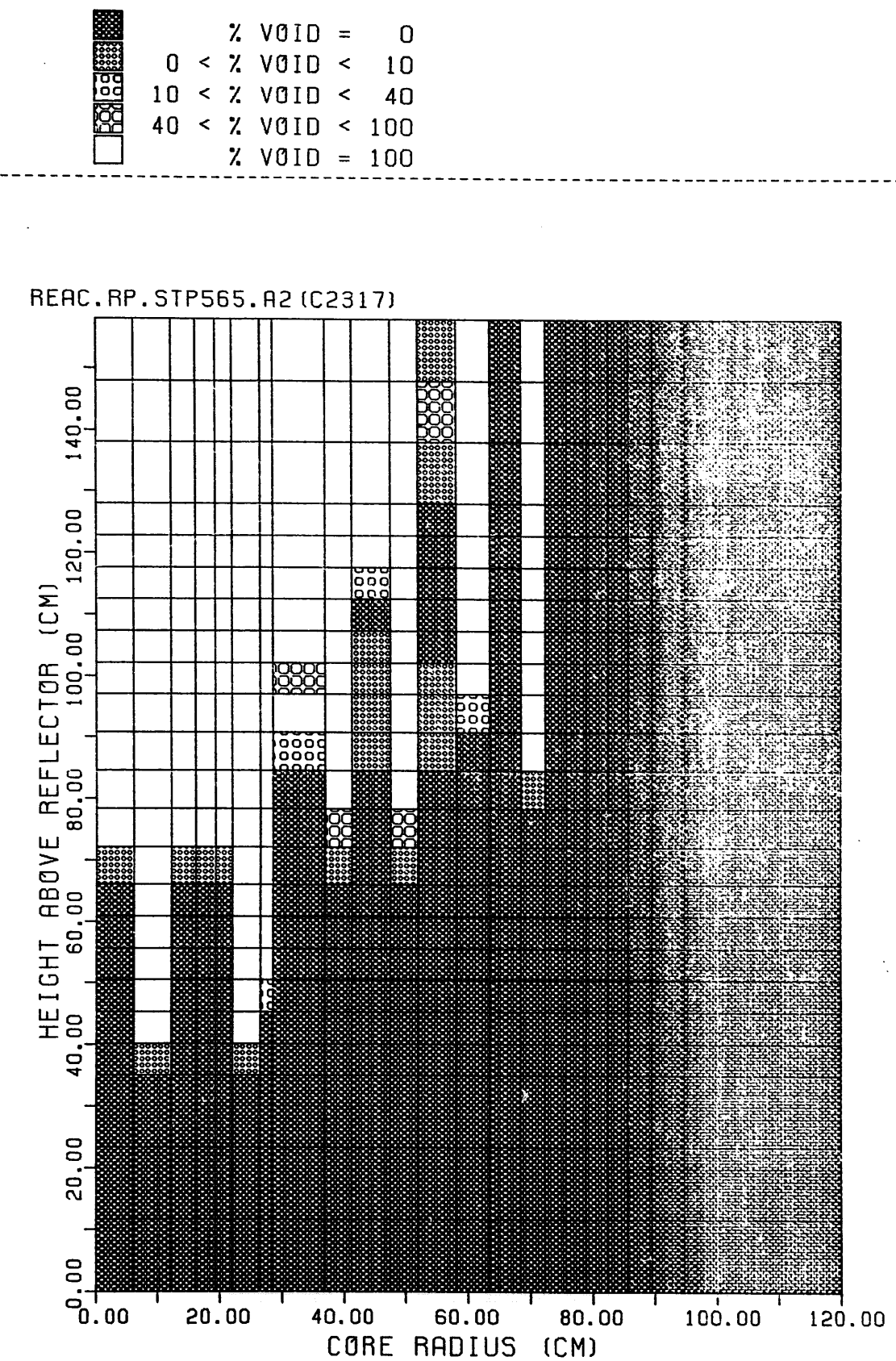


Figure 6.1-63a. Void Fraction Distribution

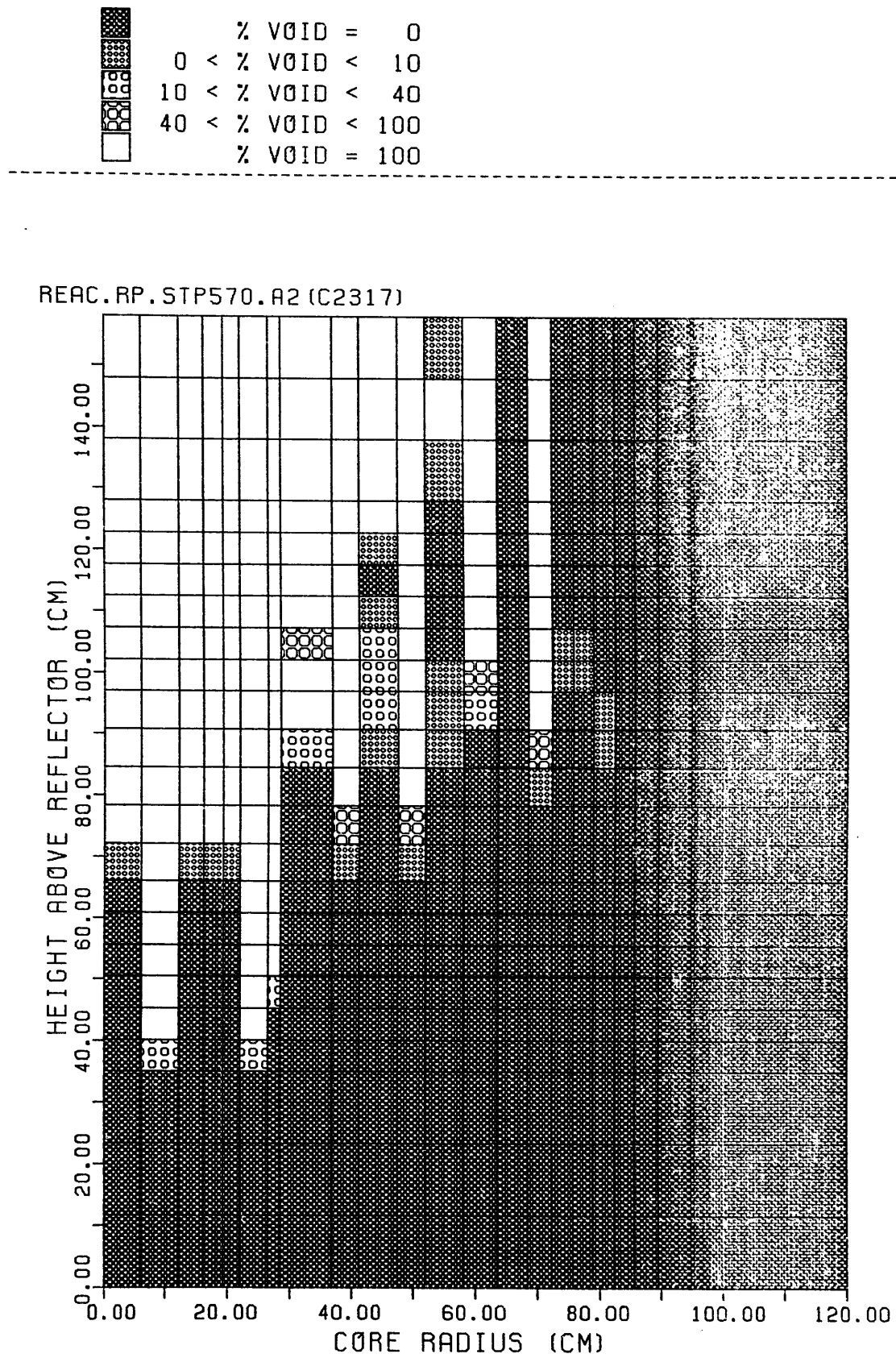


Figure 6.1-63b. Void Fraction Distribution

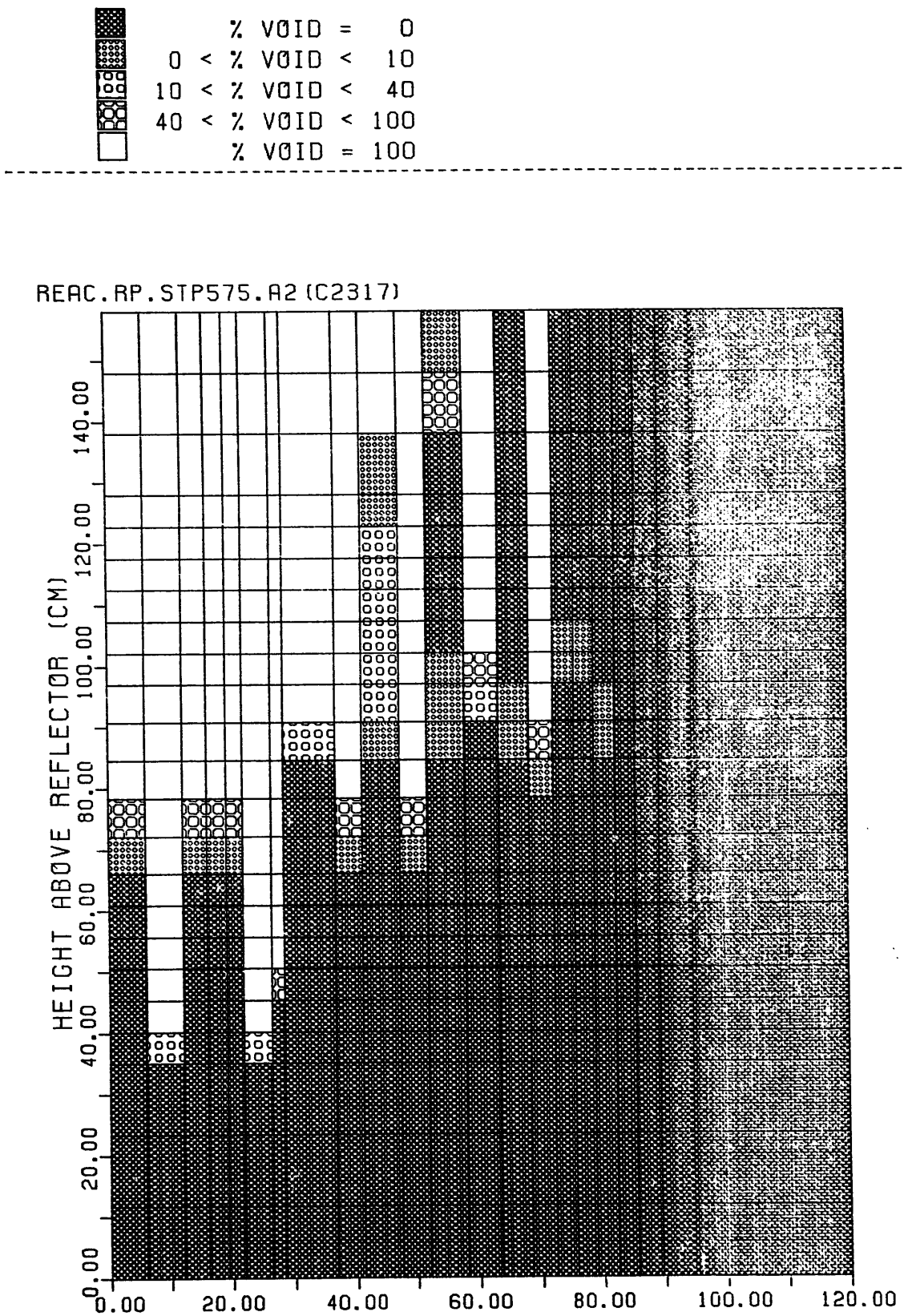
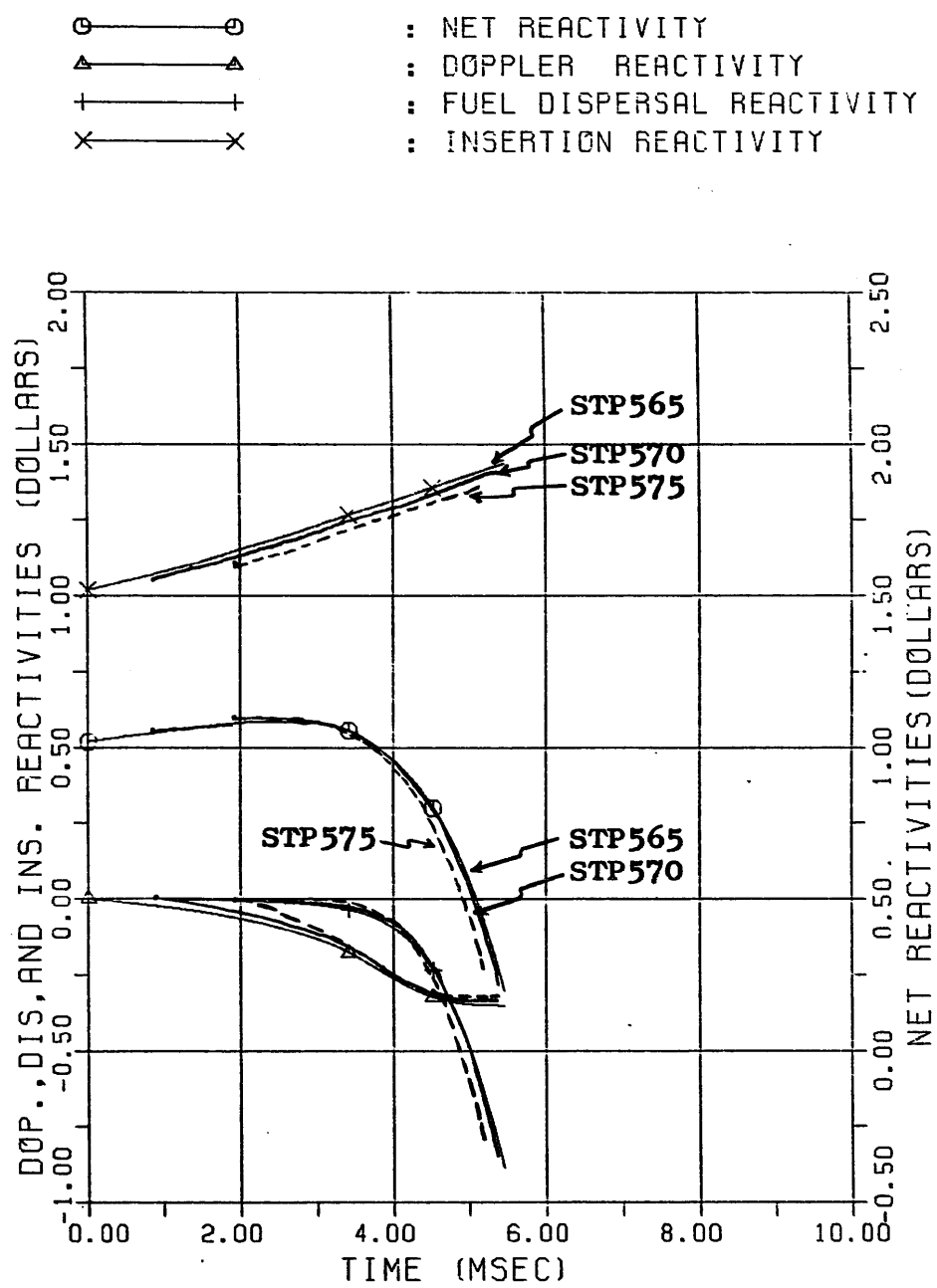


Figure 6.1-63c. Void Fraction Distribution



**Figure 6.1-64a. Reactivities vs. Time
(LF.REAC.RP.C2317)**

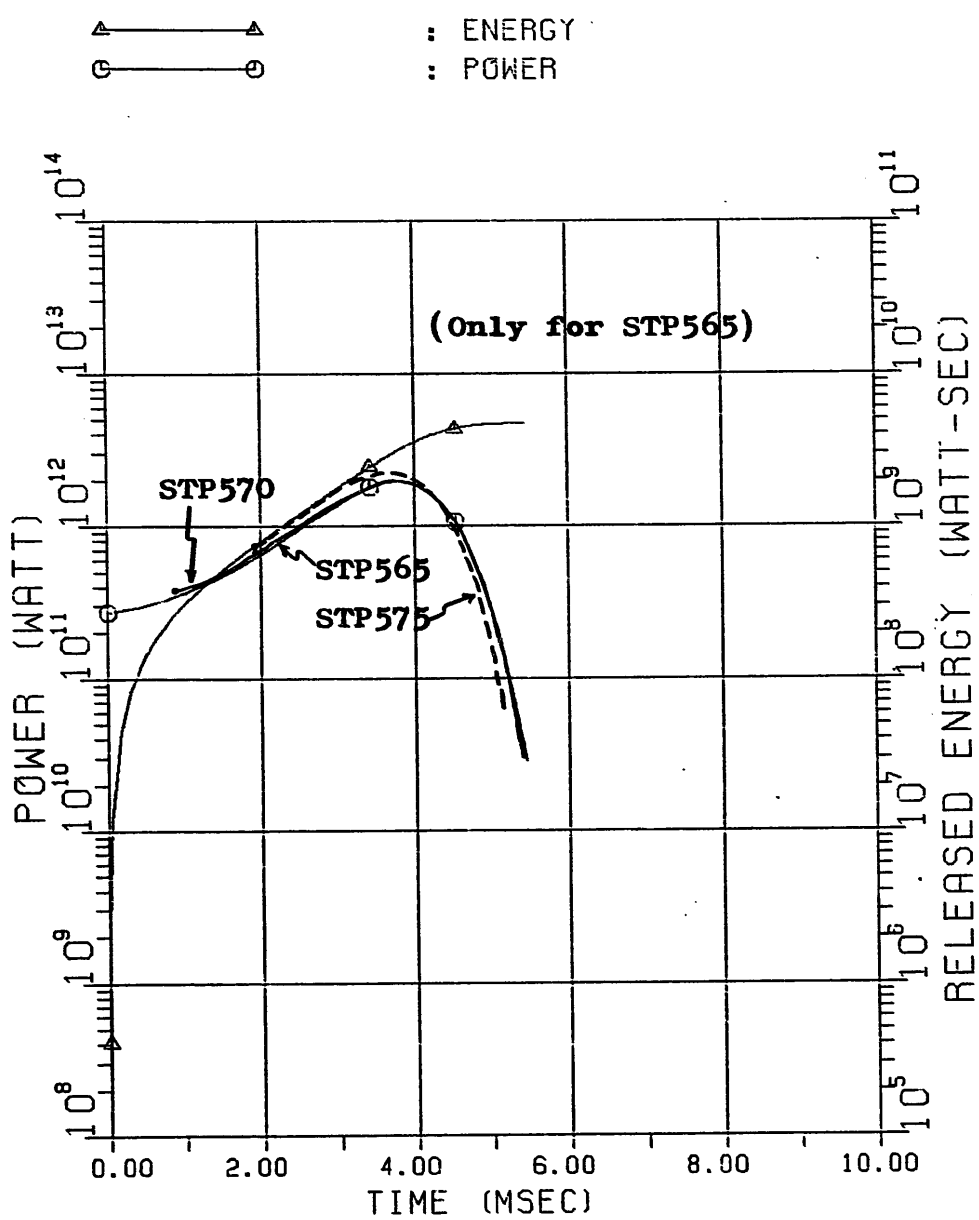


Figure 6.1-64b. Power and Released Energy vs. Time
(LF.REAC.RP.C2317)

4000 < T	K	ACTIVE CORE STATE :
3500 < T < 4000	K	MAX FUEL TEMP. (K) = 6203.7
TMELT+1 < T < 3500	K	MIN FUEL TEMP. (K) = 2442.2
TMELT-1 < T < TMELT+1	K	AVERAGE FUEL TEMP. (K) = 3800.9
2000 < T < TMELT-1	K	TEMP. PEAKING FACTOR = 1.6
T < 2000	K	

MOLTEN CORE STATE: TOTAL MOLTEN FUEL MASS (KG) = 5340.3
 MOLTEN FUEL AVERAGE TEMP. (K) = 4041.8
 ENERGY ABOVE FUEL SOLIDUS (MJ) = 4366.2

REAC.RP.STP565.A2 (C2317)

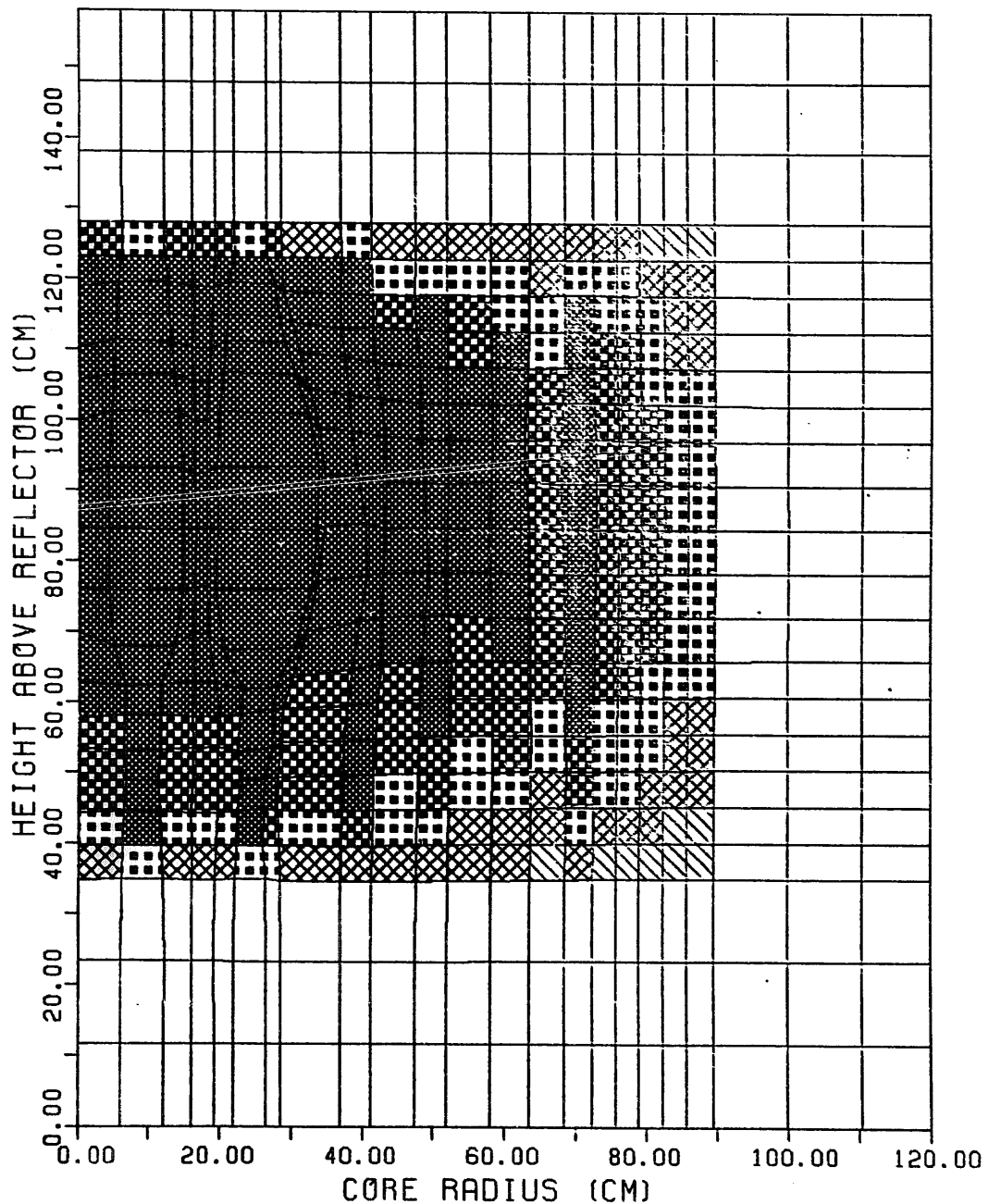


Figure 6.1-65a. Fuel Temperature Distribution (Final State)

	$4000 < T$ K $3500 < T < 4000$ K $T_{MELT+1} < T < 3500$ K $T_{MELT-1} < T < T_{MELT+1}$ K $2000 < T < T_{MELT-1}$ K $T < 2000$ K	ACTIVE CORE STATE : MAX FUEL TEMP. (K) = 6245.0 MIN FUEL TEMP. (K) = 2455.6 AVERAGE FUEL TEMP. (K) = 3812.9 TEMP. PEAKING FACTOR = 1.6
		MOLTEN CORE STATE: TOTAL MOLTEN FUEL MASS (KG) = 5374.1 MOLTEN FUEL AVERAGE TEMP. (K) = 4052.3 ENERGY ABOVE FUEL SOLIDUS (MJ) = 4422.4

REAC.RP.STP570.A2 (C2317)

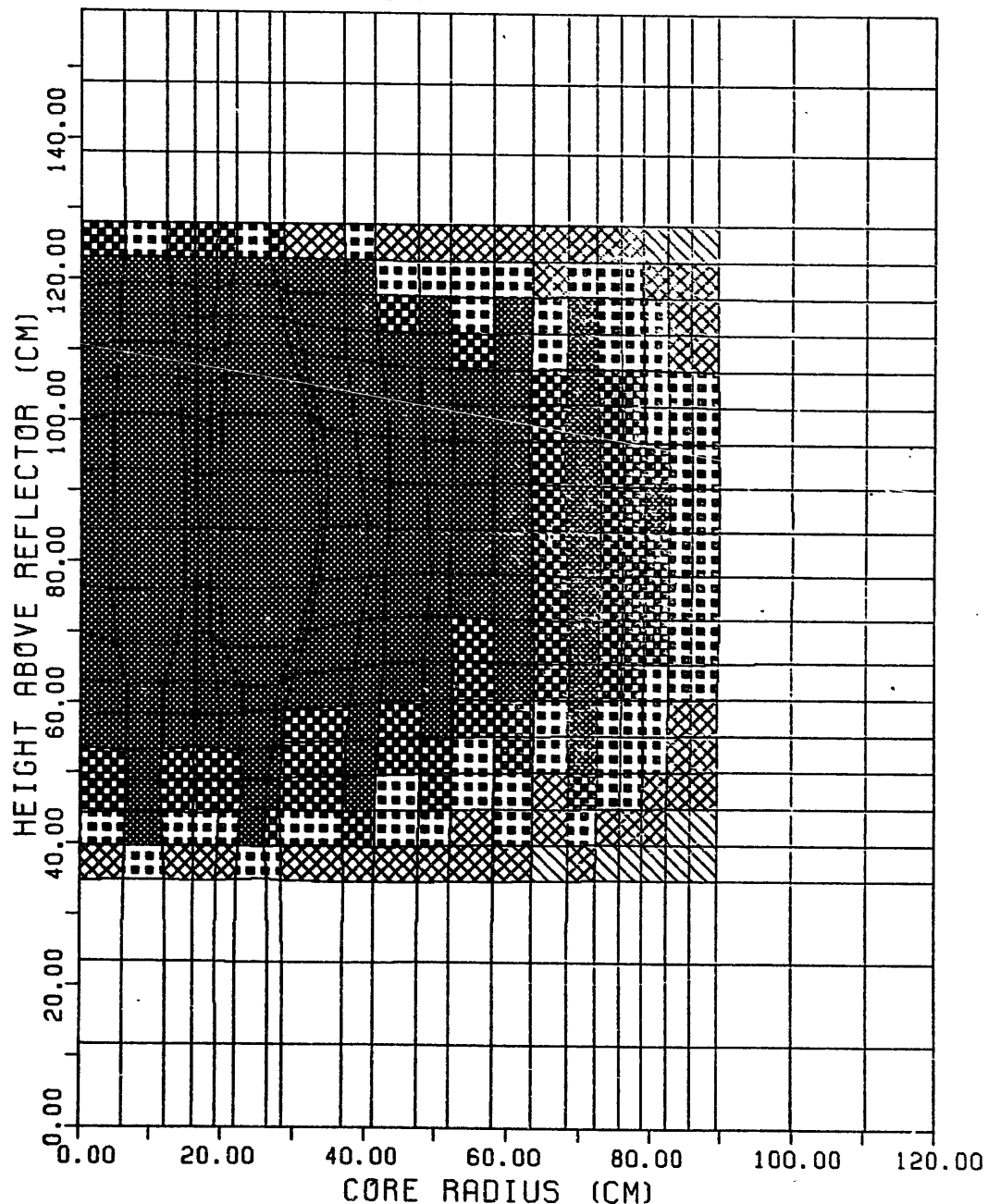


Figure 6.1-65b. Fuel Temperature Distribution (Final State)



4000 < T	K
3500 < T < 4000	K
TMELT+1 < T < 3500	K
TMELT-1 < T < TMELT+1	K
2000 < T < TMELT-1	K
T < 2000	K

ACTIVE CORE STATE :
 MAX FUEL TEMP. (K) = 6333.4
 MIN FUEL TEMP. (K) = 2484.7
 AVERAGE FUEL TEMP. (K) = 3899.0
 TEMP. PEAKING FACTOR = 1.6

MOLTEN CORE STATE: TOTAL MOLTEN FUEL MASS (KG) = 5526.5
 MOLTEN FUEL AVERAGE TEMP. (K) = 4123.3
 ENERGY ABOVE FUEL SOLIDUS (MJ) = 4744.9

REAC.RP.STP575.A2(C2317)

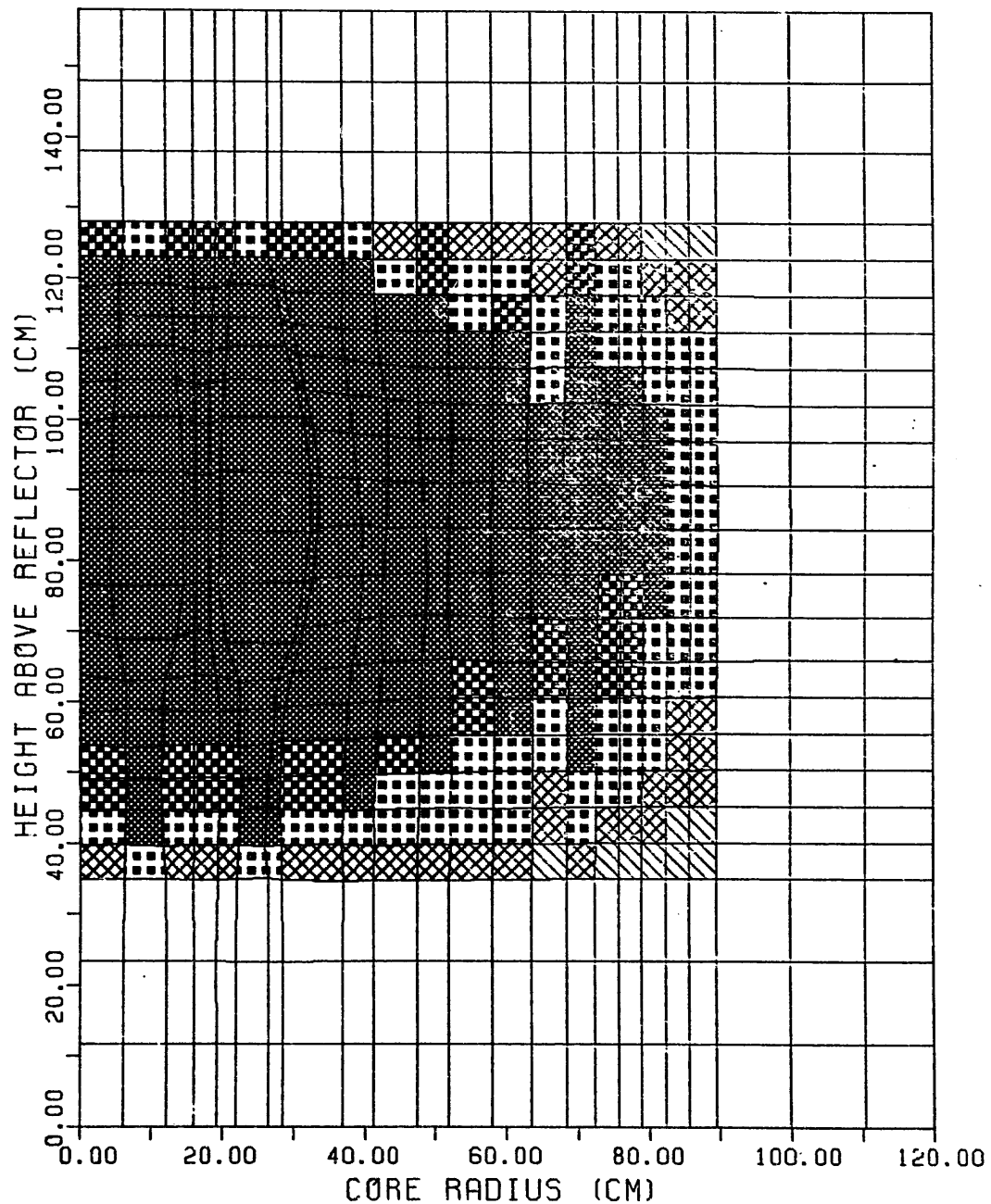


Figure 6.1-65c. Fuel Temperature Distirubtion
(Final State)

FUEL VAPOR WORK (AT ONE ATM) = 193.4 (MJ)
 FUEL VAPOR WORK (AT SLUG IMPACT) = 91.3 (MJ)

▲ : FUEL VAPOR WORK ENERGY
 ○ : FUEL VAPOR PRESSURE

REAC.RP.STP565.A2 (C2317)

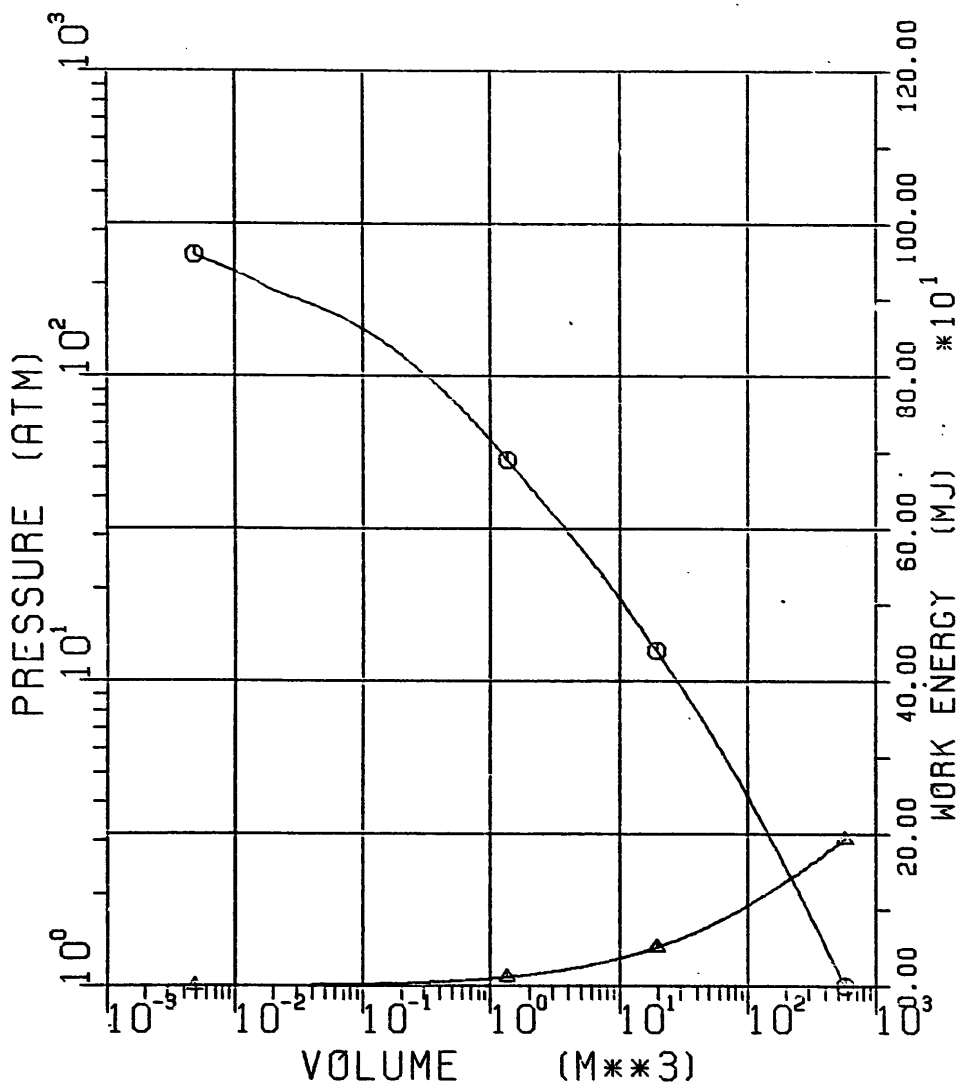


Figure 6.1-66a. Fuel Vapor Pressure and Work Energy vs. Volume

FUEL VAPOR WORK (AT ONE ATM) = 202.4 (MJ)
 FUEL VAPOR WORK (AT SLUG IMPACT) = 94.2 (MJ)
 ▲ : FUEL VAPOR WORK ENERGY
 ○ : FUEL VAPOR PRESSURE

REAC.RP.STP570.A2 (C2317)

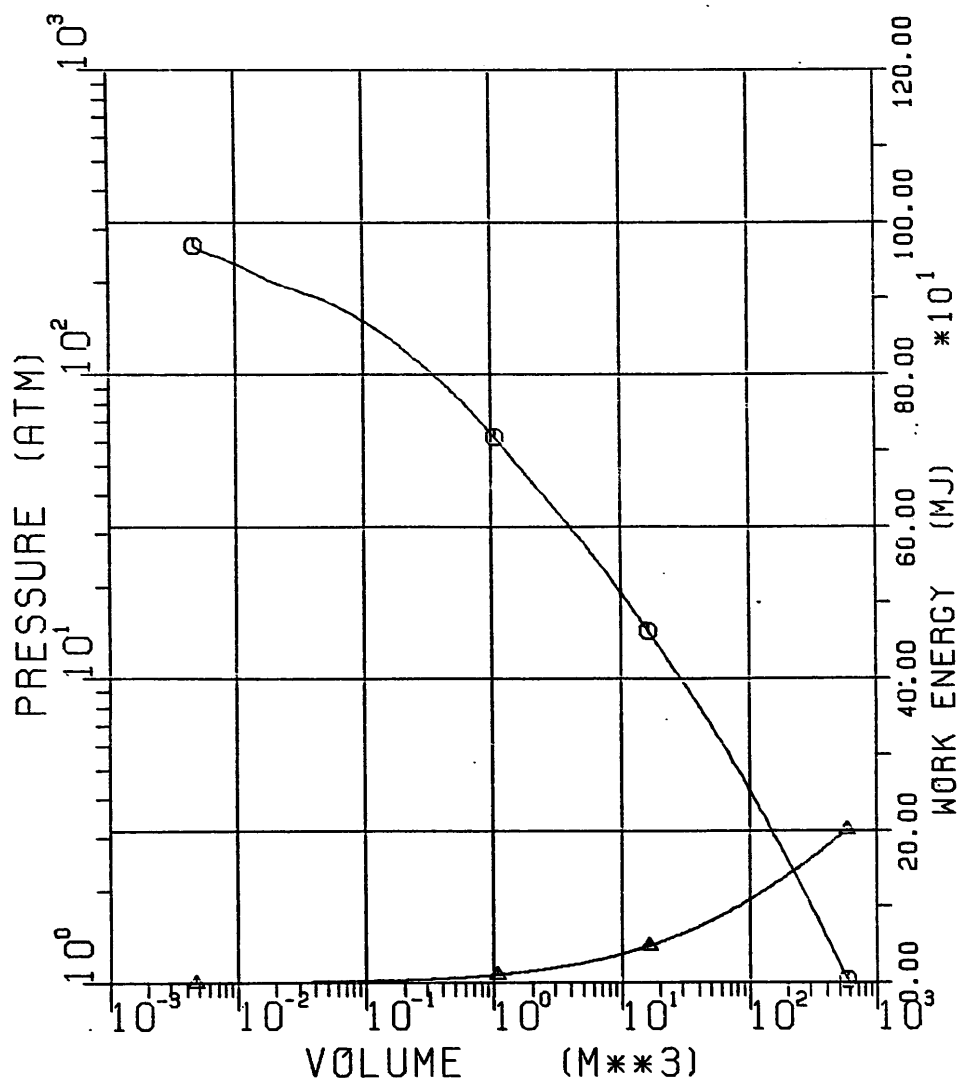


Figure 6.1-66b. Fuel Vapor Pressure and Work Energy vs. Volume

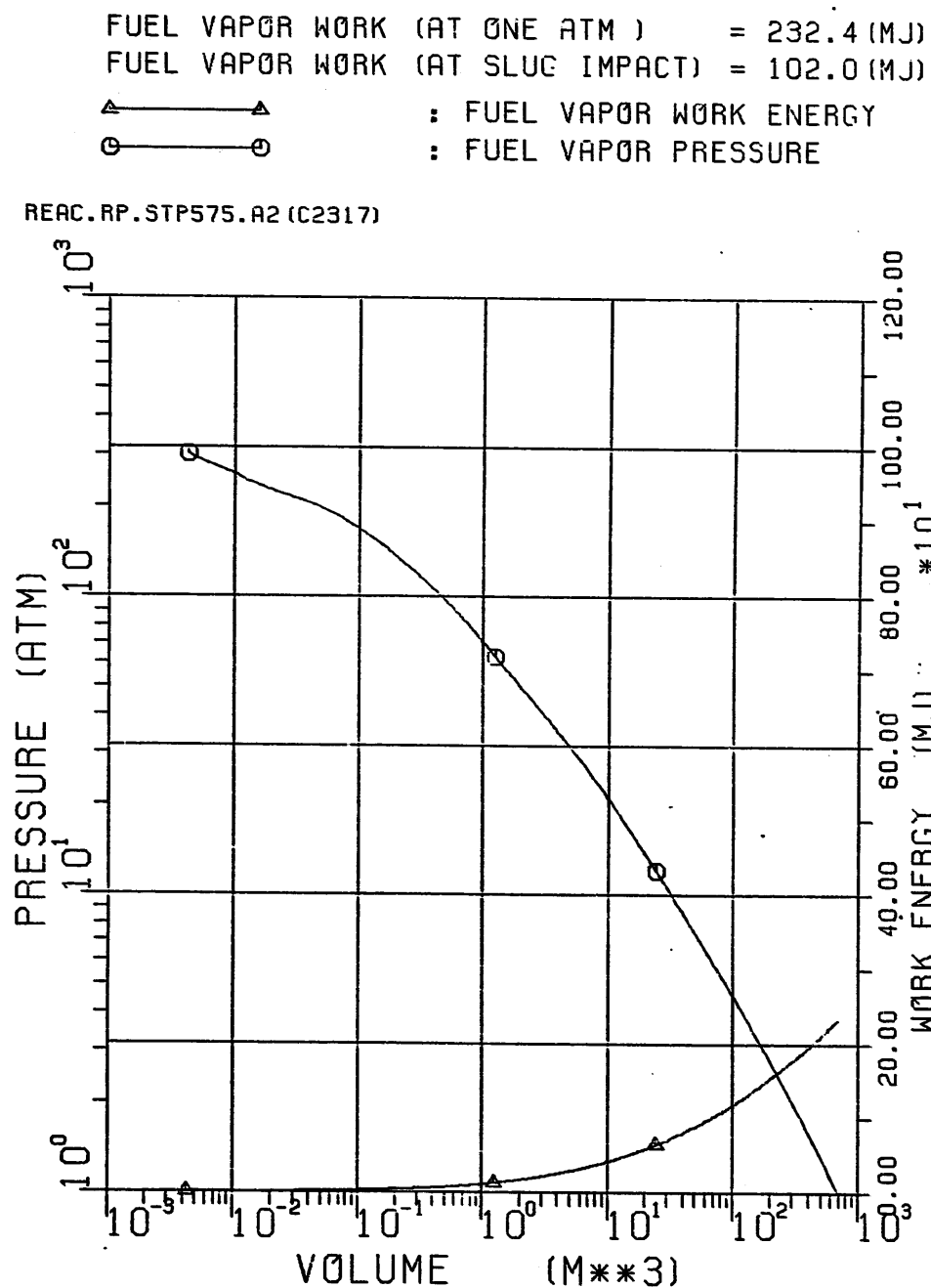


Figure 6.1-66c. Fuel Vapor Pressure and Work Energy vs. Volume

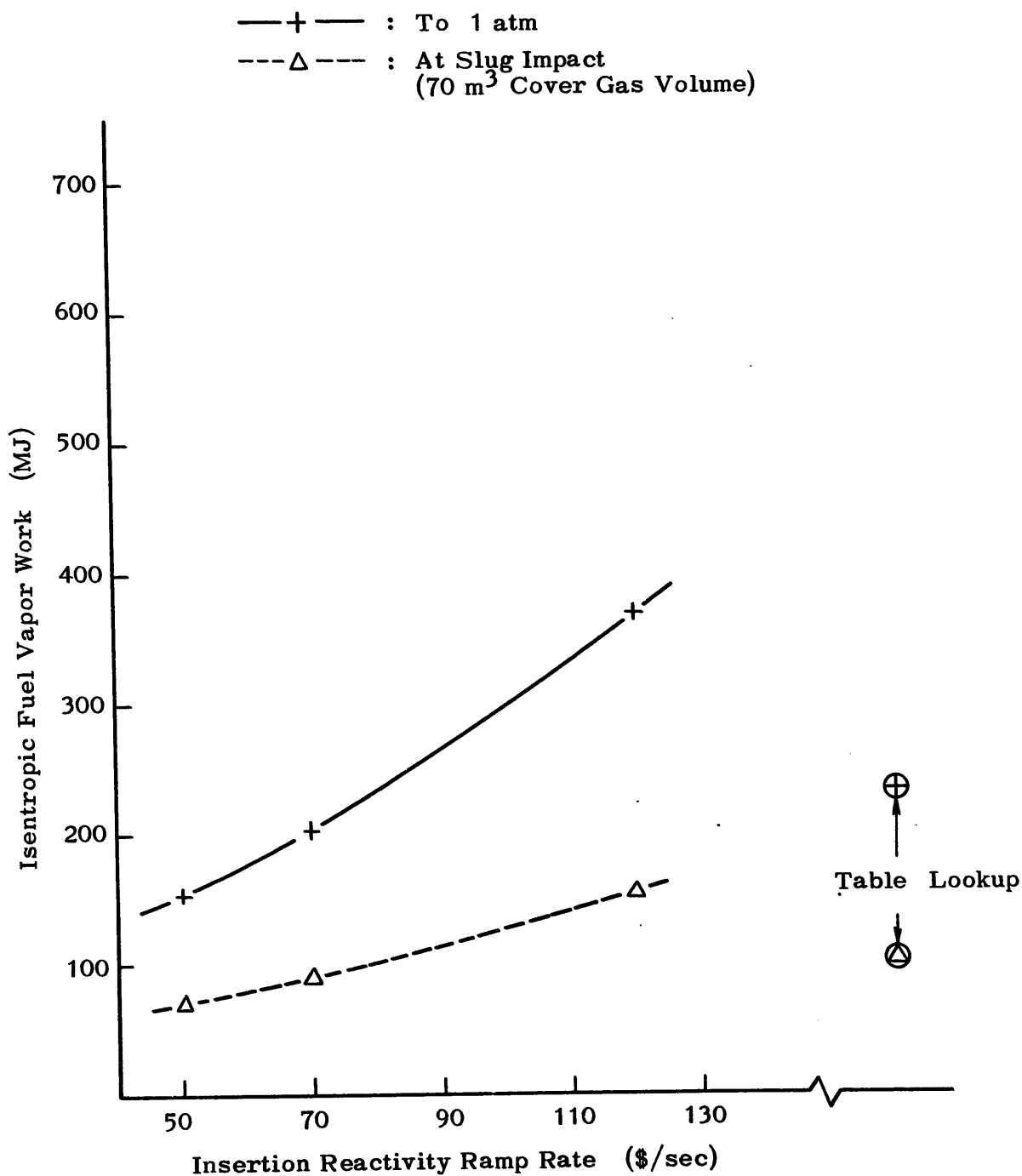


Figure 6.1-67. Isentropic Fuel Vapor Work as Function
of Insertion Reactivity Ramp Rate
Case ID : LF.REAC.RP.C2317.STP575

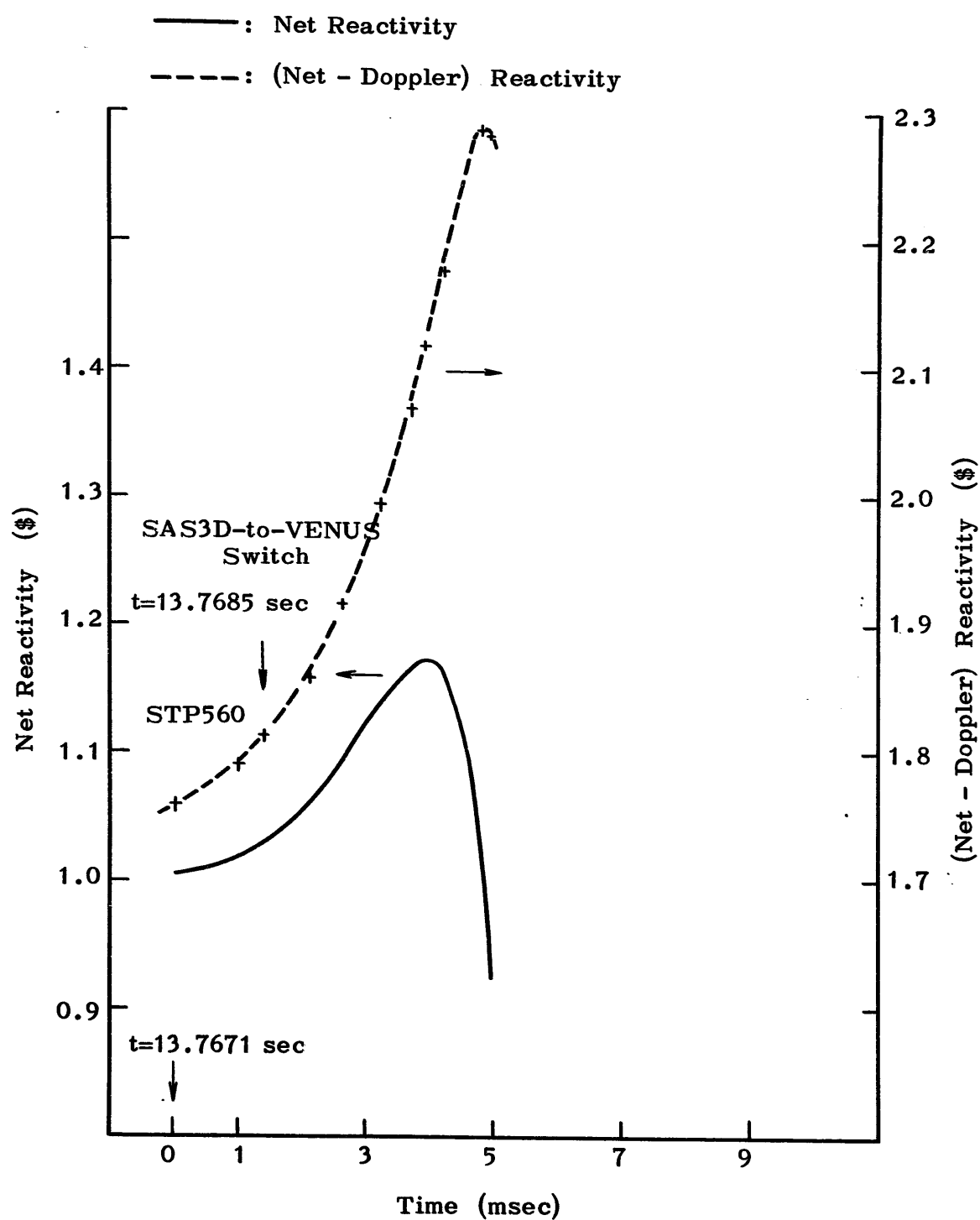


Figure 6.1-68. Reactivity as Function of Time
Case ID : LF.REAC.NSS.FCI25.CNT (C2320)

	K	ACTIVE CORE STATE :
4000 < T	K	MAX FUEL TEMP. (K) = 3941.0
3500 < T < 4000	K	MIN FUEL TEMP. (K) = 1786.1
TMELT+1 < T < 3500	K	AVERAGE FUEL TEMP. (K) = 2799.5
TMELT-1 < T < TMELT+1	K	TEMP. PEAKING FACTOR = 1.4
2000 < T < TMELT-1	K	
T < 2000	K	

MOLten CORE STATE: TOTAL MOLten FUEL MASS (KG) = 1969.3
 MOLten FUEL AVERAGE TEMP. (K) = 3119.4
 ENERGY ABOVE FUEL SOLIDUS (MJ) = 696.4

REAC.FCI25.STP560.A2(C2320)

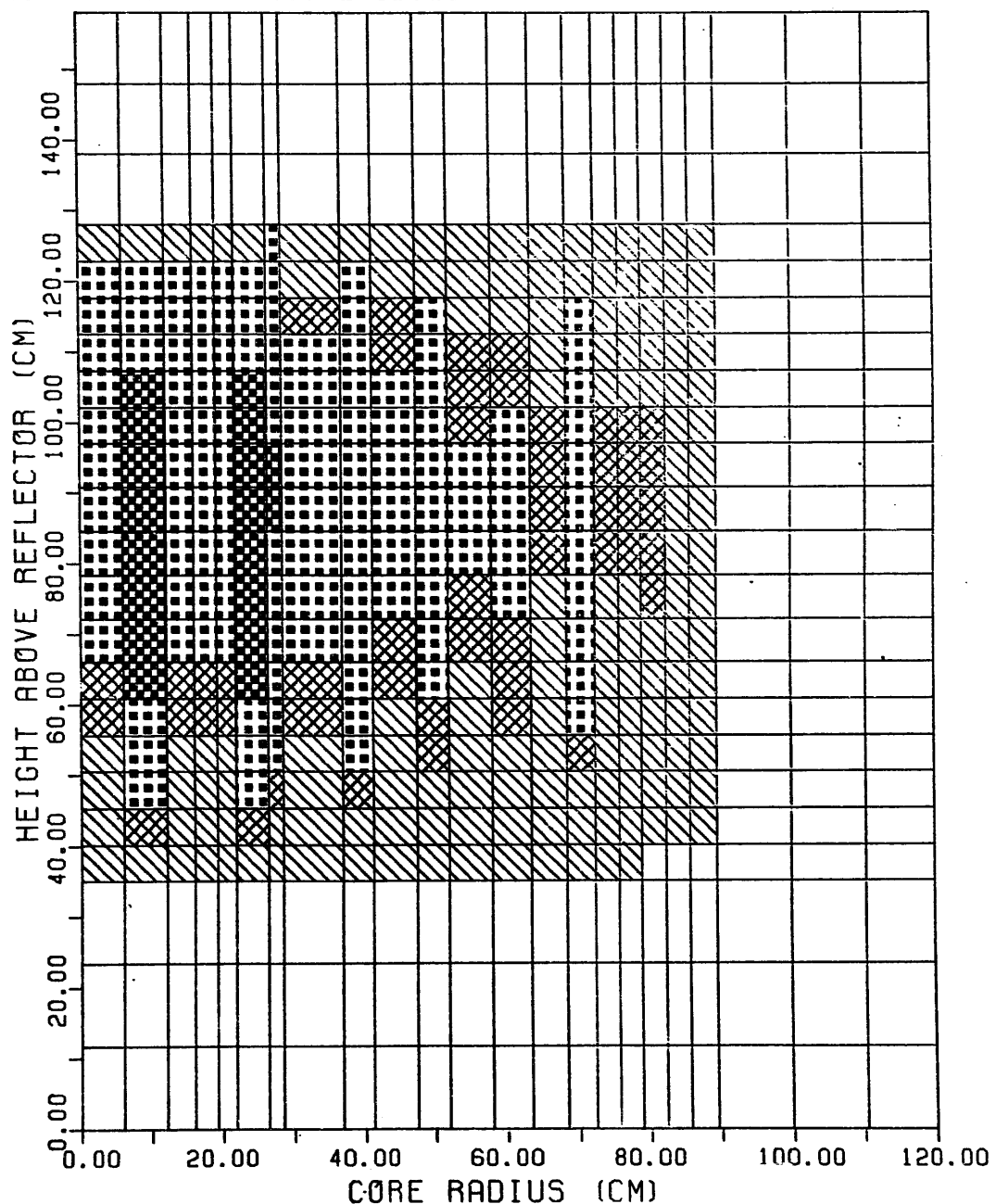


Figure 6.1-69a. Fuel Temperature Distribution (Initial State)

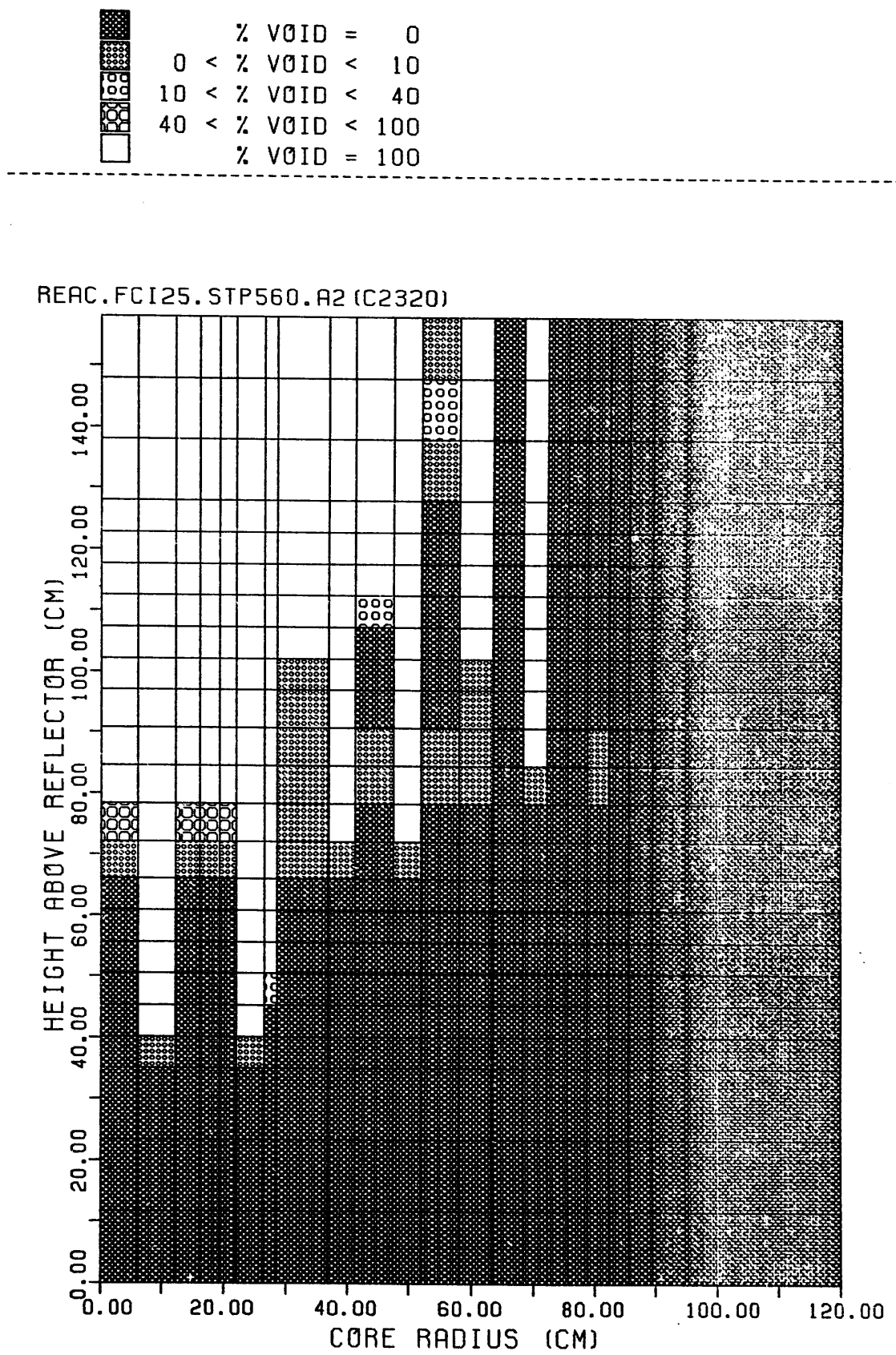


Figure 6.1-69b. Void Fraction Distribution

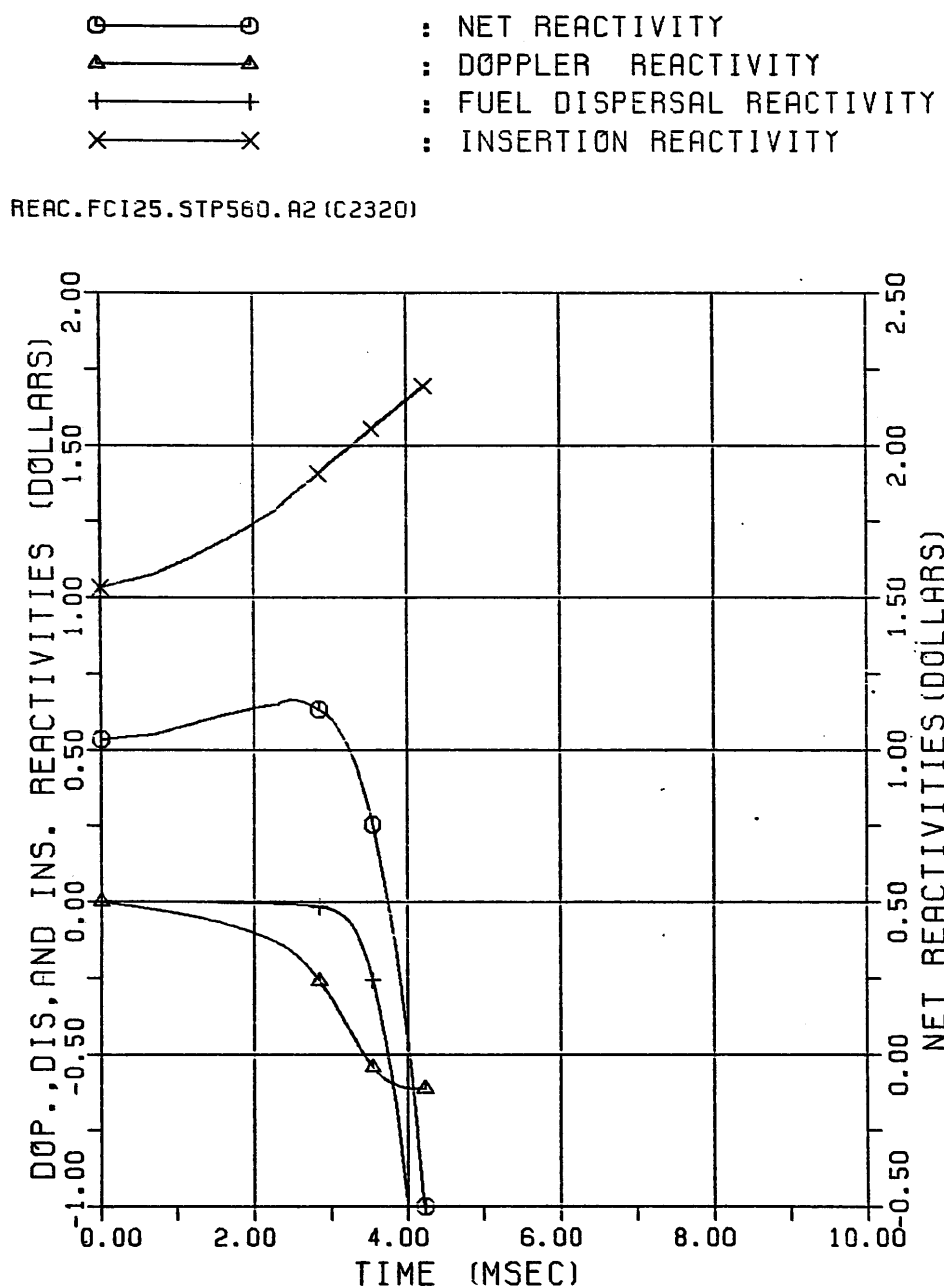


Figure 6.1-70a. Reactivities vs. Time

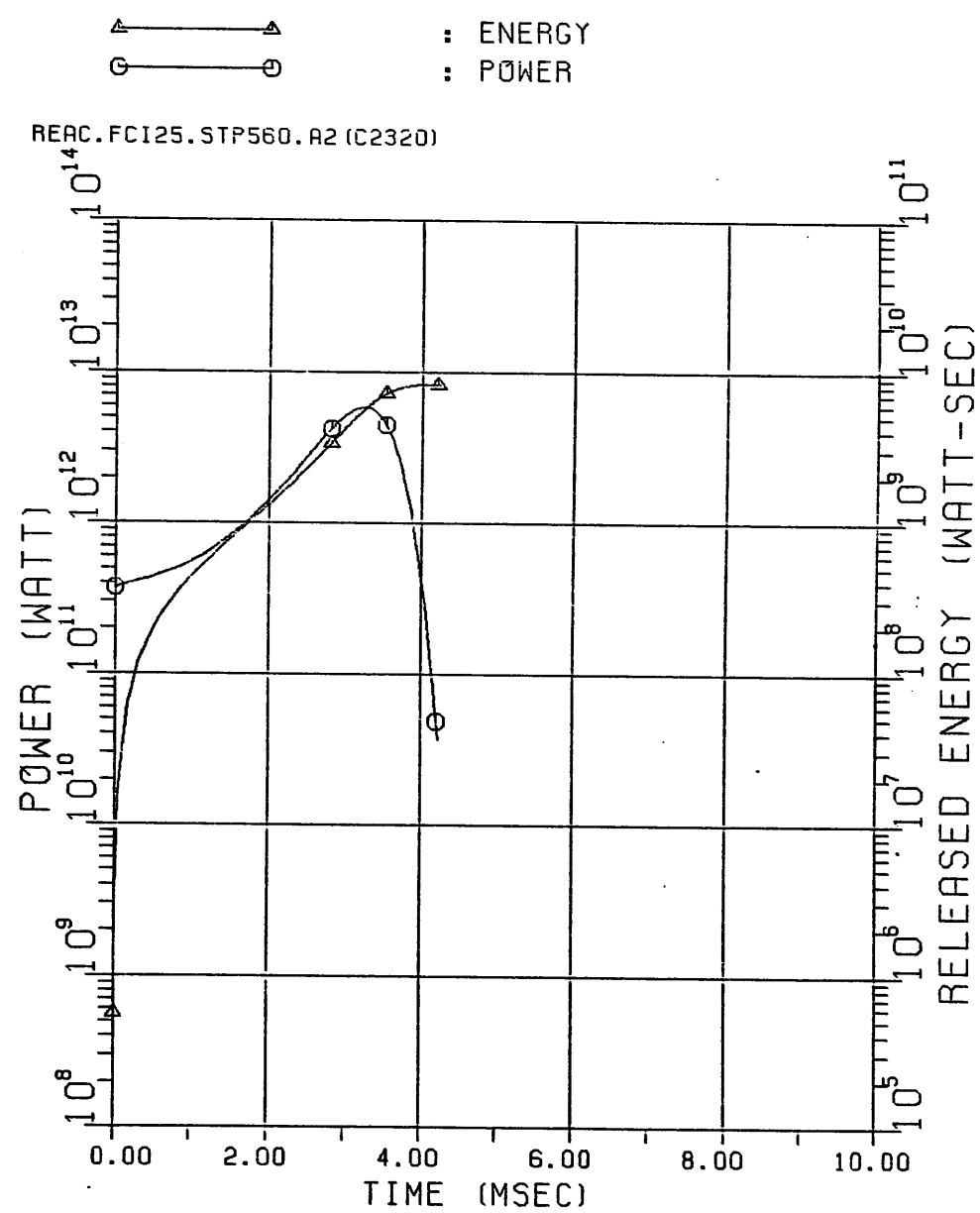


Figure 6.1-70b. Power and Released Energy vs. Time

4000 < T	K	ACTIVE CORE STATE :
3500 < T < 4000	K	MAX FUEL TEMP. (K) = 7511.6
TMELT+1 < T < 3500	K	MIN FUEL TEMP. (K) = 2826.7
TMELT-1 < T < TMELT+1	K	AVERAGE FUEL TEMP. (K) = 4627.8
2000 < T < TMELT-1	K	TEMP. PEAKING FACTOR = 1.6
T < 2000	K	

MOLTEN CORE STATE: TOTAL MOLTEN FUEL MASS (KG) = 6276.4
 MOLTEN FUEL AVERAGE TEMP. (K) = 4752.1
 ENERGY ABOVE FUEL SOLIDUS (MJ) = 7374.0

REAC.FCI25.STP560.R2 (C2320)

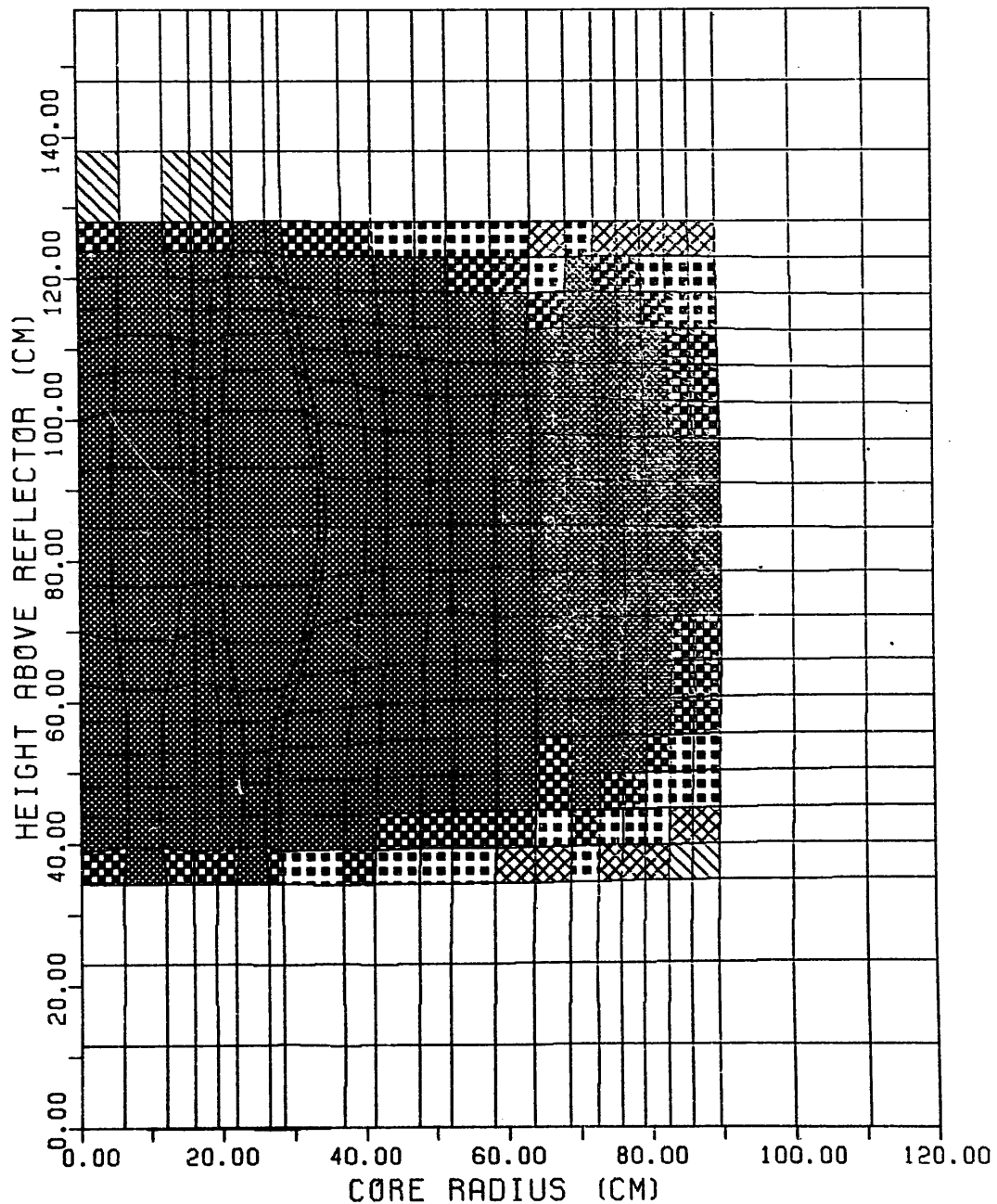


Figure 6.1-71. Fuel Temperature Distribution (Final State)

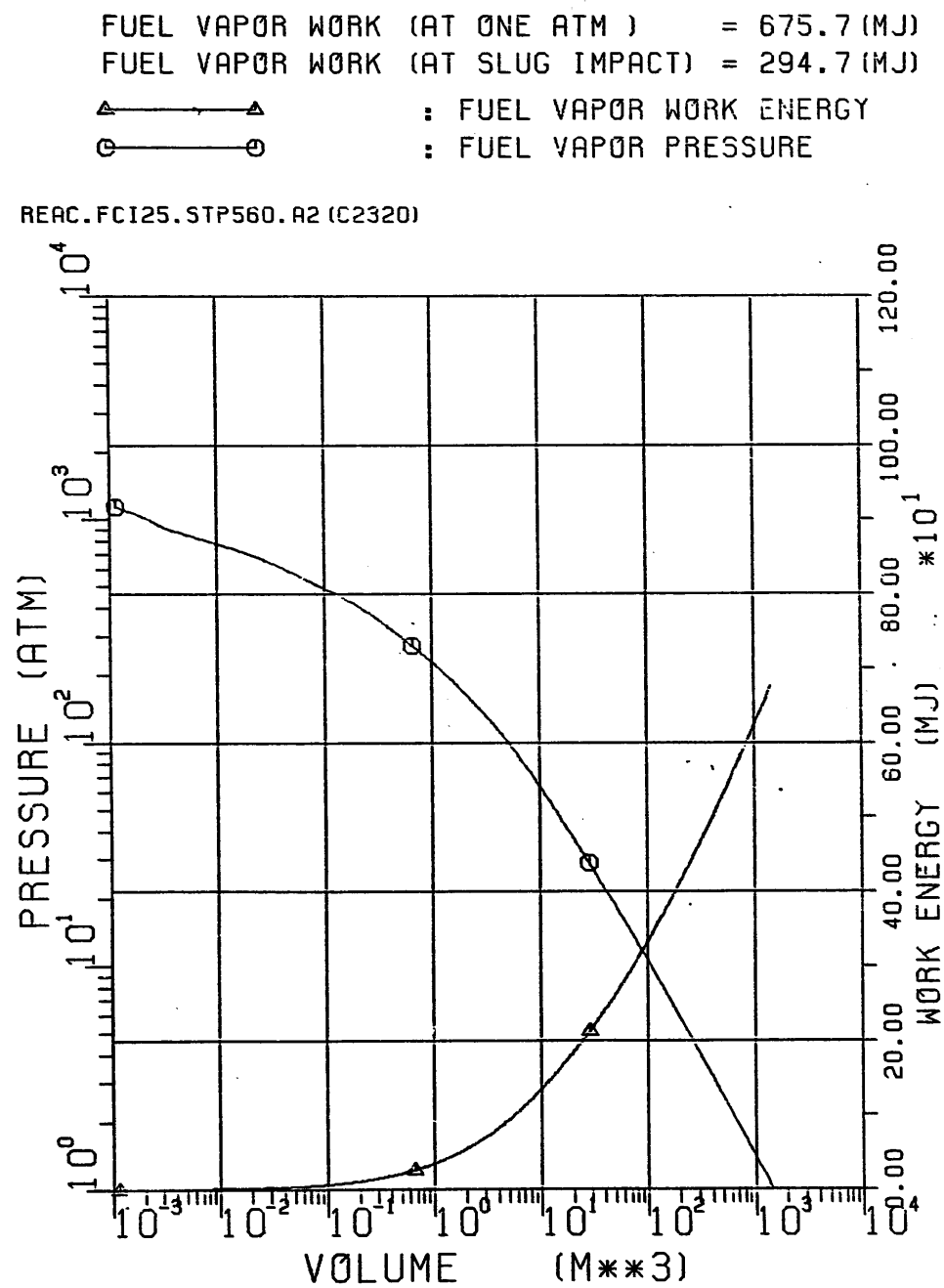


Figure 6.1-72. Fuel Vapor Pressure and Work Energy vs. Volume

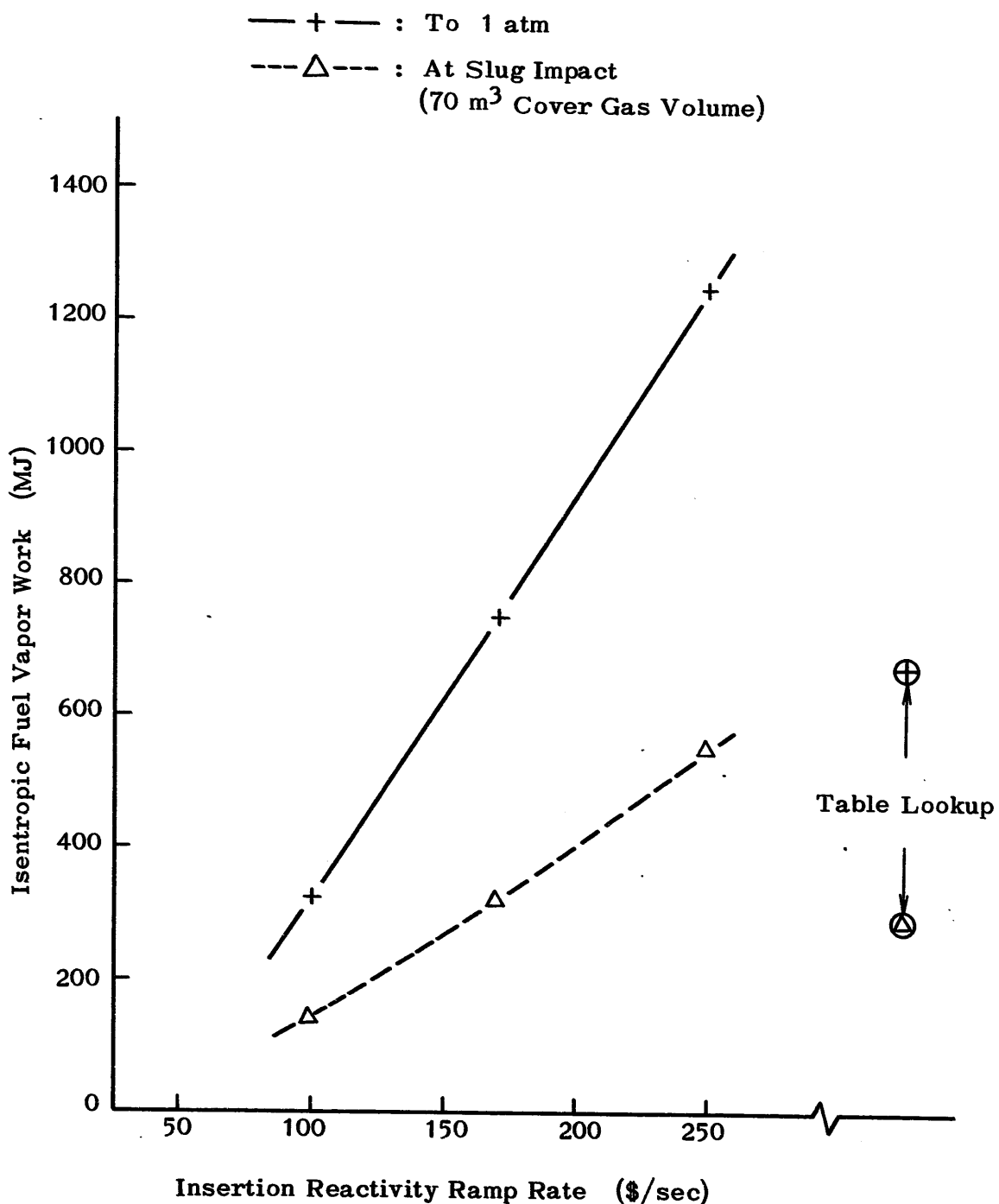


Figure 6.1-73. Isentropic Fuel Vapor Work as Function of Insertion Reactivity Ramp Rate

Case ID : LF.REAC.NSS.FCI25.CNT.C2320.STP560

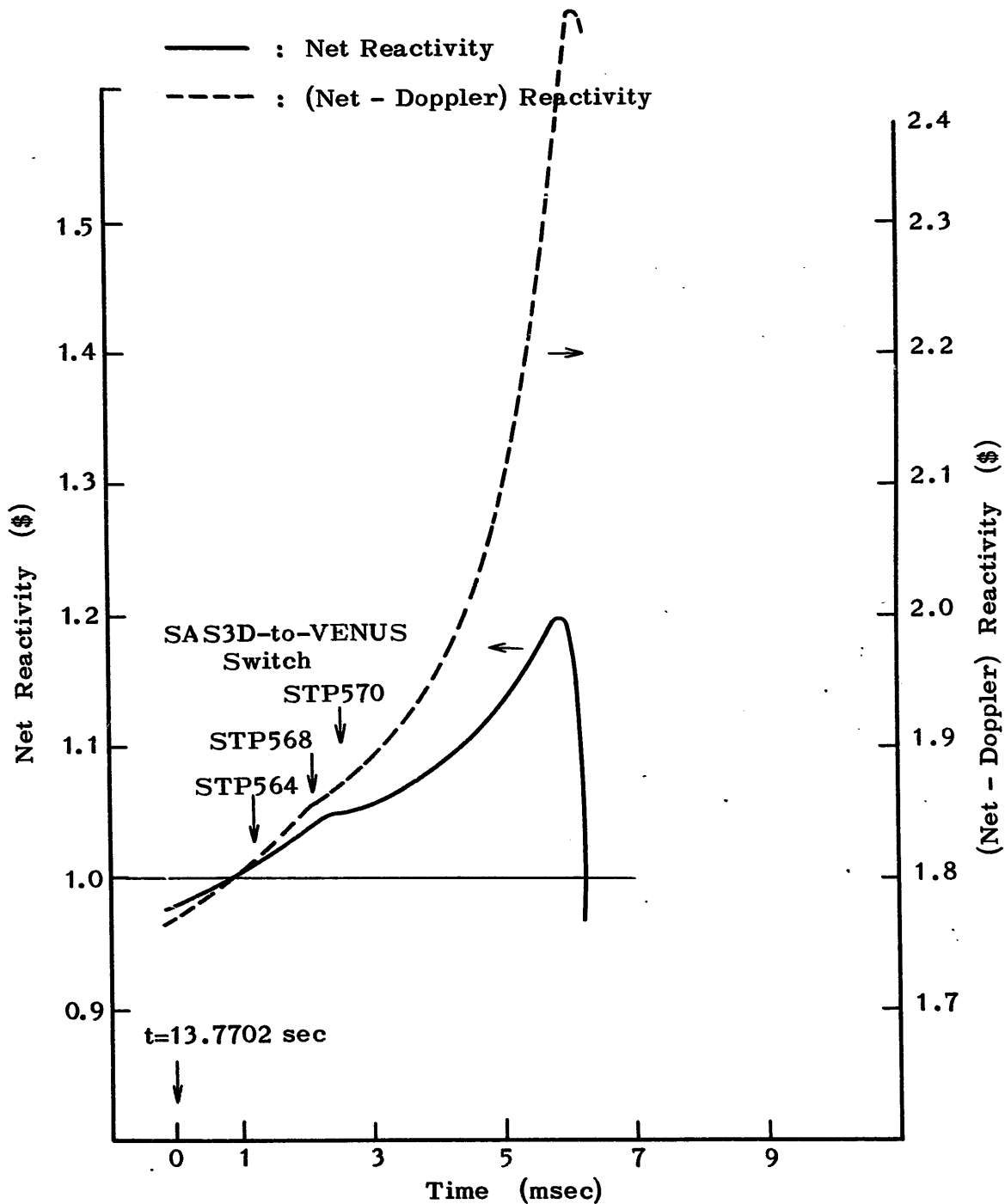


Figure 6.1-74. Reactivity as Function of Time
Case ID : LF.REAC.LRIP.FCI (C2323)

4000 < T	K	ACTIVE CORE STATE :
3500 < T < 4000	K	MAX FUEL TEMP. (K) = 4102.9
TMELT+1 < T < 3500	K	MIN FUEL TEMP. (K) = 1833.3
TMELT-1 < T < TMELT+1	K	AVERAGE FUEL TEMP. (K) = 2850.8
2000 < T < TMELT-1	K	TEMP. PEAKING FACTOR = 1.4
T < 2000	K	

MOLTEN CORE STATE: TOTAL MOLTEN FUEL MASS (KG) = 2341.4
 MOLTEN FUEL AVERAGE TEMP. (K) = 3154.8
 ENERGY ABOVE FUEL SOLIDUS (MJ) = 869.7

REAC.LRIP.FCI.STP564 (ANL EOS & T*)

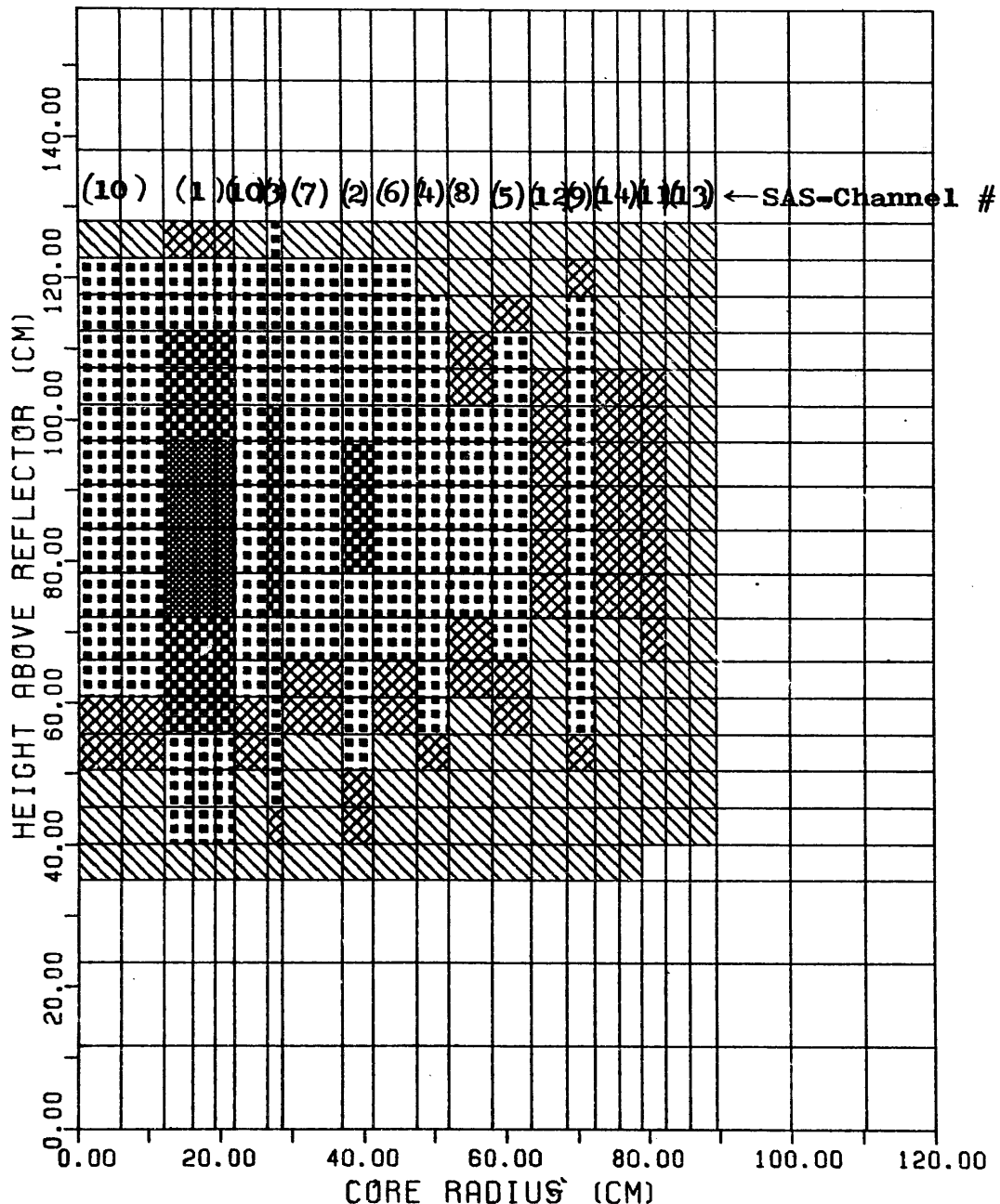


Figure 6.1-75a. Fuel Temperature Distribution (Initial State)

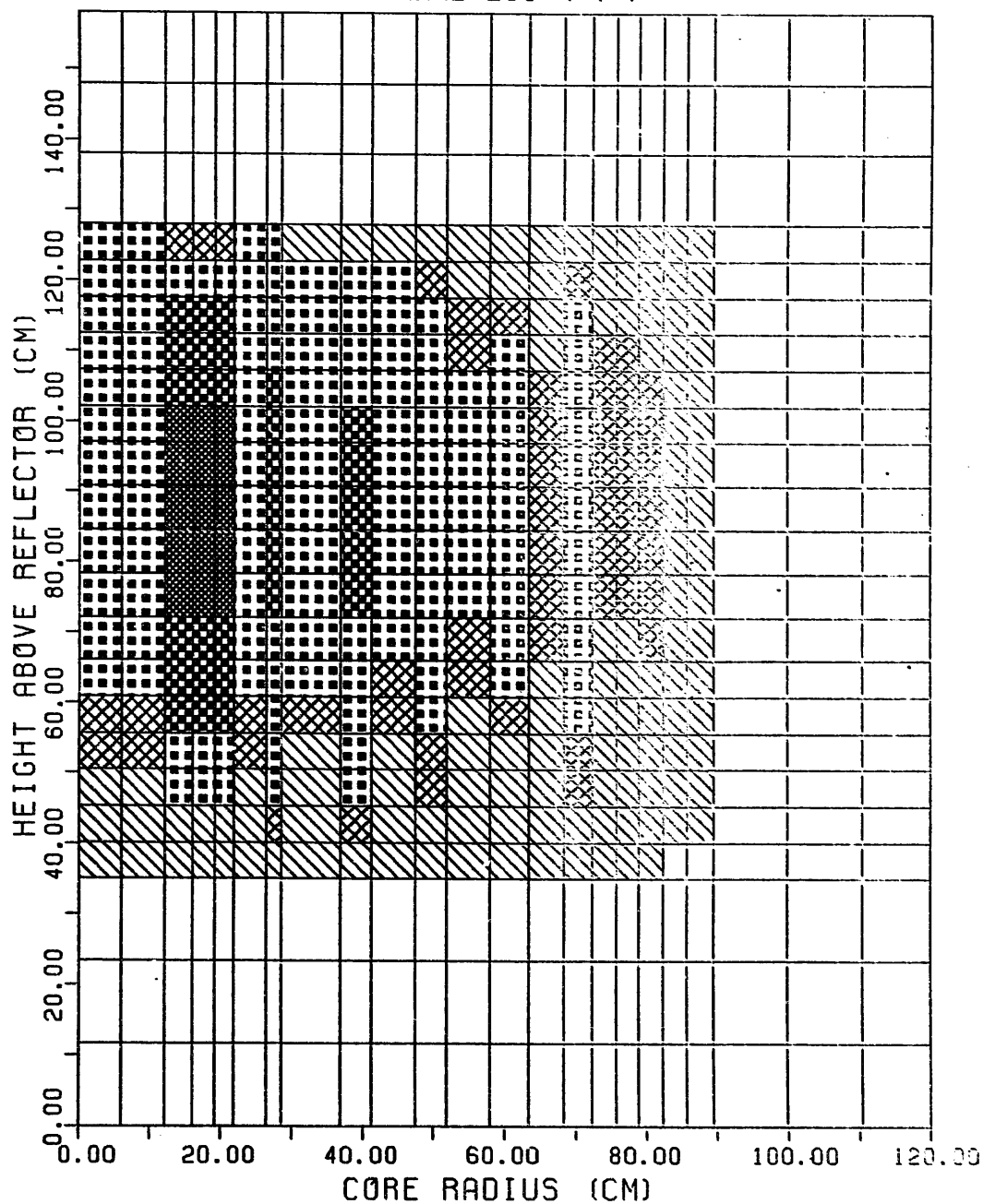
4000 < T	K	ACTIVE CORE STATE :
3500 < T < 4000	K	MAX FUEL TEMP. (K) = 4190.8
TMELT+1 < T < 3500	K	MIN FUEL TEMP. (K) = 1850.0
TMELT-1 < T < TMELT+1	K	AVERAGE FUEL TEMP. (K) = 2881.9
2000 < T < TMELT-1	K	TEMP. PEAKING FACTOR = 1.5
T < 2000	K	

MOLTEN CORE STATE: TOTAL MOLTEN FUEL MASS (KG) = 2429.0

MOLTEN FUEL AVERAGE TEMP. (K) = 3185.0

ENERGY ABOVE FUEL SOLIDUS (MJ) = 939.1

REAC.LRIP.FCI.STP568 (ANL EOS & T*)



**Figure 6.1-75b. Fuel Temperature Distirubtion
(Initial State)**

4000 < T	K	ACTIVE CORE STATE :
3500 < T < 4000	K	MAX FUEL TEMP. (K) = 4244.5
TMELT+1 < T < 3500	K	MIN FUEL TEMP. (K) = 1375.3
TMELT-1 < T < TMELT+1	K	AVERAGE FUEL TEMP. (K) = 2901.3
2000 < T < TMELT-1	K	TEMP. PEAKING FACTOR = 1.5
T < 2000	K	

MOLTEN CORE STATE: TOTAL MOLTEN FUEL MASS (KG) = 2495.7
 MOLTEN FUEL AVERAGE TEMP. (K) = 8206.9
 ENERGY ABOVE FUEL SOLIDUS (MJ) = 592.9

REAC.LRIP.FCI.STP570 (ANL EOS & T*)

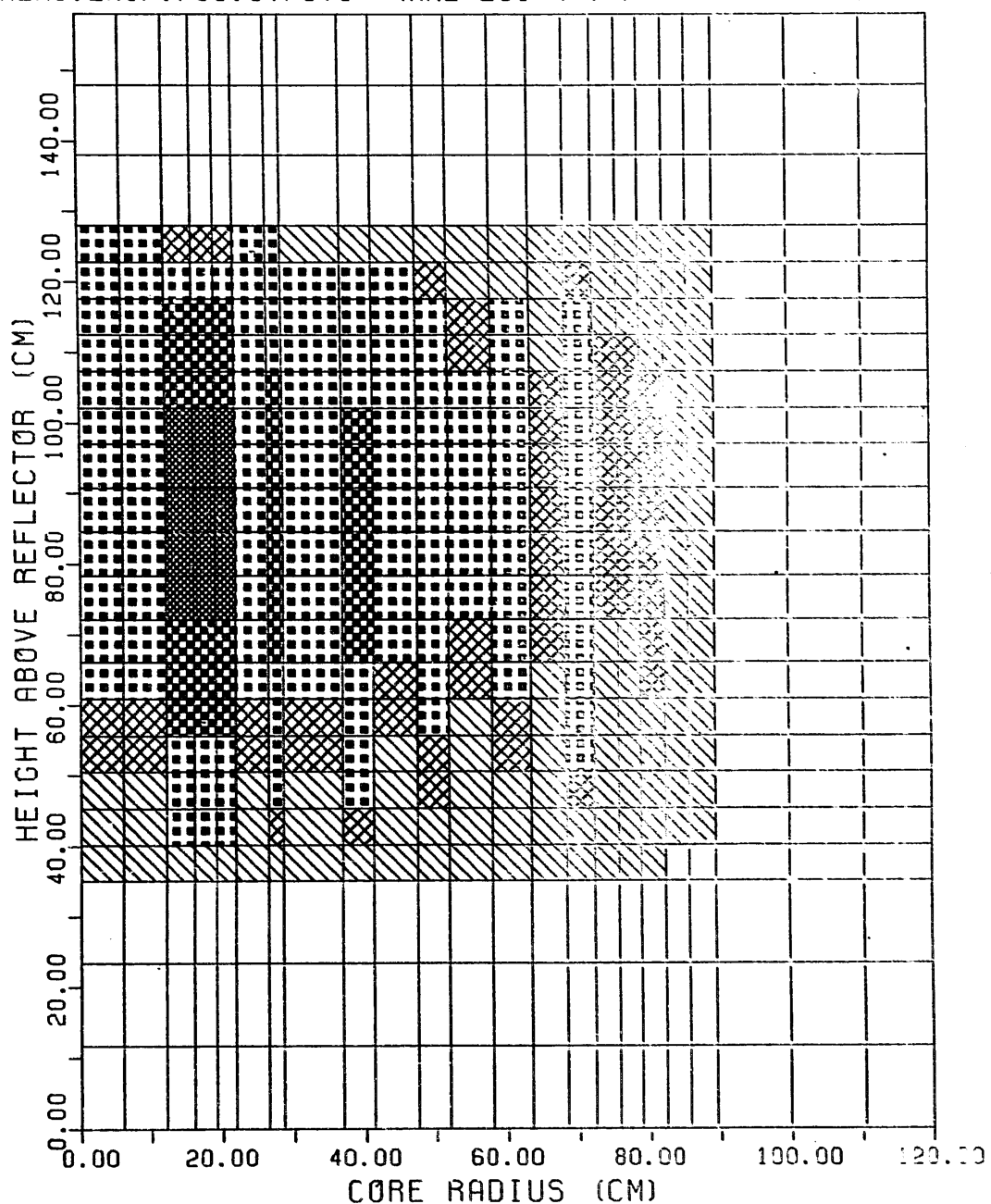


Figure 6.1-75c. Fuel Temperature Distirubtion (Initial State)

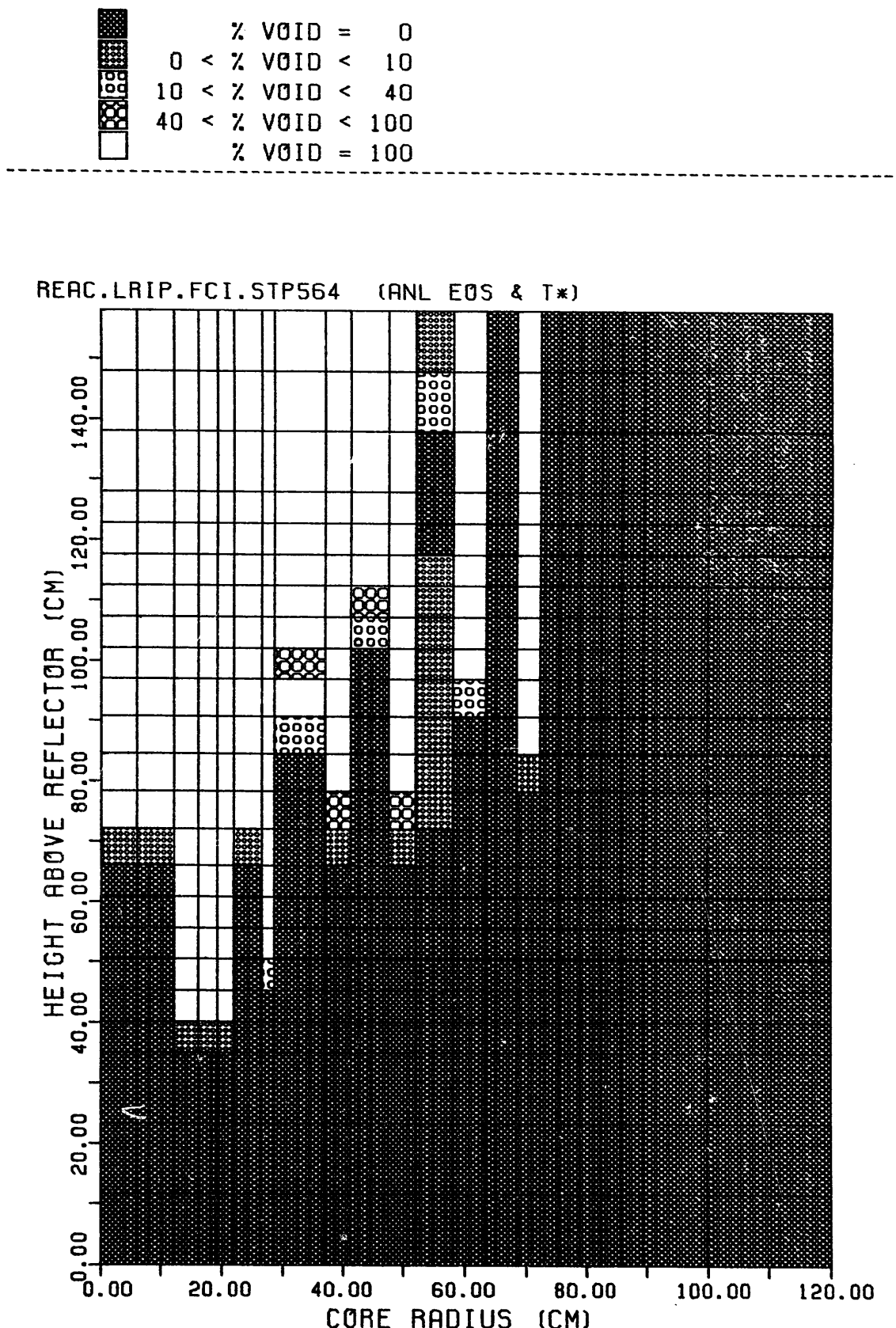


Figure 6.1-76a. Void Fraction Distribution

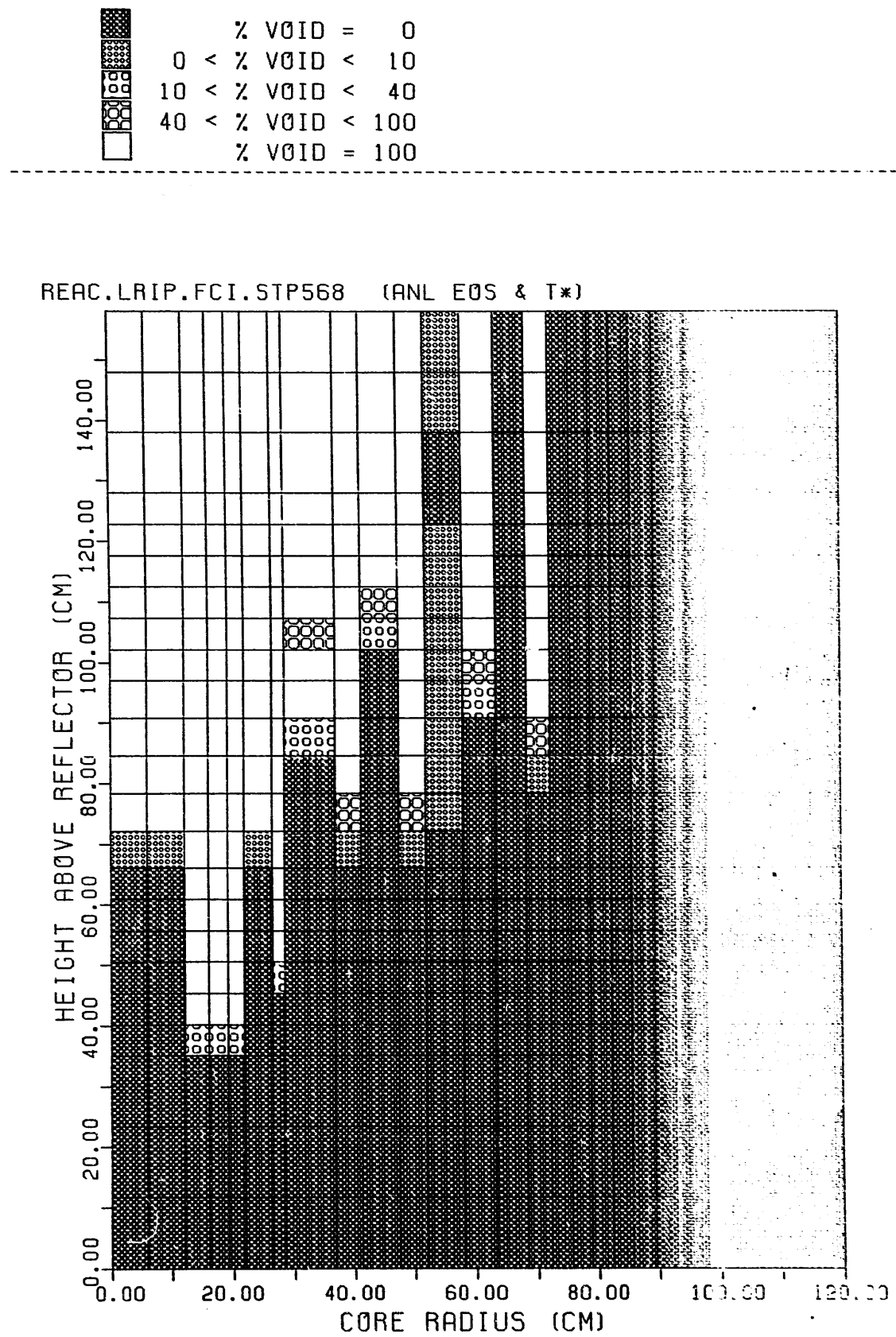


Figure 6.1-76b. Void Fraction Distribution

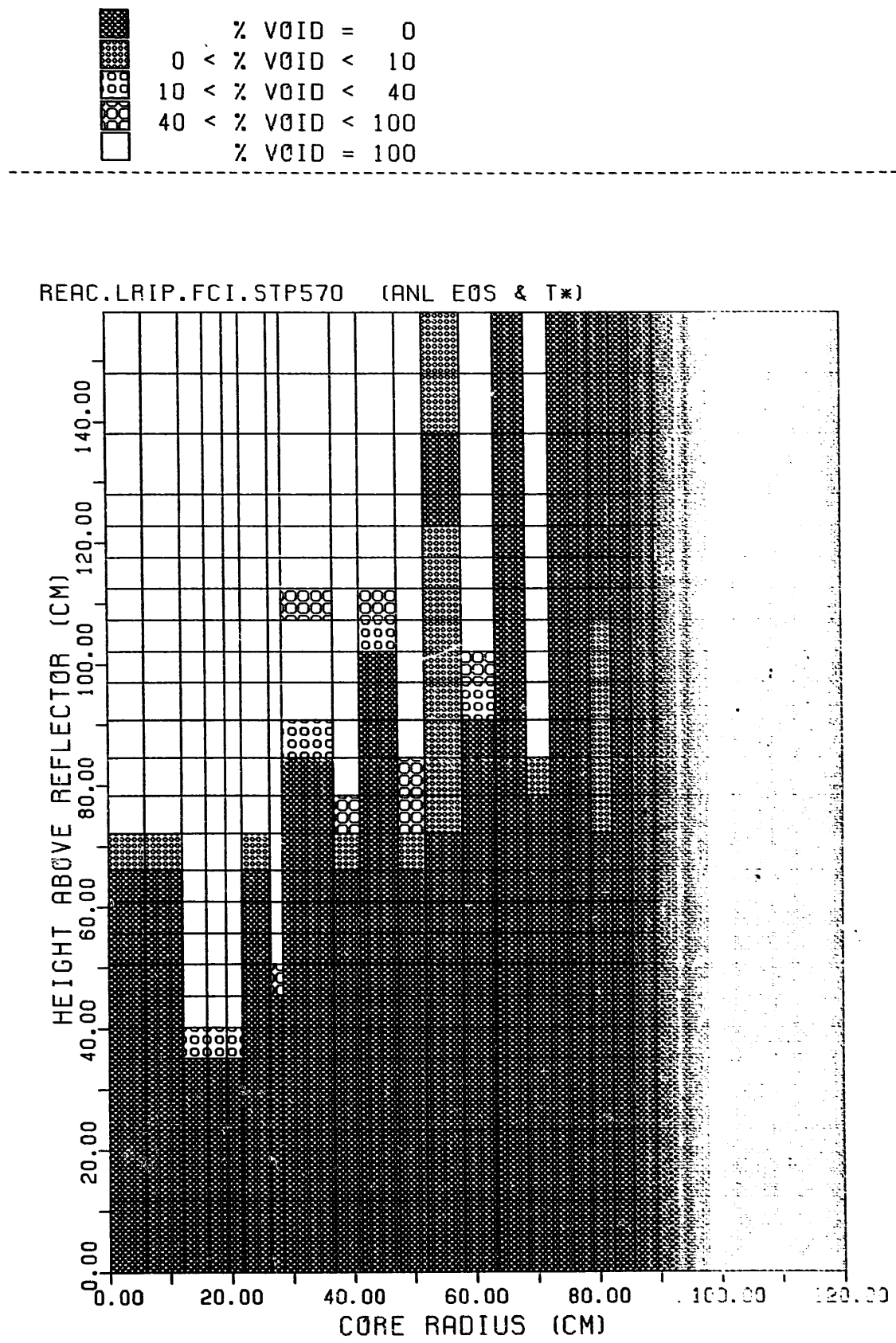


Figure 6.1-76c. Void Fraction Distribution

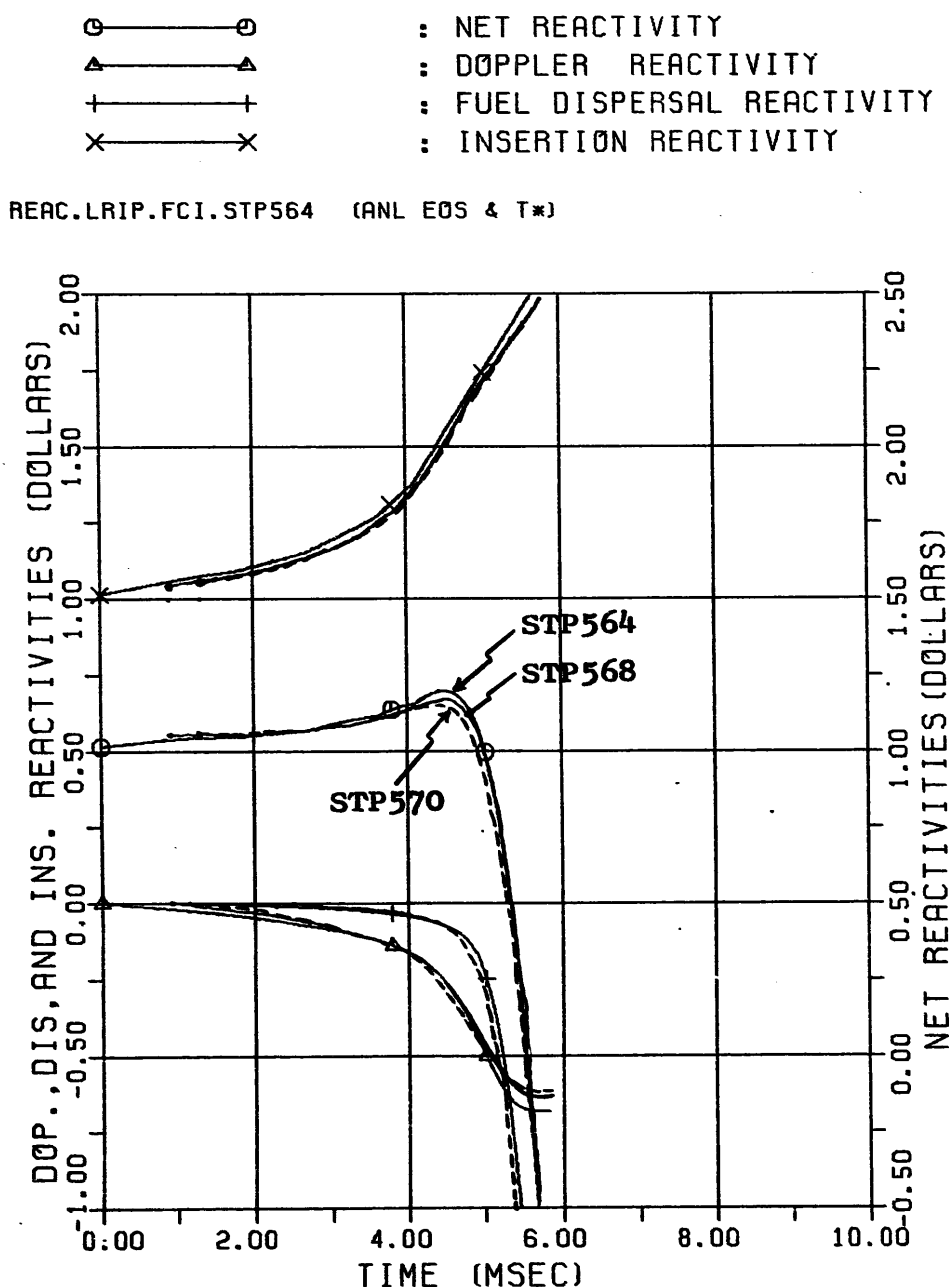


Figure 6.1-77a. Reactivities vs. Time (LF.REAC.LRIP.FCI.C2323)

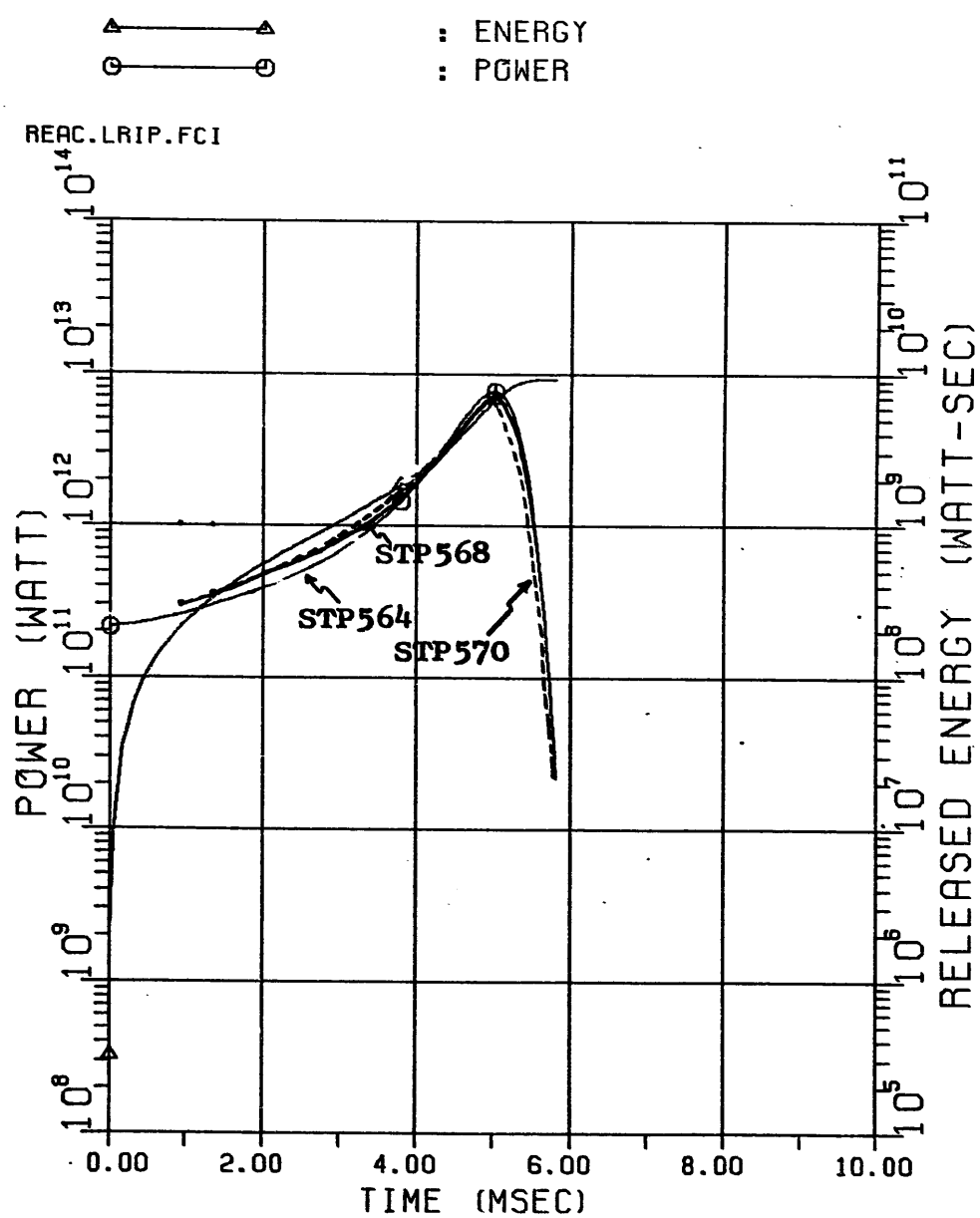


Figure 6.1-77b. Power and Released Energy vs. Time
(LF.REAC.LRIP.FCI.C2323)



4000 < T	K	ACTIVE CORE STATE :	
3500 < T < 4000	K	MAX FUEL TEMP. (K)	= 8069.5
TMELT+1 < T < 3500	K	MIN FUEL TEMP. (K)	= 2973.1
TMELT-1 < T < TMELT+1	K	AVERAGE FUEL TEMP. (K)	= 4997.4
2000 < T < TMELT-1	K	TEMP. PEAKING FACTOR	= 1.6
T < 2000	K		

MOLTEN CORE STATE: TOTAL MOLTEN FUEL MASS (KG) = 6383.6
 MOLTEN FUEL AVERAGE TEMP. (K) = 5110.0
 ENERGY ABOVE FUEL SOLIDUS (MJ) = 8649.2

REAC.LRIP.FCI.STP564 (ANL EOS & T*)

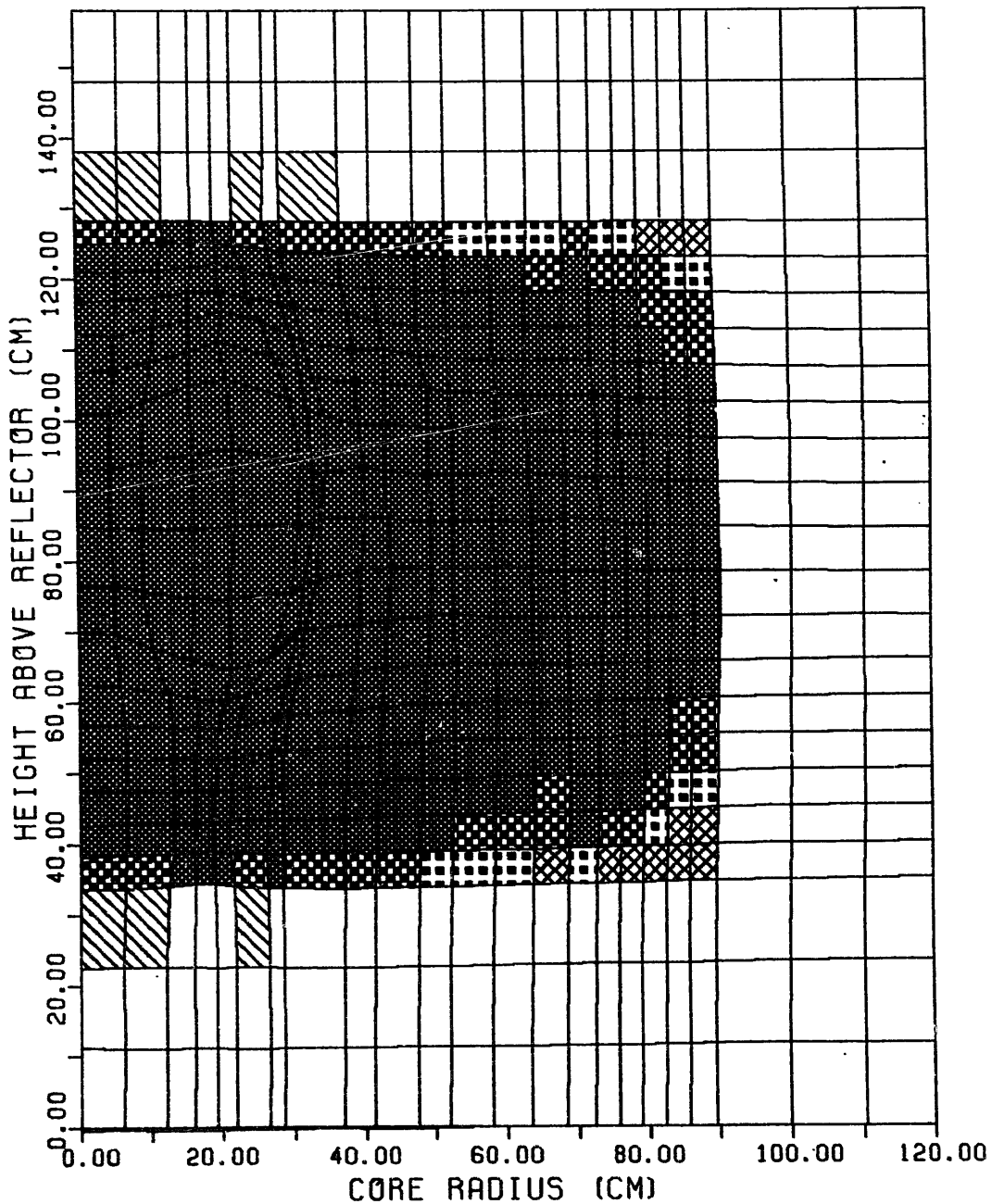


Figure 6.1-78a. Fuel Temperature Distribution (Final State)

4000 < T	K	ACTIVE CORE STATE :
3500 < T < 4000	K	MAX FUEL TEMP. (K) = 7870.7
TMELT+1 < T < 3500	K	MIN FUEL TEMP. (K) = 2842.6
TMELT-1 < T < TMELT+1	K	AVERAGE FUEL TEMP. (K) = 4848.2
2000 < T < TMELT-1	K	TEMP. PERRING FACTOR = 1.6
T < 2000	K	

MOLTEN CORE STATE: TOTAL MOLTEN FUEL MASS (KG) = 5502.4

MOLTEN FUEL AVERAGE TEMP. (K) = 4951.0

ENERGY ABOVE FUEL SOLIDUS (MJ) = 8417.6

REAC.LRIP.FCI.STP568 (ANL EOS & T*)

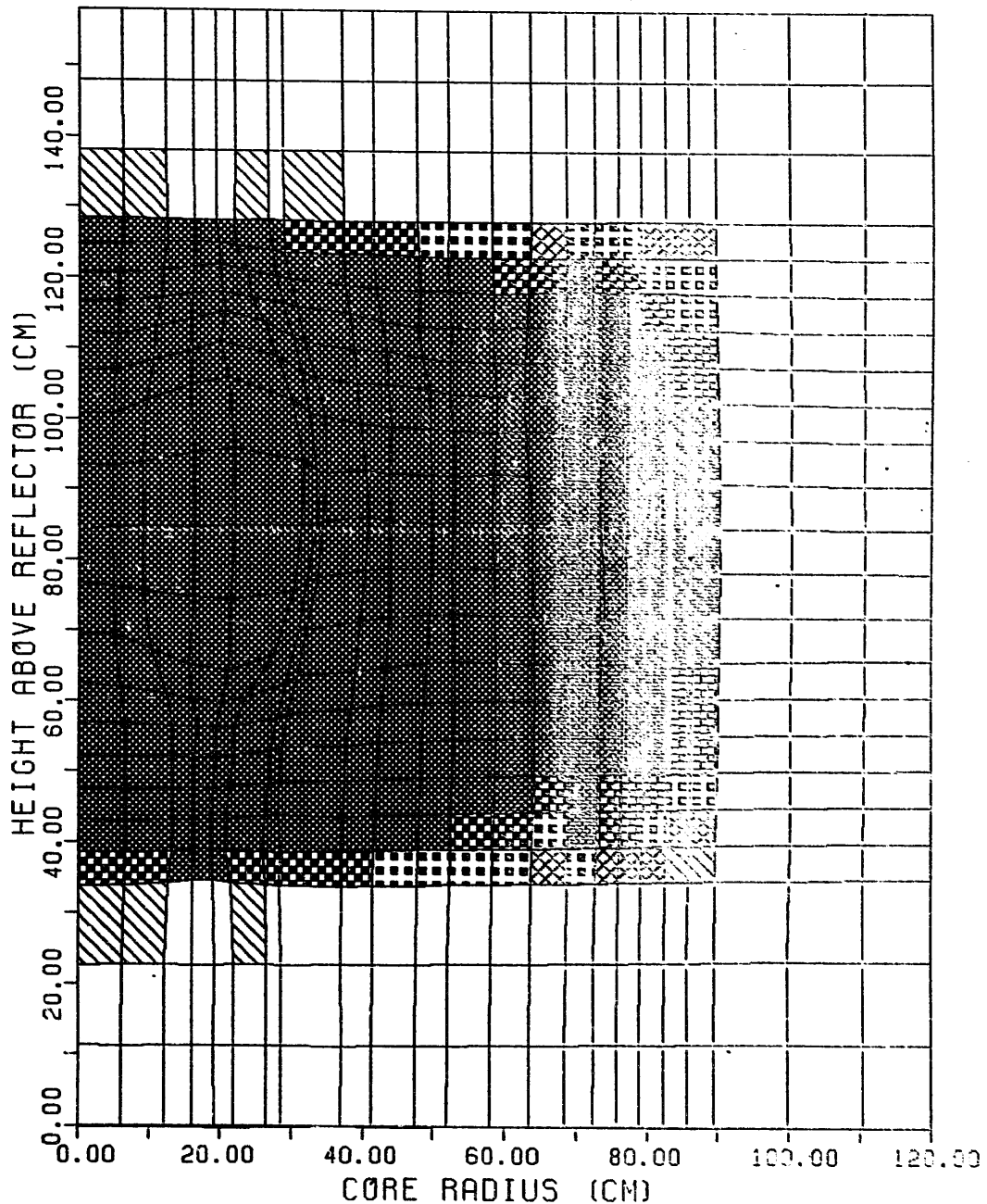
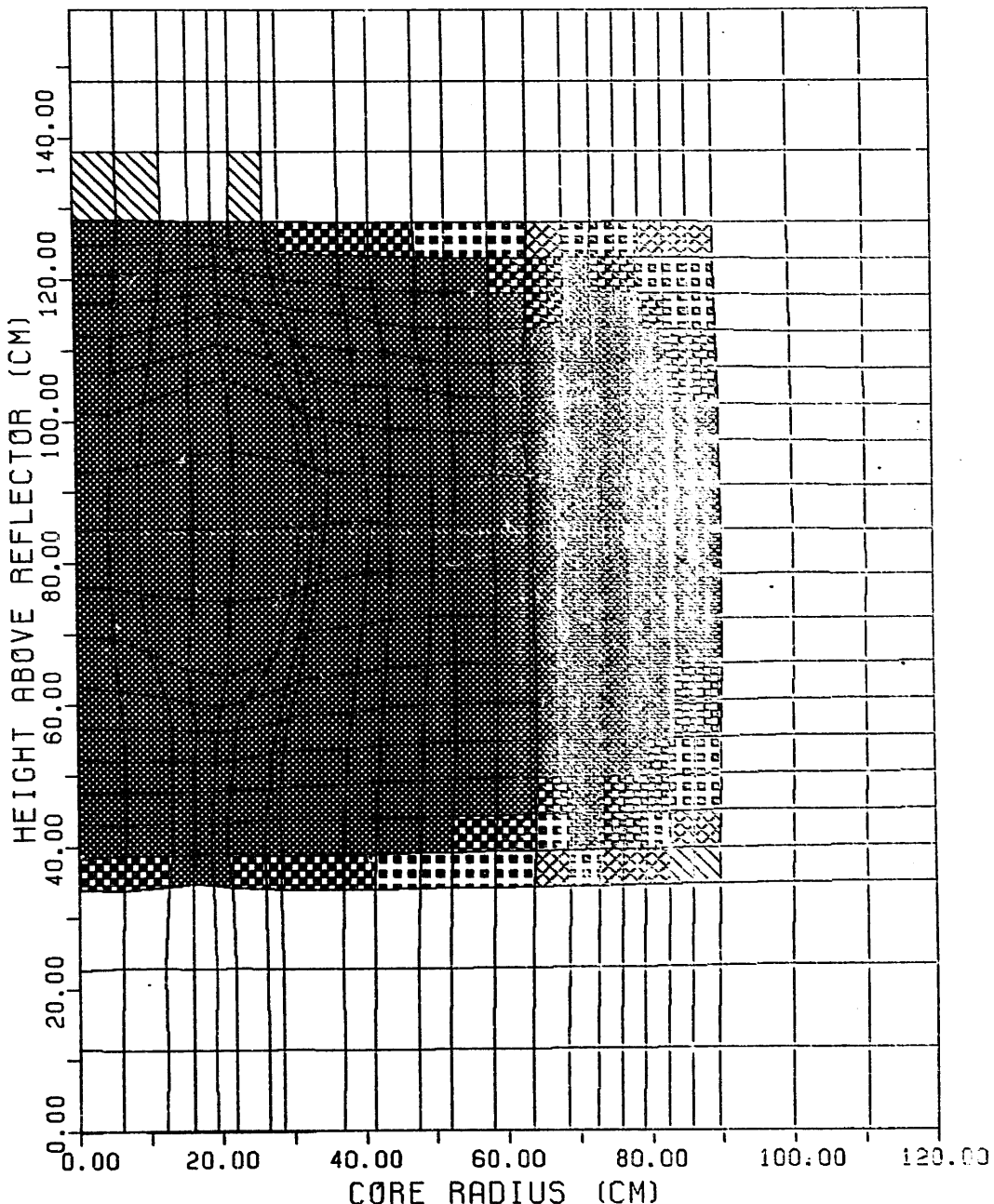


Figure 6.1-78b. Fuel Temperature Distribution (Final State)

	ACTIVE CORE STATE : MAX FUEL TEMP. (K) = 7783.5 MIN FUEL TEMP. (K) = 2919.5 AVERAGE FUEL TEMP. (K) = 4735.6 TEMP. PEAKING FACTOR = 1.6
MOLTEN CORE STATE: TOTAL MOLTEN FUEL MASS (KG) = 6602.4 MOLTEN FUEL AVERAGE TEMP. (K) = 4585.2 ENERGY ABOVE FUEL SOLIDUS (MJ) = 8199.0	

REAC.LRIP.FCI.STP570 (ANL EOS & T*)

**Figure 6.1-78c. Fuel Temperature Distribution (Final State)**

FUEL VAPOR WORK (AT ONE ATM) = 992.2 (MJ)
 FUEL VAPOR WORK (AT SLUG IMPACT) = 434.3 (MJ)

▲ : FUEL VAPOR WORK ENERGY
 ○ : FUEL VAPOR PRESSURE

REAC.LRIP.FCI.STP564 (ANL EOS & T*)

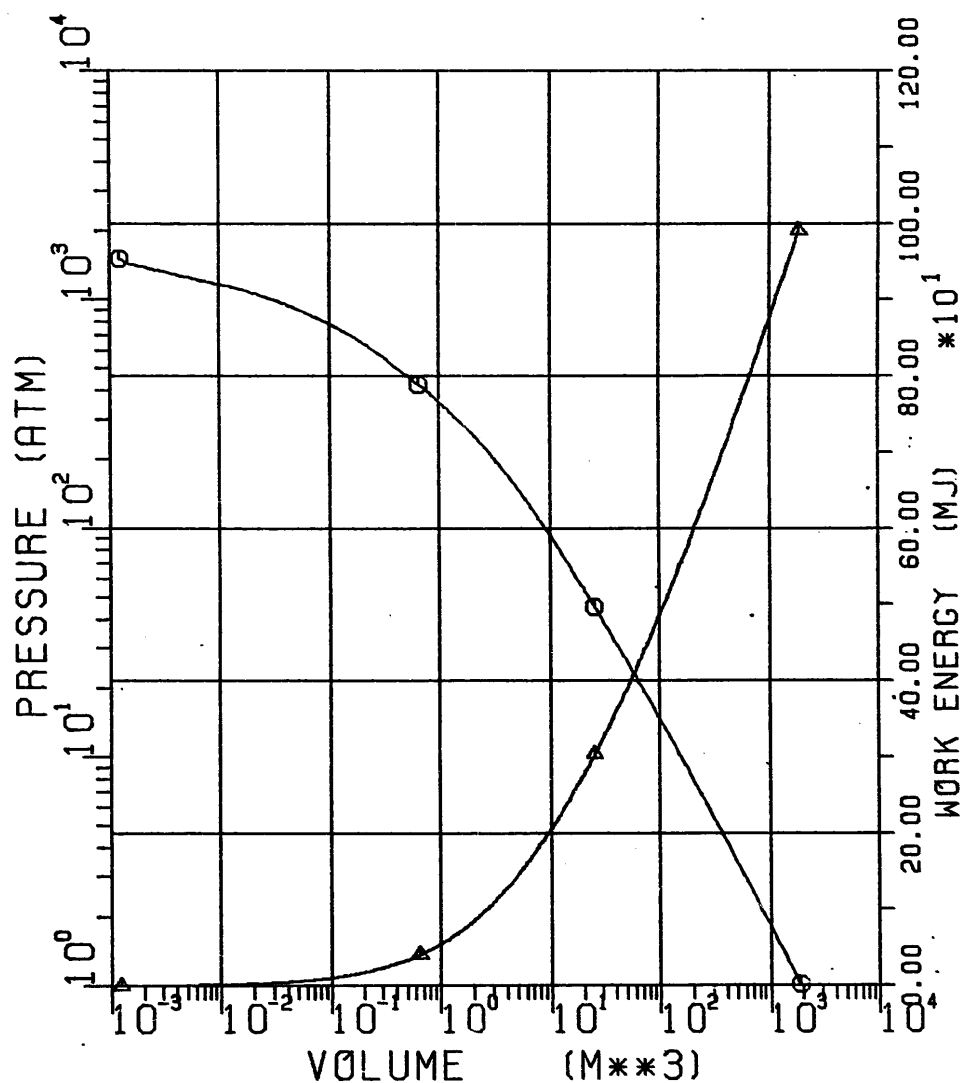


Figure 6.1-79a. Fuel Vapor Pressure and Work Energy vs. Volume

FUEL VAPOR WORK (AT ONE ATM) = 858.7 (MJ)
 FUEL VAPOR WORK (AT SLUG IMPACT) = 375.5 (MJ)

▲ : FUEL VAPOR WORK ENERGY
 ○ : FUEL VAPOR PRESSURE

REAC.LRIP.FCI.STP568 (ANL EOS & T*)

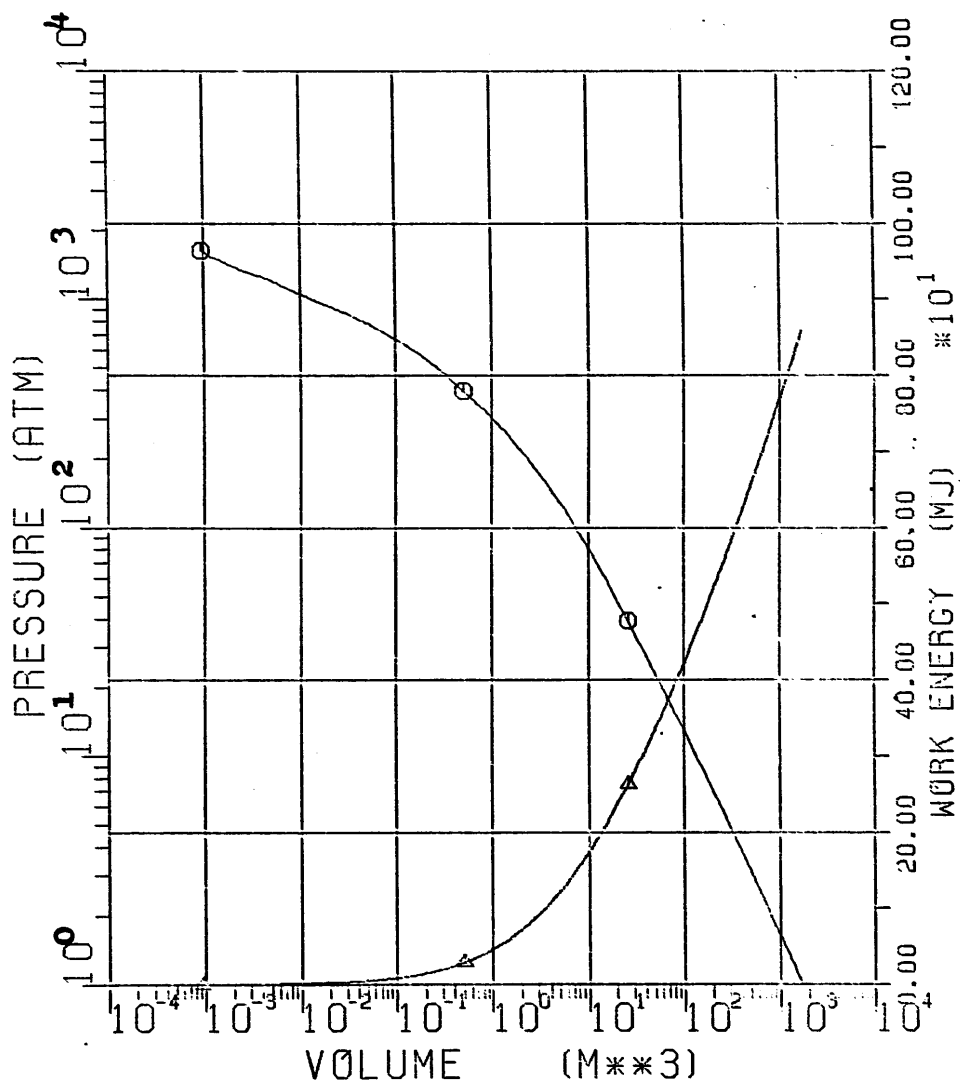


Figure 6.1-79b. Fuel Vapor Pressure and Work Energy vs. Volume

FUEL VAPOR WORK (AT ONE ATM) = 337.8 (MJ)
 FUEL VAPOR WORK (AT SLUG IMPACT) = 353.3 (MJ)

▲ : FUEL VAPOR WORK ENERGY
 ○ : FUEL VAPOR PRESSURE

REAC.LRIP.FCI.STP570 (ANL ECS & T*)

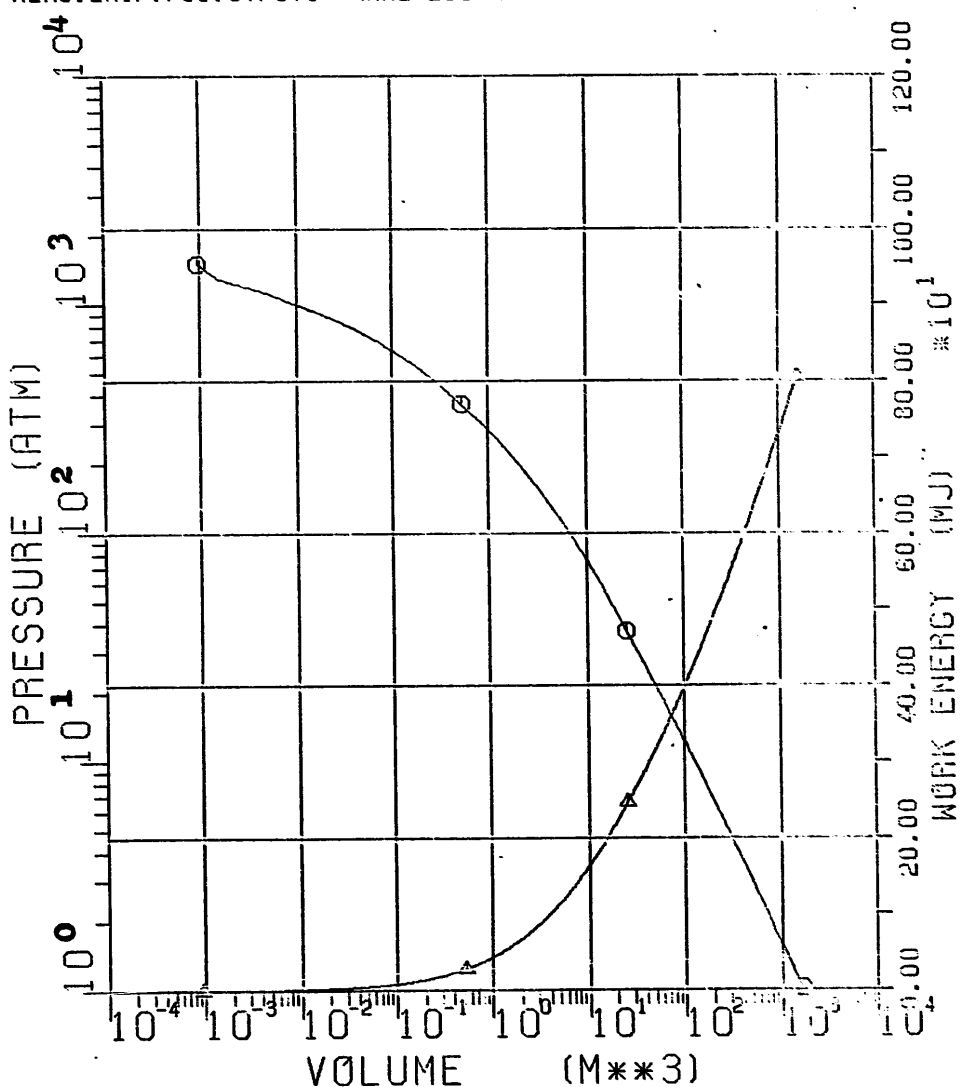


Figure 6.1-79c. Fuel Vapor Pressure and Work Energy vs. Volume

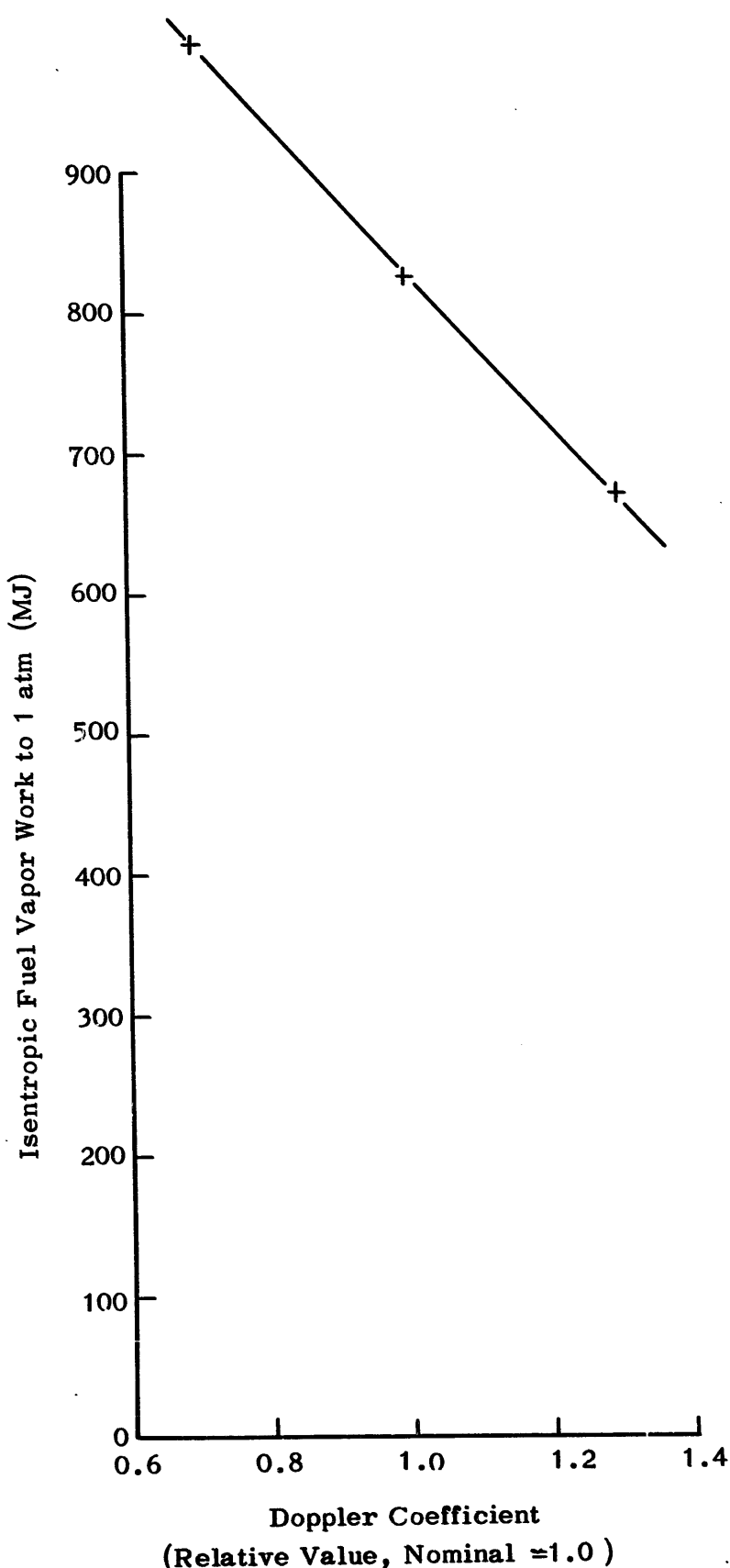


Figure 6.1-80a. Isentropic Fuel Vapor Work as Function of Doppler Coefficient in VENUS Phase
Case ID : LF.REAC.LRIP.FCI.C2323.STP564

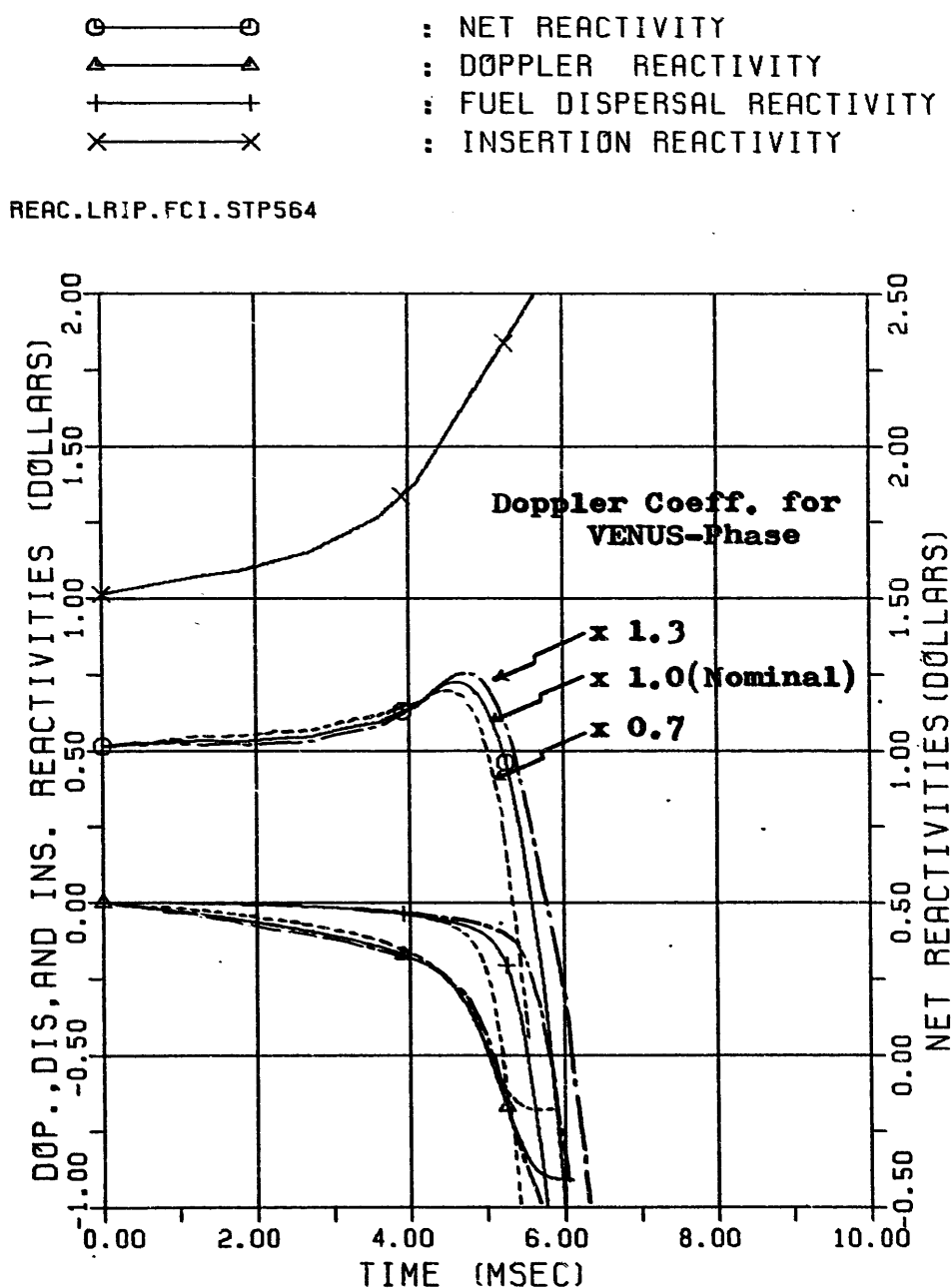


Figure 6.1-80b. Reactivities vs. Time

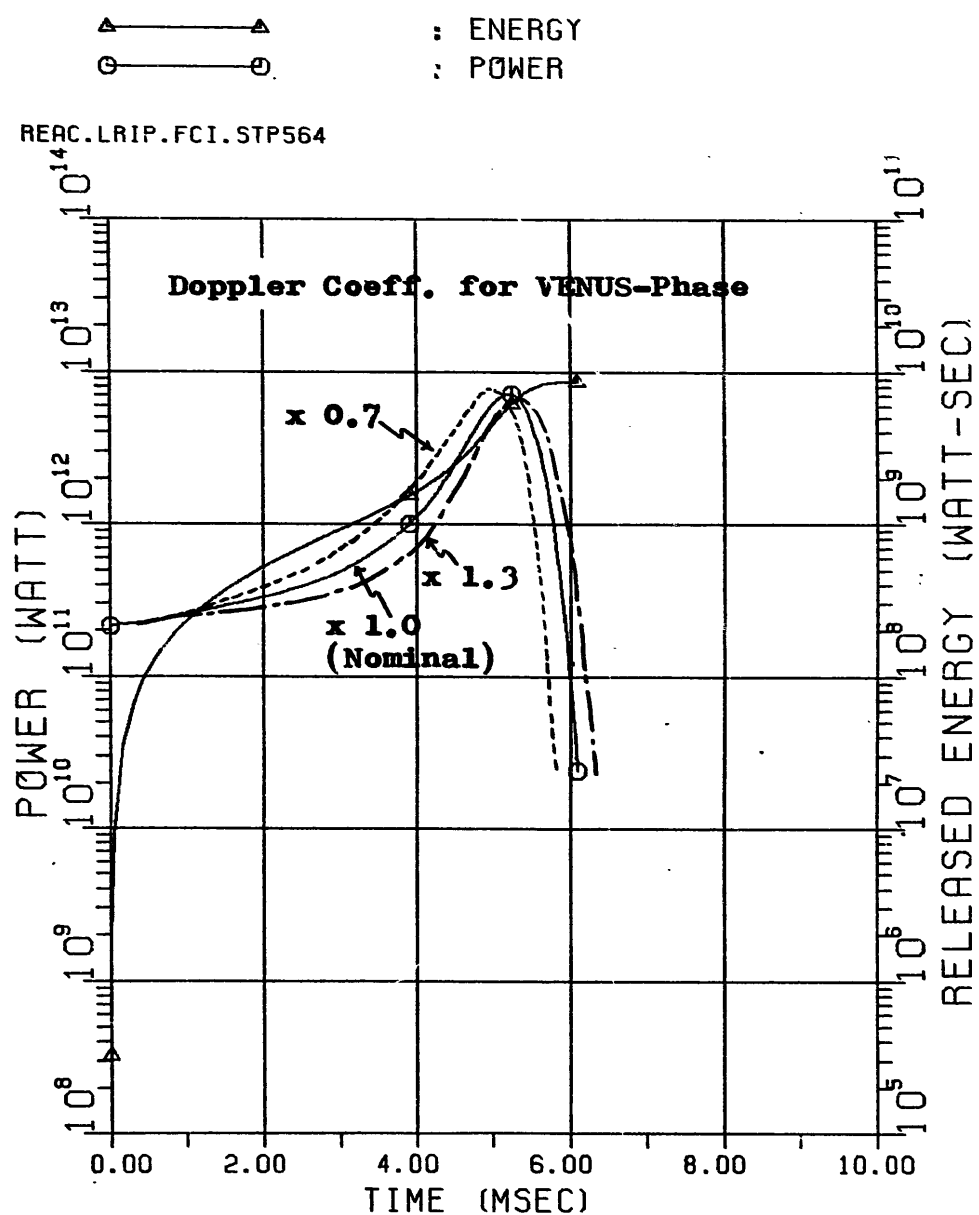


Figure 6.1-80c. Power and Released Energy vs. Time

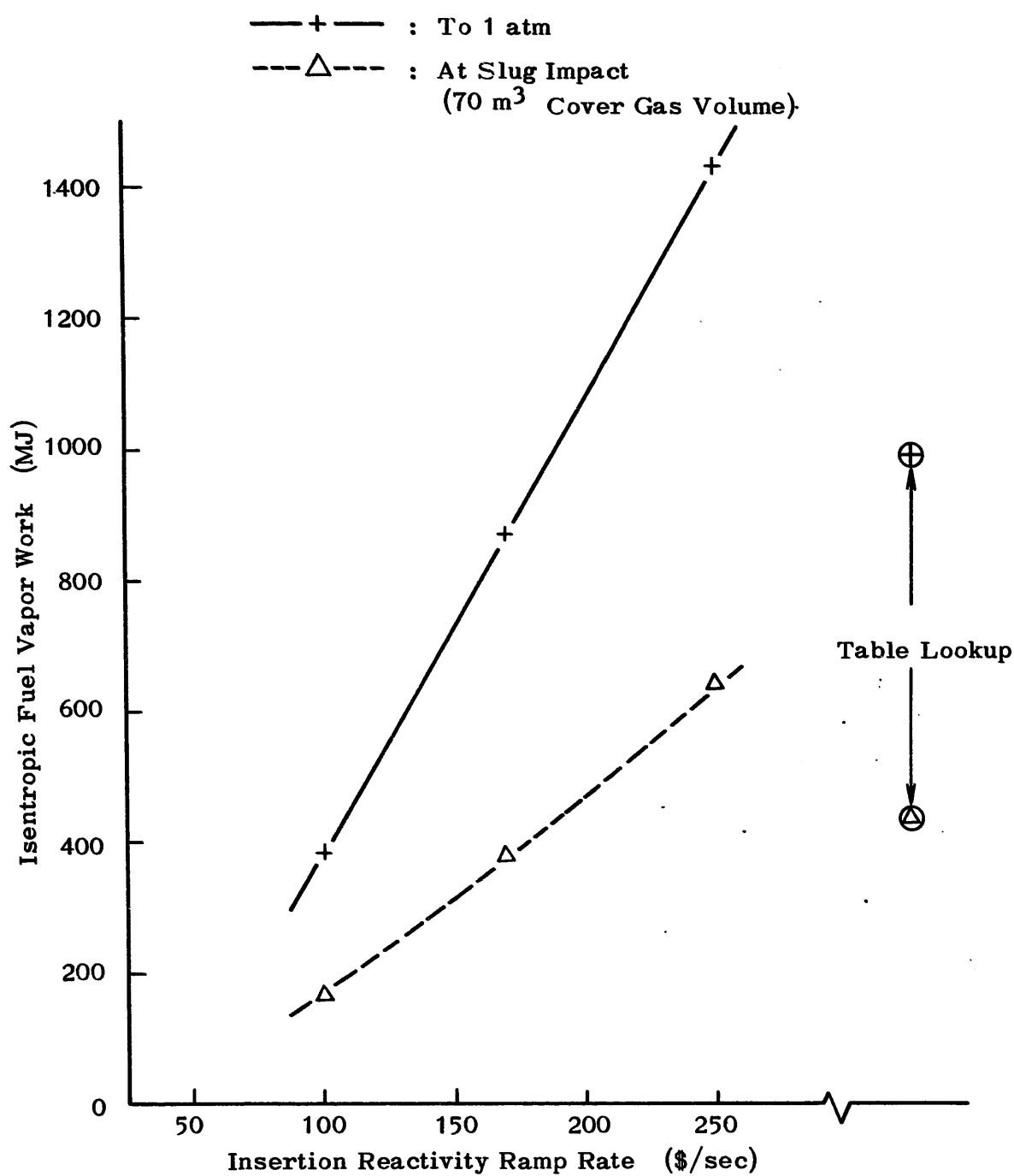


Figure 6.1-81. Isentropic Fuel Vapor Work as Function of Insertion Reactivity Ramp Rate
Case ID : LF.REAC.LRIP.FCI.C2323.STP564

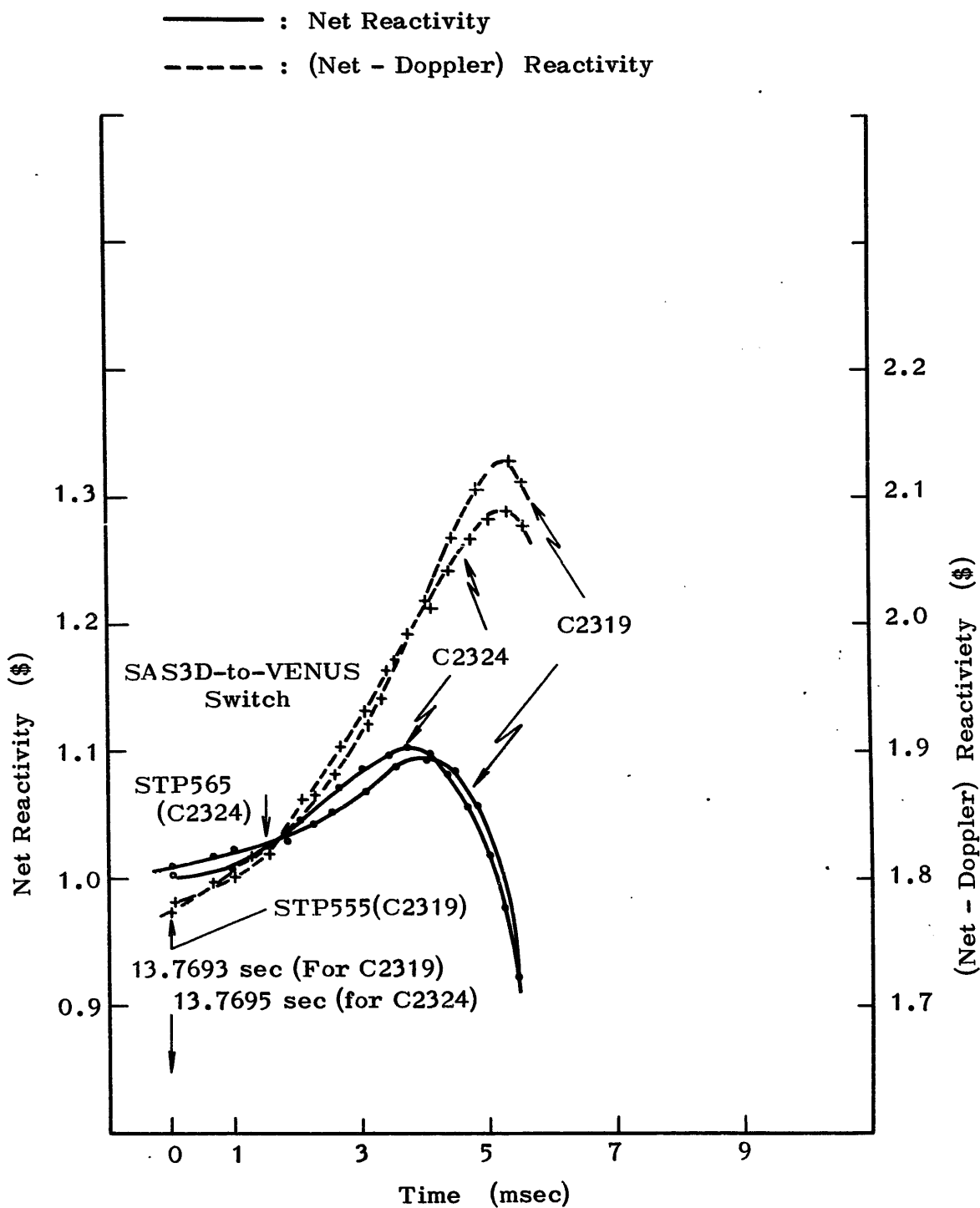


Figure 6.1-82. Reactivity as Function of Time

Case ID : LF.REAC.BURST.FCI.C2319 and
LF.REAC.BURST.FCI.PIN3G.C2324

4000 < T	K	ACTIVE CORE STATE :
3500 < T < 4000	K	MAX FUEL TEMP. (K) = 3800.8
TMELT+1 < T < 3500	K	MIN FUEL TEMP. (K) = 1743.4
TMELT-1 < T < TMELT+1	K	AVERAGE FUEL TEMP. (K) = 2753.2
2000 < T < TMELT-1	K	TEMP. PEAKING FACTOR = 1.4
T < 2000	K	

MOLTEN CORE STATE: TOTAL MOLTEN FUEL MASS (KG) = 1703.1

MOLTEN FUEL AVERAGE TEMP. (K) = 3085.8

ENERGY ABOVE FUEL SOLIDUS (MJ) = 573.5

REAC.BURST.FCI.STP555.A2 (C2319)

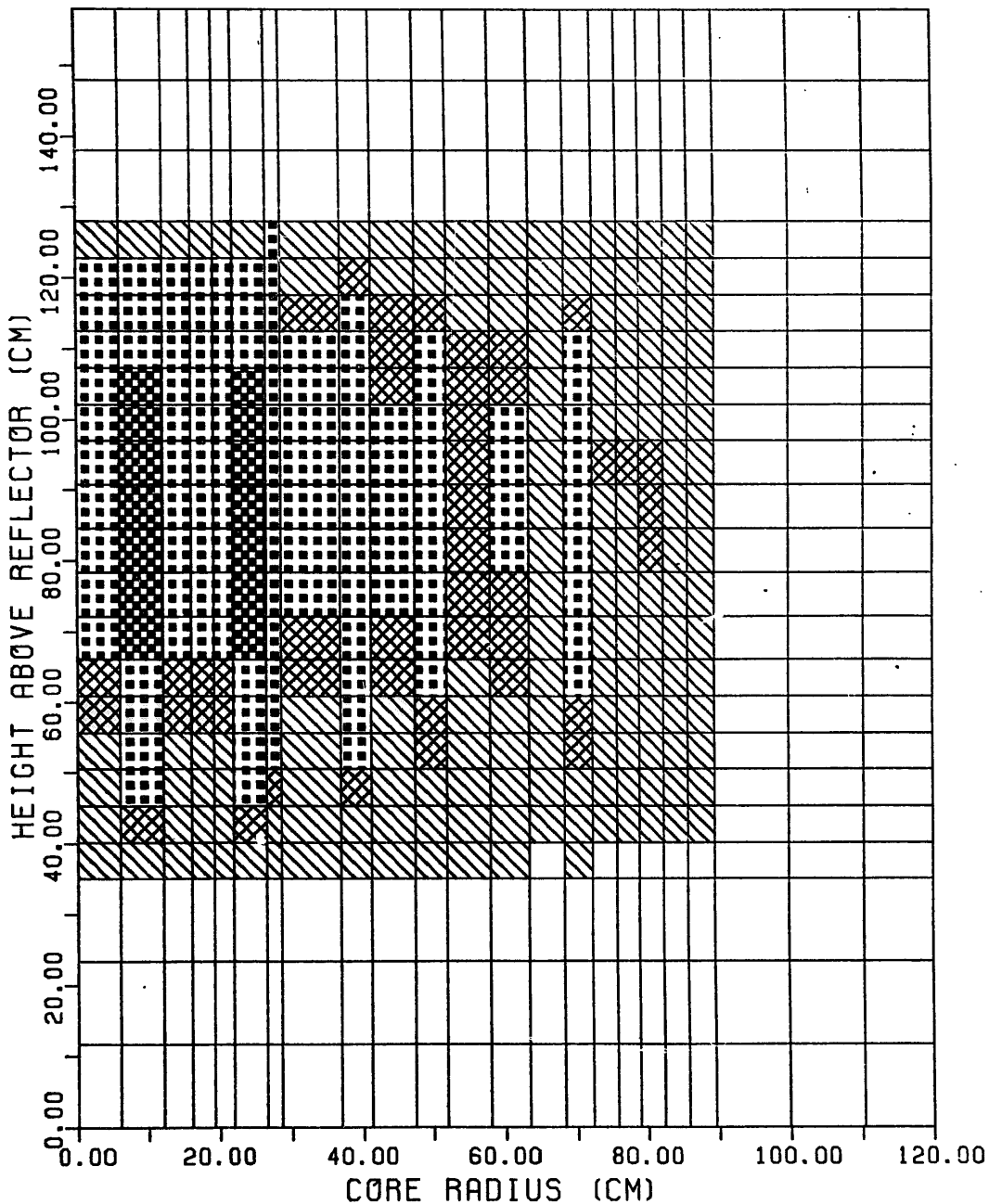


Figure 6.1-83a. Fuel Temperature Distribution (Initial State)

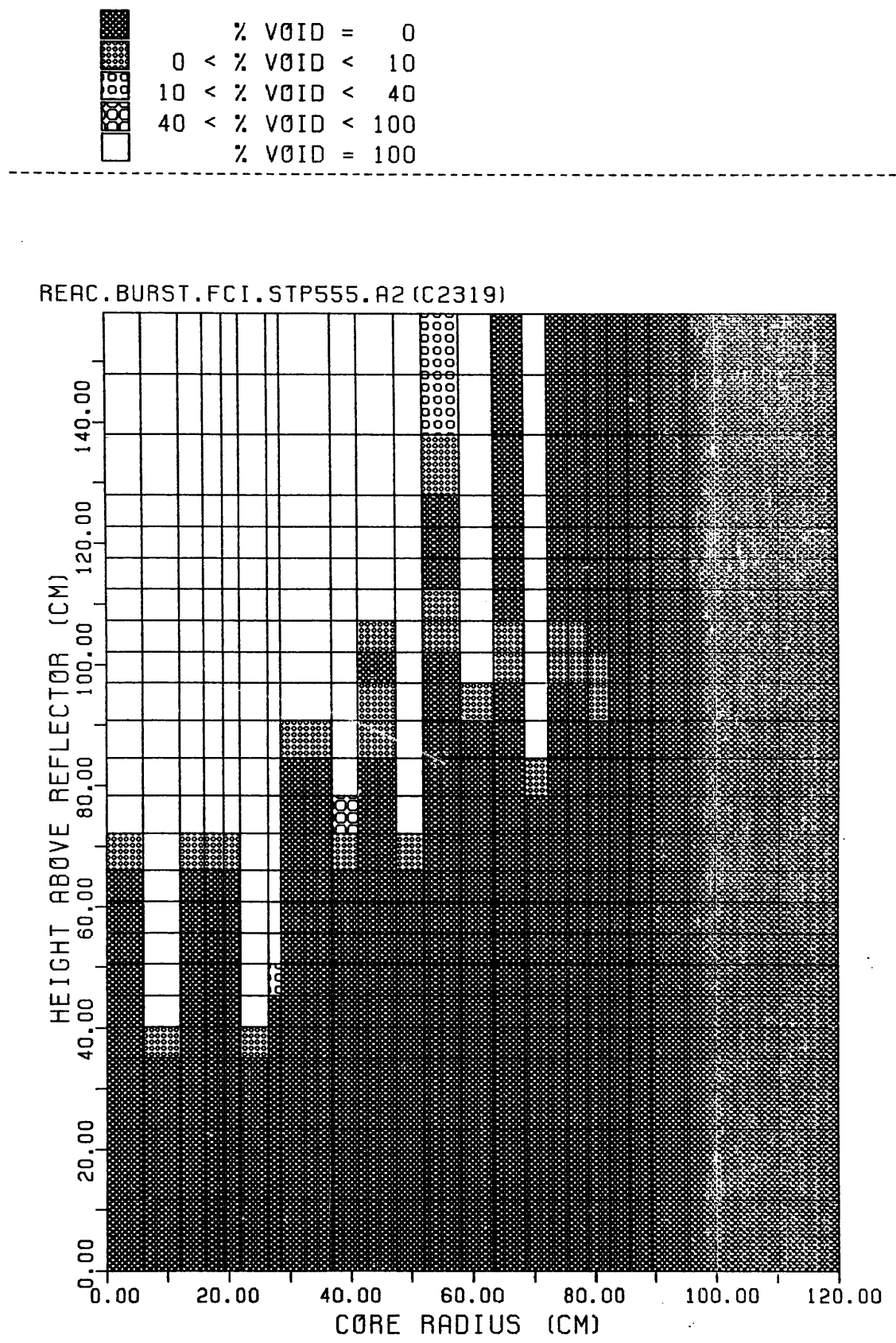


Figure 6.1-83b. Void Fraction Distribution

○ : NET REACTIVITY
△ : DOPPLER REACTIVITY
+ : FUEL DISPERSAL REACTIVITY
× : INSERTION REACTIVITY

REAC.BURST.FCI.STP555.A2 (C2319)

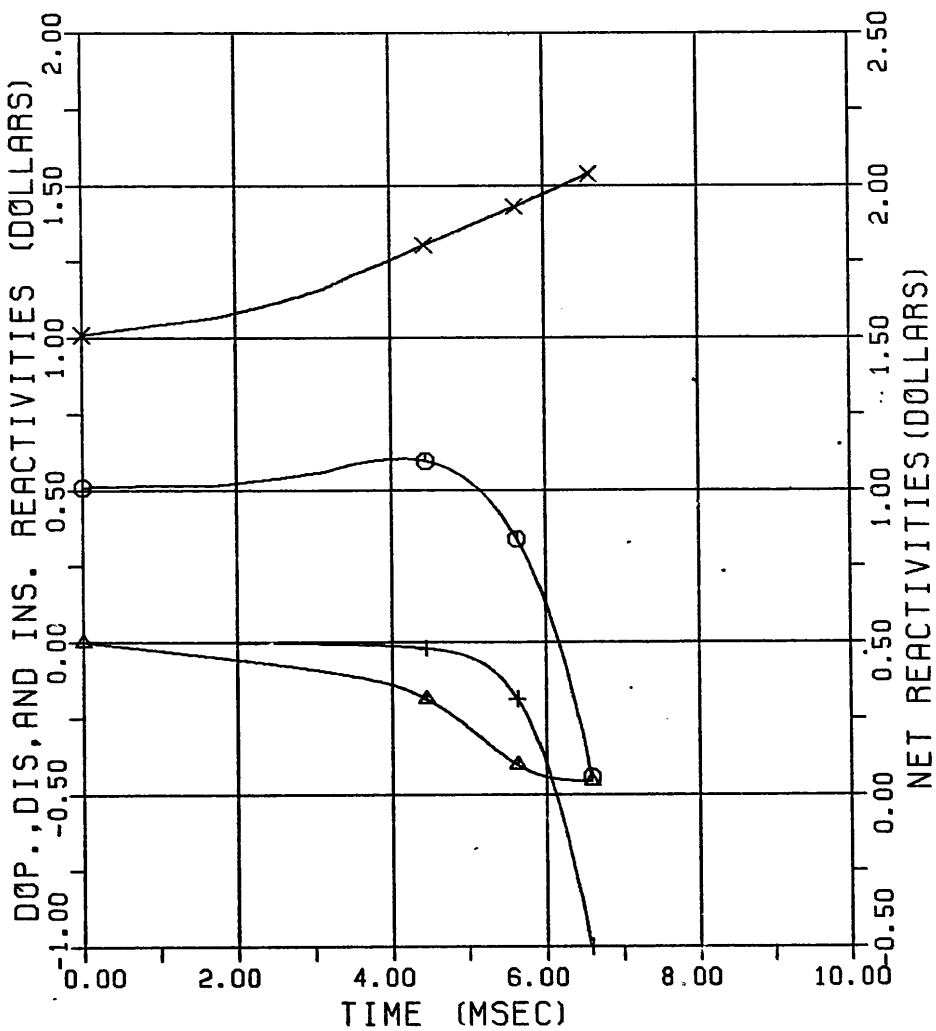


Figure 6.1-84. Reactivities vs. Time

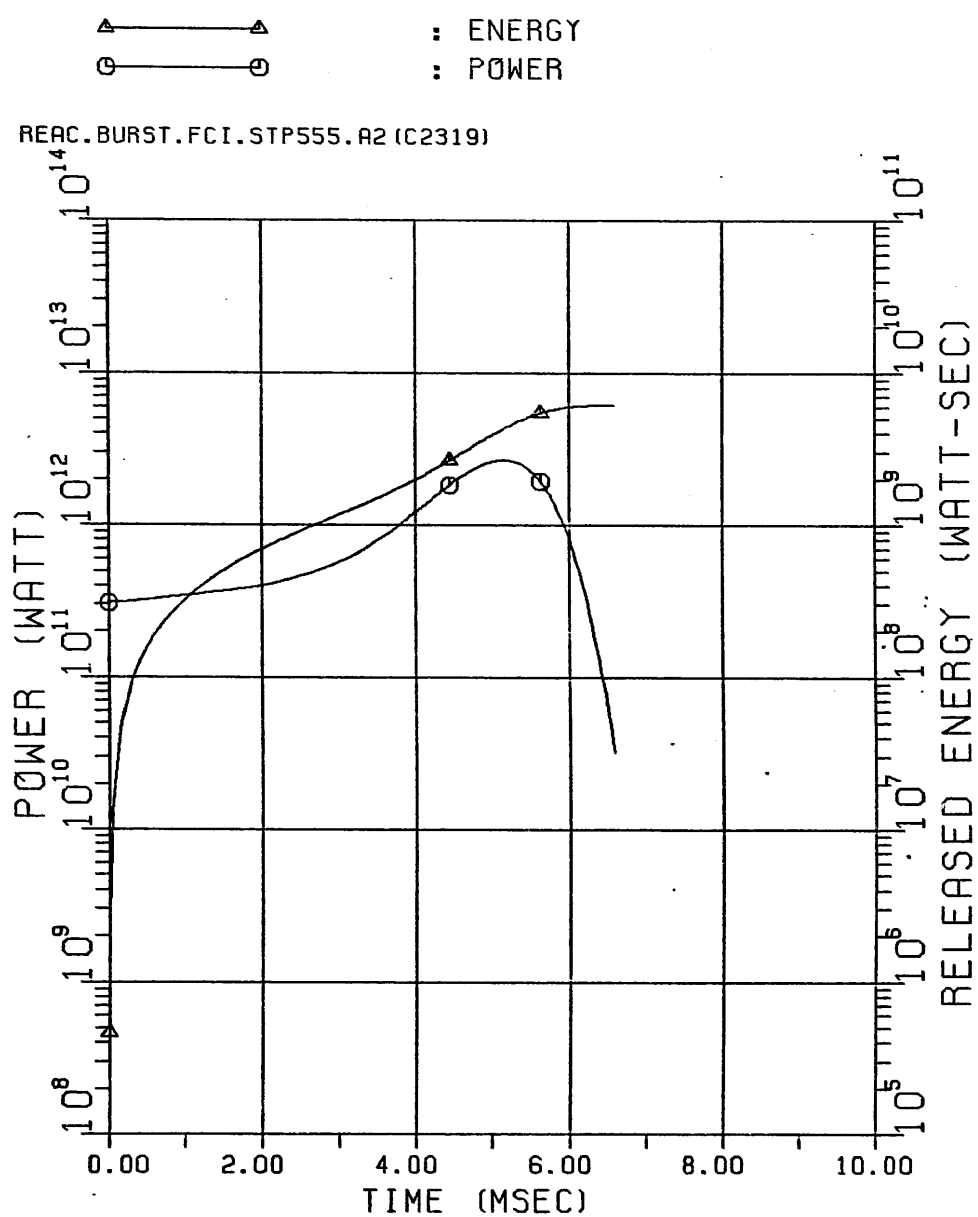


Figure 6.1-85. Power and Released Energy vs. Time

4000 < T	K	ACTIVE CORE STATE :
3500 < T < 4000	K	MAX FUEL TEMP. (K) = 6487.0
TMELT+1 < T < 3500	K	MIN FUEL TEMP. (K) = 2517.6
TMELT-1 < T < TMELT+1	K	AVERAGE FUEL TEMP. (K) = 3995.9
2000 < T < TMELT-1	K	TEMP. PEAKING FACTOR = 1.6
T < 2000	K	

MOLTEN CORE STATE: TOTAL MOLTEN FUEL MASS (KG) = 5673.0

MOLTEN FUEL AVERAGE TEMP. (K) = 4206.2

ENERGY ABOVE FUEL SOLIDUS (MJ) = 5107.5

REAC.BURST.FCI.STP555.A2 (C2319)

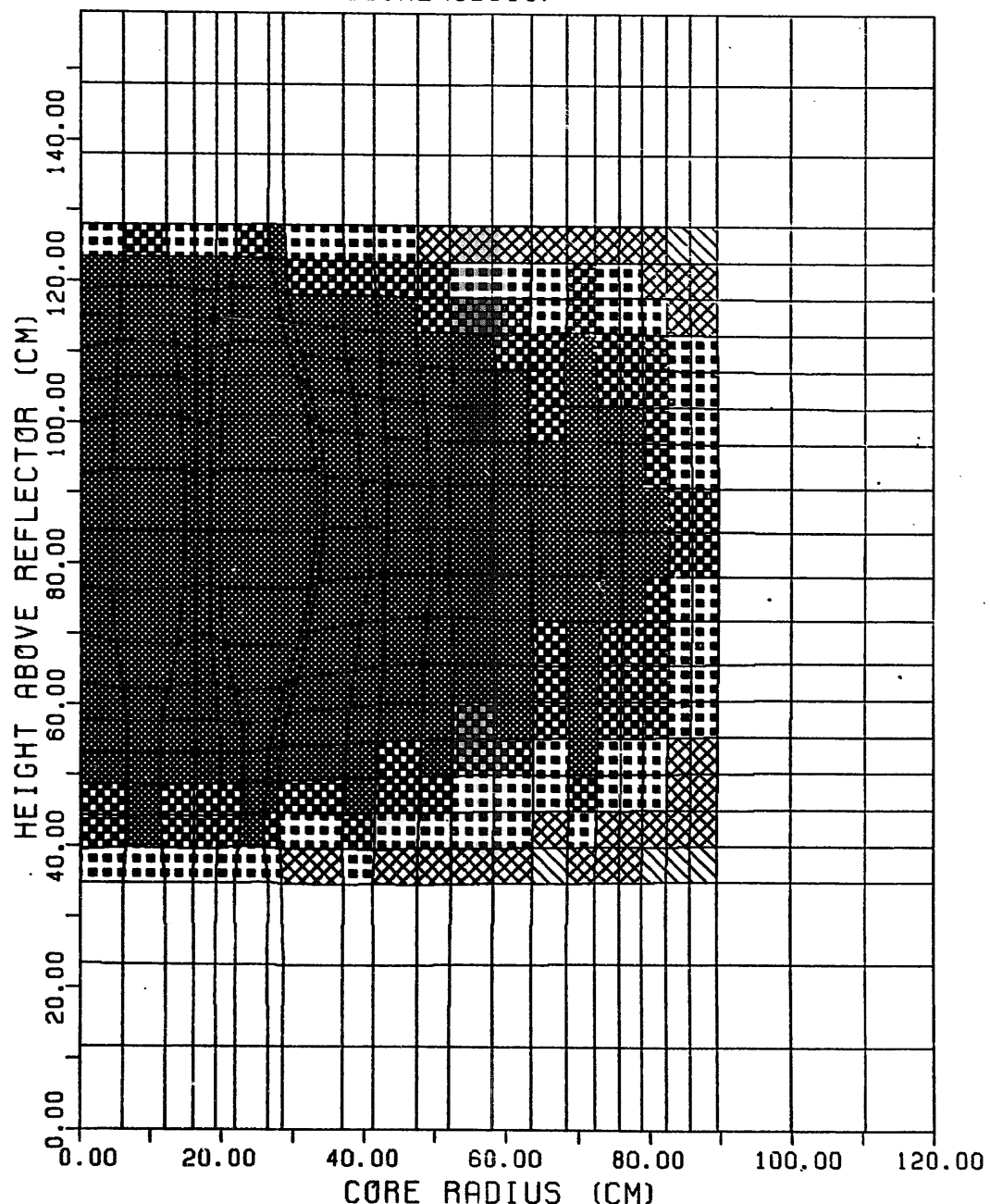


Figure 6.1-86. Fuel Temperature Distribution
(Final State)

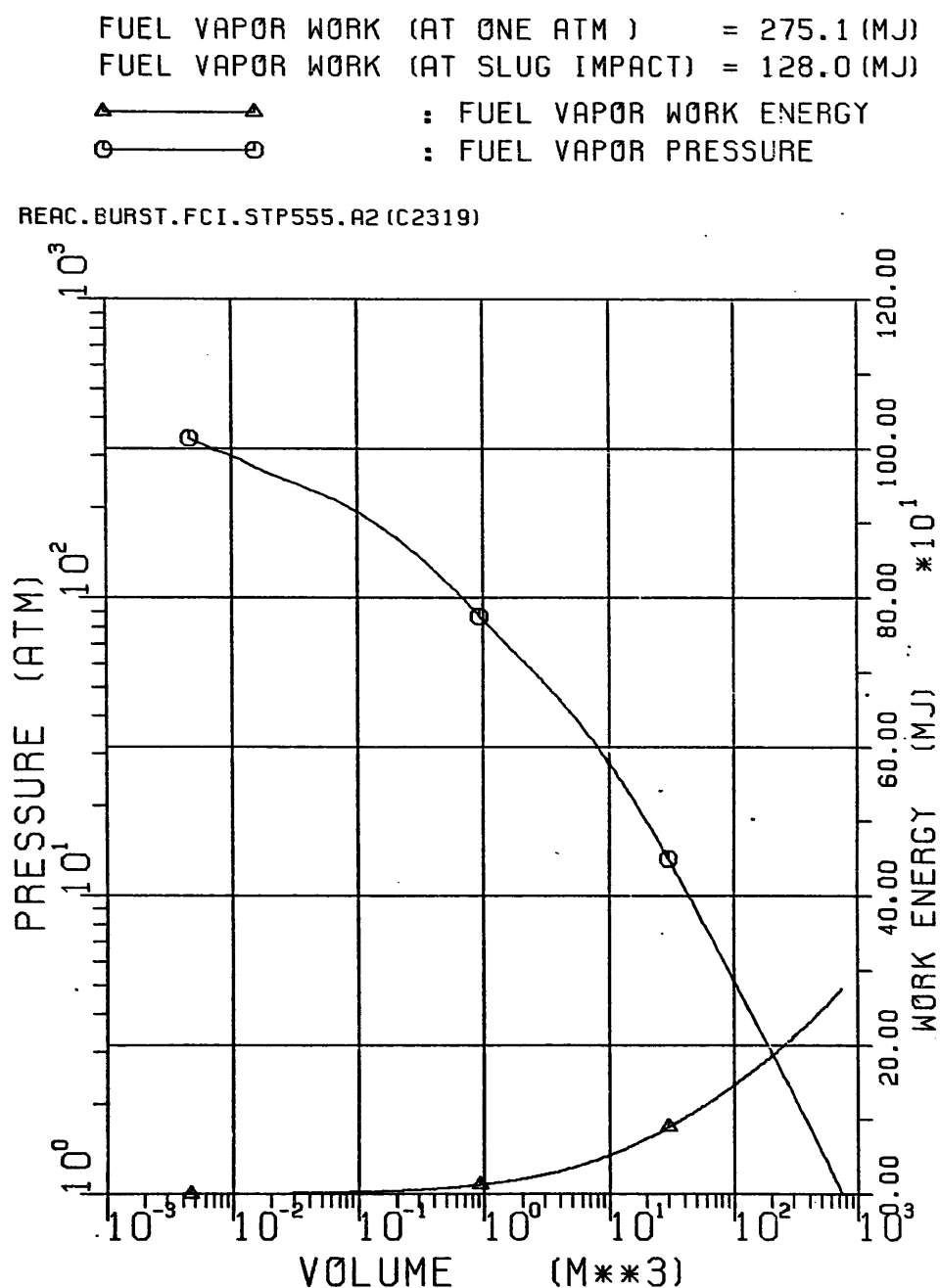


Figure 6.1-87. Fuel Vapor Pressure and Work Energy vs. Volume

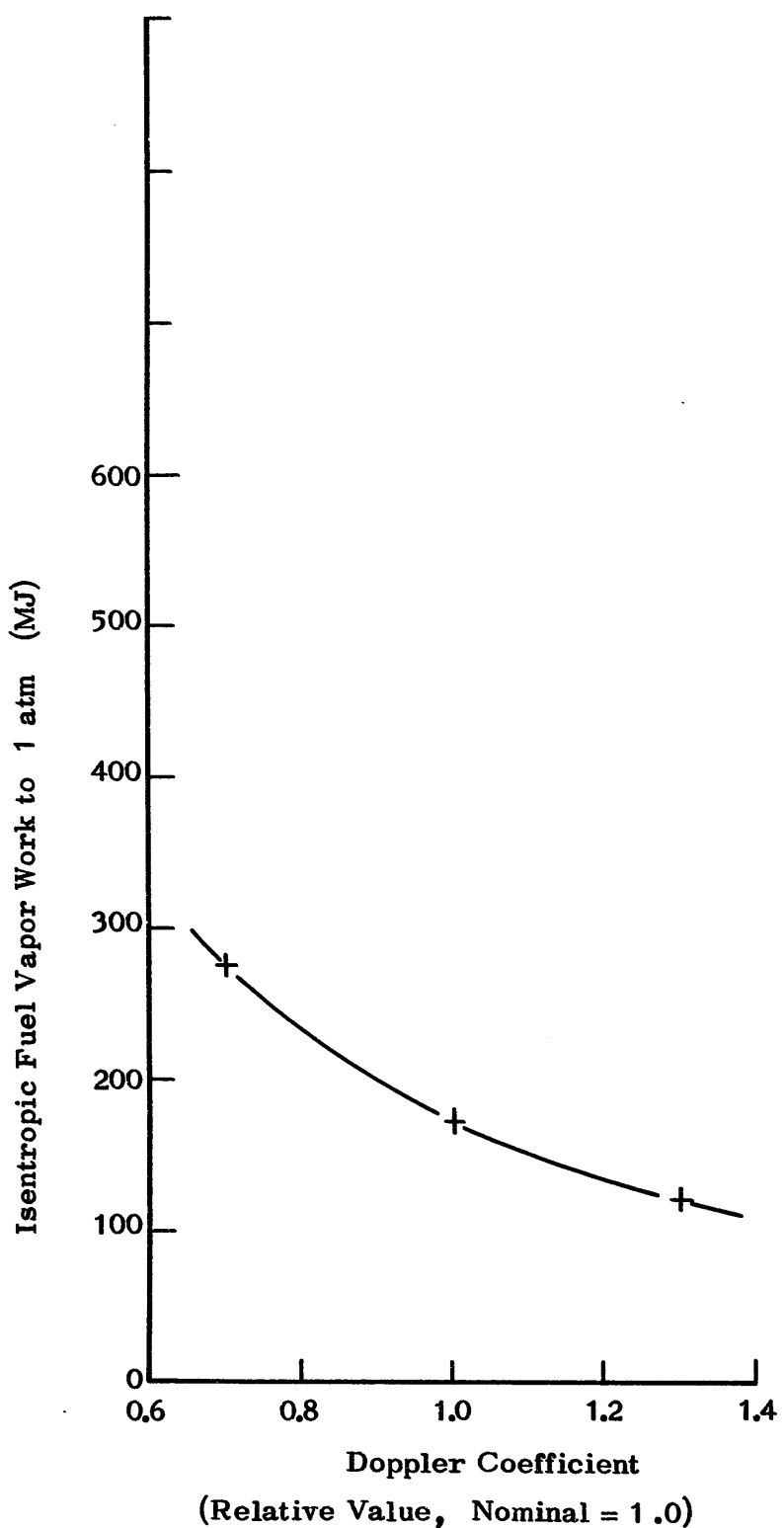


Figure 6.1-88. Isentropic Fuel Vapor Works as Function of
Doppler Coefficient in VENUS Phase
Case ID: LF.REAC.BURST.FCI.C2319.STP555

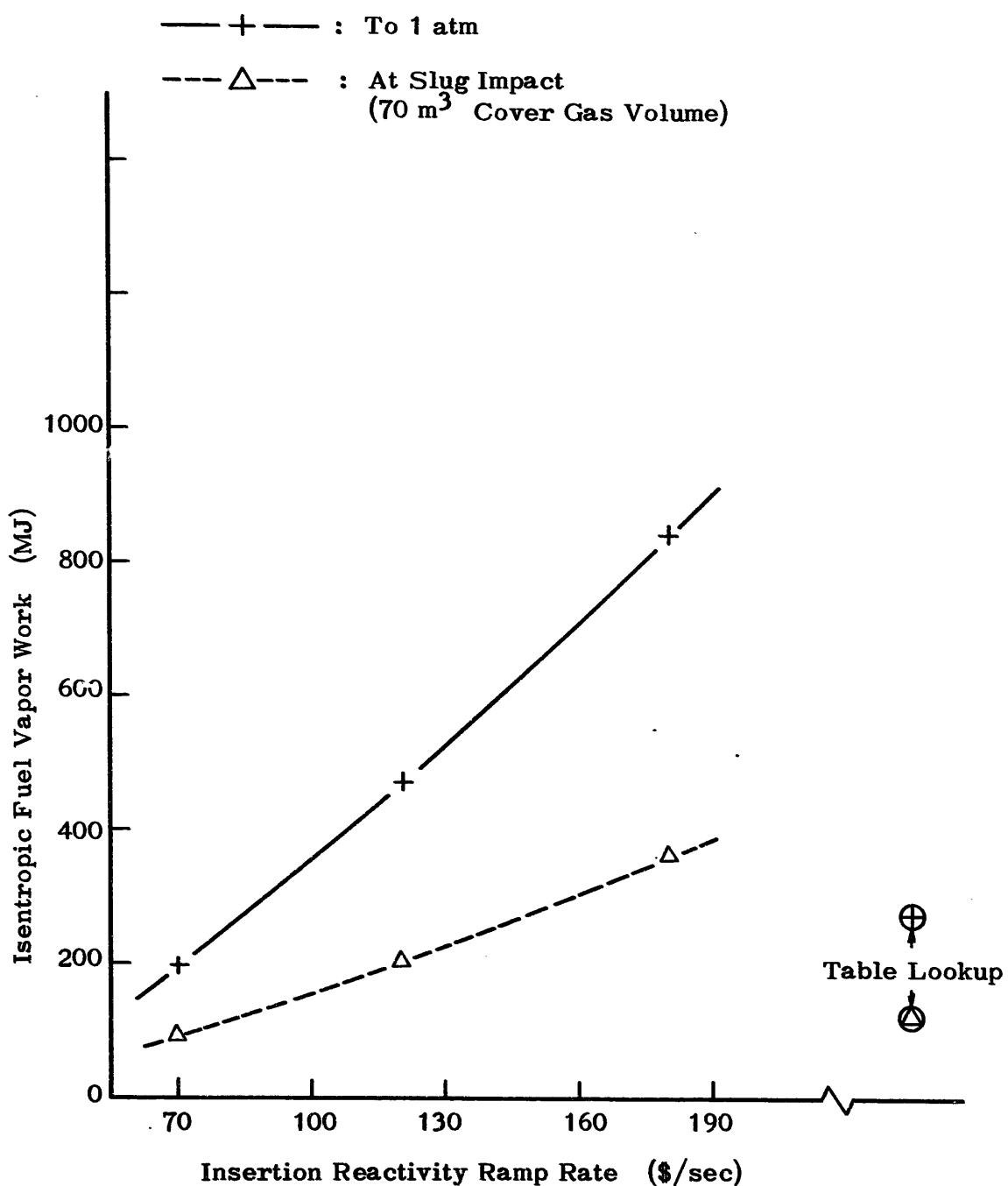
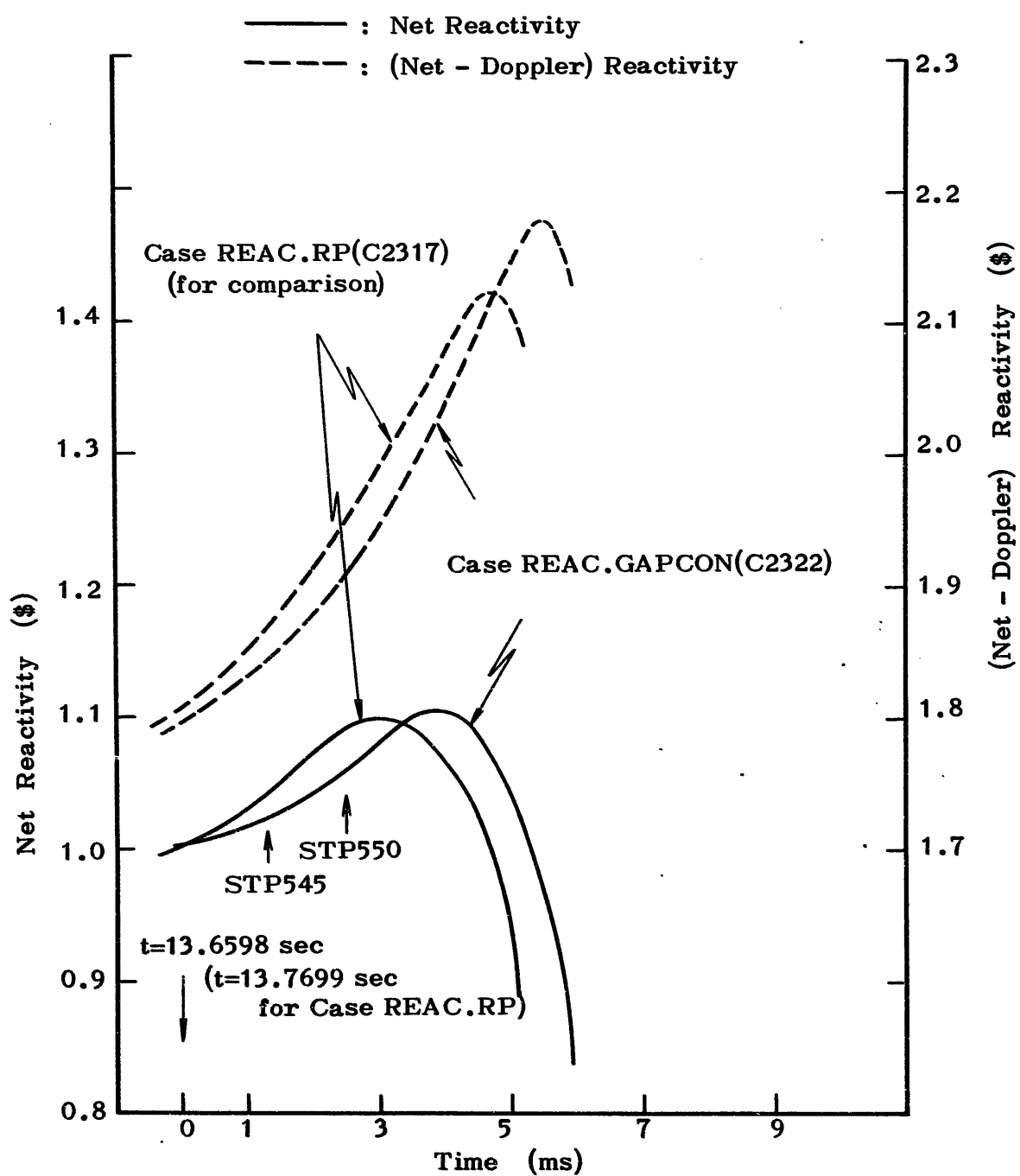


Figure 6.1-89 Isentropic Fuel Vapor Work as Function of Insertion Reactivity Ramp Rate

Case ID : LF.REAC.BURST.FCI.C2319.STP555



**Figure 6.1-90. Reactivity as Function of Time
Case ID : LF.REAC.GAPCON (C2322)**

4000 < T	K	ACTIVE CORE STATE :
3500 < T < 4000	K	MAX FUEL TEMP. (K) = 4131.9
TMELT+1 < T < 3500	K	MIN FUEL TEMP. (K) = 1863.6
TMELT-1 < T < TMELT+1	K	AVERAGE FUEL TEMP. (K) = 2904.1
2000 < T < TMELT-1	K	TEMP. PEAKING FACTOR = 1.4
T < 2000	K	

MOLTEN CORE STATE: TOTAL MOLTEN FUEL MASS (KG) = 2604.3
 MOLTEN FUEL AVERAGE TEMP. (K) = 3196.0
 ENERGY ABOVE FUEL SOLIDUS (MJ) = 1021.3

REAC.GAPCON.STP545.A2 (C2322)

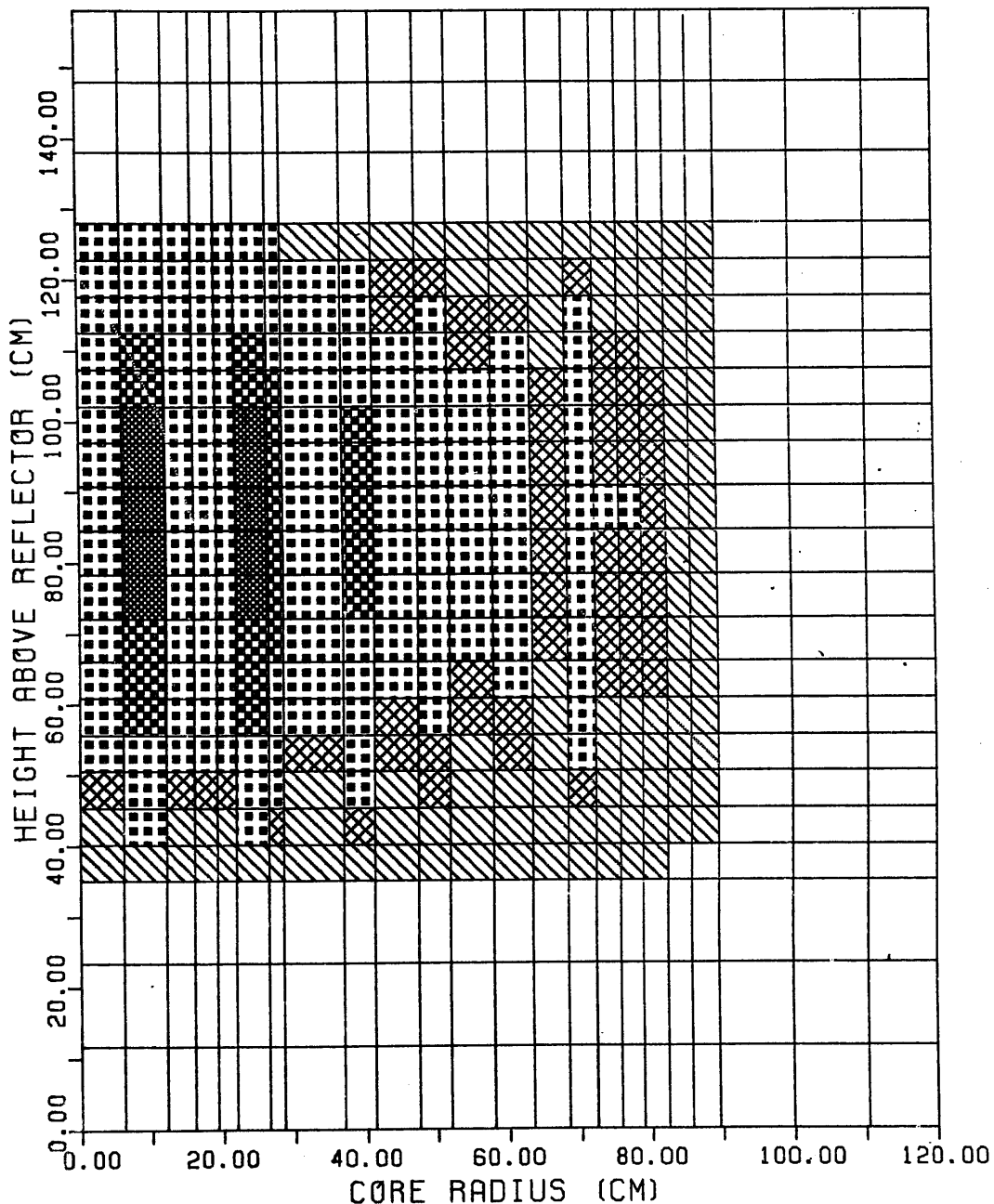


Figure 6.1-91a. Fuel Temperature Distribution
 (Initial State)



4000 < T	K	ACTIVE CORE STATE :	
3500 < T < 4000	K	MAX FUEL TEMP.	(K) = 4342.9
TMELT+1 < T < 3500	K	MIN FUEL TEMP.	(K) = 1929.5
TMELT-1 < T < TMELT+1	K	AVERAGE FUEL TEMP. (K)	= 2987.6
2000 < T < TMELT-1	K	TEMP. PEAKING FACTOR = 1.5	
T < 2000	K		

MOLTEN CORE STATE: TOTAL MOLTEN FUEL MASS (KG) = 3436.7
 MOLTEN FUEL AVERAGE TEMP. (K) = 3240.1
 ENERGY ABOVE FUEL SOLIDUS (MJ) = 1424.0

REAC.GAPCON.STP550.A2 (C2322)

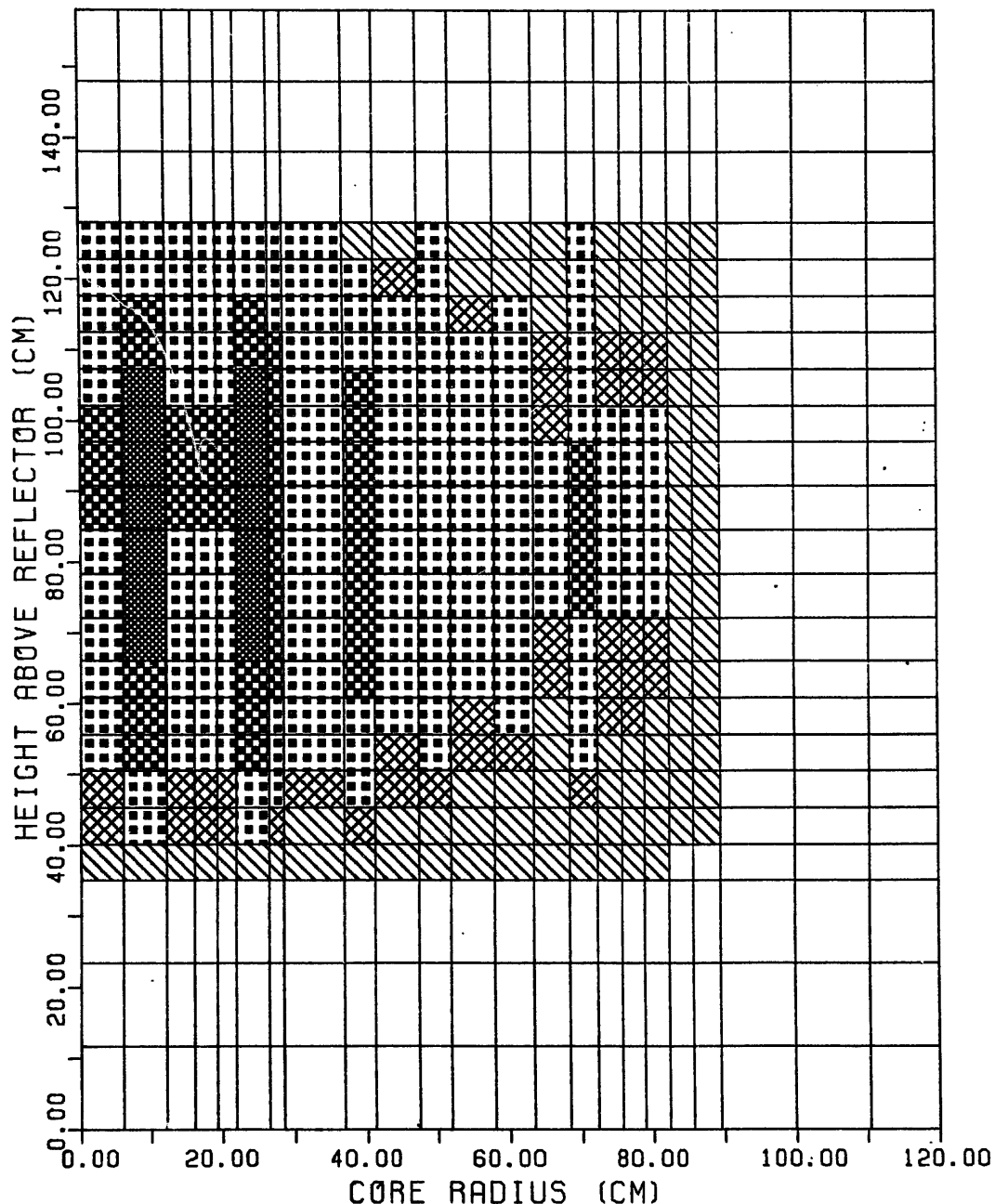


Figure 6.1-91b. Fuel Temperature Distribution (Initial State)

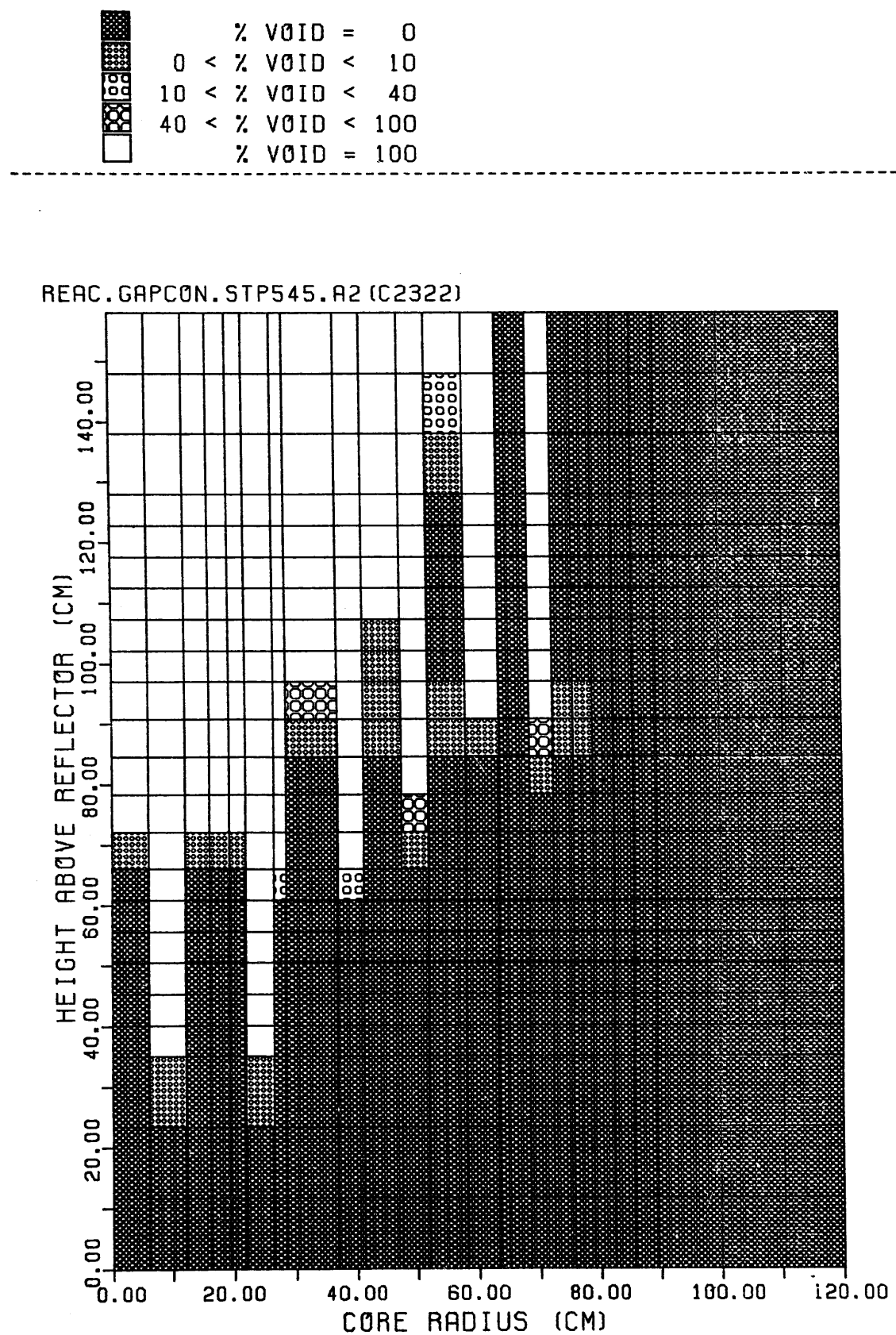


Figure 6.1-92a. Void Fraction Distribution

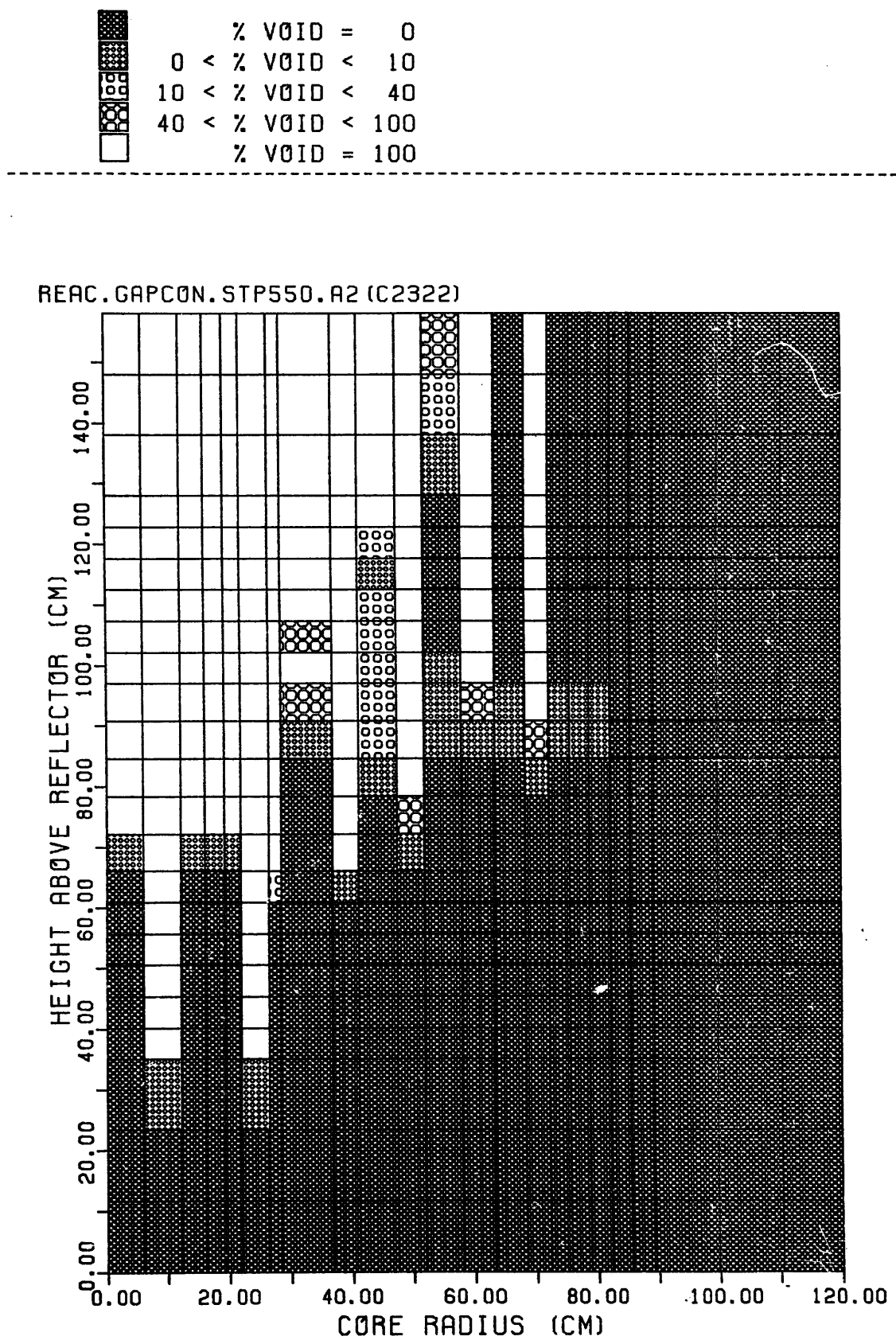


Figure 6.1-92b. Void Fraction Distribution

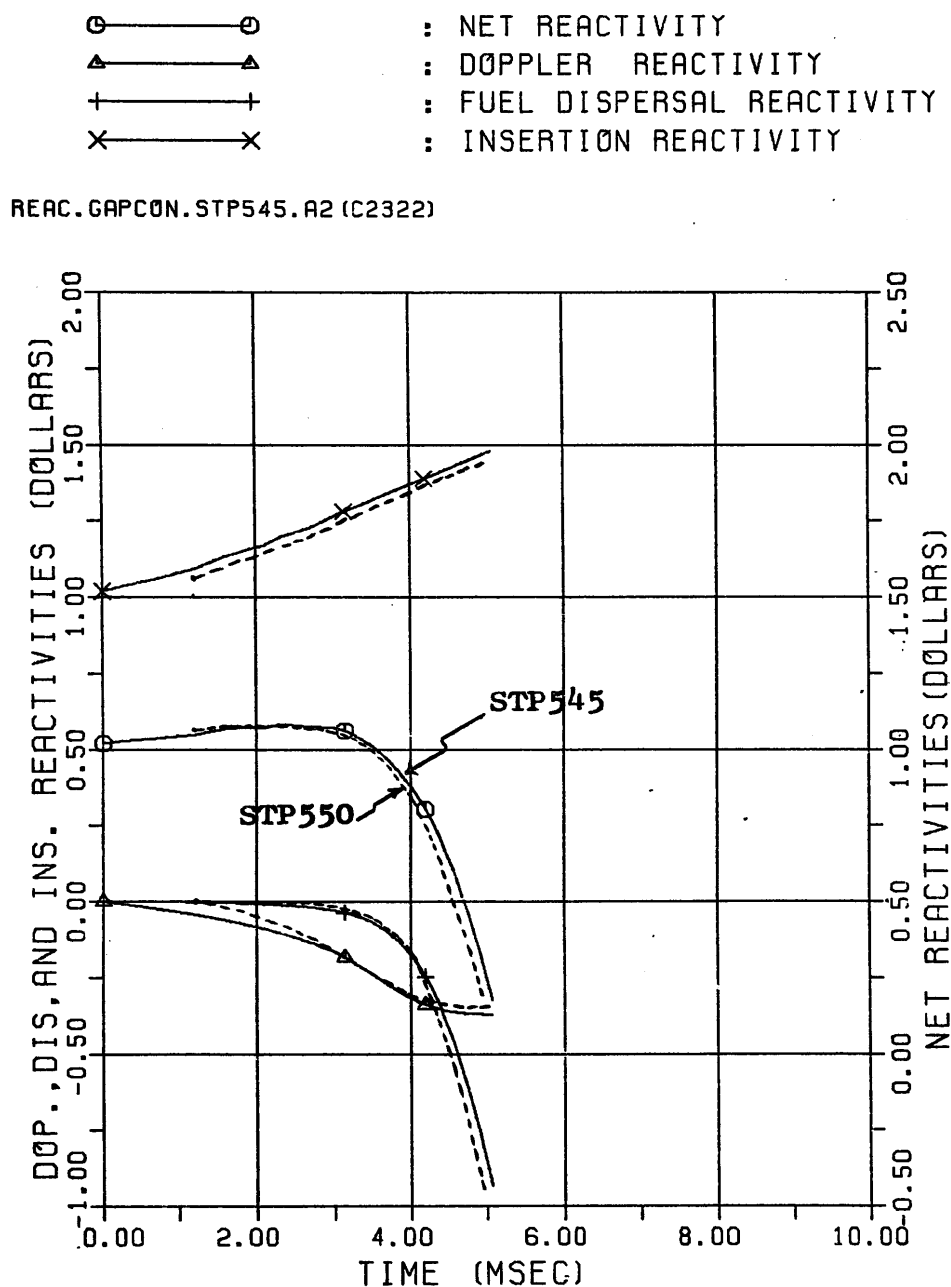


Figure 6.1-93a. Reactivities vs. Time
(LF.REAC.GAPCON.C2322)

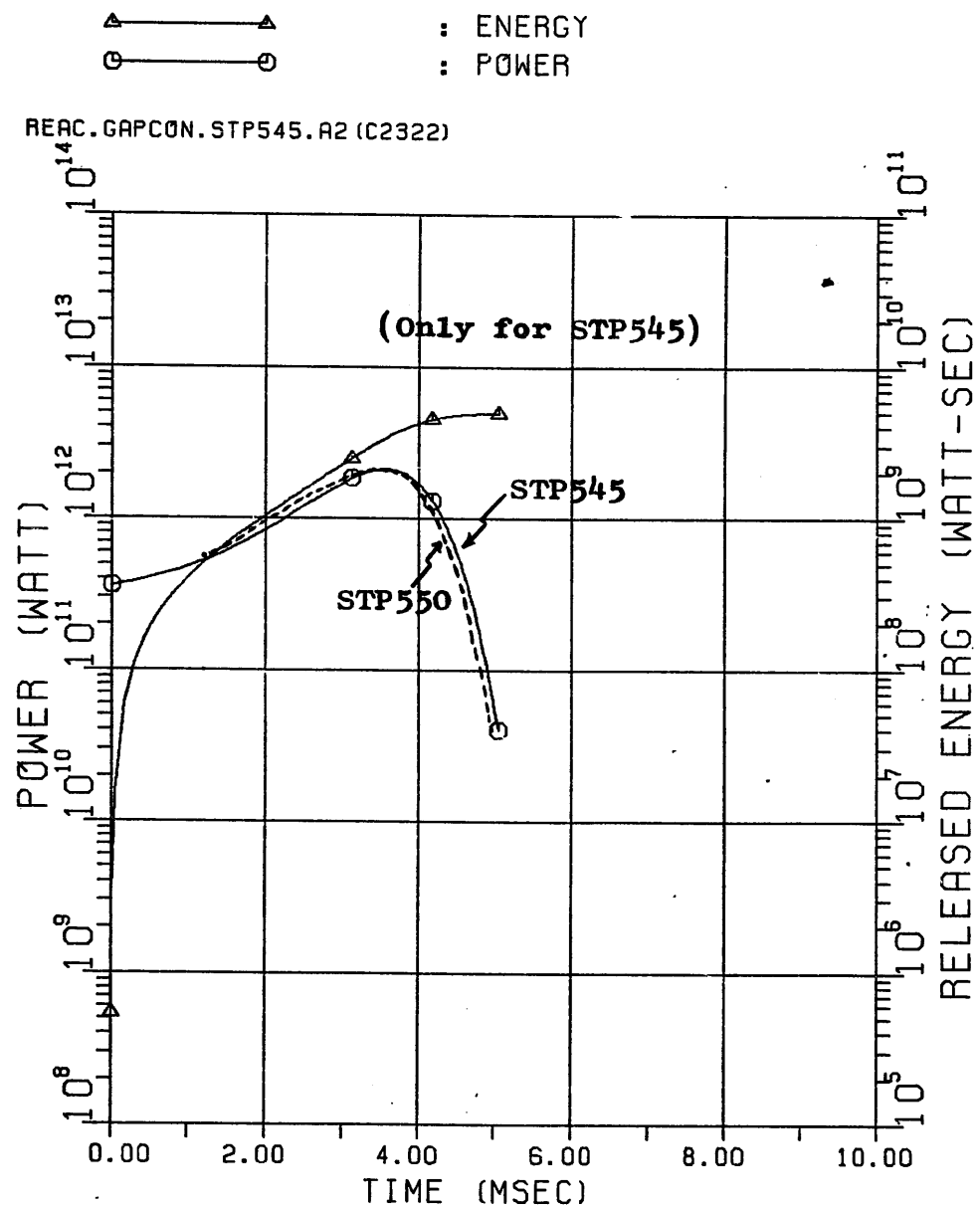


Figure 6.1-93b. Power and Released Energy vs. Time
(LF.REAC.GAPCON.C2322)



$4000 < T$	K	ACTIVE CORE STATE :	
$3500 < T < 4000$	K	MAX FUEL TEMP. (K)	= 6283.4
$T_{MELT+1} < T < 3500$	K	MIN FUEL TEMP. (K)	= 2485.5
$T_{MELT-1} < T < T_{MELT+1}$	K	AVERAGE FUEL TEMP. (K)	= 3915.1
$2000 < T < T_{MELT-1}$	K	TEMP. PEAKING FACTOR	= 1.6
$T < 2000$	K		
MOLTED CORE STATE: TOTAL MOLTED FUEL MASS (KG) = 5594.1			
MOLTED FUEL AVERAGE TEMP. (K) = 4125.0			
ENERGY ABOVE FUEL SOLIDUS (MJ) = 4807.8			

REAC.GAPCON.STP545.A2 (C2322)

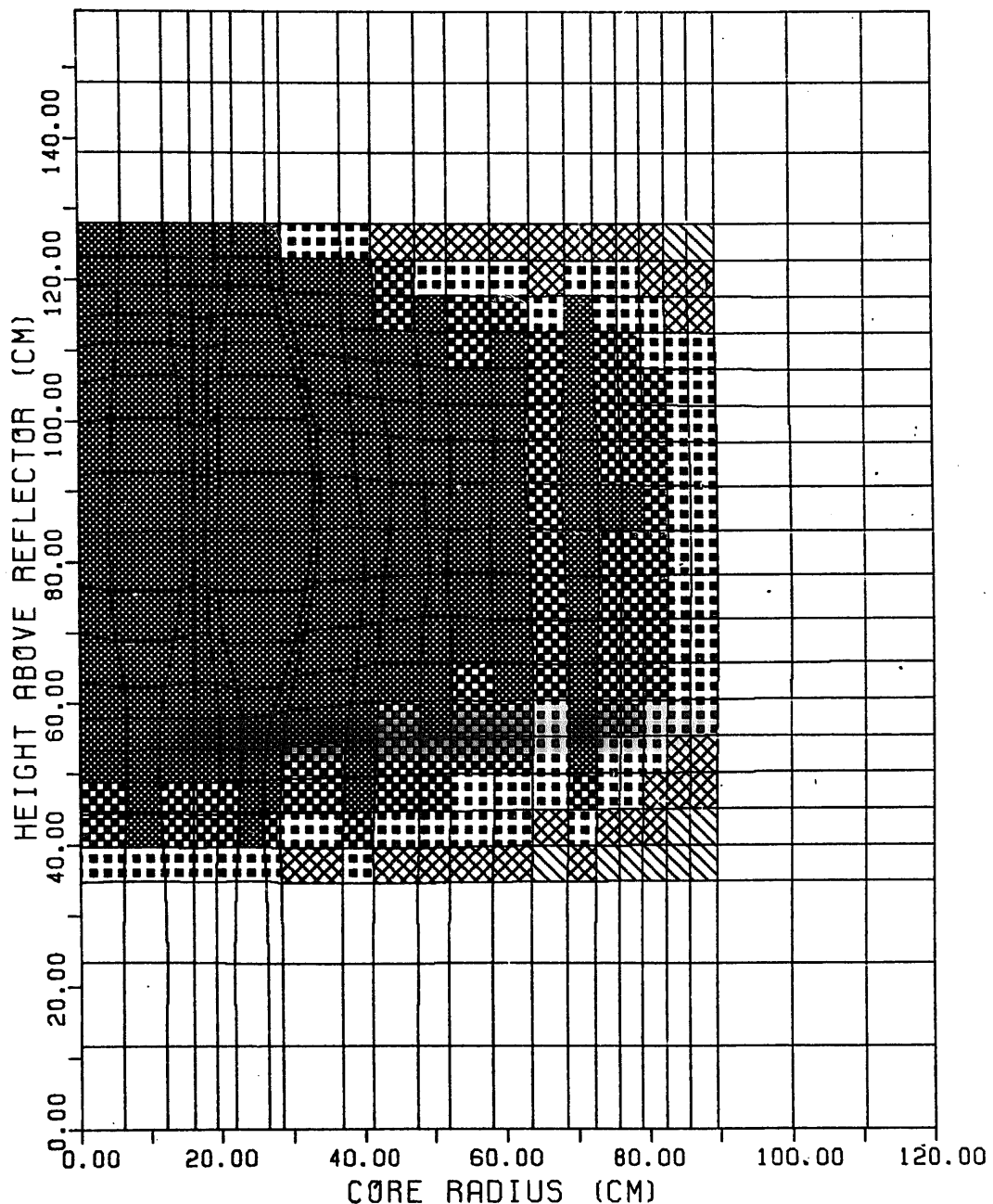


Figure 6.1-94a. Fuel Temperature Distribution
(Final State)

4000 < T	K	ACTIVE CORE STATE :
3500 < T < 4000	K	MAX FUEL TEMP. (K) = 6323.3
TMELT+1 < T < 3500	K	MIN FUEL TEMP. (K) = 2503.7
TMELT-1 < T < TMELT+1	K	AVERAGE FUEL TEMP. (K) = 3974.9
2000 < T < TMELT-1	K	TEMP. PEAKING FACTOR = 1.6
T < 2000	K	

MOLTEN CORE STATE: TOTAL MOLTEN FUEL MASS (KG) = 5644.9
 MOLTEN FUEL AVERAGE TEMP. (K) = 4184.9
 ENERGY ABOVE FUEL SOLIDUS (MJ) = 5021.7

REAC.GAPCON.STP550.A2 (C2322)

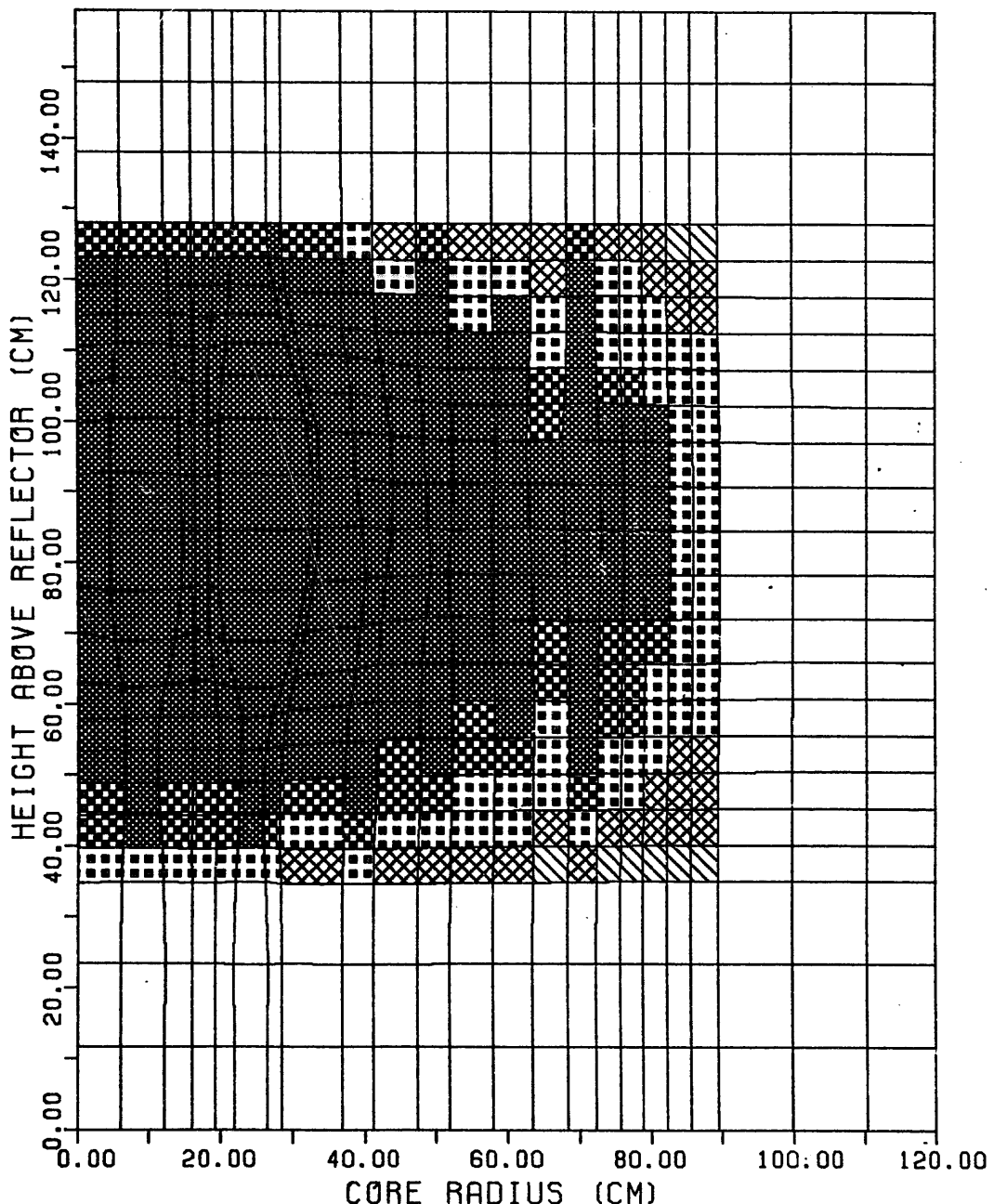


Figure 6.1-94b. Fuel Temperature Distribution (Final State)

FUEL VAPOR WORK (AT ONE ATM) = 239.8 (MJ)
 FUEL VAPOR WORK (AT SLUG IMPACT) = 108.1 (MJ)

Δ : FUEL VAPOR WORK ENERGY
 \circ : FUEL VAPOR PRESSURE

REAC.GAPCON.STP545.A2 (C2322)

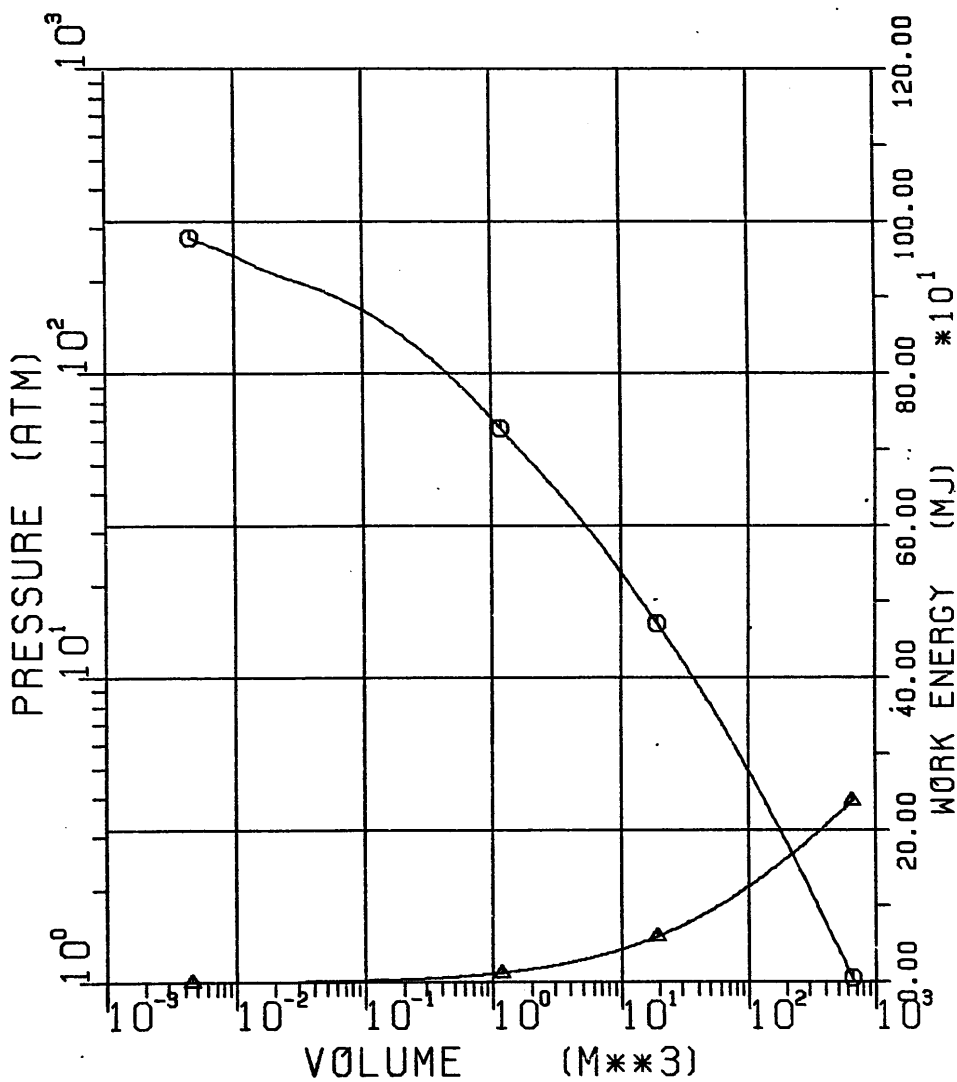


Figure 6.1-95a. Fuel Vapor Pressure and Work Energy vs. Volume

FUEL VAPOR WORK (AT ONE ATM) = 262.5 (MJ)
 FUEL VAPOR WORK (AT SLUG IMPACT) = 111.4 (MJ)

▲ : FUEL VAPOR WORK ENERGY
 ○ : FUEL VAPOR PRESSURE

REAC.GAPCON.STP550.A2 (C2322)

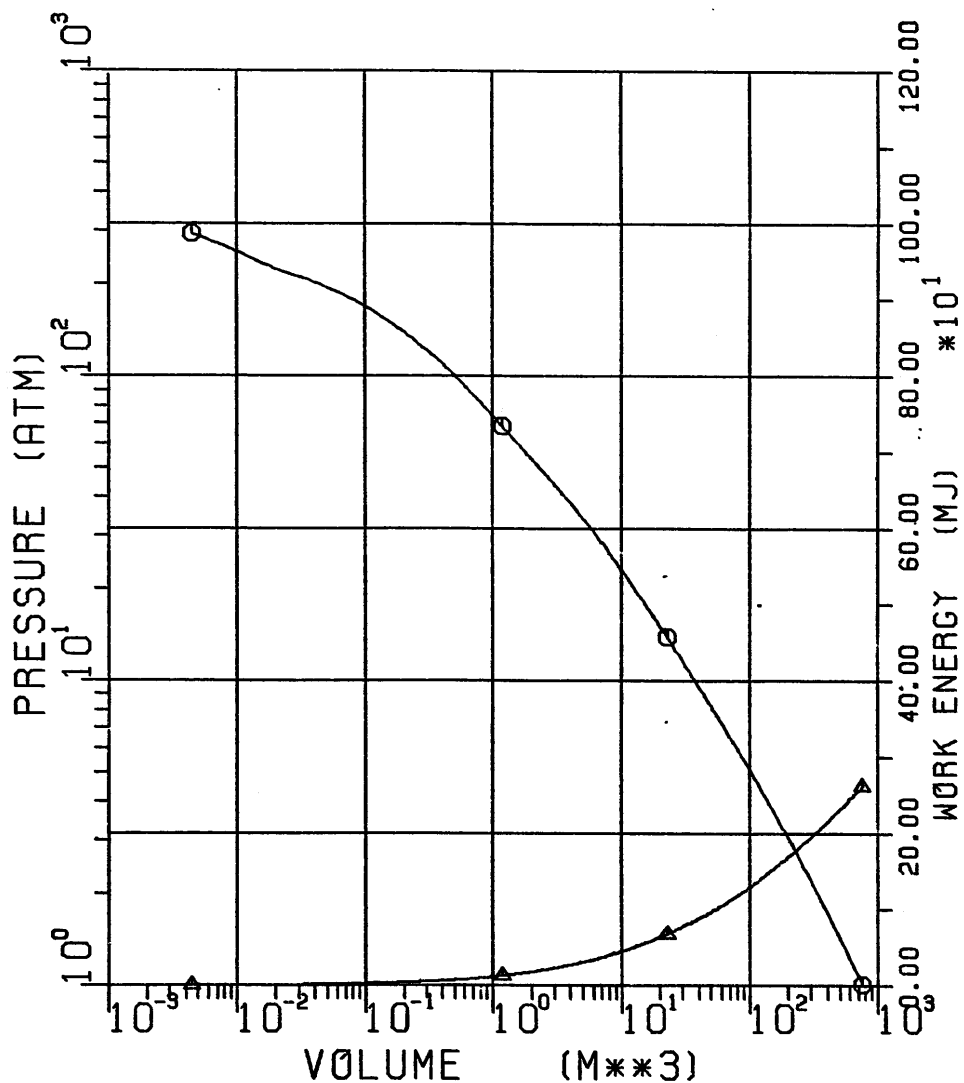


Figure 6.1-95b. Fuel Vapor Pressure and Work Energy vs. Volume

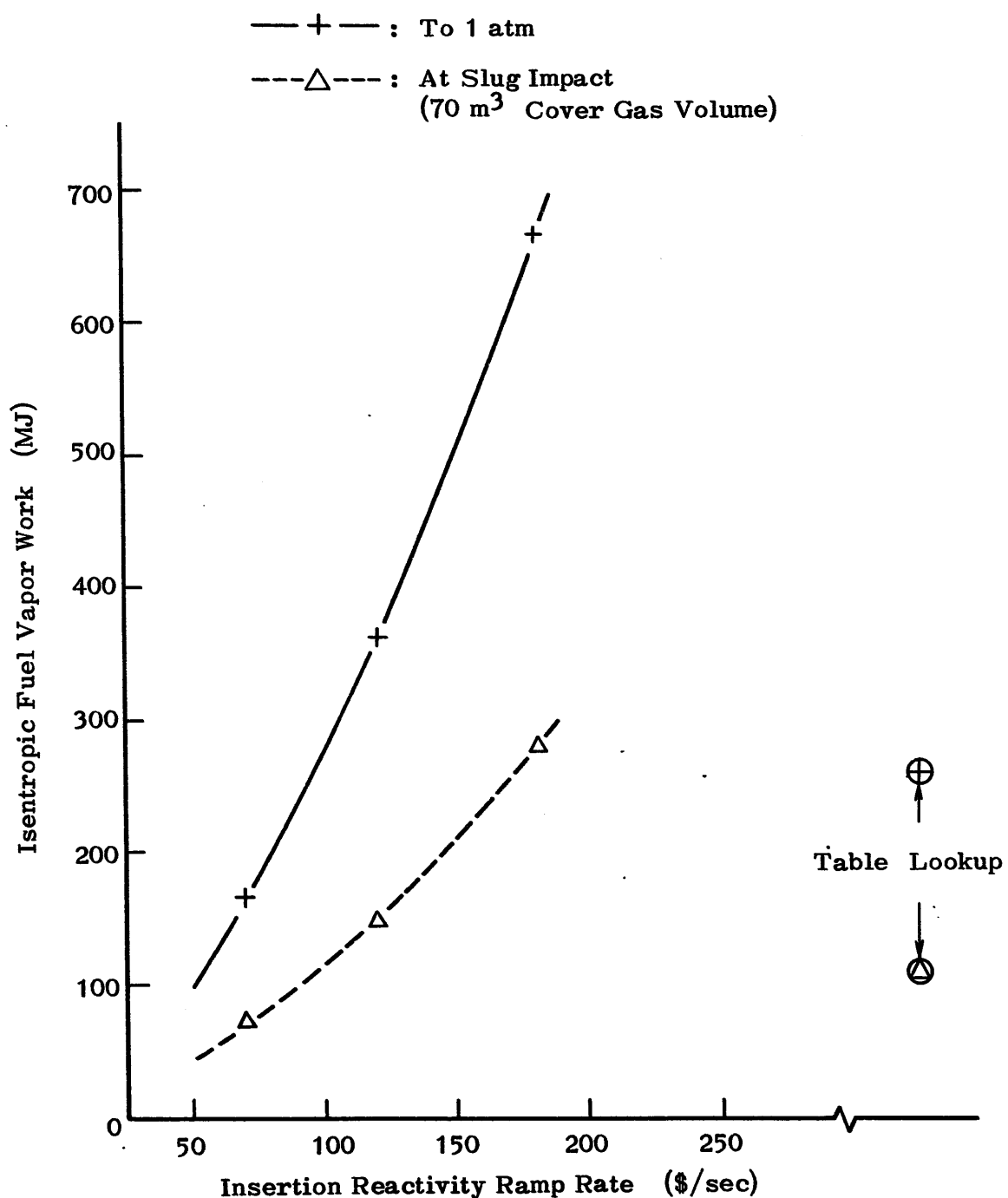


Figure 6.1-96. Isentropic Fuel Vapor Work as Function of Insertion Reactivity Ramp Rate
Case ID : LF.REAC.GAPCON.C2322.STP550

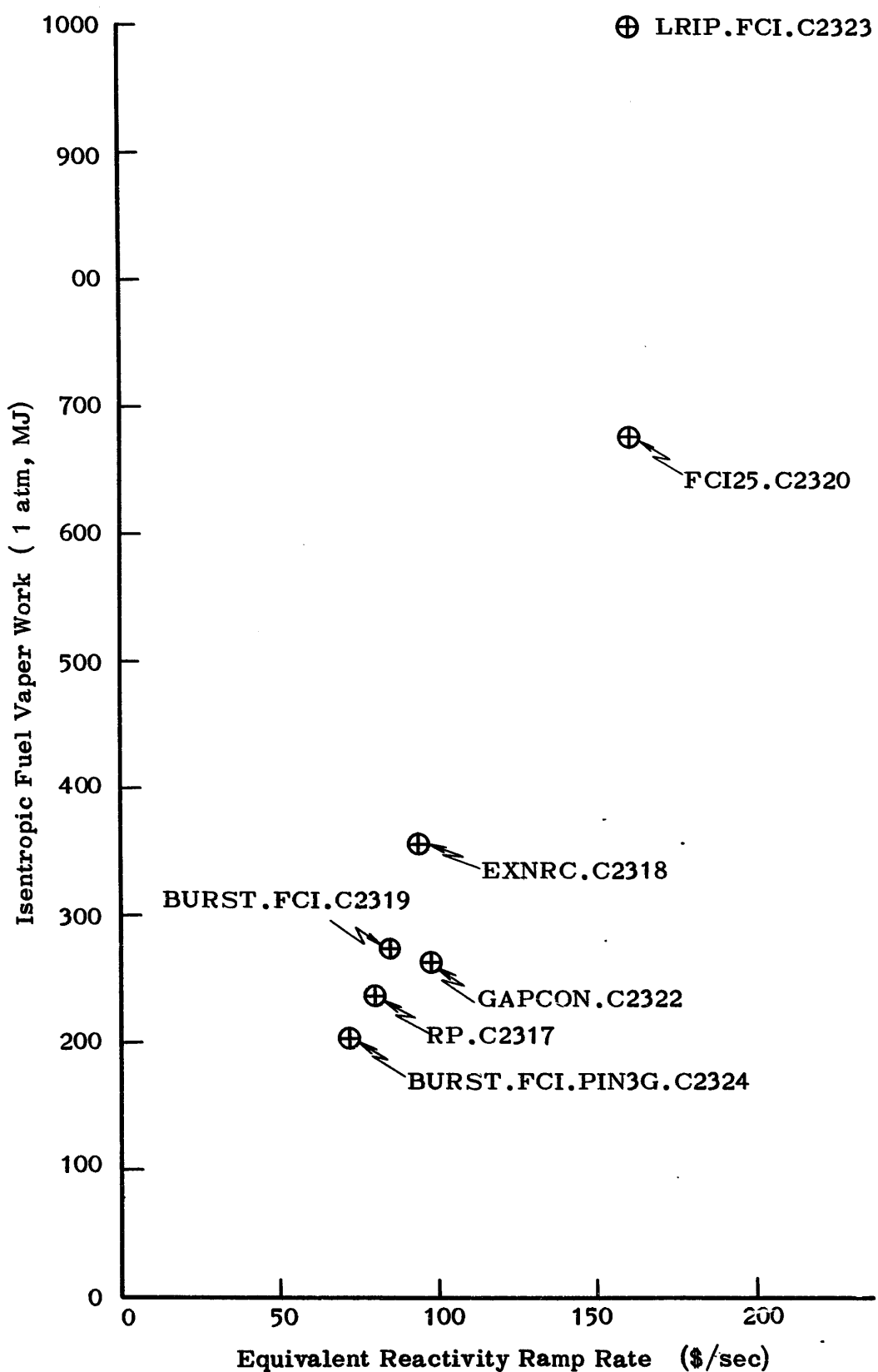


Figure 6.1-97. Summary of EOEC LOF energetic by SAS3D/VENUS-PM2 Calculations

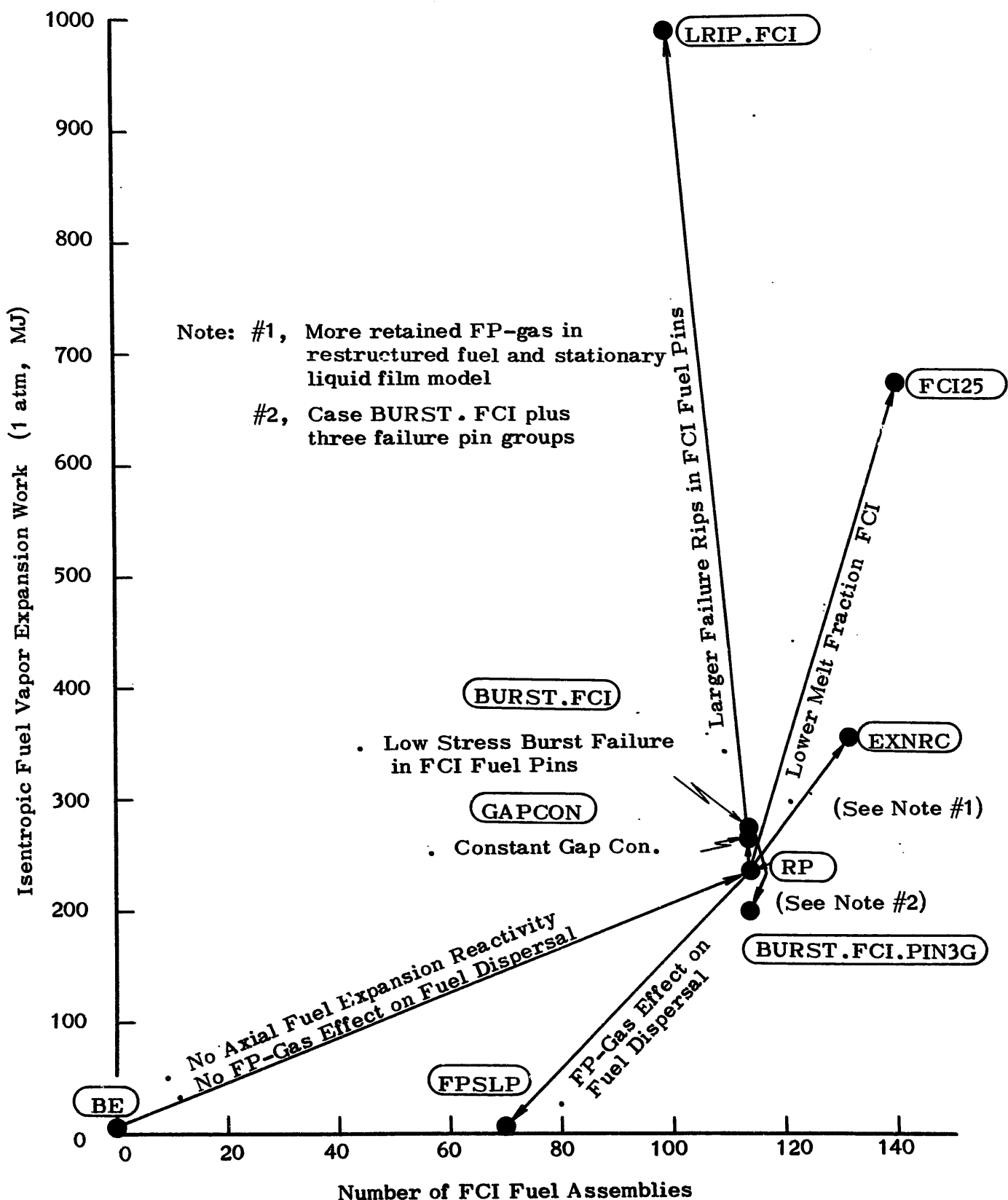


Figure 6.1-98. Summary of Parameter Cases for EOEC-LOF HCDA

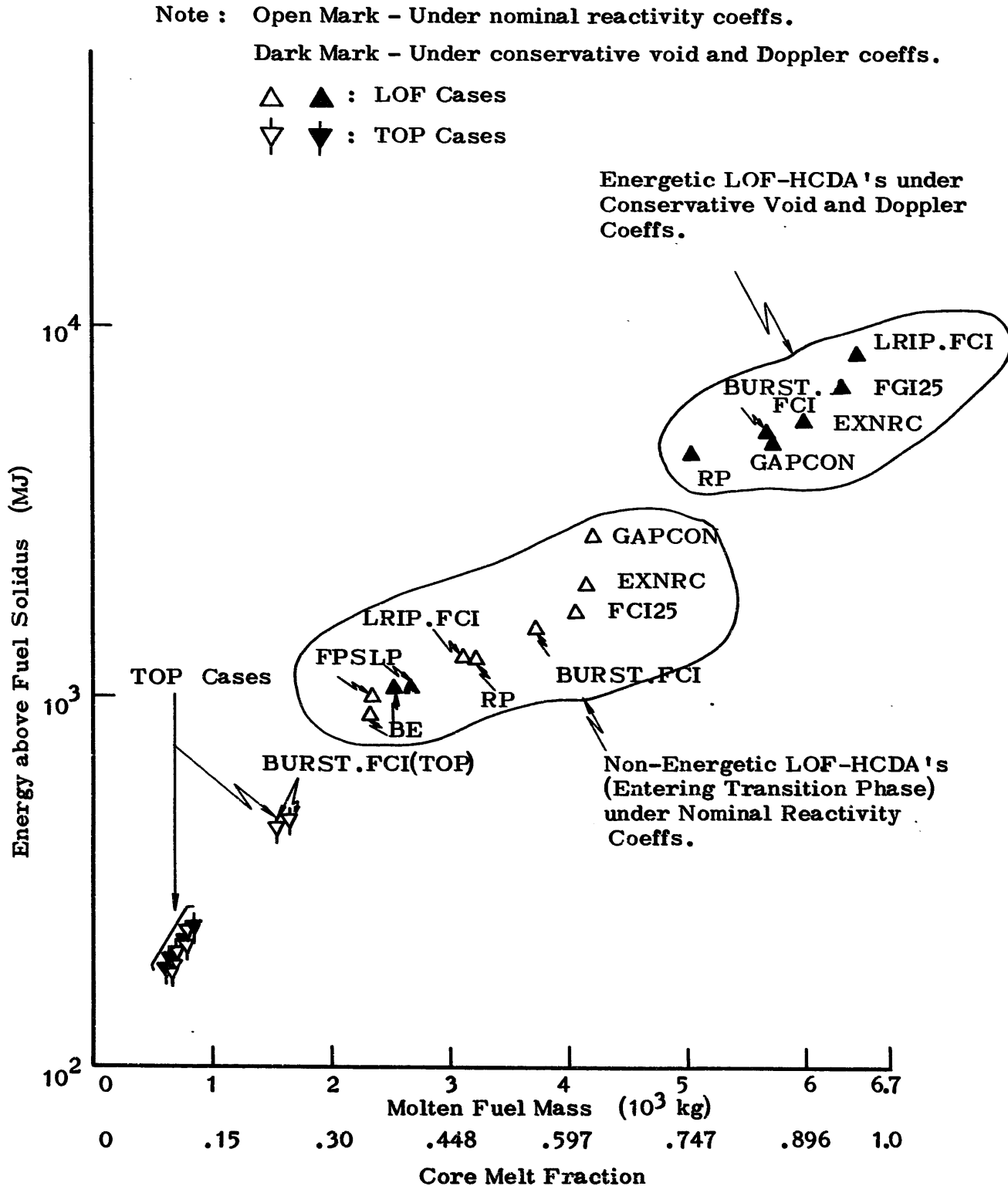


Figure 6.1-99. Molten Core States at the End of Initiating or Disassembly Phase of Parameter Run Cases for LOF and TOP-HCDA's (EOEC Core)

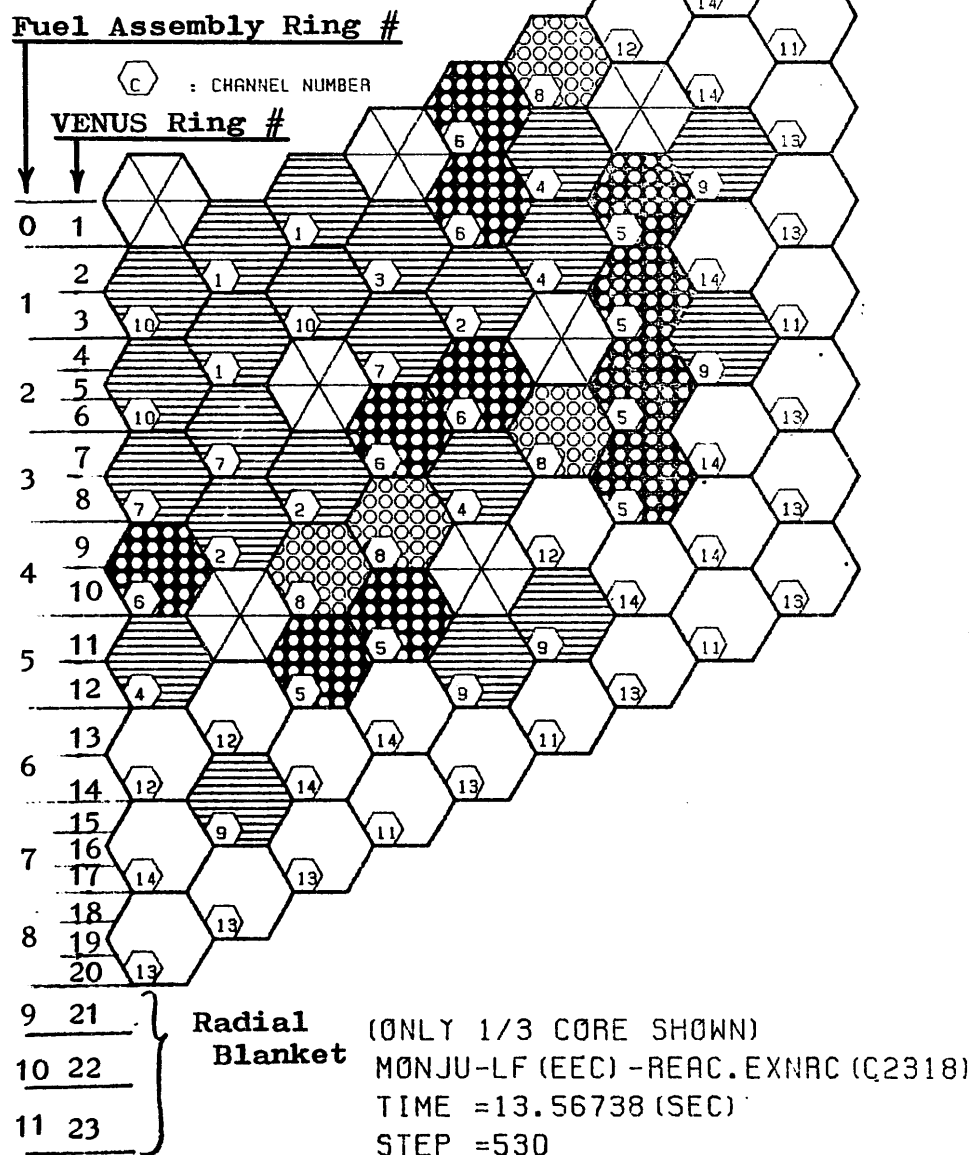
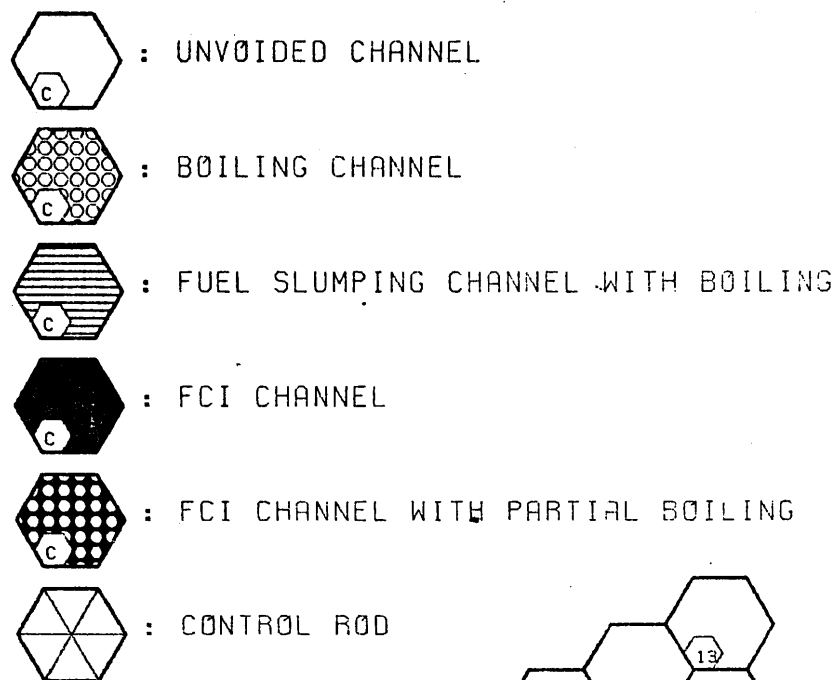


Figure 6.1-100. VENUS Rings for SAS-Channel Fuel Assemblies

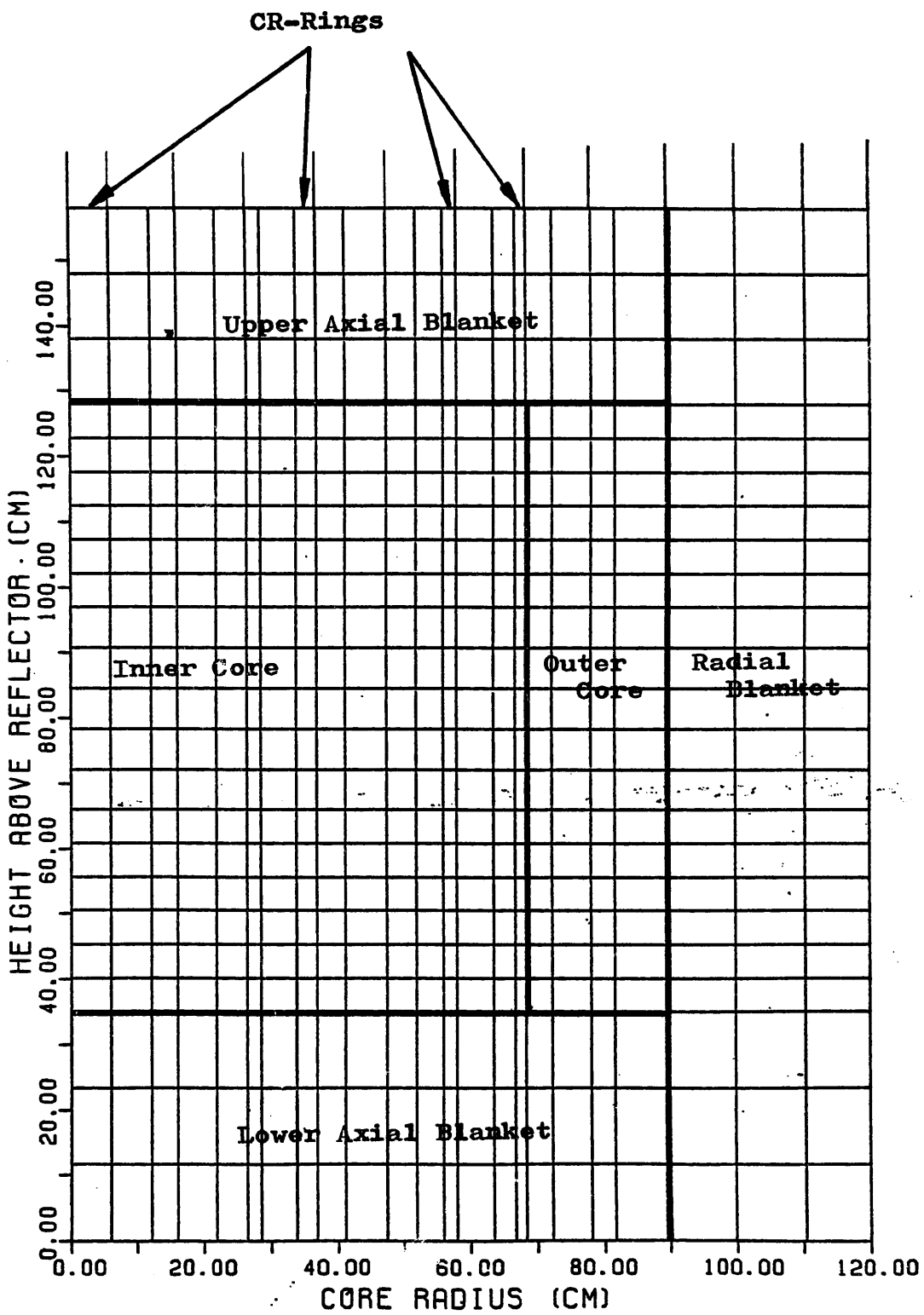


Figure 6.1-101. VENUS-PM2 R-Z Mesh Cell Structure with Annular Control Rings

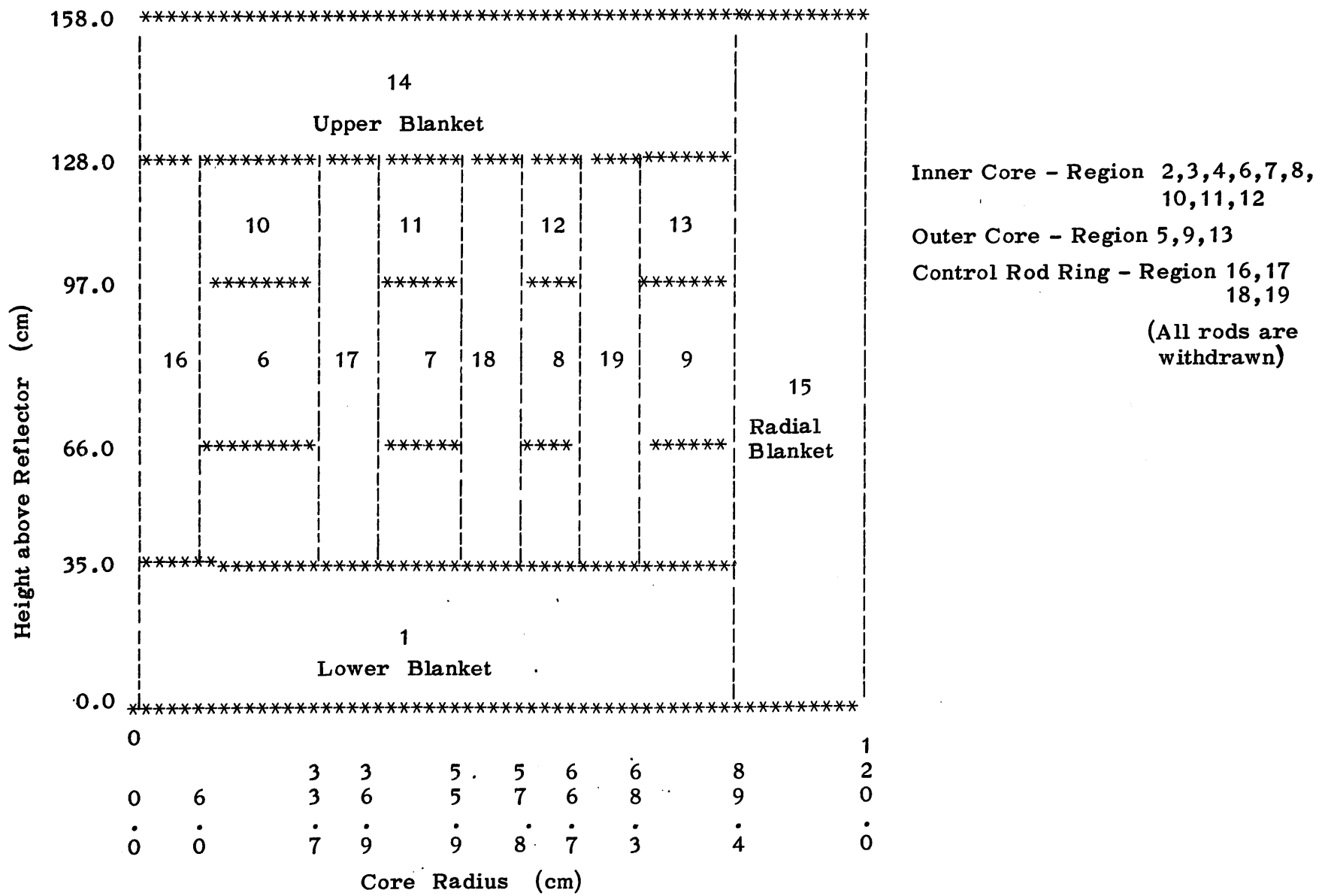


Figure 6.1-102. VENUS-PM2 R-Z Core Model with Annular Control Ring

6-296

4000 < T K
 3500 < T < 4000 K ACTIVE CORE STATE :
 TMELT+1 < T < 3500 K MAX FUEL TEMP. (K) = 3816.1
 TMELT-1 < T < TMELT+1 K MIN FUEL TEMP. (K) = 877.5
 2000 < T < TMELT-1 K AVERAGE FUEL TEMP. (K) = 2606.1
 T < 2000 K TEMP. PEAKING FACTOR = 1.5

 MOLTEN CORE STATE: TOTAL MOLTEN FUEL MASS (KG) = 1817.0
 MOLTEN FUEL AVERAGE TEMP. (K) = 3089.2
 ENERGY ABOVE FUEL SOLIDUS (MJ) = 615.0

REAC.EXNRC.C2318.STP530.R2.CR

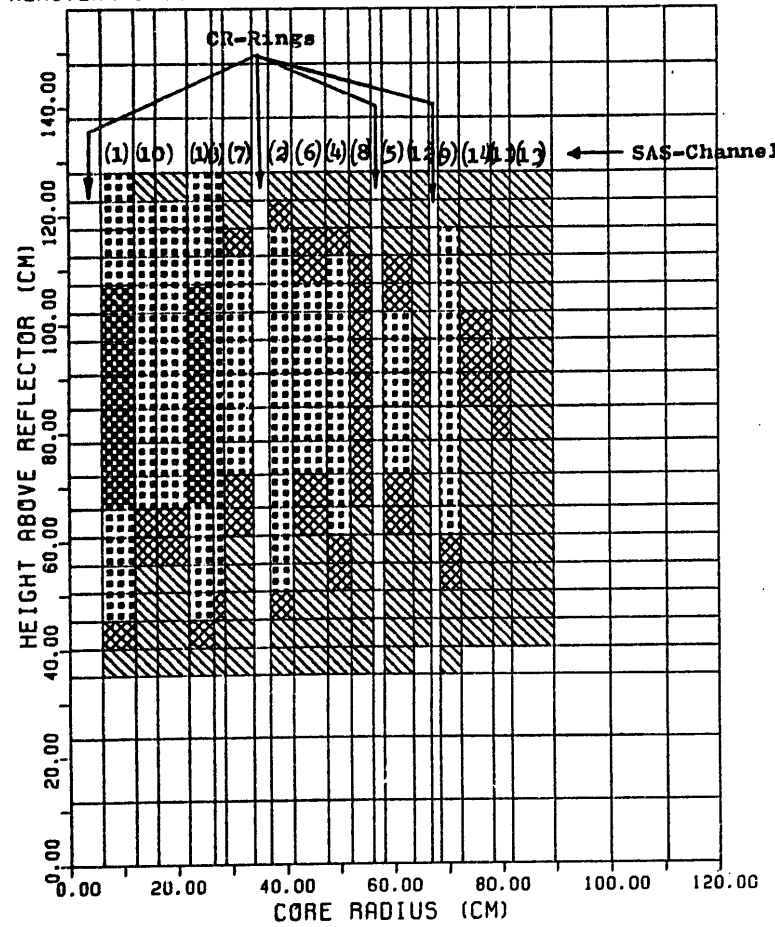


Figure 6-1-103. Fuel Temperature Distribution (Initial State)

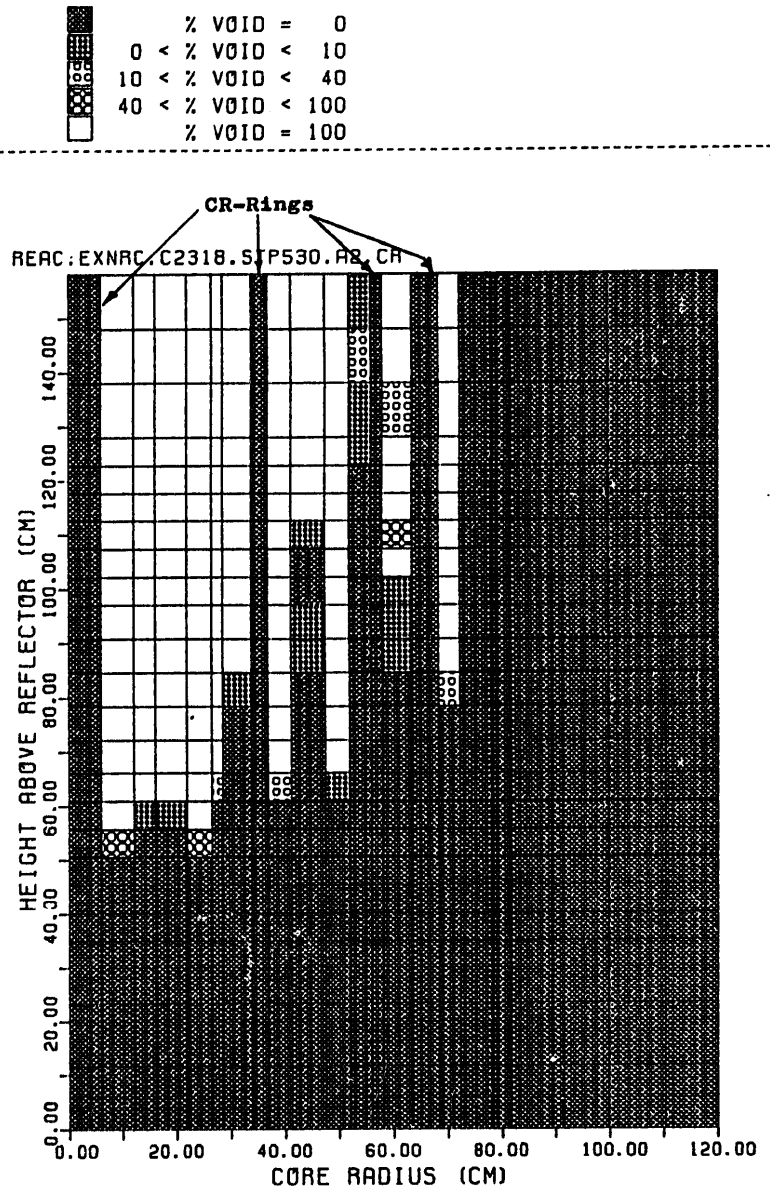


Figure 6.1-104. Void Fraction Distribution

6-297

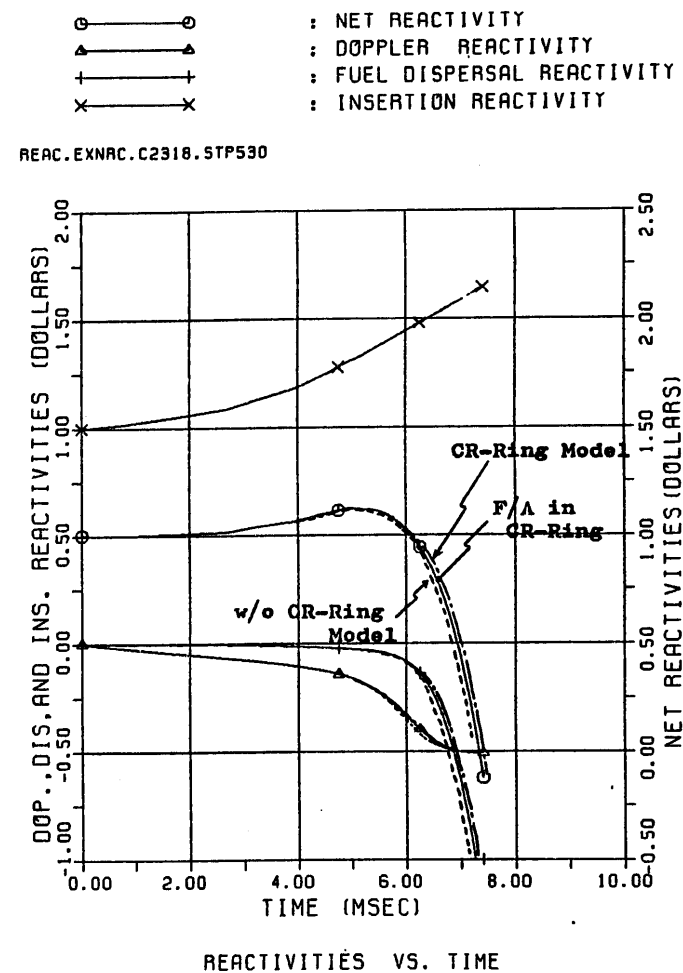
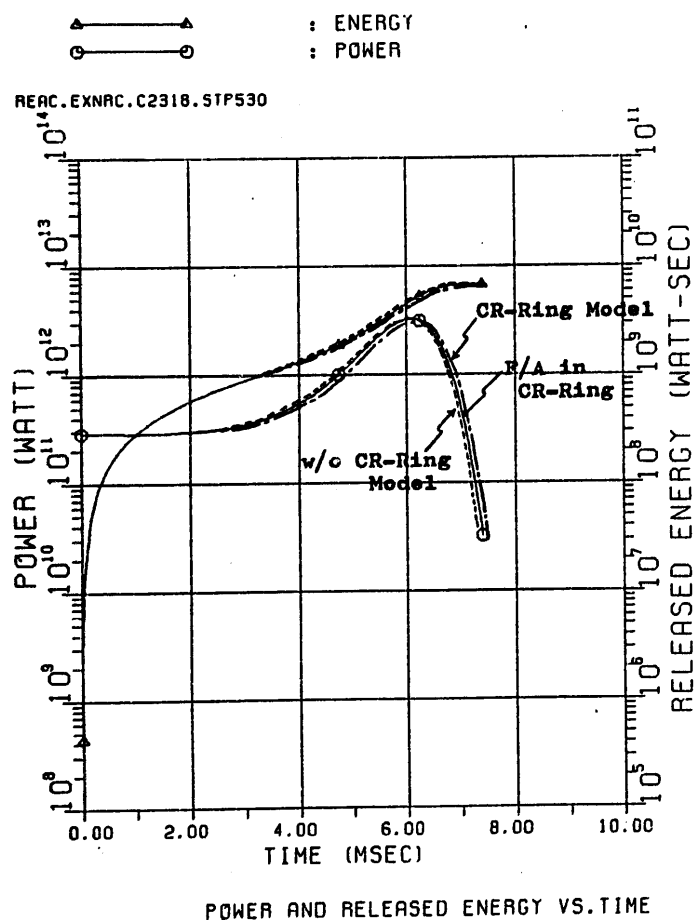


Figure 6.1-105. Comparison of Power and Reactivity Traces among Three Models for the Control Assemblies

4000 < T K ACTIVE CORE STATE :
 3500 < T < 4000 K MAX FUEL TEMP. (K) = 6805.8
 TMELT+1 < T < 3500 K MIN FUEL TEMP. (K) = 878.2
 TMELT-1 < T < TMELT+1 K AVERAGE FUEL TEMP. (K) = 3907.0
 2000 < T < TMELT-1 K TEMP. PEAKING FACTOR = 1.7
 T < 2000 K
 MOLTEN CORE STATE: TOTAL MOLTEN FUEL MASS (KG) = 5949.3
 MOLTEN FUEL AVERAGE TEMP. (K) = 4363.4
 ENERGY ABOVE FUEL SOLIDUS (MJ) = 5826.6

REAC.EXNRC.C2318.STP530.R2.CR

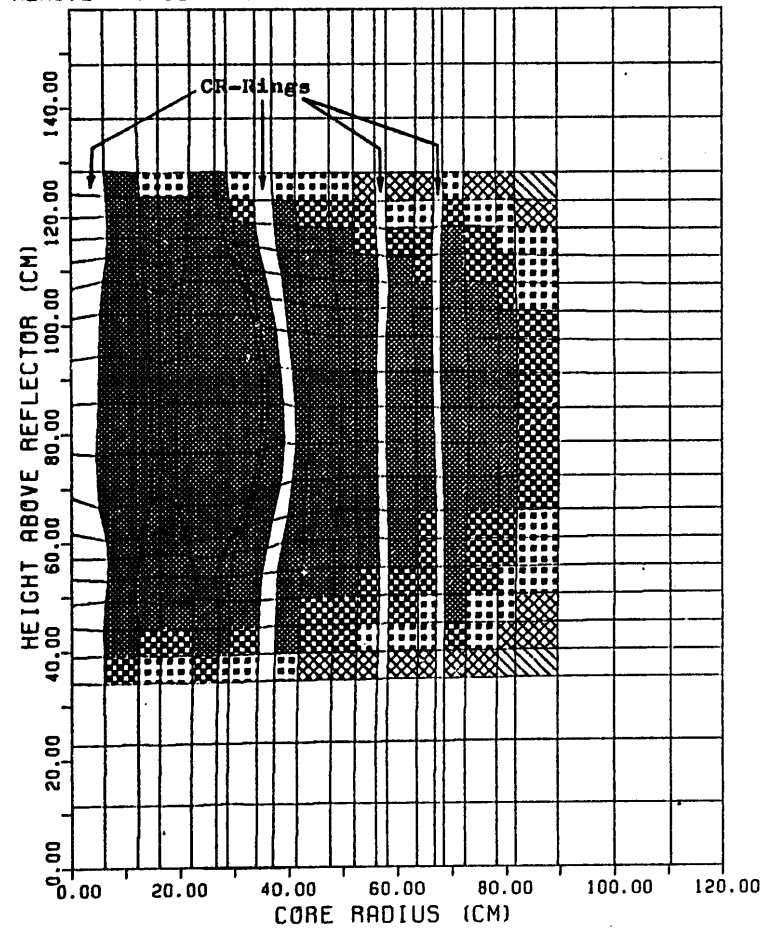
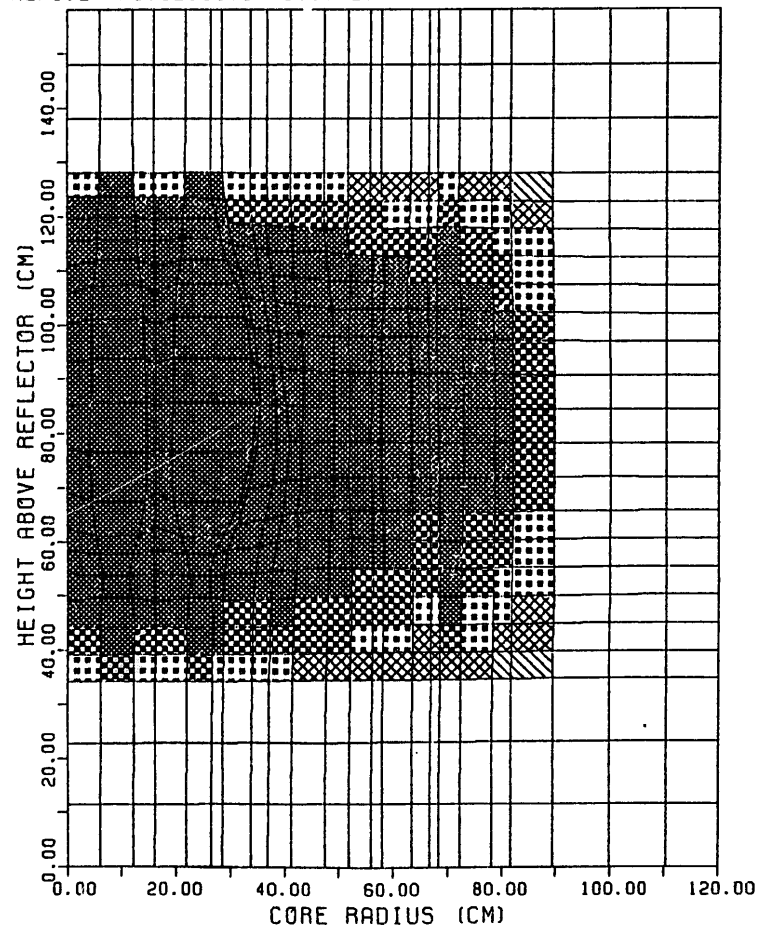
FUEL TEMPERATURE DISTRIBUTION
(FINAL STATE)**CR-Ring Model**

Figure 6.1-106. Fuel Temperature Distribution at the End of Disassembly Phases

4000 < T K ACTIVE CORE STATE :
 3500 < T < 4000 K MAX FUEL TEMP. (K) = 6781.5
 TMELT+1 < T < 3500 K MIN FUEL TEMP. (K) = 2608.7
 TMELT-1 < T < TMELT+1 K AVERAGE FUEL TEMP. (K) = 4196.5
 2000 < T < TMELT-1 K TEMP. PEAKING FACTOR = 1.6
 T < 2000 K
 MOLTEN CORE STATE: TOTAL MOLTEN FUEL MASS (KG) = 5927.3
 MOLTEN FUEL AVERAGE TEMP. (K) = 4345.9
 ENERGY ABOVE FUEL SOLIDUS (MJ) = 5752.7

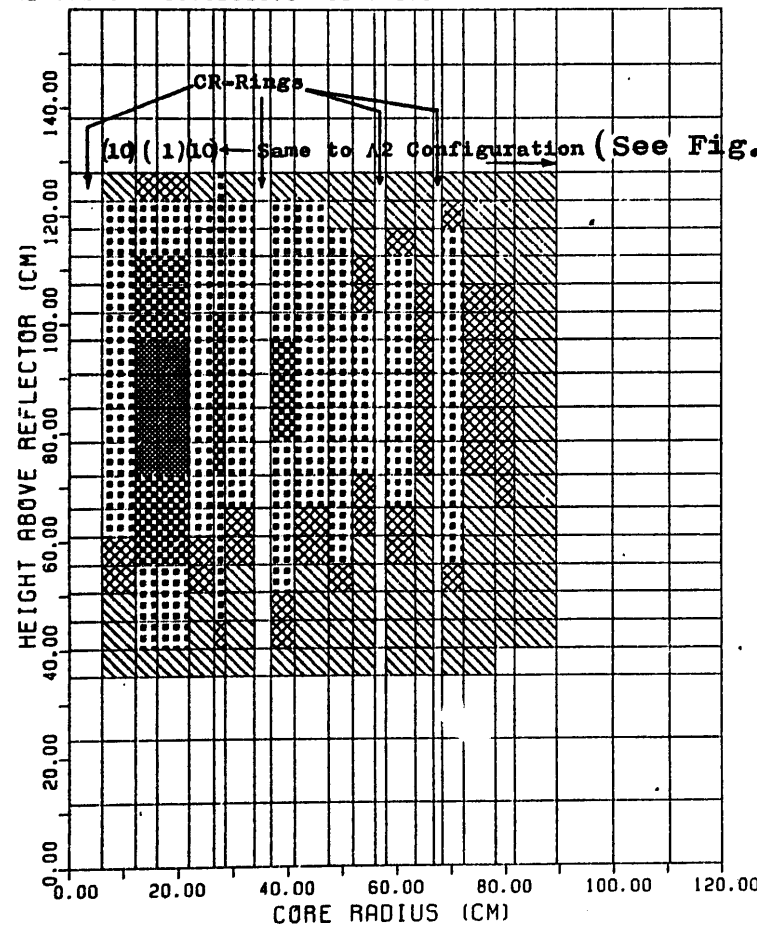
REAC.EXNRC.C2318.STP530.R2.CR: F/A IN C/R DUCT

FUEL TEMPERATURE DISTRIBUTION
(FINAL STATE)**F/A in CR-Ring**

4000 < T K ACTIVE CORE STATE :
 3500 < T < 4000 K MAX FUEL TEMP. (K) = 4102.9
 TMELT+1 < T < 3500 K MIN FUEL TEMP. (K) = 916.6
 TMELT-1 < T < TMELT+1 K AVERAGE FUEL TEMP. (K) = 2693.5
 2000 < T < TMELT-1 K TEMP. PEAKING FACTOR = 1.5
 T < 2000 K

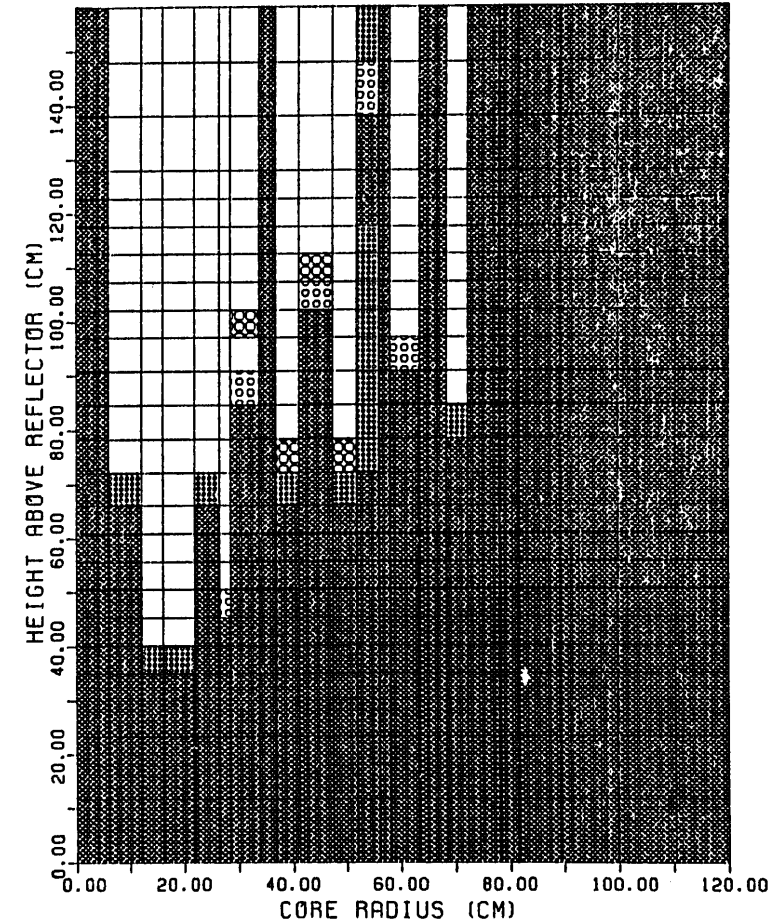
MOLTEN CORE STATE: TOTAL MOLTEN FUEL MASS (KG) = 2341.4
 MOLTEN FUEL AVERAGE TEMP. (K) = 3154.8
 ENERGY ABOVE FUEL SOLIDUS (MJ) = 869.7

REAC.LRIP.FCI.C2323.STP564.R0.CR

FUEL TEMPERATURE DISTRIBUTION
(INITIAL STATE)

% VOID = 0
 0 < % VOID < 10
 10 < % VOID < 40
 40 < % VOID < 100
 % VOID = 100

REAC.LRIP.FCI.C2323.STP564.R0.CR



VOID FRACTION DISTRIBUTION

Figure 6.1-107. Initial Fuel Temperature and Void Fraction Distributions

008-9

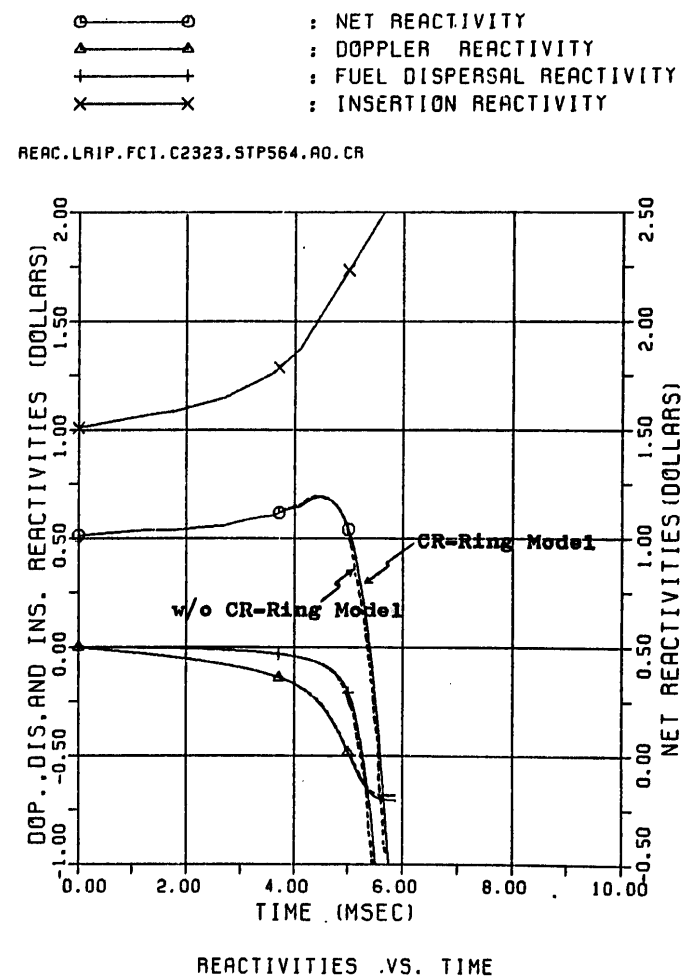
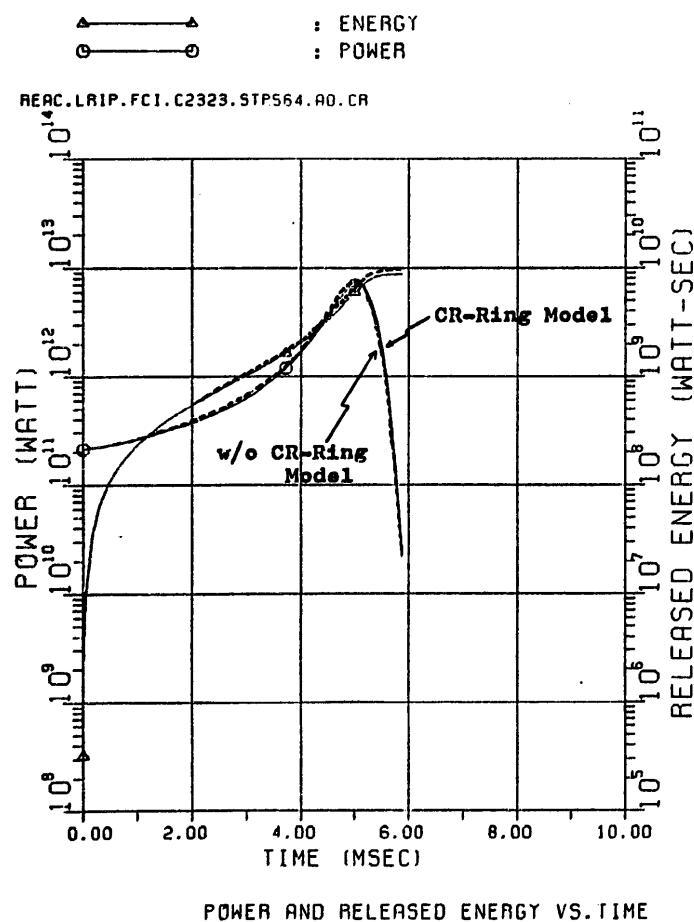
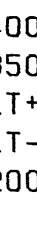
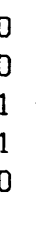


Figure 6.1-108. Comparison of Power and Reactivity Traces between CR-Ring Model and Base Case Calculation

	4000 < T	K	
	3500 < T < 4000	K	ACTIVE CORE STATE :
	TMELT+1 < T < 3500	K	MAX FUEL TEMP. (K) = 8142.9
	TMELT-1 < T < TMELT+1	K	MIN FUEL TEMP. (K) = 917.0
	2000 < T < TMELT-1	K	AVERAGE FUEL TEMP. (K) = 4699.3
	T < 2000	K	TEMP. PEAKING FACTOR = 1.7

MOLten CORE STATE: TOTAL MOLten FUEL MASS (KG) = 6485.0
 MOLten FUEL AVERAGE TEMP. (K) = 5166.8
 ENERGY ABOVE FUEL SOLIDUS (MJ) = 8972.0

REAC.LRIP.FCI.C2323.STP564.AO.CR

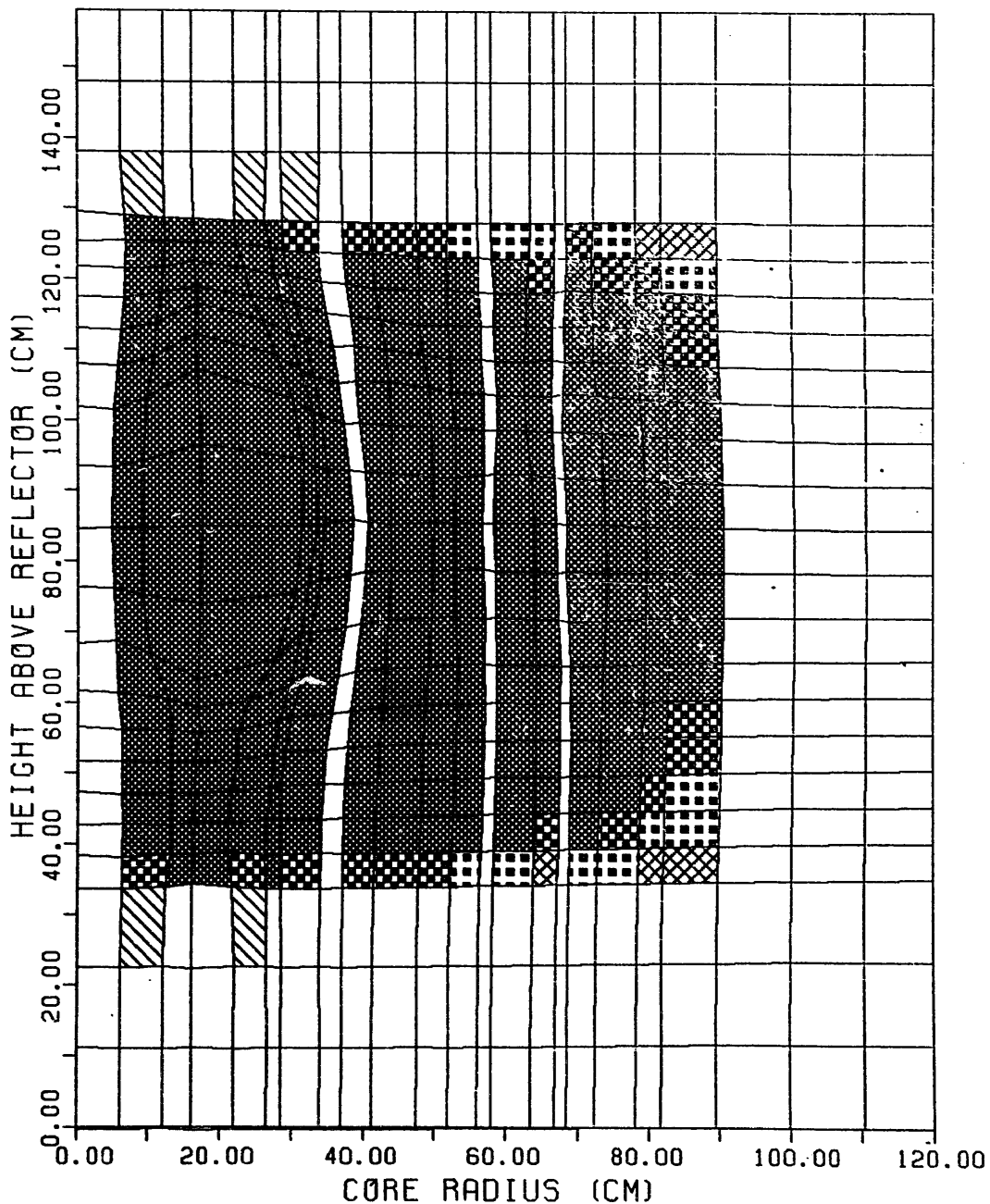


Figure 6.1-109. Fuel Temperature Distribution (Final State)

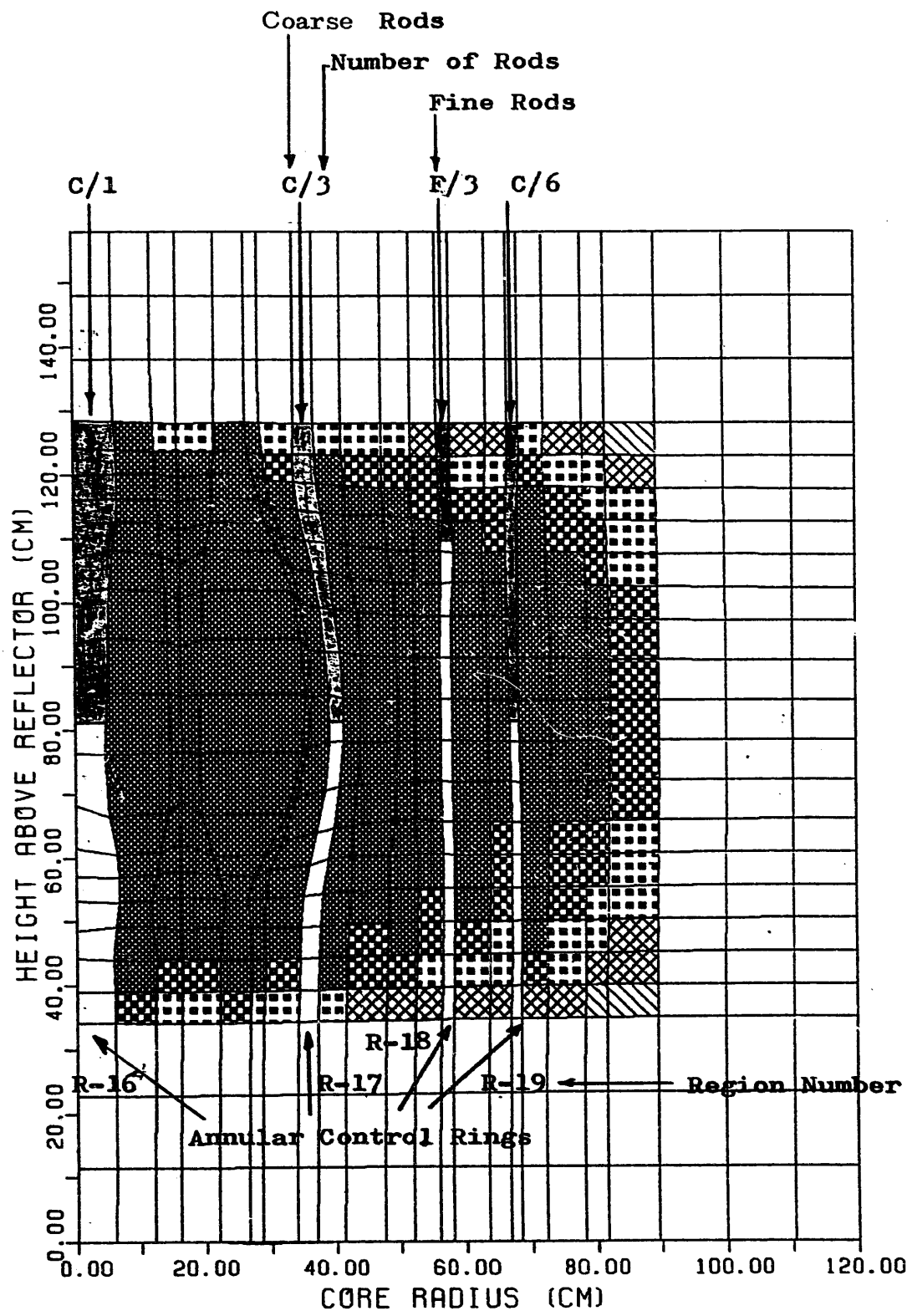


Figure 6.1-110. VENUS R-Z Core Model with Partially Inserted Control Rods

6 . 2 反応度挿入事故解析(TOP)

6.2 反応度挿入事故解析(T O P)

6.2.1 概 要

制御棒連続引抜による $2 \phi / \text{sec}$ の反応度挿入事故は、平衡末期炉心(EOEC)では解析した全てのケースについて、局所的な炉心破損で終結し、炉心崩壊フェーズに至るケースはなかった。したがって、本節の記述は SAS3D による起因事故フェーズの解析に関するもののみである。解析したケースは以下の 6 ケースであり、ケース内容は報告書(I)の場合と同じものである(ただし、燃料ピンの FCI 破損口を大きくとった Case LPIP. FCI. に対応するケースは、本報告書では解析しなかつた)。

① Case ID : TP. REAC. BE. C3314

最も確からしいパラメータを用いたケース

② Case ID : TP. REAC. EXNRC. C3316

CRBRP の HCDA 解析において NRC が用いたパラメータと同一のパラメータを用いたケース

③ Case ID : TP. REAC. RP. C3315

以下のパラメータ解析の基準ケースに相当し、用いた計算条件は上記②のケースのパラメータを一部変更したものである。

上記の③のケースを基準に、報告書(I)と同様に以下のパラメータ解析ケースを設定した。

④ Case ID : TP. REAC. LRAD. FCI. C3319

FCI に対しての溶融燃料粒子半径を、Case RP の場合の 2.5 倍である $250 \mu\text{m}$ としたケース

⑤ Case ID : TP. REAC. BURST. FCI. C3317

FCI 開始条件の一つとなる燃料ピン破損基準に、被覆管のバースト破損を用いたケース

⑥ Case ID : TP. REAC. GAPCON. C3318

ギャップ熱伝達率を一定値 $0.405 \text{ W/cm} \cdot ^\circ\text{C}$ ($714 \text{ Btu/hr} \cdot \text{ft}^2 \cdot ^\circ\text{F}$) としたケース

上記の各ケースで用いたパラメータ値については報告書(I)の第 3 章に記述した(Table 33-1 参照)。

全ケースのSASS3Dによる解析結果の主要項目を、Table 6.2-1に一覧表の形で示した。ノミナル反応度係数ベースの解析結果（報告書(I)Table 6.2-1）と比較すると、保守側の反応度係数を用いた本報告書での各ケースのFCI発生時間は約1.5秒早くなっている。LOFの場合と異なり、炉心流量が定格値を保っているTOPでは、最初のFCI発生まではドップラー反応度効果が主要なフィードバック反応度となり、冷却材の密度変化による反応度効果は小さい。FCI発生時間の早期化は主に保守側のドップラー係数（ノミナル値の70%値）を用いたことに起因している。EOEC炉心では、起因事故フェーズでのFCI発生チャンネルは一つのチャンネルのみで、燃料破損基準に50%燃料溶融を用いたケース（⑤ Case BURST・FCI以外の全ケース）では最高出力チャンネルであるCh.1（燃料集合体数9体）でFCIが起こっている。バースト破損基準を用いたCase BURST・FCIでは、燃料ペレット内残留FPガス量の大きい低出力チャンネルであるCh.11（燃料集合体15体）がFCIチャンネルとなっている。これらのFCI発生チャンネルは、ノミナル反応度係数ベースの解析結果と同じである。

炉出力の過渡変化のパターンは全ケースとも、ほぼ同じで、2%/sec制御棒連続引抜による反応度挿入により、出力は指數関数的に上昇する。しかし、ドップラー反応度効果により、出力上昇割合は低く抑えられ、FCI発生までに出力は定格値の高々4倍までしか上昇しない。この間、出力／流量の不整合による冷却材最高温度はゆっくりと上昇するが、Case BURST・FCIを除くと、冷却材沸騰を起こしたケースはない。Case BURST・FCIでは、保守評価の観点から、被覆管破損限界応力として種々のデータの内で高応力データのものを用いたため（報告書(I)、第3章）、FCI発生時間は基準ケースに比べて約4.7秒遅れている。そのため、事故後、約38.5秒にCh.1の燃料集合体出口で冷却材沸騰が発生し、38.7秒までにCh.3, Ch.2が沸騰している。しかし、沸騰気泡は容易に下流へ流出し、核・熱的にはほとんど何らの効果も示していない。

FCI発生後は、初期に、燃料ピンキャビティーからFCIゾーンへの溶融燃料流出とともに正の燃料移動反応度挿入が起こり、また、FCIゾーンの拡大による正のボイド反応度挿入がある。これらの正反応度効果により炉出力は急上昇する。しかし、FCI発生燃料集合体数が少ないので、反応度挿入量は小

さい。TOPの場合、一次系ポンプヘッドは定格値のまま不变なため、FCIゾーンの拡大は集合体の下流側へ偏る。そのため、FCIゾーンの拡大に伴って、燃料ビンから流出した溶融燃料は集合体の下流側へ運び去られ、所謂、fuel sweepoutによる負反応度挿入が起こる（但し、燃料粒子によるブロッケージは起きないとする）。また、ポイド反応度も、上部プランケット領域のポイド化に伴う負反応度効果により減少し、全反応度の最大値は抑えられる。解析した全ケースの内で、全反応度が最大となったのはCase BEで、0.570\$である。出力が最大となったのはCase RPで、定格出力の6.25倍である。

上述のように、EOEC炉心のTOPシナリオは、即発臨界反応度1\$に対して十分に低い全反応度(<0.6\$)のもとでゆっくりした出力トランジエントとなり、FCIチャンネルのfuel sweepoutに起因する負反応度効果により、炉は核的にシャットダウン状態に至る。炉心の破損も、FCI発生チャンネルに限られるため、全炉心の10%以下の燃料集合体の破損にとどまる。

以下、解析した各ケースの結果について記述するが、TOP解析ではFCI現象が各ケース間の違いを決定している。各ケース間のFCI挙動の違いは報告書(I)の場合と同様に説明できるため、FCI挙動に関する定性的な差異については、報告書(I)のTOP解析の章を参照されたい。

6.2.2 起因事故フェーズの解析

概要に記したように、TOP起因事故フェーズの核・熱過渡変化は、どのケースについても単純で、互に同じパターンを示している。

以下では、各ケースの結果を簡単な説明を付して記述する。

(1) Case ID : TP. REAC. BE. C3314 「最も確からしいパラメータを用いたケース」

過渡出力・反応度変化

Fig. 6.2-1に、炉出力および全反応度の過渡変化を示した。最初に50%燃料溶融割合に達するのはCh. 1の燃料のピーク出力ノードで、時間は、事故後46.23秒である。FCI発生までの全反応度は単調に増加しているが、ドップラー効果および炉心軸方向膨脹効果による負の反応度フィードバックにより、その上昇割合は抑えられ、FCI発生直前で0.171\$にすぎない。この時刻までに、制御棒引抜による挿入反応度は0.92\$に達しており、したがつ

て、0.75 \$は負のフィードバック反応度により相殺されている。Fig.6.2-2に、全反応度の成分別過渡変化を示した。本ケースでは炉心軸方向膨脹反応度効果としてノミナル値の50%が有効とした。図にみられるように、この反応度効果(Density効果)はドップラー反応度の1/2程度となっており、後述する他のケースよりもFCI発生時間が約12秒遅れる原因となっている。

トランジエント後半の反応度過渡変化をFig.6.2-3に示した。図より、FCI発生直後の全反応度の上昇がボイド反応度および燃料移動に起因しているのが判る。この反応度効果がCh.1のFCI発生に起因していることはFig.6.2-4よりわかる。また同図より、Ch.1のfuel sweepoutによる反応度効果がシャットダウン要因となっていることがわかる。全反応度の最大値は0.57 \$、炉出力最大値は定格値の6.2倍である。FCI発生後、約70msで全反応度は-1.0 \$まで低下している。

Ch.1燃料ピンの軸方向ピーク出力ノードの各部温度過渡変化をFig.6.2-5に示す。Ch.1のFCIゾーンの拡大挙動、出入口流量の過渡変化をFig.6.2-6に示す。

起因事故フェーズ末期の炉心状態

起因事故フェーズ末期の炉心燃料溶融割合は9.6%(質量は640kg)となつてゐる。炉心燃料温度分布(R-Zセル平均温度)をFig.6.2-7に示した。

冷却材ボイド率はFCI発生のあつたCh.1を除くと、他のチャンネルでは零である。R-Zセル平均したボイド率分布をFig.6.2-8に示した。Fig.6.2-9に、各チャンネルの最終状態を示す。

(2) Case ID : TP. REAC. EXNRC. C3316 「NRCタイプのパラメータを用いたケース」

過渡出力・反応度変化

Fig.6.2-10に炉出力および全反応度の過渡変化を示した。FCIは、事故後34.35秒にCh.1で起こる。炉心軸方向膨脹反応度効果を無視した本ケースでは、Case BEよりも出力上昇が速く、FCI発生時間は約11.8秒早く起きている。全反応度の成分の過渡変化をFig.6.2-11a, 11bに示した。FCI発生後の反応度変化は、Case BEの場合と同じく、Ch.1の燃料移動およびボイド反応度変化にしたがつてゐる。この模様をFig.6.2-12に

示した。Fig. 6.2-12にみられる fuel sweepout による反応度変化挙動は、Case BE のもの (Fig. 6.2-4) に比べて顕著な違いがみられる。すなわち、本ケースでは fuel sweepout 開始後、一時的に燃料移動反応度の変化が緩まなくなっているが、Case BE では、ほぼ一定割合で負反応度増加を示している。これら両者の違いは FCI を起こした燃料ピンの破損口断面積 (Rip Area) の違いに起因していると考えられる。Case BE では Rip Area として溶融キャビティの断面積に等しい値を用いた (0.138 cm^2) が、EXNRC では、 0.1 cm^2 を用いた。Rip Area の大きい BE の方が溶融燃料流出が速くなっている。

Fig. 6.2-13 a に Ch. 1 FCI ゾーン拡大挙動および出入口流量変化を示した。Fig. 6.2-13 b に Ch. 1 燃料ピンの各部温度変化を示した。

起因事故フェーズ末期の炉心状態

起因事故フェーズ末期の燃料溶融割合は 11.4% (質量は 760 kg) となっている。燃料温度分布を Fig. 6.2-14 に示した。冷却材ボイド率分布を Fig. 6.2-15 に示した。

(3) Case ID : TP. REAC. RP. C3315 ……「パラメータ解析基準ケース」

過渡出力・反応度変化

Fig. 6.2-16 に炉出力および全反応度の過渡変化を示した。FCI は、事故後 34.66 秒に、Ch. 1 のピーク出力ノードで発生している。全反応度の成分の変化を Fig. 6.2-17 a, 17 b に示した。Ch. 1 FCI による燃料移動反応度およびボイド反応度変化を Fig. 6.2-18 に示した。反応度変化のパターンは Case EXNRC とほぼ同じである。FCI 発生時間は Case EXNRC よりも 0.32 秒遅い。本ケースと EXNRC では、定常運時の燃料ペレット内残留 FP ガス量が異なり (組織変化領域の FP ガス放出モデルが両ケースで異なり、Case EXNRC の方が放出率は小さい。報告書(I)Table 3.3-1 参照)，燃料ピン溶融キャビティ圧力に違いが生じる (EXNRC の方が初期圧力は高い)。その結果、燃料・被覆間ギャップ熱伝達率に差異が生じて、FCI 発生時間に違いをもたらしたと考えられる。ギャップ熱伝達率の変化は、温度・反応度へ複雑に影響するため、上記の FCI 発生時間差の説明は難しい。本ケースの炉出力および全反応度の最大値は、それぞれ、定格値の 6.25 倍および 0.566

\$である。

Fig. 6.2-19 に Ch. 1 FCI ゾーンの拡大挙動を示した。Case EXNRC とほぼ同じパターンとなっているが、上述したペレット内残留 FP ガス量の違いに起因して、本ケースの場合の方が FCI 現象は幾分穏やかなものになっている。この模様は、前述した Ch. 1 燃料移動反応度にも現われている。Fig. 6.2-20 に Ch. 1 燃料ピンのピーク出力ノードの各部温度過渡変化を示した。

起因事故フェーズ末期の炉心状態

起因事故フェーズ末期の燃料溶融割合は 12.3%（質量は 822 kg）となっている。燃料温度分布を Fig. 6.2-21a に示した。ボイド率分布を Fig. 6.2-21b に示した。

- (4) Case ID : TP. REAC. LRAD. FCI. C3319 「FCI 溶融燃料粒子半径を基準ケースの 2.5 倍 (250 μm) としたケース」
過渡出力・反応度変化

Fig. 6.2-22 に炉出力および全反応度の過渡変化を示した。FCI 発生時間は、当然、基準ケースと同じである。Ch. 1 FCI による燃料移動反応度およびボイド反応度を Fig. 6.2-23 に示した。

Fig. 6.2-24 に Ch. 1 FCI ゾーンの拡大挙動および集合体出入口流量変化を示した。

FCI ゾーンの溶融燃料粒子半径の増大は、溶融燃料から冷却材への熱移行を遅らせるため、FCI 現象を穏やかな方向へ変化させる。Fig. 6.2-24 の FCI ゾーン拡大挙動を基準ケースのそれ（Fig. 6.2-19）と比較すると、溶融燃料粒子半径の大きな本ケースの方が、FCI ゾーン拡大速度が小さい模様がわかる。Fig. 6.2-24 で、FCI ゾーンの下端境界が燃料ピン破損口下端に一致している時間区間は、FCI ゾーンの圧力が下部液柱スラグ上端の圧力を下まわっている状態に対応している。本ケースでは基準ケースよりも FCI ゾーンの圧力上昇が小さいために、ゾーン下端境界の最降下点は基準ケースよりも高く、下部プランケット上端近くまでにしか至っていない。基準ケースでは、下部プランケット下端まで達している。

炉出力および全反応度の最大値は、それぞれ、定格値の 5.77 倍および 0.535 \$であり、いずれも基準ケースよりも低い値で終っている。

起因事故フェーズ末期の炉心状態

起因事故フェーズ末期の燃料溶融割合は 12.2%（質量は 814 kg）であり、基準ケースよりわずかに低い。燃料温度分布を Fig. 6.2-25 に示した。（ただし、Fig. 6.2-25 で炉心リングと SAS チャンネルの対応が前出の Fig. 6.2-7 と一部異なっている。ホット・スポットの出ている、第 2, 第 6 リングが、それぞれ第 1, 第 2 集合体列の Ch. 1 に対応する）

- (5) Case ID : TP. REAC. BURST. FCI. C3317 …… 「燃料ピン破損基準にバースト破損条件を用いたケース」

過渡出力・反応度変化

Fig. 6.2-26 に炉出力および全反応度の過渡変化を示した。バースト破損条件が最初に満たされたチャンネルは Ch. 11 で、時間は 39.03 秒である。破損位置は炉心中央よりも約 33 cm 上部（下部ブランケット底部から 115.6 cm 高さ）の位置であり、燃料ピン溶融キャビティー長部分で被覆管温度が最高のノードに相当する位置である。

本ケースでは、FCI 発生直後から全反応度は減少し、FCI による反応度効果は始めから負となっている。Fig. 6.2-27 に FCI 発生後の燃料移動およびボイド反応度のチャンネル別内訳を示した（ただし、Ch. 11～Ch. 14 のみを示した）。Ch. 11 は外側炉心の最外周に位置しており（Fig. 6.2-34 参照），そのボイド係数は全軸方向位置で負である。また、燃料ピン破損口が燃料ピン溶融キャビティーのほぼ頂部位置に生じるために、燃料移動は負の反応度効果となっている。

Fig. 6.2-28 に、Ch. 11 燃料ピンのピーク出力ノードの各部温度過渡変化を示す。燃料ピン破損時の最大溶融割合は約 33% となっている。Fig. 6.2-29 に Ch. 11 の、FCI ゾーン拡大挙動および集合体出入口流量変化を示した。本ケースでの FCI 発生時間は、基準ケース (RP) の Ch. 1 FCI 発生時間よりも約 3.4 秒遅い。本ケースの Ch. 1 燃料ピンのピーク出力ノード各部温度過渡変化を Fig. 6.2-30 に示した。Ch. 11 の FCI 発生時点では Ch. 1 の燃料溶融割合最大値は約 6.2% に達している。FCI 発生時間の遅れにともなって、高出力チャンネル (Ch. 1, 2, 3) の燃料集合体出口では沸騰気泡の発生がみられる。Fig. 6.2-31 に Ch. 1 の沸騰挙動および集合体出入口流量過渡変化を

示した。

炉出力および全反応度の最大値は FCI 発生時点の値で決まっており、各々定格出力の 4.21 倍および 0.223 \$ である。TOP 解析全ケースの中で、いずれの値も最も低い。

起因事故フェーズ末期の炉心状態

起因事故フェーズ末期の炉心燃料溶融割合は 25 % (質量は 1680 kg)となっている。燃料温度分布 (R-Z セル平均温度) を Fig. 6.2-32 に示した。出力トランジエントが基準ケースよりも約 3.4 秒長期化したために、燃料溶融割合は基準ケースの 2 倍に達している。

Fig. 6.2-33 および Fig. 6.2-34 に、冷却材ボイド分布および、各チャンネルの最終状態を示した。

(6) Case ID : TP. REAC. GAPCON. C3318 「ギャップ熱伝達率を 714 Btu/hr·ft²·°F 一定値としたケース」

過渡出力・反応度変化

Fig. 6.2-35 に炉出力および全反応度の過渡変化を示した。FCI は、事故後 34.76 秒に、Ch. 1 のピーク出力ノードで発生している。基準ケースよりも 9.6 ms 遅い FCI 発生となっている。全反応度の成分の過渡変化を Fig. 6.2-36 に示した。同図を基準ケースと比較した場合、FCI 発生までの反応度変化には両者間で明確な差異はみられない。しかし、Table 6.2-1 に示したように、FCI 発生時における冷却材反応度は、本ケースでは 0.116 \$ であり、基準ケースの 0.143 \$ よりも 2.7 % 低い値になっている。この違いはギャップ熱伝達率モデルの違いに起因している。TOP では、炉心流量が定格値に保たれるため、温度上昇割合は被覆管よりも燃料ペレットの方が大きい。したがって、ペレット・被覆間ギャップ幅は時間とともに減少し、ギャップ熱伝達率 h_{gap} が増加する。基準ケースではギャップ幅依存性のギャップ熱伝達率モデルを用いたので、 h_{gap} は時間的に増加する。しかし、本ケースでは、一定の h_{gap} を用いたため、両ケース間で、燃料温度および冷却材温度の過渡変化挙動に差異が予想される。本ケースの Ch. 1 燃料ビンのピーク出力ノード各部の温度変化を後出の Fig. 6.2-38 に示した。同図の燃料ペレット表面温度過渡変化を基準ケースのもの (Fig. 6.2-20) と比較すると、上述したギ

シャット熱伝達モデルの違いに起因する差異がみられる。同様に、被覆管および冷却材温度の過渡変化挙動にも違いがみられ、基準ケースの温度上昇割合の方が高くなっている(h_{gap} の増大に起因する)。これらの温度変化挙動の違いは、基準ケースの方が本ケースよりも正の反応度フィードバックをより大きくなる結果をもたらし、最初に及言したFCI発生時間の差異を説明する。

Ch. 1 FCIによる反応度変化をFig. 6.2-37に示した。また、FCIゾーンの拡大挙動をFig. 6.2-39に示した。本ケースでは、炉出力および全反応度の最大値は、それぞれ、定格値の5.26倍および0.535\$となっている。いずれも基準ケースより低い値となっている。

起因事故フェーズ末期の炉心状態

起因事故フェーズ末期の炉心燃料溶融割合は10%（質量は670kg）となっている。燃料温度分布をFig. 6.2-40に示した。

6.2.3 結論

平衡末期炉心（EOEC）の定格出力運転状態で制御棒連続引抜を想定した場合の反応度挿入事故（TOP）をSAS3D計算コードにより解析した。反応度挿入率は $2\text{d}/\text{sec}$ 一定値で連続挿入とし、スクラム系の不作動を仮定する。

本報告書(II)では、炉心の冷却材ボイド反応度係数およびドップラー反応度係数に核計算不確かさを最大保守側に見込んだものを用いた。これらの解析条件の詳細については第3章に記述した。

解析結果の要約および結論を以下に記する。

(1) 「最も確からしい解析モデルパラメータを用いたケース」（Case BE）では、事故後4.6.1秒に炉心中央の最高出力チャンネル（Ch. 1, 燃料集合体数9体）でFCIが起り、その正反応度効果によって炉出力は最大で定格値の6.2倍まで急昇する。しかし、冷却材流路へ流出した溶融燃料はFCI領域の拡大とともに下流側へ運ばれ、上部ブレナム側へ流出する（fuel sweepout）ため、大きな負の反応度効果を伴い、全反応度の最大値は0.57\$に抑えられFCI発生後、高々100ms以内に全反応度は負値となり、炉心は核的にシャットダウン状態に至る。

ボイドおよびドップラー反応度係数に保守側値を用いたため、事故事象の進展は、これらにノミナル値を用いた場合よりも速くなり、FCI発生時間は約

1.5秒早くなっている（報告書(I)との比較）。炉出力および全反応度の最大値も幾分高くなっている。しかし、FCI発生チャンネルは同じであり、ポイドおよびドップラー係数の核計算不確かさによって多数のチャンネルの準同時的なFCI発生により超臨界出力暴走という事故シナリオに至る可能性は否定された。

1)

- (2) 「CRBRPのHCDA評価においてNRCが用いた解析条件と同一の解析条件を用いたケース」（Case EXNRC）では、上述した保守側の反応度係数を想定すると同時に、Case BEでは考慮した炉心軸方向膨脹反応度効果を保守的に否定した。その結果、事象の進展はCase BEよりも更に速くなり、Ch.1 FCI発生時間は約1.2秒早い、事故後、3.4.3秒となった。しかし、事故シナリオはCase BEと同じで、炉出力および全反応度の最大値は、それぞれ、定格出力の5.7倍および0.532\$となる。
- (3) Case EXNRCの解析条件を一部変更したものに相当する、「パラメータ解析基準ケース」（Case RP）の結果は、EXNRCとほぼ同じ事故シナリオとなつた。EXNRCの方が、定常時のペレット内残留FPガス量は多く、また、FCI時の溶融燃料と冷却材の混合を瞬時としているため、FCI現象はCase RPよりも激しいものとなっているが、事故シナリオは実質的に同じである。Case RPを基準としたパラメータ解析ケースの結果は以下の通りである。
- (i) FCI時の溶融燃料粒子半径の増大は、予想されたように、FCI現象を穏やかなものにし、炉出力および全反応度の最大値は基準ケースよりも低い値となる（Case LRAD. FCI）。
 - (ii) 燃料破損基準に被覆管バースト破損条件を用いた場合（Case BURST. FCI），FCIは、過渡時燃料溶融割合が最大となる最高出力チャンネルではなく、定常時の残留FPガス量が多い、比較的低出力チャンネルで発生する。Case BURST. FCIでは、FCIは基準ケースよりも約4秒遅れて、外側炉心最外層のCh. 11(集合体数15体)で、燃料溶融割合が約3.2%（最大値）に達した時点で発生している。燃料ピン破損は炉心高さの、ほぼ5/6の位置で発生している。そのため、FCI発生に伴う反応度効果は発生直後から負となり、炉出力および全反応度の最大値はFCI発生直前の時点で決まっている。これらは、いずれも基準ケースよりも低い値となつたが、

出力トランジエントが長くなつた分だけ炉心燃料溶融割合（ただし、非破損ピンの中心溶融も含む）は増大し、基準ケースの約2倍の25%に達している。

(iii) ギャップ熱伝達率を一定値 $714 \text{ Btu/hr} \cdot \text{ft}^2 \cdot ^\circ\text{F}$ にとつたケース (Case GAPCON) では、主に過渡時のギャップ熱伝達率モデルの違いに起因して、燃料温度および冷却材温度の過渡変化が基準ケースと異なる結果を示した。しかし、事故シナリオは基準ケースと変らず、炉出力および全反応度の最大値は基準ケースよりも低い値となつた。

以上の解析結果より、EOEC炉心の 2 C/sec 反応度挿入事故 (TOP) は、この起因事故を特徴づける FCI に関連する種々の解析条件のもとでも、事故シナリオはほぼ一定している。すなわち、最初に燃料破損を起こした燃料集合体群での FCI により、一時点に炉出力の急昇が起こるが、冷却材流路に流出した溶融燃料が FCI 領域の拡大に伴つて炉外へ流出する (fuel sweepout) ために、炉の全反応度は急速に低下し、炉は核的に終息する。FCI 発生燃料集合体数が高々十数体にとどまるため、全反応度は即発臨界反応度 $1 \$$ よりも十分に低く ($< 0.6 \$$) 抑えられ、全炉心崩壊に至るような出力暴走は起こらない。

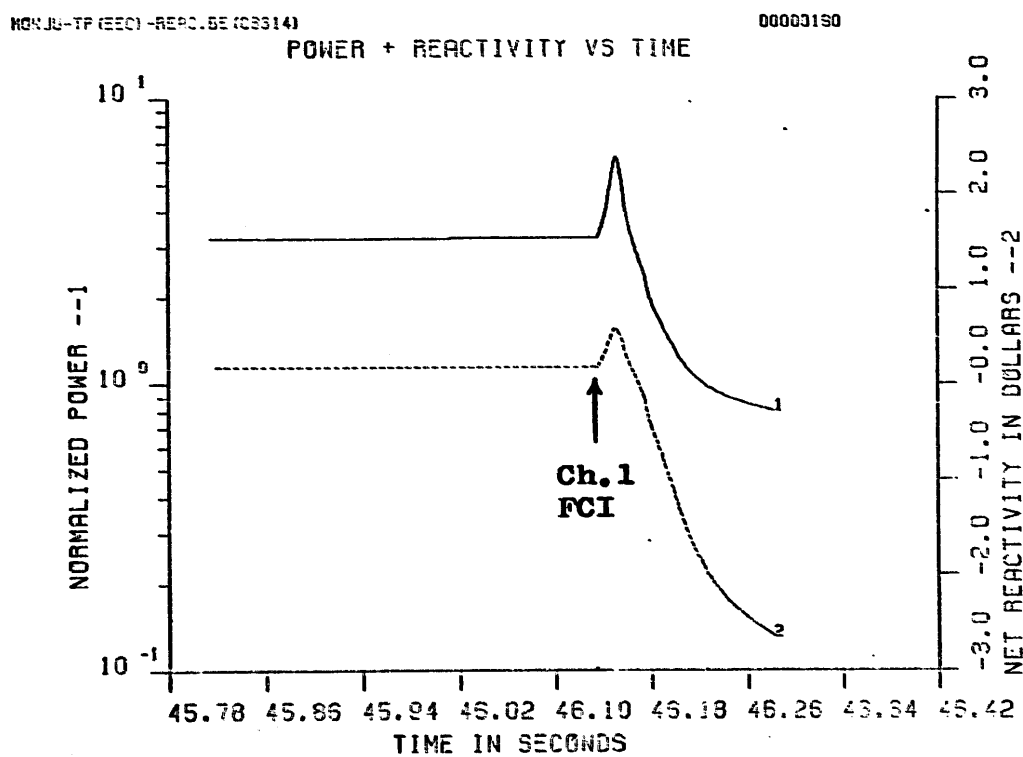
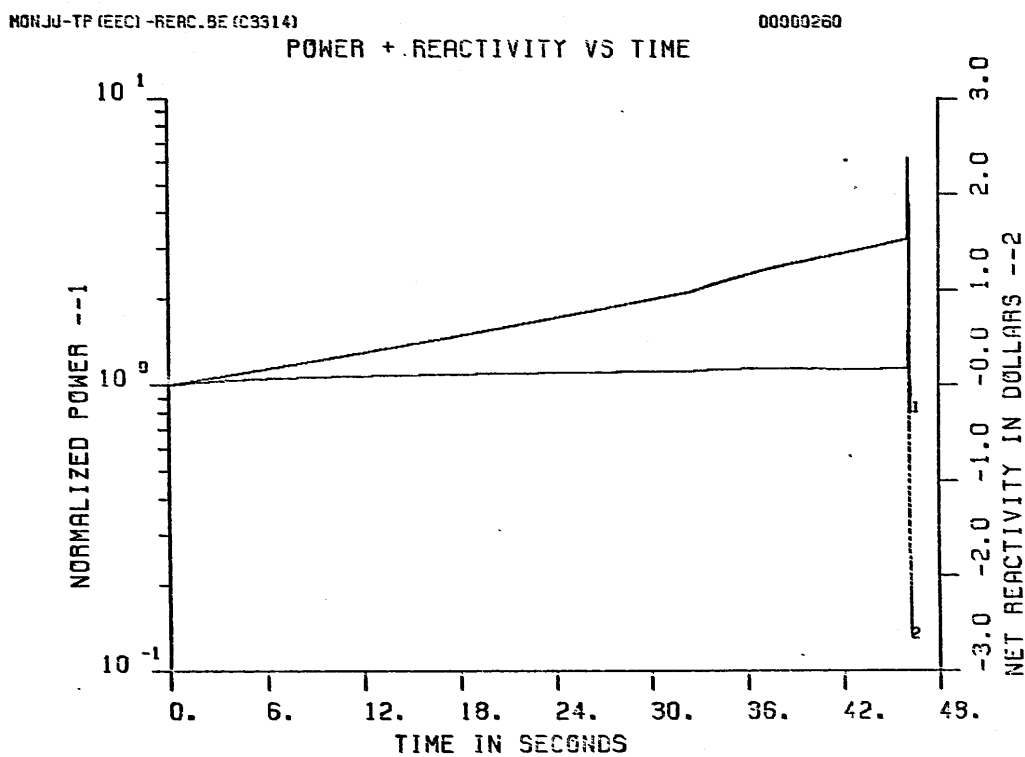
炉心破損の規模は高々十数体の FCI 発生燃料集合体（全炉心の 5 ~ 8 %）の破損にとどまる。炉心が核的に終息した起因事故フェーズ末期における燃料溶融割合は、非破損燃料ピンの溶融も含めて高々 12%（ただし、破損基準の選択によつては、もっと高い場合もある）である。制御棒引抜による 2 C/sec の事故反応度挿入が起因事象となって、事故シナリオが全炉心崩壊に至る超即発臨界出力暴走となるには、多数の燃料集合体の準同時的な破損発生を予期しなければならず、平衡末期炉心では、その様な可能性は非常に小さい。

なお、本解析は TOP 起因事故フェーズが核的に終息するまでについて記述したものであり、溶融破損した燃料集合体を残した炉心の、事故後熱除去の問題は別に評価する必要がある。

Table 6.2-1 Summary Table of MONJU-HCDA SAS3D AnalysisAccident Category : TOPReactor Core State : EOEC

Case ID #	<u>1</u> TP.REAC. BE C3314	<u>2</u> TP.REAC. EXNRC C3316	<u>3</u> TP.REAC. RP C3315	<u>4</u> TP.REAC. LRAD.FCI. C3319	<u>5</u> TP.REAC. BURST.FCI. C3317	<u>6</u> TP.REAC GAPCON. C3318	<u>7</u>	<u>8</u>	<u>9</u>
Input Condition & Result									
Fuel Slumping Model (Slumping Criteria)	50% F.M.F. or Surface Melt	50% F.M.F.	50% F.M.F. or Surface Melt	Same	to Case RP	(Case #3)			
Glad Rupture Criteria	50% F.M.F. (50% Fuel	Areal Melt Fraction)							
FCI Model	Rip Length (cm) Rip Area (cm, cm) Particle Radius (μm) Mixing Time (ms)	15.0 0.1 117 10	5.0 0.1 100 0	5.0 0.1 250 10	5.0 0.1 100 10	5.0 0.1 100 10			
Fuel Dispersal due to	FP Gas SS Vapor								
Other Conditions	2 Cents/sec External Reactivity Insertion	(Cavity Area =0.138cm ²)			HEDL Burst Failure Cor- relation	714 Btu/hr. ft ² .F Gap. Con.			
Reactivity Coeffs.	Doppler Na Void		70% of Nominal Value						
Axial Core Expansion	50% of Nominal	None	None	None	None	None			
1st Boiling Time(sec)/(ch #) & Additional Ch #	-	No Boilings except in Case #5			38.486(1) 3, 2	None			
1st Clad Relocation (sec)/(Ch #) & Additional Ch #			None in any Case						
1st Fuel Slumping (sec)/(Ch #) & Additional Ch #			None in any Case						
1 st FCI Time (sec)/(Ch #) & Additional Ch #	46.134(1) None	34.345(1) None	34.662(1) None	34.662(1) None	39.032(1) None	34.757(1) None			
Up to 1st FCI : Coolant Reactivity (\$)	0.137	0.142	0.143	0.143	0.190	0.116			
Net Reactivity	0.171	0.226	0.227	0.227	0.223	0.200			
Relative Power (P/P ₀)	3.25	3.48	3.49	3.49	4.21	3.04			
Max. Net Reactivity (\$) & Time (sec)	0.570 46.150	0.532 34.374	0.566 34.716	0.535 34.703	0.223 39.031	0.535 34.815			
Max. Relative Power (P/P ₀)	6.19	5.73	6.25	5.77	4.21	5.26			
Core average Void Fraction (%)*	6.5	6.4	6.1	5.8	7.0	6.1			
Molten-Fuel-Mass (kg) & Core Melt Fraction (w/o)*	641 9.6	760 11.4	822 12.3	814 12.2	1680 25.0	670 10.0			
Molten-Fuel-Average Temp. (K) & Energy Above Fuel Solidus (MJ)*	2974 180	2974 213	2974 231	2974 228	2980 476	2974 188			
Reactivity Component for Initiating Phase Shutdown	Ch.1 Fuel Sweepout	←	←	←	Ch.11 Sweepout	Ch.1 Fuel Sweepout			
Average Net Reactivity Ramp Rate during Superprompt Critical Excursion (\$/sec)	—	—	—	—	—	—			
Duration of Super Prompt Critical State (ms)	—	—	—	—	—	—			

Note : * Values are at initiating phase shutdown in non-energetic CDA case



**Figure 6.2-1. Power and Reactivity Traces for EOEC TOP
(TP.REAC.BE.C3314)**

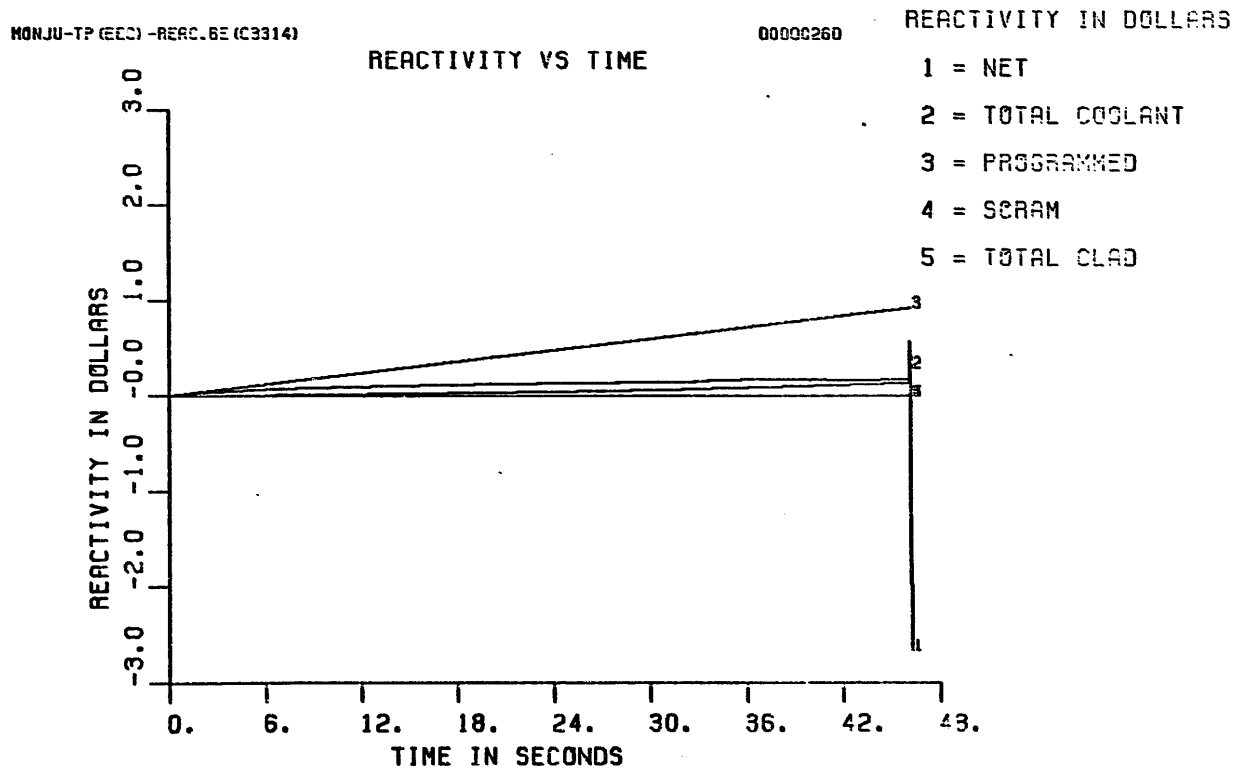
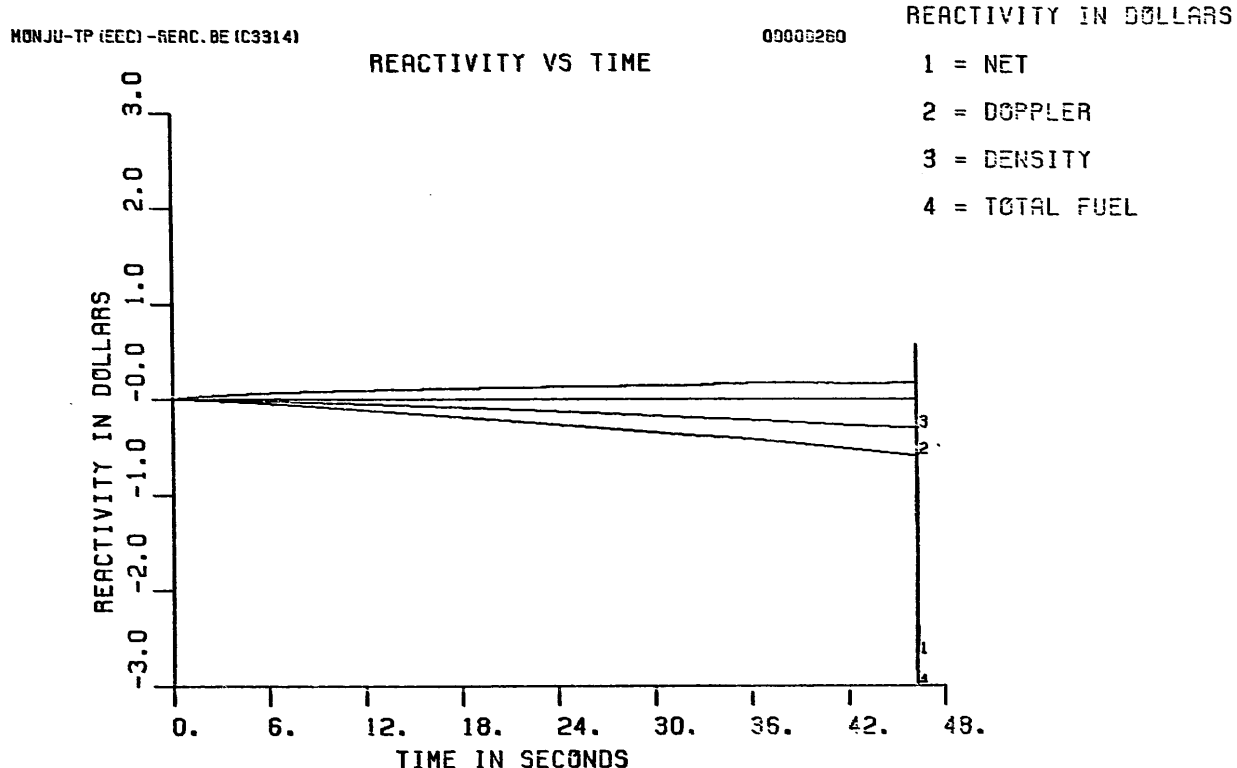
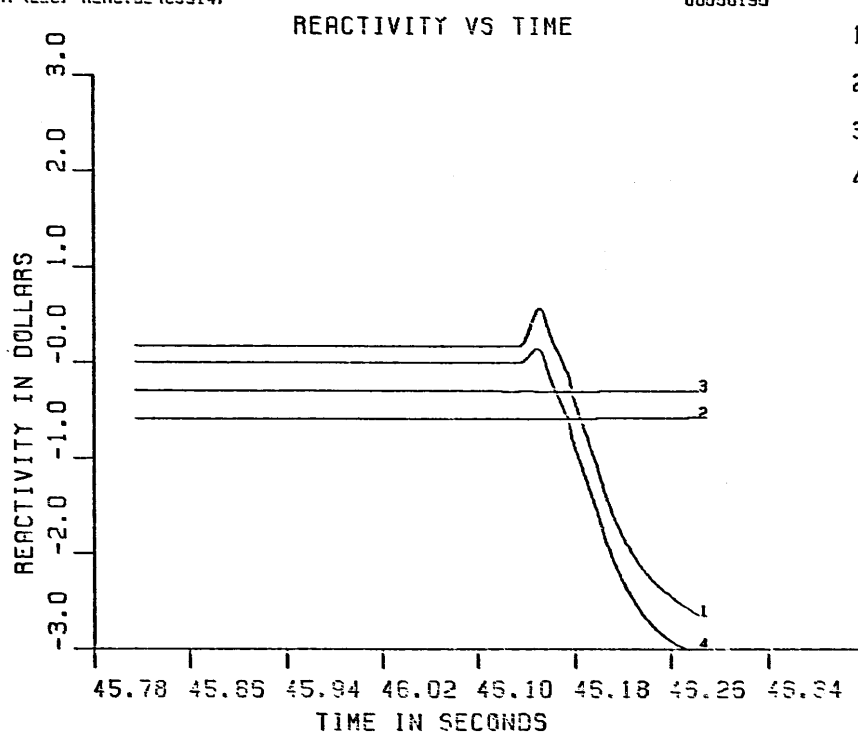


Figure 6.2-2. Reactivity Component Traces for EOEC TOP
(TP.REAC.BE.C3314)

MONJU-TP (EOC) - REAC.BE (C3314)

00000190

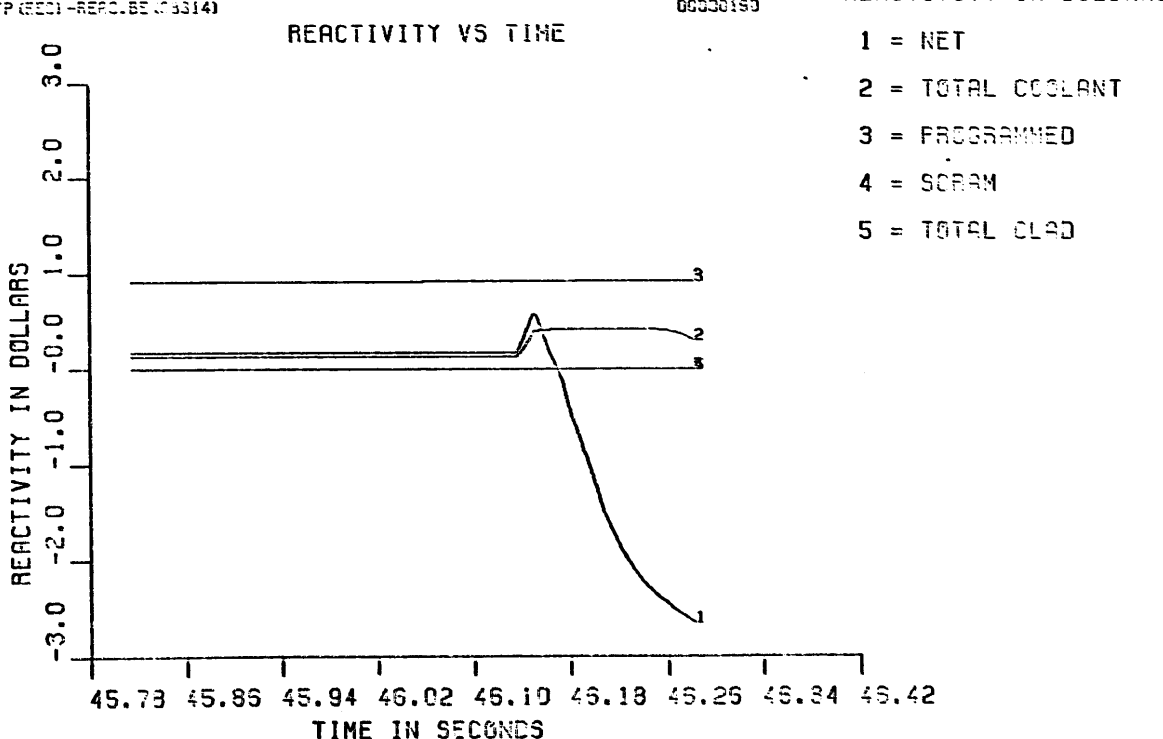
REACTIVITY IN DOLLARS



MONJU-TP (EOC) - REAC.BE (C3314)

00000190

REACTIVITY IN DOLLARS

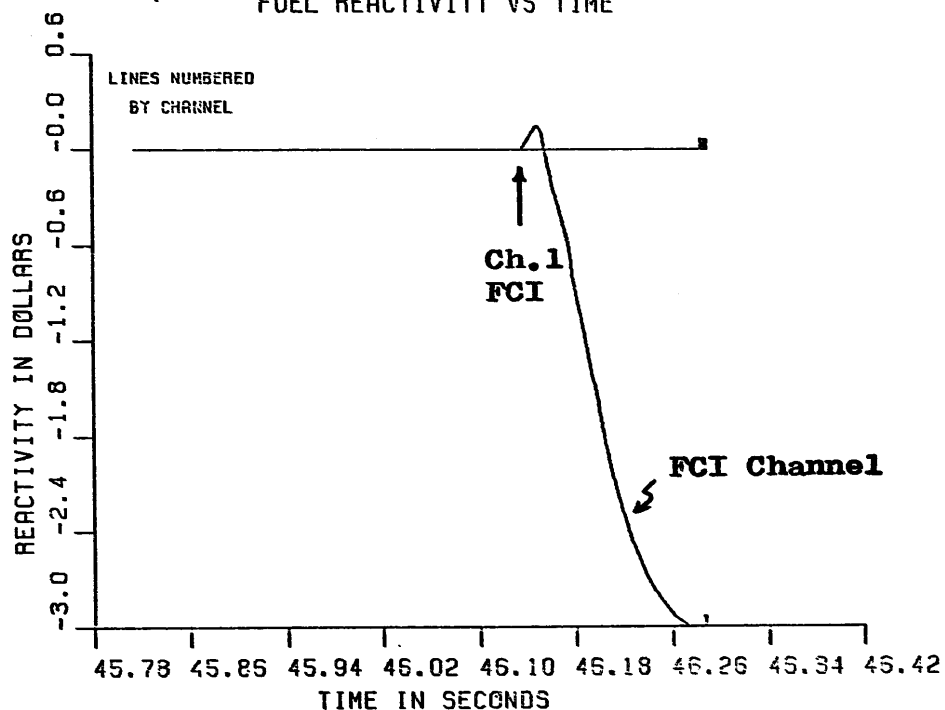


**Figure 6.2-3. Reactivity Component Traces for EOEC TOP
(TP.REAC.BE.C3314)**

MONJU-TF (EEC) - REAC.BE (C3314)

00000190

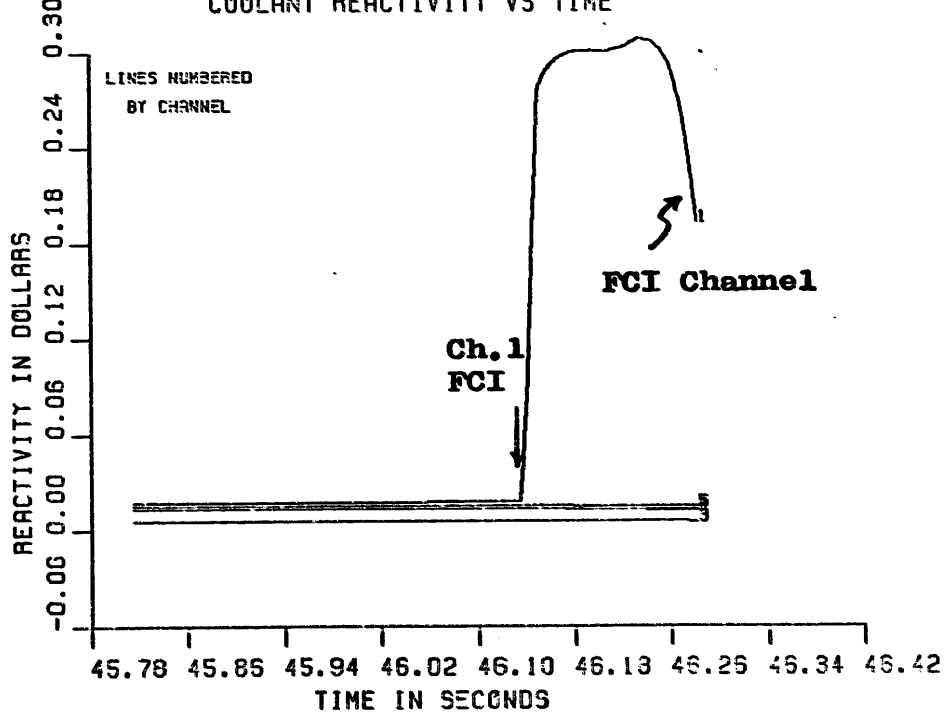
FUEL REACTIVITY VS TIME



MONJU-TF (EEC) - REAC.BE (C3314)

00000190

COOLANT REACTIVITY VS TIME



**Figure 6.2-4. Channel-1 Fuel and Coolant Reactivity Traces in EOEC
TOP (TP.REAC.BE.C3314)**

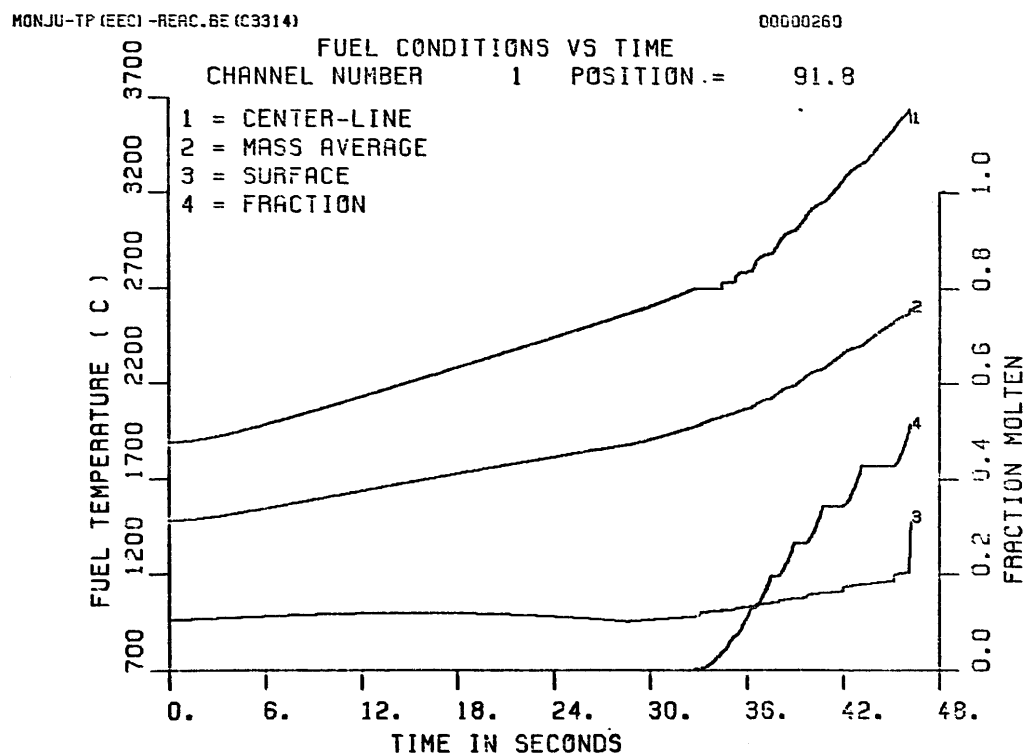
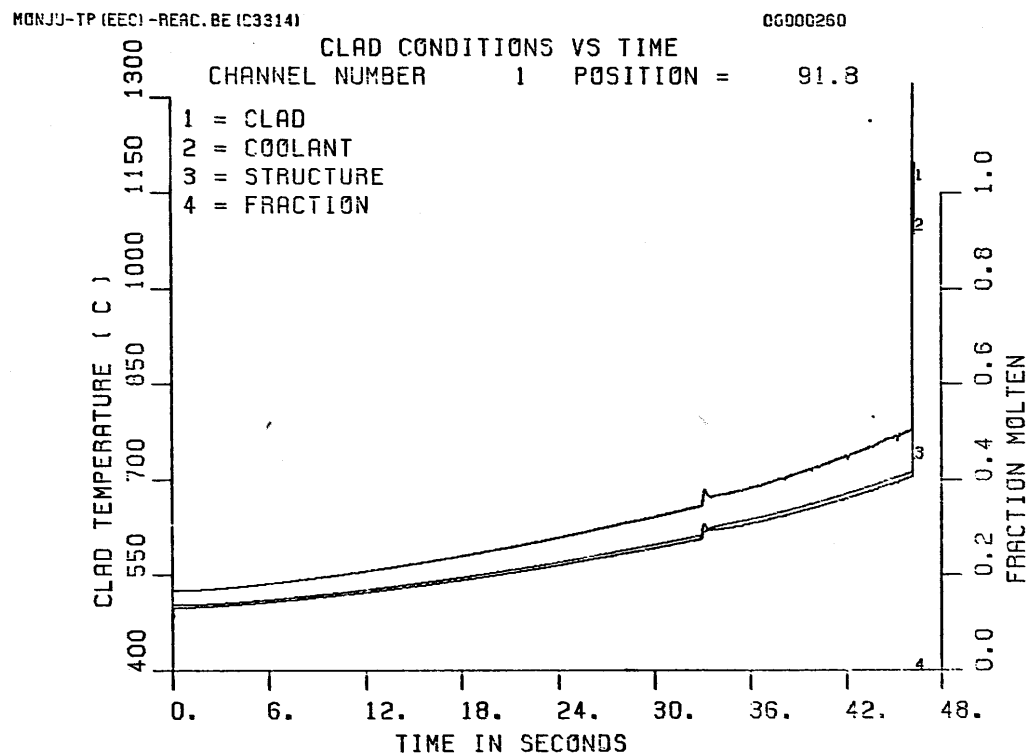


Figure 6.2-5. Histories of Channel-1 Clad and Fuel Temperatures at Peak Power Segment for EOEC TOP (TP.REAC.BE.C3314)

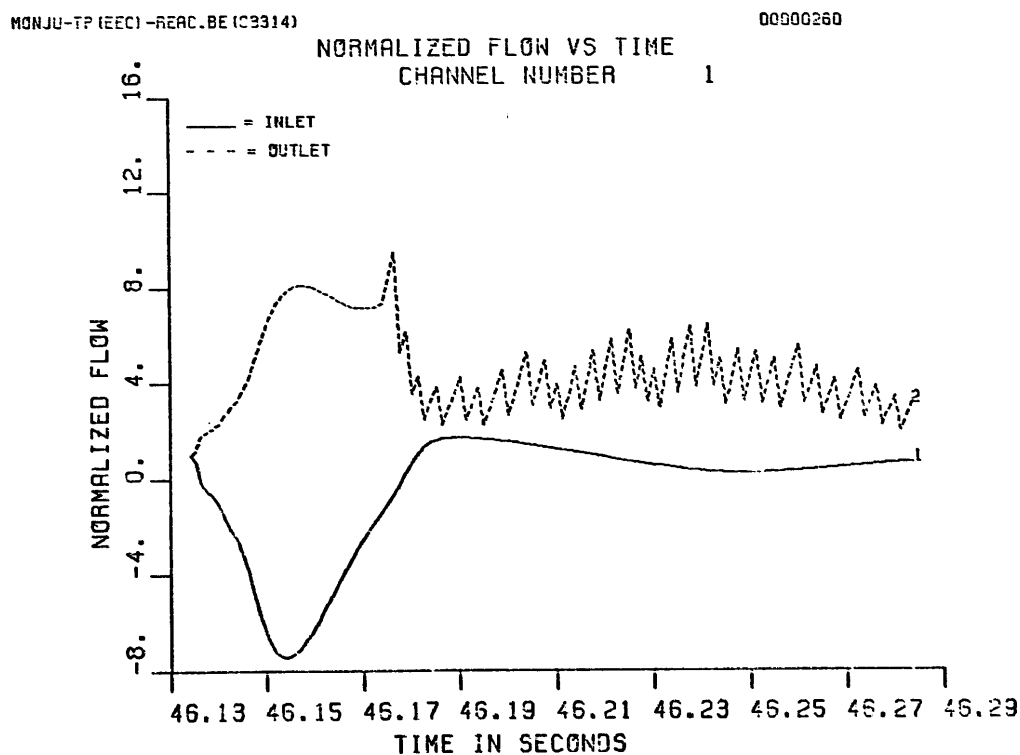
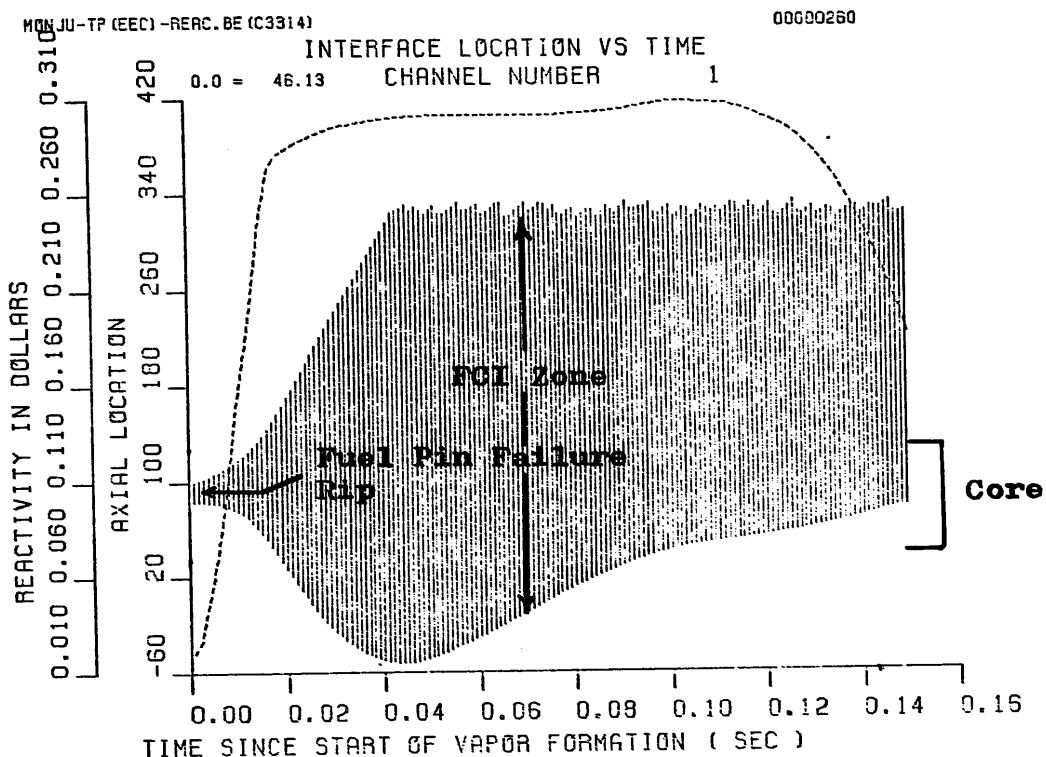


Figure 6.2-6. Channel-1 FCI Zone Growth and Coolant Flowrate for EOEC TOP (TP.REAC.BE.C3314)

4000 < T	K	ACTIVE CORE STATE :
3500 < T < 4000	K	MAX FUEL TEMP. (K) = 2973.1
TMELT+1 < T < 3500	K	MIN FUEL TEMP. (K) = 1536.7
TMELT-1 < T < TMELT+1	K	AVERAGE FUEL TEMP. (K) = 2243.7
2000 < T < TMELT-1	K	TEMP. PEAKING FACTOR = 1.3
T < 2000	K	

MOLTEN CORE STATE: TOTAL MOLTEN FUEL MASS (KG) = 641
 MOLTEN FUEL AVERAGE TEMP. (K) = 2973
 ENERGY ABOVE FUEL SOLIDUS (MJ) = 180

TP.REAC.BE(C3314).STP849

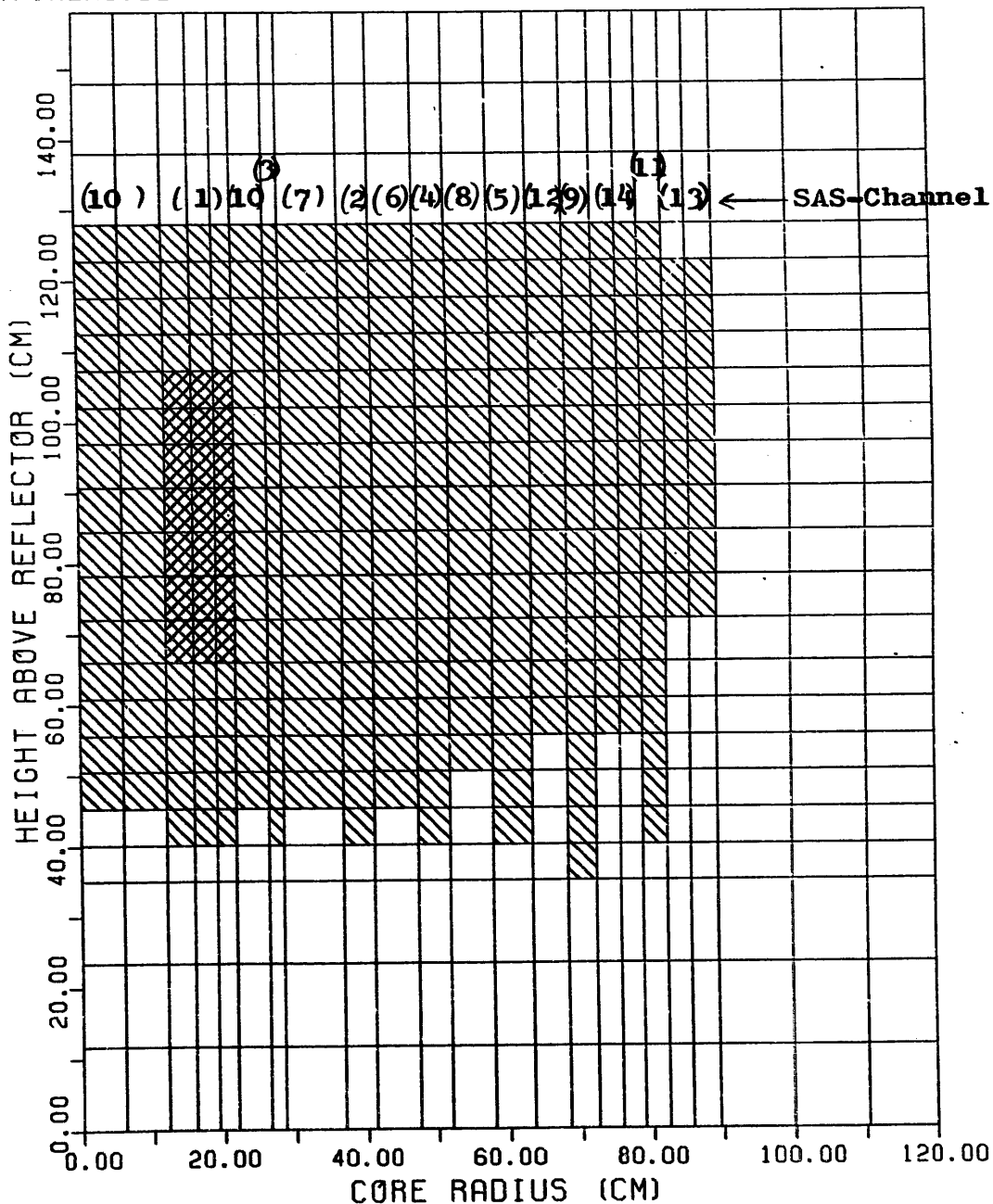


Figure 6.2-7. Fuel Temperature Distribution (Final State)

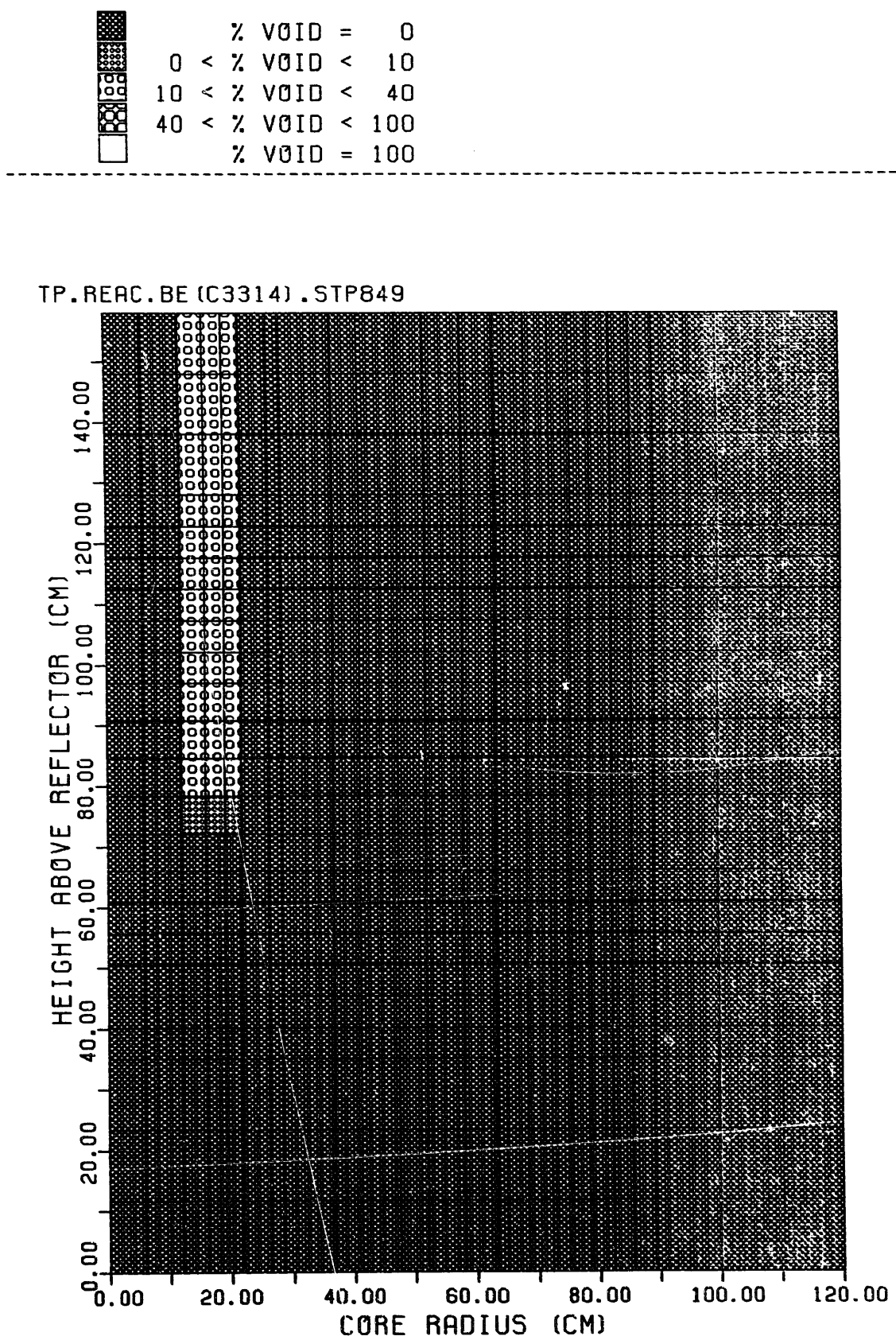


Figure 6.2-8. Void Fraction Distribution

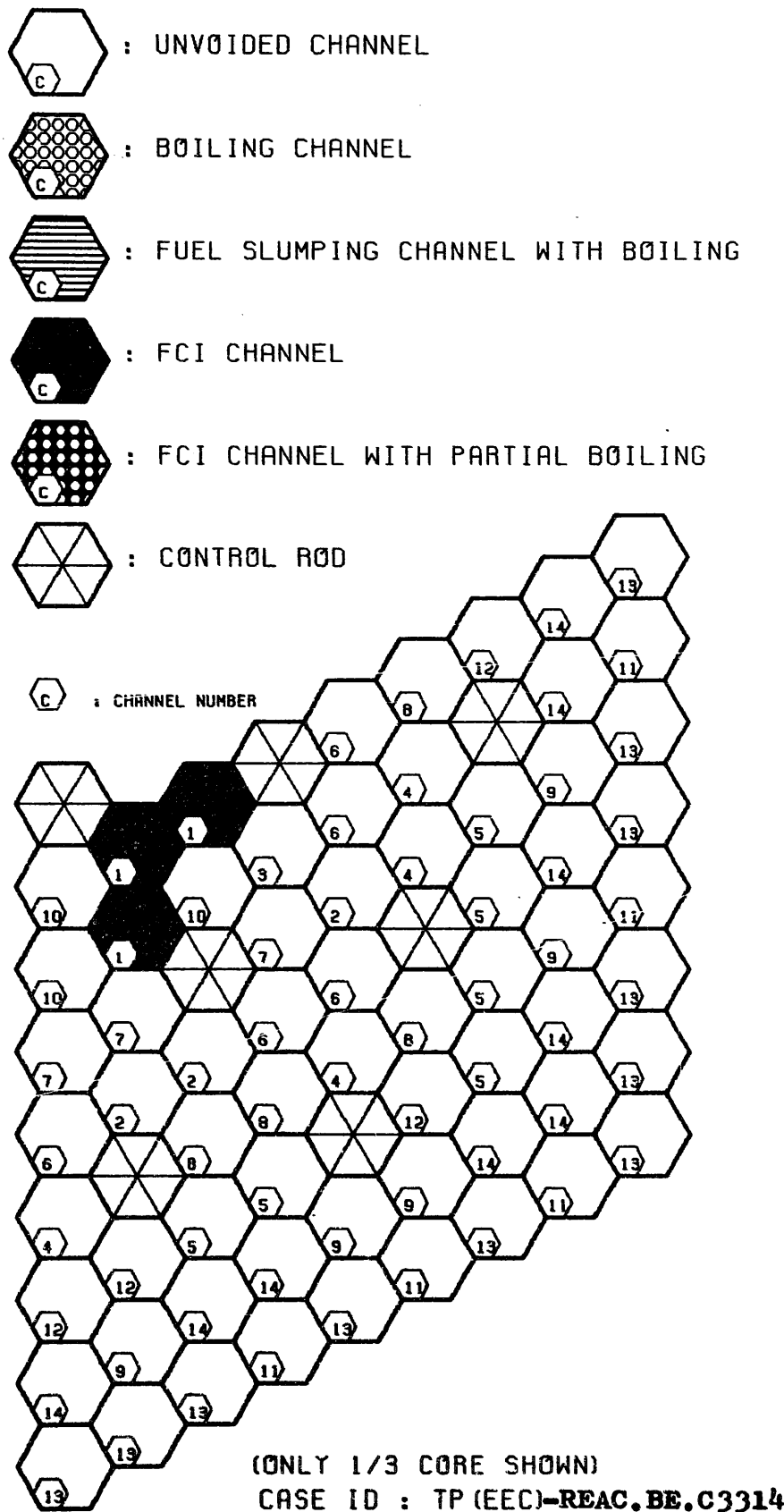


Figure 6.2-9. Core State at the End of Initiating Phase

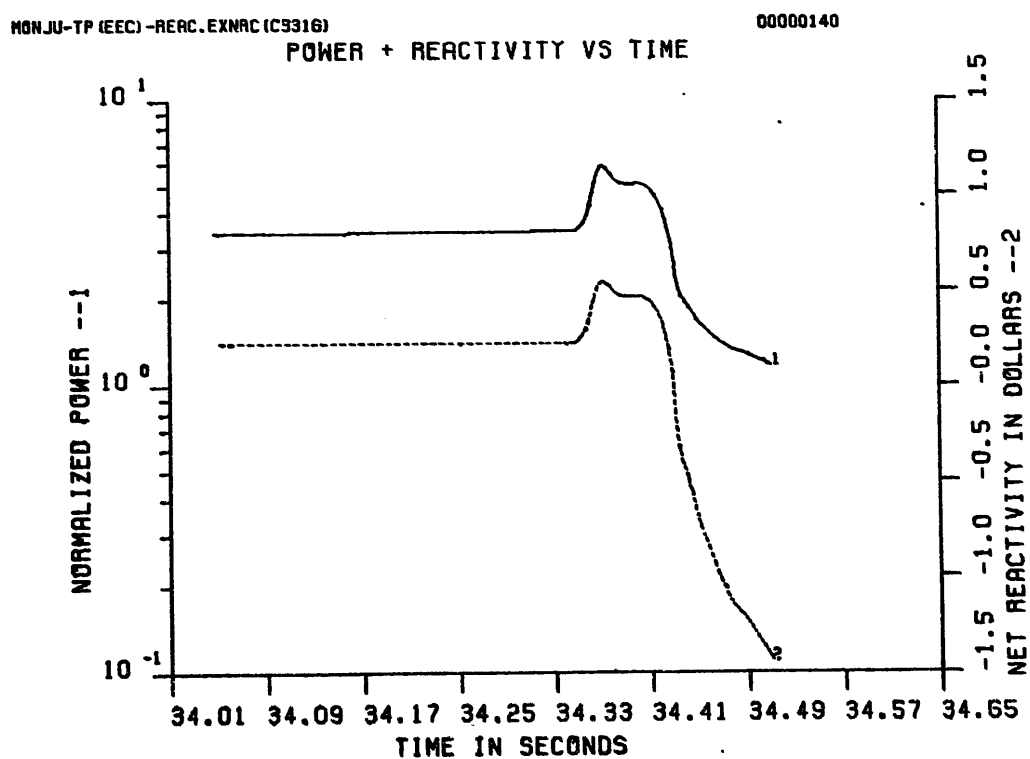
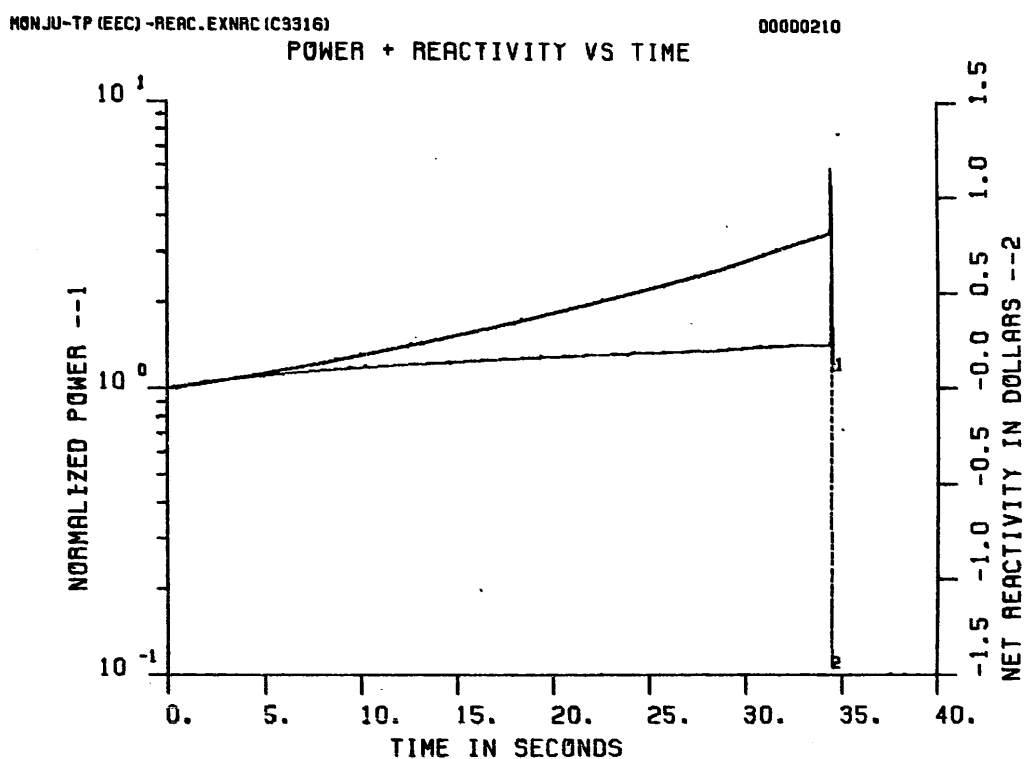


Figure 6.2-10. Power and Reactivity Traces for EOEC TOP
(TP.REAC.EXNRC.C3316)

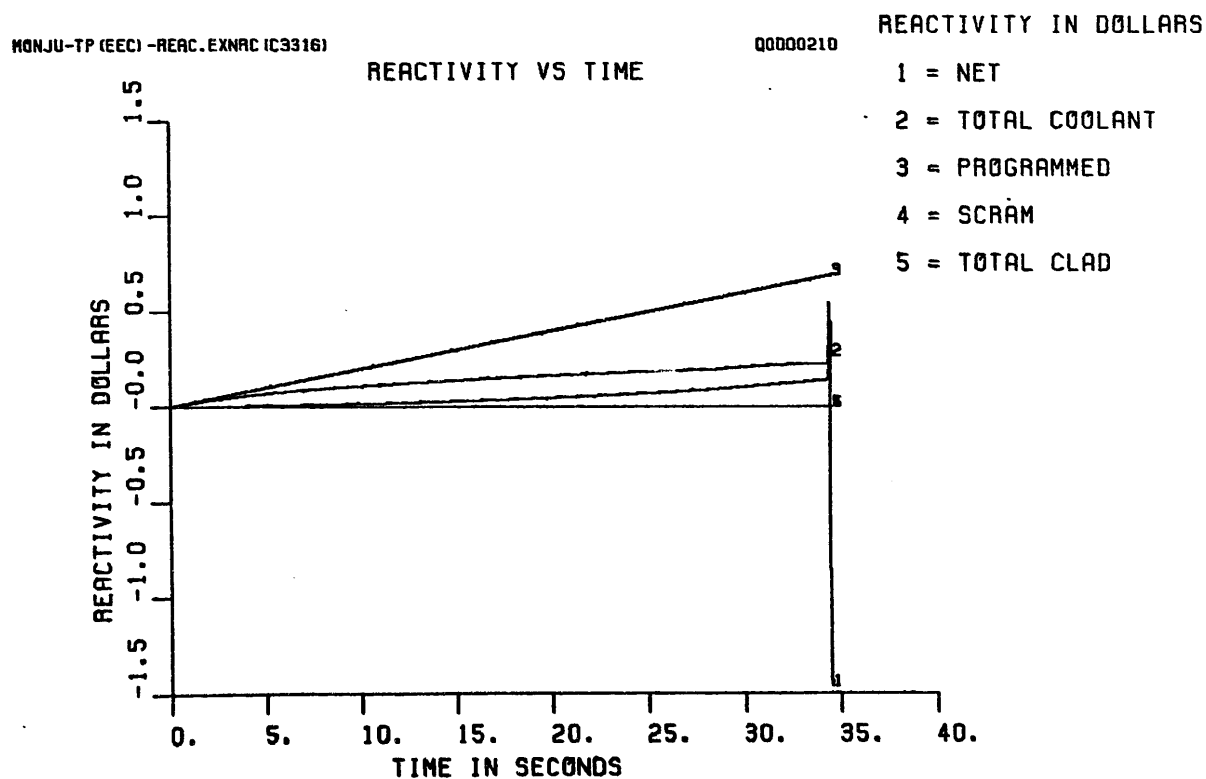
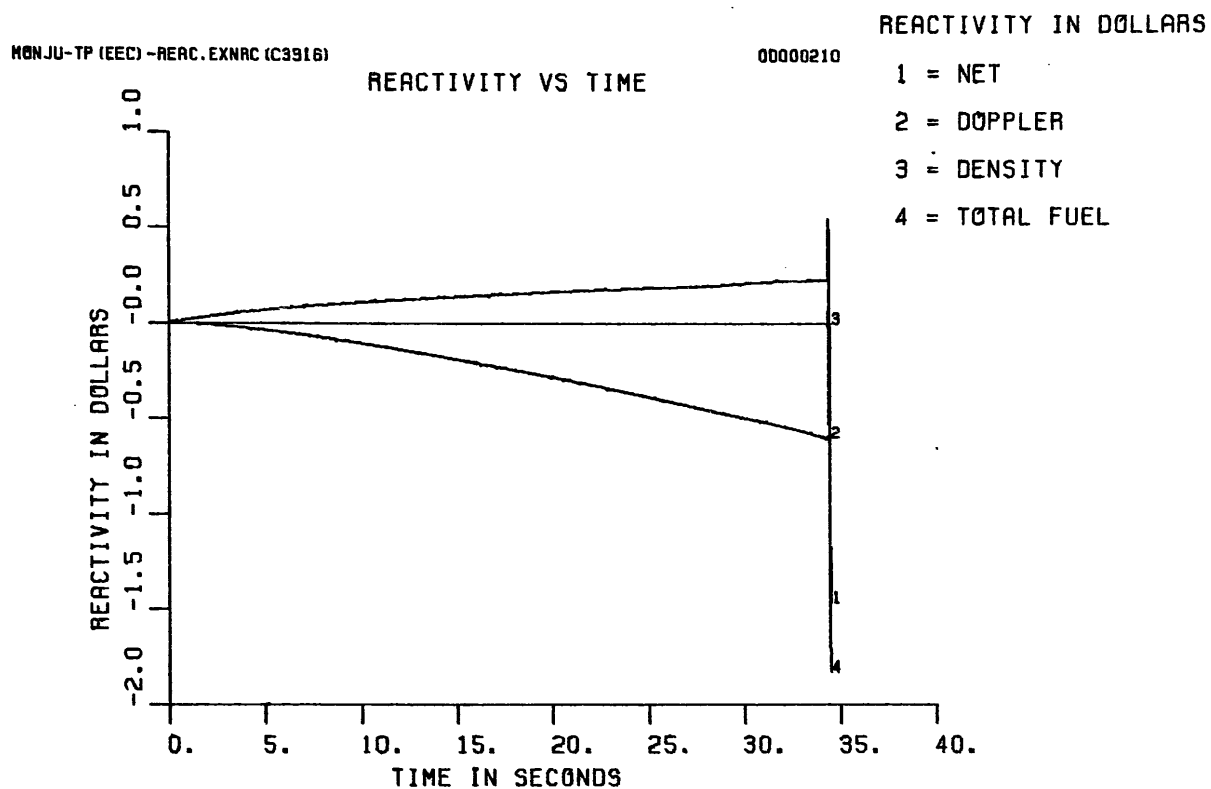


Figure 6.2-11a. Reactivity Component Traces for EOEC TOP (TP.REAC.EXNRC.C3316)

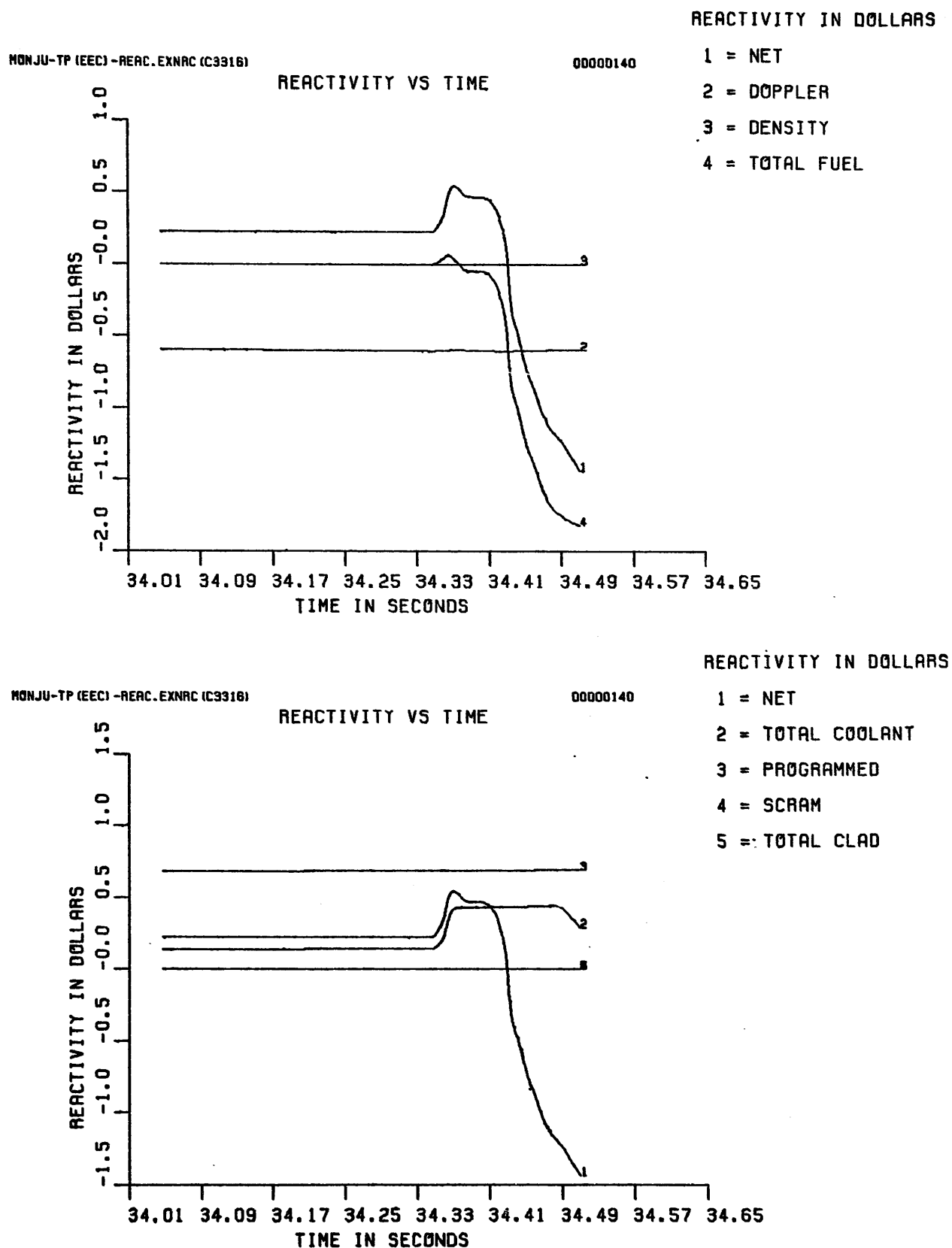
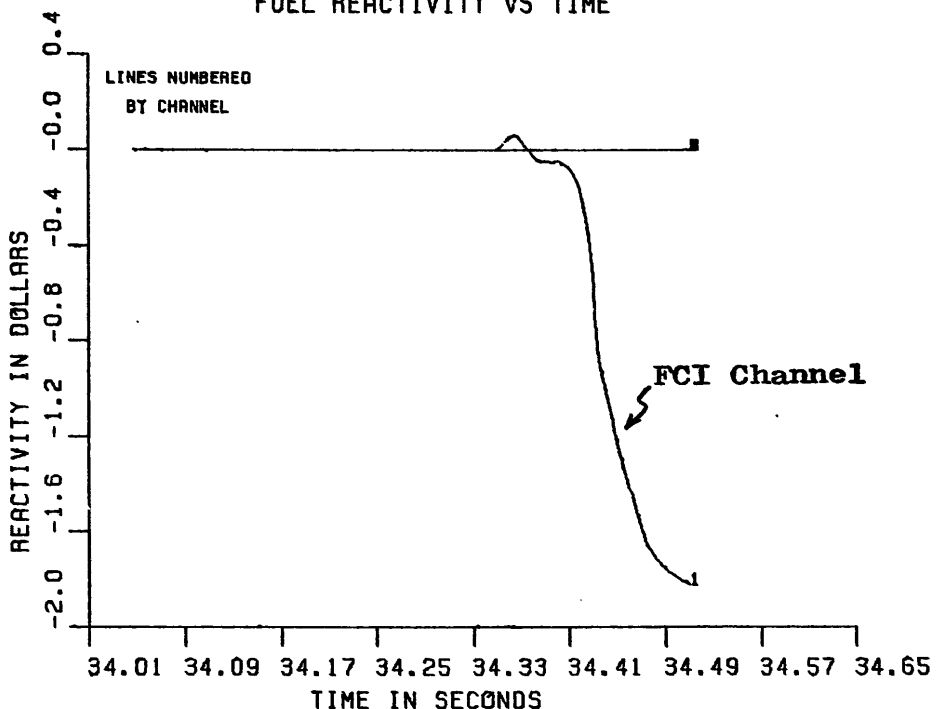


Figure 6.2-11b. Reactivity Component Traces for EOEC TOP (TP.REAC.EXNRC.C3316)

MONJU-TP (EEC1)-REAC.EXNRC (C3316)

00000140

FUEL REACTIVITY VS TIME



MONJU-TP (EEC1)-REAC.EXNRC (C3316)

00000140

COOLANT REACTIVITY VS TIME

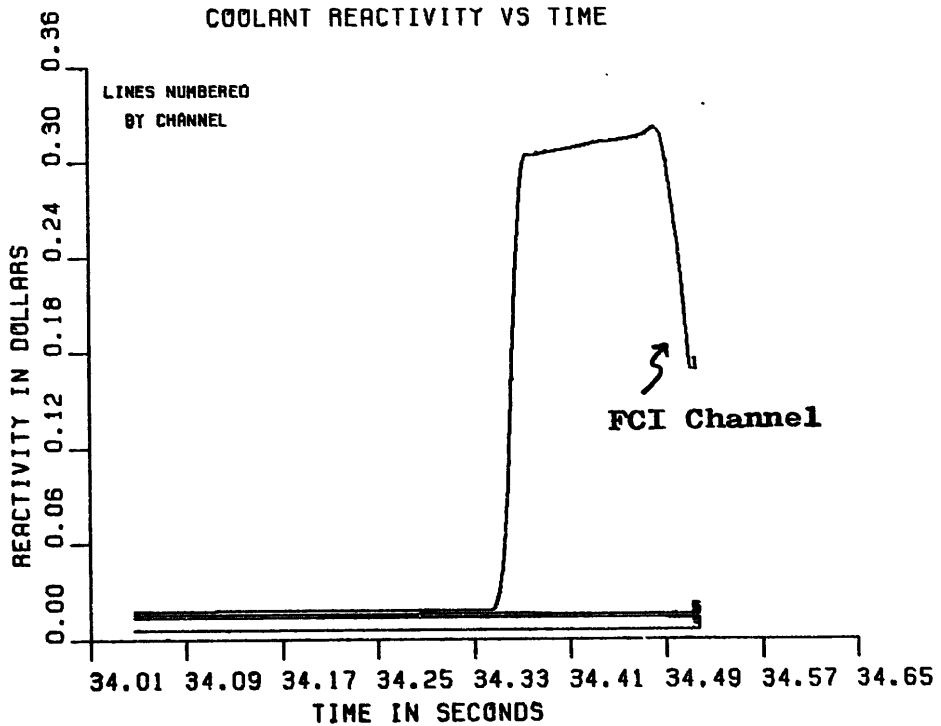


Figure 6.2-12. Channel-1 Fuel and Coolant Reactivity Traces in EOEC TOP (TP.REAC.EXNRC.C3316)

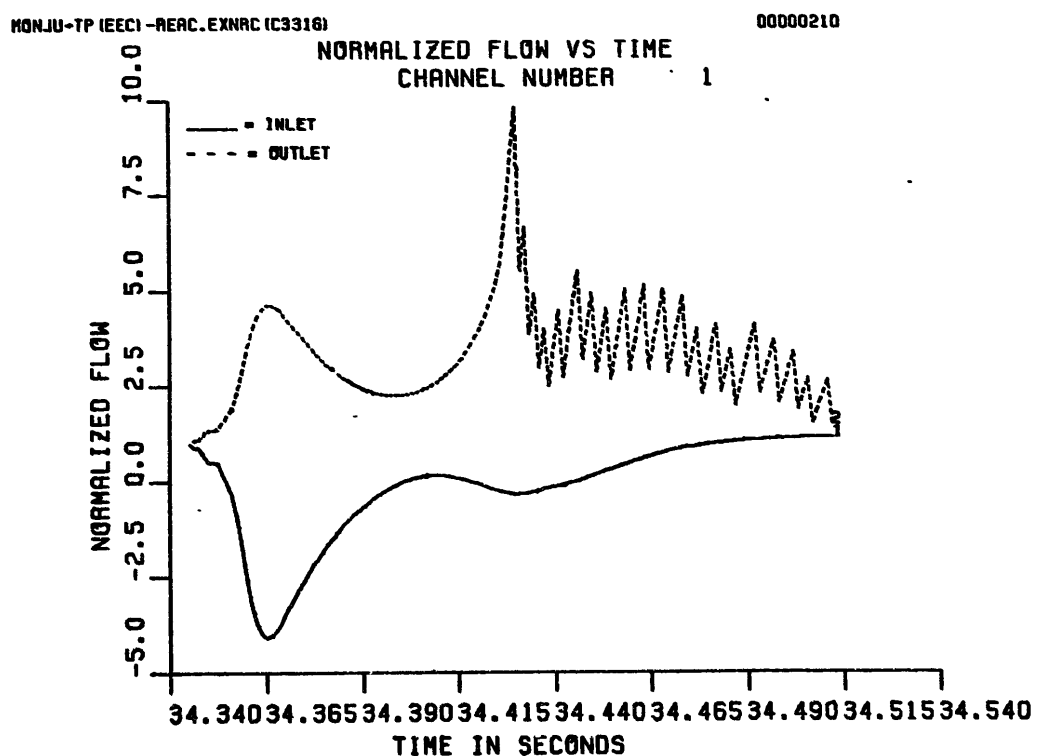
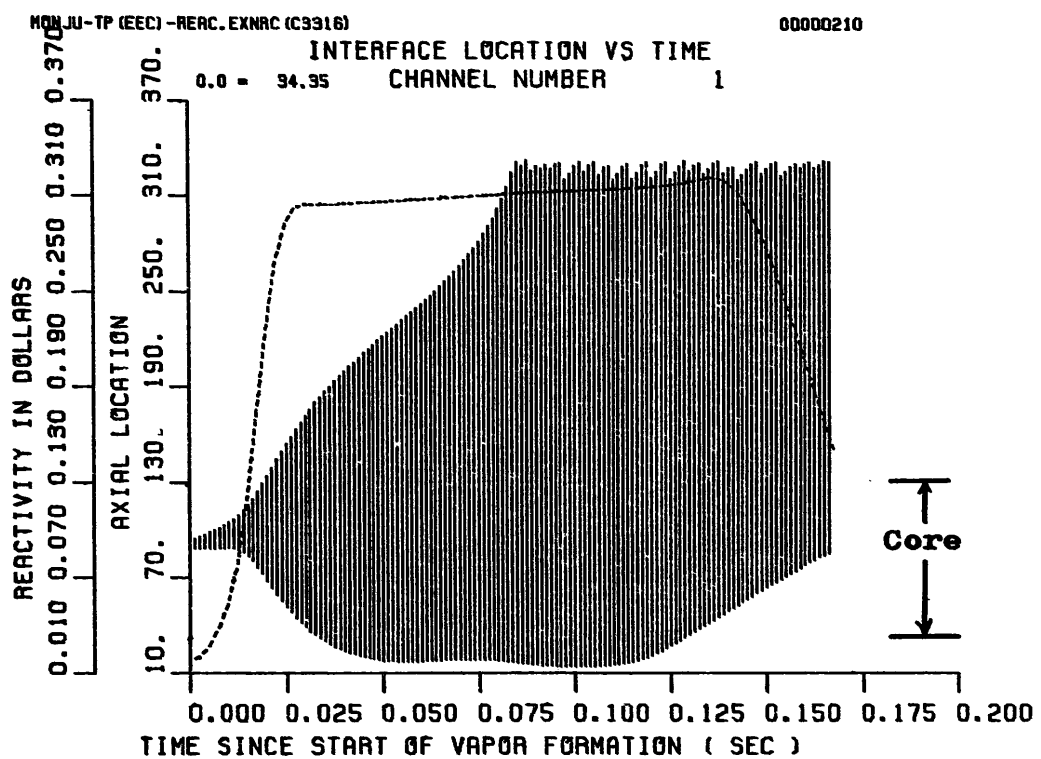


Figure 6.2-13a. Channel-1 FCI Zone Growth and Coolant Flowrate for EOEC TOP (TP.REAC.EXNRC.C3316)

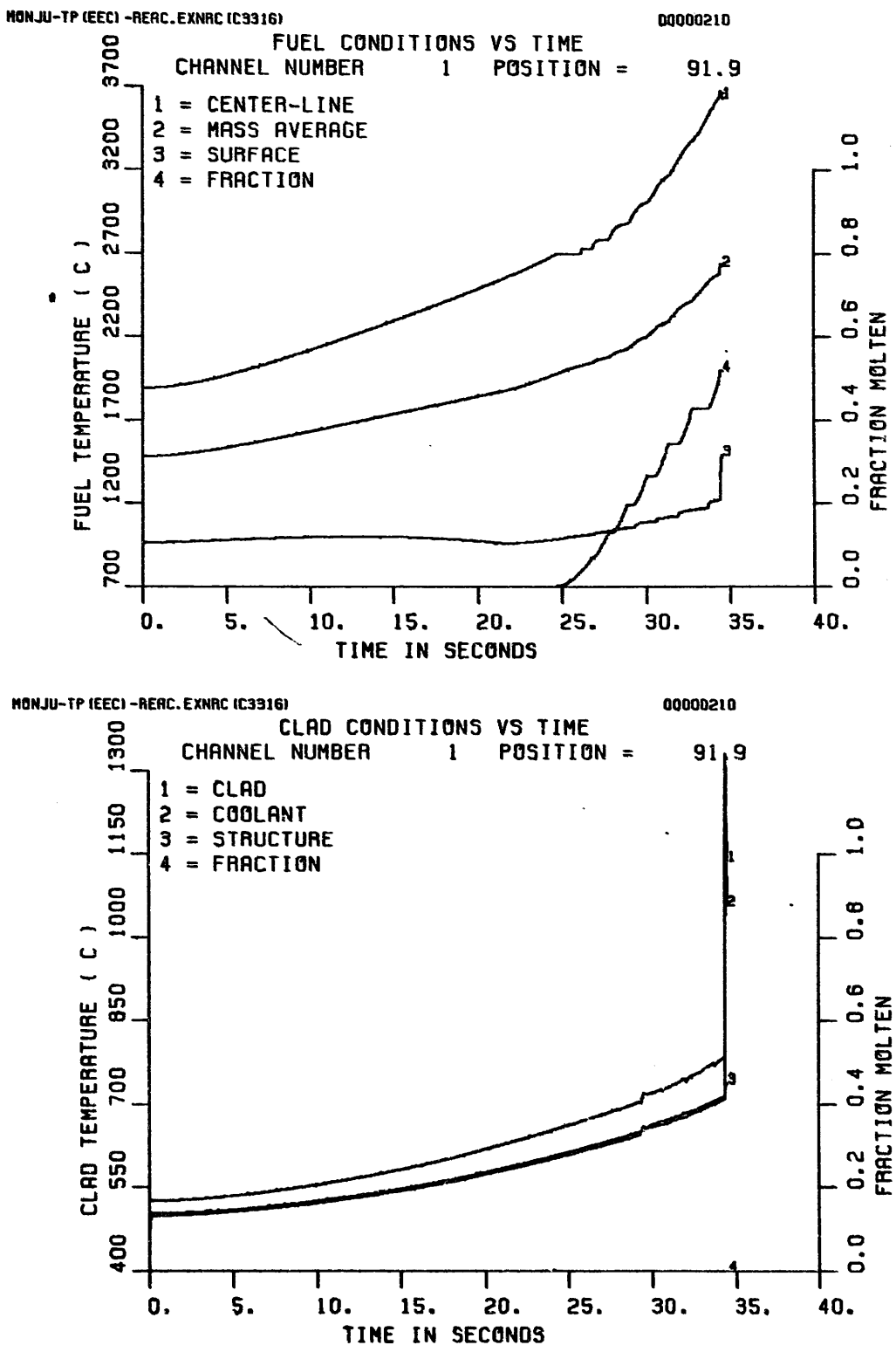


Figure 6.2-13b. Histories of Channel-1 Fuel Pin Temperatures at Peak Power Segment for EOEC TOP (TP.REAC.EXNRC.C3316)



4000 < T	K	ACTIVE CORE STATE :	
3500 < T < 4000	K	MAX FUEL TEMP. (K)	= 2973.1
TMELT+1 < T < 3500	K	MIN FUEL TEMP. (K)	= 1578.0
TMELT-1 < T < TMELT+1	K	AVERAGE FUEL TEMP. (K)	= 2303.5
2000 < T < TMELT-1	K	TEMP. PEAKING FACTOR	= 1.3
T < 2000	K		

MOLTEN CORE STATE: TOTAL MOLTEN FUEL MASS (KG) = 760
 MOLTEN FUEL AVERAGE TEMP. (K) = 2973
 ENERGY ABOVE FUEL SOLIDUS (MJ) = 213

TP.RERC.EXNRC(C3316) STP700

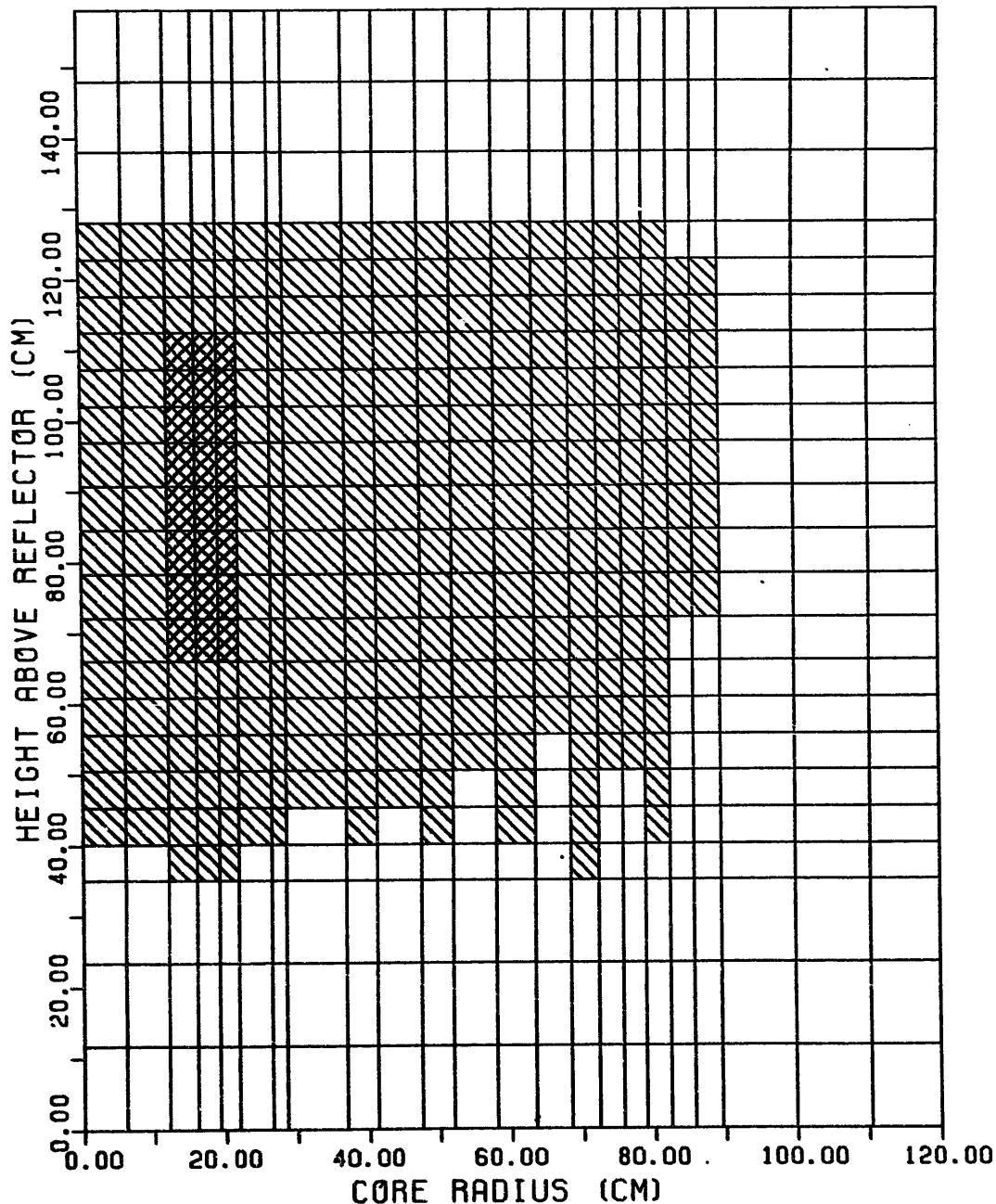


Figure 6.2-14. Fuel Temperature Distribution (Final State)

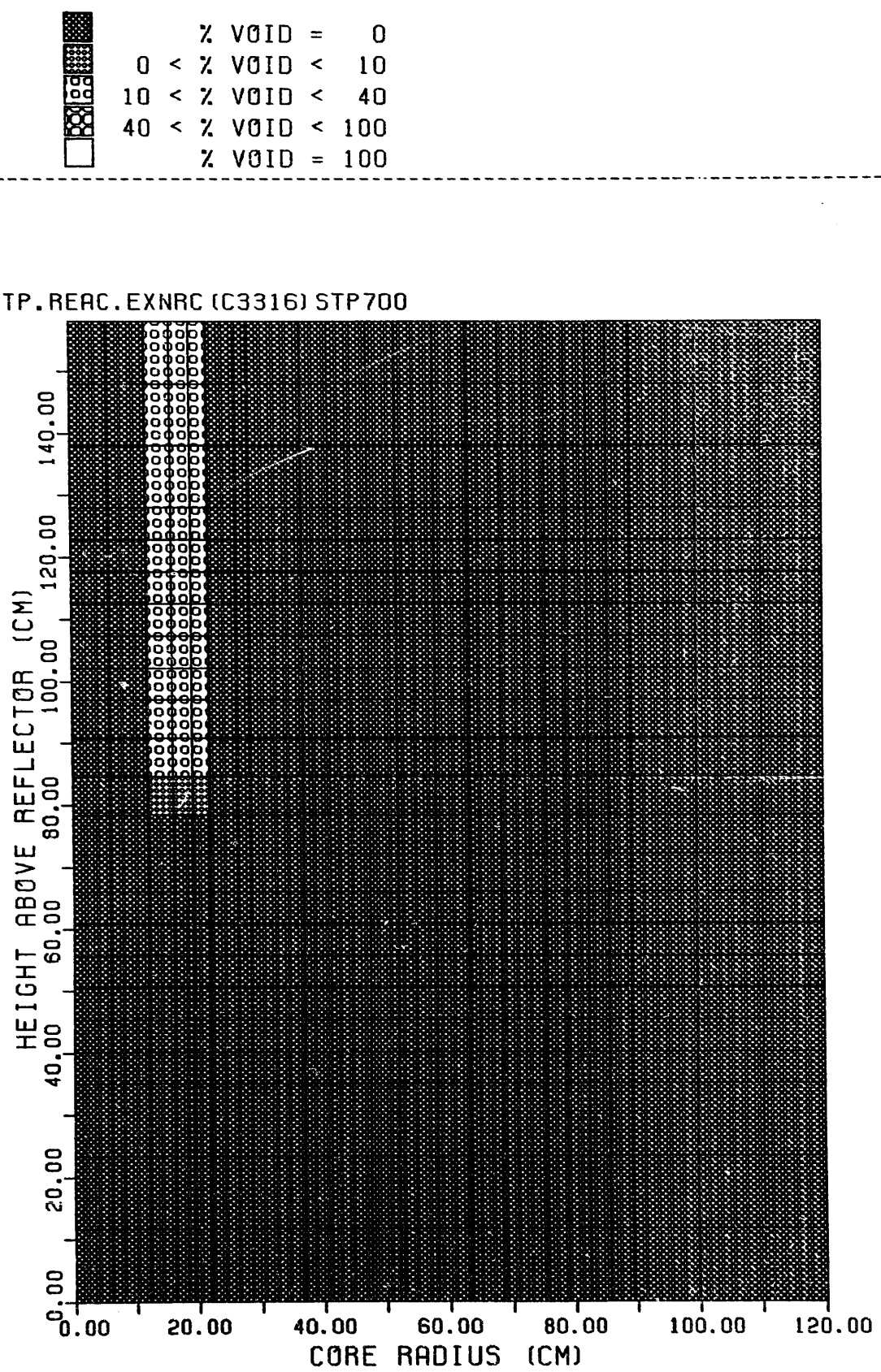


Figure 6.2-15. Void Fraction Distribution

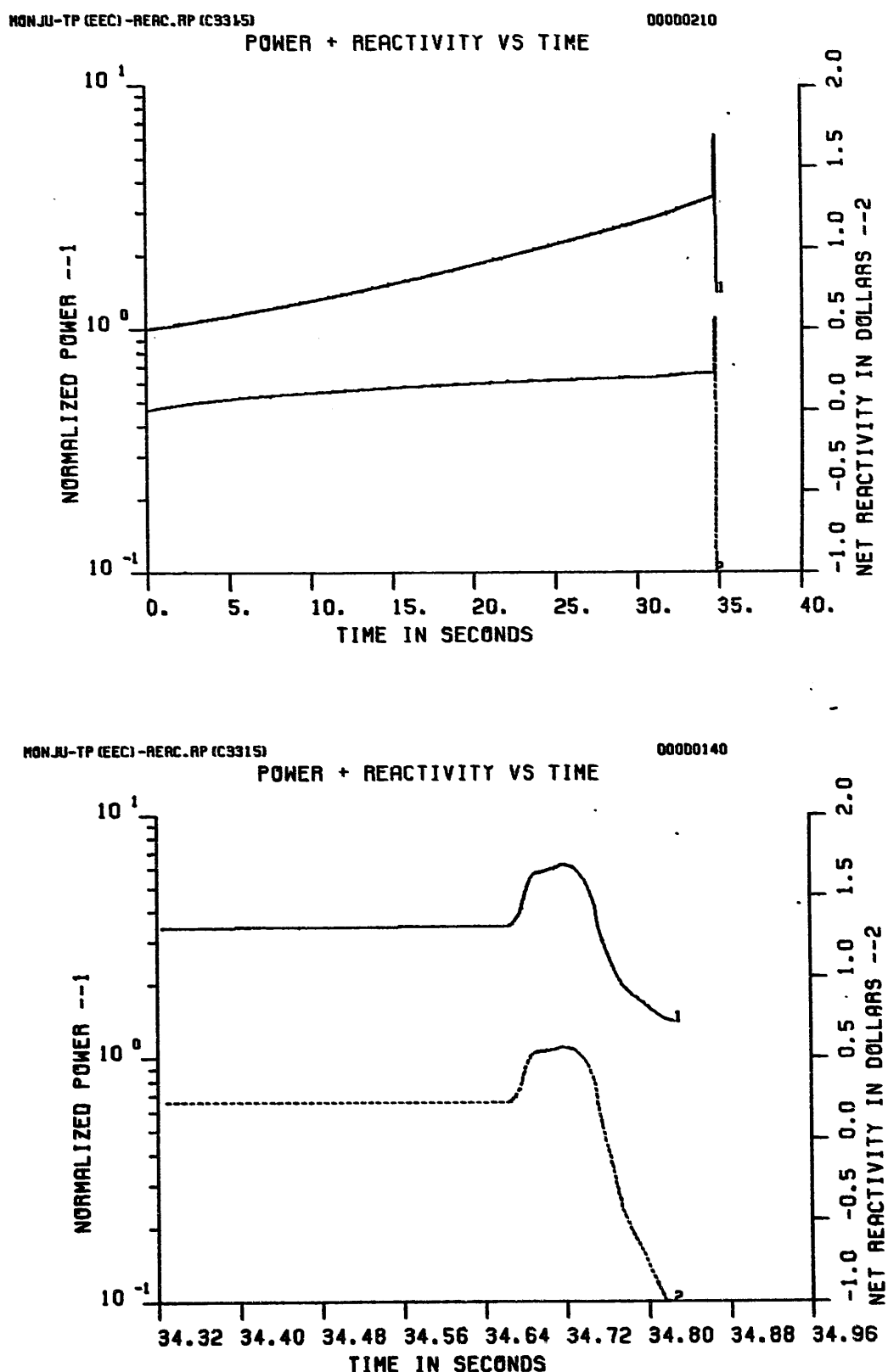


Figure 6.2-16. Power and Reactivity Traces for EOEC TOP (TP.REAC.RP.C3315)

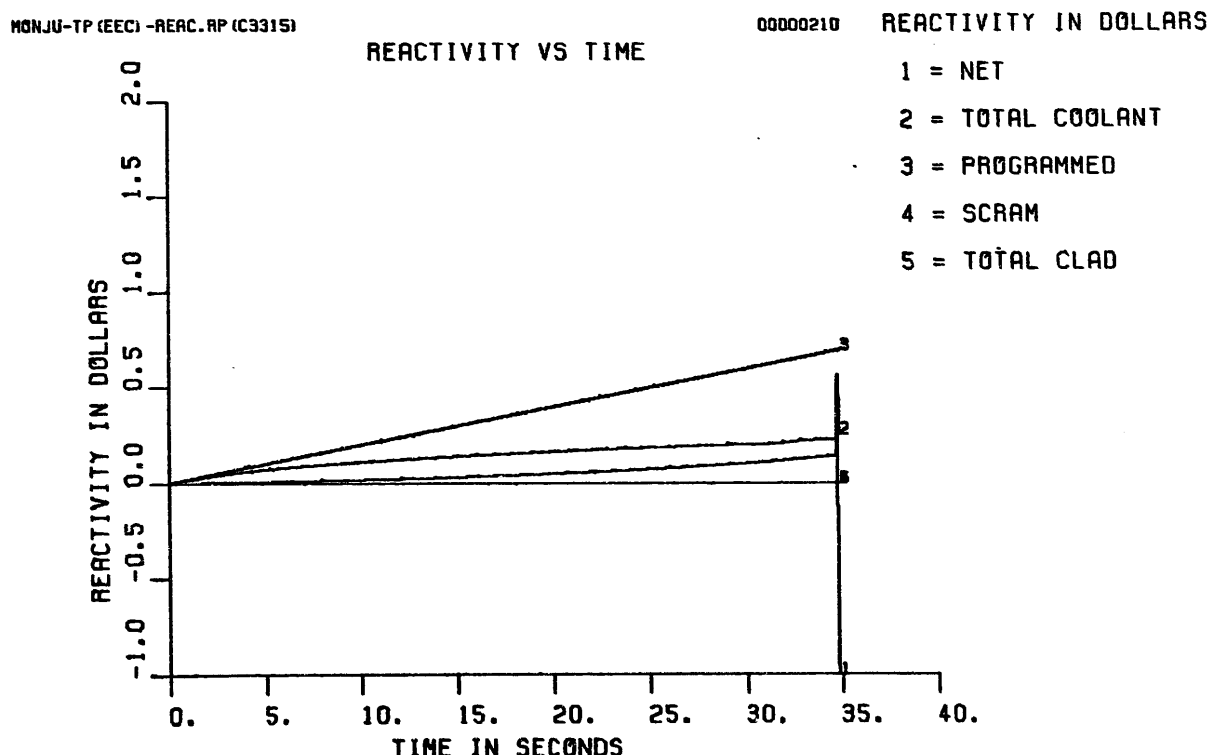
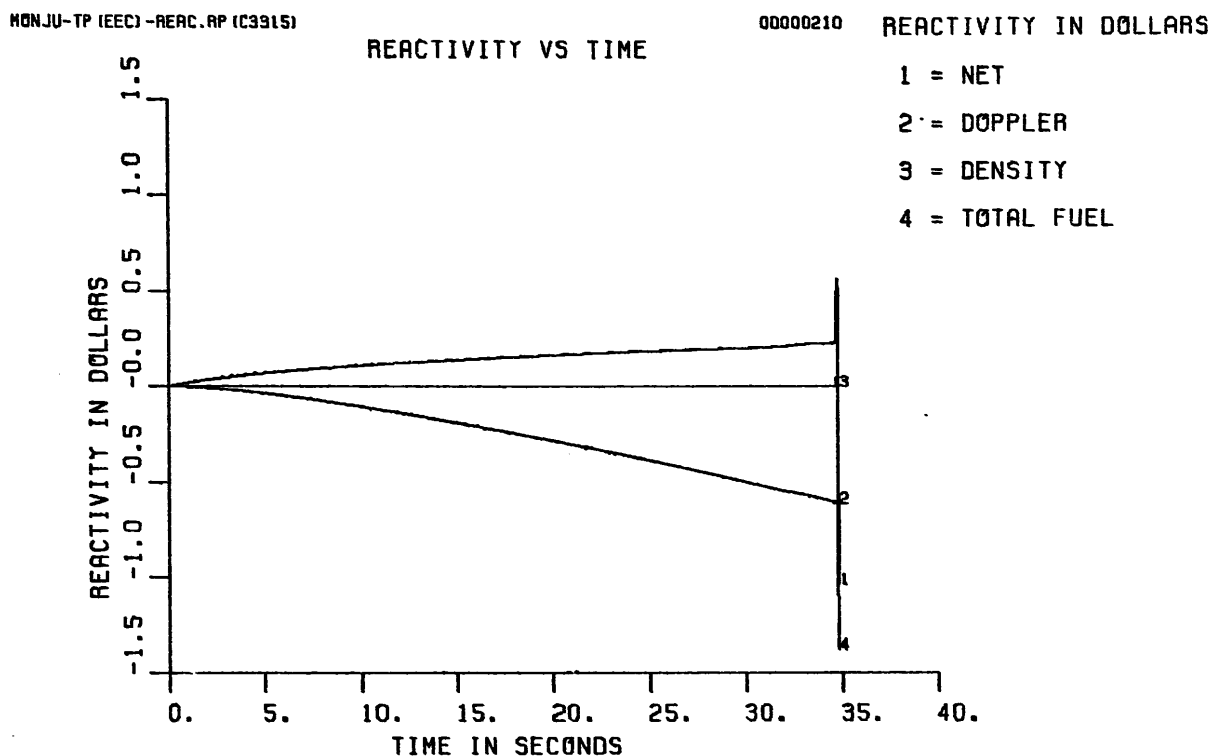


Figure 6.2-17a. Reactivity Component Traces for EOEC TOP (TP.REAC.RP.C3315)

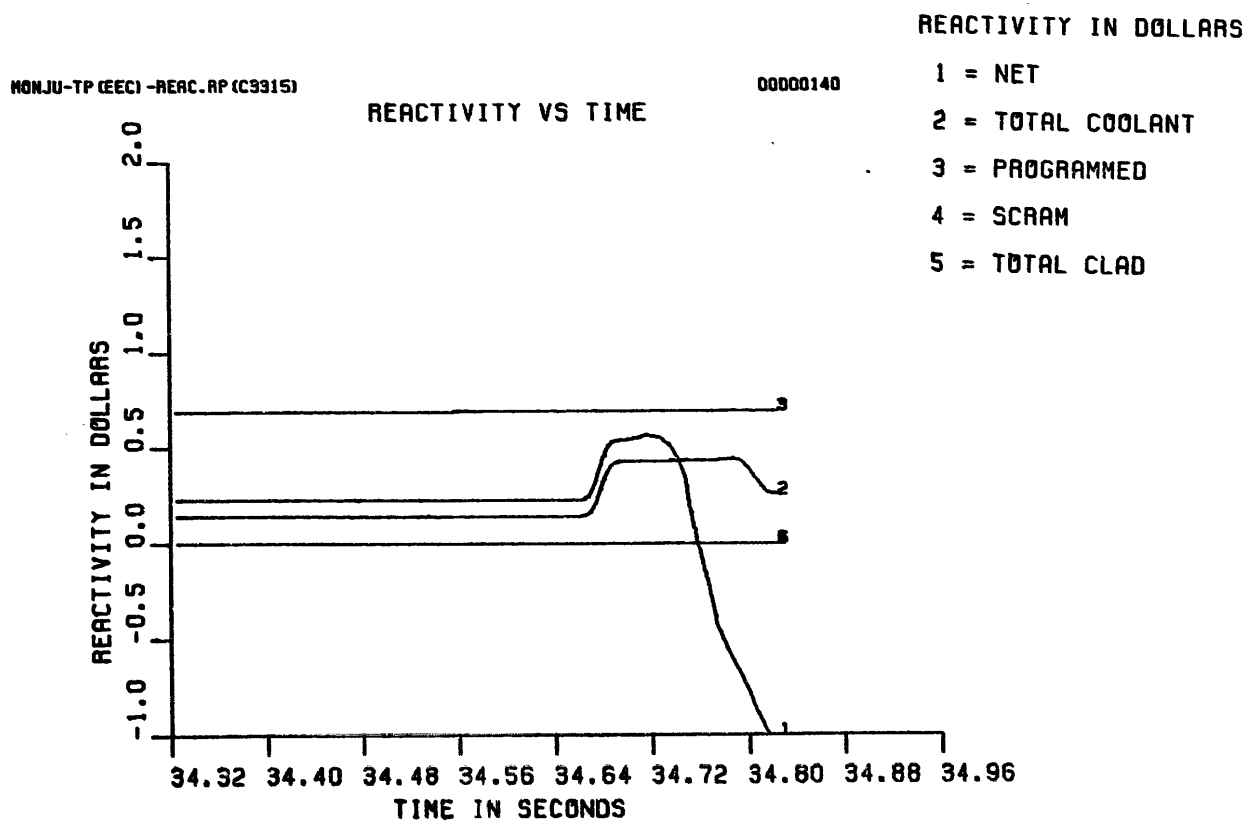
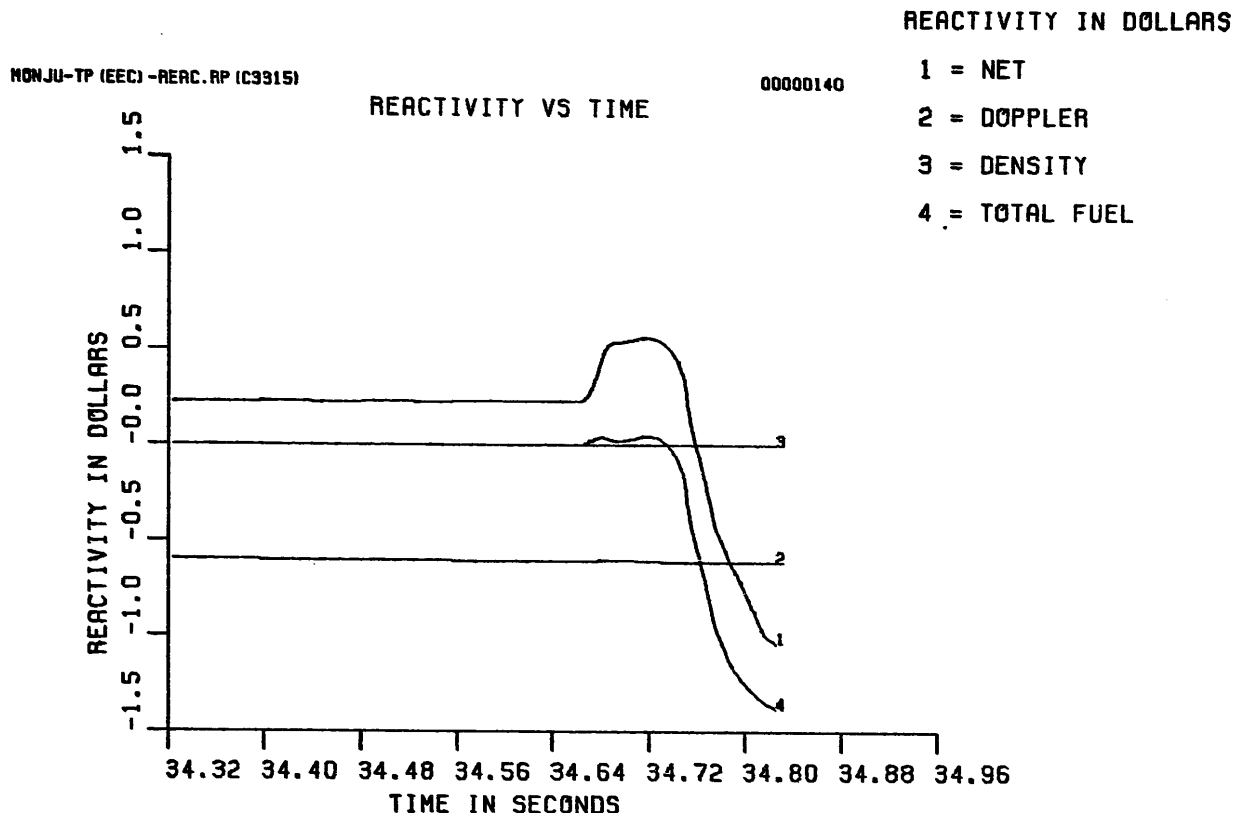


Figure 6.2-17b. Reactivity Component Traces for EOEC TOP (TP.REAC.RP.C3315)

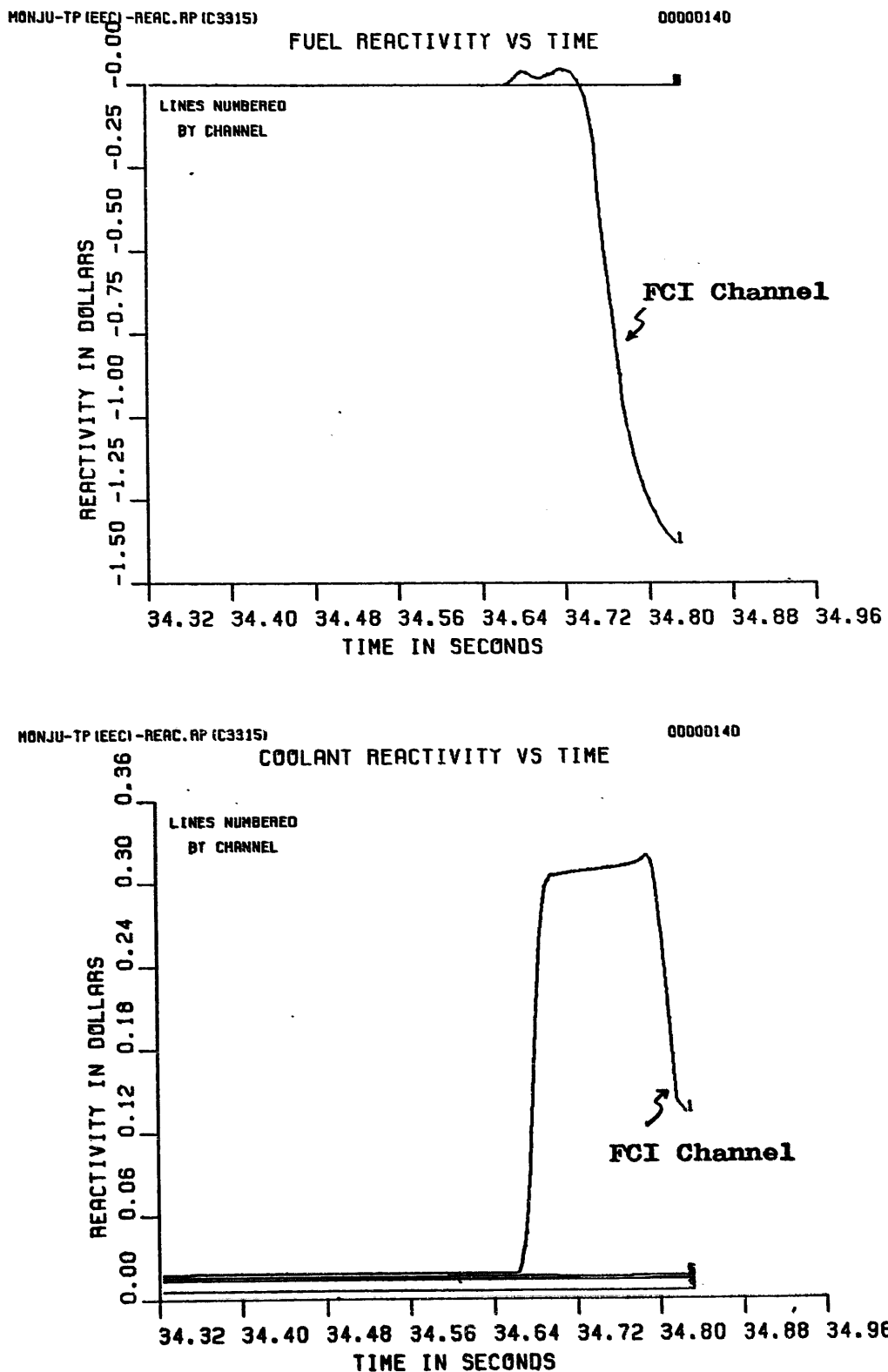


Figure 6.2-18. Channel-1 Fuel and Clad Reactivity Traces in EOEC TOP (TP.REAC.RP.C3315)

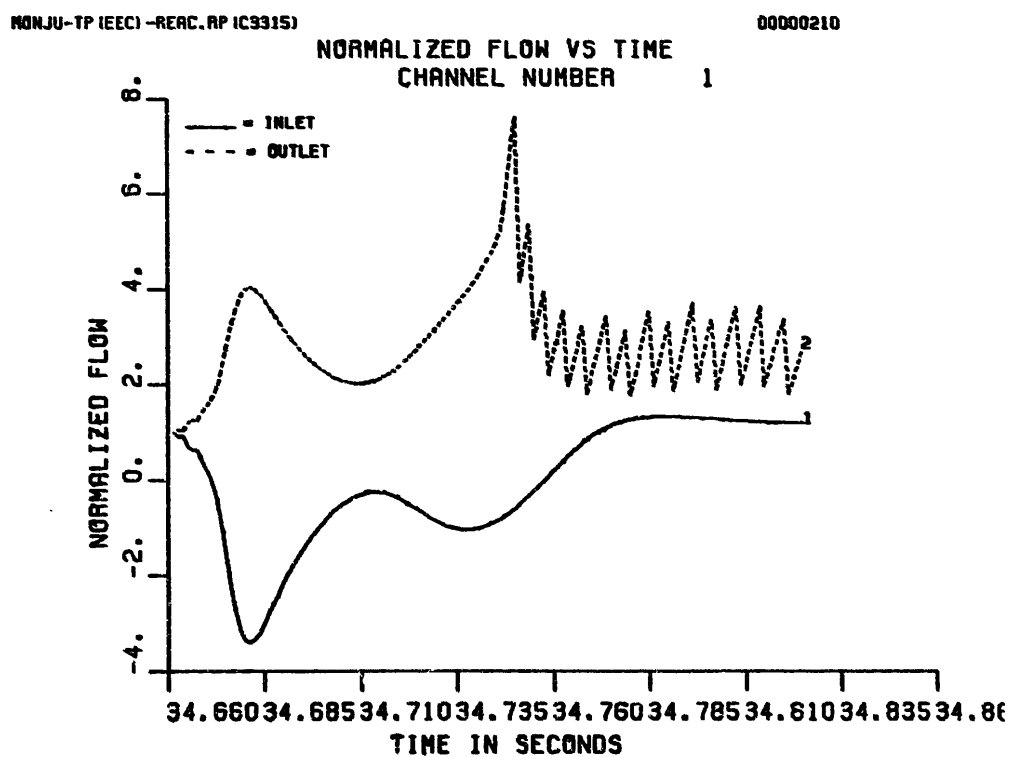
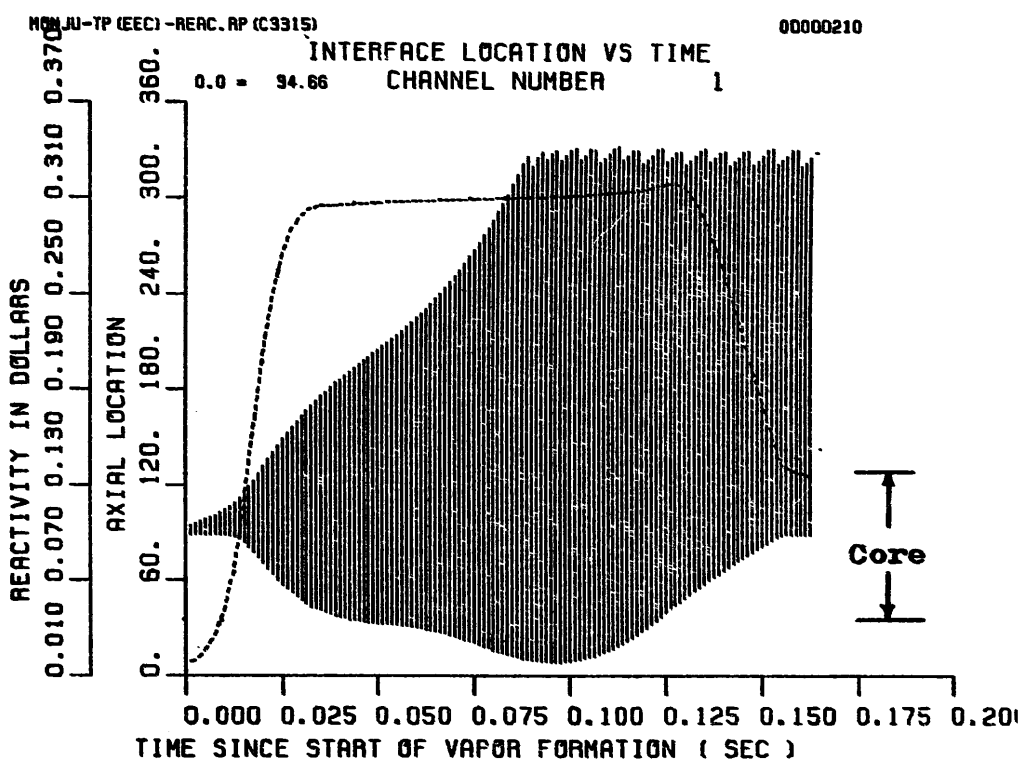


Figure 6.2-19. Channel-1 FCI Zone Growth and Coolant Flowrate for EOEC TOP (TP.REAC.RP.C3315)

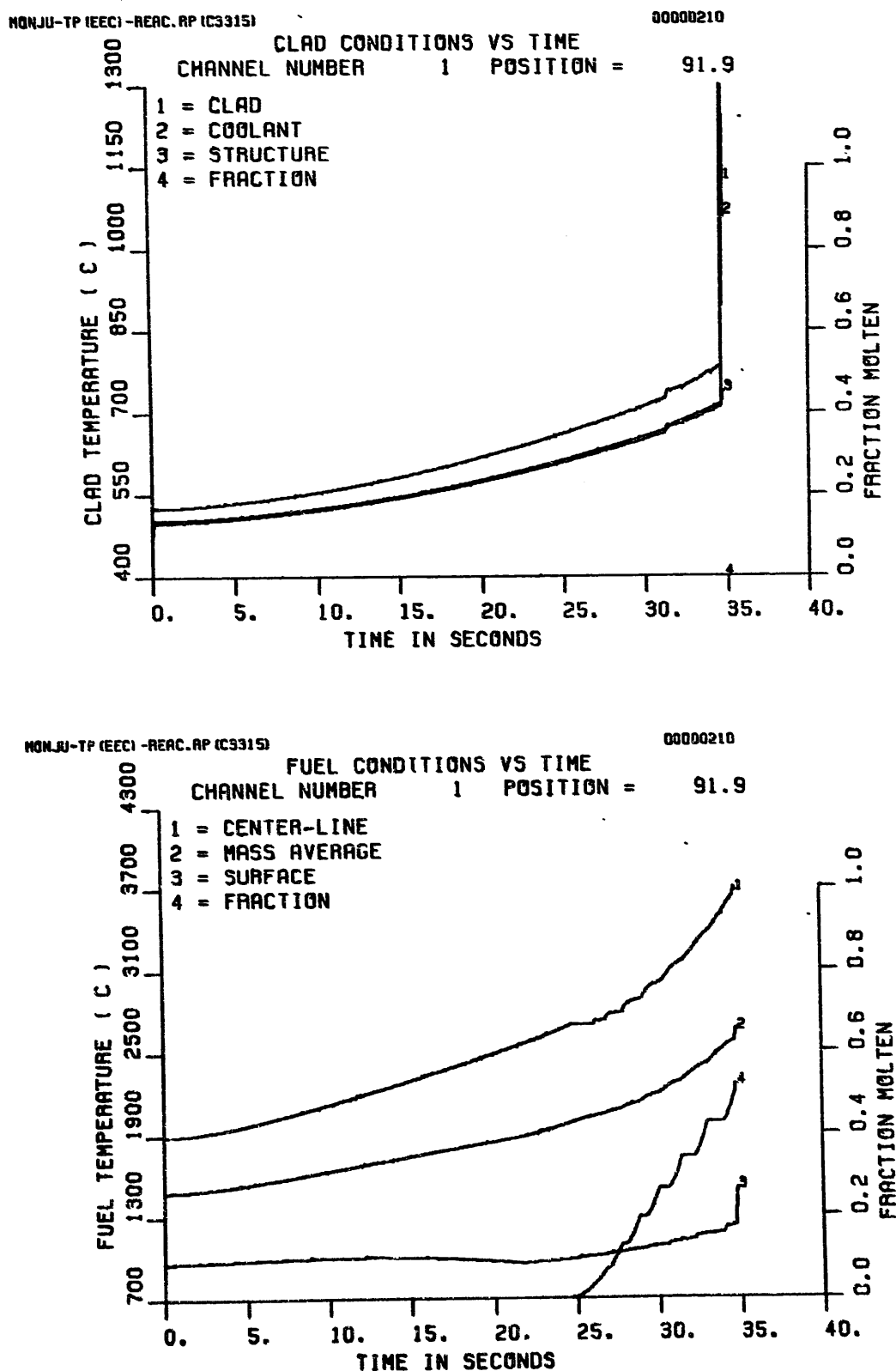


Figure 6.2-20. Histories of Channel-1 Clad and Fuel Temperatures at Peak Power Segment for EOEC TOP (TP.REAC.RP.C3315)

4000 < T	K	ACTIVE CORE STATE :
3500 < T < 4000	K	MAX FUEL TEMP. (K) = 2973.1
TMELT+1 < T < 3500	K	MIN FUEL TEMP. (K) = 1589.0
TMELT-1 < T < TMELT+1	K	AVERAGE FUEL TEMP. (K) = 2333.7
2000 < T < TMELT-1	K	TEMP. PEAKING FACTOR = 1.3
T < 2000	K	

MOLTEN CORE STATE: TOTAL MOLTEN FUEL MASS (KG) = 822
 MOLTEN FUEL AVERAGE TEMP. (K) = 2973
 ENERGY ABOVE FUEL SOLIDUS (MJ) = 231

TP.REAC.RP(C3315).STP724

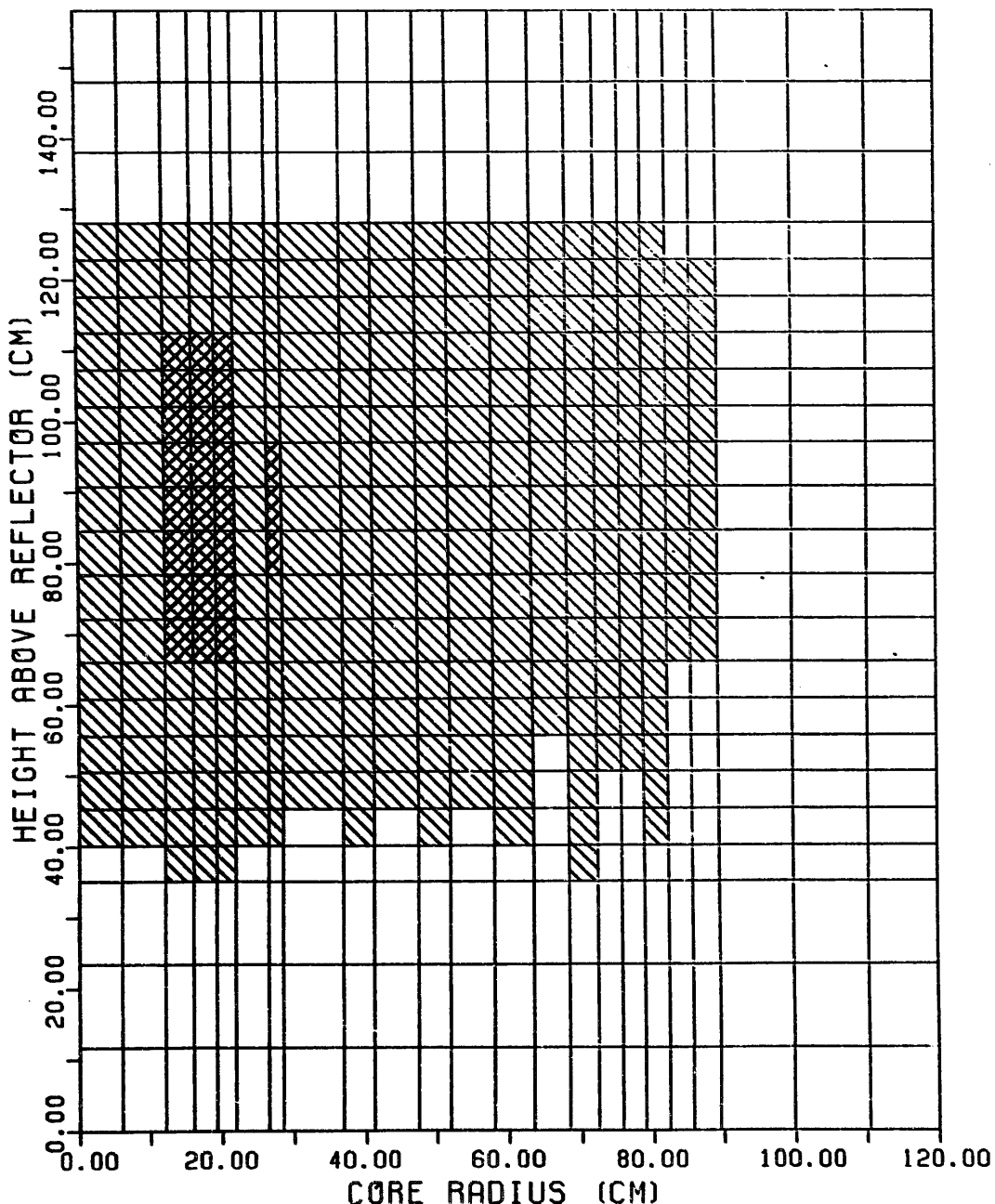


Figure 6.2-21a. Fuel Temperature Distribution (Final State)

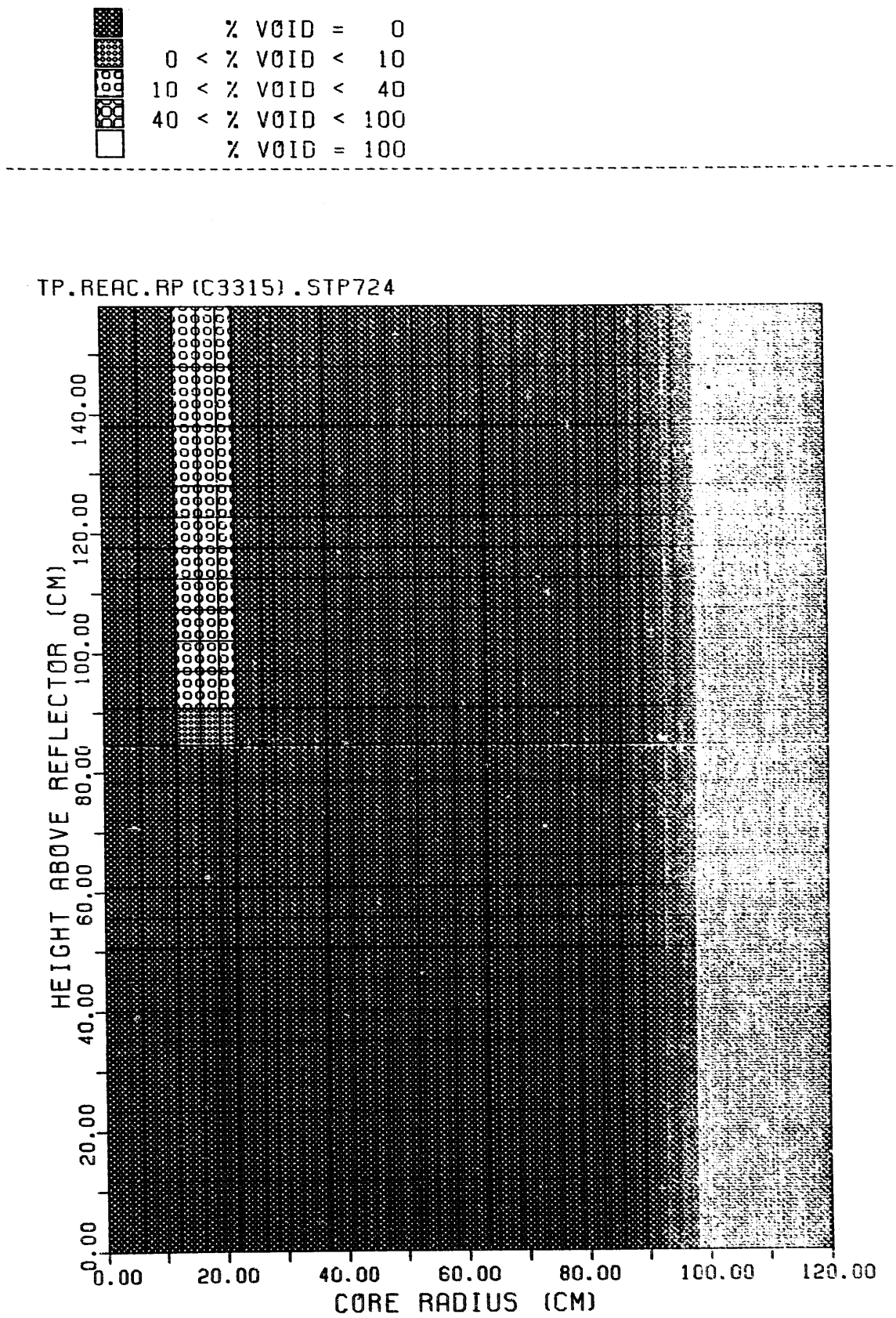
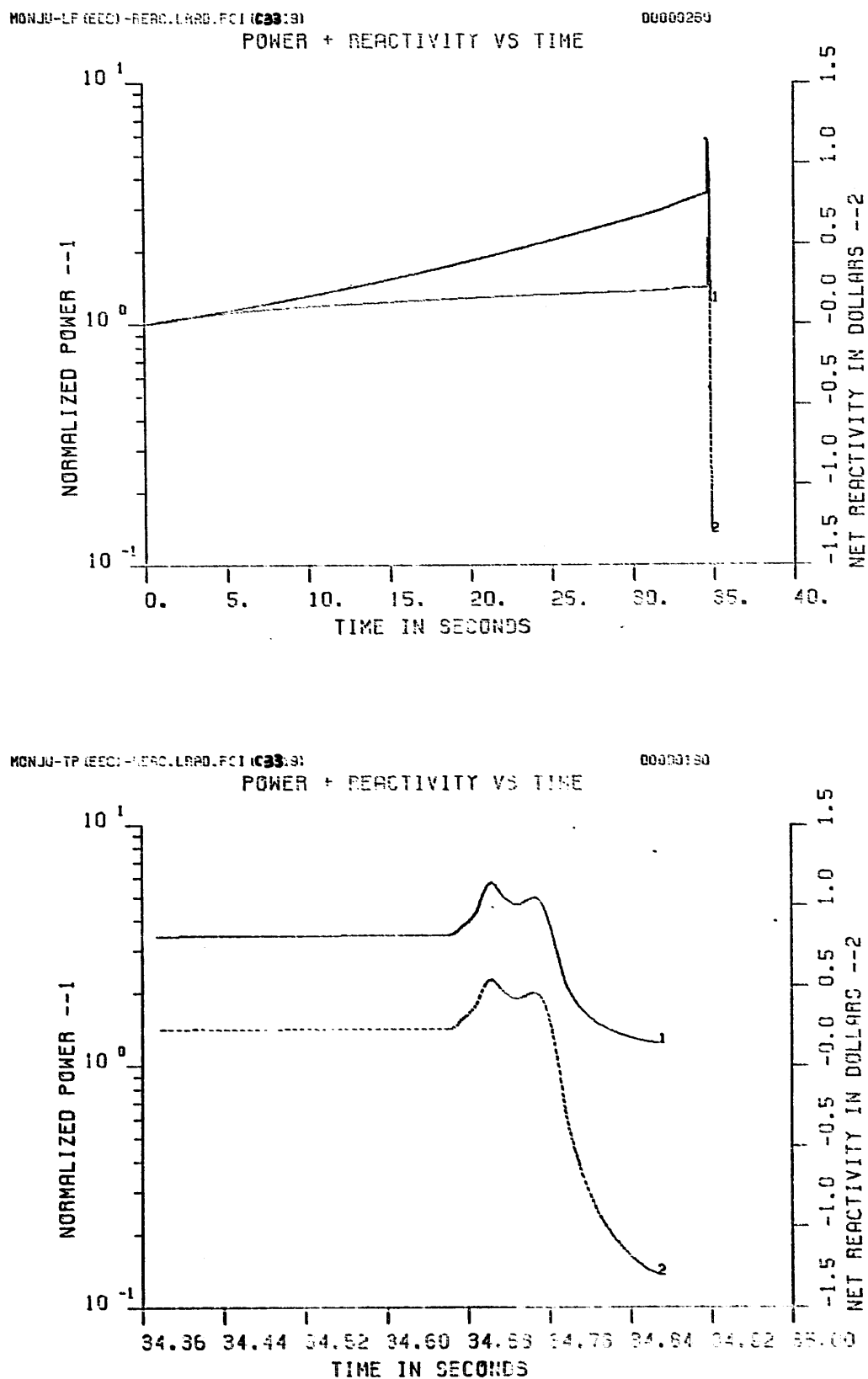


Figure 6.2-21b. Void Fraction Distribution



**Figure 6.2-22. Power and Reactivity Traces for EOEC TOP
(TP.REAC.LRAD.FCI.C3319)**

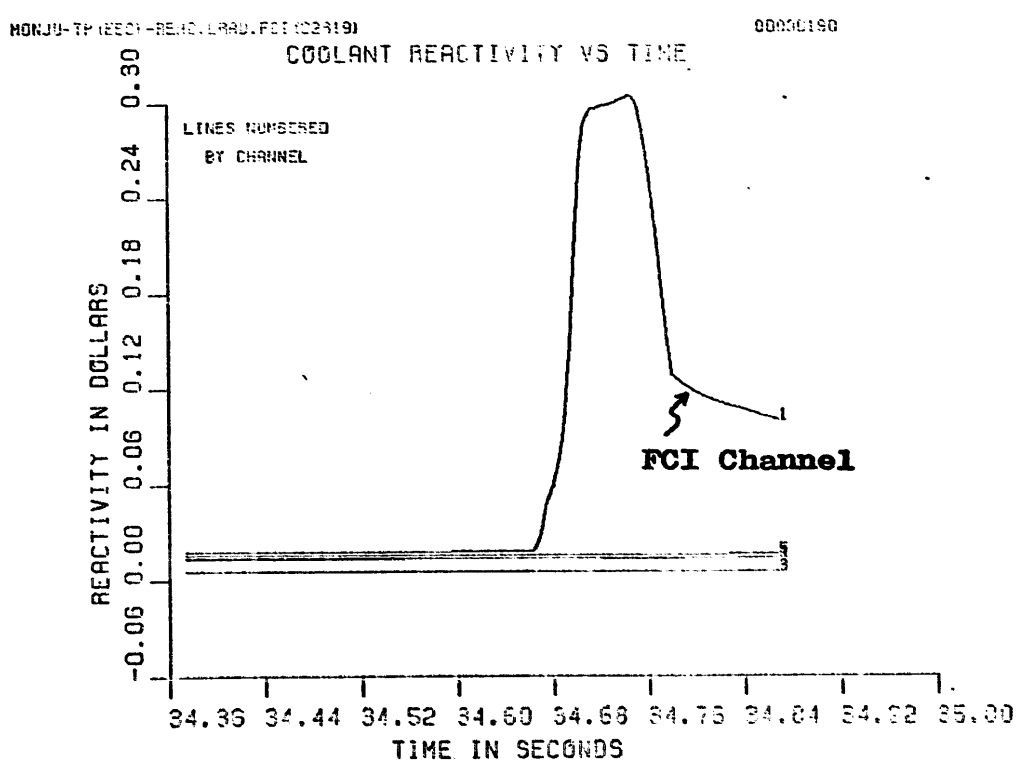
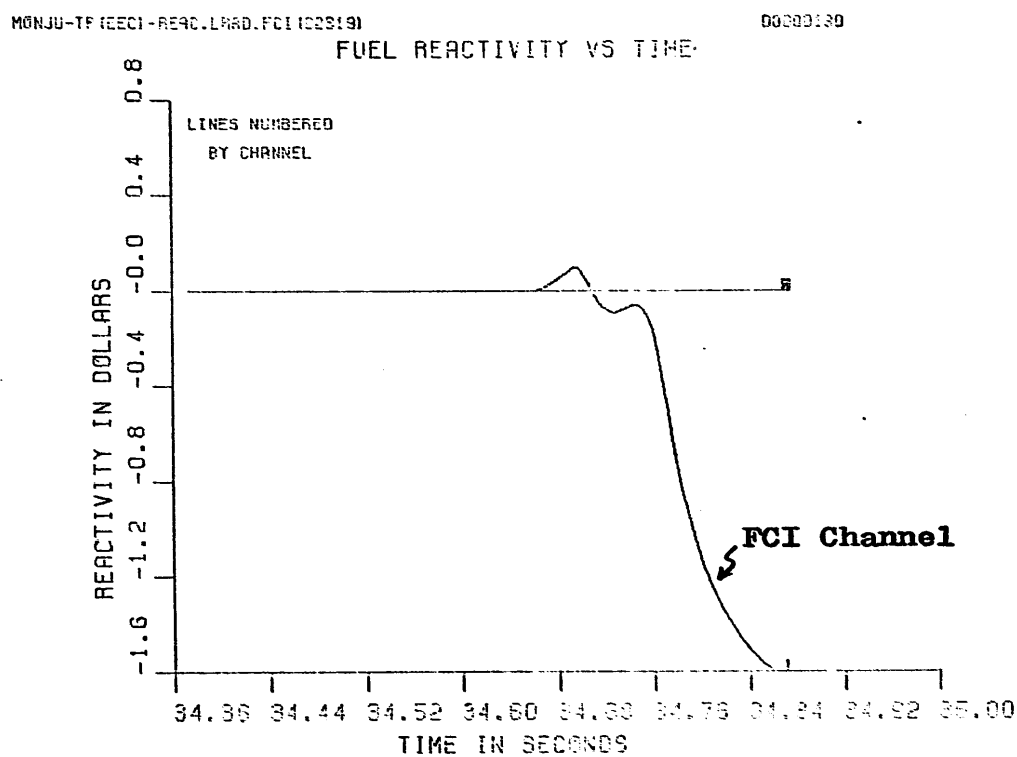


Figure 6.2-23. Channel-1 Fuel and Coolant Reactivity Traces in EOEC. TOP (TP.REAC.LRAD.FCI.C3319)

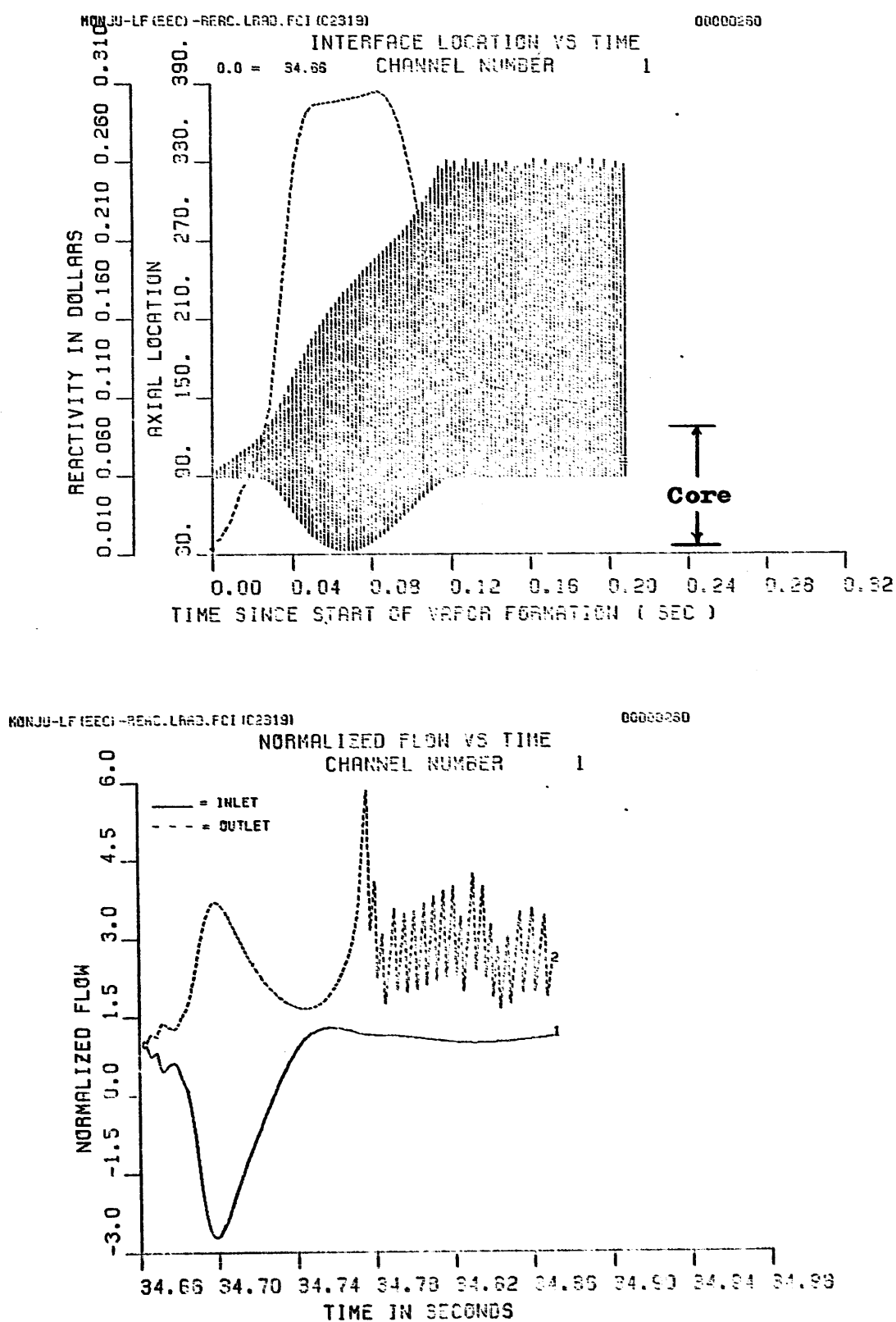


Figure 6.2-24. Channel-1 FCI Zone Growth and Coolant Flowrate for EOEC TOP (TP.REAC.LRAD.FCI.C3319)



4000 < T	K	ACTIVE CORE STATE :
3500 < T < 4000	K	MAX FUEL TEMP. (K) = 2973.1
TMELT+1 < T < 3500	K	MIN FUEL TEMP. (K) = 1578.4
TMELT-1 < T < TMELT+1	K	AVERAGE FUEL TEMP. (K) = 2321.0
2000 < T < TMELT-1	K	TEMP. PEAKING FACTOR = 1.3
T < 2000	K	

MOLten CORE STATE: TOTAL MOLten FUEL MASS (KG) = **814**
 MOLten FUEL AVERAGE TEMP. (K) = **2973**
 ENERGY ABOVE FUEL SOLIDUS (MJ) = **228**

TP.REAC.LRAD.FCI(C3319).STP759

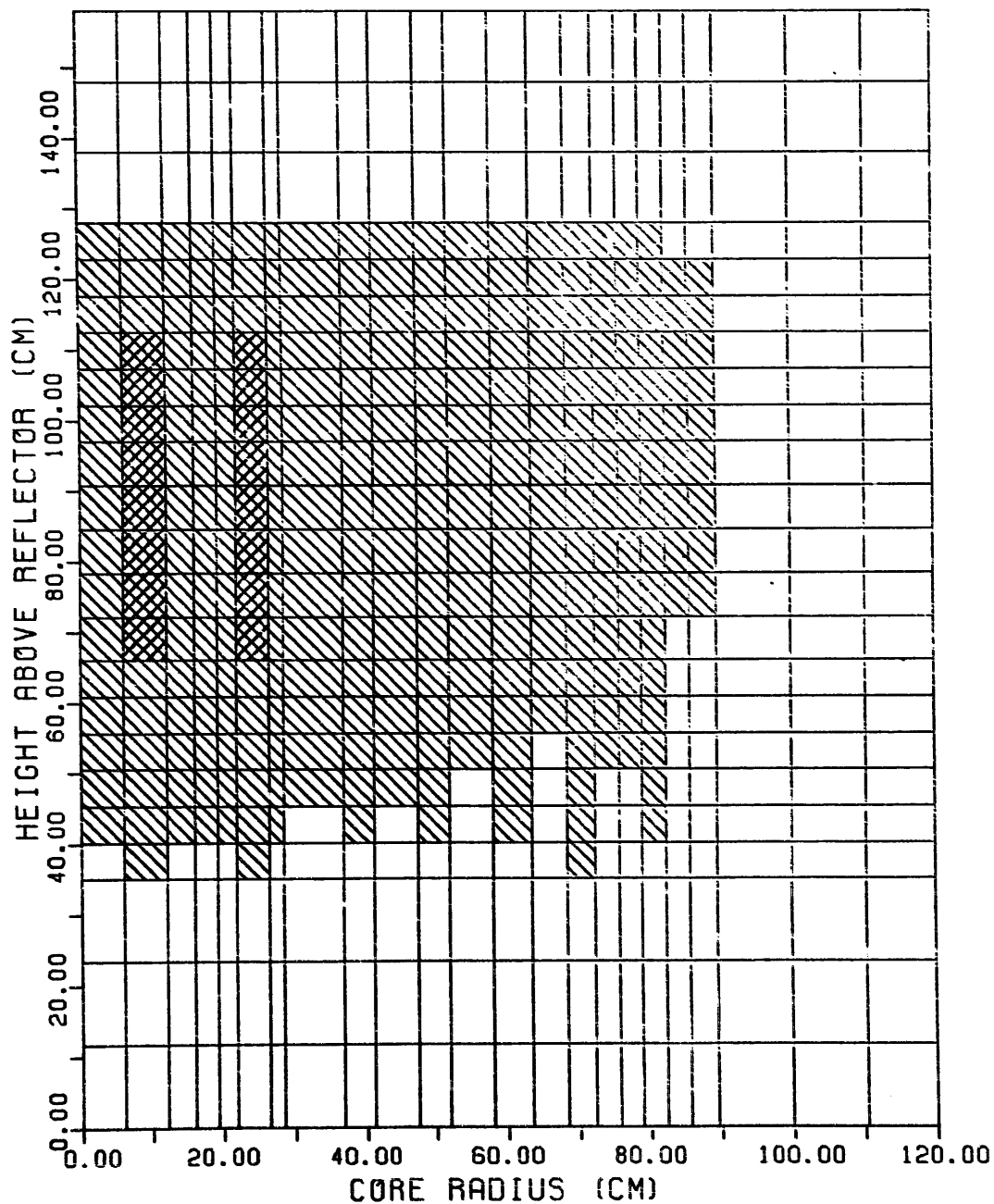


Figure 6.2-25. Fuel Temperature Distribution (Final State)

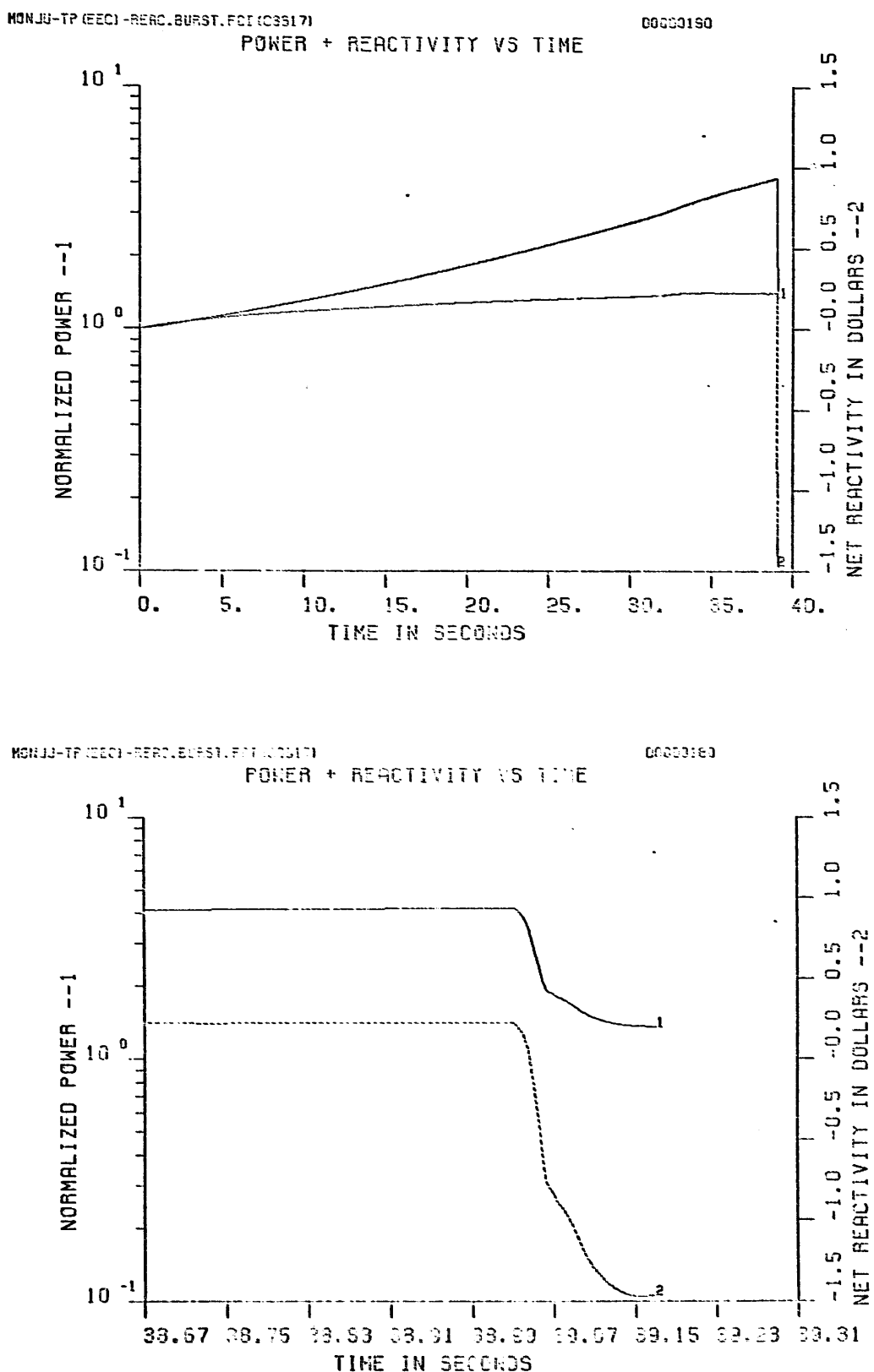


Figure 6.2-26. Power and Reactivity Traces for EOEP TOP (TP.REAC.BURST.FCI.C3317)

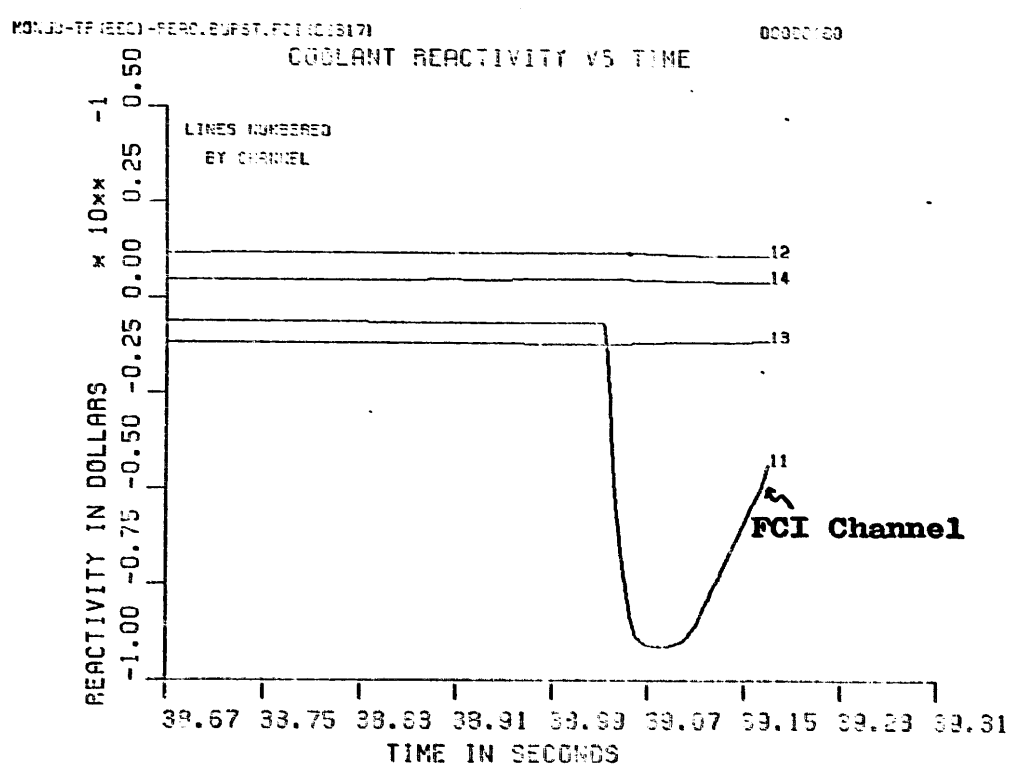
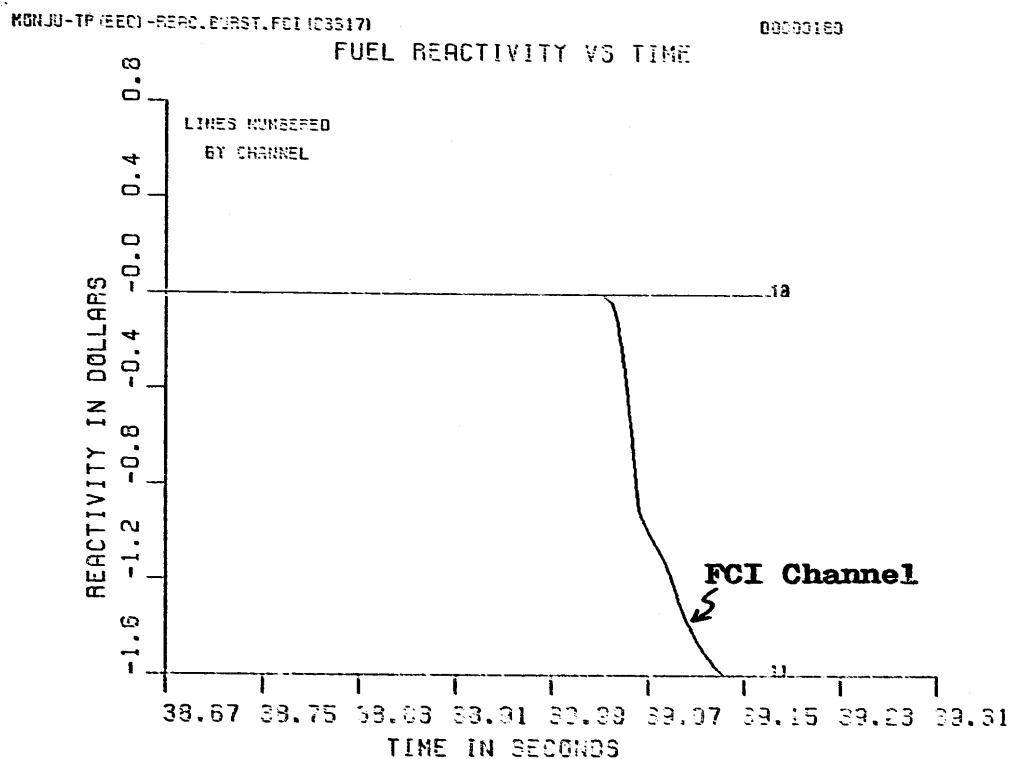


Figure 6.2-27. Channel-11 Fuel and Coolant Reactivity Traces in EOEC TOP (TP.REAC.BURST.FCI.C3317)

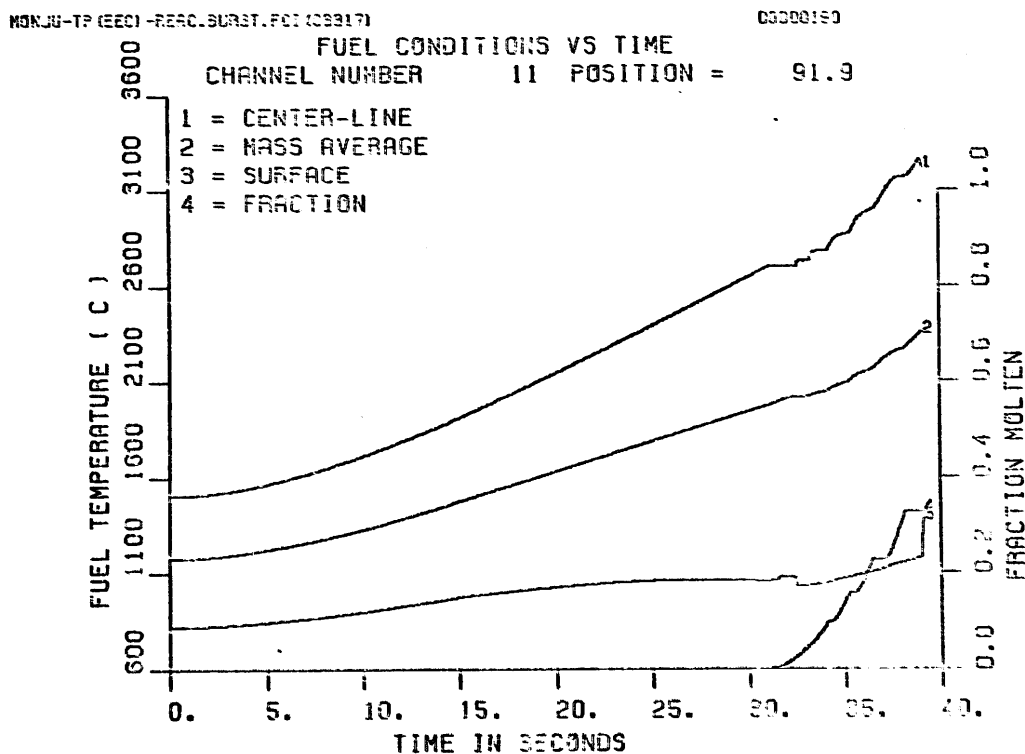
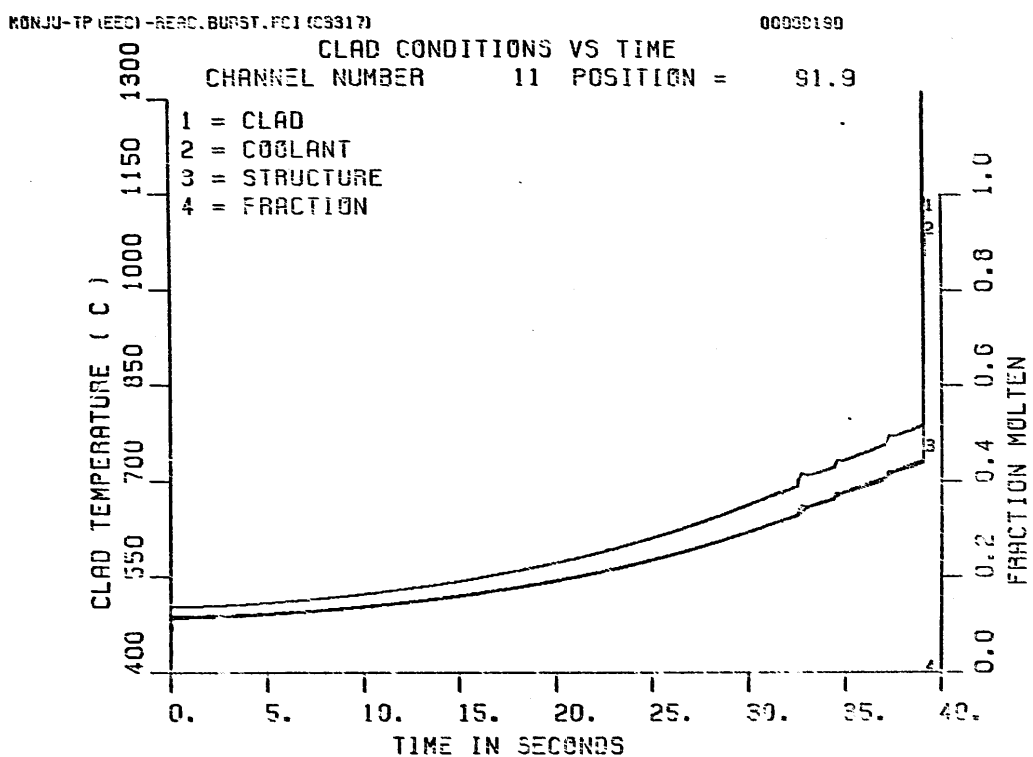


Figure 6.2-28. Histories of Channel-11 Clad and Fuel Temperatures at Peak Power Segment for EOEC TOP (TP.REAC.BURST.FCI.C3317)

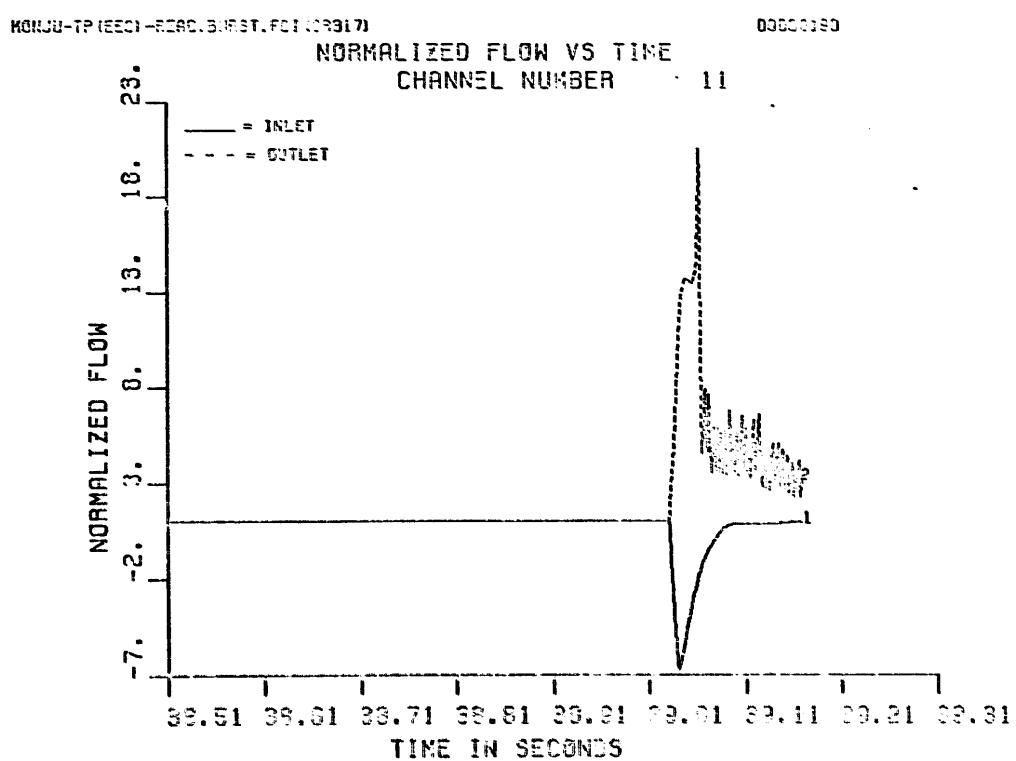
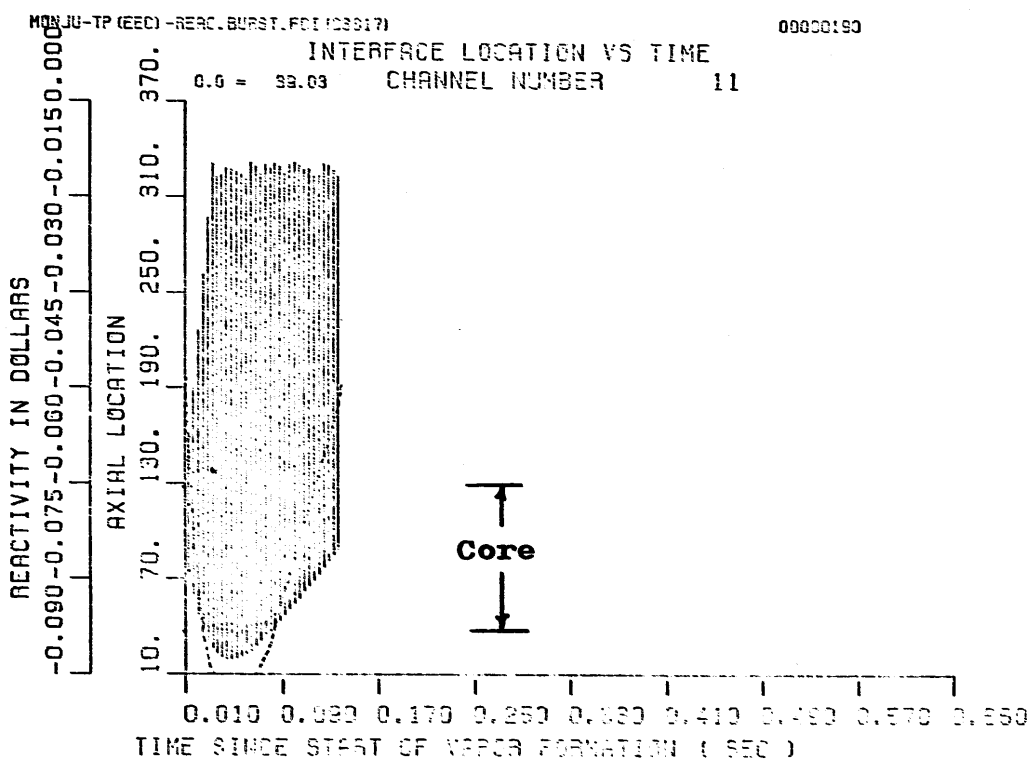


Figure 6.2-29. Channel-11 FCI Zone Growth and Coolant Flowrate for EOEC TOP (TP.REAC.BURST.FCI.C3317)

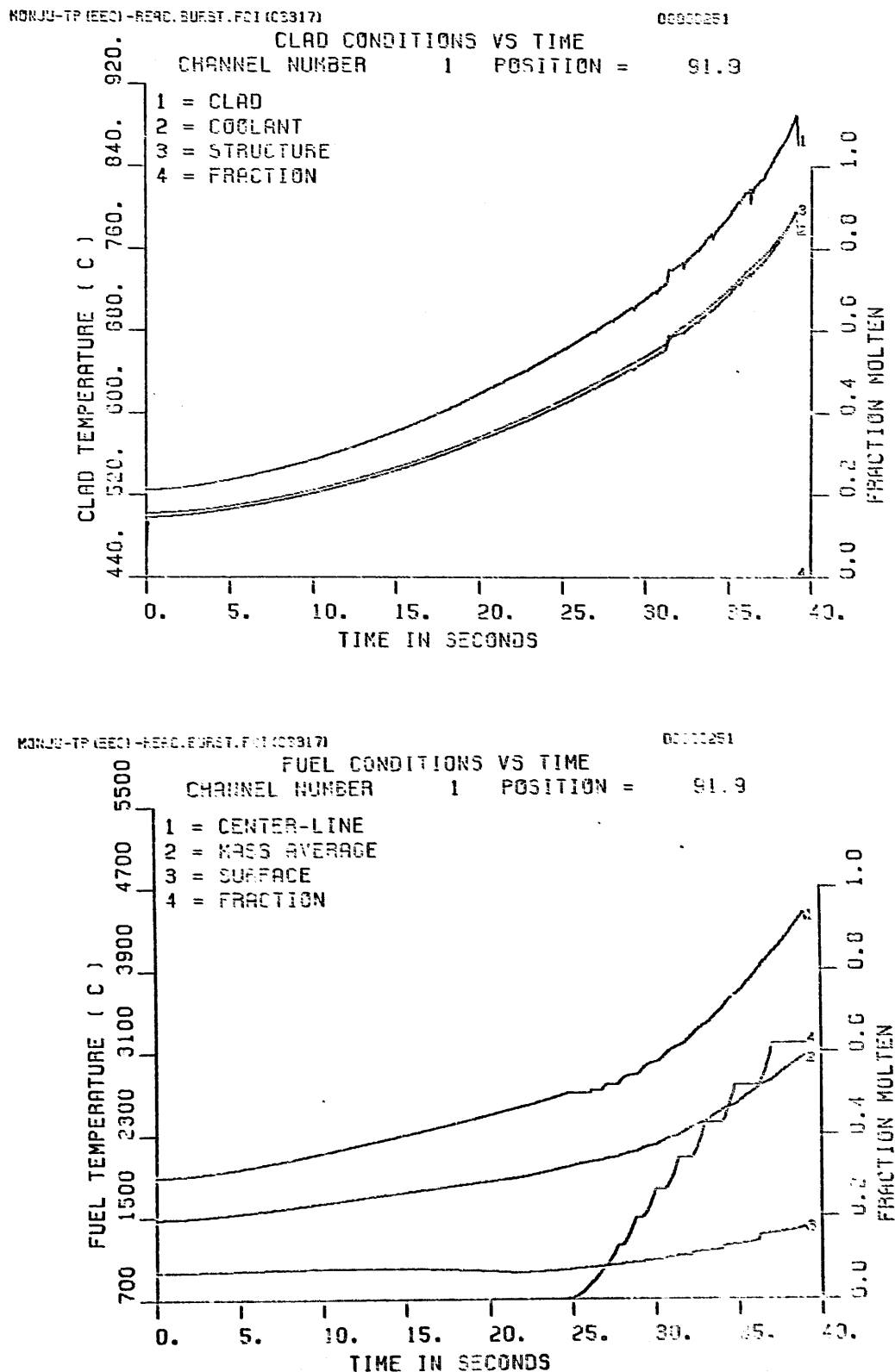


Figure 6.2-30. Histories of Channel-1 Clad and Fuel Temperatures at Peak Power Segment for EOEC TOP (TOP.REAC.BURST.FCI.C3317)

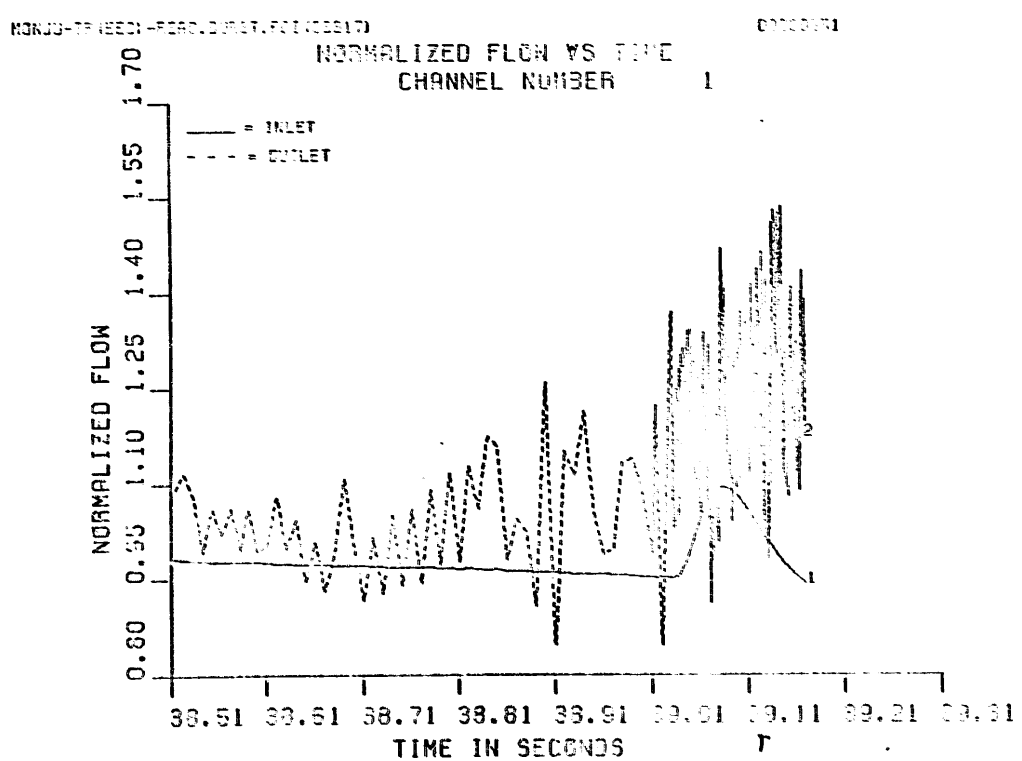
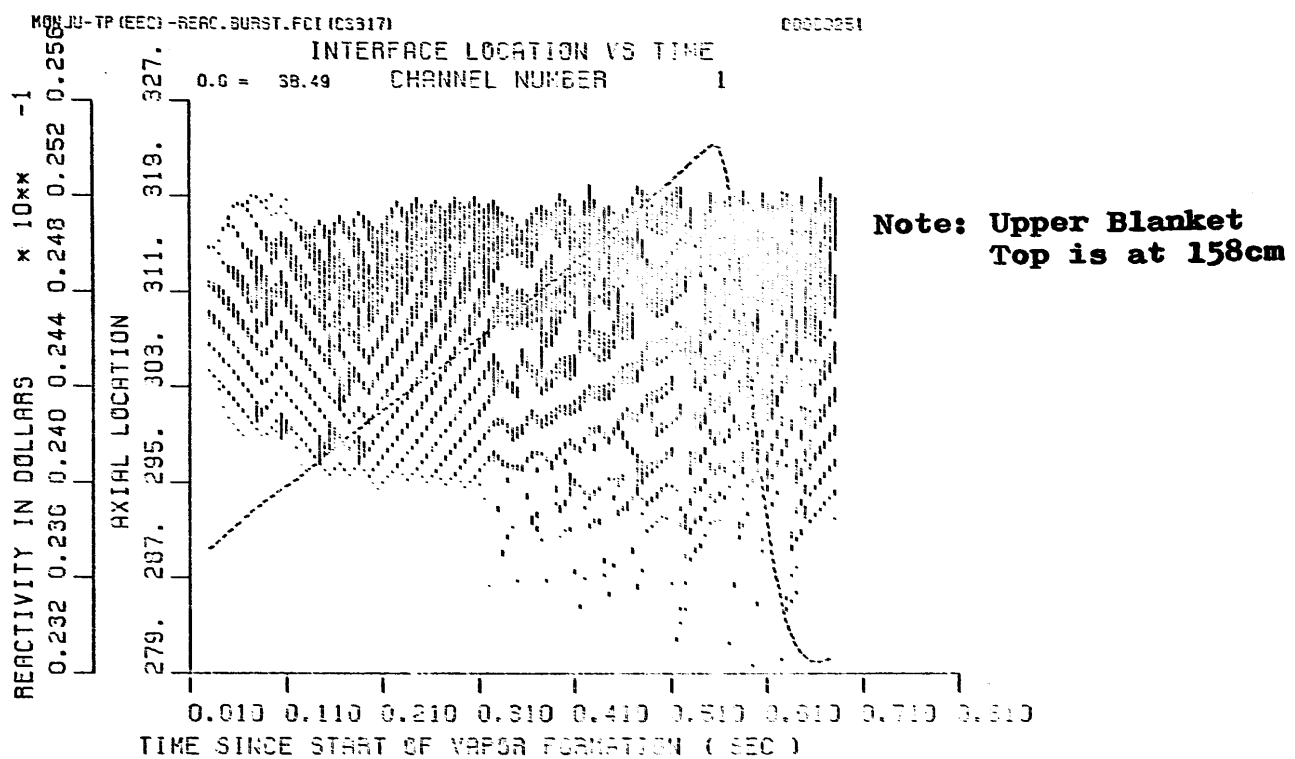


Figure 6.2-31. Channel-1 Boiling Profile and Coolant Flowrate for EOEC TOP (TP.REAC.BURST.FCI.C3317)

	4000 < T K 3500 < T < 4000 K TMELT+1 < T < 3500 K TMELT-1 < T < TMELT+1 K 2000 < T < TMELT-1 K T < 2000 K	ACTIVE CORE STATE : MAX FUEL TEMP. (K) = 3063.3 MIN FUEL TEMP. (K) = 1712.5 AVERAGE FUEL TEMP. (K) = 2561.3 TEMP. PEAKING FACTOR = 1.2
MOLTEN CORE STATE: TOTAL MOLTEN FUEL MASS (KG) = 1680 MOLTEN FUEL AVERAGE TEMP. (K) = 2980 ENERGY ABOVE FUEL SOLIDUS (MJ) = 476		

TP.REAC.BURST.FCI(C3317).STP854

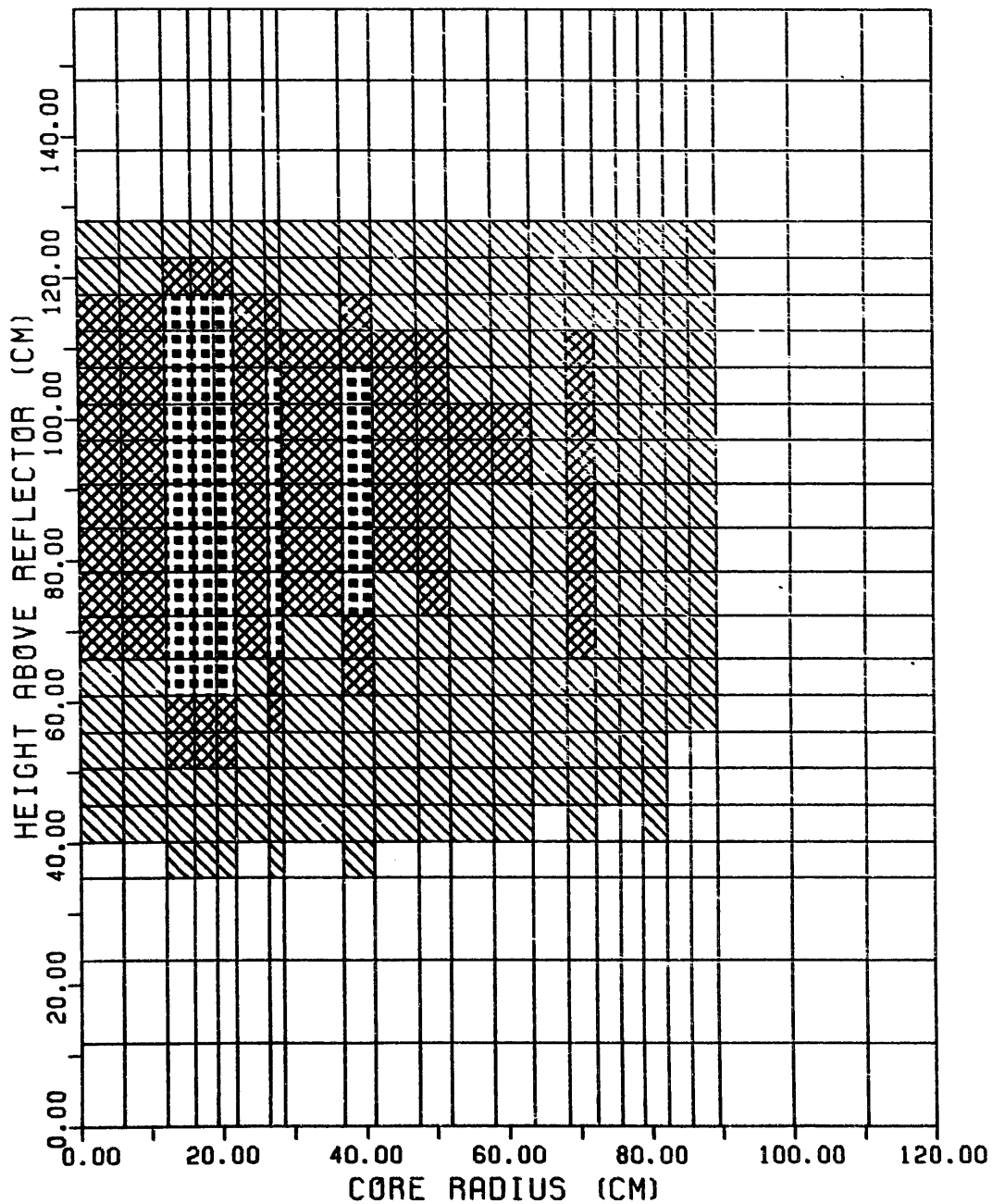


Figure 6.2-32. Fuel Temperature Distribution (Final State)

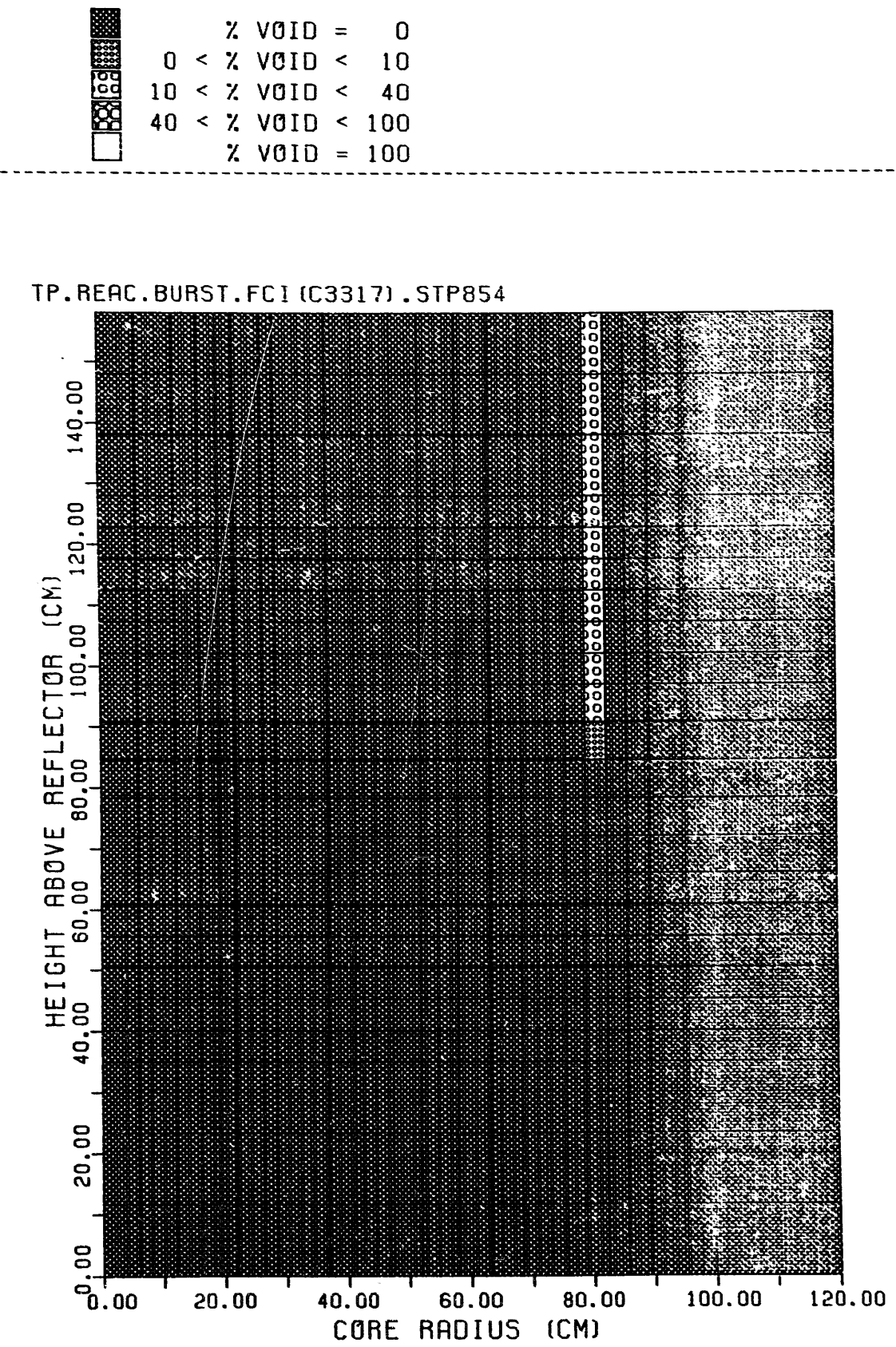


Figure 6.2-33. Void Fraction Distribution

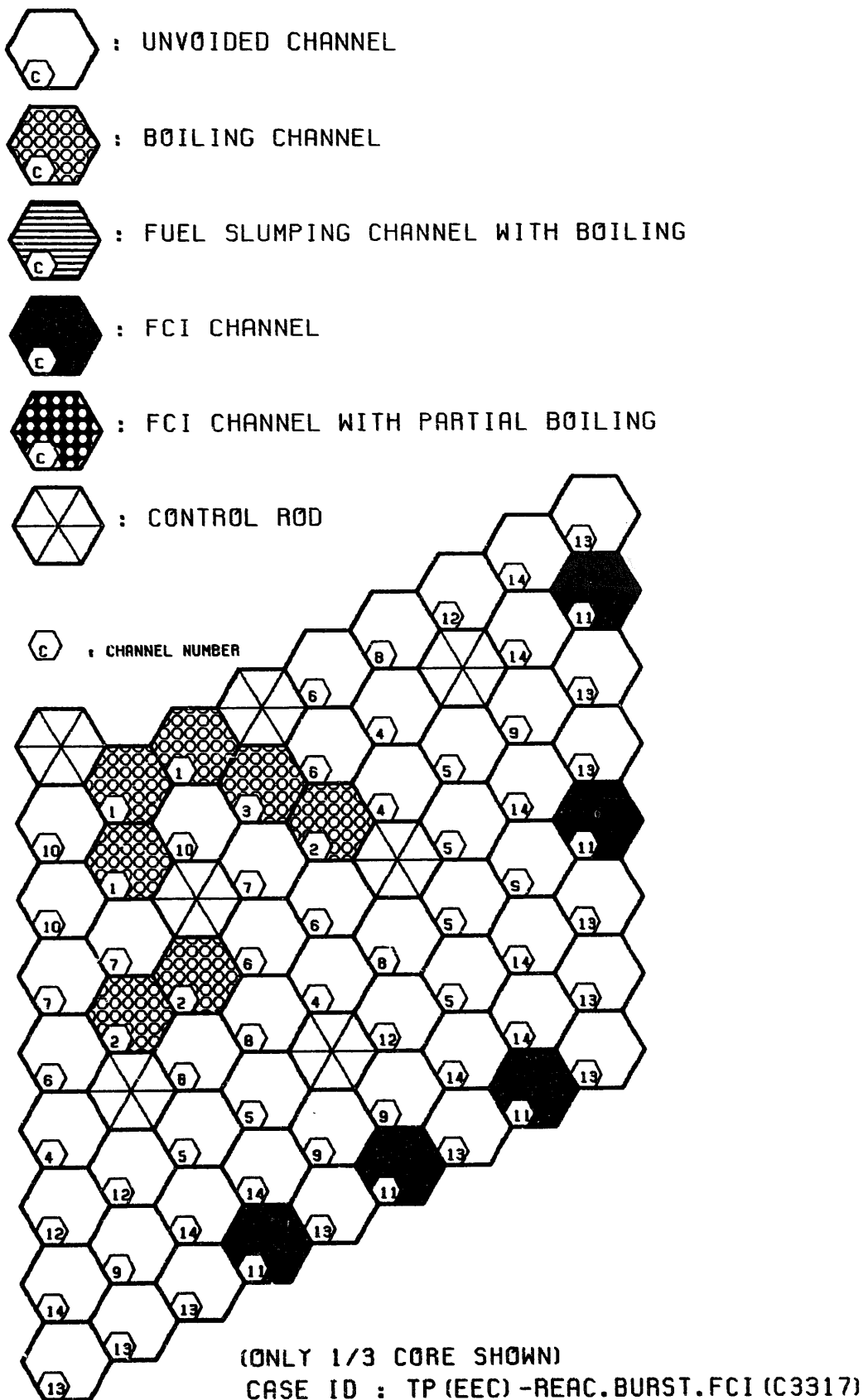
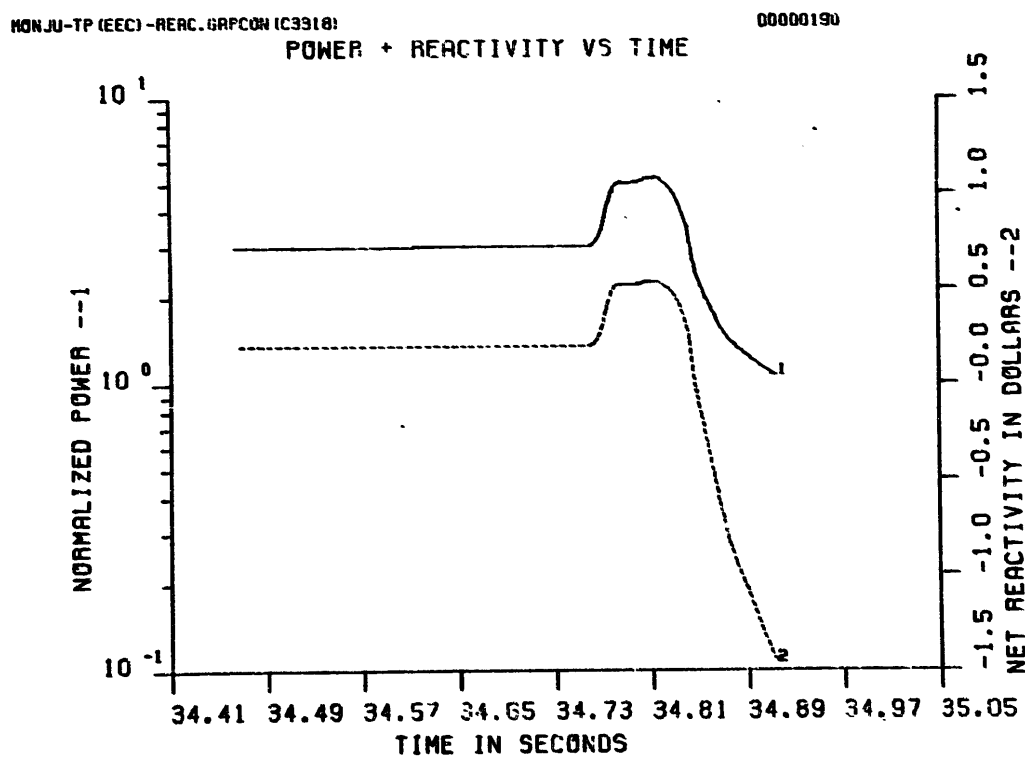
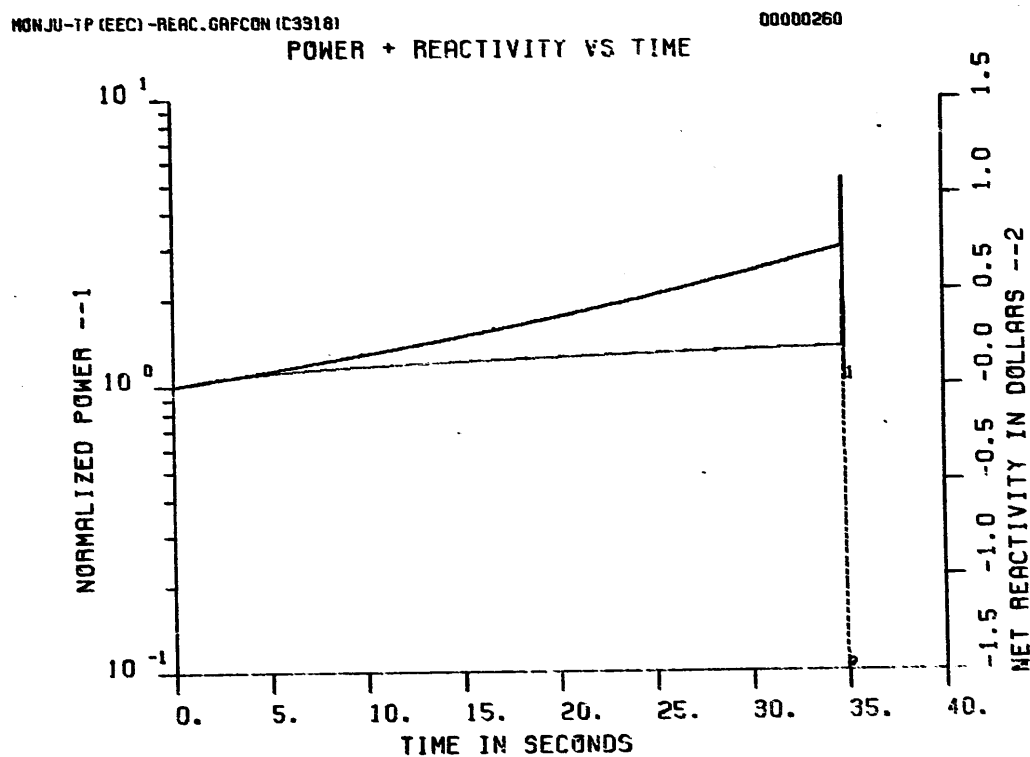


Figure 6.2-34. Core State at the End of Initiating Phase



**Figure 6.2-35. Power and Reactivity Traces for EOEC TOP
(TP.REAC.GAPCON.C3318)**

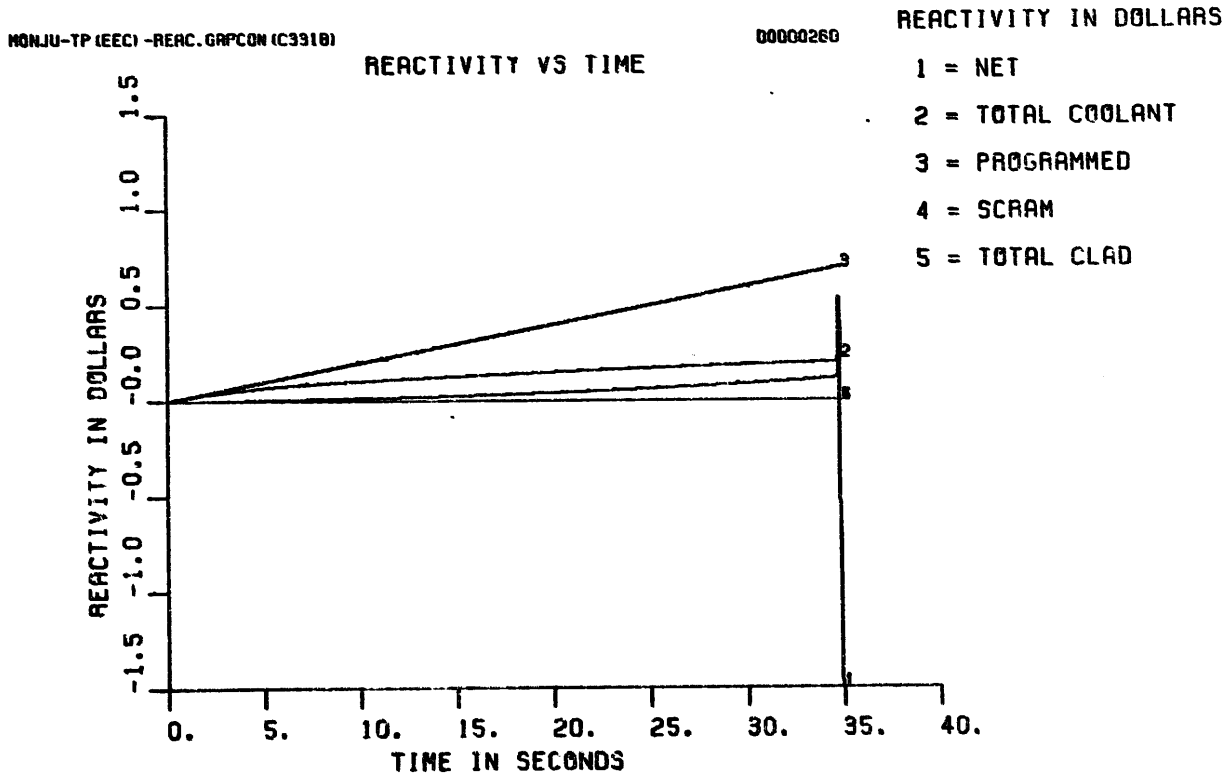
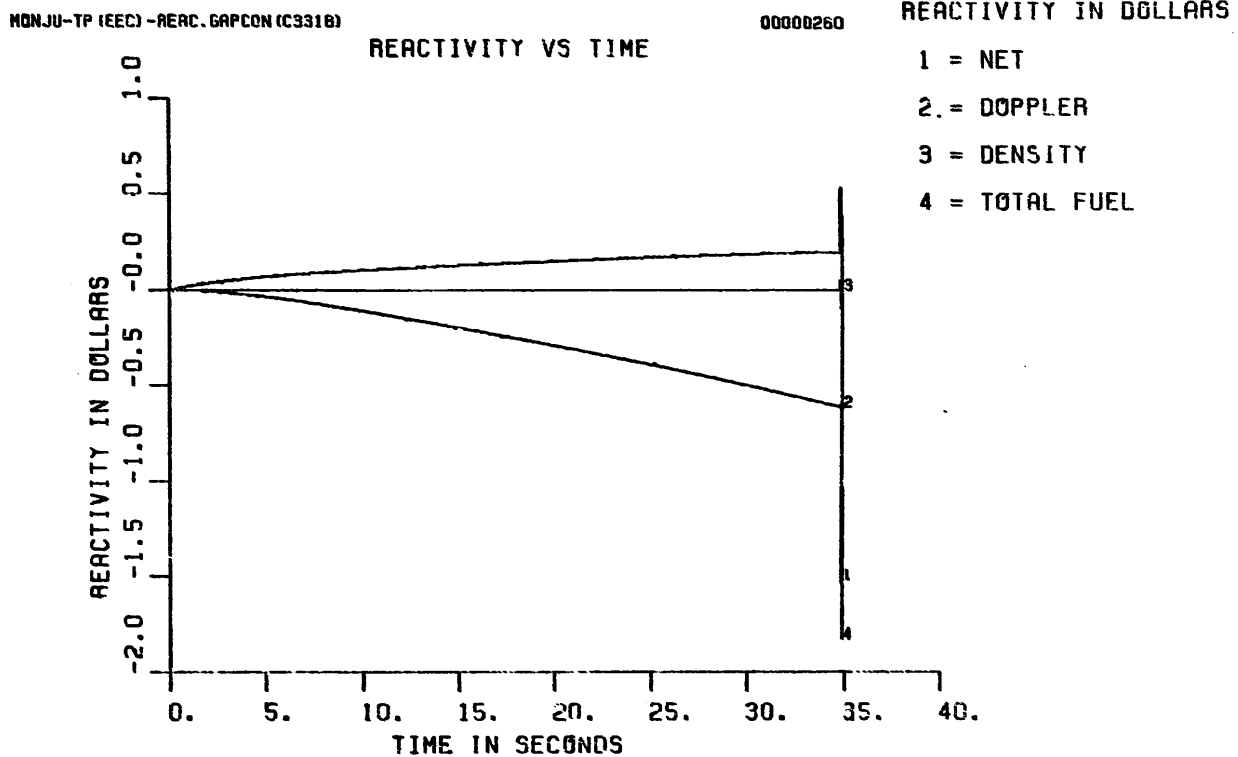


Figure 6.2-36. Reactivity Component Traces for EOEC TOP (TP.REAC.GAPCON.C3318)

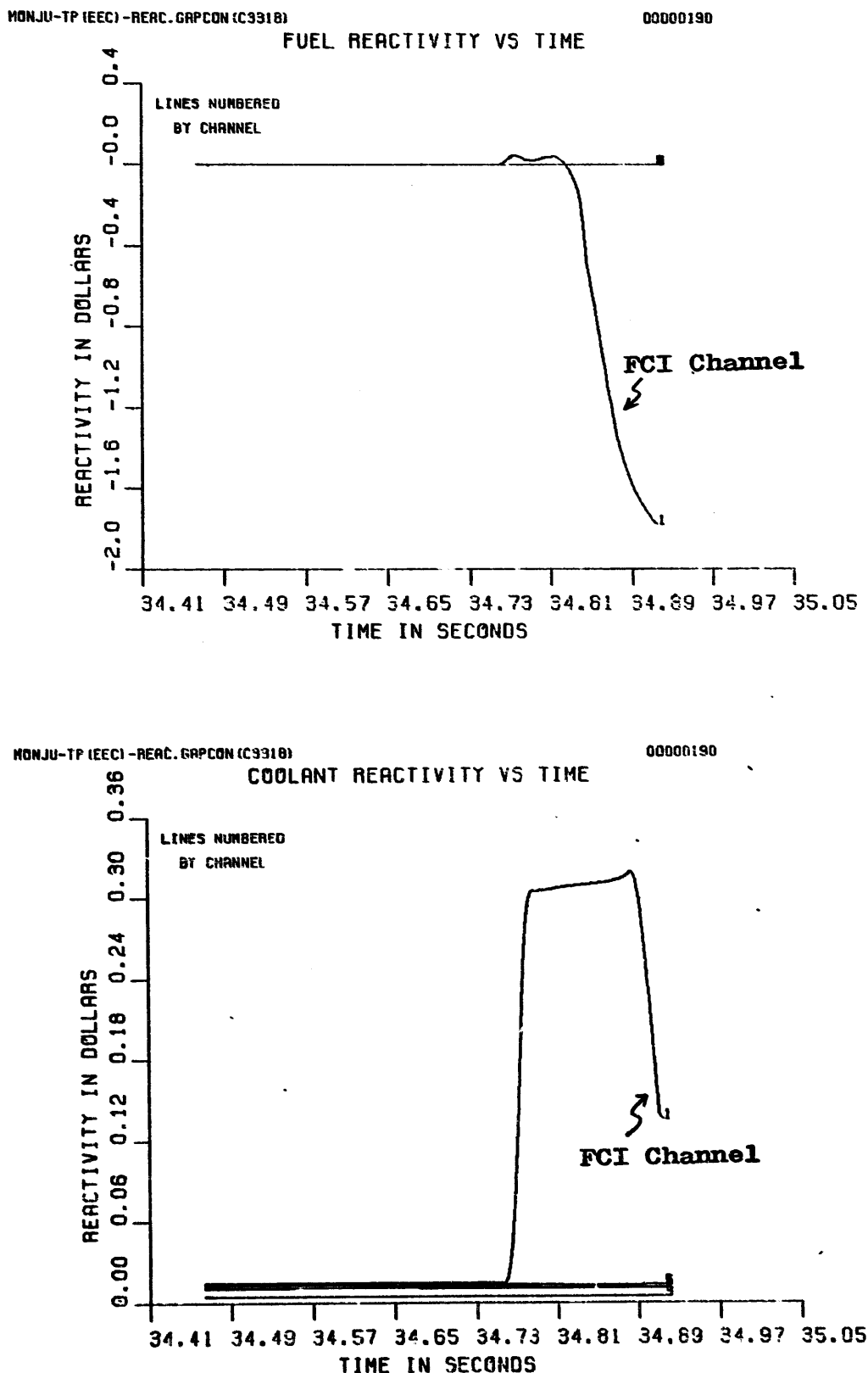


Figure 6.2-37. Channel-1 Fuel and Coolant Reactivity Traces in EOEC TOP (TP.REAC.GAPCON.C3318)

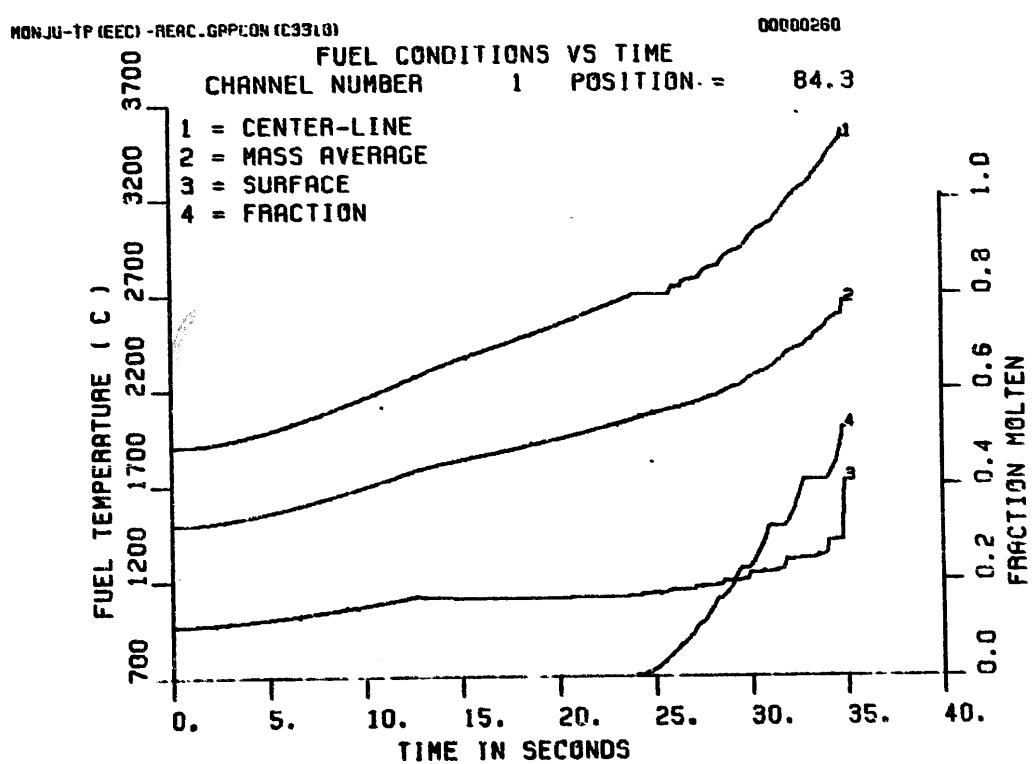
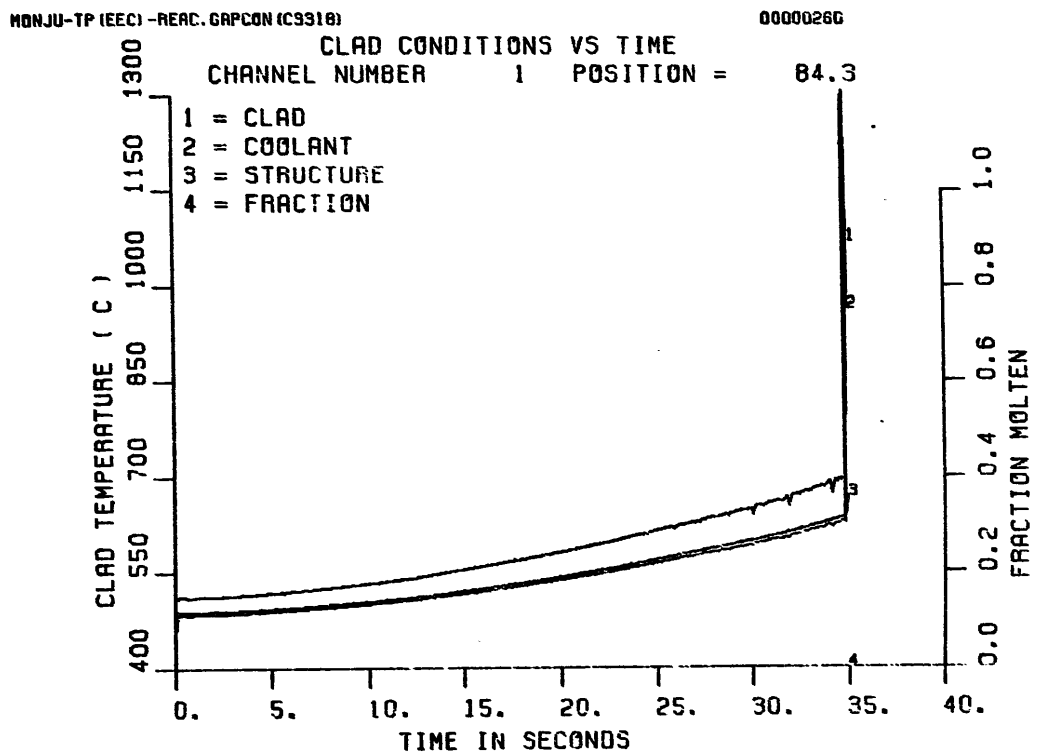


Figure 6.2-38. Histories of Channel-1 Clad and Fuel Temperatures at Peak Power Segment for EOEC TOP (TP.REAC.GAPCON.C3318)

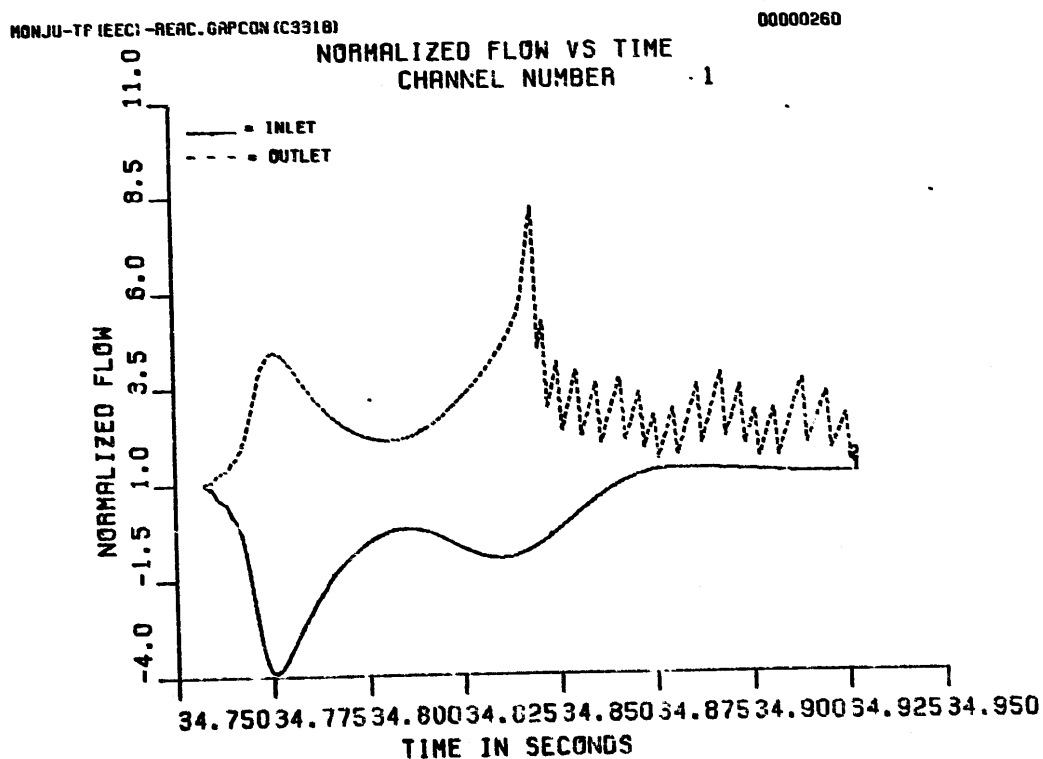
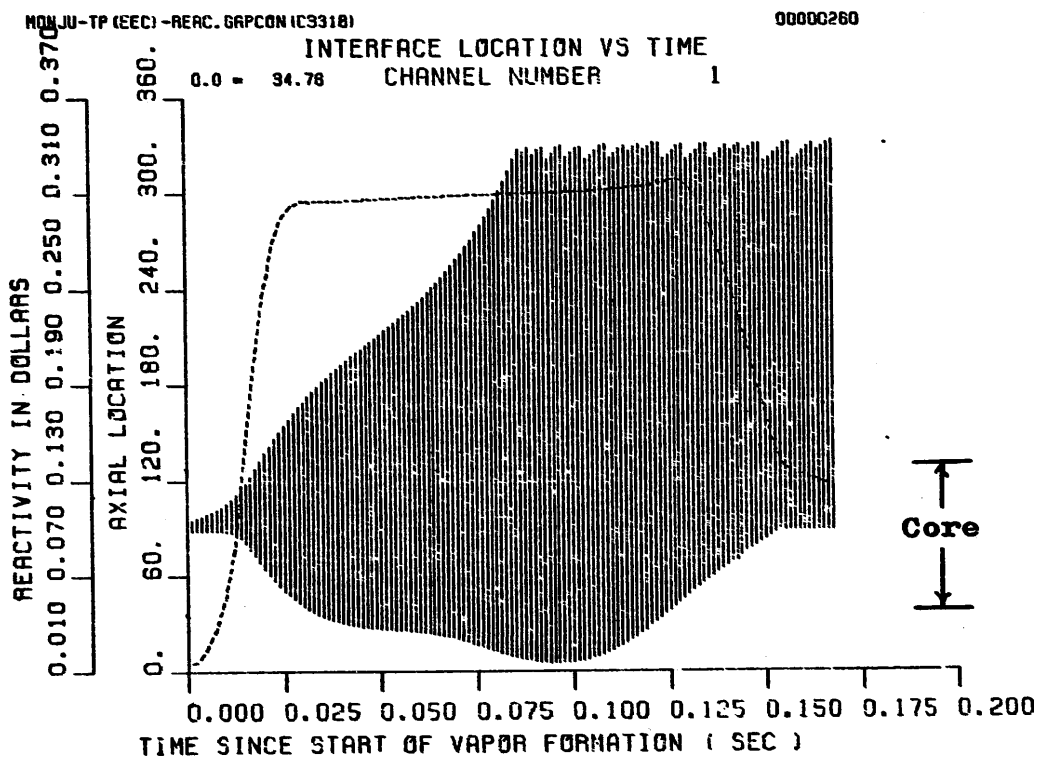


Figure 6.2-39. Channel-1 FCI Zone Growth and Coolant Flowrate for EOEC TOP (TP.REAC.GAPCON.C3318)

	4000 < T K 3500 < T < 4000 K $T_{MELT+1} < T < 3500$ K $T_{MELT-1} < T < T_{MELT+1}$ K $2000 < T < T_{MELT-1}$ K $T < 2000$ K	ACTIVE CORE STATE : MAX FUEL TEMP. (K) = 2973.1 MIN FUEL TEMP. (K) = 1495.3 AVERAGE FUEL TEMP. (K) = 2335.9 TEMP. PEAKING FACTOR = 1.3
---	--	---

MOLTEN CORE STATE: TOTAL MOLTEN FUEL MASS (KG) = **670**
 MOLTEN FUEL AVERAGE TEMP. (K) = **2973**
 ENERGY ABOVE FUEL SOLIDUS (MJ) = **188**

TP.REAC.GAPCON (C3318) STP480

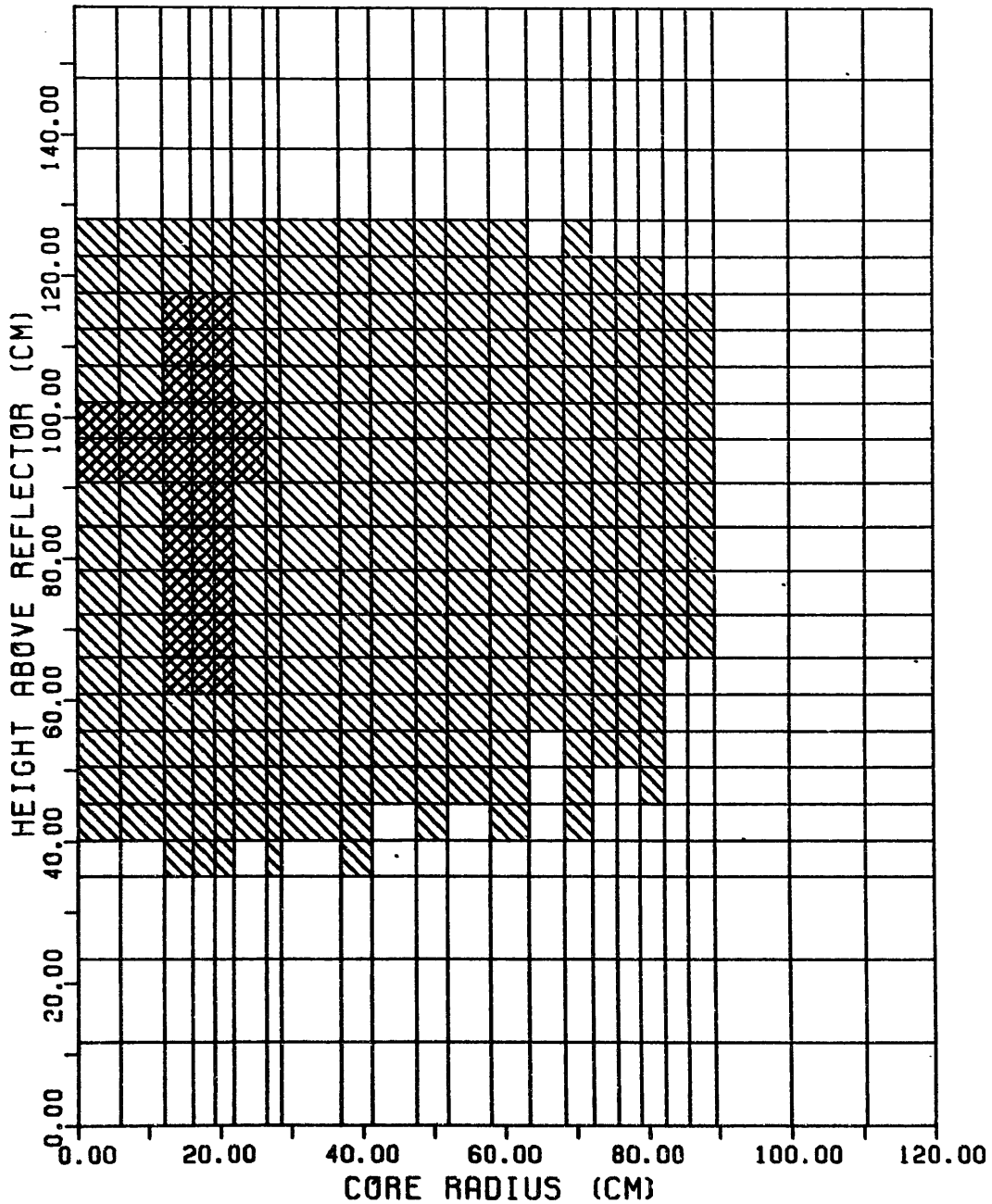


Figure 6.2-40. Fuel Temperature Distribution (Final State)